

---

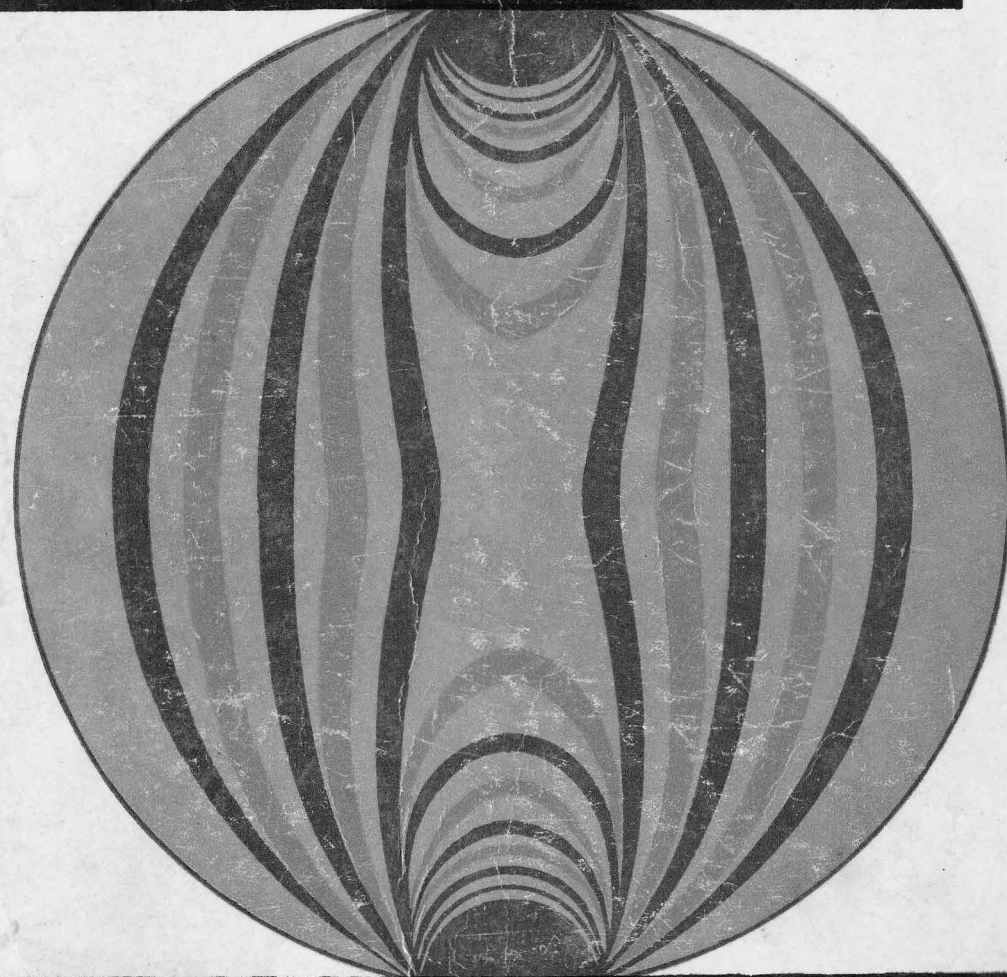
PROBLEME MODERNE  
ALE

OLIVIU RUSU  
TRAIAN GALL

---

REZISTENȚEI MATERIALELOR

---



lucrare autorii își propun să  
nte specialiștilor din domeniul  
ructiilor unele aspecte ale  
emelor de Rezistența mate-  
or izvorâte din cercetările de  
ator și din studiile teoretice  
prinse în acest domeniu în  
ele decenii.

ă a fi un manual sau un  
lucrare pune totuși la înde-  
proiectanților unele elemente  
alcul, cercetătorilor le oferă  
ablou sumar al direcțiilor de  
tigare impuse de necesitatea  
mai adinci cunoașteri a com-  
rii materialelor de construcție,  
xecutanților le dă prilejul de  
noaște mai real posibilitățile  
ucru ale acelorași materiale.

Prof. dr. ing. OLIVIU RUSU  
Ing. TRAIAN GALL

V. Pescaru

## PROBLEME MODERNE ALE REZISTENȚEI MATERIALELOR



EDITURA TEHNICĂ  
București — 1970



## PREFAȚĂ

În dezvoltarea societății omenești, o mare importanță a avut activitatea „omului constructor”. Fiecare etapă istorică este marcată prin construcțiile ei, a căror evoluție poate fi considerată o măsură a nivelului de civilizație și de cultură atins. Artă de a construi a început însă să se transforme treptat în știință, numai cu trei secole în urmă, pentru a se încheia și a deveni un instrument deosebit de util o dată cu secolul nostru.

În ultimii patruzeci de ani, materialul faptic, experiența acumulată, au condus la aprofundarea comportării materialelor de construcție sub acțiunea forțelor și la crearea unor puncte de vedere noi sau chiar a unor concepții de bază noi în tehnica construcțiilor.

În lucrarea de față autorii au căutat să extragă un material care să poată ajuta inginerul constructor să ia contact cu noi probleme mai cu seamă cu cele de dată mai recentă care nu au avut timpul necesar să pătrundă în practica curentă și de a-l apropia cât mai mult — proiectant, executant sau cercetător — de lumea fenomenelor fizice, de a-i crea o imagine cât mai clară a categoriilor cu care lucrează.

Lucrarea nu este un curs — cu toate că studenții institutelor de învățământ tehnic superior ar putea găsi în ea elemente care să le completeze cunoștințele de bază obținute — și nici nu pretinde a fi un îndreptar pentru proiectanți. De aceea conținutul nu este raportat la normative în vigoare — care de altfel pot avea un caracter temporar — și nici la standarde. Sub unele aspecte, autorii au prezentat chiar poziții personale.

Pentru ușurința pătrunderii materialului, autorii au considerat de asemenea util să prezinte acest material într-o formă mai completă, ceea ce a condus la prezentarea pe scurt a unor noțiuni cuprinse în lucrările de specialitate și în manualele curent utilizate.

În ceea ce privește bibliografia, ea conține în general numai lucrările de bază, mai ample, articolele și notele de revistă lăsându-se de o parte, dat fiind că materialul bibliografic este deosebit de vast.

## AUTOREN

V. Gesen

6.2. Fotoelasticitatea. Domenii de aplicare	142
6.3. Metoda moiré-urilor. Principii	146
6.4. Studiul stării plane de eforturi cu ajutorul metodei moiré-urilor	146
6.4.1. Starea de deformare unidimensională	146
6.4.2. Rotirea rețelei	149
6.4.3. Starea plană de deformare	151
6.4.4. Metoda grafică de determinare a deformațiilor	153
6.4.5. Trasarea directă a liniilor de nivel $\varepsilon_x$ , $\varepsilon_y$ și $\gamma_{xy}$	155
6.4.6. Moiré de ordinul 2 (moiré de moiré)	156
6.5. Studiul încovoierii plăcilor cu ajutorul metodei moiré-urilor	158
6.6. Metoda moiré-urilor. Tehnica experimentală. Aplicații	161
6.7. Analogii	163
6.8. Rețele electrice analoge pentru rezolvarea unor probleme de rezistența materialelor	170
7. Aplicații ale calculului elastic. Calculul plăcilor ortotrope. Calculul sistemelor cu fire	182
7.1. Generalități	182
7.2. Elemente ortotrope.	182
7.2.1. Corpul anizotrop	184
7.2.2. Simetria generală. Corpul izotrop	188
7.3. Elemente de calcul al plăcilor ortotrope	188
7.4. Aplicarea calculului plăcilor ortotrope la rețele de grinzi. Metoda Guyon-Massonnet	197
7.5. Sisteme cu fire	209
8. Determinarea eforturilor și a deformațiilor în elemente solicate în domeniul plastic și elasto-plastic. Criterii de plasticitate	222
8.1. Considerații generale și principii de calcul	222
8.2. Calculul eforturilor unitare normale în secțiunile solicate în domeniul elasto-plastic.	225
8.2.1. Întinderea sau compresiunea simplă	225
8.2.2. Încovoierea	233
8.2.3. Încovoierea oblică	249
8.2.4. Calculul barelor supuse la încovoiere și efort axial în domeniul elasto-plastic	251
8.3. Condițiile de plasticitate în cazul stării plane de eforturi	253
8.4. Eforturile unitare tangențiale la grinzi solicate la încovoiere	256
8.5. Linii de curgere în cazul stării plane de eforturi și al plăcilor plane subțiri	261
8.6. Încărcările și descărcările repetate în domeniul elasto-plastic. Tensiunile inițiale	268
9. Elemente de teoria liniară a visco-elasticității	271
9.1. Corpul visco-elastic fără relaxare, cu deformații elastice întârziate	272
9.1.1. Ecuația de stare	272
9.1.2. Deformația sub efort constant	273
9.1.3. Revenirea după îndepărtarea efortului. Descărcarea	275
9.1.4. Deformația proporțională cu timpul. Efort unitar proporțional cu timpul. Ecuația caracteristică a materialului	276
9.1.5. Comportarea la solicitări ciclice	278
9.2. Corpul cu relaxare (corpul lui Maxwell)	281
9.2.1. Ecuația de stare	281
9.2.2. Deformația sub efort constant	282
9.2.3. Efortul sub deformare constantă	283
9.2.4. Efortul unitar produs de deformații proporționale cu timpul	284
9.2.5. Deformația în cazul unui efort unitar proporțional cu timpul	285

9.2.6. Diagrama caracteristică a unui corp cu relaxare	286
9.2.7. Deformarea la solicitări ciclice	288
9.3. Amortizarea vibrațiilor	289
9.4. Modele liniare. Funcția de fluaș și funcția de relaxare	291
9.5. Principiul suprapunerii efectelor	298
9.6. Fluașul (curgerea lentă) și relaxarea neliniară	304
9.7. Solidul neelastic standard	306
9.8. Betonul ca material reologic	309
9.9. Fluașul și relaxarea firelor de oțel	320
9.10. Comportarea construcțiilor alcătuite din materiale cu proprietăți visco-elastice	328
9.10.1. Analogia comportării elastice și visco-elastice	328
9.10.2. Încovoierea grinzilor alcătuite din materiale visco-elastice	329
9.10.3. Încovoierea grinzilor static nedeterminate	334
9.10.4. Încovoierea barelor comprimate excentric	336
9.10.5. Comportarea arcelor pleoștite cu încărcare mare	339
10. Metode statistice în Mecanica construcțiilor	343
10.1. Introducere	343
10.2. Noțiuni fundamentale	345
10.3. Mărimi aleatorii și caracteristicile distribuției lor.	348
10.3.1. Valori medii, momente, dispersii	350
10.3.2. Distribuția normală.	351
10.4. Aplicații la calculul construcțiilor	353
10.4.1. Curbele de repartiție a proprietăților fizico-mecanice ale materialelor	354
10.4.2. Curbele de repartiție a încărcărilor	355
10.5. Considerente statistice asupra coeficientului de siguranță	357
11. Evoluția concepțiilor în calculul construcțiilor	362
11.1. Generalități. Metoda rezistențelor admisibile	362
11.2. Metoda sarcinilor la rupere	367
11.3. Principiile de bază ale metodei de calcul la rupere pentru elementele de beton armat	369
11.4. Metoda de calcul la stările limită	371
Încheiere	377



## INTRODUCERE

Rezistența materialelor este o disciplină specific inginerescă. Ea răspunde unor probleme concrete de mare importanță practică și anume celor legate de durabilitatea construcțiilor; în cele din urmă ea trebuie să răspundă întrebării dacă o construcție concepută pentru un anumit scop va rezista, în sensul că în timpul exploatării, al construcției sau montajului, nu va ajunge să fie inutilizabilă nici prin rupearea unor elemente, nici prin deformații, nici prin vibrații sau prin pierderea stabilității.

Desigur, durabilitatea unei construcții este influențată de numeroși factori; ea poate fi redusă datorită coroziunii, incendiului sau altor cauze. Rezistența materialelor reține pentru studiu cauzele care nu modifică dimensiunile sau proprietățile fizico-mecanice ale construcției (acțiunea forțelor, diferențele de temperatură moderate care nu schimbă substanțial comportarea materialelor sub acțiunea forțelor, schimbări în așezarea construcției — tasarea reazemelor etc.).

Avînd această preocupare, două sînt direcțiile pe care se dezvoltă Rezistența materialelor; prima direcție este legată de determinarea forțelor interioare și a deformațiilor care iau naștere în urma acțiunilor din exterior; a doua direcție este cea a prezicerii dacă o construcție sau elementele construcției vor rezista forțelor, a aprecierii gradului de siguranță la acțiunile normale, extraordinare și catastrofale previzibile.

În dezvoltarea sa, Rezistența materialelor înmănunchează, sistematizează și face sinteza între cunoștințele teoretice și experimentale, trăgînd concluzii pentru practica inginerescă.

### 1.1. SCURT ISTORIC AL REZISTENȚELOR MATERIALELOR

Rezistența materialelor este o știință relativ nouă. Dezvoltarea ei este legată de dezvoltarea producției industriale și de consecințele ei în domeniul construcțiilor civile și industriale, a transporturilor

și căilor de comunicație; Rezistența materialelor s-a născut din cerințele practicii, pentru a servi practica industrială; dezvoltarea ei în timp constituie o ilustrare a cuvintelor lui Marx care spunea că industria împinge mai departe știința decât o sută de universități.

Preocupările pentru realizarea de construcții sînt vechi, am putea spune de cînd lumea. Sînt cunoscute în întreaga lume construcții care, deși realizate cu multe secole în urmă, uneori cu milenii, își păstrează încă întreagă capacitatea de rezistență. Ceea ce caracterizează construcțiile rămase din vremuri îndepărtate este în primul rînd faptul că ele nu se disting printr-o mare diversitate și în al doilea rînd că pentru realizarea lor au fost folosite cantități de materiale care depășesc cu mult cantitățile utilizate astăzi pentru construcții de aceeași mărime, supuse unor solicitări asemănătoare.

Lipsa diversității se datorește faptului că o construcție nouă copia în mare măsură lucrările vechi asemănătoare, care prezentau avantajul hotărîtor de a fi fost verificate de practică. Dacă unele lucrări la care se aduceau inovații sau soluții noi se dovedeau la fel de rezistente, sau mai rezistente decât construcțiile vechi, ele însele deveneau modele pentru lucrările ulterioare; progresul avea, în cea mai mare parte, o singură sursă: experiența, de aceea era foarte lent și devenea vădit numai după trecerea, cîteodată, a numeroase generații.

Ca și celelalte științe moderne ale naturii, Rezistența materialelor are începuturile în epoca renașterii în condițiile dezvoltării capitalului comercial, a comunicațiilor internaționale maritime, a industriei miniere și metalurgice. Intensificarea schimburilor comerciale pe căi navigabile, în special pe mare, pune problema creerii de vase de mai mare tonaj, amenajarea căilor navigabile și realizarea de construcții hidrotehnice, cum sînt barajele și ecluzele, porturile.

Metodele tradiționale nu mai puteau răspunde noilor cerințe. Încercările de a realiza nave noi prin mărirea la scară a celor vechi dădeau eșec; a apărut necesitatea studierii elementelor ținînd seama de capacitatea lor de rezistență. Cel care a început primele experiențe sistematice în acest domeniu a fost Galileo Galilei care la Arsenalul de la Veneția a obținut primele rezultate în probleme de similitudine, stabilind relații între dimensiunile grinzilor și încărcările pe care le pot suporta.

În secolul al XVII-lea și mai apoi în secolul al XVIII-lea începe sistematic studiul experimental al legilor naturii; iau ființă societăți savante — embrioanele academiilor de știință de mai tîrziu — în Italia, Franța, Anglia, apoi în Rusia și Germania; se formulează legile naturii în diferite domenii ale fizicii. Unele principii fundamentale ale Rezistenței materialelor sînt determinate o dată cu celelalte

te legi ale fizicii de aceiași oameni de știință cu multiple preocupări în domeniul fizicii. Ca momente în această perioadă, sînt de notat legea lui Hooke privind proporționalitatea dintre eforturi și deformații, lucrările lui Mariotte, care deși nu a reușit, s-a apropiat mult de soluția problemei eforturilor în grinda dreaptă solicitată la încovoiere, lucrările lui Iacob Bernoulli și Daniel Bernoulli, în domeniul încovoierii barelor și ale lui Leonhard Euler cu privire la curbele de deformație ale grinzilor și coloanelor solicitate de forțe.

Cu toate că Galilei, Hooke și Mariotte, studiind probleme care astăzi aparțin Rezistenței materialelor, aveau în vedere și aspectul practic, majoritatea cercetărilor care se desfășurau în acea vreme se datorau curiozității științifice, dorinței de a cunoaște legile naturii. Abia în secolul al XVIII-lea au început să fie treptat introduse în practica inginerescă rezultate obținute în secolul precedent. Problemele noi care apăreau cereau nu numai o experiență și cunoștințe practice, dar și măiestrie în rezolvarea lor rațională. Au luat ființă primele școli de pregătire inginerescă și au apărut, primele lucrări de mecanică tehnică. În Franța ia naștere, în anul 1720, Corpul inginerilor de drumuri și căi de comunicație, iar în 1747 se înființează renumita Școală de Poduri și Șosele pentru pregătirea inginerilor în construcția drumurilor, canalelor și podurilor. Dintre numeroșii savanți care în acea perioadă au contribuit la formarea disciplinei Rezistenței materialelor, un aport deosebit l-a avut Coulomb care a studiat teoretic și experimental numeroase probleme ale determinării eforturilor și deformațiilor din care multe, modificate numai în formă, sînt preluate și astăzi. De asemenea Navier, care a dat soluții corecte numeroaselor probleme de care s-a ocupat și care a publicat una din primele cărți, cuprinzătoare, la zi, de Rezistența materialelor.

Acumularea cunoștințelor teoretice și experimentale a permis ca în secolul al XIX-lea să se facă o amplă sinteză teoretică, stabilindu-se un model abstractizat al corpului material, o comportare idealizată a lui sub acțiunea forțelor la care este solicitat. Pe această bază s-a încheșat și dezvoltat, folosind un aparat matematic uneori destul de avansat, Teoria elasticității la care au contribuit mari fizicieni și matematicieni ca: Poisson, Cauchy, de Saint Venant, Lamé, Maxwell, Ostrogradski, Green, Stokes și alții.

Rezultatele Teoriei elasticității au fost cuprinzător aplicate în practica inginerescă însă mult mai tîrziu; Rezistența materialelor s-a dezvoltat stabilindu-și ipotezele de bază proprii — din care unele coincideau cu cele ale Teoriei elasticității — modelul corpului material, metode proprii de cercetare și de rezolvare avînd ca obiectiv calculul construcțiilor și elementelor de construcție și siguranța lor. Un imens volum de cercetări experimentale desfășurate în laboratoare de încer-

cări ale materialelor au permis stabilirea tot mai precisă a proprietăților fizico-mecanice a materialelor, a comportării lor sub acțiunea forțelor în diferite condiții de solicitare.

Sinteza cercetărilor pentru cerințele muncii ingineresti este opera inginerilor însăși. Metodele de stabilire a eforturilor, criteriile de dimensionare etc. se datoresc inginerilor care, introducând materiale noi, au pus și rezolvat noi și noi probleme; fiind legată de dezvoltarea industriei în toate țările, Rezistența materialelor s-a dezvoltat cu aportul adus de inginerii din toate țările, pe măsura dezvoltării lor industriale. Sînt cunoscute contribuțiile lui Juravski în domeniul încovoierii grinzilor, Clapeyron în domeniul grinzilor cu mai multe deschideri, O. Mohr în numeroase probleme legate de starea de eforturi, de criteriile de rezistență, de calculul deformațiilor și al eforturilor în sisteme etc., Fairbairn în domeniul încercării materialelor, Woehler în domeniul oboselii și mulți alții.

Urmărind istoricul dezvoltării disciplinei, trebuie să remarcăm că deși contribuții ale inginerilor români au existat, ele s-au limitat în special la aplicarea riguroasă a Rezistenței materialelor la calculul construcțiilor. Lipsa condițiilor materiale pentru cercetare și menținerea la un nivel scăzut a industriei din trecut s-a resimțit și în acest domeniu; atunci cînd au existat însă posibilități, realizările au fost la înălțimea concepțiilor celor mai moderne la acea dată.

Podul peste Dunăre, conceput și realizat sub conducerea inginerului Anghel Saligny, este un model de aplicare creatoare în concepția generală și în detalii a Rezistenței materialelor în construcția de poduri; reamintim că prima dată a fost introdus în construcția de poduri oțelul moale în locul fierului pudlat. Menționăm, de asemenea, sinteza făcută de Gh. Em. Filipescu în forma elegantă pe care o dă calculul vectorial, în lucrarea „Rezistența materialelor și Statica construcțiilor”, a cărei răspundere mai restrînsă se datorește numai faptului că limba noastră este mai puțin accesibilă în străinătate. În fine, menționăm lucrarea creatorului sonicității George (Gogu) Constantinescu, publicată la începutul secolului nostru, în care starea de eforturi în barele de beton armat este analizată aplicînd soluțiile exacte ale Teoriei elasticității.

Problemele complexe pe care le ridică economia modernă care acordă importante mijloace materiale investițiilor, a determinat o dezvoltare continuă și rapidă a Rezistenței materialelor. Cercetările experimentale asupra proprietăților materialelor sporesc tot timpul, avînd drept scop aprofundarea cunoștințelor asupra comportării lor în construcții cît și pentru a determina proprietățile materialelor noi introduse în practica inginerescă. Sînt studiate noi probleme apărute în domeniu, ca urmare a noilor sisteme constructive și a noilor solici-

tări care apar. Cunoștințele teoretice stabilite de Teoria matematică a elasticității sînt utilizate în practica inginerescă. Pe măsura dezvoltării unor noi discipline, rezultatele sînt preluate, prelucrate și, în măsura în care sînt accesibile, aplicate: este vorba în special de Teoria plasticității și de unele capitole ale Reologiei.

Teoria plasticității, al cărei început este marcat prin lucrările experimentale efectuate de Tresca încă acum un secol (în anul 1868), și care s-a dezvoltat sub formă matematică, din primele decenii ale secolului nostru, a devenit o disciplină interesantă pentru inginerul constructor abia în ultimele decenii cînd, aplicată la calculul structurilor, a scos în evidență rezerve ale capacității portante a acestora și a dat posibilitatea analizei mai aprofundate a siguranței construcțiilor. Deși problema esențială, aceea a articulațiilor plastice a fost sugerată de Kazinczy încă din anul 1914, introducerea ei în preocupările cercurilor largi ingineresti coincide cu prezentarea încercărilor lui Maier-Leibniz, la al II-lea Congres al Asociației Internaționale de Poduri și Șarpante din anul 1936. Lucrările a numeroși ingineri cercetători și sintezele făcute de Prandtl, Baker, Nádai, Sokolovski, Hill, au dat posibilitatea trecerii la norme noi de calcul a construcțiilor, ținînd seama de proprietățile plastice ale materialelor.

Reologia — literal știința despre curgere — cuprinde un vast domeniu de preocupări în care, în sensul cel mai larg, include ca discipline particulare pe cele care se ocupă de deformația corpului solid, instantanee sau în decursul timpului. În înțeles restrîns, Reologia se ocupă de comportarea în timp a materialelor, a elementelor sau a unor structuri. Deși unele noțiuni fundamentale au fost stabilite din secolul trecut, interesul constructorilor pentru Reologie a apărut o dată cu extinderea pe scară mare a betonului armat, care a devenit materialul de bază în construcții. Observarea fenomenului de curgere lentă a betonului sub sarcină și a fenomenului de relaxare a eforturilor sub deformație impusă a pus probleme în special o dată cu extinderea procedurii de precomprimare pentru care este esențială menținerea tensiunii inițiale în armătura întinsă.

## 1.2. UNELE PROBLEME NOI ÎN REZISTENȚA MATERIALELOR

Din problemele noi apărute în Rezistența materialelor, în cele ce urmează sînt enunțate unele, menționîndu-se cele care fac obiectul lucrării de față.

În domeniul Teoriei elasticității aspectele fundamentale sînt rezolvate încă din secolul trecut. De asemenea sînt stabilite metodele de



rezolvare a problemelor, dându-se soluții pentru numeroase probleme în plan și în spațiu. Metodele clasice aplicate au fost completate în ultimele decenii cu noi metode, în special prin aplicarea funcțiilor de variabilă complexă și a transformării conforme cu ajutorul cărora s-au obținut soluții pentru domeniul plan care prezintă diferite goluri, rigidizări etc.

Aspecte noi au apărut o dată cu modificarea unora dintre ipotezele de bază. Astfel este Teoria elasticității corpurilor anizotrope, corpurilor care proprietățile fizico-mecanice (constantele elastice) variază în jurul unui punct în funcție de direcțiile care trec prin acel punct. O teorie asemănătoare — având în vedere analogia dintre ecuația fundamentală pentru starea plană de eforturi și ecuația fundamentală a plăcilor plane subțiri, solicitate transversal pe suprafața mediană — a fost dezvoltată pentru plăci: lucrarea de față prezintă problema plăcii ortotrope.

Prin renunțarea la ipoteza micilor deformații care conduce la relații liniare, ca și prin examinarea comportării materialelor care în domeniul elastic nu ascultă de legea lui Hooke, s-a dezvoltat Teoria elasticității neliniare cu aplicații în special în domeniul stabilității echilibrului elastic, al calculului barelor cu deformații mari și al plăcilor plane și curbe având deformațiile de ordinul grosimii plăcilor, al deformației corpurilor având tensiuni inițiale și al încovoierii și torsionii barelor solicitate și de forțe axiale.

În fine, trecând peste numeroase probleme rezolvate, printre care cele care se referă la solicitări termice, la undele de șoc etc., menționăm aici, fără a fi tratate în lucrare cele care se referă la solicitări seismice și vibrații, cu aplicații la semiplanul conținând surse de distorbații și la interacțiunea între fundațiile unei mașini care vibrează și semispațiul elastic.

Se poate aprecia că tratarea teoretică cuprinde un număr mare de probleme; dificultăți apar însă la rezolvare prin metodele obișnuite a problemelor care se întâlnesc în practica inginerescă. De aceea, numeroase preocupări sînt îndreptate în special spre găsirea metodelor de calcul apropiate problemelor și preciziei cerute de activitatea inginerescă; altele se referă la procedee experimentale de determinare a comportării construcțiilor folosind fie modele alcătuite din același material ca și construcția sau materiale asemănătoare, fie modele fotoelastice, sau modele electrice.

Dintre metodele de calcul o dezvoltare au căpătat-o metodele numerice; pînă nu de mult ele se bazează pe metodele de calcul cu diferențe finite; ele sînt tratate și în lucrarea de față. Menționăm că în ultima vreme se dezvoltă metoda elementelor finite: domeniul

studiat — un domeniu plan de regulă — este conceput ca fiind alcătuit dintr-un număr finit de elemente triunghiulare articulate între ele la colțuri. Rezolvînd ecuațiile de echilibru și de deplasări pentru vîrfurile triunghiului, se poate stabili starea de eforturi și de deformație a întregului domeniu studiat. Avantajul acestei metode constă în faptul că poate fi pusă sub formă matriceală și programată pe calculatoarele electronice.

Fotoelasticitatea, metodă prezentată în lucrarea de față, a rămas principala metodă de investigare experimentală a stării de eforturi în domeniile plane, extinsă cu ajutorul procedurii înghețării eforturilor și asupra domeniilor tridimensionale. De asemenea, menționăm că elemente alcătuite din materiale neomogene pot fi tratate cu ajutorul fotoelasticității; au fost realizate modele pentru grinzi de beton armat etc. Datorită progreselor cinematografiei, fotoelasticitatea s-a dovedit un mijloc de investigare experimentală a stării de eforturi datorite solicitărilor dinamice.

În ultima vreme, domeniul cercetării cu ajutorul luminii polarizate s-a extins și asupra comportării plastice a materialelor folosind cristale, materiale sintetice prezentînd ductilitate sau învelișuri birefringente. De asemenea, se fac studii pentru folosirea unor geluri în vederea studierii comportării reologice a materialelor sub acțiunea forțelor.

O metodă care se extinde din ce în ce mai mult este metoda moiré-urilor cu aplicații pentru studiul stării plane de eforturi, dar mai ales — și aici se pare că este greu de înlocuit — pentru studiul plăcilor plane și al unor plăci curbe.

Atît metoda fotoelasticității, cît și metoda moiré-urilor și-au sporit eficiența prin utilizarea calculatoarelor electronice cuplate la un dispozitiv fotoelectric de explorare a imaginilor.

În fine, o metodă experimentală care, deși utilizată pe o scară mai redusă decît fotoelasticitatea sau metoda moiré-urilor, s-a dovedit potrivită pentru rezolvarea unor probleme de elasticitate plană sau pentru plăci plane, este metoda analogiei electrice. Problema este tratată în lucrare; aplicarea sa presupune construcția unei rețele electrice relativ simple, care îndeplinește funcția unui calculator electric specializat în problemă.

În două capitole din lucrare se dau elementele fundamentale de Teoria plasticității și Teoria liniară a viscoelasticității. În domeniul Teoriei plasticității, prezentarea este limitată la unele probleme legate strict de rezistența barelor drepte, schițîndu-se doar modul de atacare a problemelor în domeniul stării plane de eforturi și al plăcilor. Este necesar să menționăm că, în special în ce privește plăcile plane, literatura de specialitate cuprinde numeroase lucrări cu caracter teore-

tic și tabele de proiectare stabilite pe baza liniilor de curgere (rupere); de asemenea, că un volum mare de cercetări este dedicat calculului sistemelor static nedeterminate, în special cu un grad înalt de nedeterminare, în domeniul plastic.

Din domeniul reologiei au fost prezentate problemele fundamentale. În stadiul actual, pentru inginerii constructori, în special pentru cei care se ocupă de structuri, Reologia dă puține soluții utilizabile în proiectare; totuși, numeroase concluzii cu caracter calitativ, care se desprind din studiul fenomenelor, nu pot fi neglijate. Trebuie să menționăm că în acest domeniu, în problemele specifice construcției de mașini, unde intervin fenomene asemănătoare — ne referim la fluajul și relaxarea la temperaturi ridicate — s-a ajuns la soluții aplicabile în practică în numeroase probleme. De sigur, specificul exploatarea construcțiilor este diferit de cel al mașinilor sau instalațiilor; este însă de așteptat ca aplicarea cunoștințelor de reologie să poată duce și la concluzii cantitative cu privire la comportarea și la proiectarea sistemelor constructive.

În privința coeficientului de siguranță și în general al siguranței construcțiilor, concepțiile clasice sînt de asemenea în curs de evoluare. Într-adevăr, se constatare de mult timp că ansambluri de elemente solicitate mult peste limita admisibilă sau chiar de rupere a unora dintre elemente se comportau încă bine, în limita unor deformații care nu scoteau însă construcția din folosință, ceea ce a condus la formarea convingerii că în conformitate cu procedeele de calcul clasic admise, măsura siguranței ansamblului — care este în ultima instanță ceea ce interesează — nu este legată direct de măsura siguranței elementelor componente. Fenomenele observate nu puteau fi puse decît în legătură cu o redistribuire a eforturilor, deci cu o imagine a comportării care nu era cea reală. Se vede de aici că stabilirea comportării reale a materialelor, deci considerarea proprietăților elasto-plastice a lor, a impulsionează și revizuirea conceptului de coeficient de siguranță. Ca urmare, fenomene aleatorii, cum sînt caracteristicile fizico-mecanice ale materialelor și mărimile încărcărilor, au introdus noțiunile de frecvență și de probabilitate în mecanica construcțiilor.

În lucrare se dau cîteva noțiuni elementare de bază pentru a putea expune concepția probabilistă asupra caracteristicilor fizico-mecanice ale materialelor și asupra încărcărilor accidentale, zăpada și vîntul. Pentru prima categorie, discuția s-a purtat numai pe distribuția lui Gauss, unanim adoptată în toate ramurile industriei și prescrisă și de standardele de stat. În ceea ce privește distribuțiile unor fenomene cum sînt vîntul și zăpada, ele sînt dictate de observații îndelungate și nu pot fi obținute prin nici un alt mijloc. În același capitol al lucrării se arată ce interes deosebit prezintă concepția statistică în

privința siguranței unei construcții, prin aceea că indică și unele căi de realizare a acestei siguranțe sporite. Într-adevăr, noua teorie arată clar că menținerea unei uniformități în realizarea unui produs cu anumite caracteristici (de exemplu realizarea unei mărci de beton) este mult mai economică (printr-o siguranță sporită), decît tendința de a spori calitativ caracteristicile acelui produs.

#### BIBLIOGRAFIE

1. Goodier, J. N. și Hodge, P. G. jr. *Elasticity and Plasticity*. London, J. Wiley, 1958.
2. Iliușin, A. A. *Voprosi teorii plasticnosti*. Moskva, Izdatelstvo Akademii Nauk S.S.S.R., 1961.
3. L'Hermite, R. *L'expérience et les théories modernes en Résistance des Matériaux*. Ed. II, Paris, Dunod, 1945.
4. Timoshenko, S. *History of Strength of Materials*. New York, Mc. Graw-Hill, 1953.

## STAREA DE EFORTURI ȘI DE DEFORMAȚIE

### 2.1. STAREA DE EFORTURI OMOGENĂ

Într-un element de construcție în echilibru sub acțiunea forțelor exterioare (dar tot atât de bine sub acțiunea diferențelor de temperatură, sau a unor deformații impuse), iau naștere eforturi. În cazul cel mai general starea de eforturi este tridimensională. Dacă printr-un punct  $O$  (fig. 2.1) se fac succesiv diferite secțiuni, pe fiecare secțiune în acest punct va acționa un efort unitar diferind de regulă atât ca intensitate, cât și ca direcție de la o secțiune la alta. Pentru a defini starea de eforturi într-un sistem de referință cartezian  $Oxyz$ , se consideră o particulă materială de forma unui paralelipiped cu laturile infinit mici  $dx$ ,  $dy$ ,  $dz$  cu un vîrf în punctul  $O$ ; la limită, cînd  $dx$ ,  $dy$  și  $dz$  devin nule, particula se reduce la punctul  $O$ .

Pe fețele paralelipipedului vor acționa forțe; acestea pot fi definite în funcție de eforturile unitare de pe fețe, presupuse constante în aceste domenii infinit mici; eforturile unitare de pe fețe pot fi descompuse după direcțiile axelor sistemului de referință adoptat. Din cauza dimensiunilor infinitezimale ale fețelor se consideră că

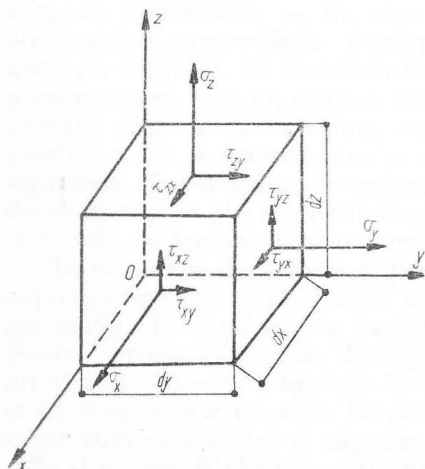


Fig. 2.1

eforturile unitare acționează în punctul  $O$  pe secțiunile paralele cu fețele paralelipipedului.

Ca sistem de notație: componentele normale  $\sigma$  sînt afectate de un singur indice: cel al axei normale la suprafața pe care acționează; componentele tangențiale sînt afectate de doi indici: primul indice este al axei normale pe față (același indice ca și al efortului unitar normal cu care este asociat), iar al doilea indice este dat de axa cu care efortul unitar tangențial este paralel. Componentele de pe fețele văzute ale paralelipipedului sînt considerate pozitive dacă au același sens cu axele sistemului de referință. Componentele eforturilor unitare vor fi deci:

pe față perpendiculară pe axa  $Ox$ :  $\sigma_x, \tau_{xy}, \tau_{xz}$   
 pe față perpendiculară pe axa  $Oy$ :  $\sigma_y, \tau_{yz}, \tau_{yx}$   
 pe față perpendiculară pe axa  $Oz$ :  $\sigma_z, \tau_{zx}, \tau_{zy}$ .

Cele 9 componente pot fi aranjate într-un tabel:

$$S = \begin{Bmatrix} \sigma_x & \tau_{xy} & \tau_{xz} \\ \tau_{yx} & \sigma_y & \tau_{yz} \\ \tau_{zx} & \tau_{zy} & \sigma_z \end{Bmatrix}. \quad (2.1)$$

Dacă aceste componente își păstrează mărimea în orice punct, starea de eforturi este denumită *omogenă*.

În acest tabel numai 6 componente sînt distincte; din condițiile de echilibru (ecuațiile de moment) rezultă *dualitatea eforturilor tangențiale* (v. § 2.6):

$$\tau_{xy} = \tau_{yx}; \tau_{yz} = \tau_{zy}; \tau_{zx} = \tau_{xz}.$$

Cele 6 componente distincte sînt suficiente pentru a putea determina efortul unitar care acționează în punctul  $O$  pe o secțiune oarecare.

Considerăm (fig. 2.2) un tetraedru realizat prin intersecția paralelipipedului elementar cu un plan înclinat a cărui normală exterioară  $v$  are față de cele 3 axe de coordonate cosinusurile directoare:

$$l = \cos(v, x); m = \cos(v, y); n = \cos(v, z).$$

Dacă aria feței înclinate este considerată egală cu unitatea, atunci fețele conținute în planele  $yOz$ ,  $zOx$  și  $xOy$  vor avea arii egale cu cosinusurile directoare. Notînd cu  $s$  efortul unitar pe fața înclinate, iar cu  $s_x$ ,  $s_y$  și  $s_z$  componentele sale paralele cu axele, se pot scrie următoarele ecuații de echilibru:

$$\begin{aligned} s_x &= \sigma_x l + \tau_{yx} m + \tau_{zx} n \\ s_y &= \tau_{xy} l + \sigma_y m + \tau_{zy} n \\ s_z &= \tau_{xz} l + \tau_{yz} m + \sigma_z n. \end{aligned} \quad (2.2)$$



Proiectând componentele  $s_x, s_y, s_z$  pe normală se obține componenta normală  $\sigma$  a efortului unitar  $s$ :

$$\sigma = s_x l + s_y m + s_z n \quad (2.3)$$

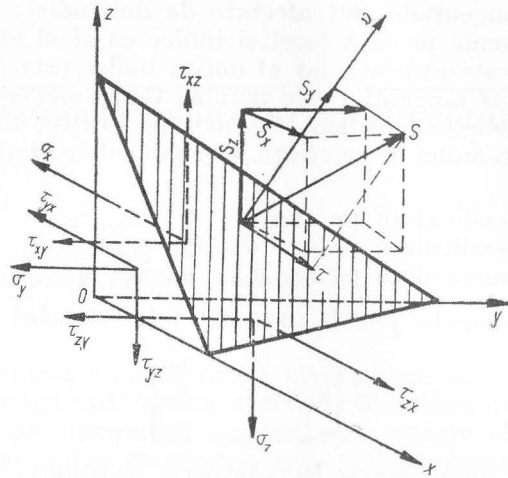


Fig. 2.2

iar prin scădere geometrică se obține componenta tangențială  $\tau$ :

$$\tau^2 = s^2 - \sigma^2$$

sau analitic:

$$\tau^2 = s^2 - \sigma^2 = s_x^2 + s_y^2 + s_z^2 - \sigma^2. \quad (2.4)$$

Înlocuind în expresia  $\sigma$  valorile componentelor efortului unitar  $s$  și ordonând se obține:

$$\sigma = \sigma_x l^2 + \sigma_y m^2 + \sigma_z n^2 + 2\tau_{xy} lm + 2\tau_{yz} mn + 2\tau_{zx} nl^*. \quad (2.5)$$

## 2.2. EFORTURI UNITARE PRINCIPALE. EFORTURILE UNITARE OCTAEDRICE

În cazul că fața înclinată a fost astfel aleasă încît efortul unitar  $s$  să se reducă la componenta normală  $\sigma$ , componentele  $s_x, s_y, s_z$  devin  $\sigma l, \sigma m, \sigma n$ ; introducînd aceste valori în expresiile (2.2) se obține

\* Determinarea componentelor normală și tangențială ale efortului unitar pe o fața înclinată urmează regulile de transformare ale tensorilor. Efortul unitar într-un punct este deci o mărime tensorială sau un *tensor*. Cele 9 componente sînt componentele tensorului în sistemul de referință ales; tensorul este simetric deoarece  $\tau_{xy} = \tau_{yx}$ ;  $\tau_{yz} = \tau_{zy}$ ;  $\tau_{zx} = \tau_{xz}$ .

un sistem omogen de trei ecuații liniare în  $l, m$  și  $n$  al cărui determinant trebuie să se anuleze pentru a se obține soluții diferite de zero, deci:

$$D = \begin{vmatrix} \sigma_x - \sigma & \tau_{yx} & \tau_{zx} \\ \tau_{xy} & \sigma_y - \sigma & \tau_{zy} \\ \tau_{xz} & \tau_{yz} & \sigma_z - \sigma \end{vmatrix} = 0. \quad (2.6)$$

$D = 0$  reprezintă relația de condiție între cele șase componente de pe fețele normale ale tetraedrului și efortul unitar  $\sigma$  de pe fața înclinată, pentru a avea pe această fața  $\tau = 0$ .

Prin dezvoltarea acestui determinant se obține o ecuație de gradul 3 în  $\sigma$  avînd 3 rădăcini reale  $\sigma_1, \sigma_2$  și  $\sigma_3$ , care sînt *eforturile unitare principale*. Ecuația poate fi scrisă și sub forma:

$$\sigma^3 - I_1 \sigma^2 + I_2 \sigma - I_3 = 0. \quad (2.7)$$

Coefficienții  $I_1, I_2$  și  $I_3$  se exprimă în funcție de componentele eforturilor unitare pe fețele paralelipipedului elementar construit pe axele sistemului de referință, ales arbitrar. Cum eforturile unitare principale — rădăcinile ecuației — nu depind de sistemul de referință ales, nici coeficienții  $I_1, I_2, I_3$  nu pot depinde de el; în consecință ei sînt invariante; calculînd determinantul (2.6) și ordonîndu-l după puterile lui  $\sigma$  rezultă pentru acești invariante expresiile:

$$I_1 = \sigma_x + \sigma_y + \sigma_z; \quad I_2 = \sigma_x \sigma_y + \sigma_y \sigma_z + \sigma_z \sigma_x - (\tau_{xy}^2 + \tau_{yz}^2 + \tau_{zx}^2) \quad (2.8)$$

$$I_3 = \begin{vmatrix} \sigma_x & \tau_{yx} & \tau_{zx} \\ \tau_{xy} & \sigma_y & \tau_{zy} \\ \tau_{xz} & \tau_{yz} & \sigma_z \end{vmatrix}.$$

Direcțiile după care acționează eforturile unitare principale  $\sigma_1, \sigma_2, \sigma_3$ , denumite *direcțiile principale* formează un triedru rectangular. Ca regulă, cu  $\sigma_1$  se notează efortul unitar normal maxim, iar cu  $\sigma_3$  efortul unitar normal minim.

Dacă prin punctul  $O$  (fig. 2.2) se alege un paralelipiped cu laturile orientate după direcțiile eforturilor unitare principale, componentele efortului unitar  $s$  pe o fața înclinată, avînd cosinusurile directoare ale normalei  $l, m, n$ , se pot calcula aplicînd formulele (2.5) și (2.2) în care

$$\sigma_x = \sigma_1, \sigma_y = \sigma_2, \sigma_z = \sigma_3 \text{ și } \tau_{xy} = \tau_{yz} = \tau_{zx} = 0$$

$$\sigma = \sigma_1 l^2 + \sigma_2 m^2 + \sigma_3 n^2$$

$$\tau^2 = s^2 - \sigma^2 = s_x^2 + s_y^2 + s_z^2 - \sigma^2$$

sau

$$\tau^2 = (\sigma_1 - \sigma_2)^2 l^2 m^2 + (\sigma_2 - \sigma_3)^2 m^2 n^2 + (\sigma_3 - \sigma_1)^2 n^2 l^2. \quad (2.9)$$

Componentele efortului unitar  $s$  după direcțiile principale sînt conform formulei (2.2)

$$s_x = \sigma_1 l; \quad s_y = \sigma_2 m; \quad s_z = \sigma_3 n.$$

Calculînd cosinusurile directoare din aceste expresii și introducîndu-le în relația

$$l^2 + m^2 + n^2 = 1$$

se obține ecuația elipsoidului eforturilor unitare, denumit și elipsoidul lui Lamé

$$\frac{s_x^2}{\sigma_1^2} + \frac{s_y^2}{\sigma_2^2} + \frac{s_z^2}{\sigma_3^2} = 1 \quad (2.10)$$

care reprezintă locul geometric al extremității efortului unitar  $s$  considerat ca vector cînd normala la fața pe care acționează ia toate orientările posibile în spațiu în jurul punctului  $O$  (fig. 2.3).

Pentru o față paralelă cu una din direcțiile principale unul din cosinusurile directoare este nul. Astfel, pe o față perpendiculară pe planul  $xOy$ , paralelă cu axa  $Oz$ ,  $n = 0$ ; efortul unitar tangențial va fi [conform relației (2.9)].

$$\tau = (\sigma_1 - \sigma_2)lm \text{ sau } \tau = \frac{\sigma_1 - \sigma_2}{2} \sin 2\alpha$$

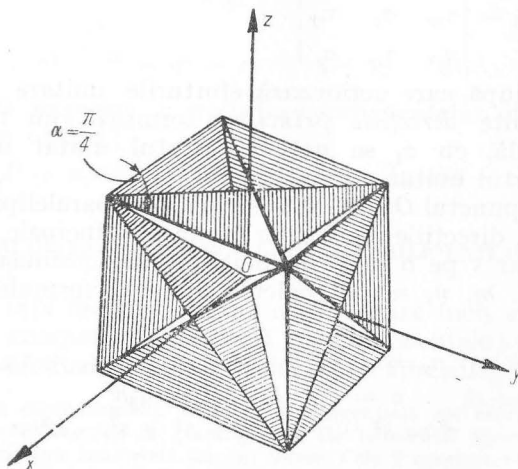


Fig. 2.4

în care  $\alpha$  este unghiul făcut de fața înclinată cu planul  $xOz$  (fig. 2.4\*). Pentru  $\alpha = \frac{\pi}{4}$ ,  $\tau$  are valoarea maximă:

$$\tau_{max} = \tau_3 = \frac{\sigma_1 - \sigma_2}{2}. \quad (2.11a)$$

În mod asemănător se obțin:

$$\tau_1 = \frac{\sigma_2 - \sigma_3}{2} \quad \text{și} \quad \tau_2 = \frac{\sigma_3 - \sigma_1}{2}. \quad (2.11b)$$

Se vede că  $\tau_1 + \tau_2 + \tau_3 = 0$ .

Cele trei eforturi unitare tangențiale  $\tau_3$ ,  $\tau_1$  și  $\tau_2$  sînt denumite eforturi unitare tangențiale principale; ele sînt cuprinse în plane care formează un dodecaedru rhombic, iar direcțiile lor formează muchiile unui octaedru regulat (fig. 2.5).

În funcție de eforturile unitare tangențiale principale, folosind relația (2.9) efortul unitar tangențial pe o față oarecare are valoarea:

$$\tau^2 = 4(\tau_3^2 l^2 m^2 + \tau_1^2 m^2 n^2 + \tau_2^2 n^2 l^2).$$

Dintre eforturile pe planele înclinate o importanță teoretică legată de proprietățile plastice ale materialelor o au eforturile unitare octaedrice, adică acelea care acționează pe planele egal înclinate față de axele principale. În acest caz, cosinusurile directoare sînt egale

$$l = m = n = \frac{1}{\sqrt{3}} = 0,577$$

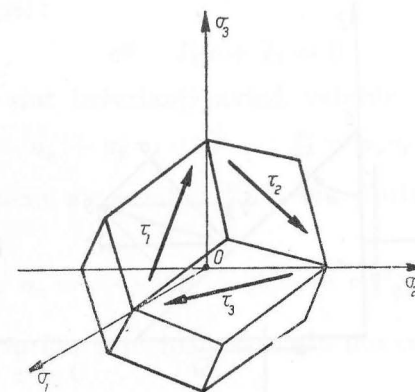


Fig. 2.5

\* După Filonenko-Borodici.

și introducând valorile lor în (2.9) se obține:

$$\sigma_{oct} = \frac{\sigma_1 + \sigma_2 + \sigma_3}{3}; \quad (2.12)$$

$$\tau_{oct} = \frac{1}{3} \sqrt{(\sigma_1 - \sigma_2)^2 + (\sigma_2 - \sigma_3)^2 + (\sigma_3 - \sigma_1)^2} = \frac{2}{3} \sqrt{\tau_1^2 + \tau_2^2 + \tau_3^2}.$$

În cazul în care eforturile unitare principale nu sînt cunoscute, componentele efortului unitar octaedric pot fi exprimate în funcție de componentele (2.1)

$$\sigma_{oct} = \frac{\sigma_x + \sigma_y + \sigma_z}{3};$$

$$\tau_{oct} = \frac{1}{3} \sqrt{(\sigma_x - \sigma_y)^2 + (\sigma_y - \sigma_z)^2 + (\sigma_z - \sigma_x)^2 + 6(\tau_{xy}^2 + \tau_{yz}^2 + \tau_{zx}^2)}. \quad (2.13)$$

### 2.3. STAREA PLANĂ DE EFORTURI. CERCUL EFORTURILOR UNITARE CERCUL LUI MOHR

Starea plană de eforturi este un caz particular, caracterizat prin absența eforturilor pe fețele perpendiculare pe una din axe. Avînd în vedere libertatea în alegerea axelor de coordonate această axă se notează de regulă  $Oz$ . În acest caz  $\sigma_z = \tau_{zx} = \tau_{zy} = 0$  iar tensorul efortului unitar are drept componente  $\sigma_x$ ,  $\sigma_y$  și  $\tau_{xy} = \tau_{yx}$ .

În paralelipipedul cu vîrfurile  $O$  facem o secțiune cu un plan trecînd prin axa  $Oz$  (normal pe planul fig. 2.6 a cărei normală face cu axa

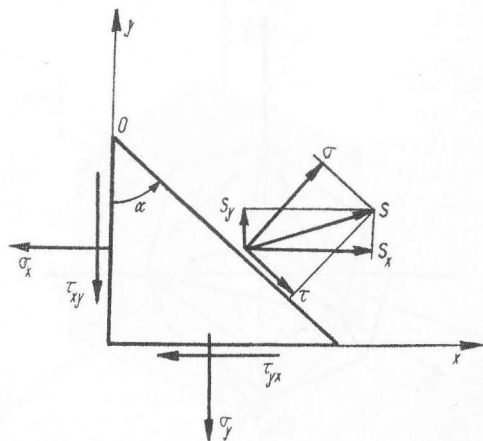


Fig. 2.6

$Ox$  unghiul  $\alpha$  (sensul pozitiv fiind cel trigonometric). Efortul unitar pe această față are drept componente  $\sigma$  și  $\tau$ ; componenta normală se obține din expresia (2.5) în care cosinusurile directe au valorile  $l = \cos \alpha$  și  $m = \sin \alpha$

$$\begin{aligned} \sigma &= \sigma_x l^2 + \sigma_y m^2 + 2\tau_{xy} lm = \\ &= \sigma_x \cos^2 \alpha + \sigma_y \sin^2 \alpha + 2\tau_{xy} \sin \alpha \cos \alpha = \\ &= \frac{\sigma_x + \sigma_y}{2} + \frac{\sigma_x - \sigma_y}{2} \cos 2\alpha + \tau_{xy} \sin 2\alpha. \end{aligned} \quad (2.14)$$

Valoarea componentei tangențiale  $\tau$  se obține cu ușurință proiectînd componentele  $s_x$  și  $s_y$

$$\begin{aligned} \tau &= s_x m - s_y l = \\ &= (\sigma_x - \sigma_y) lm + \tau_{xy}(m^2 - l^2) = \\ &= (\sigma_x - \sigma_y) \sin \alpha \cos \alpha + \tau_{xy}(\sin^2 \alpha - \cos^2 \alpha) = \\ &= \frac{\sigma_x - \sigma_y}{2} \sin 2\alpha - \tau_{xy} \cos 2\alpha. \end{aligned} \quad (2.15)$$

Determinarea eforturilor unitare principale se face anulînd determinantul (2.6) care în cazul stării plane ia forma:

$$D' = \begin{vmatrix} \sigma_x - \sigma & \tau_{xy} \\ \tau_{xy} & \sigma_y - \sigma \end{vmatrix} = 0 \quad (2.16)$$

echivalentă ecuației:

$$\sigma^2 - I_1' \sigma + I_2' = 0 \quad (2.17)$$

în care  $I_1'$  și  $I_2'$  sînt invarianți avînd valorile:

$$I_1' = \sigma_x + \sigma_y \quad \text{și} \quad I_2' = \sigma_x \sigma_y - \tau_{xy}^2.$$

Cele două rădăcini ale ecuației (2.17) sînt eforturile unitare normale principale:

$$\sigma_1, \sigma_2 = \frac{\sigma_x + \sigma_y}{2} \pm \frac{1}{2} \sqrt{(\sigma_x - \sigma_y)^2 + 4\tau_{xy}^2}. \quad (2.18)$$

Direcțiile eforturilor principale se obțin din condiția (2.15) în care ținînd seama că  $\tau = 0$

$$\operatorname{tg} 2\alpha_1 = \frac{2\tau_{xy}}{\sigma_x - \sigma_y}. \quad (2.19)$$



Eforturile principale  $\sigma_1$  și  $\sigma_2$  sînt valorile maximă respectiv minimă ale componentei normale, ceea ce se demonstrează anulînd derivata expresiei (2.14) în raport cu  $\alpha$ .

Eforturile unitare tangențiale principale acționează pe fețe înclinate cu  $\frac{\pi}{4}$  față de direcțiile eforturilor unitare normale principale. Anulînd derivata expresiei (2.15) se obține:

$$\operatorname{tg} 2\alpha_2 = -\frac{\sigma_x - \sigma_y}{2\tau_{xy}} \quad (2.20)$$

Se vede că  $(\operatorname{tg} 2\alpha_1)(\operatorname{tg} 2\alpha_2) = -1$  deci direcțiile  $2\alpha_1$  diferă de  $2\alpha_2$  cu un unghi drept; înseamnă că direcțiile eforturilor unitare normale principale diferă cu  $\frac{\pi}{4}$  de cele ale eforturilor tangențiale principale (fig. 2.7).

Ele au valoarea:

$$\tau_{max}, \tau_{min} = \pm \frac{1}{2} \sqrt{(\sigma_x - \sigma_y)^2 + 4\tau_{xy}^2} = \frac{\sigma_1 - \sigma_2}{2} \quad (2.21)$$

Variația eforturilor unitare cînd unghiul  $\alpha$  variază continuu poate fi reprezentată cu ajutorul cercului eforturilor unitare, al cercului lui Mohr. Efortului unitar care acționează în punctul  $O$  pe o față oarecare, i se asociază într-un sistem de referință  $\sigma, \tau$  un punct avînd abscisa

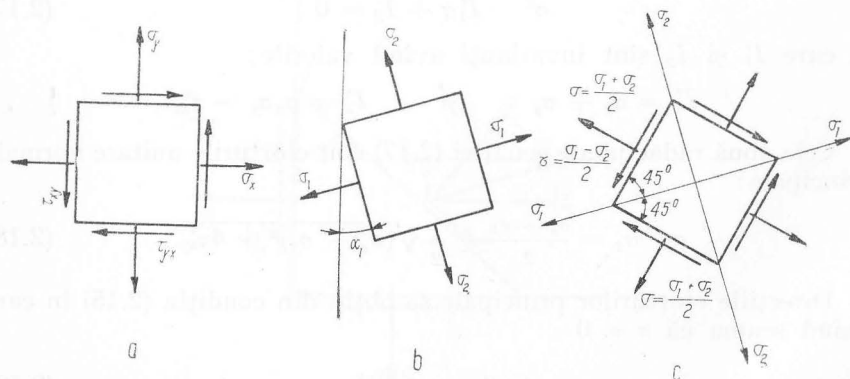


Fig. 2.7

egală cu valoarea componentei normale, iar ordonata cu cea a componente tangențiale (fig. 2.8). Convenția de semne:  $\sigma$  este pozitiv cînd produce întindere și negativ cînd produce compresiune;  $\tau$  este

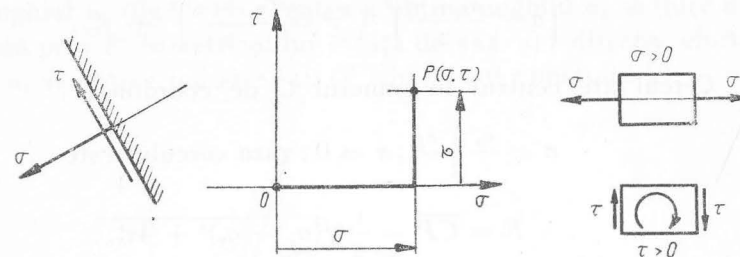


Fig. 2.8

pozitiv cînd împreună cu perechea lui de pe fața opusă produce un cuplu care se rotește în sens orar.

Cu această convenție eforturile unitare acționînd fețele unui paralelipiped se reprezintă prin două puncte: punctul  $P$  reprezintă efortul unitar de pe fața paralelă cu axa  $Oy$ , iar punctul  $Q$  cel de pe fața paralelă cu axa  $Ox$  (fig. 2.9).

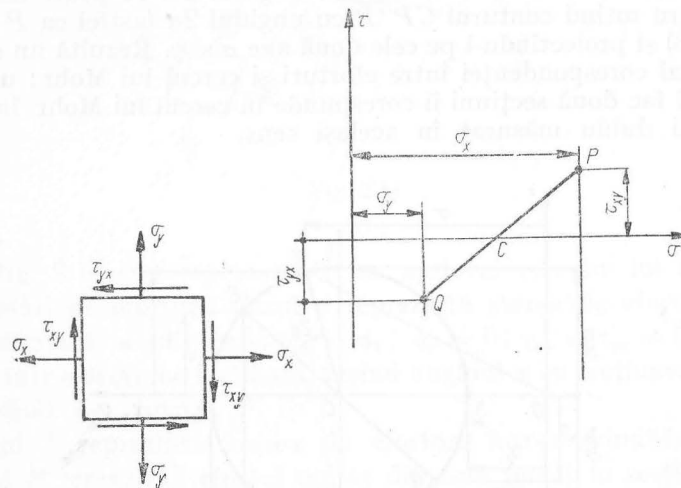


Fig. 2.9

\* Această convenție modifică convenția de semne făcută inițial: cu această convenție în expresiile (2.14), (2.15), (2.19) și (2.20) semnul termenilor cuprinzînd  $\tau_{xy}$  se schimbă: o păstrăm numai în construcția cercului lui Mohr.

Locul geometric al punctelor reprezentând stările de eforturi care se obțin variind continuu unghiul  $\alpha$  este un cerc a cărui ecuație se obține eliminând unghiul  $\alpha$  între cele două expresii.

$$\left(\sigma - \frac{\sigma_x + \sigma_y}{2}\right)^2 + \tau^2 = \left(\frac{\sigma_x - \sigma_y}{2}\right)^2 + \tau_{xy}^2. \quad (2.22)$$

Cercul are centrul în punctul  $C$  de coordonate:

$$\sigma = \frac{\sigma_x + \sigma_y}{2}; \tau = 0; \text{ raza cercului este}$$

$$R = \overline{CP} = \frac{1}{2} \sqrt{(\sigma_x - \sigma_y)^2 + 4\tau_{xy}^2}.$$

Eforturile unitare principale sînt reprezentate: cele normale  $\sigma_1$  și  $\sigma_2$  prin punctele  $S_1$  și  $S_2$  ( $\tau = 0$ ) cele tangențiale  $\tau_{max}$  și  $\tau_{min}$  prin punctele  $T_1$  și  $T_2$  ( $\sigma = \frac{\sigma_1 + \sigma_2}{2}$ ) (fig. 2.10).

Efortul unitar pe fața înclinată cu unghiul  $\alpha$  este reprezentat de punctul  $S care se determină parcurgînd din  $P$  în sens trigonometric arcul  $PS$  care se vede din centru sub unghiul  $2\alpha$ . Se poate demonstra acest lucru rotind conturul  $CP''P$  cu unghiul  $2\alpha$  (astfel ca  $P$  să coincidă cu  $S$ ) și proiectîndu-l pe cele două axe  $\sigma$  și  $\tau$ . Rezultă un al doilea element al corespondenței între eforturi și cercul lui Mohr: unghiul pe care îl fac două secțiuni îi corespunde în cercul lui Mohr, la centru, un unghi dublu măsurat în același sens.$

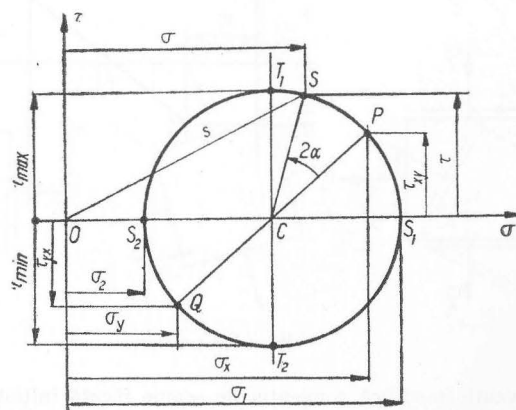


Fig. 2.10

Această observație dă posibilitatea determinării și a direcțiilor eforturilor unitare principale: de la punctul  $P$  se ajunge la  $S_1$  parcurgînd în sens orar unghiul  $2\alpha_1$ . (Între direcțiile eforturilor  $\sigma_x$  și  $\sigma_1$  este tot unghiul  $\alpha_1$  (fig. 2.11). Pentru a obține unghiul  $\alpha_1$  se duce din  $S_2$  o dreaptă prin  $P'$  (simetricul lui  $P$  față de axa  $\sigma$ ); direcția efortului unitar  $\sigma_2$  se obține unind  $S_2$  cu  $Q'$  (simetricul punctului  $Q$ ).

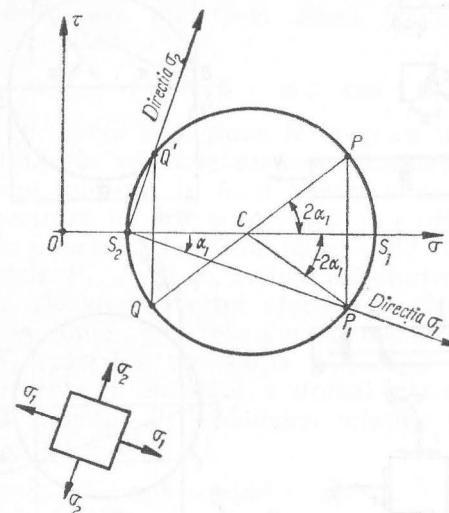


Fig. 2.11

În fig. 2.12 sînt reprezentate, cu ajutorul cercului lui Mohr mai multe stări de eforturi. Cazul  $a$  reprezintă starea de eforturi într-o bară solicitată la întindere:  $\sigma_x = \sigma_1$ ;  $\sigma_y = 0$ ;  $\tau_{xy} = \tau_{yx} = 0$ . Efortul unitar într-o secțiune înclinată, făcînd unghiul  $\alpha$  cu secțiunea normală este definit de punctul  $P$ .

Cazul  $b$  reprezintă starea de eforturi într-o grindă încovoiată. Punctul  $P$  reprezintă efortul unitar dintr-un punct în secțiunea normală ( $\sigma_x, \tau_{xy}$ ) iar punctul  $Q$  efortul unitar de pe fața perpendiculară în același punct ( $\sigma_y = 0$ ;  $\tau_{yx} = -\tau_{xy}$ ).

Cazul  $c$  reprezintă starea de forfecare pură ( $\sigma_x = \sigma_y = 0$ ;  $\tau_{xy} \neq 0$ ). Eforturile principale sînt egale ca valoare dar de semne contrare

$\sigma_1 = -\sigma_2 = \tau_{xy}$ . Starea de forfecare pură asupra unui element prismatic, poate fi deci realizată prin întindere și compresiune egale pe două direcții perpendiculare.

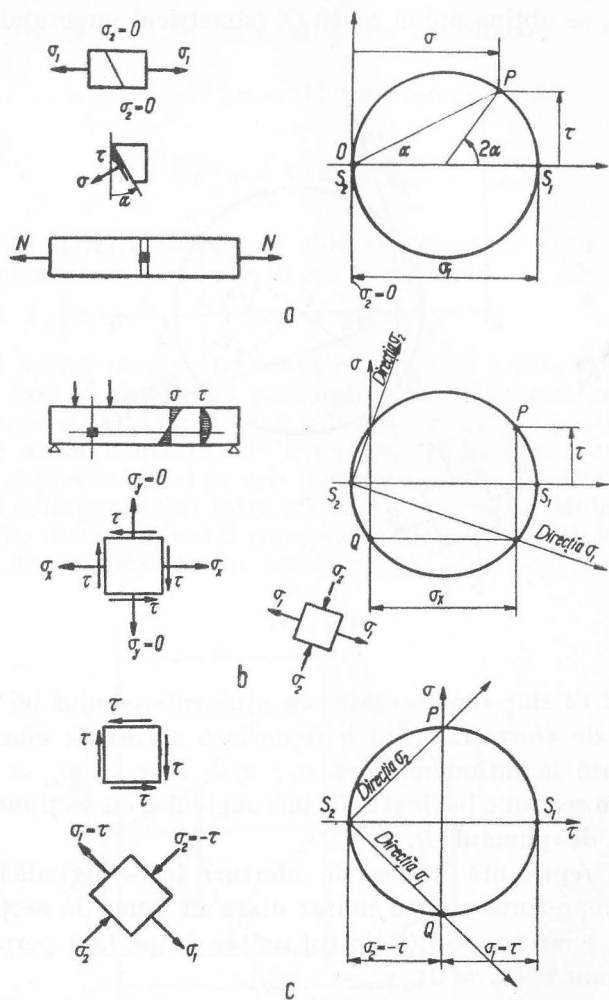


Fig. 2.12

#### 2.4. CERCUL LUI MOHR ÎN CAZUL STĂRII SPAȚIALE DE EFORTURI

Revenind la problema tratată în § 2.1, presupunem cunoscute direcțiile și mărimile eforturilor unitare normale principale  $\sigma_1$ ,  $\sigma_2$  și  $\sigma_3$  în punctul  $O$  (fig. 2.13, a). Pentru a defini o secțiune înclinată în punctul  $O$  construim în jurul acestui punct o sferă de rază foarte mică pe care o considerăm egală cu unitatea. Poziția unui punct  $P$  pe această sferă este definită de coordonatele sale egale în valoare cu cosinusurile directe ale razei sferei (care coincide evident cu normala) în punctul  $P$ .

$$\cos \alpha = l; \cos \beta = m; \cos \gamma = n.$$

Prin punctul  $P$  facem o secțiune în corp cu un plan tangent la sferă. Efortul unitar în secțiune are componentele  $\sigma$  după direcția razei și  $\tau$  în planul tangent. În felul acesta, unui punct de pe sferă îi corespunde o secțiune pe care acționează un efort unitar care poate fi reprezentat prin punctul  $S$  în planul lui  $\sigma, \tau$  (fig. 2.13, b). Pe planele tangente în punctele  $P_1, P_2$  și  $P_3$  acționează eforturile unitare principale  $\sigma_1, \sigma_2$  și  $\sigma_3$ . Deoarece acestor eforturi le sînt asociate eforturi unitare tangențiale nule, punctele corespunzătoare în planul  $\sigma, \tau$  vor fi  $S_1, S_2, S_3$  (păstrînd convenția  $\sigma_1 > \sigma_2 > \sigma_3$ ).

Pentru a reprezenta în planul  $\sigma, \tau$  efortul într-o secțiune oarecare (planul tangent în punctul  $P$ ) se folosesc relațiile (2.9) și relația din trigonometrie  $l^2 + m^2 + n^2 = 1$ :

$$\sigma = \sigma_1 l^2 + \sigma_2 m^2 + \sigma_3 n^2$$

$$\tau^2 = \sigma_1^2 l^2 + \sigma_2^2 m^2 + \sigma_3^2 n^2 - \sigma^2.$$

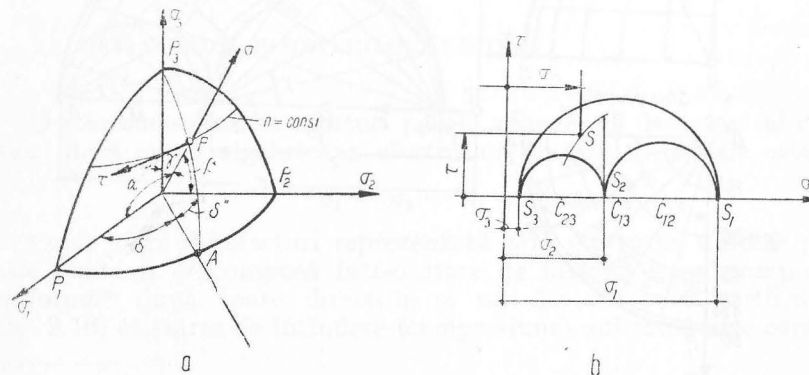


Fig. 2.13



Rezolvând aceste ecuații în funcție de cosinusurile directoare  $l$ ,  $m$ ,  $n$ , se obține:

$$l^2 = \frac{(\sigma_2 - \sigma)(\sigma_3 - \sigma) + \tau^2}{(\sigma_2 - \sigma_1)(\sigma_3 - \sigma_1)}; \quad m^2 = \frac{(\sigma_3 - \sigma)(\sigma_1 - \sigma) + \tau^2}{(\sigma_3 - \sigma_2)(\sigma_1 - \sigma_2)} \quad (2.23)$$

$$n^2 = \frac{(\sigma_1 - \sigma)(\sigma_2 - \sigma) + \tau^2}{(\sigma_1 - \sigma_3)(\sigma_2 - \sigma_3)}.$$

Punctele pentru care unul din cosinusurile directoare este constant, se găsesc pe un cerc; pentru  $n = \cos \gamma = \text{const.}$  punctele se găsesc pe un cerc paralel al sferei cu polul în  $P_3$ . În acest caz ultima din expresiile (2.23) devine:

$$(\sigma_1 - \sigma)(\sigma_2 - \sigma) + \tau^2 = n^2(\sigma_1 - \sigma_3)(\sigma_2 - \sigma_3) = \text{const.}$$

Aceasta este ecuația unui cerc care mai poate fi scrisă sub forma:

$$\left(\sigma - \frac{\sigma_1 + \sigma_2}{2}\right)^2 + \tau^2 = n^2(\sigma_1 - \sigma_3)(\sigma_2 - \sigma_3) + \left(\frac{\sigma_1 - \sigma_2}{2}\right)^2.$$

Cercul are centrul în punctul  $C_{12}$  de abscisă  $\frac{\sigma_1 + \sigma_2}{2}$ ; pentru orice alte valori ale lui  $n$  se obțin cercuri concentrice (v. fig. 2.13, b).

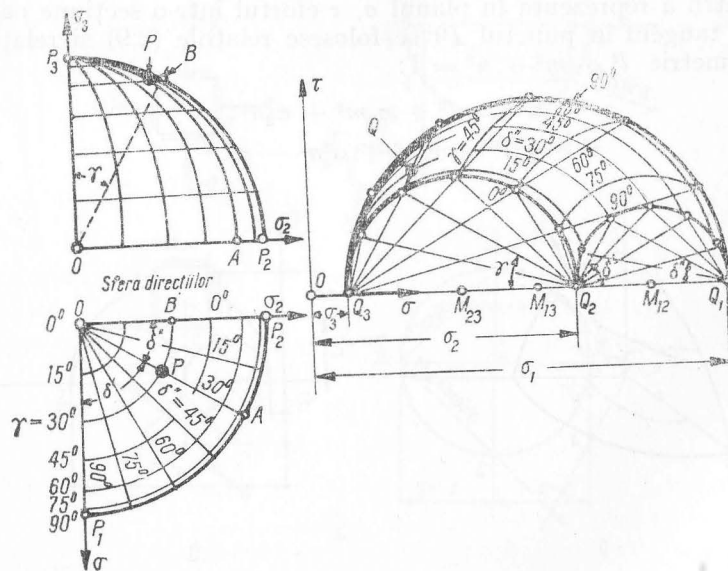


Fig. 2.14

Pentru  $n = 0$ , deci pentru punctele situate în planul  $OP_1P_2$ , se obține ecuația cercului lui Mohr pentru starea plană de eforturi

$$\left(\sigma - \frac{\sigma_1 + \sigma_2}{2}\right)^2 + \tau^2 = \left(\frac{\sigma_1 - \sigma_2}{2}\right)^2.$$

Punctele situate pe un cerc meridian trecând prin polul  $P_3$  (v. fig. 2.13, a) ( $\delta'$  și  $\delta''$  constante) au un raport constant între cosinusurile directoare  $l$  și  $m$ ; scriind  $(l/m)^2 = \text{const.}$ , prin împărțirea primelor două relații (2.23) se obține ecuația unui cerc care are centrul pe axa  $\sigma$ . Este evident că acest cerc trebuie să treacă prin punctul  $S_3$  (corespunzând polului  $P_3$ ) și să întâlnească cercul  $(\sigma_1, \sigma_2)$  în punctul care corespunde stării de eforturi din punctul  $A$  de pe sferă. Pe această bază construcția este dată în fig. 2.14.

Punctului  $P$  îi corespunde efortul unitar reprezentat de  $S$ . Componenta  $\sigma$  este determinată ca intensitate și ca direcție, iar componenta  $\tau$  numai ca intensitate.

Efortul unitar octaedric se obține printr-o construcție simplă care se demonstrează ținând seama că abscisa centrului de greutate al unui triunghi este media aritmetică a absciselor vîrfurilor (fig. 2.15).

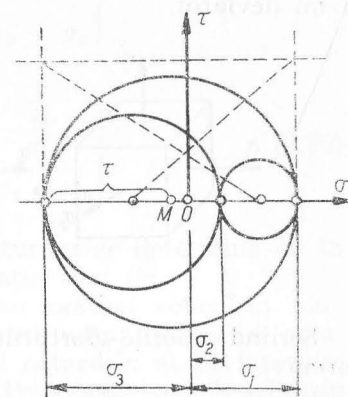


Fig. 2.15

## 2.5. DEVIATORUL EFORTURILOR UNITARE

O stare omogenă de eforturi poartă numele de deviator (al eforturilor) dacă suma algebrică a eforturilor unitare principale este nulă

$$\sigma_1 + \sigma_2 + \sigma_3 = 0. \quad (2.24)$$

Orice stare de eforturi reprezentată prin eforturile unitare principale poate fi descompusă într-o stare de întindere sau compresiune uniformă\* după toate direcțiile și un deviator; se verifică ușor (fig. 2.16) că starea de întindere (compresiune) uniformă este caracteri-

\* În literatura de specialitate se folosește și termenul de presiune hidrostatică (pozitivă sau negativă) sau de stare izotropă de eforturi.

zată printr-un efort unitar egal cu media eforturilor unitare principale :

$$\sigma_0 = \frac{\sigma_1 + \sigma_2 + \sigma_3}{3} \tag{2.25}$$

și un deviator.

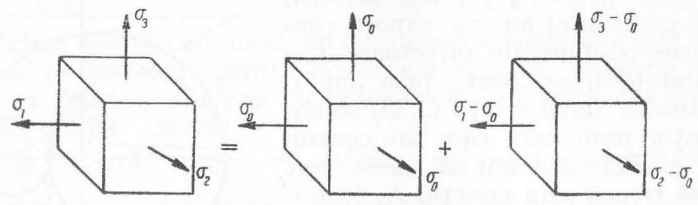


Fig- 2.16

Scriind valorile eforturilor unitare principale ale deviatorului sub forma :

$$\begin{aligned} \sigma_1 - \sigma_0 &= \frac{2\sigma_1 - \sigma_2 - \sigma_3}{3} = \frac{\sigma_1 - \sigma_2}{3} + \frac{\sigma_1 - \sigma_3}{3} ; \\ \sigma_2 - \sigma_0 &= \frac{2\sigma_2 - \sigma_3 - \sigma_1}{3} = \frac{\sigma_2 - \sigma_3}{3} + \frac{\sigma_2 - \sigma_1}{3} \\ \sigma_3 - \sigma_0 &= \frac{2\sigma_3 - \sigma_1 - \sigma_2}{3} = \frac{\sigma_3 - \sigma_1}{3} + \frac{\sigma_3 - \sigma_2}{3} \end{aligned}$$

se observă că deviatorul poate fi descompus în trei stări de întindere și compresiune egale ca valoare (pe fețe perpendiculare) care constituie stări de forfecare pură (fig. 2.17).

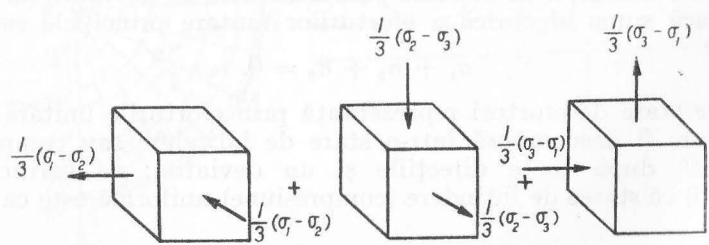


Fig. 2.17

Componentele deviatorului pot fi înscrise într-un tabel în funcție de eforturile unitare principale sau de toate componentele tensorului S:

$$D_\sigma = \begin{Bmatrix} \sigma_1 - \sigma_0 & 0 & 0 \\ 0 & \sigma_2 - \sigma_0 & 0 \\ 0 & 0 & \sigma_3 - \sigma_0 \end{Bmatrix}$$

sau

$$D_\sigma = \begin{Bmatrix} \sigma_x - \sigma_0 & \tau_{yx} & \tau_{zx} \\ \tau_{xy} & \sigma_y - \sigma_0 & \tau_{zy} \\ \tau_{xz} & \tau_{yz} & \sigma_z - \sigma_0 \end{Bmatrix} . \tag{2.26}$$

Cercul lui Mohr pentru deviatorul eforturilor se determină ca în fig. 2.18 din cercul eforturilor prin translația axei  $O\tau$ .

Deviatorul eforturilor are efortul unitar normal octaedric nul; pe fețele octaedrului acționează numai efortul unitar tangențial octaedric; valoarea efortului unitar tangențial octaedric al deviatorului este egală cu cea a stării date de eforturi. Pe această bază A.A.Iliușin a introdus deviatorul de similitudine împărțind componentele deviatorului la efortul unitar tangențial octaedric :

$$\frac{D_\sigma}{\tau_0} = \begin{Bmatrix} \frac{\sigma_1 - \sigma_0}{\tau_0} & 0 & 0 \\ 0 & \frac{\sigma_2 - \sigma_0}{\tau_0} & 0 \\ 0 & 0 & \frac{\sigma_3 - \sigma_0}{\tau_0} \end{Bmatrix} . \tag{2.27}$$

Pentru deviatorul de similitudine efortul unitar tangențial octaedric este egal cu unitatea.

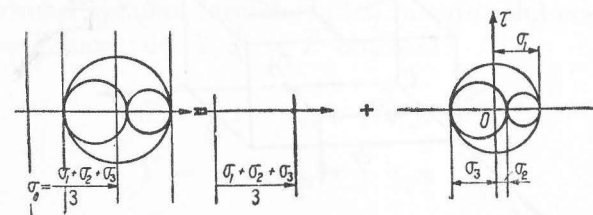


Fig. 2.18

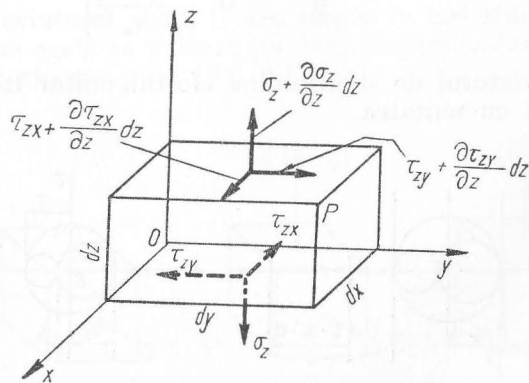
## 2.6. ECUAȚIILE DE ECHILIBRU. CONDIȚIILE PE CONTUR

În cazul unei stări neomogene de eforturi, eforturile unitare variază în interiorul corpului. Sistemul de forțe exterioare fiind considerat invariabil, eforturile unitare sînt funcții de coordonatele punctelor; pentru puncte infinit apropiate, componentele eforturilor unitare vor diferi prin cantități infinit mici. Considerăm un paralelipiped cu laturile  $dx$ ,  $dy$ ,  $dz$  (fig. 2.19); componentele eforturilor unitare pe fețele trecînd prin punctul  $O$  sînt  $\sigma_x$ ,  $\sigma_y$ ,  $\sigma_z$ ,  $\tau_{xy}$ ,  $\tau_{yz}$ ,  $\tau_{zx}$ ; valorile eforturilor unitare acționînd pe fețele opuse, trecînd prin punctul  $P$  pot fi exprimate în funcție de primele prin dezvoltare în serie Taylor păstrînd numai termenii conținînd diferențiale de ordinul întâi și neglijînd termenii cu diferențiale de ordin superior. Ca urmare, efortul unitar pe fața perpendiculară pe axa  $Ox$  va avea drept componente:

$$\sigma_x + \frac{\partial \sigma_x}{\partial x} dx; \tau_{xy} + \frac{\partial \tau_{xy}}{\partial x} dx; \tau_{xz} + \frac{\partial \tau_{xz}}{\partial x} dx.$$

Pentru celelalte fețe eforturile unitare se calculează în mod asemănător. În fig. 2.19 au fost reprezentate numai eforturile unitare de pe fețele perpendiculare pe axa  $Oz$ . Forțele care acționează paralelipipedul elementar se calculează evident înmulțind eforturile unitare cu ariile suprafețelor pe care acționează. Astfel, pe direcția  $Oz$  forțele sînt  $\sigma_z dxdy$ ;  $(\sigma_z + \frac{\partial \sigma_z}{\partial z} dz) dxdy$ ;  $\tau_{xz} dydz$ ;  $(\tau_{xz} + \frac{\partial \tau_{xz}}{\partial x} dx) dydz$ ;

$$\tau_{yz} dxdz; (\tau_{yz} + \frac{\partial \tau_{yz}}{\partial y}) dxdz.$$



Eig. 2.19

În cazul că acționează și forțe masice (greutatea proprie, forțe de inerție de exemplu) ele se consideră aplicate în centrul de greutate al paralelipipedului; mărimea lor se exprimă în funcție de componentele  $X$ ,  $Y$ ,  $Z$  ale forței acționînd unitatea de volum. Forța masică care acționează paralelipipedul are deci componentele  $X dxdydz$ ;  $Y dxdydz$ ;  $Z dxdydz$ .

Scriind cele 6 ecuații de echilibru (3 de proiecție și 3 de moment) ale forțelor care acționează paralelipipedul, după reducerea termenilor asemenea și simplificări se obțin următoarele ecuații diferențiale de echilibru:

$$\begin{aligned} \frac{\partial \sigma_x}{\partial x} + \frac{\partial \tau_{yx}}{\partial y} + \frac{\partial \tau_{zx}}{\partial z} + X &= 0 \\ \frac{\partial \sigma_y}{\partial y} + \frac{\partial \tau_{xy}}{\partial x} + \frac{\partial \tau_{zy}}{\partial z} + Y &= 0 \\ \frac{\partial \sigma_z}{\partial z} + \frac{\partial \tau_{xz}}{\partial x} + \frac{\partial \tau_{yz}}{\partial y} + Z &= 0 \end{aligned} \quad (2.28)$$

$$\tau_{xy} = \tau_{yx}; \tau_{yz} = \tau_{zy}; \tau_{zx} = \tau_{xz}.$$

În cazul stării plane de eforturi, aceste ecuații se reduc la:

$$\begin{aligned} \frac{\partial \sigma_x}{\partial x} + \frac{\partial \tau_{yx}}{\partial y} + X &= 0 \\ \frac{\partial \sigma_y}{\partial y} + \frac{\partial \tau_{xy}}{\partial x} + Y &= 0 \\ \tau_{xy} &= \tau_{yx}. \end{aligned} \quad (2.29)$$

Pe contur, eforturile unitare trebuie să fie egale cu forțele exterioare. Notînd cu  $\bar{X}$ ,  $\bar{Y}$  și  $\bar{Z}$  componentele forțelor de pe contur (ele au dimensiunile unor presiuni  $F \cdot L^{-2}$ ; aceleași dimensiuni ca și eforturile unitare), cu  $l$ ,  $m$  și  $n$  cosinusurile directoare ale normalei exterioare la contur și aplicînd formulele (2.2) în care rolul componentelor  $s_x$ ,  $s_y$  și  $s_z$  este jucat de  $\bar{X}$ ,  $\bar{Y}$  și  $\bar{Z}$  obținem:

$$\begin{aligned} \bar{X} &= \sigma_x l + \tau_{yx} m + \tau_{zx} n \\ \bar{Y} &= \tau_{xy} l + \sigma_y m + \tau_{zy} n \\ \bar{Z} &= \tau_{xz} l + \tau_{yz} m + \sigma_z n. \end{aligned} \quad (2.30)$$



În cazul stării plane de eforturi aceste expresii devin (fig. 2.20):

$$\begin{aligned}\bar{X} &= \sigma_x l + \tau_{yx} m \\ \bar{Y} &= \tau_{xy} l + \sigma_y m.\end{aligned}\quad (2.31)$$

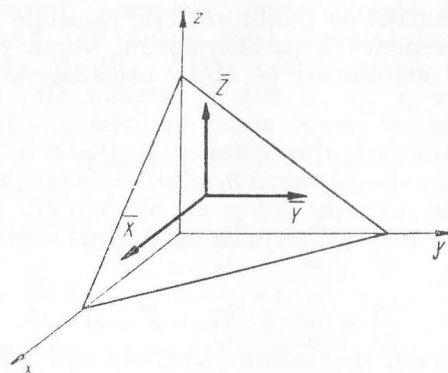


Fig. 2.20.

## 2.7. DEFORMAȚIA. DEPLASĂRI ȘI DEFORMAȚII SPECIFICE

Deformația unui corp poate fi definită în două feluri. Unul din ele pornește de la aceea că prin deformare punctele materiale își modifică poziția. Deplasările punctelor pot fi exprimate prin proiecțiile deplasărilor lor  $u$ ,  $v$  și  $w$  pe axele de coordonate (fig. 2.21, a).

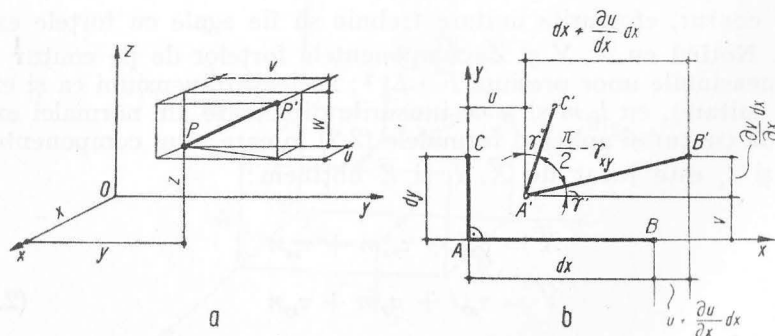


Fig. 2.21

Al doilea mod pornește de la observația că un corp poate fi considerat alcătuit din cuburi elementare ale căror laturi infinitezimale prin deformare își schimbă lungimile și unghiurile plane dintre ele. Corpul deformat poate fi reconstituit juxtapunând cuburile deformate astfel încât fețele care coincideau înainte de deformare să coincidă și după deformare. Studiul deformației presupune deci cunoașterea deformațiilor specifice liniare ( $\epsilon$ ) și unghiulare ( $\gamma$ ) în fiecare punct.

Relațiile dintre deplasările punctelor și deformațiile specifice în punctele respective sînt diferențiale. Trasăm în planul  $xOy$  înainte de deformare două segmente  $AB$  și  $AC$  infinit mici perpendiculare între ele (fig. 2.21, b). Prin deformare punctul  $A$  se va deplasa în  $A'$ ; cele două proiecții ale deplasării sînt  $u$  și  $v$ , funcție de coordonatele punctului  $A$ . Deplasările punctelor  $B$  și  $C$  infinit apropiate, pot fi evaluate în funcție de deplasarea punctului  $A$  prin dezvoltare în serie Taylor în care se rețin numai termenii conținînd prima diferențială; punctele  $B$  și  $C$  vor avea aceleași deplasări ca și punctul  $A$  cu mici creșteri, și anume:

punctul  $B$  pe orizontală  $u + \frac{\partial u}{\partial x} dx$ ; pe verticală  $v + \frac{\partial v}{\partial x} dx$

punctul  $C$  pe orizontală  $u + \frac{\partial u}{\partial y} dy$ ; pe verticală  $v + \frac{\partial v}{\partial y} dy$ .

Lungimea segmentului  $AB$ , inițial  $dx$ , se mărește devenind:  $\left(dx + \frac{\partial u}{\partial x} dx\right)$ ; lungirea specifică va fi:

$$\epsilon_x = \frac{\frac{\partial u}{\partial x} dx}{dx} = \frac{\partial u}{\partial x}.$$

Unghiul drept din  $A$  scade cu valoarea lunecării  $\gamma_{xy}$  compusă din două părți  $\gamma'$  și  $\gamma''$ ; luînd ca mărime a unghiului valoarea tangentei:

$$\gamma' \approx \tan \gamma' = \frac{\frac{\partial v}{\partial x} dx}{dx} = \frac{\partial v}{\partial x}; \quad \gamma'' \approx \tan \gamma'' = \frac{\frac{\partial u}{\partial y} dy}{dy} \text{ se scrie}$$

$$\gamma_{xy} = \frac{\partial u}{\partial y} + \frac{\partial v}{\partial x}.$$

Analog, efectuând calculele și pentru celelalte două plane, se obțin relațiile diferențiale între deformațiile specifice și deplasări:

$$\begin{aligned} \varepsilon_x &= \frac{\partial u}{\partial x}; \quad \varepsilon_y = \frac{\partial v}{\partial y}; \quad \varepsilon_z = \frac{\partial w}{\partial z} \\ \gamma_{xy} &= \frac{\partial u}{\partial y} + \frac{\partial v}{\partial x}; \quad \gamma_{yz} = \frac{\partial v}{\partial z} + \frac{\partial w}{\partial y}; \quad \gamma_{zx} = \frac{\partial w}{\partial x} + \frac{\partial u}{\partial z}. \end{aligned} \quad (2.32)$$

Cele șase mărimi definite prin relațiile (2.32) caracterizează complet starea de deformare într-un punct și sînt considerate componentele deformației corpului într-un punct.

În cazul stării plane deformațiile specifice se reduc la  $\varepsilon_x$ ,  $\varepsilon_y$  și  $\gamma_{xy}$  iar deplasările la  $u$  și  $v$  cu expresiile date mai înainte.

## 2.8. VARIAȚIA DEFORMAȚILOR ÎN JURUL UNUI PUNCT

În paragraful precedent au fost examinate deformațiile specifice liniare și unghiulare ale unui element paralelipipedic dreptunghiular cu originea în  $O$  și laturile orientate de-a lungul axelor de coordonate. În funcție de deplasările specifice definite de relațiile (2.32) poate fi determinată lungirea specifică a unui segment  $OP$  de lungime infinit mică  $ds$  considerată egală cu unitatea, orientat după o direcție definită prin cosinusurile directoare  $l$ ,  $m$  și  $n$ ; evident proiecțiile segmentului unitar vor fi  $dx = l$ ;  $dy = m$ ;  $dz = n$  (fig. 2.22).

Dacă deplasările punctului  $O$  sînt  $u$ ,  $v$  și  $w$  deplasările punctului  $P$  infinit apropiat, notate cu  $u_1$ ,  $v_1$ ,  $w_1$ , pot fi exprimate în funcție de acestea prin dezvoltarea în serie Taylor (deoarece deplasarea cît și componentele ei sînt funcții de punct) păstrînd numai prima derivată:

$$u_1 = u + \frac{\partial u}{\partial x} dx + \frac{\partial u}{\partial y} dy + \frac{\partial u}{\partial z} dz.$$

Ținînd seama că  $dx = l$ ,  $dy = m$ ,  $dz = n$  cele 3 componente ale deplasării devin

$$u_1 = u + \frac{\partial u}{\partial x} l + \frac{\partial u}{\partial y} m + \frac{\partial u}{\partial z} n$$

$$v_1 = v + \frac{\partial v}{\partial x} l + \frac{\partial v}{\partial y} m + \frac{\partial v}{\partial z} n$$

$$w_1 = w + \frac{\partial w}{\partial x} l + \frac{\partial w}{\partial y} m + \frac{\partial w}{\partial z} n.$$

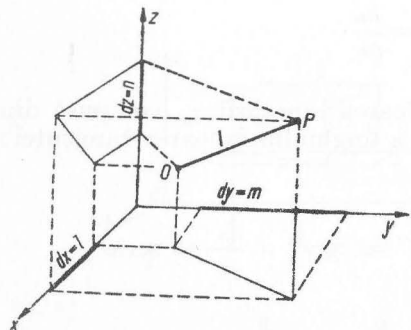


Fig. 2.22

Lungirile absolute ale proiecțiilor sînt:  $(u_1 - u)$ ,  $(v_1 - v)$ ,  $(w_1 - w)$ ; proiecțiile segmentului  $OP$  după deformare devin deci

$$a = l + \frac{\partial u}{\partial x} l + \frac{\partial u}{\partial y} m + \frac{\partial u}{\partial z} n$$

$$b = m + \frac{\partial v}{\partial x} l + \frac{\partial v}{\partial y} m + \frac{\partial v}{\partial z} n$$

$$c = n + \frac{\partial w}{\partial x} l + \frac{\partial w}{\partial y} m + \frac{\partial w}{\partial z} n.$$

Notînd cu  $\varepsilon$  lungirea specifică a segmentului  $ds = 1$ , scriind că  $(1 + \varepsilon)^2 = a^2 + b^2 + c^2$  neglijînd infinitii mici de grad superior și ținînd seama de relațiile (2.32), precum și de relația

$$l^2 + m^2 + n^2 = 1$$

se obține valoarea lungirii specifice  $\varepsilon$ ; pe o direcție de cosinusuri directoare  $l$ ,  $m$ ,  $n$

$$\varepsilon = \varepsilon_x l^2 + \varepsilon_y m^2 + \varepsilon_z n^2 + \gamma_{xy} lm + \gamma_{yz} mn + \gamma_{zx} nl. \quad (2.33)$$

Pentru a obține valoarea lunecării  $\gamma$  presupunem un al doilea segment  $ds' = 1$  perpendicular pe primul avînd cosinusurile directoare  $l'$ ,  $m'$ ,  $n'$ . Condiția de ortogonalitate se scrie:

$$ll' + mm' + nn' = 0.$$

Pentru a determina lunecarea specifică folosim produsul scalar dintre cele două segmente  $ds$  și  $ds'$  (după deformare), considerate ca vectori:

$$\cos(ds, ds') = l_1 l'_1 + m_1 m'_1 + n_1 n'_1;$$

$l_1$ ,  $m_1$ ,  $n_1$ , reprezintă cosinusurile directoare după deformare ale segmentului  $ds$ .

Valoarea cosinusului director  $l_1$  este:

$$l_1 = \frac{a}{1 + \varepsilon}$$

expresie care se poate scrie dezvoltînd în serie  $(1 + \varepsilon)^{-1}$  și reținînd primii doi termeni

$$(1 + \varepsilon)^{-1} = 1 - \varepsilon \text{ deci } l_1 = a(1 - \varepsilon).$$

Făcînd produsul

$$a(1 + \varepsilon)^{-1} = a(1 - \varepsilon) = \left[ l \left( 1 + \frac{\partial u}{\partial x} \right) + \frac{\partial u}{\partial y} m + \frac{\partial u}{\partial z} n \right] (1 - \varepsilon)$$

în care se neglijează produsele de forma  $\varepsilon \frac{\partial u}{\partial x}$ ,  $\varepsilon \frac{\partial u}{\partial y}$  în expresiile care cuprind deformațiile liniare la puterea întâi (deoarece ele au valorile  $\varepsilon \varepsilon_x$ ,  $\varepsilon \varepsilon_y$ )

$$\begin{aligned} l_1 &= \frac{a}{1 + \varepsilon} = \left( 1 - \varepsilon + \frac{\partial u}{\partial x} \right) l + \frac{\partial u}{\partial y} m + \frac{\partial u}{\partial z} n \\ m_1 &= \frac{b}{1 + \varepsilon} = \frac{\partial v}{\partial x} l + \left( 1 - \varepsilon + \frac{\partial v}{\partial y} \right) m + \frac{\partial v}{\partial z} n \\ n_1 &= \frac{c}{1 + \varepsilon} = \frac{\partial w}{\partial x} l + \frac{\partial w}{\partial y} m + \left( 1 - \varepsilon + \frac{\partial w}{\partial z} \right) n. \end{aligned}$$

În mod asemănător se calculează cosinusurile directoare  $l'_1$ ,  $m'_1$  și  $n'_1$ . Efectuînd operațiile și ținînd seama că

$$\cos(ds, ds') = \cos\left(\frac{\pi}{2} - \gamma\right) = \sin \gamma \approx \gamma$$

rezultă valoarea lunecării  $\gamma$ , adică a unghiului cu care se modifică unghiul drept dintre cele două segmente  $ds$  și  $ds'$

$$\begin{aligned} \gamma &= 2(\varepsilon_x ll' + \varepsilon_y mm' + \varepsilon_z nn') + \gamma_{yz}(mn' + m'n) + \\ &+ \gamma_{zx}(nl' + l'n) + \gamma_{xy}(lm' + l'm). \end{aligned} \quad (2.34)$$

Ecuția (2.33) dă posibilitatea unei interpretări geometrice a stării de deformare într-un punct al corpului.

Presupunem în direcția segmentului  $ds$  un vector de poziție  $\bar{R}$ , de mărime:

$$R = |\bar{R}| = \frac{k}{\sqrt{|\varepsilon|}}.$$

Coordonatele extremității acestui vector sînt:

$$x = lR; \quad y = mR; \quad z = nR$$

făcînd în expresia (2.33) substituția:

$$|\varepsilon| = \frac{k^2}{R^2}$$

se obține ecuația:

$$\varepsilon_x x^2 + \varepsilon_y y^2 + \varepsilon_z z^2 + \gamma_{yz} yz + \gamma_{zx} zx + \gamma_{xy} xy = k^2 \quad (2.35)$$

reprezentînd o suprafață cuadrică.

Axele suprafeței formează un triedru ortogonal; notînd cu  $\varepsilon_1$ ,  $\varepsilon_2$  și  $\varepsilon_3$  deformațiile după direcțiile axelor suprafeței, ecuația se scrie:

$$\varepsilon_1 x^2 + \varepsilon_2 y^2 + \varepsilon_3 z^2 = k^2. \quad (2.36)$$

Dispariția termenilor conținînd produsele  $xy$ ,  $yz$  și  $zx$  se datorește anulării coeficienților reprezentînd lunecările specifice relative. Aceste axe poartă numele de *axe principale de deformare* iar deformațiile liniare corespunzătoare de *deformații principale*.

Față de aceste axe expresiile (2.33) și (2.34) devin:

$$\begin{aligned} \varepsilon &= \varepsilon_1 l'^2 + \varepsilon_2 m'^2 + \varepsilon_3 n'^2 \\ \gamma &= 2(\varepsilon_1 ll' + \varepsilon_2 mm' + \varepsilon_3 nn'). \end{aligned} \quad (2.37)$$

Pentru direcțiile perpendiculare pe planele octaedrice (planele de egală înclinare față de cele trei axe principale pentru care  $l = m = n = \pm 1/\sqrt{3}$ ), se obține lungirea specifică:

$$\varepsilon_0 = \frac{\varepsilon_1 + \varepsilon_2 + \varepsilon_3}{3}. \quad (2.38)$$

Paralelipipedul elementar  $dx \, dy \, dz$  are o deformare volumică specifică

$$\begin{aligned} \varepsilon_v &= \frac{\Delta V}{V} = \frac{[(1 + \varepsilon_x)(1 + \varepsilon_y)(1 + \varepsilon_z) - 1] \, dx \, dy \, dz}{dx \, dy \, dz} = \varepsilon_x + \varepsilon_y + \varepsilon_z = \\ &= \frac{\partial u}{\partial x} + \frac{\partial v}{\partial y} + \frac{\partial w}{\partial z}. \end{aligned} \quad (2.39)$$

Exprimînd în funcție de deformațiile liniare principale

$$\varepsilon_v = \varepsilon_1 + \varepsilon_2 + \varepsilon_3. \quad (2.40)$$

## 2.9. DEFORMĂȚILE ÎN CAZUL STĂRII PLANE DE DEFORMĂȚI. CERCUL LUI MOHR PENTRU DEFORMĂȚI

În cazul unei stări plane de eforturi în planul  $xOy$  sînt nule mărimile:  $n$ ,  $\varepsilon_z$ ,  $\gamma_{zx}$ ,  $\gamma_{zy}$ . Notînd cu  $\alpha$  unghiul format de segmentul  $ds$  cu axa  $Ox$  cosinusurile directoare sînt  $l = \cos \alpha$ ;  $m = \sin \alpha$ ;  $l' =$



$= -\sin \alpha$ ;  $m' = \cos \alpha$ . Expresiile (2.33) și (2.34) se transformă după cum urmează:

$$\varepsilon = \frac{\varepsilon_x + \varepsilon_y}{2} + \frac{\varepsilon_x - \varepsilon_y}{2} \cos 2\alpha + \frac{\gamma_{xy}}{2} \sin 2\alpha \quad (2.41)$$

$$\gamma = -\frac{\varepsilon_x - \varepsilon_y}{2} \sin 2\alpha + \frac{\gamma_{xy}}{2} \cos 2\alpha.$$

Se observă similitudinea dintre aceste expresii și expresiile (2.14). Înlocuind  $\sigma$  cu  $\varepsilon$  și  $\tau$  cu  $-\frac{\gamma}{2}$  se obțin aceleași expresii. Deformațiile specifice pot fi deci reprezentate cu ajutorul cercului lui Mohr în mod asemănător eforturilor unitare, cu deosebirea că lunecările specifice se reprezintă cu jumătate din valoarea lor și au sensul pozitiv în jos (fig. 2.23). Ținând seama de această analogie, pot fi exprimate direct valorile deformațiilor liniare principale:

$$\varepsilon_1, \varepsilon_2 = \frac{\varepsilon_x + \varepsilon_y}{2} \pm \frac{1}{2} \sqrt{(\varepsilon_x - \varepsilon_y)^2 + \gamma_{xy}^2} \quad (2.42)$$

cît și direcțiile principale:

$$\operatorname{tg} 2\alpha_1 = \frac{\gamma_{xy}}{\varepsilon_x - \varepsilon_y}.$$

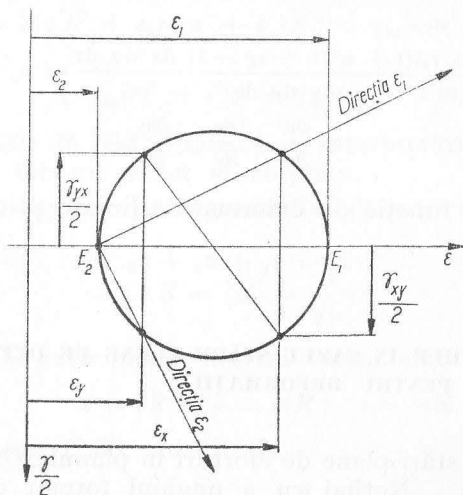


Fig. 2.23

Cercul lui Mohr permite de asemenea rezolvarea problemei determinării deformațiilor liniare specifice principale într-un punct în cazul că se cunosc deformațiile liniare după 3 direcții fără a se cunoaște și valorile lunecărilor. Problema are importanță practică datorită faptului că determinarea deformațiilor liniare se face cu relativă ușurință, folosind extensometre mecanice, optice sau instalații de tensometrie electrică; datorită dificultăților de măsurare determinarea lunecărilor este evitată.

Presupunem determinate experimental deformațiile liniare  $\varepsilon_\alpha$ ,  $\varepsilon_\beta$  și  $\varepsilon_\delta$  după direcțiile  $\alpha$ ,  $\beta$  și  $\delta$  (fig. 2.24). Ele se reprezintă la scară. Dintr-un punct arbitrar  $B'$  pe linia de abscisă  $\varepsilon_\beta$  se duc unghiurile  $\theta_1$  și  $\theta_2$  pe care le fac direcțiile  $\varepsilon_\alpha$  și  $\varepsilon_\delta$  cu direcția  $\varepsilon_\beta$ .

La intersecțiile cu verticalele  $\varepsilon = \varepsilon_\alpha$  și  $\varepsilon = \varepsilon_\beta$  se obțin punctele  $A$  și  $D$ . Prin punctele  $A$ ,  $B_1$  și  $D$  se construiește un cerc care este cercul deformațiilor. Se ia punctul  $B$  simetric față de punctul  $B_1$ , punctele  $A$ ,  $B$  și  $D$  reprezentînd deformațiile liniare pe direcțiile  $\alpha$ ,  $\beta$  și  $\delta$ : sînt pe cerc, au abscisele  $\varepsilon_\alpha$ ,  $\varepsilon_\beta$  și  $\varepsilon_\delta$  și sînt văzute din centru sub unghiurile  $2\theta_1$  și  $2\theta_2$ . Deformațiile liniare principale sînt  $\varepsilon_1$  și  $\varepsilon_2$  date de  $\overline{OE_1}$  și  $\overline{OE_2}$ ; direcția deformației principale  $\varepsilon_1$  face cu direcția  $\alpha$  unghiul  $\alpha_1$  care este reprezentat în fig. 2.24.

De regulă, în practica tensometriei electrice pentru unghiurile  $\theta_1$  și  $\theta_2$  se aleg valori de  $30^\circ$ ,  $45^\circ$ ,  $60^\circ$ ; ele se materializează în însăși construcția traductoarelor (mărcilor) electrice; cu aceste valori ale unghiurilor se obțin expresii analitice simple pentru determinarea deformațiilor liniare principale  $\varepsilon_1$  și  $\varepsilon_2$  (fig. 2.25).

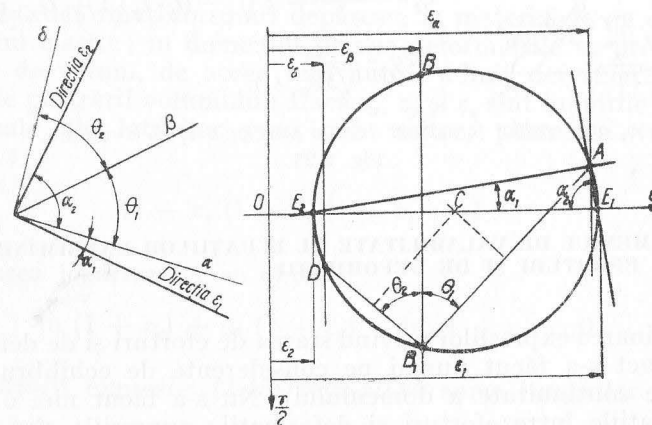
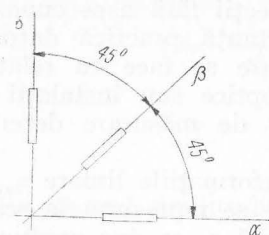


Fig. 2.24

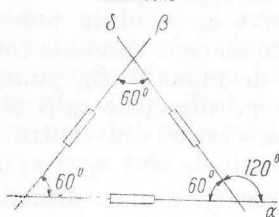
Rozeta dreptunghiulară



$$\varepsilon_{1,2} = \frac{\varepsilon_\alpha + \varepsilon_\beta}{2} \pm \frac{1}{\sqrt{2}} \sqrt{(\varepsilon_\alpha - \varepsilon_\beta)^2 + (\varepsilon_\beta - \varepsilon_\delta)^2}$$

$$\operatorname{tg} 2\varphi_1 = \frac{2\varepsilon_\beta - (\varepsilon_\alpha + \varepsilon_\delta)}{\varepsilon_\alpha - \varepsilon_\delta}$$

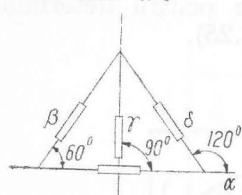
Rozeta delta



$$\varepsilon_{1,2} = \frac{\varepsilon_\alpha + \varepsilon_\beta + \varepsilon_\delta}{3} \pm \frac{\sqrt{2}}{3} \sqrt{(\varepsilon_\alpha - \varepsilon_\beta)^2 + (\varepsilon_\alpha - \varepsilon_\delta)^2 + (\varepsilon_\beta - \varepsilon_\delta)^2}$$

$$\operatorname{tg} 2\varphi_1 = \frac{\sqrt{3}(\varepsilon_\beta - \varepsilon_\delta)}{2\varepsilon_\alpha - \varepsilon_\beta - \varepsilon_\delta}$$

Rozeta T-delta



$$\varepsilon_{1,2} = \frac{\varepsilon_\alpha + \varepsilon_\beta}{2} \pm \frac{\sqrt{2}}{3} \sqrt{(\varepsilon_\beta - \varepsilon_\gamma)^2 + (\varepsilon_\gamma - \varepsilon_\delta)^2 + (\varepsilon_\delta - \varepsilon_\beta)^2}$$

$$\varepsilon_{1,2} = \frac{\varepsilon_\beta + \varepsilon_\gamma + \varepsilon_\delta}{3} \pm \sqrt{\frac{1}{3}(\varepsilon_\beta - \varepsilon_\gamma)^2 + \frac{1}{4}(\varepsilon_\beta - \varepsilon_\alpha)^2}$$

$$\operatorname{tg} 2\varphi_1 = \frac{2(\varepsilon_\beta - \varepsilon_\delta)}{\sqrt{3}(\varepsilon_\alpha - \varepsilon_\gamma)}$$

$\varphi_1$  este unghiul format de direcția principală  $\varepsilon_1$  cu direcția  $\alpha$ .

Fig. 2.25

## 2.10. DOMENIUL DE VALABILITATE AL ECUAȚILOR EXPRIMÂND STAREA DE EFORTURI ȘI DE DEFORMAȚII

Determinarea expresiilor privind starea de eforturi și de deformații într-un punct s-a făcut numai pe considerente de echilibru și geometrice (de continuitate a domeniului). Nu s-a făcut nici o ipoteză privind relațiile între eforturi și deformații; expresiile sînt valabile deci atît în domeniul elastic, cît și în domeniul plastic. Singura restrîn-

gere privește ordinul de mărime al deformațiilor care sînt presupuse infinitezimale, astfel încît în expresiile în care intervin să poată fi neglijate puterile lor superioare. De asemenea, deplasările  $u$ ,  $v$  și  $w$  sînt considerate îndeajuns de mici încît pătratele și produsele derivate lor în raport cu  $x$ ,  $y$  și  $z$  să fie neglijate în raport cu mărimea lor la puterea întâi. În cazul că deplasările  $u$ ,  $v$  și  $w$  nu mai sînt mici, cantitățile  $\varepsilon_x$ ,  $\dots$ ,  $\gamma_{xy}$ ,  $\dots$  nu mai pot defini complet starea de deformație.

Menționăm că în ultima vreme s-a dezvoltat teoria deformațiilor finite, teorie care nu mai menține ca ipoteză deformațiile foarte mici. Inițial teoria prezenta interes în mod deosebit în domeniul deformațiilor materialelor hiperelastice de tipul cauciucului sau al proceselor metalurgice de deformare plastică. În prezent se conturează de asemenea aplicații ale teoriei și în alte domenii cum este stabilitatea barelor cu pereți subțiri.

Modul de tratare al problemei revede conținutul unor noțiuni. Definițiile convenționale ale deformațiilor specifice sînt înlocuite cu definiții mai riguroase. Prin definiția convențională, lungirea specifică este raportul dintre lungirea absolută și lungirea inițială. Ținînd seama că lungirea variază în procesul de deformare, se definește *lungirea naturală specifică* sub forma:

$$\bar{\varepsilon} = \int_{l_0}^l \frac{dl}{l} = \ln \frac{l}{l_0} = \ln (1 + \varepsilon); \quad \left( \varepsilon = \frac{l - l_0}{l_0} \right). \quad (2.43)$$

Domeniul deformațiilor mari depășește la materialele de construcție domeniul elastic; în domeniul plastic deformațiile se produc fără modificare de volum, de aceea unii autori admit deformațiile finite în condițiile păstrării volumului. Dacă  $\varepsilon_x$ ,  $\varepsilon_y$  și  $\varepsilon_z$  sînt lungirile specifice convenționale ale laturilor unui cub unitar, păstrarea volumului conduce la:

$$(1 + \varepsilon_x)(1 + \varepsilon_y)(1 + \varepsilon_z) = 1;$$

prin aplicarea logaritmilor se obține:

$$\ln (1 + \varepsilon_x) + \ln (1 + \varepsilon_y) + \ln (1 + \varepsilon_z) = 0$$

ceea ce potrivit expresiei (2.45) reprezintă suma lungirilor specifice naturale

$$\bar{\varepsilon}_x + \bar{\varepsilon}_y + \bar{\varepsilon}_z = 0. \quad (2.44)$$

Această expresie, care este exactă, se obține și pentru deformările specifice convenționale  $\varepsilon$  în cazul deformațiilor plastice, numai după neglijarea produselor lungirilor specifice.

#### BIBLIOGRAFIE

1. Fung, Y. C. *Foundations of Solid Mechanics*. New Jersey, Prentice Hall, 1965.
2. Love, A. E. H. *A Treatise on the Mathematical Theory of Elasticity*. Cambridge University Press, 1952.
3. Nádai A. *Theory of Flow and Fracture of Solids*. Vol. I, New York, Mc. Graw-Hill, 1950.
4. Novojilov, V.V. *Teoria uprugosti*. Leningrad, Sudpromgiz, 1958.
5. Timoshenko, S. și Goodier J.N. *Theory of Elasticity*. New York, Mc. Graw-Hill, 1951.
6. Zener, C. *Elasticité et Anelasticité des Métaux*. Paris, Dunod, 1955.
7. Westergaard, H.M. *Theory of Elasticity and Plasticity*. Cambridge, Massachusetts, Harvard University Press, 1952.

## COMPORTAREA MATERIALELOR SUB ACȚIUNEA FORȚELOR

### 3.1. COMPORTAREA MATERIALELOR SUB ACȚIUNEA STATICĂ A FORȚELOR DIAGrame CARACTERISTICE

După examinarea aspectelor teoretice privind forțele interioare și deformațiile, se impune cu necesitate stabilirea unor raporturi între aceste categorii, primele din domeniul mecanicii, celelalte din domeniul geometriei. Această problemă are caracter prin excelență experimental; încercările de a determina prin calcul comportarea materialelor sub acțiunea forțelor pornind de la legile fundamentale ale structurii materiei, s-au dovedit pînă în prezent infructuoase datorită în principal neomogenității structurale a majorității materialelor utilizate în practica inginererească, a marilor abateri pe care le prezintă structura reală a materialelor față de o structură perfect ordonată, cum este cea a cristalelor.

Comportarea materialelor sub acțiunea forțelor este stabilită în laboratoarele de încercări; raporturile dintre eforturi și deformații sînt o măsură a proprietăților fizico-mecanice ale materialelor.

Experimentările constau din realizarea într-o probă a unei solicitări de regulă omogenă, depinzînd de un singur parametru și măsurarea variațiilor care survin în dimensiunile probei. Se poate trasa astfel o curbă corelînd cele două variabile: cea mecanică și cea geometrică.

Pentru ilustrare vom lua cazul oțelurilor moi de construcție. Formele epruvetelor utilizate sînt în general normalizate pentru a se realiza în zona centrală un cîmp de eforturi de întindere practic uniform a cărui intensitate este:

$$\sigma = \frac{N}{A}$$



în care  $N$  este efortul de întindere, iar  $A$  aria inițială a secțiunii transversale. Se măsoară lungirea  $\Delta l$  în zona centrală a epruvetei (în direcția efortului de întindere) și raportînd-o la lungimea inițială  $l$  se obține *lungirea specifică*

$$\varepsilon = \frac{\Delta l}{l}$$

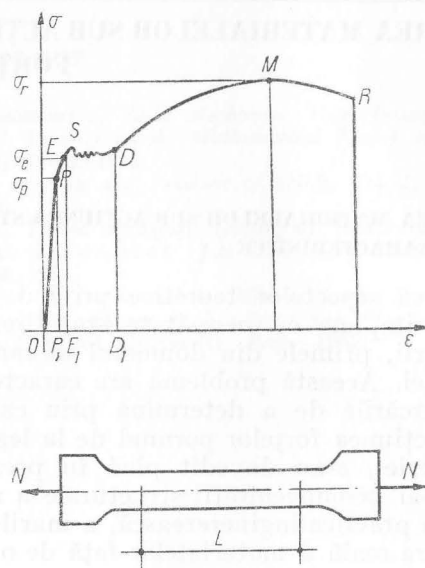


Fig. 3.1

Curba care leagă efortul unitar  $\sigma$  de lungirea specifică  $\varepsilon$  are alura celei din fig. 3.1 și poartă numele de *diagramă caracteristică*. Printre principalele puncte caracteristice ale acestei diagrame, se găsește în primul rând punctul  $E$  marcînd *limita de elasticitate a materialului*; cîtă vreme eforturile unitare rămîn inferioare valorii  $\sigma_e$  (pentru oțelurile de construcție moi  $\sigma_e = 2400 \text{ kgf/cm}^2$ ) lungirile sînt proporționale cu eforturile unitare și total reversibile; o dată îndepărtată forța de întindere, deformăția se anulează\*. Porțiunea de curbă  $OE$  este practic o dreaptă, atît la încărcarea epruvetei, cît și la descărcare. În lungul acestei porțiuni se poate scrie:

$$\sigma = E\varepsilon$$

\* O examinare mai atentă deosebește și o *limită de proporționalitate* corespunzînd unui efort unitar  $\sigma_p$  apropiat ca mărime de  $\sigma_e$ , totuși distinct, pînă la care se menține riguroasă proporționalitatea între eforturi și deformății.

relație bine cunoscută sub numele de legea lui Hooke, în care coeficientul de proporționalitate dintre eforturi și deformății  $E$  este *modulul de elasticitate longitudinal* sau modulul lui Young.

Pe măsură ce sub acțiunea forței epruveta se lungeste, dimensiunile secțiunii transversale se micșorează. Cîtă vreme  $\sigma \leq \sigma_e$  aceste modificări se pot exprima prin (fig. 3.2).

$$\varepsilon' = -\nu\varepsilon$$

în care  $\varepsilon'$  este lungirea (de fapt contracția) transversală specifică a dimensiunilor transversale ale acțiunii epruvetei, iar  $\nu$  *coeficientul de contracție transversală* denumit coeficientul lui Poisson.

Porțiunea  $OE$  a curbei caracteristice definește *domeniul de comportare elastică* a materialului. Încercările au demonstrat că valorile lui  $E$  și  $\nu$  sînt la compresiune aceleași ca la întindere.

După depășirea limitei de elasticitate  $\sigma_e$  o parte a deformăției este ireversibilă; la descărcarea completă o parte din deformăție persistă, este *remanentă* sau *plastică*.

Deformațiile remanente întrec mult ca valoare pe cele elastice după depășirea *limitei de curgere*  $\sigma_e$ . Curba caracteristică prezintă un palier, denumit *palier de curgere* de-a lungul căruia deformațiile cresc considerabil fără ca sarcina să crească sensibil; materialul „curge”, deformația  $OD_1$  este de circa 20 ori mai mare decît cea elastică  $OE_1$ . Dincolo de punctul  $D$  materialul prezintă o *autoconsolidare*: eforturile unitare cresc, deși nu în aceeași proporție cu deformațiile. În momentul cînd se atinge punctul  $M$ , apar deformații importante ale secțiunii transversale, se produce *stricțiunea*; lungirile specifice nu mai sînt egale de-a lungul barei, ele devenind mult mai mari în zona stricțiunii.

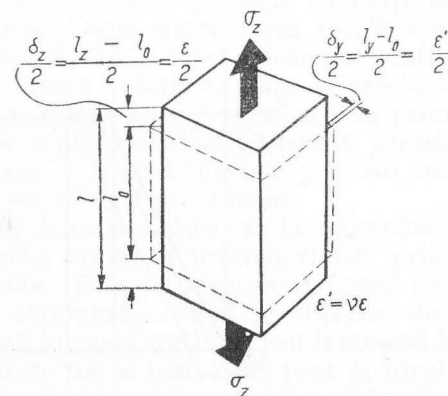


Fig. 3.2

În trasarea diagramei caracteristice, în mod convențional eforturile unitare  $\sigma$  se calculează raportându-se efortul  $N$  la aria inițială a secțiunii transversale; dincolo de punctul  $M$  această curbă prezintă o scădere aparentă a efortului unitar  $\sigma$  pînă în punctul  $R$  cînd epruveta se rupe, deoarece stricțiunea diminuează mult aria efectivă. Valoarea maximă a lui  $\sigma$  în punctul  $M$  se numește *limita de rupere*  $\sigma_r$ , sau *rezistența totală*. Dacă diagrama se trasează introducînd în calcul aria efectivă a secțiunii transversale, se obține curba reală cu alura din fig. 3.3 din care reiese că eforturile unitare cresc pînă în momentul ruperii. Alungirea specifică la rupere  $\delta_r$  atinge o valoare de 25...30%, adică de circa două sute de ori mai mare decît alungirea elastică.

Limita de curgere este bine marcată la oțelurile moi, care prezintă mari deformații înainte de rupere — sînt *tenace* sau *ductile* — dar ea devine din ce în ce mai puțin aparentă la oțelurile mai *dure*, ca urmare a creșterii procentului de carbon în compoziție. Acestea din urmă practic nu au palier de curgere și limita de curgere este definită convențional pe baza unei deformații remanente standard, de obicei 0,2%; această limită convențională de curgere se notează chiar  $\sigma_{0,2}$  (fig. 3.4). Menționăm că aceste oțeluri au și o lungire la rupere foarte redusă; comportarea lor se apropie de cea a materialelor *casante* sau *fragile* (fig. 3.5). Reducerea ductilității apare și la temperaturi scăzute cînd oțelurile, chiar cele moi, prezintă rupere casantă.

Prezența proprietăților plastice ale materialelor, manifestate printr-o lungire minimă la rupere, este de o deosebită importanță pentru utilizarea lor în construcții. Deformațiile mari în zonele foarte solicitate ale construcției au ca efect retransmiterea unor eforturi asupra altor zone mai puțin solicitate. Acest fenomen, care poartă numele

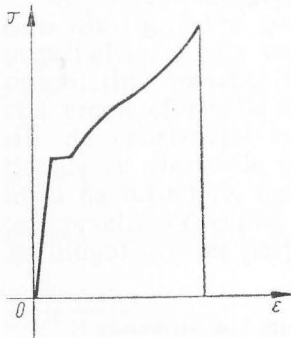


Fig. 3.3

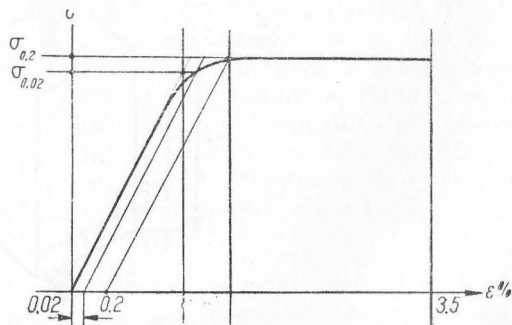


Fig. 3.4

de *adaptare*, nu poate avea loc decît în prezența unor deformații plastice suficient de mari.

Proprietățile plastice ale oțelurilor sînt la baza unor operații, ca fasonarea armăturilor, baterea niturilor; verificarea acestor proprietăți se face în mod sumar prin încercări relativ simple comportînd

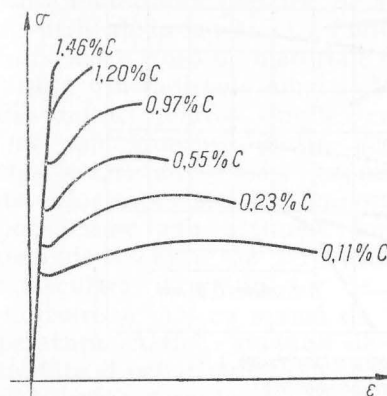


Fig. 3.5

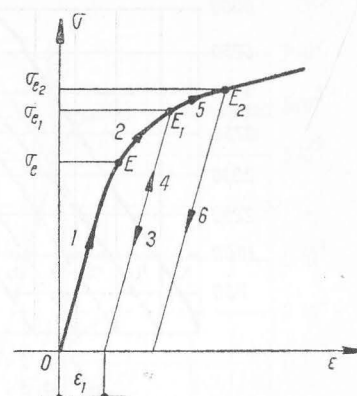


Fig. 3.6

în general îndoirea unei bare cu un unghi de 180°, fără să apară fisuri.

Să presupunem că o epruvetă de oțel a fost solicitată peste limita de elasticitate  $\sigma_e$ ; dacă ea este descărcată și se trasează diagrama corespunzătoare, se observă (fig. 3.6) că descărcarea se face după o dreaptă (dreapta 3) aproape paralelă cu porțiunea rectilinie a diagramei de încărcare. După descărcarea totală epruveta păstrează o deformație remanentă. La o nouă încărcare materialul se comportă elastic pînă la atingerea valorii  $\sigma_{e1}$  care se prezintă ca o nouă limită de elasticitate, superioară celei determinate la prima încărcare  $\sigma_{e1} > \sigma_e$ . Modulul de elasticitate se păstrează practic constant. Acest fenomen de ridicare a limitei elastice printr-o solicitare prealabilă, corespunzătoare, se numește *ecruisare*.

Ecruisarea este folosită industrial la îmbunătățirea calității unor oțeluri pentru beton armat și precomprimat, prin laminare la rece, trefilare și torsionare. Este de menționat faptul că la ecruisarea prin sisteme de forțe acționînd normal pe direcția de solicitare a barei — cum se întîmplă în cazul trefilării sau laminării la rece — ridicarea limitei de elasticitate nu se realizează pînă la nivelul efortului unitar cu care s-a produs, ci rămîne de ordinul a 50%. În fig. 3.7 sînt date diagramele caracteristice ale unor oțeluri ecruisate.

Diagrame caracteristice asemănătoare celei a oțelului au și alte metale și aliaje utilizate în construcții. Un asemenea material, care prezintă un interes crescând pentru structurile ingineresti, este alumi- niul.

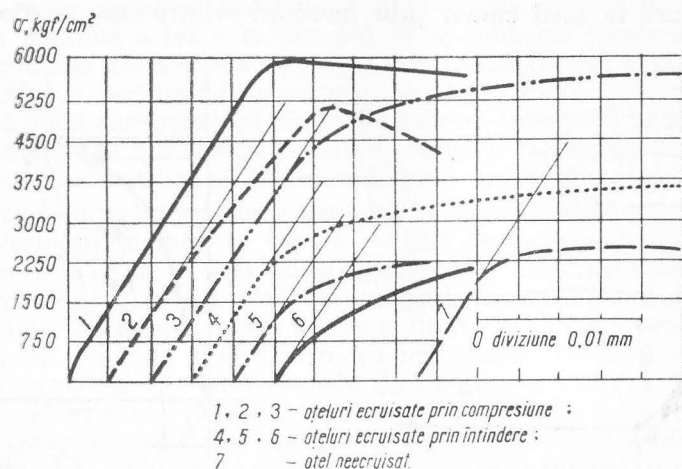


Fig. 3.7

Comportarea la solicitări mecanice a aliajelor de aluminiu este analogă oțelurilor moi (fig. 3.8) cu deosebirea absenței palierului de curgere; limita de curgere pentru aluminiu este o limită convențională  $\sigma_{0,2}$ . De remarcat că la aliajele de aluminiu limita de proporționalitate este mai depărtată de limita de curgere convențională decât la oțelurile de construcție: la aluminiu:  $\frac{\sigma_p}{\sigma_{0,2}} = 0,75 \dots 0,85$  față de

$\frac{\sigma_p}{\sigma_{0,2}} = 0,80 \dots 0,85$  la oțel.

În fig. 3.8 sînt date curbele  $\sigma - \varepsilon$  și modulele de elasticitate longitudinale la întindere și compresiune la un aliaj Al-Cu-Mg, și anume: curba  $\sigma - \varepsilon$  la compresiune (1), curba  $\sigma - \varepsilon$  la întindere (2), curba  $E$  la compresiune (3), și curba  $E$  la întindere (4). S-a notat cu  $\sigma_p^c$  limita de proporționalitate la compresiune, cu  $\sigma_p^t$  limita de proporționalitate la întindere, cu  $\sigma_{0,2}^c$  limita de curgere tehnică la compresiune (corespunzătoare unei deformări remanente de 0,2%).

Ruperea la solicitări statice este în general plastică; ea se produce după deformări mari. Spre deosebire de oțeluri, aliajele de aluminiu mențin aceste proprietăți plastice chiar la temperaturi foarte scăzute ( $-100^\circ\text{C}$ ); nu se întâlnește practic rupere fragilă.

O îmbunătățire a caracteristicilor mecanice ale aliajelor de alu- miniu se poate obține, ca și la oțeluri, prin ecruișare, operație care conduce la ridicarea limitei de curgere, a durității, a rezistenței la oboseală.

Comportare, mult diferită, pre- zintă materialele plastice, de sinte- ză, utilizate în construcții. Polimerii formează o clasă de materiale consti- tuite din molecule lungi alcătuite din unități relativ simple, crista- line sau amorf; dintre acestea elastomerii au o mare capacitate de deformare elastică. Comportarea polimerilor sub acțiunea forțelor depinde esențial de structura lor moleculară, de gradul lor de poli- merizare și mai cu seamă de tem- peratură. Astfel, modulul de elas- ticitate al polistirenului, a cărui va- riație este trasată în funcție de temperatură în fig. 3.9, nu mai este constantă. La temperatura mediului ambiant polimerii sînt duri și ca- sanți, iar deformările perfect elastice.

Spre deosebire de majoritatea materialelor de construcție, elasto- merii în zona lor de comportare elastică manifestă lungiri complet reversibile de sute de procente (fig. 3.10).

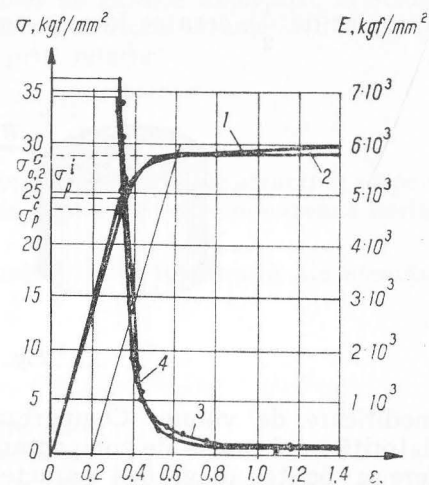


Fig. 3.8

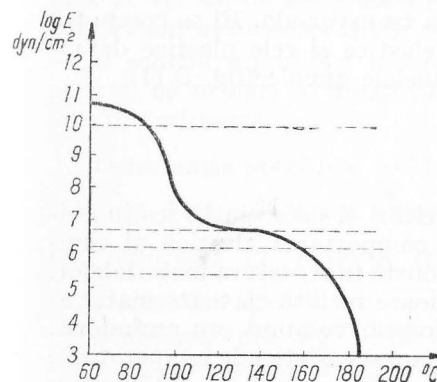


Fig. 3.9

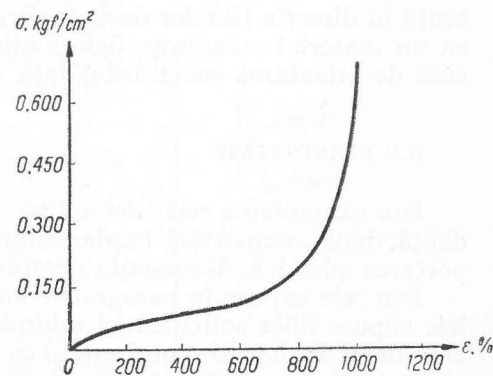


Fig. 3.10



Materialele cu comportarea elastomerilor au cîteva trăsături caracteristice: sînt moi și au modul de elasticitate redus; permit deformații foarte mari care sînt reversibile; sînt amorse.

La materialele de tipul elastomerilor, coeficientul lui Poisson este apropiat de  $\frac{1}{2}$ , ceea ce face ca aceste materiale să se deformeze fără

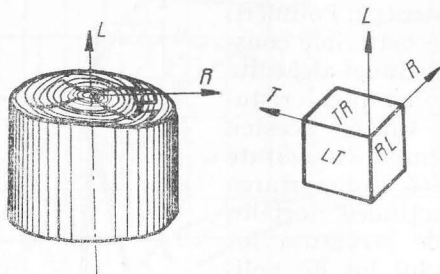


Fig. 3.11

modificare de volum. Comportarea la compresiune este deosebită datorită unui proces de compactare a materialului care duce la o creștere a pantei diagramei caracteristice.

Un material larg utilizat în construcții, lemnul, prezintă o structură fibroasă, din polimeri naturali, care îi determină proprietățile mecanice; lanțurile de molecule cristaline orientate avînd ca bază celuloza, care îi conferă structura fibriformă, ocupă 50 ... 60% din volumul lemnului, restul constînd dintr-o substanță amorfă, lignina. În ciclul anual de creștere celulele tubulare se dispun pe cercuri concentrice: *cercurile anuale* datorită cărora lemnul are o mai mare rezistență în direcția fibrelor decît în direcția transversală. El se comportă ca un material anizotrop, deformațiile elastice și cele plastice depinzînd de orientarea solicitărilor față de inelele anuale (fig. 3.11).

### 3.2. ELASTICITATE

Din examinarea relațiilor dintre solicitări și deformații, ies în evidență două comportări fundamentale: comportarea elastică și comportarea plastică. Explicația acestora constă în structura materialelor.

Din cele expuse în paragrafele anterioare rezultă că toate materialele supuse unor solicitări își schimbă forma, volumul sau amîndouă. Modificări analoge sînt obținute și ca urmare a variației de temperatură.

Dacă deformațiile produse dispar complet o dată cu înlăturarea cauzei ce le-a produs, comportarea a fost denumită *elastice*. Relația

matematică dintre deformații și solicitări în cazul comportării elastice a corpurilor cristaline este liniară, în timp ce la corpurile necristaline, în special la cele alcătuite din lanțuri lungi de molecule, este neliniară.

Comportarea elastică a materialelor își găsește explicație în structura lor atomică. Energia potențială a doi atomi situați la distanța  $r$  unul de altul, poate fi exprimată prin relația

$$V = -\frac{A}{r^n} + \frac{B}{r^m}$$

în care  $A$  și  $B$  sînt constantele de proporționalitate ale atracției, respectiv respingerii dintre atomi, iar  $n$  și  $m$  exponenții care precizează variația potențialului cu distanța.

Întrucît  $V$  este o funcție de potențial, forța rezultantă (de atracție sau respingere) are expresia:

$$F = -\frac{\partial V}{\partial r} = -\frac{nA}{r^{n+1}} + \frac{mB}{r^{m+1}}$$

La distanța  $d_0$  forța de atracție este echilibrată de cea de respingere; forța rezultantă este nulă iar atomii sînt în poziție de echilibru stabil (energia potențială este minimă). Orice deplasare impusă a celor doi atomi tinzînd să-i apropie sau să-i depărteze, va avea ca efect tendința de a reveni în poziția inițială; ca urmare, atomii într-o structură cristalină tind să se așeze față de vecinii lor astfel că forța rezultantă care acționează asupra fiecăruia să fie nulă.

O solicitare produce deformarea materialului ca urmare a modificării distanțelor interatomice.

Deformația specifică  $\frac{l - l_0}{l_0}$  într-o direcție oarecare devine la scara atomică, deplasarea raportată la distanța inițială:  $\frac{d - d_0}{d_0}$  în aceeași direcție.

Diagrama din fig. 3.12 ilustrează relația dintre forța de interacțiune a doi atomi și distanța dintre ei; ea este analogă diagramei caracteristice a unui

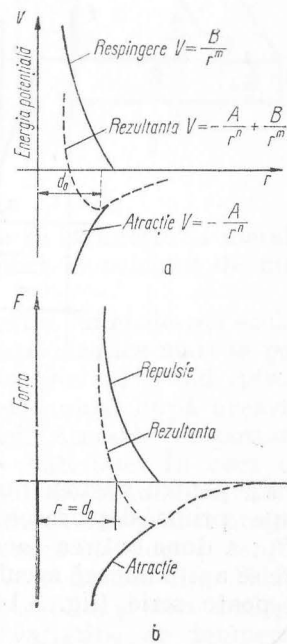


Fig. 3.12



material și prin urmare panta tangentei în punctul de abscisă  $r = d_0$  ilustrează o mărime analogă modulului de elasticitate al materialului. Mai mult, pentru variații ale distanței  $d$ , în jurul valorii  $d_0$ , nedepășind circa 0,5%, ceea ce corespunde în general valorilor alungirii specifice  $\varepsilon$  ale materialelor cristaline, diagrama prezintă o variație practic liniară (fig. 3.13). Această constatare făcută la nivel atomic, explică comportarea liniar elastică macroscopică a materialelor cristaline. La aceste materiale sînt necesare eforturi relativ mari pentru a produce deformări mici elastice. Comportarea la compresiune și întindere este practic identică.

Potrivit aceluiași model atomic, poate fi explicată și contracția transversală care apare la solicitarea de întindere. În acest scop ne imaginăm atomii ca niște sfere rigide de diametru  $d$  într-o așezare compactă (fig. 3.14, a). Presupunem că de-a lungul direcției  $x$  se exercită o forță de întindere care produce o deformare liniară specifică  $\varepsilon$ ; distanța  $(1 + \varepsilon)d_0$  constituie pe direcția  $x$  noua distanță de echilibru. Pentru a se menține însă distanța  $d_0$  după celelalte direcții, sferile de pe celelalte rînduri trebuie să rămînă în contact; distanța  $h_0$  între liniile centrelor se va micșora. Ținînd seama că  $\varepsilon$  este mic în raport

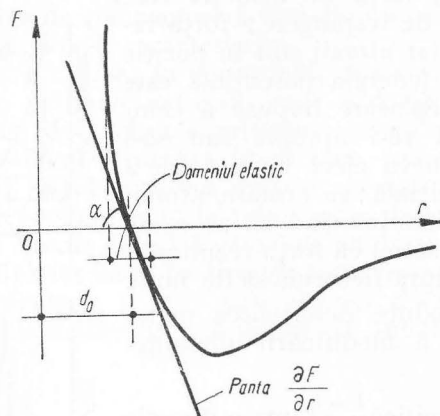


Fig. 3.13

cu  $d_0$ , pentru găsirea punctului  $A_1$  se consideră deformarea în două etape: prima, deplasarea diametrului  $BA$  în  $B_1A'$  ca urmare a lungirii  $BB_1$ ; a doua rotirea acestui diametru în  $A_1$  ( $A'A_1$  este tangenta cu care se aproximează arcul de cerc după care se face în realitate rotirea). Se poate scrie (fig. 3.14, b):

$$\varepsilon' h_0 = \varepsilon \frac{d_0}{2} \operatorname{tg} 30^\circ$$

sau ținînd seama că :

$$h_0 = \frac{\sqrt{3}}{2} d_0 \text{ și } \operatorname{tg} 30^\circ = \frac{1}{\sqrt{3}}$$

$$\varepsilon' = \nu \varepsilon \approx 0,3 \varepsilon$$

$$\nu \approx 0,3.$$

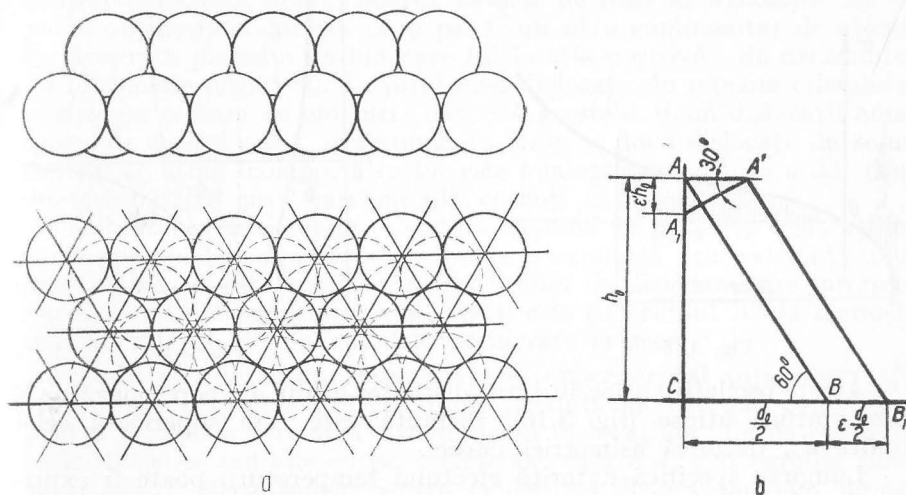


Fig. 3.14

Această valoare a coeficientului lui Poisson se întâlnește la metale al căror sistem cristalin coincide cu cel adoptat în calculul de mai înainte.

La materiale necristaline, alcătuite din lanțuri lungi de molecule, cum sînt elastomerii amintiți la § 3.1, deformări elastice mari se pot produce la solicitări reduse deoarece inițial se produce o îndreptare a lanțurilor moleculare în direcția efortului și numai după această fază începe învingerea legăturilor dintre atomi. Această comportare explică legea neliniară a elasticității acestor materiale. În ceea ce privește comportarea la compresiune a corpurilor necristaline alcătuite din lanțuri de molecule, ea este dictată de faptul că mai întîi se umple spațiile libere dintre lanțuri, după care se încarcă cu efort și lanțul propriu-zis: diagrama prezintă o accentuare a pantei (fig. 3.15).

O altă categorie de deformări, complet reversibile și deci analoge celor elastice, sînt deformările produse de variațiile de temperatură.

La temperatura zero absolut, orice mișcare a atomilor în jurul poziției lor de echilibru încetează: distanța interatomică este  $d_0$ . Pe măsură ce temperatura crește ca urmare a unei energii comunicate din exterior, atomii încep să oscileze, distanța maximă dintre ei la o anumită temperatură devenind  $d_b$ , iar cea minimă  $d_a$ .

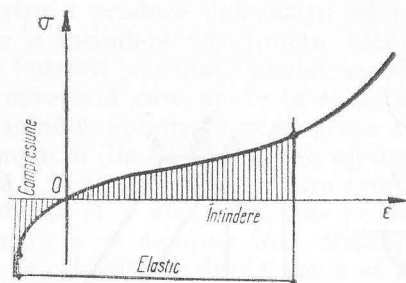


Fig. 3.15

Aceste oscilații au loc în jurul distanței medii  $d_e$ , corespunzătoare temperaturii atinse (fig. 3.16), distanță care este superioară celei limită  $d_0$ , datorită asimetriei curbei.

Lungirea specifică datorită efectului temperaturii poate fi exprimată prin relația cunoscută:

$$\frac{dl}{l} = \alpha dT$$

în care  $\alpha$  este coeficientul de dilatare liniară, iar  $dT$  variația de temperatură. Se demonstrează ușor că pentru corpurile solide cristaline care au același coeficient de dilatare liniară pe cele trei direcții ale spațiului, coeficientul de dilatare volumică este egal cu:

$$\alpha_v = 3\alpha.$$

Există numeroase cristale care au coeficienți de dilatare liniară diferiți pe direcții diferite.

### 3.3. PLASTICITATE

Comportarea plastică la metale își are originea în deplasarea unor defecte ale cristalelor, cunoscute sub denumirea de *dislocații*.

Teoria dislocațiilor a fost introdusă prima dată de G. Taylor în anul 1930 pentru a explica motivul pentru care într-o rețea cristalină

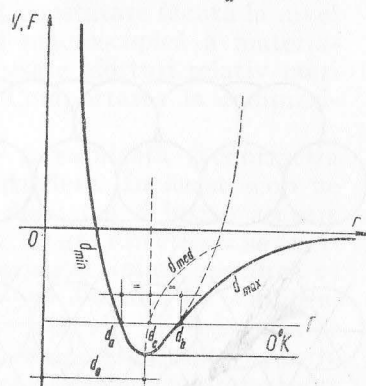


Fig. 3.16

forțele reale care produc deplasarea unor straturi de atomi sînt de sute de ori mai mici decît cele care rezultă dintr-un calcul în care se iau în considerare forțele interatomice într-o rețea cristalină perfectă.

Sub forma lor cea mai simplă, într-o rețea cubică dislocațiile au fost concepute ca linii de locuri goale, neocupate de atomi, goluri care se pot deplasa într-un plan denumit *plan de lunecare* sub acțiunea unei forțe tangențiale  $T$  (fig. 3.17). Linia (perpendiculară pe figură), conținînd locurile libere, poartă numele de *linie de dislocație*. Ea se poate obține introducînd, ca o pană, un plan suplimentar de atomi, fie deasupra planului de lunecare (dislocație pozitivă), fie dedesubtul lui (dislocație negativă). În jurul unei dislocații, în rețeaua cristalină ia naștere o stare de eforturi; datorită acesteia, două dislocații adiacente, de același semn, se resping, în timp ce două dislocații de semn contrar se atrag (comportarea lor este analogă comportării a doi conductori paraleli prin care circulă curenți electrici).

Mobilitatea unei rețele cristaline depinde de numărul dislocațiilor existente; ductilitatea metalelor poate fi explicată prin existența unui mare număr de dislocații; numărul liniilor de dislocare care intersectează  $1 \text{ cm}^2$  din suprafața unui cristal este de ordinul  $10^9$  la metalele neprelucrate și  $10^{12}$  la metalele prelucrate la rece.

Studiile mai recente completate și experimental prin observații cu ajutorul microscopului electronic prezintă modele mai complicate pentru a explica formarea și deplasarea dislocațiilor; liniile de dislocație sînt elice sau alte curbe, închise sau deschise; sînt definite *surse de dislocații*. Mecanismele pentru deplasarea dislocațiilor sînt numeroase și diferite de la metal la metal. Ele diferă însă pentru același metal în funcție de temperatură; la temperaturi ridicate, cînd procesul de difuziune devine important, dislocațiile pot să se deplaseze dintr-un

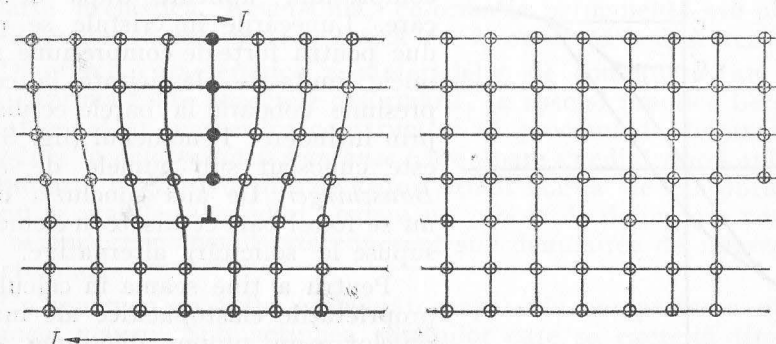


Fig. 3.17

plan de alunecare în altul. Aceasta explică deformările de fluaj ale metalelor la temperaturi ridicate.

Mobilitatea dislocațiilor este mai redusă în cristalele care conțin impurități; atomii străini rețin dislocațiile deoarece ei se localizează în regiunile dilatate ale rețelei din apropierea dislocațiilor. Fixarea impurităților se face în timp, ceea ce explică fenomenul de îmbătrânire prin care se micșorează ductilitatea. Existența unui mare număr de dislocații, de diferite orientări — ca urmare a prelucrării la rece de exemplu — reduce de asemenea mobilitatea dislocațiilor din cauza forțelor de interacțiune care apar în urma aglomerării lor.

Sub acțiunea forțelor, de-a lungul suprafețelor de alunecare, se deplasează straturi întregi de atomi. Prin deplasare, se restabilește însă rețeaua cristalină într-o nouă poziție de echilibru stabil al atomilor; deformarea devine în acest fel ireversibilă. Intersecțiile planelor de alunecare cu suprafața laterală a epruvetei apar ca linii cunoscute sub numele de liniile lui Lueders.

Teoria dislocațiilor dă explicații și fenomenului de ecruisare. După solicitare, care depășește limita de elasticitate, prin descărcarea între cristalele deformate plastic și mediul amorf care le înconjoară, iau naștere eforturi care produc numai deformări elastice; cristalele sînt supuse la forțe de compresiune.

La o nouă încărcare nu se pot produce noi deformări plastice fără a depăși valoarea forței care le-a produs pe primele; de aceea, deformările la reîncărcare sînt elastice. Din acest mecanism al deformării,

rezultă însă că forțele de compresiune care se exercită asupra cristalelor prin descărcare se adaugă celor datorite unei eventuale forțe exterioare de compresiune, aplicate după descărcare. Alunecările în cristale se produc pentru forțe de compresiune mai mici; limita de elasticitate la compresiune coboară la barele ecruisate prin întindere. Fenomenul (fig. 3.18) este cunoscut sub numele de *efect Bauschinger*. De aici concluzia de a nu se folosi bare ecruisate în elemente supuse la solicitări alternative.

Pentru a ține seama în calcul de proprietățile elastoplastice ale materialelor, s-au propus diagrame simplificatoare. Două din aceste dia-

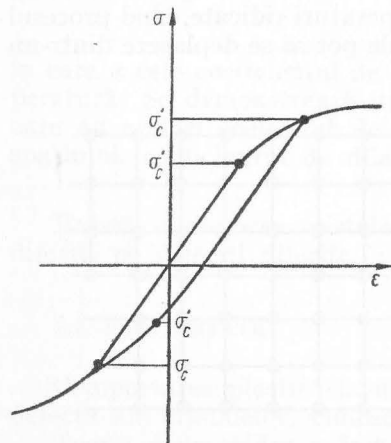


Fig. 3.18

grame au o utilizare mai mare. Prima datorită lui Prandtl, consideră materialul perfect elastic pînă la limita de curgere, după care corpul se deformează nedefinit fără a fi necesar practic un spor de

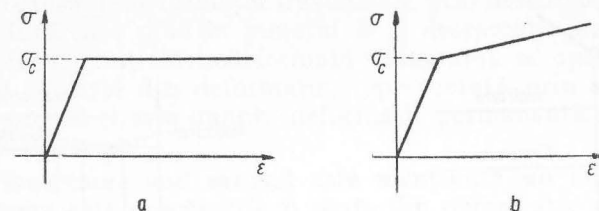


Fig. 3.19

efort. A doua ține seama de manifestările de *consolidare* pe care le prezintă materialul după o oarecare deformare datorită curgerii. În fig. 3.19, *a* și *b* sînt ilustrate cele două tipuri de diagrame.

#### 3.4. COMPORTAREA MATERIALELOR ÎN TIMP

S-a arătat că comportarea perfect elastică a materialelor este limitată; după depășirea unui anumit efort limită, proporționalitatea dintre efort și deformare nu mai subzistă, iar deformarea este numai parțial reversibilă. Din diagrama caracteristică a materialului (fig. 3.20) rezultă că deformarea totală  $\epsilon$  după depășirea limitei de elasticitate  $\sigma_e$  este alcătuită din două părți; o parte elastică, reversibilă  $\epsilon_e$ , și o parte neelastică, ireversibilă, deformarea permanentă sau plastică  $\epsilon_p$ . Repetăm că deformarea elastică iese în evidență la descărcare.

Diagrama caracteristică a materialelor de construcție nu poate însă exprima toate aspectele deformării; în special practica betonului armat a arătat inginerilor constructori că procesul de deformare nu se reduce la *deformarea instantanee* (care apare imediat după aplicarea sarcinilor); la construcțiile de beton armat starea de echilibru elastic nu se stabilește imediat; există un proces de deformare continuă sub sarcină. Fenomenul este cunoscut sub denumirea de *curgere lentă* a betonului.

Un fenomen cu totul asemănător apare în comportarea oțelului la unele mașini. Sub acțiunea sarcinilor care se exercită timp mai îndelungat și la temperaturi ridicate, deformările cresc continuu,



ajungînd în anumite condiții să producă ruperea materialului (fig. 3.21). La agregate care lucrează în condiții de eforturi și temperaturi ridicate, cum sînt turbinele de aburi, s-au produs nu puține distrugerii ale agregatelor din cauza *fluajului* oțelului.

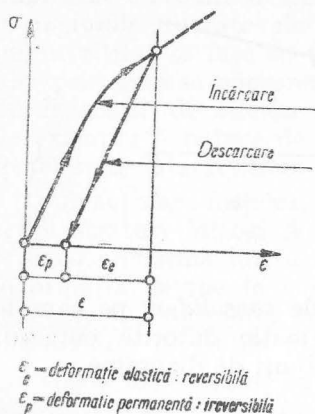


Fig. 3.20

Reprezentată grafic, curgerea lentă a betonului sub efort constant s-ar prezenta sub forma unei diagrame ca cea din fig. 3.22, din care rezultă că deformăția la timpul  $t_1$ , reprezentată prin punctul C, poate

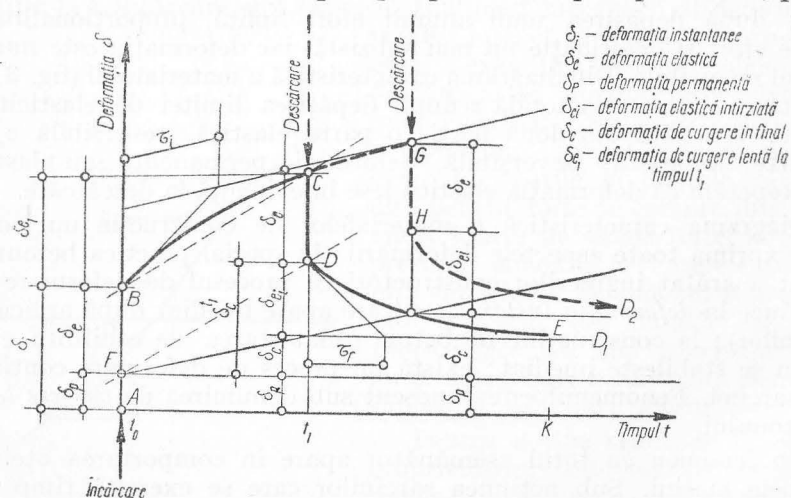


Fig. 3.22

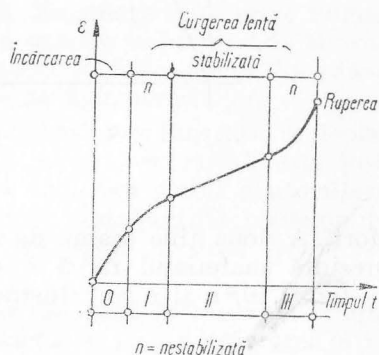


Fig. 3.21

fi socotită alcătuită din două părți: o deformare instantanee, reprezentată prin segmentul AB, și o deformare dependentă de timp, reprezentată prin diferența dintre ordonata punctului C și ordonata AB. Din deformăția totală, partea de deformare reversibilă (elastică) poate fi distinsă de deformăția ireversibilă prin descărcare. Dacă epruveta este încărcată pînă în punctul B și descărcată imediat, nu mai revine la forma inițială nedeformată: diagrama se oprește în F. Înseamnă că o parte din deformăție, reprezentată prin segmentul AF este permanentă și este numită deformăție permanentă sau deformăție plastică instantanee\*.

Dacă încărcarea sub sarcină este menținută un anumit timp  $t_1$ , cînd epruveta este descărcată, o parte din deformăție se recuperează imediat (segmentul CD). Această parte a deformăției este denumită deformăție elastică instantanee sau simplu deformăție elastică,  $\delta_e$ .

Dacă epruveta este lăsată descărcată un timp mai lung, se observă o scădere a deformăției remanente; din punctul D deformățiile scad oprindu-se la valoarea reprezentată prin ordonata KE. Înseamnă că deformăției elastice (instantanee) i se adaugă o deformăție elastică, care se recuperează în timp, denumită deformăție elastică întârziată sau post-efect elastic,  $\delta_{ei}$ .

Epruveta rămîne după un timp suficient de lung cu o deformăție remanentă, care este compusă din două părți: o parte egală cu o deformăție permanentă (deformăția plastică instantanee) și o parte datorită curgerii lente. Este ceea ce în literatura de specialitate se numește uneori deformăție de curgere lentă veritabilă sau simplu curgere. În unele lucrări de specialitate, pentru deformăția elastică întârziată se folosește și termenul de curgere lentă primară, iar pentru partea din deformăția remanentă datorită curgerii lente, termenul de curgere lentă secundară.

Fenomenul de deformare continuă sub sarcină, fluaj sau curgere lentă, este de aceeași natură cu fenomenul cunoscut sub numele de relaxare, care constă în scăderea continuă a eforturilor din elementele menținute într-o anumită stare de deformare. Elementele de solidarizare care acționează prin eforturi obținute printr-o deformare inițială, cum sînt buloanele tensionate sau niturile, cu timpul slăbesc prinderea deoarece efortul la care erau solicitate inițial scade.

Fenomenele de relaxare și de curgere lentă interesează în mod deosebit pe constructori, deoarece intervin la materiale utilizate larg, cum sînt betonul armat și betonul precomprimat. Tensiunile mari inițiale în armăturile de oțel care produc precomprimarea betonului,

\* Unii cercetători contestă existența la beton a deformăției plastice instantanee.



scad pe măsura trecerii timpului (fără însă a scădea sub o anumită limită care să periclitaze elementul de construcție).

De aceeași natură cu curgerea lentă și relaxarea este și comportarea lemnului sub acțiunea de durată a forțelor care se manifestă prin ruperea probei supuse la întindere după un anumit timp fără ca în acest interval intensitatea forței să fi crescut.

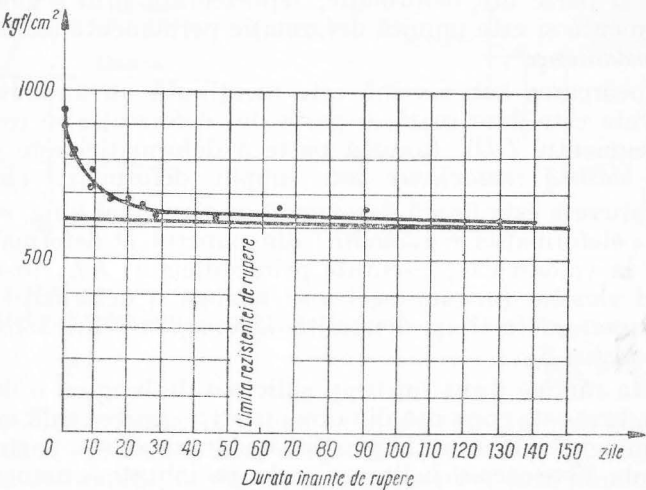


Fig. 3.23

Notăm cu  $\sigma_r$  rezistența la rupere determinată prin încercări de scurtă durată. Experiența arată că probe menținute continuu sub un efort unitar inferior rezistenței de rupere, cedează totuși după scurgerea unui anumit interval; acesta este cu atât mai scurt, cu cât efortul unitar este mai ridicat. Experimental se constată că se poate defini o limită a efortului unitar, în jurul valorii de  $(0,5 \dots 0,6) \sigma_r$ , pentru care ruperea nu se produce pentru intervale oricît de lungi. În felul acesta se definește rezistența de durată a lemnului (fig. 3.23).

Explicația fenomenului rezidă în mecanismul de eliminare — evaporare a apei din structura lemnului, avînd ca efect suprasolicitarea urmată de ruperea unor fibre.

În descrierea fenomenelor de deformare nomenclatura folosită este foarte variată. Pentru a introduce o reglementare în acest domeniu la colocviul RILEM de la München (1958), cu tema „Influența timpului asupra rezistenței și deformăției betonului”, s-a stabilit și o termino-

logie unitară privind deformăția, redată sub formă de tabel. Deși unii termeni sînt susceptibili de critică, nomenclatura adoptată are avantajul unificării termenilor.

Deformațiile betonului  
(RILEM 1958)

Independente de solicitările exterioare		Dependente de solicitările exterioare	
Din tempera- tură	Contractie		Independente de timp
	Ecologică	Reversibile	Elastică
	Intrinsecă	Ireversibile	Permanentă
			Dependente de timp (curgere lentă)
			Elastică întir- ziată
			Curgere

### 3.5. DISIPAREA ENERGIEI. VISCOSITATEA SOLIDELOR

Comportarea materialelor sub acțiunea forțelor este legată de transformările de energie care au loc în timpul procesului de deformare. În bilanțul energetic intră lucrul mecanic produs de forțele exterioare, energia cinetică a mișcării macroscopice a corpului (în cazul vibrației de exemplu) energia potențială (elastică) de deformare și energia disipată sub diferite forme. În cazul corpurilor în echilibru, energia cinetică este nulă; se consideră de regulă că lucrul mecanic al forțelor exterioare se transformă în întregime în energie potențială (elastică) de deformare. La descărcare, această energie produce revenirea corpului la starea inițială, nedeformată.

Un proces termodinamic este teoretic reversibil numai atunci cînd se produce cu viteze infinit mici. Vitezele cu care se produc deformările sînt însă finite; aceasta are ca rezultat disiparea unei părți din energia acumulată, sub formă de căldură. Ca urmare, deformarea nu mai este în întregime reversibilă.

Raportînd la unitatea de volum cantitatea de energie înmagazinată de corp prin deformare și notînd cu  $w_s$  energia specifică de deformare, se poate scrie relația :

$$w_s = w_e + w_d \tag{3.1}$$

în care cu  $w_d$  s-a notat energia disipată, iar cu  $w_e$  energia potențială elastică, energii raportate de asemenea la unitatea de volum.

Această relație redă aspectul cunoscut al deformăției corpului: din deformăția totală, o parte, care corespunde energiei elastice  $w_e$ , este reversibilă — deformăția elastică; partea care corespunde energiei disipate  $w_d$ , este ireversibilă — deformăția remanentă.

Atît termodinamica teoretică cît și comportarea construcțiilor au arătat că în deformarea corpurilor are importanță nu numai cantitatea de energie care se transferă, ci și viteza cu care se face acest transfer. Energia elastică specifică este o măsură a capacității corpului de a înmagazina lucrul mecanic produs de forțele exterioare, fără a ceda (fie prin rupere, fie prin deformății plastice). În cazul că lucrul mecanic produs de forțele exterioare este mare (în cazul șocului de exemplu), pentru ca o construcție să nu cedeze, este necesar ca partea de energie disipată să fie cît mai mare. Cum transferul de energie, respectiv disiparea, sînt procese care au loc în timp, sîntem conduși a le analiza raportîndu-le la unitatea de timp.

Ca urmare, expresia (3.1) este derivată în raport cu timpul, obținîndu-se:

$$\dot{w}_s = \dot{w}_e + \dot{w}_d \quad (3.2)$$

în care cu  $\dot{w}_s$ ,  $\dot{w}_e$  și  $\dot{w}_d$  s-au notat derivatele de forma  $\frac{dw}{dt}$ .

În această relație sînt 3 variabile legate printr-o condiție; numai două vor putea deci varia independent. Cazurile particulare sînt obținute considerînd pe rînd unul dintre termeni nul (cantitatea de energie corespunzătoare nu variază în timp), și anume:

$$a) \quad \dot{w}_d = 0 \quad \text{sau} \quad \dot{w}_s = \dot{w}_e. \quad (3.3)$$

Lucrul mecanic al forțelor exterioare se înmagazinează sub formă de energie potențială elastică de deformare. Energia aceasta poate fi restituită; materialul se comportă perfect elastic.

$$b) \quad \dot{w}_e = 0 \quad \text{sau} \quad \dot{w}_s = \dot{w}_d. \quad (3.4)$$

Toată energia este disipată; deformăția este în întregime ireversibilă. Comportarea materialului este perfect plastică.

$$c) \quad \dot{w}_s = 0 \quad \text{sau} \quad \dot{w}_e + \dot{w}_d = 0. \quad (3.5)$$

Cantitatea de energie înmagazinată prin deformare este constantă. În timp se face un transfer continuu de energie: energia potențială elastică scade cu aceeași viteză cu care crește energia disipată; deformăția ireversibilă crește în detrimentul deformăției elastice reversibile; acesta este cazul relaxării.

Cele trei cazuri de mai înainte sînt cazuri limită. În cazul general, exprimat prin relația (3.2), rapoartele între cele trei categorii de energii variază în timp. Exprîmînd valoarea vitezei de variație a energiei potențiale elastice sub forma:

$$\dot{w}_e = \dot{w}_s - \dot{w}_d = \dot{w}_s \left( 1 - \frac{\dot{w}_d}{\dot{w}_s} \right)$$

reiese că ea depinde de raportul între vitezele de variație ale energiei înmagazinate și ale celei disipate. Principiul al doilea al termodinamicii stabilește că energia disipată crește tot timpul: derivata ei  $\dot{w}_d$  este totdeauna pozitivă. De aici rezultă că energia potențială elastică nu crește în unitatea de timp în aceeași măsură în care crește lucrul mecanic produs de forțele exterioare.

Disiparea energiei în elementele de construcție este legată de deplasările particulelor materiale ale unui corp cu viteze finite, producînd procese ireversibile. Această cale de disipare a energiei poate fi pusă pe seama frecărilor interne. Procesele de disipare a energiei prin frecările interne, sînt cel mai bine ilustrate de fluidele vîscoase.

După cum se știe, ecuația generală a mișcării fluidelor vîscoase (legea lui Newton) poate fi scrisă sub forma (fig. 3.24)

$$\tau = \eta \cdot \dot{\gamma} \quad (3.6)$$

în care cu  $\tau$  s-a notat efortul unitar tangențial, cu  $\eta$  viscozitatea și cu  $\dot{\gamma}$  derivata în raport cu timpul a lunecării specifice\*.

Spre deosebire de corpurile solide, prin deformare fluidele incompresibile nu pot înmagazina energie; energia potențială de deformare (elastică) este inexistentă: cantitățile infinit mici de energie care se acumulează sînt disipate imediat prin curgere.

Din considerentele arătate, rezultă că pentru a explica unele aspecte ale deformăției corpurilor solide, și în special variația deformăției în timp, nu este nepotrivit să asociem proprietăților elastice specifice corpului solid, o proprietate specifică fluide-

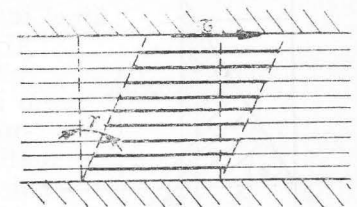


Fig. 3.24

\* Reamintim că unitatea de viscozitate în sistemul CGS este poise (P) egală cu viscozitatea fluidului în care, pentru a deplasa cu viteza de 1 cm/s o suprafață plană de 1 cm<sup>2</sup> situată la distanța de 1 cm de alt plan paralel, este necesară o forță de 1 dynă. Subunitatea sa, centipoise (cP) este egală cu viscozitatea apei la 20,2°C.

lor: viscozitatea, și să atribuim o anumită viscozitate corpurilor solide.

La numeroase materiale de construcție (betonul, bitumurile, lemnul etc.), atribuirea viscozității nu reprezintă un artificiu, ci corespunde structurii lor reale. Așa de exemplu, betonul cuprinde în structură sa, în stare proaspătă, geluri care se comportă ca fluide cu viscozitate mare. Bitumurile sînt, de fapt, fluide foarte vîscoase și se comportă ca atare. Chiar oțelurile de construcție, în special la temperaturi ridicate, prezintă o viscozitate care își are sursa în zonele periferice ale grăunților cristalini.

### 3.6. COMPORTAREA CORPURILOR LA ÎNCĂRCĂRI ȘI DESCĂRCĂRI REPE- TATE

În cazul cînd la încercarea unei epruvete dintr-un material oarecare curba caracteristică la descărcare nu se suprapune peste curba caracteristică determinată la încărcare, rezultă că din lucrul mecanic de deformare înmagazinat sub formă de energie de deformare, o parte nu este restituită, producîndu-se o disipare de energie. Într-adevăr dacă urmărim o diagramă oarecare, de încărcare (fig. 3.25), aria limitată de curba caracteristică și de axa absciselor reprezintă lucrul mecanic acumulat pe unitatea de volum prin deformarea probei solicitate

$$w = \int_0^{\epsilon_1} \sigma d\epsilon.$$

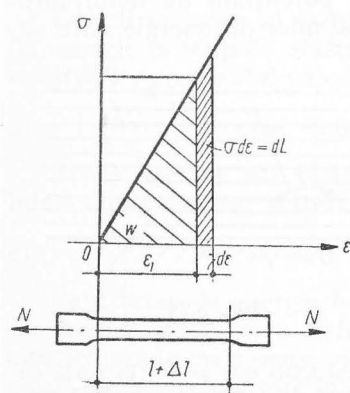


Fig. 3.25

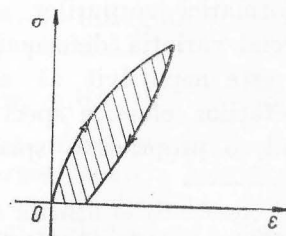


Fig. 3.26

Ca urmare, o curbă de încărcare-descărcare de forma celei din fig. 3.26 închide o arie reprezentînd energia disipată în ciclul efectuat. Despre materialele prezentînd curbe asemănătoare, se spune că prezintă fenomenul de *hysteresis*.

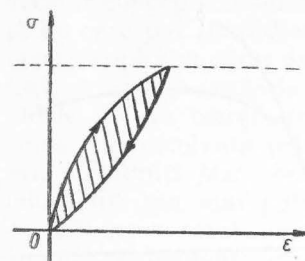


Fig. 3.27

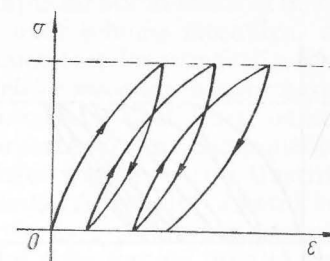


Fig. 3.28

În cazul unui material supus la solicitări a căror intensitate variază după o lege cu o perioadă dată, curba efort-deformație va avea de asemenea un caracter periodic. Se pot ivi două cazuri:

a) Curbele de variație se suprapun în timp, fie că închid o curbă de energie disipată (fig. 3.27), fie că nu. În acest caz, energia se disipează sub formă de căldură datorită frecărilor interne; deformarea nu crește nedefinit și astfel nu se ajunge la distrugere. Ciclul se numește *ciclu cu acomodare*.

b) Curbele se succed, deformarea crește continuu în timp; materialul are tendința de a „înghiți” continuu energia pe care o transformă în deformare (fig. 3.28).

În construcții, în care sarcinile prezintă variații în timp, materialele folosite trebuie să prezinte cicluri cu acomodare. Oțelurile au o acomodare mai rapidă, betoanele una mai lentă.

Chiar în cazul ciclurilor cu acomodare, la unele materiale, închiderea ciclului, prin dispariția deformărilor remanente, necesită o perioadă de timp. Această parte a deformăției, care se anulează în timp, denumită mai înainte deformare întârziată sau de post-efect elastic conduce la proprietatea care poartă numele de *reactivitate* (fig. 3.29). La asemenea materiale se poate ajunge la o stabilizare a ciclurilor după un număr mare de încărcări-descărcări (fig. 3.30).

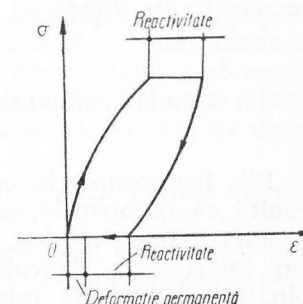


Fig. 3.29



Încercările ce se efectuează pentru determinarea curbelor caracteristice ale materialelor, trebuie să respecte o viteză maximă de încărcare, în general limitată la 100 kgf/cm<sup>2</sup>/s. O viteză de încărcare mai mare conduce la metale, la ridicarea aparentă a limitei de elasticitate

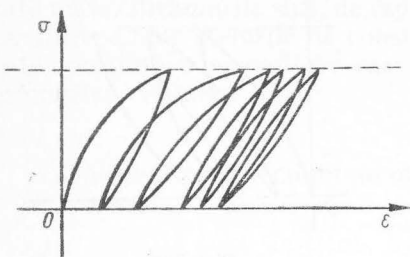


Fig. 3.30

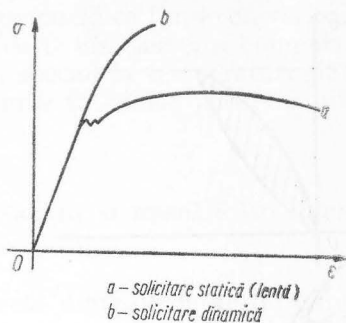


Fig. 3.31

și la reducerea lungirii la rupere: se reduce ductibilitatea metalului. La alte materiale, cum este betonul, alura diagramei caracteristice se modifică, curba se apropie mai mult de o dreaptă (fig. 3.31).

Pe de altă parte, la unele materiale destinate a suporta șocuri prin încercări la *impact* sau încercări dinamice făcute cu ajutorul dispozitivului cunoscut sub numele de *ciocanul lui Charpy* se stabilește lucrul mecanic necesar pentru a produce ruperea unei epruvete standard.

Cu cât materialul este mai ductil, cu atât absoarbe la rupere mai mult lucru mecanic; cu cât materialul este mai fragil, ruperea se face cu lucru mecanic mai redus. Raportul dintre lucrul mecanic consumat pentru ruperea prin șoc și aria secțiunii inițiale a epruvetei poartă numele de *reziliență*.

### 3.7. MODELUL CORPULUI MATERIAL

Din fenomenologia comportării corpurilor sub acțiunea forțelor, rezultă că raporturile cauzale dintre forțe și deformații îmbracă un caracter foarte complex, funcție de multe condiții. Pentru un același corp, mărimea și dezvoltarea deformațiilor produse de un sistem de sollicitări depind de intensitatea și variația sollicitărilor, de forma probei, de timp.

Pentru simplificarea și ordonarea problemei generale a raportului dintre sollicitări și deformații, s-au desprins din tabloul complex câteva scheme simple de comportare, ușor exprimabile în limbaj matematic. Este adevărat că nici un corp material real nu corespunde practic acestor concepte schematizate, dar avantajul lor stă în relativa ușurință cu care pot fi studiate prin adoptarea unor scheme mecanice, deci macroscopice, a căror deformații sub acțiunea forțelor urmează aceleași legi. Se ajunge astfel la introducerea *modelelor mecanice* a unor corpuri ideale. Toată complexitatea comportării reale a unui corp oarecare tinde a fi rezolvată prin *compunerea* comportării unor componenți ai săi, denumiți *faze*; se obțin astfel modele complexe care ilustrează mai mult sau mai puțin comportarea reală. Avantajul acestui mod de a încerca rezolvarea problemei generale este pe de o parte acela al unei permanente imagini a fenomenului fizic, iar pe de altă parte al posibilității de a găsi expresia analitică a comportării complexe pornind de la cele simple, cunoscute, ale fazelor.

În cele ce urmează vor fi expuse modele mecanice ale corpurilor cu comportare perfect elastică, vâscoasă, plastică, ele fiind elementele de bază ale celor mai complexe scheme.

**Modelul corpului perfect elastic.** Prin definiție corpul perfect elastic, independent de intensitatea sau natura sollicitărilor, revine la forma inițială o dată cu îndepărtarea acestora. Dacă între mărimea deformației, definită într-un mod oarecare, și intensitatea sollicitării există o relație liniară, *elasticitatea* este și ea *liniară*. Acest din urmă tip de corp elastic este cel mai frecvent întâlnit în practică și este denumit *corpul Hooke*.

Modelul mecanic al acestui corp este resortul elicoidal sau simbolic *modelul H*. Acest model este complet lipsit de „memorie”. În orice moment starea sa este complet independentă de ceea ce s-a petrecut anterior atât la încărcare, cât și la descărcare.

Ecuația modelului H este:  $P_1 = K_1 \delta_1$ . Diagrama din fig. 3.32\* ilustrează comportarea modelului: deformațiile  $\delta_1$  depind liniar de sollicitarea  $P_1$  și numai de ea, producându-se instantaneu. Deformația este independentă de timp; energia acumulată (aria 2 este măsura acestei energii) este complet restituită la descărcare, o dată cu dispariția integrală a deformației.

**Modelul corpului vâsco.** Prin definiție, corpurile perfect vâscoase se deformează continuu sub acțiunea forțelor, deformația câștigată păstrându-se integral după îndepărtarea cauzei care a produs-o. Asemenea corpuri sînt lichidele cu frecare internă denumite lichide new-

\* După Reiner.

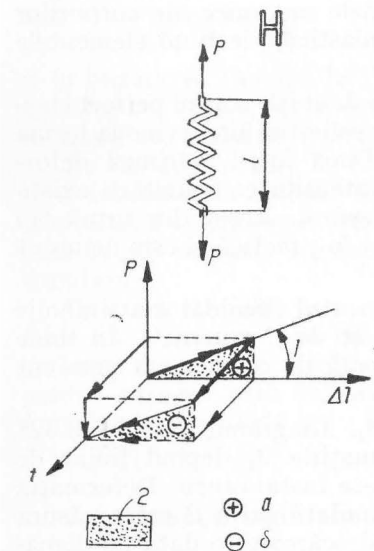


toniene. Modelul mecanic al unui asemenea corp vîscos, la care deformățiile sînt proporționale cu solicitările, este alcătuit dintr-un corp de pompă cu un lichid vîscos în interiorul căruia poate glisa un piston perforat, totul simbolic denumit *modelul N*.

Ecuația modelului N este:  $P_2 = K_2 \dot{\delta}_2$ . Diagrama din fig. 3.33\* ilustrează comportarea acestui model: deformățiile  $\delta_2$  cresc în timp, ele nu se produc instantaneu, sînt proporționale cu sarcina aplicată; se păstrează integral la înlăturarea ei. Energia crește continuu cu sarcina și nu este restituită la descărcare.

Modelul se spune că are „memorie” perfectă: reține integral toate evenimentele produse asupra lui.

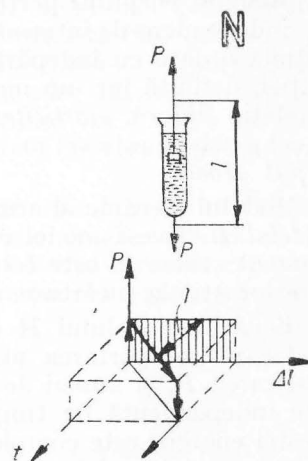
**Modelul corpului plastic.** Înțelegînd prin plasticitate proprietatea corpului de a se deforma ireversibil cînd eforturile unitare produse sub acțiunea unui sistem de forțe au atins limita de curgere, fenomenul mecanic analog este frecarea de alunecare. Un corp greu (fig. 3.34\*) rezemat pe un plan rugos solicitat de o forță  $P$  de tracțiune



1 - măsura  $\mu$ , 2 - energie potențială:  
a - acumulată;  
δ - restituită

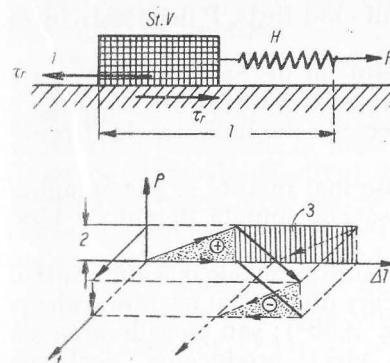
Fig. 3.32

\* După Reiner.



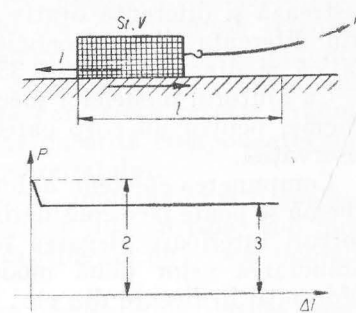
1 - măsura  $\frac{\eta}{P}$ , 2 - energie disipată

Fig. 3.33



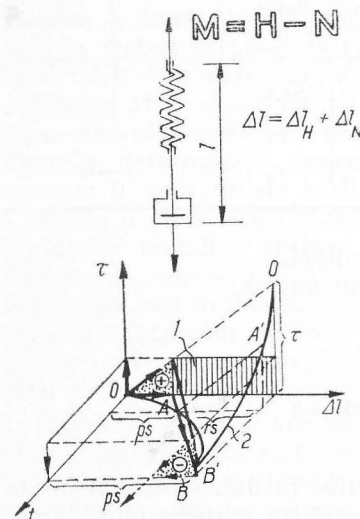
1 - forța de frecare 2 - măsura  $\sigma$ ;  
3 - histeresis plastic

Fig. 3.34



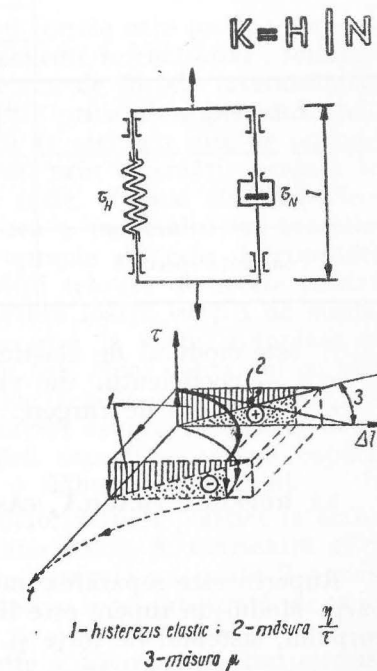
1 - forța de frecare 2 - frecare statică;  
3 - frecare de mișcare

Fig. 3.35



1 - histeresis viscos 2 - relaxare curbilinie

Fig. 3.36



1 - histeresis elastic 2 - măsura  $\frac{\eta}{\epsilon}$   
3 - măsura  $\mu$

Fig. 3.37

nu se pune în mișcare decât în momentul când forța  $P$  depășește forța de frecare  $T = \mu G$ .

Pe această analogie se bazează modelul lui de Saint-Venant, care ilustrează și diferența dintre limita superioară și inferioară de curgere prin diferența dintre coeficienții de frecare, de lunecare la frecare statică și dinamică (fig. 3.35\*).

Cu ajutorul modelelor mecanice expuse mai înainte se pot imagina scheme, pentru un corp oarecare, care să corespundă destul de bine observației.

Compunerea efectelor a două sau mai multor modele mecanice într-o schemă se poate face considerând că în fiecare din ele iau naștere aceleași eforturi interioare: legarea în serie (fig. 3.36\*); sau considerarea că conlucrarea celor două modele are ca efect producerea acelorași deformări în fiecare din ele: legarea lor în paralel (fig. 3.37\*).

Pe baza celor expuse pînă aici, se poate face un tabel general al corpurilor potrivit comportării lor sub acțiunea forțelor:

	Lichide		Solide		
	Curgere		Plastic	Elastic	Absolut rigid
	Ideală	Viscoasă			
Denumirea corpului	Pascalian	Newtonian	Saint-Venant	Hooke	Euclid
Simbol	—	N	St.V.	H	—
Constanta specifică	$0 \leftarrow \eta$		$\sigma_c$	$E \rightarrow \infty$	

$E$  este modulul de elasticitate longitudinal;  
 $\eta$  — coeficientul de viscozitate cinematică;  
 $\sigma_c$  — limita de curgere.

### 3.8. RUPEREA FRAGILĂ (CASANTĂ). OBOSEALA

Ruperea este separarea unui corp solicitat în două sau mai multe părți. Modul de rupere este influențat de natura materialului, forma corpului, sistemul de forțe și modul lui de aplicare, de condițiile de

\* După Reiner.

temperatură. Ruperea este clasificată în două mari categorii: fragilă (casantă) și ductilă.

Ruperea fragilă se datorește rapidei propagări a unei fisuri în absența sau la valori reduse ale deformății plastice. În materialele cristaline se produce de-a lungul planelor de clivaj; după separare, suprafețele de rupere la materialele policristaline au aspect grăunțos deoarece planurile de clivaj diferă de la cristal la cristal. Uneori însă ruperea se poate produce pe o suprafață care trece printre grăunții cristalini; ruperea se produce în acest caz datorită componentei normale maxime — de întindere — a materialului.

Ruperea ductilă apare după producerea unor deformări plastice apreciabile și se datorește propagării continue într-un timp mai îndelungat a fisurilor. O suprafață de rupere ductilă are un aspect deosebit de cea casantă prin aspectul mai fibros.

Modul de rupere nu este determinat exclusiv de natura materialului; materiale care de obicei au o rupere ductilă, prezintă rupere casantă în prezența concentratorilor de eforturi (modificări bruște ale secțiunii, creștături etc.), la temperaturi scăzute sau solicitate prin șoc.

Încercările de a determina prin calcul forțele care produc ruperea pornind de la forțele de coeziune s-au dovedit infructuoase; folosind modele simple de structură și ținând seama de forțele interatomice, precum și de energia de suprafață, se obțin prin calcul pentru forțele care ar trebui să producă ruperea, valori de zeci sau sute de ori mai mari decât cele care sînt determinate real prin încercări. Aceasta se datorește atît complexității structurilor reale, cît mai ales imperfecțiilor din structura lor, comparată cu cea a modelului lor teoretic. Valorile determinate experimental se apropie de cele determinate teoretic la materialele realizate în condiții tehnice deosebite pentru a obține o structură cît mai perfectă. Fibre foarte subțiri de sticlă, filamente metalice supuse întinderii se rup la forțe apropiate ca valoare de cele teoretice. Dar și în acest caz, chiar contactul cu alte materiale sau influența atmosferei reduc repede valorile reale, ca urmare a atacului pe care acesta îl exercită asupra suprafeței exterioare; aceasta dovedește influența stării suprafeței asupra capacității de rezistență; fisuri cît de mici o slăbesc considerabil.

Ruperea casantă are loc în absența deformățiilor plastice la materialele amorfe cum sînt: sticla, unii polimeri etc., în momentul atingerii unei valori a efortului unitar care de regulă nu poate fi prezis. Ruperea fragilă la materialele policristaline este precedată de mici deformări plastice.

Pentru materialele casante o explicație a discrepanței dintre rezistența teoretică și cea reală a fost dată de Griffith care presupune

că într-o bandă dintr-un asemenea material sînt numeroase fisuri de forma unor elipse foarte turtite (fig. 3.38) la marginea cărora sub acțiunea unei stări uniaxiale de eforturi se produce o concentrare de eforturi; efortul maxim  $\sigma_m$  are valoarea aproximativă

$$\sigma_m \approx 2\sigma \sqrt{\frac{c}{\rho}}$$

unde  $\sigma$  este efortul unitar mediu perpendicular pe direcția fisurilor,  $c$  este semiaxa mare a elipsei,  $\rho$  raza de curbură la extremitatea axei mari a elipsei; în cazul elipselor turtite  $\rho$  este foarte mic, ceea ce face ca la valori reduse pentru efortul unitar  $\sigma$ , efortul unitar maxim  $\sigma_m$  să ajungă la valoarea efortului de coeziune; fisura se extinde.

Calculînd cantitatea cu care energia elastică descrește (pentru o grosime egală cu unitatea) în momentul formării fisurii eliptice

$$W_e = \frac{\pi c^2 \sigma^2}{E}$$

precum și energia formată prin apariția tensiunii superficiale  $S$  (tot pentru unitatea de grosime)

$$W_s = 4cS,$$

Griffith ajunge la concluzia că propagarea fisurii se face pentru un minim al energiei totale  $W = W_e + W_s$  în raport cu semiaxa  $c$ , ceea ce conduce la valoarea efortului unitar mediu

$$\sigma = \sqrt{\frac{2ES}{\pi c}}$$

care constituie criteriul de rupere.

Această teorie stabilită pentru întindere simplă poate fi extinsă la cazul stării plane de eforturi socotind fisurile inițiale distribuite la întîmplare și admițînd că fisurile se propagă provocînd ruperea cînd valoarea efortului la marginea fisurii este aceea care produce propagarea fisurii și cazul stării de întindere simplă.

În acest caz, criteriul de rupere în funcție de eforturile principale  $\sigma_1$  și  $\sigma_2$  care pot fi de întindere dar și de compresiune, devine:

$$\sigma_1 = \sqrt{\frac{2ES}{\pi c}} \quad \text{dacă } 3\sigma_1 + \sigma_2 > 0$$

$$(\sigma_1 - \sigma_2)^2 + 8(\sigma_1 + \sigma_2) \sqrt{\frac{2ES}{\pi c}} = 0 \quad \text{dacă } 3\sigma_1 + \sigma_2 < 0$$

cu condiția  $\sigma_1 > \sigma_2$ .

Reprezentarea grafică a acestor condiții (fig. 3.39) într-un sistem de referință în care pe cele două axe se reprezintă valorile  $\sigma_1$  respectiv  $\sigma_2$  conduce la conturul  $ABCDE$ . Conform teoriei, ruperea nu se produce pentru combinațiile de eforturi principale reprezentate prin puncte situate în zona hașurată.

În diagramă iese în evidență faptul că în cazul compresiunii simple efortul unitar mediu care produce ruperea este de 8 ori mai mare decît cel care produce ruperea la întindere, fapt verificat la sticlă.

Ruperea casantă la materialele cristaline se deosebește de cea a materialelor amorfice prin aceea că în apropiere de suprafața de rupere apar deformații plastice. În acest caz, trebuie luate în considerare nu numai energia necesară producerii tensiunilor superficiale la fisuri, ci și cea necesară producerii deformațiilor plastice în apropierea fisurii. În cazul că deformațiile plastice se concentrează într-o zonă restrînsă, de grosime mică în raport cu lungimea fisurii, notînd

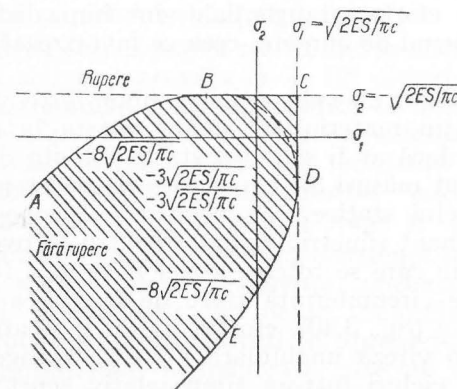


Fig. 3.39



cu  $P$  lucrul mecanic al forțelor pentru formarea deformației plastice, la colțul fisurii, criteriul de rupere devine

$$\sigma = \sqrt{\frac{2E(S+P)}{\pi c}} \approx \sqrt{\frac{EP}{c}}.$$

Aplicând această expresie materialelor care se rup casant, însă prezintă o oarecare ductilitate, rezultă că lungimea critică a fisurilor este de ordinul milimetrilor, spre deosebire de materialele amorse la care ruperea casantă este produsă de fisuri de ordinul micronilor.

Ruperea ductilă apare după deformații plastice apreciabile. La epruvete din materiale utilizate curent în practica inginerescă (oțelul în special) ruperea ductilă se produce după parcurgerea a trei stadii distincte: 1) epruveta începe să se gătuie, iar în zona gătuirii se nasc cavități în material; 2) cavitățile se contopesc formând fisuri în zona centrală care se îndreaptă spre exterior după o direcție perpendiculară pe direcția efortului; 3) fisurile în apropierea suprafeței laterale se îndreaptă după o direcție de  $45^\circ$  față de axa epruvetei care se rupe. Ruperea poartă numele de *rupere cupă și con*.

Din momentul inițierii gătuirii nici efortul unitar nici deformațiile în bară nu mai sînt uniforme. Ia naștere o stare tridimensională de eforturi, iar lungirile se concentrează în această zonă.

La temperaturi scăzute și sub șocuri, ruperea casantă apare în materialele cu structură cristalină dacă o dată cu scăderea temperaturii sau cu creșterea vitezei de încărcare se ridică limita de curgere. De asemenea, ruperea casantă poate apărea în cazul că proba prezintă creștături care introduc concentrări de eforturi, cum sînt cele pentru proba de reziliență. Când se aplică o forță în regiunea creștăturii, starea de eforturi este triaxială, lunecările și deformațiile plastice care necesită eforturi tangențiale sînt împiedicate; materialele nu prezintă fenomenul de curgere, ceea ce favorizează apariția ruperii casante.

Este bine cunoscut că sub acțiunea unor forțe variind ciclic un timp îndelungat, un material nu poate rezista la aceleași eforturi la care ar rezista dacă ar fi solicitat static. Limita de curgere, rezistența de rupere sînt măsuri ale capacității de rezistență a unui material numai la sarcini statice. La încercările la oboseală, în special pentru ciclul alternant simetric, realizat pentru încovoiere prin solicitarea unei epruvete care se rotește astfel încît la o rotație completă, orice punct de pe circumferință trece de la starea de întindere la cea de compresiune (fig. 3.40), efortul unitar ia toate valorile. Efectuînd rotațiile cu o viteză unghiulară mare se ajunge la valori mari ale numărului de cicluri într-un timp relativ scurt; încercarea are loc pînă la distrugerea epruvetei. Încercările se fac pentru valori

descrescînde ale efortului unitar maxim pînă se ajunge la acea valoare sub care ruperea prin oboseală nu mai apare. Această valoare poartă numele de rezistență la oboseală sau limita de anduranță, precizîndu-se felul solicitării (întindere, încovoiere etc.) și felul ciclului (alternant simetric, pulsator etc.).

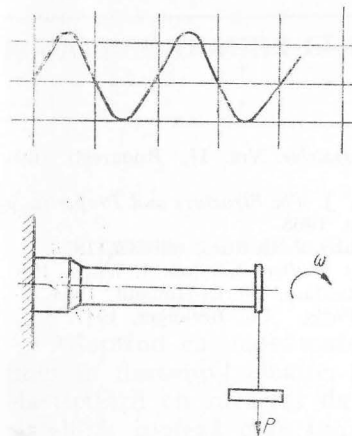


Fig. 3.40

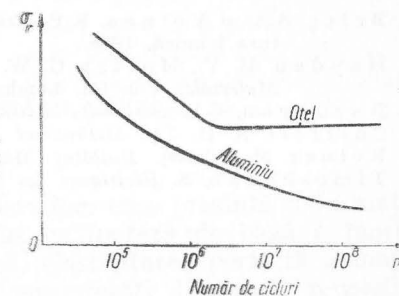


Fig. 3.41

Reprezentarea grafică a încercărilor se face de regulă într-un sistem semilogaritmice prin puncte avînd în ordonată valoarea efortului unitar maxim, iar în abscisă logaritmul numărului de cicluri la care s-a produs ruperea sub efortul respectiv.

La oțeluri pentru determinarea rezistenței la oboseală sînt necesare încercări care să solicite epruveta la  $\sim 10^6$  cicluri; o epruvetă care a rezistat la acest număr poate fi socotită că rezistă la un număr infinit de cicluri ( $> 10^8$ ). La materialele neferoase, aluminiul de exemplu, nu se poate defini o asemenea rezistență la oboseală; cînd numărul ciclurilor crește continuu, efortul unitar care produce ruperea scade, însă înclinarea tangentei scade și ea (fig. 3.41).

Sînt mulți factorii care influențează rezistența la oboseală. Merită în mod deosebit a fi remarcată existența concentrărilor de eforturi, starea suprafeței și condițiile de mediu. Schimbările de secțiune, găurile produc concentrări de eforturi în apropierea cărora se amorsează ruperea. Suprafețele neprelucrate care au inițial mici fisuri produc o scădere a rezistenței la oboseală; aceasta crește dacă suprafața este prelucrată chimic sau mecanic.



Mediul coroziv micșorează rezistența la oboseală la elementele neprotejate. Dacă se aplică o solicitare statică permanentă pentru piese supuse la un ciclu alternant de întindere — compresiune, rezistența la oboseală se modifică; scade dacă solicitarea permanentă este de întindere și crește dacă este de compresiune.

#### BIBLIOGRAFIE

1. Beleş, A.A. și Voinea, R.P. *Rezistența materialelor*. Vol. II, București, Editura tehnică, 1958.
2. Hayden, H. V., Moffat, G. W. și Wulff, J. *The Structure and Properties of Materials*, Vol. III, London, J. Wiley, 1965.
3. Buzdugan, G. h. *Rezistența materialelor*. București, Editura tehnică, 1958.
4. Cottrell, A. H. *The Mechanical Properties of Matter*. London, J. Wiley, 1964.
5. Reiner, M. (editor). *Building Materials*. Amsterdam, North-Holland, 1954.
6. Timoshenko, S. *Résistance des Matériaux*. Paris, Ch. Beranger, 1947.

## ECUAȚIILE TEORIEI ELASTICITĂȚII ȘI ALE TEORIEI PLĂCILOR PLANE SUBȚIRI

### 4.1. LEGILE DE BAZĂ ALE ELASTICITĂȚII LINIARE

Adoptînd ca model materialele cristaline, care prezintă deformații mici în domeniul elastic, s-a adoptat ca ipoteză de bază a teoriei elasticității cu caracter de lege fizică, elasticitatea perfectă a materialelor\*, ipoteză care implică două proprietăți distincte: reversibilitatea deformației și liniaritatea relațiilor dintre deformațiile specifice și eforturile unitare (legea lui Hooke); acestea din urmă au expresia cea mai simplă în cazul stării liniare de eforturi (întindere sau compresiune), și anume:

$$\sigma = E\varepsilon. \quad (4.1)$$

În starea de eforturi tridimensională, legea lui Hooke poate fi exprimată fie deducînd deformațiile specifice în funcție de eforturile unitare:

$$\begin{aligned} \varepsilon_x &= \frac{1}{E} [\sigma_x - \nu(\sigma_y + \sigma_z)]; & \gamma_{xy} &= \frac{1}{G} \tau_{xy}; \\ \varepsilon_y &= \frac{1}{E} [\sigma_y - \nu(\sigma_z + \sigma_x)]; & \gamma_{yz} &= \frac{1}{G} \tau_{yz}; \\ \varepsilon_z &= \frac{1}{E} [\sigma_z - \nu(\sigma_x + \sigma_y)]; & \gamma_{zx} &= \frac{1}{G} \tau_{zx}, \end{aligned} \quad (4.2)$$

\* Evident, această ipoteză este completată de ipotezele cunoscute: omogenitate, continuitate, izotropie.

fie deducând eforturile unitare în funcție de deformațiile specifice:

$$\begin{aligned}\sigma_x &= \lambda e + 2G\varepsilon_x; & \tau_{xy} &= G\gamma_{xy}; \\ \sigma_y &= \lambda e + 2G\varepsilon_y; & \tau_{yz} &= G\gamma_{yz}; \\ \sigma_z &= \lambda e + 2G\varepsilon_z; & \tau_{zx} &= G\gamma_{zx};\end{aligned}\quad (4.3)$$

în care  $E$  este modulul de elasticitate longitudinal,  $\nu$  constanta lui Poisson,  $\lambda$  și  $G$  coeficienții lui Lamé avînd valorile:

$$\lambda = \frac{\nu E}{(1 + \nu)(1 - 2\nu)}; \quad G = \frac{E}{2(1 + \nu)}, \quad (4.4)$$

iar  $e = \varepsilon_x + \varepsilon_y + \varepsilon_z$  este deformația specifică a volumului.

Deformația specifică a unui volum elementar sollicitat de o stare omogenă de eforturi caracterizată prin componentele  $\sigma_x, \sigma_y, \sigma_z, \tau_{xy}, \tau_{yz}, \tau_{zx}$  este dată de relația:

$$e = \varepsilon_x + \varepsilon_y + \varepsilon_z = \frac{\sigma_x + \sigma_y + \sigma_z}{E} (1 - 2\nu)$$

sau notînd

$$\begin{aligned}\theta &= \sigma_x + \sigma_y + \sigma_z \\ e &= \frac{1 - 2\nu}{E} \theta.\end{aligned}\quad (4.5)$$

Prin această relație se definește modulul de deformație volumică  $K$  socotind un corp supus unei presiuni hidrostatice uniforme:

$$\sigma_x = \sigma_y = \sigma_z = -p.$$

Notînd

$$e = -\frac{p}{K}$$

rezultă pentru  $K$  valoarea

$$K = \frac{E}{3(1 - 2\nu)}. \quad (4.6)$$

Deformația unui volum poate fi descompusă în două componente: cea care produce modificarea volumului păstrînd însă forma și cea care produce schimbarea formei păstrîndu-i însă volumul.

O stare uniformă de eforturi produsă de efortul unitar mediu:

$$\sigma_0 = \frac{1}{3} (\sigma_x + \sigma_y + \sigma_z) = \frac{\theta}{3}$$

produce o deformație volumică egală în valoare cu cea produsă de starea de eforturi dată. La un paralelipiped dreptunghi, acționat de starea de eforturi uniformă, și după deformație laturile păstrează rapoartele inițiale dinainte de deformare, toate lungindu-se în același raport:

$$(1 + \varepsilon_0) = 1 + \frac{\sigma_0}{E} (1 - 2\nu)$$

deci forma se păstrează.

Deviatorul eforturilor  $D_\sigma$  păstrează însă volumul modificînd forma: paralelipipedul dreptunghi se transformă într-unul oblic avînd toate fețele paralelograme\*. Evident, această observație este valabilă în cazul stării omogene de eforturi și numai pentru corpurile izotrope. Așa cum s-a văzut (v. § 2.4) deviatorul eforturilor constituie o stare de forfecare pură; ea produce numai distorsiunea corpului.

Energia potențială de deformație specifică (raportată la unitatea de volum) este:

$$w_e = \frac{1}{2} [\sigma_x \varepsilon_x + \sigma_y \varepsilon_y + \sigma_z \varepsilon_z + \tau_{xy} \gamma_{xy} + \tau_{yz} \gamma_{yz} + \tau_{zx} \gamma_{zx}]. \quad (4.7)$$

Ea poate fi exprimată fie numai în funcție de componentele efortului unitar:

$$\begin{aligned}w_e &= \frac{1}{2E} (\sigma_x^2 + \sigma_y^2 + \sigma_z^2) - \frac{\nu}{E} (\sigma_x \sigma_y + \sigma_y \sigma_z + \sigma_z \sigma_x) + \\ &+ \frac{1}{2G} (\tau_{xy}^2 + \tau_{yz}^2 + \tau_{zx}^2),\end{aligned}\quad (4.8)$$

fie numai în funcție de componentele deformației specifice

$$w_e = \frac{1}{2} \lambda e^2 + G(\varepsilon_x^2 + \varepsilon_y^2 + \varepsilon_z^2) + \frac{G}{2} (\gamma_{xy}^2 + \gamma_{yz}^2 + \gamma_{zx}^2). \quad (4.9)$$

Această expresie arată că energia de deformație este totdeauna pozitivă.

Energia potențială de deformație poate fi de asemenea descompusă în două părți corespunzînd deformației uniforme  $w_0$  (modificarea

\* Cu excepția cazului cînd direcțiile laturilor coincid cu cele ale eforturilor principale.

volumului cu păstrarea formei) și distorsiunii  $w_f$  (modificarea formei cu păstrarea volumului), avînd valorile:

$$w_v = \frac{3}{2} \sigma_0 \varepsilon_0 = \frac{3\sigma_0^2}{2E} (1 - 2\nu) = \frac{(\sigma_x + \sigma_y + \sigma_z)^2}{6E} (1 - 2\nu); \quad (4.10)$$

$$w_f = w_e - w_v = \frac{1+\nu}{6E} [(\sigma_x - \sigma_y)^2 + (\sigma_y - \sigma_z)^2 + (\sigma_z - \sigma_x)^2] + \frac{1}{2G} (\tau_{xy}^2 + \tau_{yz}^2 + \tau_{zx}^2). \quad (4.11)$$

Continuitatea corpului după deformare se exprimă prin ecuații de compatibilitate matematică: prin derivarea relațiilor dintre deformări și deplasări se obține:

$$\begin{aligned} \frac{\partial^2 \varepsilon_x}{\partial y^2} &= \frac{\partial^3 u}{\partial x \partial y^2}; \quad \frac{\partial^2 \varepsilon_x}{\partial z^2} = \frac{\partial^3 u}{\partial x \partial z^2}; \quad \frac{\partial^2 \varepsilon_y}{\partial x^2} = \frac{\partial^3 v}{\partial x^2 \partial y}; \\ \frac{\partial^2 \varepsilon_y}{\partial z^2} &= \frac{\partial^3 v}{\partial y \partial z^2}; \quad \frac{\partial^2 \varepsilon_z}{\partial x^2} = \frac{\partial^3 w}{\partial x^2 \partial z}; \quad \frac{\partial^2 \varepsilon_z}{\partial y^2} = \frac{\partial^3 w}{\partial y^2 \partial z}; \\ \frac{\partial^2 \gamma_{xy}}{\partial x \partial y} &= \frac{\partial^3 u}{\partial x \partial y^2} + \frac{\partial^3 v}{\partial x^2 \partial y}; \quad \frac{\partial^2 \gamma_{yz}}{\partial y \partial z} = \frac{\partial^3 v}{\partial y \partial z^2} + \frac{\partial^3 w}{\partial y^2 \partial z}; \\ \frac{\partial^2 \gamma_{zx}}{\partial x \partial z} &= \frac{\partial^3 u}{\partial x \partial z^2} + \frac{\partial^3 w}{\partial x^2 \partial z}, \end{aligned} \quad (4.12)$$

Ținînd seama că valoarea derivatelor nu depinde de ordinea în care s-a făcut derivarea, se obțin următoarele expresii:

$$\begin{aligned} \frac{\partial^2 \varepsilon_x}{\partial y^2} + \frac{\partial^2 \varepsilon_y}{\partial x^2} &= \frac{\partial^2 \gamma_{xy}}{\partial x \partial y} \\ \frac{\partial^2 \varepsilon_y}{\partial z^2} + \frac{\partial^2 \varepsilon_z}{\partial y^2} &= \frac{\partial^2 \gamma_{yz}}{\partial y \partial z} \\ \frac{\partial^2 \varepsilon_z}{\partial x^2} + \frac{\partial^2 \varepsilon_x}{\partial z^2} &= \frac{\partial^2 \gamma_{zx}}{\partial z \partial x} \end{aligned} \quad (4.13)$$

$$\begin{aligned} 2 \frac{\partial^2 \varepsilon_x}{\partial y \partial z} &= \frac{\partial}{\partial x} \left( \frac{\partial \gamma_{xz}}{\partial z} + \frac{\partial \gamma_{zx}}{\partial y} - \frac{\partial \gamma_{yz}}{\partial x} \right) \\ 2 \frac{\partial^2 \varepsilon_y}{\partial x \partial z} &= \frac{\partial}{\partial y} \left( \frac{\partial \gamma_{yz}}{\partial x} + \frac{\partial \gamma_{yx}}{\partial z} - \frac{\partial \gamma_{xz}}{\partial y} \right) \\ 2 \frac{\partial^2 \varepsilon_z}{\partial x \partial y} &= \frac{\partial}{\partial z} \left( \frac{\partial \gamma_{zx}}{\partial y} + \frac{\partial \gamma_{zy}}{\partial x} - \frac{\partial \gamma_{xy}}{\partial z} \right). \end{aligned} \quad (4.14)$$

Aceste 6 condiții sînt condițiile de compatibilitate exprimate în funcție de deformări.

Folosind relațiile dintre eforturi și deformări (legea lui Hooke generalizată), precum și ecuațiile diferențiale de echilibru, în absența forțelor masice, sau cînd acestea sînt constante, condițiile de compatibilitate pot fi exprimate în funcție de eforturile unitare, după cum urmează:

$$\begin{aligned} (1 + \nu) \Delta \sigma_x + \frac{\partial^2 \theta}{\partial x^2} &= 0; & (1 + \nu) \Delta \tau_{yz} + \frac{\partial^2 \theta}{\partial y \partial z} &= 0; \\ (1 + \nu) \Delta \sigma_y + \frac{\partial^2 \theta}{\partial y^2} &= 0; & (1 + \nu) \Delta \tau_{xz} + \frac{\partial^2 \theta}{\partial x \partial z} &= 0; \\ (1 + \nu) \Delta \sigma_z + \frac{\partial^2 \theta}{\partial z^2} &= 0; & (1 + \nu) \Delta \tau_{xy} + \frac{\partial^2 \theta}{\partial x \partial y} &= 0; \end{aligned} \quad (4.15)$$

unde cu  $\Delta$  s-a notat laplacianul:

$$\Delta = \frac{\partial^2}{\partial x^2} + \frac{\partial^2}{\partial y^2} + \frac{\partial^2}{\partial z^2}$$

iar cu  $\theta$  invariantul prim al eforturilor unitare:

$$\theta = \sigma_x + \sigma_y + \sigma_z.$$

Rezultă că pe lîngă ecuațiile de echilibru (2.28) și condițiile pe contur (2.30) eforturile unitare trebuie să verifice și condițiile de compatibilitate (4.15). Sistemul de ecuații astfel obținut este în general suficient pentru determinarea fără ambiguitate a eforturilor unitare. În acest sens, teorema lui Kirchhoff bazată pe faptul că eforturile unitare dispar cînd se îndepărtează forțele exterioare, demonstrează că soluția astfel obținută este unică.

În cazul stării plane de eforturi condițiile care trebuie satisfăcute de eforturile unitare sînt simplificate. În absența forțelor masice, ecuațiile de echilibru (2.29) și condițiile pe contur (2.31) sînt:

$$\left. \begin{aligned} \frac{\partial \sigma_x}{\partial x} + \frac{\partial \tau_{yx}}{\partial y} &= 0 \\ \frac{\partial \sigma_y}{\partial y} + \frac{\partial \tau_{xy}}{\partial x} &= 0 \\ \tau_{xy} &= \tau_{yx} \\ \sigma_x l + \tau_{yx} m &= \bar{X} \\ \sigma_y m + \tau_{xy} l &= \bar{Y}. \end{aligned} \right\}$$

Relația dintre eforturile unitare și deformațiile specifice (legea lui Hooke) se exprimă sub una din următoarele forme:

$$\begin{aligned}\varepsilon_x &= \frac{1}{E} (\sigma_x - \nu \sigma_y) \\ \varepsilon_y &= \frac{1}{E} (\sigma_y - \nu \sigma_x)\end{aligned}\quad (4.16)$$

sau

$$\begin{aligned}\sigma_x &= \frac{E}{1 - \nu^2} (\varepsilon_x + \nu \varepsilon_y) \\ \sigma_y &= \frac{E}{1 - \nu^2} (\varepsilon_y + \nu \varepsilon_x)\end{aligned}\quad (4.17)$$

iar condiția de compatibilitate ia una din expresiile:

$$\frac{\partial^2 \varepsilon_x}{\partial y^2} + \frac{\partial^2 \varepsilon_y}{\partial x^2} = \frac{\partial^2 \gamma_{xy}}{\partial x \partial y} \quad (4.18)$$

(condiția de compatibilitate în funcție de deformații) sau

$$\left( \frac{\partial^2}{\partial x^2} + \frac{\partial^2}{\partial y^2} \right) (\sigma_x + \sigma_y) = 0$$

(condiția de compatibilitate în funcție de eforturile unitare).

#### 4.2. FUNCȚIA DE TENSIUNE. FUNCȚIA DE DEPLASĂRI

Soluționarea problemei determinării eforturilor și a deformațiilor unui corp sollicitat de forțe exterioare se face de regulă cu ajutorul unor funcții din care prin derivări se obțin fie eforturile unitare, fie deformațiile.

În cazul stării plane de eforturi, se caută de regulă o funcție de tensiune  $\Phi$ , denumită funcția lui Airy, din care se obțin, prin derivare, valorile eforturilor unitare:

$$\sigma_x = \frac{\partial^2 \Phi}{\partial y^2}; \quad \sigma_y = \frac{\partial^2 \Phi}{\partial x^2}; \quad \tau_{xy} = -\frac{\partial^2 \Phi}{\partial x \partial y} \quad (4.19)$$

Evident, condiția de compatibilitate (4.18) trebuie să fie satisfăcută de aceste eforturi; exprimându-le ca mai înainte, se obține condiția de compatibilitate pentru funcția de tensiune:

$$\begin{aligned}\Delta \Delta \Phi &= \left( \frac{\partial^2}{\partial x^2} + \frac{\partial^2}{\partial y^2} \right) \left( \frac{\partial^2 \Phi}{\partial x^2} + \frac{\partial^2 \Phi}{\partial y^2} \right) = \\ &= \frac{\partial^4 \Phi}{\partial x^4} + 2 \frac{\partial^4 \Phi}{\partial x^2 \partial y^2} + \frac{\partial^4 \Phi}{\partial y^4} = 0.\end{aligned}\quad (4.20)$$

De asemenea, eforturile unitare trebuie să satisfacă condițiile pe contur (2.31).

Înlocuind în condițiile pe contur, valorile componentelor eforturilor unitare cu cele din (4.19), se obține:

$$\begin{aligned}\frac{\partial^2 \Phi}{\partial y^2} l - \frac{\partial^2 \Phi}{\partial x \partial y} m &= \bar{X} \\ \frac{\partial^2 \Phi}{\partial x^2} m - \frac{\partial^2 \Phi}{\partial x \partial y} l &= \bar{Y}.\end{aligned}$$

Valoarea și variația pe contur a funcției de tensiune poate fi stabilită integrând aceste expresii pe contur; ținând seama că:

$$\begin{aligned}l &= \cos(n, x) = \frac{dy}{ds} \text{ și} \\ m &= \cos(n, y) = -\frac{dx}{ds}\end{aligned}$$

și înlocuind în condițiile de mai înainte se obține:

$$\begin{aligned}\bar{X} &= \frac{\partial^2 \Phi}{\partial y^2} \frac{dy}{ds} + \frac{\partial^2 \Phi}{\partial x \partial y} \frac{dx}{ds} = \frac{d}{ds} \left( \frac{\partial \Phi}{\partial y} \right) \\ -\bar{Y} &= \frac{\partial^2 \Phi}{\partial x^2} \frac{dx}{ds} + \frac{\partial^2 \Phi}{\partial x \partial y} \frac{dy}{ds} = \frac{d}{ds} \left( \frac{\partial \Phi}{\partial x} \right).\end{aligned}$$

Integrând aceste expresii de-a lungul arcului  $OS$  (fig. 4.1) se obține:

$$\int_0^s \bar{X} ds = \frac{\partial \Phi}{\partial y} - \left( \frac{\partial \Phi}{\partial y} \right)_0; \quad - \int_0^s \bar{Y} ds = \frac{\partial \Phi}{\partial x} - \left( \frac{\partial \Phi}{\partial x} \right)_0. \quad (4.21)$$



Derivatele  $\frac{\partial \Phi}{\partial y}$  și  $\frac{\partial \Phi}{\partial x}$  din expresiile (4.21) sînt determinate pentru punctul  $S$ . La contururile simplu conexe, valorile derivatelor în punctul  $O$  nu influențează valorile eforturilor unitare dispărînd prin deri-

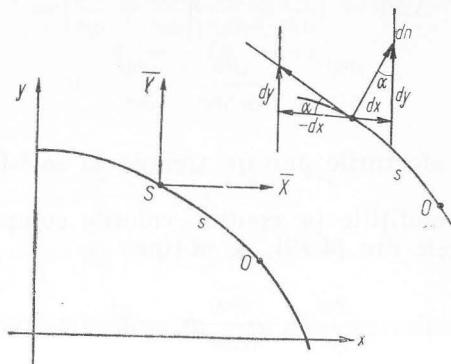


Fig. 4.1

vare. De aceea ele pot fi socotite nule și expresiile (4.21) se pot scrie sub forma :

$$\begin{aligned} \frac{\partial \Phi}{\partial x} &= - \int_0^s \bar{Y} ds = - \bar{T}_y \text{ și} \\ \frac{\partial \Phi}{\partial y} &= \int_0^s \bar{X} ds = \bar{T}_x. \end{aligned} \quad (4.22)$$

Mărimile  $\bar{T}_x$  și  $\bar{T}_y$  se calculează analog forței tăietoare : suma proiecțiilor tuturor forțelor aplicate pe contur (forțe exterioare) de la punctul  $O$  pînă la punctul  $S$  în care se calculează derivata funcției de tensiune.

Trecînd mai departe pentru a determina expresia funcției de tensiune se determină diferențiala ei totală :

$$d\Phi = \frac{\partial \Phi}{\partial x} dx + \frac{\partial \Phi}{\partial y} dy.$$

Funcția de tensiune  $\Phi$  se obține prin integrarea

$$\Phi = \int_0^s (\bar{T}_x dy - \bar{T}_y dx) \quad (4.23)$$

care se efectuează prin părți, obținîndu-se

$$\Phi = [\bar{T}_x y - \bar{T}_y x]_0^s - \int_0^s (y d\bar{T}_x - x d\bar{T}_y)$$

în care se înlocuiesc valorile componentelor forței tăietoare  $\bar{T}$  și a derivatei în funcție de forțele pe contur, obținîndu-se :

$$\Phi = \int_0^s \bar{X}(y_s - y) ds - \int_0^s \bar{Y}(x_s - x) ds. \quad (4.24)$$

Această expresie are valoarea momentului încovoietor al forțelor exterioare de pe conturul  $OS$  față de punctul  $S$  : el poate fi notat  $\bar{M}$  și relația devine :

$$\bar{M} = \Phi.$$

În cazul stării spațiale, tridimensionale, de eforturi, se poate apela tot la funcții de tensiune sau de deplasări. Una dintre funcțiile aplicabile, este funcția vectorială de deplasări a lui Galerkin. Notînd deplasarea sub formă vectorială cu

$$\bar{\rho} = \bar{i}u + \bar{j}v + \bar{k}w$$

iar funcția vectorială cu  $\bar{F}$

$$\bar{F} = \bar{i}X + \bar{j}Y + \bar{k}Z.$$

Deplasarea poate fi exprimată prin relația\*

$$2G\bar{\rho} = [2(1 - \nu)\Delta - \nabla \text{div}] \bar{F} \quad (4.25)$$

cu condiția ca

$$\Delta \Delta \bar{F} = - \frac{\bar{K}}{1 - \nu} \quad (4.26)$$

\* Reamintim că  $\nabla$  este operatorul diferențial „nabla” (uneori denumit „del”) definit prin relația :

$$\nabla \Phi = \left( \bar{i} \frac{\partial}{\partial x} + \bar{j} \frac{\partial}{\partial y} + \bar{k} \frac{\partial}{\partial z} \right) \Phi$$

iar prin „div” se notează divergența unui vector definită prin relația

$$\text{div } \bar{A} = \frac{\partial A_x}{\partial x} + \frac{\partial A_y}{\partial y} + \frac{\partial A_z}{\partial z}.$$

în care  $\bar{K}$  este forța masică; evident, în cazul că forța masică este nulă:

$$\Delta \Delta \bar{F} = 0. \quad (4.27)$$

Eforturile unitare se obțin prin derivare:

$$\begin{aligned} \sigma_x &= 2(1 - \nu) \frac{\partial(\Delta X)}{\partial x} + \left( \nu \Delta - \frac{\partial^2}{\partial x^2} \right) \operatorname{div} \bar{F} \\ \sigma_y &= 2(1 - \nu) \frac{\partial(\Delta Y)}{\partial y} + \left( \nu \Delta - \frac{\partial^2}{\partial y^2} \right) \operatorname{div} \bar{F} \\ \sigma_z &= 2(1 - \nu) \frac{\partial(\Delta Z)}{\partial z} + \left( \nu \Delta - \frac{\partial^2}{\partial z^2} \right) \operatorname{div} \bar{F} \\ \theta &= (1 + \nu) \Delta \operatorname{div} \bar{F} \\ \tau_{xy} &= (1 - \nu) \left( \frac{\partial \Delta X}{\partial y} + \frac{\partial \Delta Y}{\partial x} \right) - \frac{\partial^2}{\partial x \partial y} \operatorname{div} \bar{F} \\ \tau_{yz} &= (1 - \nu) \left( \frac{\partial \Delta Y}{\partial z} + \frac{\partial \Delta Z}{\partial y} \right) - \frac{\partial^2}{\partial y \partial z} \operatorname{div} \bar{F} \\ \tau_{zx} &= (1 - \nu) \left( \frac{\partial \Delta Z}{\partial x} + \frac{\partial \Delta X}{\partial z} \right) - \frac{\partial^2}{\partial z \partial x} \operatorname{div} \bar{F}. \end{aligned} \quad (4.28)$$

Avantajul funcției vectoriale a lui Galerkin constă în faptul că cele 3 componente ale sale după direcțiile  $Ox$ ,  $Oy$  și  $Oz$  sînt independente între ele; notîndu-le cu  $\mathfrak{F}_x$ ,  $\mathfrak{F}_y$  și  $\mathfrak{F}_z$  expresia (4.27) devine:

$$\Delta \Delta \mathfrak{F}_x = \Delta \Delta \mathfrak{F}_y = \Delta \Delta \mathfrak{F}_z = 0. \quad (4.29)$$

Un caz particular al stării tridimensionale este cel al torsiunii barelor cilindrice (fig. 4.2), problemă rezolvată de Barré de St. Venant prin metoda semiinversă denumită astfel pentru că consideră de la început cunoscute unele eforturi unitare, și anume:

$$\sigma_x = \sigma_y = \sigma_z = \tau_{xy} = \tau_{yx} = 0.$$

Problema se rezolvă determinînd o funcție de tensiune  $\Phi^*$  care să satisfacă ecuația lui Poisson

$$\Delta \Phi = -2G\theta, \quad (4.30)$$

în care cu  $\theta$  s-a notat rotirea specifică a secțiunii, și să fie constantă pe conturul secțiunii (sau pe contururi în cazul domeniilor multiplu

\* Funcție introdusă prima dată de Prandtl care a imaginat și analogia care îi poartă numele.

conexe (fig. 4.3); de regulă constanta se consideră nulă pentru conturul exterior  $c$ , deci:

$$(\Phi)_c = 0; \quad (\Phi)_{c_i} = C_i. \quad (4.31)$$

Pe fiecare contur interior este îndeplinită condiția:

$$\oint_{c_i} \frac{\partial \Phi}{\partial n} ds = -2G\theta A_i \quad (4.32)$$

în care cu  $A_i$  s-a notat aria închisă de conturul  $c_i$ .

O dată determinată funcția, componentele efortului unitar tangențial se determină prin derivare:

$$\tau_{zx} = \frac{\partial \Phi}{\partial y}; \quad \tau_{zy} = -\frac{\partial \Phi}{\partial x}. \quad (4.33)$$

Momentul de torsiune este dublul volumului închis de suprafața descrisă de funcția de tensiune și de suprafața secțiunii.

$$M_t = 2V\Phi = 2 \iint_A \Phi dx dy. \quad (4.34)$$

Reprezentînd funcția de tensiune ca o suprafață, efortul unitar tangențial într-un punct are ca direcție tangenta la curba de nivel în punctul respectiv, iar ca intensitate înclinarea liniei de cea mai mare pantă în acel punct.

O altă soluție se referă la eforturile unitare tangențiale datorite încovoierii barei drepte solicitate de o forță tăietoare  $T = P_x$  (fig. 4.4).

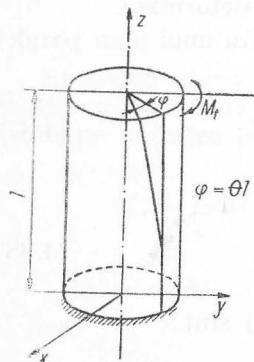


Fig. 4.2

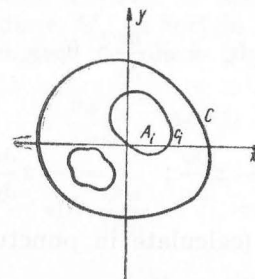


Fig. 4.3

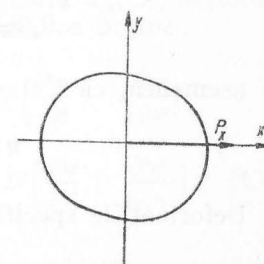


Fig. 4.4

Componentele eforturilor unitare tangențiale în acest caz pot fi deduse dintr-o funcție de tensiune  $\Phi = \Phi(x, y)$  care trebuie să verifice ecuația de tip Laplace

$$\Delta\Phi = \frac{\partial^2\Phi}{\partial x^2} + \frac{\partial^2\Phi}{\partial y^2} = 0 \quad (4.35 \text{ a})$$

iar într-un punct pe contur să aibă valoarea:

$$(\Phi)_e = \frac{P_x}{I_y} \int \frac{x^2}{2} dy - \frac{\nu}{2(1+\nu)} \cdot \frac{P_x y^3}{3 I_y} + C; \quad (y = y_e \text{ pe contur}) \quad (4.35 \text{ b})$$

în care cu  $I_y$  s-a notat momentul de inerție al secțiunii față de axa principală de inerție perpendiculară pe direcția forței tăietoare.

Componentele efortului unitar tangențial vor fi:

$$\tau_{xy} = -\frac{\partial\Phi}{\partial x}; \quad \tau_{zx} = \frac{\partial\Phi}{\partial y} - \frac{P_x}{2I_y} \left( x^2 - \frac{\nu y^2}{1+\nu} \right). \quad (4.36)$$

#### 4.3. ECUAȚIA PLĂCILOR PLANE SUBȚIRI

Plăci plane subțiri sînt considerate construcțiile definite printr-o suprafață mediană plană avînd grosimea (măsurată perpendicular pe suprafața mediană) mică în raport cu dimensiunile în planul suprafeței mediane. Deformațiile sînt mici; prin deformare, dreptele perpendiculare pe suprafața mediană înainte de deformare rămîn drepte și perpendiculare pe suprafața mediană și după deformare.

Din fig. 4.5 reiese (rezultatele se extind și asupra unui plan paralel cu  $Oy$  perpendicular pe planul  $xOy$ ) că:

$$\theta_x \approx \operatorname{tg} \theta_x = -\frac{\partial w}{\partial x}; \quad \theta_y = -\frac{\partial w}{\partial y}; \quad (4.37)$$

de asemenea, că:

$$u = -z \frac{\partial w}{\partial x}; \quad v = -z \frac{\partial w}{\partial y}. \quad (4.38)$$

Deformațiile specifice (calculate în punctul  $Q$ ) sînt:

$$\varepsilon_x = \frac{\partial u}{\partial x} = -z \frac{\partial^2 w}{\partial x^2}; \quad \varepsilon_y = -z \frac{\partial^2 w}{\partial y^2}; \quad \gamma_{xy} = -2z \frac{\partial^2 w}{\partial x \partial y}. \quad (4.39)$$

Exprimînd eforturile unitare în funcție de deformații (legea lui Hooke aplicată în cazul stării plane)

$$\sigma_x = \frac{E}{1-\nu^2} (\varepsilon_x + \nu \varepsilon_y); \quad \sigma_y = \frac{E}{1-\nu^2} (\varepsilon_y + \nu \varepsilon_x); \quad \tau_{xy} = G \gamma_{xy}. \quad (4.40)$$

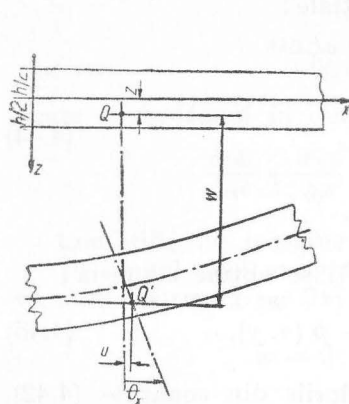


Fig. 4.5

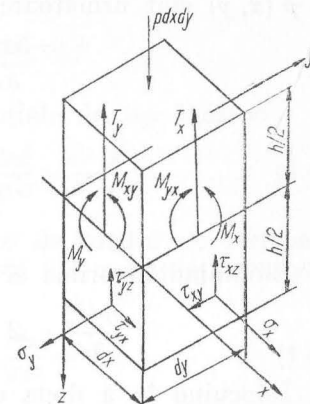


Fig. 4.6

Înlocuind în (4.40) valorile din expresiile (4.39) se obține:

$$\sigma_x = -\frac{Ez}{1-\nu^2} \left( \frac{\partial^2 w}{\partial x^2} + \nu \frac{\partial^2 w}{\partial y^2} \right); \quad \sigma_y = -\frac{Ez}{1-\nu^2} \left( \frac{\partial^2 w}{\partial y^2} + \nu \frac{\partial^2 w}{\partial x^2} \right)$$

$$\tau_{xy} = -2Gz \frac{\partial^2 w}{\partial x \partial y} = -\frac{Ez}{1+\nu} \frac{\partial^2 w}{\partial x \partial y}. \quad (4.41)$$

Reducînd eforturile din secțiune la momentele încovoiitoare  $M_x$  și  $M_y$ , momentul de torsiune  $M_{xy}$  și forțele tăietoare  $T_x$ ,  $T_y$ , acționînd toate pe unitatea de lungime de placă (fig. 4.6), se obține:

$$M_x = -D \left( \frac{\partial^2 w}{\partial x^2} + \nu \frac{\partial^2 w}{\partial y^2} \right); \quad M_y = -D \left( \frac{\partial^2 w}{\partial y^2} + \nu \frac{\partial^2 w}{\partial x^2} \right)$$

$$M_{xy} = -M_{yx} = (1-\nu)D \frac{\partial^2 w}{\partial x \partial y}; \quad T_x = -D \left( \frac{\partial^3 w}{\partial x^3} + \frac{\partial^3 w}{\partial x \partial y^2} \right) \quad (4.42)$$

$$T_y = -D \left( \frac{\partial^3 w}{\partial y^3} + \frac{\partial^3 w}{\partial x^2 \partial y} \right).$$

În aceste expresii s-a notat cu  $D$  rigiditatea plăcii:

$$D = \frac{Eh^3}{12(1-\nu^2)}. \quad (4.43)$$

Între eforturile secționale  $M_x, M_y, M_{xy}, T_x, T_y$  și încărcarea  $p = p(x, y)$  sînt următoarele relații diferențiale:

$$\begin{aligned} \frac{\partial T_x}{\partial x} + \frac{\partial T_y}{\partial y} &= -p(x, y) \\ \frac{\partial M_x}{\partial x} + \frac{\partial M_{xy}}{\partial y} &= T_x \\ \frac{\partial M_y}{\partial y} - \frac{\partial M_{xy}}{\partial x} &= T_y. \end{aligned} \quad (4.44)$$

Eliminînd în prima ecuație pe  $T_x$  și  $T_y$ , se obține expresia:

$$\frac{\partial^2 M_x}{\partial x^2} - 2 \frac{\partial^2 M_{xy}}{\partial x \partial y} + \frac{\partial^2 M_y}{\partial y^2} = -p(x, y). \quad (4.45)$$

Înlocuind în a doua ecuație (4.44) valorile din ecuațiile (4.42), se obține:

$$\begin{aligned} -D \frac{\partial}{\partial x} \left( \frac{\partial^2 w}{\partial x^2} + \nu \frac{\partial^2 w}{\partial y^2} \right) + \frac{\partial}{\partial y} (1 - \nu) \frac{\partial^2 w}{\partial x \partial y} &= T_x \\ T_x &= -D \left( \frac{\partial^3 w}{\partial x^3} + \frac{\partial^3 w}{\partial x \partial y^2} \right) = -D \frac{\partial}{\partial x} (\Delta w) \end{aligned}$$

deci:

$$T_x = -D \frac{\partial}{\partial x} (\Delta w); \quad T_y = -D \frac{\partial}{\partial y} (\Delta w). \quad (4.46)$$

Înlocuind valorile din (4.46) în prima ecuație (4.44) se obține:

$$\Delta \Delta w = \frac{\partial^4 w}{\partial x^4} + 2 \frac{\partial^4 w}{\partial x^2 \partial y^2} + \frac{\partial^4 w}{\partial y^4} = \frac{p(x, y)}{D}. \quad (4.47)$$

Această ecuație, denumită ecuația generală a plăcii plane subțiri, poate fi pusă și sub altă formă:

$$M_x + M_y = -(1 + \nu) D \left( \frac{\partial^2 w}{\partial x^2} + \frac{\partial^2 w}{\partial y^2} \right) = -(1 + \nu) D \Delta w;$$

notînd:

$$M = \frac{M_x + M_y}{1 + \nu} \quad (4.48)$$

ecuația devine:

$$M = -D \Delta w.$$

Folosind această relație, ecuația generală a plăcii (4.47) scrisă sub forma:

$$D \Delta \Delta w = \left( \frac{\partial^2}{\partial x^2} + \frac{\partial^2}{\partial y^2} \right) (D \Delta w) = p$$

poate fi desfăcută în două ecuații diferențiale de tip Poisson:

$$\frac{\partial^2 M}{\partial x^2} + \frac{\partial^2 M}{\partial y^2} = -p \quad \text{și} \quad \frac{\partial^2 w}{\partial x^2} + \frac{\partial^2 w}{\partial y^2} = -\frac{M}{D}. \quad (4.49)$$

Condițiile de margine sînt determinate de modul de rezemare.

În lungul unei margini simplu rezemate (de exemplu o margine rectilinie normală pe  $Ox$ ) (fig. 4.7)

$$w = 0; \quad M_x = 0 \quad \text{sau} \quad \frac{\partial^2 w}{\partial x^2} = 0. \quad (4.50)$$

În lungul unei margini libere orientate ca în fig. 4.7:

$$M_x = 0 \quad \text{sau} \quad \frac{\partial^2 w}{\partial x^2} + \frac{\partial^2 w}{\partial y^2} = 0$$

și

$$R_x = 0 \quad \text{sau} \quad \frac{\partial^3 w}{\partial y^3} + (2 - \nu) \frac{\partial^3 w}{\partial x \partial y^2} = 0$$

( $R_x$  este reacțiunea pe această latură).

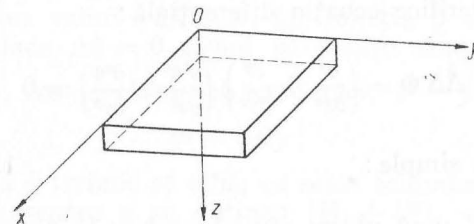


Fig. 4.7

Examinarea sumară a acestor probleme arată că ele pot fi rezolvate dacă se găsește în fiecare caz în parte o funcție, de tensiune sau de deformăție, care trebuie să satisfacă o ecuație diferențială și anumite



---

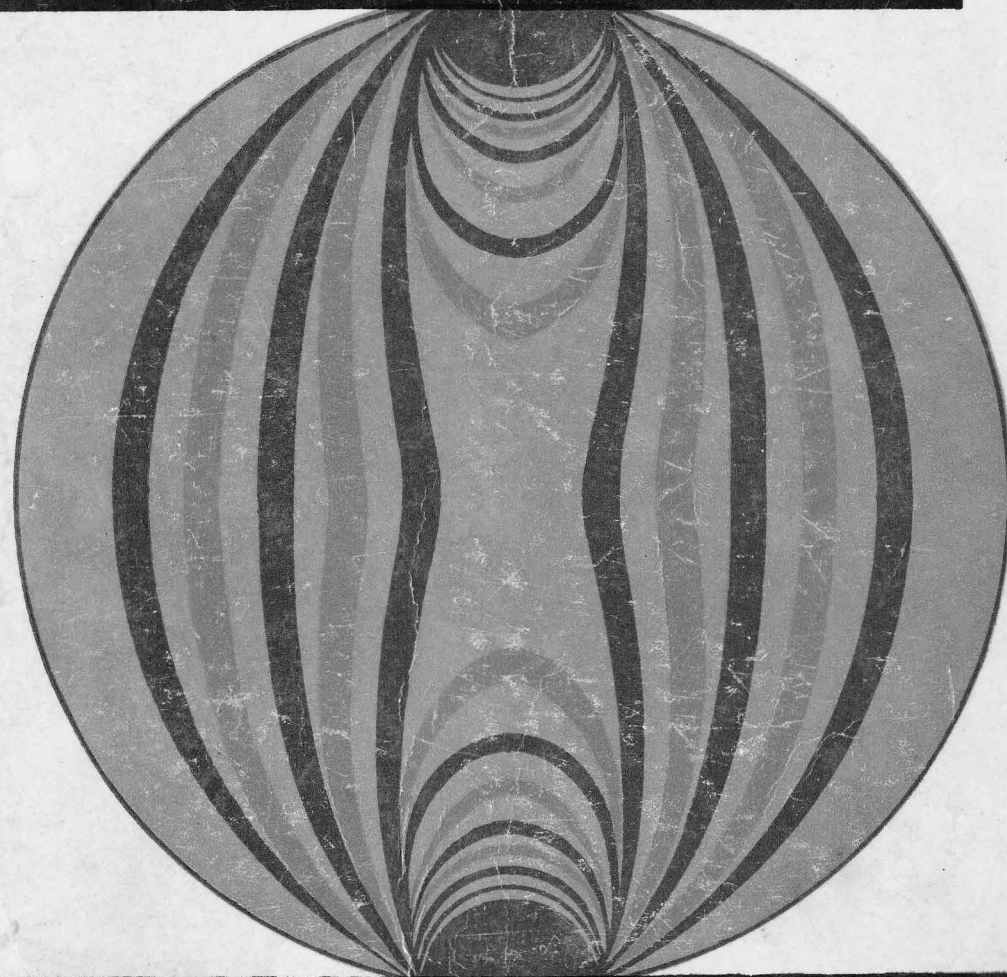
PROBLEME MODERNE  
ALE

OLIVIU RUSU  
TRAIAN GALL

---

REZISTENȚEI MATERIALELOR

---



lucrare autorii își propun să  
nte specialiștilor din domeniul  
ructiilor unele aspecte ale  
emelor de Rezistența mate-  
or izvorâte din cercetările de  
ator și din studiile teoretice  
prinse în acest domeniu în  
ele decenii.

ă a fi un manual sau un  
lucrare pune totuși la înde-  
proiectanților unele elemente  
alcul, cercetătorilor le oferă  
ablou sumar al direcțiilor de  
tigare impuse de necesitatea  
mai adinci cunoașteri a com-  
rii materialelor de construcție,  
xecutanților le dă prilejul de  
noaște mai real posibilitățile  
ucru ale acelorași materiale.

Prof. dr. ing. OLIVIU RUSU  
Ing. TRAIAN GALL

V. Pescany

## PROBLEME MODERNE ALE REZISTENȚEI MATERIALELOR



EDITURA TEHNICĂ  
București — 1970

## PREFAȚĂ

În dezvoltarea societății omenești, o mare importanță a avut activitatea „omului constructor”. Fiecare etapă istorică este marcată prin construcțiile ei, a căror evoluție poate fi considerată o măsură a nivelului de civilizație și de cultură atins. Artă de a construi a început însă să se transforme treptat în știință, numai cu trei secole în urmă, pentru a se încheia și a deveni un instrument deosebit de util o dată cu secolul nostru.

În ultimii patruzeci de ani, materialul factual, experiența acumulată, au condus la aprofundarea comportării materialelor de construcție sub acțiunea forțelor și la crearea unor puncte de vedere noi sau chiar a unor concepții de bază noi în tehnica construcțiilor.

În lucrarea de față autorii au căutat să extragă un material care să poată ajuta inginerul constructor să ia contact cu noi probleme mai cu seamă cu cele de dată mai recentă care nu au avut timpul necesar să pătrundă în practica curentă și de a-l apropia cât mai mult — proiectant, executant sau cercetător — de lumea fenomenelor fizice, de a-i crea o imagine cât mai clară a categoriilor cu care lucrează.

Lucrarea nu este un curs — cu toate că studenții institutelor de învățămînt tehnic superior ar putea găsi în ea elemente care să le completeze cunoștințele de bază obținute — și nici nu pretinde a fi un îndreptar pentru proiectanți. De aceea conținutul nu este raportat la normative în vigoare — care de altfel pot avea un caracter temporar — și nici la standarde. Sub unele aspecte, autorii au prezentat chiar poziții personale.

Pentru ușurința pătrunderii materialului, autorii au considerat de asemenea util să prezinte acest material într-o formă mai completă, ceea ce a condus la prezentarea pe scurt a unor noțiuni cuprinse în lucrările de specialitate și în manualele curent utilizate.

În ceea ce privește bibliografia, ea conține în general numai lucrările de bază, mai ample, articolele și notele de revistă lăsîndu-se de o parte, dat fiind că materialul bibliografic este deosebit de vast.

## AUTOREN

1. <i>Introducere</i>	11
1.1. Scurt istoric al Rezistenței materialelor	11
1.2. Unele probleme noi în Rezistența materialelor	15
2. <i>Starea de eforturi și de deformație</i>	20
2.1. Starea de eforturi omogenă	20
2.2. Eforturi unitare principale. Eforturile unitare octaedrice	22
2.3. Starea plană de eforturi. Cercul eforturilor unitare-Cercul lui Mohr	26
2.4. Cercul lui Mohr în cazul stării spațiale de eforturi	33
2.5. Deviatorul eforturilor unitare	35
2.6. Ecuațiile de echilibru. Condițiile pe contur	38
2.7. Deformația. Deplasări și deformații specifice	40
2.8. Variația deformațiilor în jurul unui punct	42
2.9. Deformațiile în cazul stării plane de deformații. Cercul lui Mohr pentru deformații	45
2.10. Domeniul de valabilitate al ecuațiilor exprimând starea de eforturi și de deformații	48
3. <i>Comportarea materialelor sub acțiunea forțelor</i>	51
3.1. Comportarea materialelor sub acțiunea statică a forțelor. Diagrame caracteristice	51
3.2. Elasticitate	58
3.3. Plasticitate	62
3.4. Comportarea materialelor în timp	65
3.5. Disiparea energiei. Viscositatea solidelor	69
3.6. Comportarea corpurilor la încărcări și descărcări repetate	72
3.7. Modelul corpului material	74
3.8. Ruperea fragilă (casantă). Oboseala	78
4. <i>Ecuațiile Teoriei elasticității și ale teoriei plăcilor plane subțiri</i>	85
4.1. Legile de bază ale elasticității liniare	85
4.2. Funcția de tensiune. Funcția de deplasări	90
4.3. Ecuația plăcilor plane subțiri	96
4.4. Rezolvarea directă a ecuațiilor cu condiții pe contur	100
4.5. Soluții aproximative ale ecuațiilor cu condiții date pe contur determinate prin calcul variațional	103
5. <i>Metode numerice pentru rezolvarea problemelor Teoriei elasticității</i>	108
5.1. Metoda diferențelor finite	108
5.2. Metoda relaxării	115
5.3. Aplicarea metodei relaxării la rezolvarea problemei plane a teoriei elasticității și a plăcilor plane subțiri	127
6. <i>Determinarea experimentală a eforturilor și a deformațiilor</i>	131
6.1. Fotoelasticitatea. Principii și metodă	132



6.2. Fotoelasticitatea. Domenii de aplicare	142
6.3. Metoda moiré-urilor. Principii	146
6.4. Studiul stării plane de eforturi cu ajutorul metodei moiré-urilor	146
6.4.1. Starea de deformare unidimensională	146
6.4.2. Rotirea rețelei	149
6.4.3. Starea plană de deformare	151
6.4.4. Metoda grafică de determinare a deformațiilor	153
6.4.5. Trasarea directă a liniilor de nivel $\varepsilon_x$ , $\varepsilon_y$ și $\gamma_{xy}$	155
6.4.6. Moiré de ordinul 2 (moiré de moiré)	156
6.5. Studiul încovoierii plăcilor cu ajutorul metodei moiré-urilor	158
6.6. Metoda moiré-urilor. Tehnica experimentală. Aplicații	161
6.7. Analogii	163
6.8. Rețele electrice analoge pentru rezolvarea unor probleme de rezistența materialelor	170
7. Aplicații ale calculului elastic. Calculul plăcilor ortotrope. Calculul sistemelor cu fire	182
7.1. Generalități	182
7.2. Elemente ortotrope.	182
7.2.1. Corpul anizotrop	184
7.2.2. Simetria generală. Corpul izotrop	188
7.3. Elemente de calcul al plăcilor ortotrope	188
7.4. Aplicarea calculului plăcilor ortotrope la rețele de grinzi. Metoda Guyon-Massonnet	197
7.5. Sisteme cu fire	209
8. Determinarea eforturilor și a deformațiilor în elemente solicate în domeniul plastic și elasto-plastic. Criterii de plasticitate	222
8.1. Considerații generale și principii de calcul	222
8.2. Calculul eforturilor unitare normale în secțiunile solicate în domeniul elasto-plastic.	225
8.2.1. Întinderea sau compresiunea simplă	225
8.2.2. Încovoierea	233
8.2.3. Încovoierea oblică	249
8.2.4. Calculul barelor supuse la încovoiere și efort axial în domeniul elasto-plastic	251
8.3. Condițiile de plasticitate în cazul stării plane de eforturi	253
8.4. Eforturile unitare tangențiale la grinzi solicate la încovoiere	256
8.5. Linii de curgere în cazul stării plane de eforturi și al plăcilor plane subțiri	261
8.6. Încărcările și descărcările repetate în domeniul elasto-plastic. Tensiunile inițiale	268
9. Elemente de teoria liniară a visco-elasticității	271
9.1. Corpul visco-elastic fără relaxare, cu deformații elastice întârziate	272
9.1.1. Ecuația de stare	272
9.1.2. Deformația sub efort constant	273
9.1.3. Revenirea după îndepărtarea efortului. Descărcarea	275
9.1.4. Deformația proporțională cu timpul. Efort unitar proporțional cu timpul. Ecuația caracteristică a materialului	276
9.1.5. Comportarea la solicitări ciclice	278
9.2. Corpul cu relaxare (corpul lui Maxwell)	281
9.2.1. Ecuația de stare	281
9.2.2. Deformația sub efort constant	282
9.2.3. Efortul sub deformare constantă	283
9.2.4. Efortul unitar produs de deformații proporționale cu timpul	284
9.2.5. Deformația în cazul unui efort unitar proporțional cu timpul	285

9.2.6. Diagrama caracteristică a unui corp cu relaxare	286
9.2.7. Deformarea la solicitări ciclice	288
9.3. Amortizarea vibrațiilor	289
9.4. Modele liniare. Funcția de fluaș și funcția de relaxare	291
9.5. Principiul suprapunerii efectelor	298
9.6. Fluașul (curgerea lentă) și relaxarea neliniară	304
9.7. Solidul neelastic standard	306
9.8. Betonul ca material reologic	309
9.9. Fluașul și relaxarea firelor de oțel	320
9.10. Comportarea construcțiilor alcătuite din materiale cu proprietăți visco-elastice	328
9.10.1. Analogia comportării elastice și visco-elastice	328
9.10.2. Încovoierea grinzilor alcătuite din materiale visco-elastice	329
9.10.3. Încovoierea grinzilor static nedeterminate	334
9.10.4. Încovoierea barelor comprimate excentric	336
9.10.5. Comportarea arcelor pleoștite cu încărcare mare	339
10. Metode statistice în Mecanica construcțiilor	343
10.1. Introducere	343
10.2. Noțiuni fundamentale	345
10.3. Mărimi aleatorii și caracteristicile distribuției lor.	348
10.3.1. Valori medii, momente, dispersii	350
10.3.2. Distribuția normală.	351
10.4. Aplicații la calculul construcțiilor	353
10.4.1. Curbele de repartiție a proprietăților fizico-mecanice ale materialelor	354
10.4.2. Curbele de repartiție a încărcărilor	355
10.5. Considerente statistice asupra coeficientului de siguranță	357
11. Evoluția concepțiilor în calculul construcțiilor	362
11.1. Generalități. Metoda rezistențelor admisibile	362
11.2. Metoda sarcinilor la rupere	367
11.3. Principiile de bază ale metodei de calcul la rupere pentru elementele de beton armat	369
11.4. Metoda de calcul la stările limită	371
Încheiere	377

## INTRODUCERE

Rezistența materialelor este o disciplină specific inginerescă. Ea răspunde unor probleme concrete de mare importanță practică și anume celor legate de durabilitatea construcțiilor; în cele din urmă ea trebuie să răspundă întrebării dacă o construcție concepută pentru un anumit scop va rezista, în sensul că în timpul exploatării, al construcției sau montajului, nu va ajunge să fie inutilizabilă nici prin rupearea unor elemente, nici prin deformații, nici prin vibrații sau prin pierderea stabilității.

Desigur, durabilitatea unei construcții este influențată de numeroși factori; ea poate fi redusă datorită coroziunii, incendiului sau altor cauze. Rezistența materialelor reține pentru studiu cauzele care nu modifică dimensiunile sau proprietățile fizico-mecanice ale construcției (acțiunea forțelor, diferențele de temperatură moderate care nu schimbă substanțial comportarea materialelor sub acțiunea forțelor, schimbări în așezarea construcției — tasarea reazemelor etc.).

Avînd această preocupare, două sînt direcțiile pe care se dezvoltă Rezistența materialelor; prima direcție este legată de determinarea forțelor interioare și a deformațiilor care iau naștere în urma acțiunilor din exterior; a doua direcție este cea a prezicerii dacă o construcție sau elementele construcției vor rezista forțelor, a aprecierii gradului de siguranță la acțiunile normale, extraordinare și catastrofale previzibile.

În dezvoltarea sa, Rezistența materialelor înmănunchează, sistematizează și face sinteza între cunoștințele teoretice și experimentale, trăgînd concluzii pentru practica inginerescă.

### 1.1. SCURT ISTORIC AL REZISTENȚELOR MATERIALELOR

Rezistența materialelor este o știință relativ nouă. Dezvoltarea ei este legată de dezvoltarea producției industriale și de consecințele ei în domeniul construcțiilor civile și industriale, a transporturilor

și căilor de comunicație; Rezistența materialelor s-a născut din cerințele practicii, pentru a servi practica industrială; dezvoltarea ei în timp constituie o ilustrare a cuvintelor lui Marx care spunea că industria împinge mai departe știința decât o sută de universități.

Preocupările pentru realizarea de construcții sînt vechi, am putea spune de cînd lumea. Sînt cunoscute în întreaga lume construcții care, deși realizate cu multe secole în urmă, uneori cu milenii, își păstrează încă întreagă capacitatea de rezistență. Ceea ce caracterizează construcțiile rămase din vremuri îndepărtate este în primul rînd faptul că ele nu se disting printr-o mare diversitate și în al doilea rînd că pentru realizarea lor au fost folosite cantități de materiale care depășesc cu mult cantitățile utilizate astăzi pentru construcții de aceeași mărime, supuse unor solicitări asemănătoare.

Lipsa diversității se datorește faptului că o construcție nouă copia în mare măsură lucrările vechi asemănătoare, care prezentau avantajul hotărîtor de a fi fost verificate de practică. Dacă unele lucrări la care se aduceau inovații sau soluții noi se dovedeau la fel de rezistente, sau mai rezistente decât construcțiile vechi, ele însele deveneau modele pentru lucrările ulterioare; progresul avea, în cea mai mare parte, o singură sursă: experiența, de aceea era foarte lent și devenea vădit numai după trecerea, cîteodată, a numeroase generații.

Ca și celelalte științe moderne ale naturii, Rezistența materialelor are începuturile în epoca renașterii în condițiile dezvoltării capitalului comercial, a comunicațiilor internaționale maritime, a industriei miniere și metalurgice. Intensificarea schimburilor comerciale pe căi navigabile, în special pe mare, pune problema creerii de vase de mai mare tonaj, amenajarea căilor navigabile și realizarea de construcții hidrotehnice, cum sînt barajele și ecluzele, porturile.

Metodele tradiționale nu mai puteau răspunde noilor cerințe. Încercările de a realiza nave noi prin mărirea la scară a celor vechi dădeau eșec; a apărut necesitatea studierii elementelor ținînd seama de capacitatea lor de rezistență. Cel care a început primele experiențe sistematice în acest domeniu a fost Galileo Galilei care la Arsenalul de la Veneția a obținut primele rezultate în probleme de similitudine, stabilind relații între dimensiunile grinzilor și încărcările pe care le pot suporta.

În secolul al XVII-lea și mai apoi în secolul al XVIII-lea începe sistematic studiul experimental al legilor naturii; iau ființă societăți savante — embrioanele academiilor de știință de mai tîrziu — în Italia, Franța, Anglia, apoi în Rusia și Germania; se formulează legile naturii în diferite domenii ale fizicii. Unele principii fundamentale ale Rezistenței materialelor sînt determinate o dată cu celelalte

te legi ale fizicii de aceiași oameni de știință cu multiple preocupări în domeniul fizicii. Ca momente în această perioadă, sînt de notat legea lui Hooke privind proporționalitatea dintre eforturi și deformații, lucrările lui Mariotte, care deși nu a reușit, s-a apropiat mult de soluția problemei eforturilor în grinda dreaptă solicitată la încovoiere, lucrările lui Iacob Bernoulli și Daniel Bernoulli, în domeniul încovoierii barelor și ale lui Leonhard Euler cu privire la curbele de deformație ale grinzilor și coloanelor solicitate de forțe.

Cu toate că Galilei, Hooke și Mariotte, studiind probleme care astăzi aparțin Rezistenței materialelor, aveau în vedere și aspectul practic, majoritatea cercetărilor care se desfășurau în acea vreme se datorau curiozității științifice, dorinței de a cunoaște legile naturii. Abia în secolul al XVIII-lea au început să fie treptat introduse în practica inginerescă rezultate obținute în secolul precedent. Problemele noi care apăreau cereau nu numai o experiență și cunoștințe practice, dar și măiestrie în rezolvarea lor rațională. Au luat ființă primele școli de pregătire inginerescă și au apărut, primele lucrări de mecanică tehnică. În Franța ia naștere, în anul 1720, Corpul inginerilor de drumuri și căi de comunicație, iar în 1747 se înființează renumita Școală de Poduri și Șosele pentru pregătirea inginerilor în construcția drumurilor, canalelor și podurilor. Dintre numeroșii savanți care în acea perioadă au contribuit la formarea disciplinei Rezistenței materialelor, un aport deosebit l-a avut Coulomb care a studiat teoretic și experimental numeroase probleme ale determinării eforturilor și deformațiilor din care multe, modificate numai în formă, sînt preluate și astăzi. De asemenea Navier, care a dat soluții corecte numeroaselor probleme de care s-a ocupat și care a publicat una din primele cărți, cuprinzătoare, la zi, de Rezistența materialelor.

Acumularea cunoștințelor teoretice și experimentale a permis ca în secolul al XIX-lea să se facă o amplă sinteză teoretică, stabilindu-se un model abstractizat al corpului material, o comportare idealizată a lui sub acțiunea forțelor la care este solicitat. Pe această bază s-a încheșat și dezvoltat, folosind un aparat matematic uneori destul de avansat, Teoria elasticității la care au contribuit mari fizicieni și matematicieni ca: Poisson, Cauchy, de Saint Venant, Lamé, Maxwell, Ostrogradski, Green, Stokes și alții.

Rezultatele Teoriei elasticității au fost cuprinzător aplicate în practica inginerescă însă mult mai tîrziu; Rezistența materialelor s-a dezvoltat stabilindu-și ipotezele de bază proprii — din care unele coincideau cu cele ale Teoriei elasticității — modelul corpului material, metode proprii de cercetare și de rezolvare avînd ca obiectiv calculul construcțiilor și elementelor de construcție și siguranța lor. Un imens volum de cercetări experimentale desfășurate în laboratoare de încer-



cări ale materialelor au permis stabilirea tot mai precisă a proprietăților fizico-mecanice a materialelor, a comportării lor sub acțiunea forțelor în diferite condiții de solicitare.

Sinteza cercetărilor pentru cerințele muncii ingineresti este opera inginerilor însăși. Metodele de stabilire a eforturilor, criteriile de dimensionare etc. se datoresc inginerilor care, introducând materiale noi, au pus și rezolvat noi și noi probleme; fiind legată de dezvoltarea industriei în toate țările, Rezistența materialelor s-a dezvoltat cu aportul adus de inginerii din toate țările, pe măsura dezvoltării lor industriale. Sînt cunoscute contribuțiile lui Juravski în domeniul încovoierii grinzilor, Clapeyron în domeniul grinzilor cu mai multe deschideri, O. Mohr în numeroase probleme legate de starea de eforturi, de criteriile de rezistență, de calculul deformațiilor și al eforturilor în sisteme etc., Fairbairn în domeniul încercării materialelor, Woehler în domeniul oboselii și mulți alții.

Urmărind istoricul dezvoltării disciplinei, trebuie să remarcăm că deși contribuții ale inginerilor români au existat, ele s-au limitat în special la aplicarea riguroasă a Rezistenței materialelor la calculul construcțiilor. Lipsa condițiilor materiale pentru cercetare și menținerea la un nivel scăzut a industriei din trecut s-a resimțit și în acest domeniu; atunci cînd au existat însă posibilități, realizările au fost la înălțimea concepțiilor celor mai moderne la acea dată.

Podul peste Dunăre, conceput și realizat sub conducerea inginerului Anghel Saligny, este un model de aplicare creatoare în concepția generală și în detalii a Rezistenței materialelor în construcția de poduri; reamintim că prima dată a fost introdus în construcția de poduri oțelul moale în locul fierului pudlat. Menționăm, de asemenea, sinteza făcută de Gh. Em. Filipescu în forma elegantă pe care o dă calculul vectorial, în lucrarea „Rezistența materialelor și Statica construcțiilor“, a cărei răspundere mai restrînsă se datorește numai faptului că limba noastră este mai puțin accesibilă în străinătate. În fine, menționăm lucrarea creatorului sonicității George (Gogu) Constantinescu, publicată la începutul secolului nostru, în care starea de eforturi în barele de beton armat este analizată aplicînd soluțiile exacte ale Teoriei elasticității.

Problemele complexe pe care le ridică economia modernă care acordă importante mijloace materiale investițiilor, a determinat o dezvoltare continuă și rapidă a Rezistenței materialelor. Cercetările experimentale asupra proprietăților materialelor sporesc tot timpul, avînd drept scop aprofundarea cunoștințelor asupra comportării lor în construcții cît și pentru a determina proprietățile materialelor noi introduse în practica inginerescă. Sînt studiate noi probleme apărute în domeniu, ca urmare a noilor sisteme constructive și a noilor solici-

tări care apar. Cunoștințele teoretice stabilite de Teoria matematică a elasticității sînt utilizate în practica inginerescă. Pe măsura dezvoltării unor noi discipline, rezultatele sînt preluate, prelucrate și, în măsura în care sînt accesibile, aplicate: este vorba în special de Teoria plasticității și de unele capitole ale Reologiei.

Teoria plasticității, al cărei început este marcat prin lucrările experimentale efectuate de Tresca încă acum un secol (în anul 1868), și care s-a dezvoltat sub formă matematică, din primele decenii ale secolului nostru, a devenit o disciplină interesantă pentru inginerul constructor abia în ultimele decenii cînd, aplicată la calculul structurilor, a scos în evidență rezerve ale capacității portante a acestora și a dat posibilitatea analizei mai aprofundate a siguranței construcțiilor. Deși problema esențială, aceea a articulațiilor plastice a fost sugerată de Kazinczy încă din anul 1914, introducerea ei în preocupările cercurilor largi ingineresti coincide cu prezentarea încercărilor lui Maier-Leibniz, la al II-lea Congres al Asociației Internaționale de Poduri și Șarpante din anul 1936. Lucrările a numeroși ingineri cercetători și sintezele făcute de Prandtl, Baker, Nádai, Sokolovski, Hill, au dat posibilitatea trecerii la norme noi de calcul a construcțiilor, ținînd seama de proprietățile plastice ale materialelor.

Reologia — literal știința despre curgere — cuprinde un vast domeniu de preocupări în care, în sensul cel mai larg, include ca discipline particulare pe cele care se ocupă de deformația corpului solid, instantanee sau în decursul timpului. În înțeles restrîns, Reologia se ocupă de comportarea în timp a materialelor, a elementelor sau a unor structuri. Deși unele noțiuni fundamentale au fost stabilite din secolul trecut, interesul constructorilor pentru Reologie a apărut o dată cu extinderea pe scară mare a betonului armat, care a devenit materialul de bază în construcții. Observarea fenomenului de curgere lentă a betonului sub sarcină și a fenomenului de relaxare a eforturilor sub deformație impusă a pus probleme în special o dată cu extinderea procedurii de precomprimare pentru care este esențială menținerea tensiunii inițiale în armătura întinsă.

## 1.2. UNELE PROBLEME NOI ÎN REZISTENȚA MATERIALELOR

Din problemele noi apărute în Rezistența materialelor, în cele ce urmează sînt enunțate unele, menționîndu-se cele care fac obiectul lucrării de față.

În domeniul Teoriei elasticității aspectele fundamentale sînt rezolvate încă din secolul trecut. De asemenea sînt stabilite metodele de



rezolvare a problemelor, dându-se soluții pentru numeroase probleme în plan și în spațiu. Metodele clasice aplicate au fost completate în ultimele decenii cu noi metode, în special prin aplicarea funcțiilor de variabilă complexă și a transformării conforme cu ajutorul cărora s-au obținut soluții pentru domeniul plan care prezintă diferite goluri, rigidizări etc.

Aspecte noi au apărut o dată cu modificarea unora dintre ipotezele de bază. Astfel este Teoria elasticității corpurilor anizotrope, corpurilor care proprietățile fizico-mecanice (constantele elastice) variază în jurul unui punct în funcție de direcțiile care trec prin acel punct. O teorie asemănătoare — având în vedere analogia dintre ecuația fundamentală pentru starea plană de eforturi și ecuația fundamentală a plăcilor plane subțiri, solicitate transversal pe suprafața mediană — a fost dezvoltată pentru plăci: lucrarea de față prezintă problema plăcii ortotrope.

Prin renunțarea la ipoteza micilor deformații care conduce la relații liniare, ca și prin examinarea comportării materialelor care în domeniul elastic nu ascultă de legea lui Hooke, s-a dezvoltat Teoria elasticității neliniare cu aplicații în special în domeniul stabilității echilibrului elastic, al calculului barelor cu deformații mari și al plăcilor plane și curbe având deformațiile de ordinul grosimii plăcilor, al deformației corpurilor având tensiuni inițiale și al încovoierii și torsionii barelor solicitate și de forțe axiale.

În fine, trecând peste numeroase probleme rezolvate, printre care cele care se referă la solicitări termice, la undele de șoc etc., menționăm aici, fără a fi tratate în lucrare cele care se referă la solicitări seismice și vibrații, cu aplicații la semiplanul conținând surse de distorbații și la interacțiunea între fundațiile unei mașini care vibrează și semispațiul elastic.

Se poate aprecia că tratarea teoretică cuprinde un număr mare de probleme; dificultăți apar însă la rezolvare prin metodele obișnuite a problemelor care se întâlnesc în practica inginerescă. De aceea, numeroase preocupări sînt îndreptate în special spre găsirea metodelor de calcul apropiate problemelor și preciziei cerute de activitatea inginerescă; altele se referă la procedee experimentale de determinare a comportării construcțiilor folosind fie modele alcătuite din același material ca și construcția sau materiale asemănătoare, fie modele fotoelastice, sau modele electrice.

Dintre metodele de calcul o dezvoltare au căpătat-o metodele numerice; pînă nu de mult ele se bazează pe metodele de calcul cu diferențe finite; ele sînt tratate și în lucrarea de față. Menționăm că în ultima vreme se dezvoltă metoda elementelor finite: domeniul

studiat — un domeniu plan de regulă — este conceput ca fiind alcătuit dintr-un număr finit de elemente triunghiulare articulate între ele la colțuri. Rezolvînd ecuațiile de echilibru și de deplasări pentru vîrfurile triunghiului, se poate stabili starea de eforturi și de deformație a întregului domeniu studiat. Avantajul acestei metode constă în faptul că poate fi pusă sub formă matriceală și programată pe calculatoarele electronice.

Fotoelasticitatea, metodă prezentată în lucrarea de față, a rămas principala metodă de investigare experimentală a stării de eforturi în domeniile plane, extinsă cu ajutorul procedurii înghețării eforturilor și asupra domeniilor tridimensionale. De asemenea, menționăm că elemente alcătuite din materiale neomogene pot fi tratate cu ajutorul fotoelasticității; au fost realizate modele pentru grinzi de beton armat etc. Datorită progreselor cinematografeiei, fotoelasticitatea s-a dovedit un mijloc de investigare experimentală a stării de eforturi datorite solicitărilor dinamice.

În ultima vreme, domeniul cercetării cu ajutorul luminii polarizate s-a extins și asupra comportării plastice a materialelor folosind cristale, materiale sintetice prezentînd ductilitate sau învelișuri birefringente. De asemenea, se fac studii pentru folosirea unor geluri în vederea studierii comportării reologice a materialelor sub acțiunea forțelor.

O metodă care se extinde din ce în ce mai mult este metoda moiré-urilor cu aplicații pentru studiul stării plane de eforturi, dar mai ales — și aici se pare că este greu de înlocuit — pentru studiul plăcilor plane și al unor plăci curbe.

Atît metoda fotoelasticității, cît și metoda moiré-urilor și-au sporit eficiența prin utilizarea calculatoarelor electronice cuplate la un dispozitiv fotoelectric de explorare a imaginilor.

În fine, o metodă experimentală care, deși utilizată pe o scară mai redusă decît fotoelasticitatea sau metoda moiré-urilor, s-a dovedit potrivită pentru rezolvarea unor probleme de elasticitate plană sau pentru plăci plane, este metoda analogiei electrice. Problema este tratată în lucrare; aplicarea sa presupune construcția unei rețele electrice relativ simple, care îndeplinește funcția unui calculator electric specializat în problemă.

În două capitole din lucrare se dau elementele fundamentale de Teoria plasticității și Teoria liniară a viscoelasticității. În domeniul Teoriei plasticității, prezentarea este limitată la unele probleme legate strict de rezistența barelor drepte, schițîndu-se doar modul de atacare a problemelor în domeniul stării plane de eforturi și al plăcilor. Este necesar să menționăm că, în special în ce privește plăcile plane, literatura de specialitate cuprinde numeroase lucrări cu caracter teore-

tic și tabele de proiectare stabilite pe baza liniilor de curgere (rupere); de asemenea, că un volum mare de cercetări este dedicat calculului sistemelor static nedeterminate, în special cu un grad înalt de nedeterminare, în domeniul plastic.

Din domeniul reologiei au fost prezentate problemele fundamentale. În stadiul actual, pentru inginerii constructori, în special pentru cei care se ocupă de structuri, Reologia dă puține soluții utilizabile în proiectare; totuși, numeroase concluzii cu caracter calitativ, care se desprind din studiul fenomenelor, nu pot fi neglijate. Trebuie să menționăm că în acest domeniu, în problemele specifice construcției de mașini, unde intervin fenomene asemănătoare — ne referim la fluajul și relaxarea la temperaturi ridicate — s-a ajuns la soluții aplicabile în practică în numeroase probleme. De sigur, specificul exploatarea construcțiilor este diferit de cel al mașinilor sau instalațiilor; este însă de așteptat ca aplicarea cunoștințelor de reologie să poată duce și la concluzii cantitative cu privire la comportarea și la proiectarea sistemelor constructive.

În privința coeficientului de siguranță și în general al siguranței construcțiilor, concepțiile clasice sînt de asemenea în curs de evoluare. Într-adevăr, se constatare de mult timp că ansambluri de elemente solicitate mult peste limita admisibilă sau chiar de rupere a unora dintre elemente se comportau încă bine, în limita unor deformații care nu scoteau însă construcția din folosință, ceea ce a condus la formarea convingerii că în conformitate cu procedeele de calcul clasic admise, măsura siguranței ansamblului — care este în ultima instanță ceea ce interesează — nu este legată direct de măsura siguranței elementelor componente. Fenomenele observate nu puteau fi puse decît în legătură cu o redistribuire a eforturilor, deci cu o imagine a comportării care nu era cea reală. Se vede de aici că stabilirea comportării reale a materialelor, deci considerarea proprietăților elasto-plastice a lor, a impulsionează și revizuirea conceptului de coeficient de siguranță. Ca urmare, fenomene aleatorii, cum sînt caracteristicile fizico-mecanice ale materialelor și mărimile încărcărilor, au introdus noțiunile de frecvență și de probabilitate în mecanica construcțiilor.

În lucrare se dau cîteva noțiuni elementare de bază pentru a putea expune concepția probabilistă asupra caracteristicilor fizico-mecanice ale materialelor și asupra încărcărilor accidentale, zăpada și vîntul. Pentru prima categorie, discuția s-a purtat numai pe distribuția lui Gauss, unanim adoptată în toate ramurile industriei și prescrisă și de standardele de stat. În ceea ce privește distribuțiile unor fenomene cum sînt vîntul și zăpada, ele sînt dictate de observații îndelungate și nu pot fi obținute prin nici un alt mijloc. În același capitol al lucrării se arată ce interes deosebit prezintă concepția statistică în

privința siguranței unei construcții, prin aceea că indică și unele căi de realizare a acestei siguranțe sporite. Într-adevăr, noua teorie arată clar că menținerea unei uniformități în realizarea unui produs cu anumite caracteristici (de exemplu realizarea unei mărci de beton) este mult mai economică (printr-o siguranță sporită), decît tendința de a spori calitativ caracteristicile acelui produs.

#### BIBLIOGRAFIE

1. Goodier, J. N. și Hodge, P. G. jr. *Elasticity and Plasticity*. London, J. Wiley, 1958.
2. Iliușin, A. A. *Voprosi teorii plasticnosti*. Moskva, Izdatelstvo Akademii Nauk S.S.S.R., 1961.
3. L'Hermite, R. *L'expérience et les théories modernes en Résistance des Matériaux*. Ed. II, Paris, Dunod, 1945.
4. Timoshenko, S. *History of Strength of Materials*. New York, Mc. Graw-Hill, 1953.

## STAREA DE EFORTURI ȘI DE DEFORMAȚIE

### 2.1. STAREA DE EFORTURI OMOGENĂ

Într-un element de construcție în echilibru sub acțiunea forțelor exterioare (dar tot atât de bine sub acțiunea diferențelor de temperatură, sau a unor deformații impuse), iau naștere eforturi. În cazul cel mai general starea de eforturi este tridimensională. Dacă printr-un punct  $O$  (fig. 2.1) se fac succesiv diferite secțiuni, pe fiecare secțiune în acest punct va acționa un efort unitar diferind de regulă atât ca intensitate, cât și ca direcție de la o secțiune la alta. Pentru a defini starea de eforturi într-un sistem de referință cartezian  $Oxyz$ , se consideră o particulă materială de forma unui paralelipiped cu laturile infinit mici  $dx$ ,  $dy$ ,  $dz$  cu un vîrf în punctul  $O$ ; la limită, cînd  $dx$ ,  $dy$  și  $dz$  devin nule, particula se reduce la punctul  $O$ .

Pe fețele paralelipipedului vor acționa forțe; acestea pot fi definite în funcție de eforturile unitare de pe fețe, presupuse constante în aceste domenii infinit mici; eforturile unitare de pe fețe pot fi descompuse după direcțiile axelor sistemului de referință adoptat. Din cauza dimensiunilor infinitezimale ale fețelor se consideră că

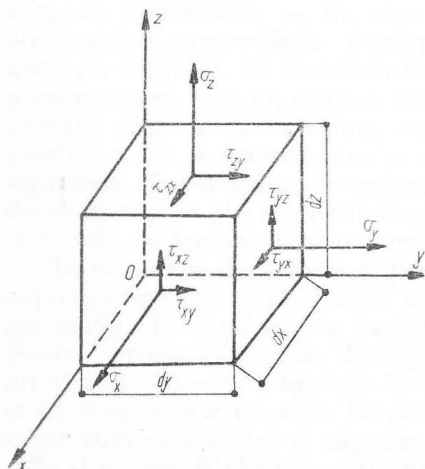


Fig. 2.1

eforturile unitare acționează în punctul  $O$  pe secțiunile paralele cu fețele paralelipipedului.

Ca sistem de notație: componentele normale  $\sigma$  sînt afectate de un singur indice: cel al axei normale la suprafața pe care acționează; componentele tangențiale sînt afectate de doi indici: primul indice este al axei normale pe față (același indice ca și al efortului unitar normal cu care este asociat), iar al doilea indice este dat de axa cu care efortul unitar tangențial este paralel. Componentele de pe fețele văzute ale paralelipipedului sînt considerate pozitive dacă au același sens cu axele sistemului de referință. Componentele eforturilor unitare vor fi deci:

pe față perpendiculară pe axa  $Ox$ :  $\sigma_x, \tau_{xy}, \tau_{xz}$   
 pe față perpendiculară pe axa  $Oy$ :  $\sigma_y, \tau_{yz}, \tau_{yx}$   
 pe față perpendiculară pe axa  $Oz$ :  $\sigma_z, \tau_{zx}, \tau_{zy}$ .

Cele 9 componente pot fi aranjate într-un tabel:

$$S = \begin{Bmatrix} \sigma_x & \tau_{xy} & \tau_{xz} \\ \tau_{yx} & \sigma_y & \tau_{yz} \\ \tau_{zx} & \tau_{zy} & \sigma_z \end{Bmatrix}. \quad (2.1)$$

Dacă aceste componente își păstrează mărimea în orice punct, starea de eforturi este denumită *omogenă*.

În acest tabel numai 6 componente sînt distincte; din condițiile de echilibru (ecuațiile de moment) rezultă *dualitatea eforturilor tangențiale* (v. § 2.6):

$$\tau_{xy} = \tau_{yx}; \tau_{yz} = \tau_{zy}; \tau_{zx} = \tau_{xz}.$$

Cele 6 componente distincte sînt suficiente pentru a putea determina efortul unitar care acționează în punctul  $O$  pe o secțiune oarecare.

Considerăm (fig. 2.2) un tetraedru realizat prin intersecția paralelipipedului elementar cu un plan înclinat a cărui normală exterioară  $v$  are față de cele 3 axe de coordonate cosinusurile directoare:

$$l = \cos(v, x); m = \cos(v, y); n = \cos(v, z).$$

Dacă aria feței înclinate este considerată egală cu unitatea, atunci fețele conținute în planele  $yOz$ ,  $zOx$  și  $xOy$  vor avea arii egale cu cosinusurile directoare. Notînd cu  $s$  efortul unitar pe fața înclinate, iar cu  $s_x$ ,  $s_y$  și  $s_z$  componentele sale paralele cu axele, se pot scrie următoarele ecuații de echilibru:

$$\begin{aligned} s_x &= \sigma_x l + \tau_{yx} m + \tau_{zx} n \\ s_y &= \tau_{xy} l + \sigma_y m + \tau_{zy} n \\ s_z &= \tau_{xz} l + \tau_{yz} m + \sigma_z n. \end{aligned} \quad (2.2)$$



Proiectând componentele  $s_x, s_y, s_z$  pe normală se obține componenta normală  $\sigma$  a efortului unitar  $s$ :

$$\sigma = s_x l + s_y m + s_z n \quad (2.3)$$

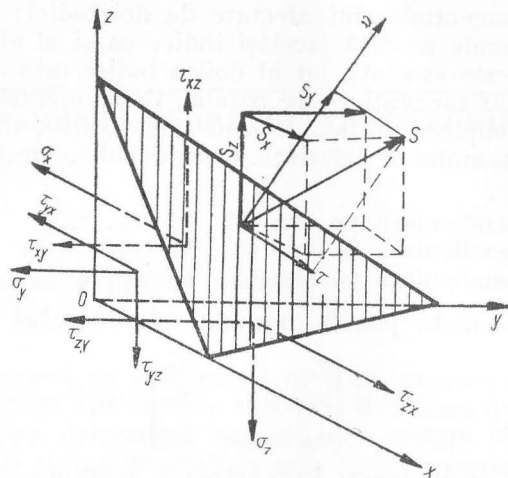


Fig. 2.2

iar prin scădere geometrică se obține componenta tangențială  $\tau$ :

$$\tau^2 = s^2 - \sigma^2$$

sau analitic:

$$\tau^2 = s^2 - \sigma^2 = s_x^2 + s_y^2 + s_z^2 - \sigma^2. \quad (2.4)$$

Înlocuind în expresia  $\sigma$  valorile componentelor efortului unitar  $s$  și ordonând se obține:

$$\sigma = \sigma_x l^2 + \sigma_y m^2 + \sigma_z n^2 + 2\tau_{xy} lm + 2\tau_{yz} mn + 2\tau_{zx} nl^*. \quad (2.5)$$

## 2.2. EFORTURI UNITARE PRINCIPALE. EFORTURILE UNITARE OCTAEDRICE

În cazul că fața înclinată a fost astfel aleasă încît efortul unitar  $s$  să se reducă la componenta normală  $\sigma$ , componentele  $s_x, s_y, s_z$  devin  $\sigma l, \sigma m, \sigma n$ ; introducînd aceste valori în expresiile (2.2) se obține

\* Determinarea componentelor normală și tangențială ale efortului unitar pe o față înclinată urmează regulile de transformare ale tensorilor. Efortul unitar într-un punct este deci o mărime tensorială sau un *tensor*. Cele 9 componente sînt componentele tensorului în sistemul de referință ales; tensorul este simetric deoarece  $\tau_{xy} = \tau_{yx}$ ;  $\tau_{yz} = \tau_{zy}$ ;  $\tau_{zx} = \tau_{xz}$ .

un sistem omogen de trei ecuații liniare în  $l, m$  și  $n$  al cărui determinant trebuie să se anuleze pentru a se obține soluții diferite de zero, deci:

$$D = \begin{vmatrix} \sigma_x - \sigma & \tau_{yx} & \tau_{zx} \\ \tau_{xy} & \sigma_y - \sigma & \tau_{zy} \\ \tau_{xz} & \tau_{yz} & \sigma_z - \sigma \end{vmatrix} = 0. \quad (2.6)$$

$D = 0$  reprezintă relația de condiție între cele șase componente de pe fețele normale ale tetraedrului și efortul unitar  $\sigma$  de pe față înclinată, pentru a avea pe această față  $\tau = 0$ .

Prin dezvoltarea acestui determinant se obține o ecuație de gradul 3 în  $\sigma$  avînd 3 rădăcini reale  $\sigma_1, \sigma_2$  și  $\sigma_3$ , care sînt *eforturile unitare principale*. Ecuația poate fi scrisă și sub forma:

$$\sigma^3 - I_1 \sigma^2 + I_2 \sigma - I_3 = 0. \quad (2.7)$$

Coefficienții  $I_1, I_2$  și  $I_3$  se exprimă în funcție de componentele eforturilor unitare pe fețele paralelipipedului elementar construit pe axele sistemului de referință, ales arbitrar. Cum eforturile unitare principale — rădăcinile ecuației — nu depind de sistemul de referință ales, nici coeficienții  $I_1, I_2, I_3$  nu pot depinde de el; în consecință ei sînt invariante; calculînd determinantul (2.6) și ordonîndu-l după puterile lui  $\sigma$  rezultă pentru acești invariante expresiile:

$$I_1 = \sigma_x + \sigma_y + \sigma_z; \\ I_2 = \sigma_x \sigma_y + \sigma_y \sigma_z + \sigma_z \sigma_x - (\tau_{xy}^2 + \tau_{yz}^2 + \tau_{zx}^2) \quad (2.8)$$

$$I_3 = \begin{vmatrix} \sigma_x & \tau_{yx} & \tau_{zx} \\ \tau_{xy} & \sigma_y & \tau_{zy} \\ \tau_{xz} & \tau_{yz} & \sigma_z \end{vmatrix}.$$

Direcțiile după care acționează eforturile unitare principale  $\sigma_1, \sigma_2, \sigma_3$ , denumite *direcțiile principale* formează un triedru rectangular. Ca regulă, cu  $\sigma_1$  se notează efortul unitar normal maxim, iar cu  $\sigma_3$  efortul unitar normal minim.

Dacă prin punctul  $O$  (fig. 2.2) se alege un paralelipiped cu laturile orientate după direcțiile eforturilor unitare principale, componentele efortului unitar  $s$  pe o față înclinată, avînd cosinusurile directoare ale normalei  $l, m, n$ , se pot calcula aplicînd formulele (2.5) și (2.2) în care

$$\sigma_x = \sigma_1, \sigma_y = \sigma_2, \sigma_z = \sigma_3 \text{ și } \tau_{xy} = \tau_{yz} = \tau_{zx} = 0$$

$$\sigma = \sigma_1 l^2 + \sigma_2 m^2 + \sigma_3 n^2$$

$$\tau^2 = s^2 - \sigma^2 = s_x^2 + s_y^2 + s_z^2 - \sigma^2$$

sau

$$\tau^2 = (\sigma_1 - \sigma_2)^2 l^2 m^2 + (\sigma_2 - \sigma_3)^2 m^2 n^2 + (\sigma_3 - \sigma_1)^2 n^2 l^2. \quad (2.9)$$



Componentele efortului unitar  $s$  după direcțiile principale sînt conform formulei (2.2)

$$s_x = \sigma_1 l; \quad s_y = \sigma_2 m; \quad s_z = \sigma_3 n.$$

Calculînd cosinusurile directoare din aceste expresii și introducîndu-le în relația

$$l^2 + m^2 + n^2 = 1$$

se obține ecuația elipsoidului eforturilor unitare, denumit și elipsoidul lui Lamé

$$\frac{s_x^2}{\sigma_1^2} + \frac{s_y^2}{\sigma_2^2} + \frac{s_z^2}{\sigma_3^2} = 1 \quad (2.10)$$

care reprezintă locul geometric al extremității efortului unitar  $s$  considerat ca vector cînd normala la fața pe care acționează ia toate orientările posibile în spațiu în jurul punctului  $O$  (fig. 2.3).

Pentru o față paralelă cu una din direcțiile principale unul din cosinusurile directoare este nul. Astfel, pe o față perpendiculară pe planul  $xOy$ , paralelă cu axa  $Oz$ ,  $n = 0$ ; efortul unitar tangențial va fi [conform relației (2.9)].

$$\tau = (\sigma_1 - \sigma_2)lm \text{ sau } \tau = \frac{\sigma_1 - \sigma_2}{2} \sin 2\alpha$$

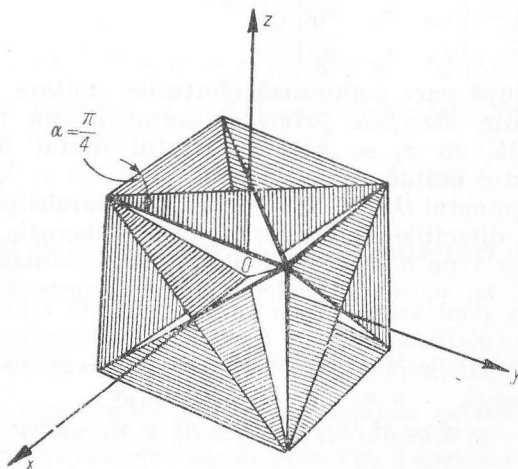


Fig. 2.4

în care  $\alpha$  este unghiul făcut de fața înclinată cu planul  $xOz$  (fig. 2.4\*). Pentru  $\alpha = \frac{\pi}{4}$ ,  $\tau$  are valoarea maximă:

$$\tau_{max} = \tau_3 = \frac{\sigma_1 - \sigma_2}{2}. \quad (2.11a)$$

În mod asemănător se obțin:

$$\tau_1 = \frac{\sigma_2 - \sigma_3}{2} \quad \text{și} \quad \tau_2 = \frac{\sigma_3 - \sigma_1}{2}. \quad (2.11b)$$

Se vede că  $\tau_1 + \tau_2 + \tau_3 = 0$ .

Cele trei eforturi unitare tangențiale  $\tau_3$ ,  $\tau_1$  și  $\tau_2$  sînt denumite eforturi unitare tangențiale principale; ele sînt cuprinse în plane care formează un dodecaedru rhombic, iar direcțiile lor formează muchiile unui octaedru regulat (fig. 2.5).

În funcție de eforturile unitare tangențiale principale, folosind relația (2.9) efortul unitar tangențial pe o față oarecare are valoarea:

$$\tau^2 = 4(\tau_3^2 l^2 m^2 + \tau_1^2 m^2 n^2 + \tau_2^2 n^2 l^2).$$

Dintre eforturile pe planele înclinate o importanță teoretică legată de proprietățile plastice ale materialelor o au eforturile unitare octaedrice, adică acelea care acționează pe planele egal înclinate față de axele principale. În acest caz, cosinusurile directoare sînt egale

$$l = m = n = \frac{1}{\sqrt{3}} = 0,577$$

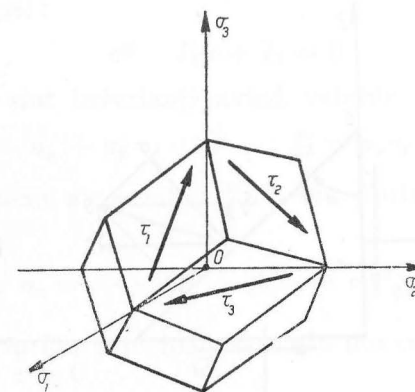


Fig. 2.5

\* După Filonenko-Borodici.

și introducând valorile lor în (2.9) se obține:

$$\sigma_{oct} = \frac{\sigma_1 + \sigma_2 + \sigma_3}{3}; \quad (2.12)$$

$$\tau_{oct} = \frac{1}{3} \sqrt{(\sigma_1 - \sigma_2)^2 + (\sigma_2 - \sigma_3)^2 + (\sigma_3 - \sigma_1)^2} = \frac{2}{3} \sqrt{\tau_1^2 + \tau_2^2 + \tau_3^2}.$$

În cazul în care eforturile unitare principale nu sînt cunoscute, componentele efortului unitar octaedric pot fi exprimate în funcție de componentele (2.1)

$$\sigma_{oct} = \frac{\sigma_x + \sigma_y + \sigma_z}{3};$$

$$\tau_{oct} = \frac{1}{3} \sqrt{(\sigma_x - \sigma_y)^2 + (\sigma_y - \sigma_z)^2 + (\sigma_z - \sigma_x)^2 + 6(\tau_{xy}^2 + \tau_{yz}^2 + \tau_{zx}^2)}. \quad (2.13)$$

### 2.3. STAREA PLANĂ DE EFORTURI. CERCUL EFORTURILOR UNITARE CERCUL LUI MOHR

Starea plană de eforturi este un caz particular, caracterizat prin absența eforturilor pe fețele perpendiculare pe una din axe. Avînd în vedere libertatea în alegerea axelor de coordonate această axă se notează de regulă  $Oz$ . În acest caz  $\sigma_z = \tau_{zx} = \tau_{zy} = 0$  iar tensorul efortului unitar are drept componente  $\sigma_x$ ,  $\sigma_y$  și  $\tau_{xy} = \tau_{yx}$ .

În paralelipipedul cu vîrfurile  $O$  facem o secțiune cu un plan trecînd prin axa  $Oz$  (normal pe planul fig. 2.6 a cărei normală face cu axa

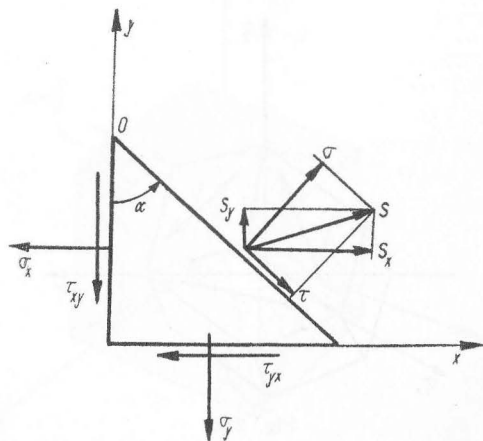


Fig. 2.6

$Ox$  unghiul  $\alpha$  (sensul pozitiv fiind cel trigonometric). Efortul unitar pe această față are drept componente  $\sigma$  și  $\tau$ ; componenta normală se obține din expresia (2.5) în care cosinusurile directe au valorile  $l = \cos \alpha$  și  $m = \sin \alpha$

$$\begin{aligned} \sigma &= \sigma_x l^2 + \sigma_y m^2 + 2\tau_{xy} lm = \\ &= \sigma_x \cos^2 \alpha + \sigma_y \sin^2 \alpha + 2\tau_{xy} \sin \alpha \cos \alpha = \\ &= \frac{\sigma_x + \sigma_y}{2} + \frac{\sigma_x - \sigma_y}{2} \cos 2\alpha + \tau_{xy} \sin 2\alpha. \end{aligned} \quad (2.14)$$

Valoarea componentei tangențiale  $\tau$  se obține cu ușurință proiectînd componentele  $s_x$  și  $s_y$

$$\begin{aligned} \tau &= s_x m - s_y l = \\ &= (\sigma_x - \sigma_y) lm + \tau_{xy}(m^2 - l^2) = \\ &= (\sigma_x - \sigma_y) \sin \alpha \cos \alpha + \tau_{xy}(\sin^2 \alpha - \cos^2 \alpha) = \\ &= \frac{\sigma_x - \sigma_y}{2} \sin 2\alpha - \tau_{xy} \cos 2\alpha. \end{aligned} \quad (2.15)$$

Determinarea eforturilor unitare principale se face anulînd determinantul (2.6) care în cazul stării plane ia forma:

$$D' = \begin{vmatrix} \sigma_x - \sigma & \tau_{xy} \\ \tau_{xy} & \sigma_y - \sigma \end{vmatrix} = 0 \quad (2.16)$$

echivalentă ecuației:

$$\sigma^2 - I_1' \sigma + I_2' = 0 \quad (2.17)$$

în care  $I_1'$  și  $I_2'$  sînt invarianti avînd valorile:

$$I_1' = \sigma_x + \sigma_y \quad \text{și} \quad I_2' = \sigma_x \sigma_y - \tau_{xy}^2.$$

Cele două rădăcini ale ecuației (2.17) sînt eforturile unitare normale principale:

$$\sigma_1, \sigma_2 = \frac{\sigma_x + \sigma_y}{2} \pm \frac{1}{2} \sqrt{(\sigma_x - \sigma_y)^2 + 4\tau_{xy}^2}. \quad (2.18)$$

Direcțiile eforturilor principale se obțin din condiția (2.15) în care ținînd seama că  $\tau = 0$

$$\operatorname{tg} 2\alpha_1 = \frac{2\tau_{xy}}{\sigma_x - \sigma_y}. \quad (2.19)$$

Eforturile principale  $\sigma_1$  și  $\sigma_2$  sînt valorile maximă respectiv minimă ale componentei normale, ceea ce se demonstrează anulînd derivata expresiei (2.14) în raport cu  $\alpha$ .

Eforturile unitare tangențiale principale acționează pe fețe înclinate cu  $\frac{\pi}{4}$  față de direcțiile eforturilor unitare normale principale. Anulînd derivata expresiei (2.15) se obține:

$$\operatorname{tg} 2\alpha_2 = -\frac{\sigma_x - \sigma_y}{2\tau_{xy}} \quad (2.20)$$

Se vede că  $(\operatorname{tg} 2\alpha_1)(\operatorname{tg} 2\alpha_2) = -1$  deci direcțiile  $2\alpha_1$  diferă de  $2\alpha_2$  cu un unghi drept; înseamnă că direcțiile eforturilor unitare normale principale diferă cu  $\frac{\pi}{4}$  de cele ale eforturilor tangențiale principale (fig. 2.7).

Ele au valoarea:

$$\tau_{max}, \tau_{min} = \pm \frac{1}{2} \sqrt{(\sigma_x - \sigma_y)^2 + 4\tau_{xy}^2} = \frac{\sigma_1 - \sigma_2}{2} \quad (2.21)$$

Variația eforturilor unitare cînd unghiul  $\alpha$  variază continuu poate fi reprezentată cu ajutorul cercului eforturilor unitare, al cercului lui Mohr. Efortului unitar care acționează în punctul  $O$  pe o față oarecare, i se asociază într-un sistem de referință  $\sigma, \tau$  un punct avînd abscisa

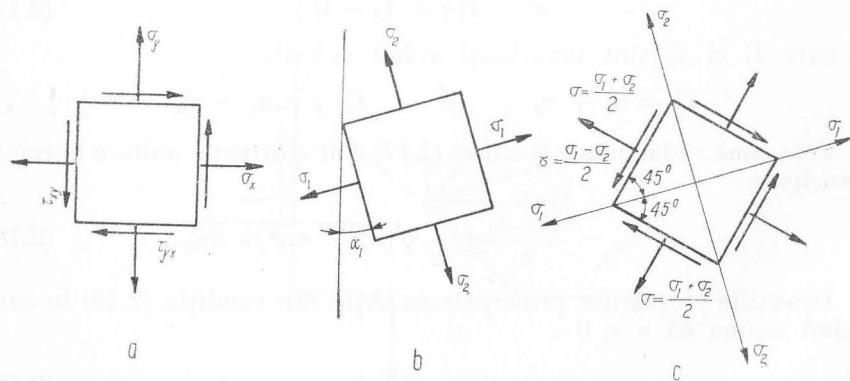


Fig. 2.7

egală cu valoarea componentei normale, iar ordonata cu cea a componente tangențiale (fig. 2.8). Convenția de semne:  $\sigma$  este pozitiv cînd produce întindere și negativ cînd produce compresiune;  $\tau$  este

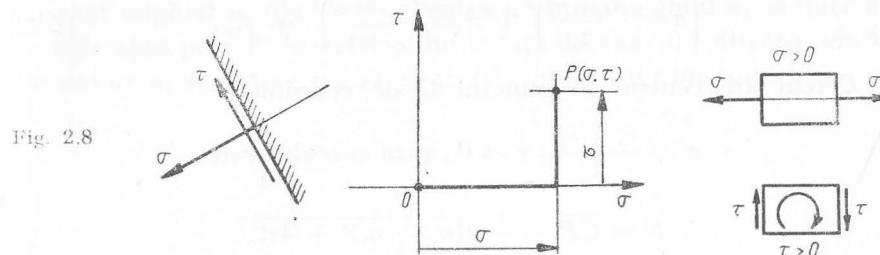


Fig. 2.8

pozitiv cînd împreună cu perechea lui de pe fața opusă produce un cuplu care se rotește în sens orar.

Cu această convenție eforturile unitare acționînd fețele unui paralelipiped se reprezintă prin două puncte: punctul  $P$  reprezintă efortul unitar de pe fața paralelă cu axa  $Oy$ , iar punctul  $Q$  cel de pe fața paralelă cu axa  $Ox$  (fig. 2.9).

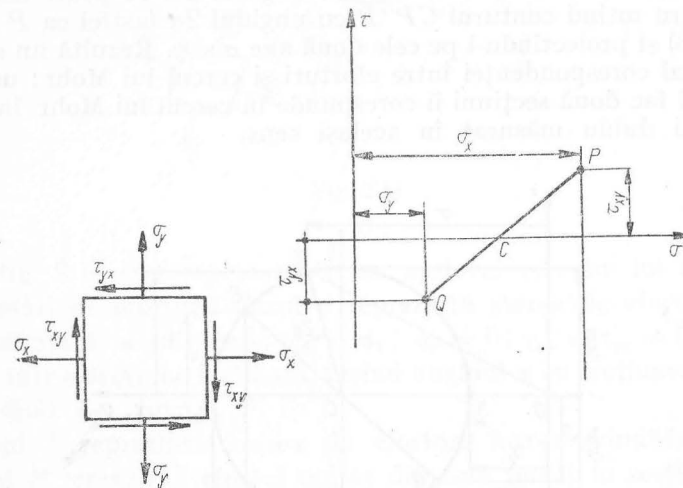


Fig. 2.9

\* Această convenție modifică convenția de semne făcută inițial: cu această convenție în expresiile (2.14), (2.15), (2.19) și (2.20) semnul termenilor cuprinzînd  $\tau_{xy}$  se schimbă: o păstrăm numai în construcția cercului lui Mohr.

Locul geometric al punctelor reprezentând stările de eforturi care se obțin variind continuu unghiul  $\alpha$  este un cerc a cărui ecuație se obține eliminând unghiul  $\alpha$  între cele două expresii.

$$\left(\sigma - \frac{\sigma_x + \sigma_y}{2}\right)^2 + \tau^2 = \left(\frac{\sigma_x - \sigma_y}{2}\right)^2 + \tau_{xy}^2. \quad (2.22)$$

Cercul are centrul în punctul  $C$  de coordonate:

$$\sigma = \frac{\sigma_x + \sigma_y}{2}; \tau = 0; \text{ raza cercului este}$$

$$R = \overline{CP} = \frac{1}{2} \sqrt{(\sigma_x - \sigma_y)^2 + 4\tau_{xy}^2}.$$

Eforturile unitare principale sînt reprezentate: cele normale  $\sigma_1$  și  $\sigma_2$  prin punctele  $S_1$  și  $S_2$  ( $\tau = 0$ ) cele tangențiale  $\tau_{max}$  și  $\tau_{min}$  prin punctele  $T_1$  și  $T_2$  ( $\sigma = \frac{\sigma_1 + \sigma_2}{2}$ ) (fig. 2.10).

Efortul unitar pe fața înclinată cu unghiul  $\alpha$  este reprezentat de punctul  $S care se determină parcurgînd din  $P$  în sens trigonometric arcul  $PS$  care se vede din centru sub unghiul  $2\alpha$ . Se poate demonstra acest lucru rotind conturul  $CP''P$  cu unghiul  $2\alpha$  (astfel ca  $P$  să coincidă cu  $S$ ) și proiectîndu-l pe cele două axe  $\sigma$  și  $\tau$ . Rezultă un al doilea element al corespondenței între eforturi și cercul lui Mohr: unghiul pe care îl fac două secțiuni îi corespunde în cercul lui Mohr, la centru, un unghi dublu măsurat în același sens.$

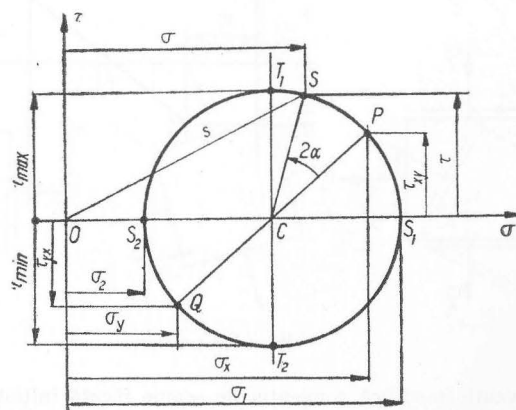


Fig. 2.10

Această observație dă posibilitatea determinării și a direcțiilor eforturilor unitare principale: de la punctul  $P$  se ajunge la  $S_1$  parcurgînd în sens orar unghiul  $2\alpha_1$ . (Între direcțiile eforturilor  $\sigma_x$  și  $\sigma_1$  este tot unghiul  $\alpha_1$  (fig. 2.11). Pentru a obține unghiul  $\alpha_1$  se duce din  $S_2$  o dreaptă prin  $P'$  (simetricul lui  $P$  față de axa  $\sigma$ ); direcția efortului unitar  $\sigma_2$  se obține unind  $S_2$  cu  $Q'$  (simetricul punctului  $Q$ ).

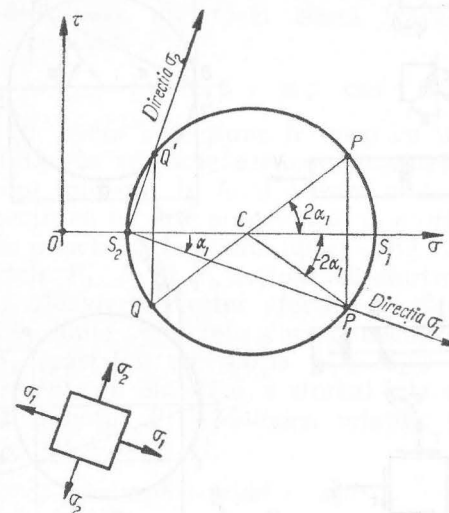


Fig. 2.11

În fig. 2.12 sînt reprezentate, cu ajutorul cercului lui Mohr mai multe stări de eforturi. Cazul *a* reprezintă starea de eforturi într-o bară solicitată la întindere:  $\sigma_x = \sigma_1$ ;  $\sigma_y = 0$ ;  $\tau_{xy} = \tau_{yx} = 0$ . Efortul unitar într-o secțiune înclinată, făcînd unghiul  $\alpha$  cu secțiunea normală este definit de punctul  $P$ .

Cazul *b* reprezintă starea de eforturi într-o grindă încovoiată. Punctul  $P$  reprezintă efortul unitar dintr-un punct în secțiunea normală ( $\sigma_x, \tau_{xy}$ ) iar punctul  $Q$  efortul unitar de pe fața perpendiculară în același punct ( $\sigma_y = 0$ ;  $\tau_{yx} = -\tau_{xy}$ ).

Cazul *c* reprezintă starea de forfecare pură ( $\sigma_x = \sigma_y = 0$ ;  $\tau_{xy} \neq 0$ ). Eforturile principale sînt egale ca valoare dar de semne contrare



$\sigma_1 = -\sigma_2 = \tau_{xy}$ . Starea de forfecare pură asupra unui element prismatic, poate fi deci realizată prin întindere și compresiune egale pe două direcții perpendiculare.

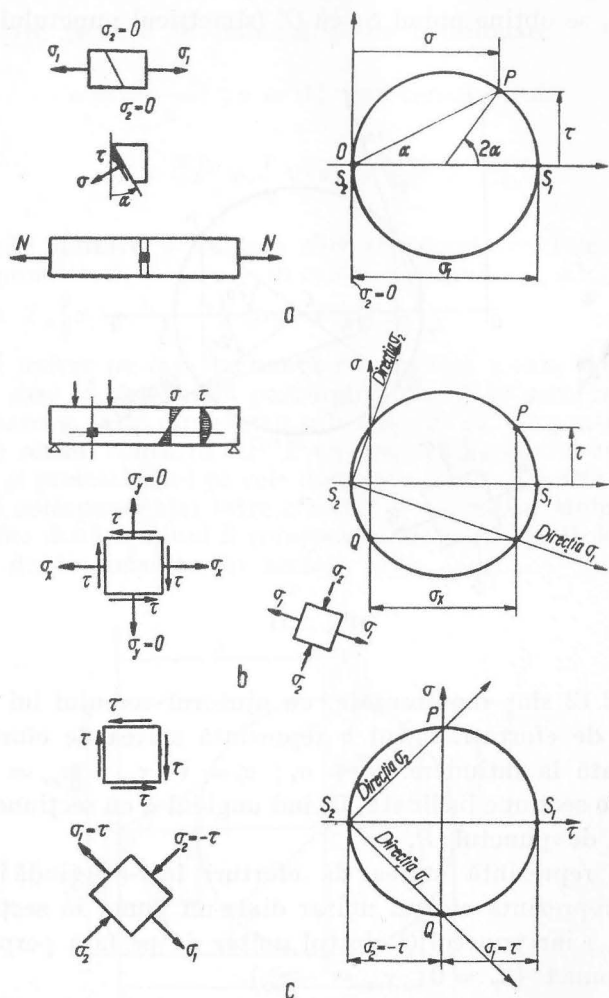


Fig. 2.12

#### 2.4. CERCUL LUI MOHR ÎN CAZUL STĂRII SPAȚIALE DE EFORTURI

Revenind la problema tratată în § 2.1, presupunem cunoscute direcțiile și mărimile eforturilor unitare normale principale  $\sigma_1$ ,  $\sigma_2$  și  $\sigma_3$  în punctul  $O$  (fig. 2.13, a). Pentru a defini o secțiune înclinată în punctul  $O$  construim în jurul acestui punct o sferă de rază foarte mică pe care o considerăm egală cu unitatea. Poziția unui punct  $P$  pe această sferă este definită de coordonatele sale egale în valoare cu cosinusurile directe ale razei sferei (care coincide evident cu normala) în punctul  $P$ .

$$\cos \alpha = l; \cos \beta = m; \cos \gamma = n.$$

Prin punctul  $P$  facem o secțiune în corp cu un plan tangent la sferă. Efortul unitar în secțiune are componentele  $\sigma$  după direcția razei și  $\tau$  în planul tangent. În felul acesta, unui punct de pe sferă îi corespunde o secțiune pe care acționează un efort unitar care poate fi reprezentat prin punctul  $S$  în planul lui  $\sigma, \tau$  (fig. 2.13, b). Pe planele tangente în punctele  $P_1, P_2$  și  $P_3$  acționează eforturile unitare principale  $\sigma_1, \sigma_2$  și  $\sigma_3$ . Deoarece acestor eforturi le sînt asociate eforturi unitare tangențiale nule, punctele corespunzătoare în planul  $\sigma, \tau$  vor fi  $S_1, S_2, S_3$  (păstrînd convenția  $\sigma_1 > \sigma_2 > \sigma_3$ ).

Pentru a reprezenta în planul  $\sigma, \tau$  efortul într-o secțiune oarecare (planul tangent în punctul  $P$ ) se folosesc relațiile (2.9) și relația din trigonometrie  $l^2 + m^2 + n^2 = 1$ :

$$\sigma = \sigma_1 l^2 + \sigma_2 m^2 + \sigma_3 n^2$$

$$\tau^2 = \sigma_1^2 l^2 + \sigma_2^2 m^2 + \sigma_3^2 n^2 - \sigma^2.$$

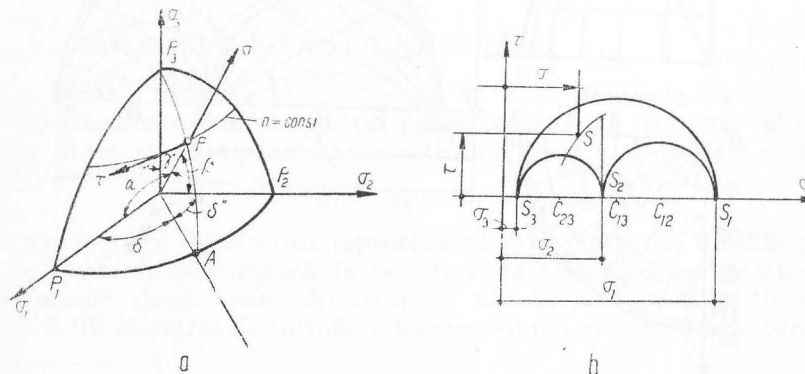


Fig. 2.13

Rezolvând aceste ecuații în funcție de cosinusurile directoare  $l$ ,  $m$ ,  $n$ , se obține:

$$l^2 = \frac{(\sigma_2 - \sigma)(\sigma_3 - \sigma) + \tau^2}{(\sigma_2 - \sigma_1)(\sigma_3 - \sigma_1)}; \quad m^2 = \frac{(\sigma_3 - \sigma)(\sigma_1 - \sigma) + \tau^2}{(\sigma_3 - \sigma_2)(\sigma_1 - \sigma_2)} \quad (2.23)$$

$$n^2 = \frac{(\sigma_1 - \sigma)(\sigma_2 - \sigma) + \tau^2}{(\sigma_1 - \sigma_3)(\sigma_2 - \sigma_3)}.$$

Punctele pentru care unul din cosinusurile directoare este constant, se găsesc pe un cerc; pentru  $n = \cos \gamma = \text{const.}$  punctele se găsesc pe un cerc paralel al sferei cu polul în  $P_3$ . În acest caz ultima din expresiile (2.23) devine:

$$(\sigma_1 - \sigma)(\sigma_2 - \sigma) + \tau^2 = n^2(\sigma_1 - \sigma_3)(\sigma_2 - \sigma_3) = \text{const.}$$

Aceasta este ecuația unui cerc care mai poate fi scrisă sub forma:

$$\left(\sigma - \frac{\sigma_1 + \sigma_2}{2}\right)^2 + \tau^2 = n^2(\sigma_1 - \sigma_3)(\sigma_2 - \sigma_3) + \left(\frac{\sigma_1 - \sigma_2}{2}\right)^2.$$

Cercul are centrul în punctul  $C_{12}$  de abscisă  $\frac{\sigma_1 + \sigma_2}{2}$ ; pentru orice alte valori ale lui  $n$  se obțin cercuri concentrice (v. fig. 2.13, b).

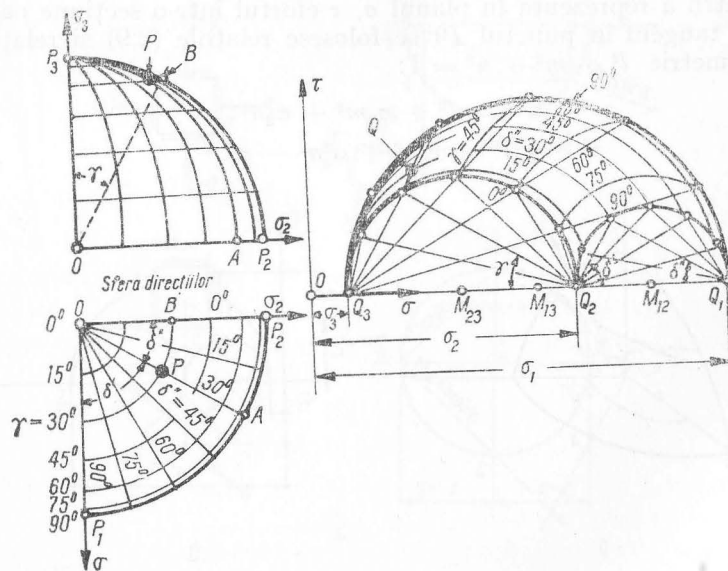


Fig. 2.14

Pentru  $n = 0$ , deci pentru punctele situate în planul  $OP_1P_2$ , se obține ecuația cercului lui Mohr pentru starea plană de eforturi

$$\left(\sigma - \frac{\sigma_1 + \sigma_2}{2}\right)^2 + \tau^2 = \left(\frac{\sigma_1 - \sigma_2}{2}\right)^2.$$

Punctele situate pe un cerc meridian trecând prin polul  $P_3$  (v. fig. 2.13, a) ( $\delta'$  și  $\delta''$  constante) au un raport constant între cosinusurile directoare  $l$  și  $m$ ; scriind  $(l/m)^2 = \text{const.}$ , prin împărțirea primelor două relații (2.23) se obține ecuația unui cerc care are centrul pe axa  $\sigma$ . Este evident că acest cerc trebuie să treacă prin punctul  $S_3$  (corespunzând polului  $P_3$ ) și să întâlnească cercul  $(\sigma_1, \sigma_2)$  în punctul care corespunde stării de eforturi din punctul  $A$  de pe sferă. Pe această bază construcția este dată în fig. 2.14.

Punctului  $P$  îi corespunde efortul unitar reprezentat de  $S$ . Componenta  $\sigma$  este determinată ca intensitate și ca direcție, iar componenta  $\tau$  numai ca intensitate.

Efortul unitar octaedric se obține printr-o construcție simplă care se demonstrează ținând seama că abscisa centrului de greutate al unui triunghi este media aritmetică a absciselor vîrfurilor (fig. 2.15).

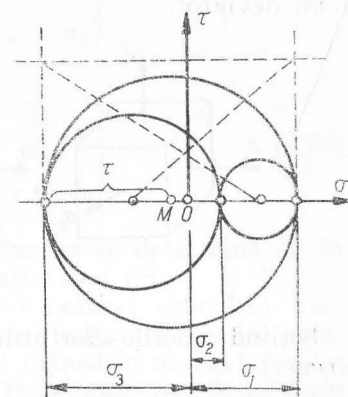


Fig. 2.15

## 2.5. DEVIATORUL EFORTURILOR UNITARE

O stare omogenă de eforturi poartă numele de deviator (al eforturilor) dacă suma algebrică a eforturilor unitare principale este nulă

$$\sigma_1 + \sigma_2 + \sigma_3 = 0. \quad (2.24)$$

Orice stare de eforturi reprezentată prin eforturile unitare principale poate fi descompusă într-o stare de întindere sau compresiune uniformă\* după toate direcțiile și un deviator; se verifică ușor (fig. 2.16) că starea de întindere (compresiune) uniformă este caracteri-

\* În literatura de specialitate se folosește și termenul de presiune hidrostatică (pozitivă sau negativă) sau de stare izotropă de eforturi.

zată printr-un efort unitar egal cu media eforturilor unitare principale :

$$\sigma_0 = \frac{\sigma_1 + \sigma_2 + \sigma_3}{3} \tag{2.25}$$

și un deviator.

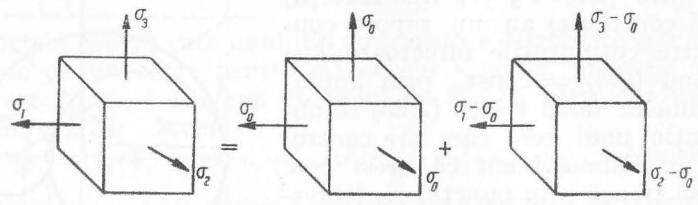


Fig- 2.16

Scriind valorile eforturilor unitare principale ale deviatorului sub forma :

$$\begin{aligned} \sigma_1 - \sigma_0 &= \frac{2\sigma_1 - \sigma_2 - \sigma_3}{3} = \frac{\sigma_1 - \sigma_2}{3} + \frac{\sigma_1 - \sigma_3}{3} ; \\ \sigma_2 - \sigma_0 &= \frac{2\sigma_2 - \sigma_3 - \sigma_1}{3} = \frac{\sigma_2 - \sigma_3}{3} + \frac{\sigma_2 - \sigma_1}{3} \\ \sigma_3 - \sigma_0 &= \frac{2\sigma_3 - \sigma_1 - \sigma_2}{3} = \frac{\sigma_3 - \sigma_1}{3} + \frac{\sigma_3 - \sigma_2}{3} \end{aligned}$$

se observă că deviatorul poate fi descompus în trei stări de întindere și compresiune egale ca valoare (pe fețe perpendiculare) care constituie stări de forfecare pură (fig. 2.17).

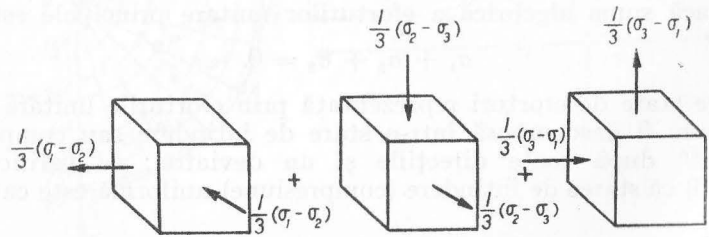


Fig. 2.17

Componentele deviatorului pot fi înscrise într-un tabel în funcție de eforturile unitare principale sau de toate componentele tensorului S:

$$D_{\sigma} = \begin{Bmatrix} \sigma_1 - \sigma_0 & 0 & 0 \\ 0 & \sigma_2 - \sigma_0 & 0 \\ 0 & 0 & \sigma_3 - \sigma_0 \end{Bmatrix}$$

sau

$$D_{\sigma} = \begin{Bmatrix} \sigma_x - \sigma_0 & \tau_{yx} & \tau_{zx} \\ \tau_{xy} & \sigma_y - \sigma_0 & \tau_{zy} \\ \tau_{xz} & \tau_{yz} & \sigma_z - \sigma_0 \end{Bmatrix} . \tag{2.26}$$

Cercul lui Mohr pentru deviatorul eforturilor se determină ca în fig. 2.18 din cercul eforturilor prin translația axei  $O\tau$ .

Deviatorul eforturilor are efortul unitar normal octaedric nul; pe fețele octaedrului acționează numai efortul unitar tangențial octaedric; valoarea efortului unitar tangențial octaedric al deviatorului este egală cu cea a stării date de eforturi. Pe această bază A.A.Iliușin a introdus deviatorul de similitudine împărțind componentele deviatorului la efortul unitar tangențial octaedric :

$$\frac{D_{\sigma}}{\tau_0} = \begin{Bmatrix} \frac{\sigma_1 - \sigma_0}{\tau_0} & 0 & 0 \\ 0 & \frac{\sigma_2 - \sigma_0}{\tau_0} & 0 \\ 0 & 0 & \frac{\sigma_3 - \sigma_0}{\tau_0} \end{Bmatrix} . \tag{2.27}$$

Pentru deviatorul de similitudine efortul unitar tangențial octaedric este egal cu unitatea.

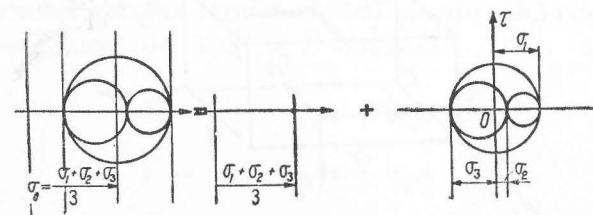


Fig. 2.18

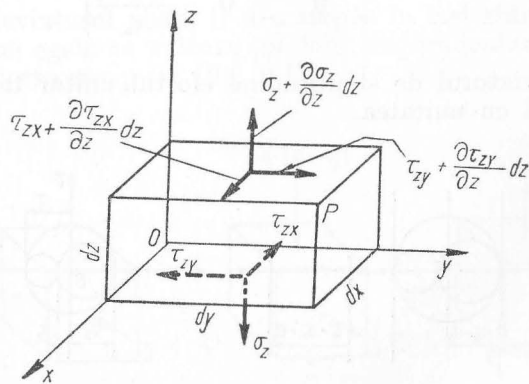
## 2.6. ECUAȚIILE DE ECHILIBRU. CONDIȚIILE PE CONTUR

În cazul unei stări neomogene de eforturi, eforturile unitare variază în interiorul corpului. Sistemul de forțe exterioare fiind considerat invariabil, eforturile unitare sînt funcții de coordonatele punctelor; pentru puncte infinit apropiate, componentele eforturilor unitare vor diferi prin cantități infinit mici. Considerăm un paralelipiped cu laturile  $dx$ ,  $dy$ ,  $dz$  (fig. 2.19); componentele eforturilor unitare pe fețele trecînd prin punctul  $O$  sînt  $\sigma_x$ ,  $\sigma_y$ ,  $\sigma_z$ ,  $\tau_{xy}$ ,  $\tau_{yz}$ ,  $\tau_{zx}$ ; valorile eforturilor unitare acționînd pe fețele opuse, trecînd prin punctul  $P$  pot fi exprimate în funcție de primele prin dezvoltare în serie Taylor păstrînd numai termenii conținînd diferențiale de ordinul întâi și neglijînd termenii cu diferențiale de ordin superior. Ca urmare, efortul unitar pe fața perpendiculară pe axa  $Ox$  va avea drept componente:

$$\sigma_x + \frac{\partial \sigma_x}{\partial x} dx; \tau_{xy} + \frac{\partial \tau_{xy}}{\partial x} dx; \tau_{xz} + \frac{\partial \tau_{xz}}{\partial x} dx.$$

Pentru celelalte fețe eforturile unitare se calculează în mod asemănător. În fig. 2.19 au fost reprezentate numai eforturile unitare de pe fețele perpendiculare pe axa  $Oz$ . Forțele care acționează paralelipipedul elementar se calculează evident înmulțind eforturile unitare cu ariile suprafețelor pe care acționează. Astfel, pe direcția  $Oz$  forțele sînt  $\sigma_z dxdy$ ;  $(\sigma_z + \frac{\partial \sigma_z}{\partial z} dz) dxdy$ ;  $\tau_{xz} dydz$ ;  $(\tau_{xz} + \frac{\partial \tau_{xz}}{\partial x} dx) dydz$ ;

$$\tau_{yz} dxdz; (\tau_{yz} + \frac{\partial \tau_{yz}}{\partial y}) dxdz.$$



Eig. 2.19

În cazul că acționează și forțe masice (greutatea proprie, forțe de inerție de exemplu) ele se consideră aplicate în centrul de greutate al paralelipipedului; mărimea lor se exprimă în funcție de componentele  $X$ ,  $Y$ ,  $Z$  ale forței acționînd unitatea de volum. Forța masică care acționează paralelipipedul are deci componentele  $X dxdydz$ ;  $Y dxdydz$ ;  $Z dxdydz$ .

Scriind cele 6 ecuații de echilibru (3 de proiecție și 3 de moment) ale forțelor care acționează paralelipipedul, după reducerea termenilor asemenea și simplificări se obțin următoarele ecuații diferențiale de echilibru:

$$\begin{aligned} \frac{\partial \sigma_x}{\partial x} + \frac{\partial \tau_{yx}}{\partial y} + \frac{\partial \tau_{zx}}{\partial z} + X &= 0 \\ \frac{\partial \sigma_y}{\partial y} + \frac{\partial \tau_{xy}}{\partial x} + \frac{\partial \tau_{zy}}{\partial z} + Y &= 0 \\ \frac{\partial \sigma_z}{\partial z} + \frac{\partial \tau_{xz}}{\partial x} + \frac{\partial \tau_{yz}}{\partial y} + Z &= 0 \end{aligned} \quad (2.28)$$

$$\tau_{xy} = \tau_{yx}; \tau_{yz} = \tau_{zy}; \tau_{zx} = \tau_{xz}.$$

În cazul stării plane de eforturi, aceste ecuații se reduc la:

$$\begin{aligned} \frac{\partial \sigma_x}{\partial x} + \frac{\partial \tau_{yx}}{\partial y} + X &= 0 \\ \frac{\partial \sigma_y}{\partial y} + \frac{\partial \tau_{xy}}{\partial x} + Y &= 0 \\ \tau_{xy} &= \tau_{yx}. \end{aligned} \quad (2.29)$$

Pe contur, eforturile unitare trebuie să fie egale cu forțele exterioare. Notînd cu  $\bar{X}$ ,  $\bar{Y}$  și  $\bar{Z}$  componentele forțelor de pe contur (ele au dimensiunile unor presiuni  $F \cdot L^{-2}$ ; aceleași dimensiuni ca și eforturile unitare), cu  $l$ ,  $m$  și  $n$  cosinusurile directoare ale normalei exterioare la contur și aplicînd formulele (2.2) în care rolul componentelor  $s_x$ ,  $s_y$  și  $s_z$  este jucat de  $\bar{X}$ ,  $\bar{Y}$  și  $\bar{Z}$  obținem:

$$\begin{aligned} \bar{X} &= \sigma_x l + \tau_{yx} m + \tau_{zx} n \\ \bar{Y} &= \tau_{xy} l + \sigma_y m + \tau_{zy} n \\ \bar{Z} &= \tau_{xz} l + \tau_{yz} m + \sigma_z n. \end{aligned} \quad (2.30)$$



În cazul stării plane de eforturi aceste expresii devin (fig. 2.20):

$$\begin{aligned}\bar{X} &= \sigma_x l + \tau_{yx} m \\ \bar{Y} &= \tau_{xy} l + \sigma_y m.\end{aligned}\quad (2.31)$$

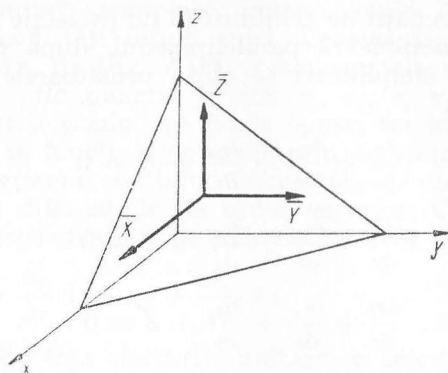


Fig. 2.20.

## 2.7. DEFORMAȚIA. DEPLASĂRI ȘI DEFORMAȚII SPECIFICE

Deformația unui corp poate fi definită în două feluri. Unul din ele pornește de la aceea că prin deformare punctele materiale își modifică poziția. Deplasările punctelor pot fi exprimate prin proiecțiile deplasărilor lor  $u$ ,  $v$  și  $w$  pe axele de coordonate (fig. 2.21, a).

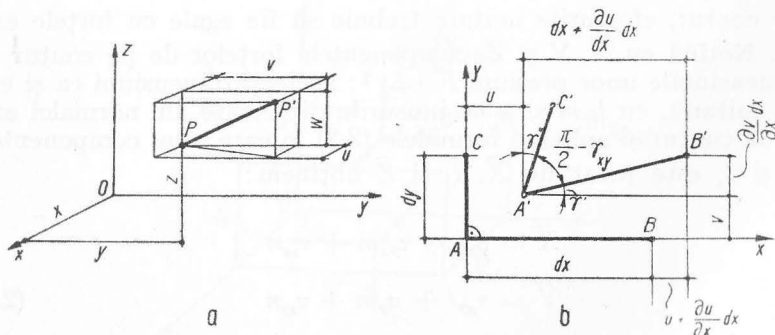


Fig. 2.21

Al doilea mod pornește de la observația că un corp poate fi considerat alcătuit din cuburi elementare ale căror laturi infinitezimale prin deformare își schimbă lungimile și unghiurile plane dintre ele. Corpul deformat poate fi reconstituit juxtapunând cuburile deformate astfel încât fețele care coincideau înainte de deformare să coincidă și după deformare. Studiul deformației presupune deci cunoașterea deformațiilor specifice liniare ( $\epsilon$ ) și unghiulare ( $\gamma$ ) în fiecare punct.

Relațiile dintre deplasările punctelor și deformațiile specifice în punctele respective sînt diferențiale. Trasăm în planul  $xOy$  înainte de deformare două segmente  $AB$  și  $AC$  infinit mici perpendiculare între ele (fig. 2.21, b). Prin deformare punctul  $A$  se va deplasa în  $A'$ ; cele două proiecții ale deplasării sînt  $u$  și  $v$ , funcție de coordonatele punctului  $A$ . Deplasările punctelor  $B$  și  $C$  infinit apropiate, pot fi evaluate în funcție de deplasarea punctului  $A$  prin dezvoltare în serie Taylor în care se rețin numai termenii conținînd prima diferențială; punctele  $B$  și  $C$  vor avea aceleași deplasări ca și punctul  $A$  cu mici creșteri, și anume:

punctul  $B$  pe orizontală  $u + \frac{\partial u}{\partial x} dx$ ; pe verticală  $v + \frac{\partial v}{\partial x} dx$

punctul  $C$  pe orizontală  $u + \frac{\partial u}{\partial y} dy$ ; pe verticală  $v + \frac{\partial v}{\partial y} dy$ .

Lungimea segmentului  $AB$ , inițial  $dx$ , se mărește devenind:  $\left(dx + \frac{\partial u}{\partial x} dx\right)$ ; lungirea specifică va fi:

$$\epsilon_x = \frac{\frac{\partial u}{\partial x} dx}{dx} = \frac{\partial u}{\partial x}.$$

Unghiul drept din  $A$  scade cu valoarea lunecării  $\gamma_{xy}$  compusă din două părți  $\gamma'$  și  $\gamma''$ ; luînd ca mărime a unghiului valoarea tangentei:

$$\gamma' \approx \tan \gamma' = \frac{\frac{\partial v}{\partial x} dx}{dx} = \frac{\partial v}{\partial x}; \quad \gamma'' \approx \tan \gamma'' = \frac{\frac{\partial u}{\partial y} dy}{dy} \text{ se scrie}$$

$$\gamma_{xy} = \frac{\partial u}{\partial y} + \frac{\partial v}{\partial x}.$$

Analog, efectuând calculele și pentru celelalte două plane, se obțin relațiile diferențiale între deformațiile specifice și deplasări:

$$\begin{aligned}\varepsilon_x &= \frac{\partial u}{\partial x}; \quad \varepsilon_y = \frac{\partial v}{\partial y}; \quad \varepsilon_z = \frac{\partial w}{\partial z} \\ \gamma_{xy} &= \frac{\partial u}{\partial y} + \frac{\partial v}{\partial x}; \quad \gamma_{yz} = \frac{\partial v}{\partial z} + \frac{\partial w}{\partial y}; \quad \gamma_{zx} = \frac{\partial w}{\partial x} + \frac{\partial u}{\partial z}.\end{aligned}\quad (2.32)$$

Cele șase mărimi definite prin relațiile (2.32) caracterizează complet starea de deformare într-un punct și sînt considerate componentele deformației corpului într-un punct.

În cazul stării plane deformațiile specifice se reduc la  $\varepsilon_x$ ,  $\varepsilon_y$  și  $\gamma_{xy}$  iar deplasările la  $u$  și  $v$  cu expresiile date mai înainte.

## 2.8. VARIAȚIA DEFORMAȚILOR ÎN JURUL UNUI PUNCT

În paragraful precedent au fost examinate deformațiile specifice liniare și unghiulare ale unui element paralelipedic dreptunghiular cu originea în  $O$  și laturile orientate de-a lungul axelor de coordonate. În funcție de deplasările specifice definite de relațiile (2.32) poate fi determinată lungirea specifică a unui segment  $OP$  de lungime infinit mică  $ds$  considerată egală cu unitatea, orientat după o direcție definită prin cosinusurile directoare  $l$ ,  $m$  și  $n$ ; evident proiecțiile segmentului unitar vor fi  $dx = l$ ;  $dy = m$ ;  $dz = n$  (fig. 2.22).

Dacă deplasările punctului  $O$  sînt  $u$ ,  $v$  și  $w$  deplasările punctului  $P$  infinit apropiat, notate cu  $u_1$ ,  $v_1$ ,  $w_1$ , pot fi exprimate în funcție de acestea prin dezvoltarea în serie Taylor (deoarece deplasarea cît și componentele ei sînt funcții de punct) păstrînd numai prima derivată:

$$u_1 = u + \frac{\partial u}{\partial x} dx + \frac{\partial u}{\partial y} dy + \frac{\partial u}{\partial z} dz.$$

Ținînd seama că  $dx = l$ ,  $dy = m$ ,  $dz = n$  cele 3 componente ale deplasării devin

$$u_1 = u + \frac{\partial u}{\partial x} l + \frac{\partial u}{\partial y} m + \frac{\partial u}{\partial z} n$$

$$v_1 = v + \frac{\partial v}{\partial x} l + \frac{\partial v}{\partial y} m + \frac{\partial v}{\partial z} n$$

$$w_1 = w + \frac{\partial w}{\partial x} l + \frac{\partial w}{\partial y} m + \frac{\partial w}{\partial z} n.$$

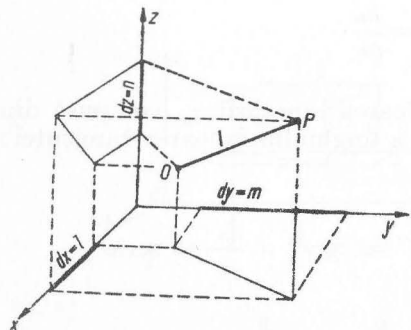


Fig. 2.22

Lungirile absolute ale proiecțiilor sînt:  $(u_1 - u)$ ,  $(v_1 - v)$ ,  $(w_1 - w)$ ; proiecțiile segmentului  $OP$  după deformare devin deci

$$a = l + \frac{\partial u}{\partial x} l + \frac{\partial u}{\partial y} m + \frac{\partial u}{\partial z} n$$

$$b = m + \frac{\partial v}{\partial x} l + \frac{\partial v}{\partial y} m + \frac{\partial v}{\partial z} n$$

$$c = n + \frac{\partial w}{\partial x} l + \frac{\partial w}{\partial y} m + \frac{\partial w}{\partial z} n.$$

Notînd cu  $\varepsilon$  lungirea specifică a segmentului  $ds = 1$ , scriind că  $(1 + \varepsilon)^2 = a^2 + b^2 + c^2$  neglijînd infinitii mici de grad superior și ținînd seama de relațiile (2.32), precum și de relația

$$l^2 + m^2 + n^2 = 1$$

se obține valoarea lungirii specifice  $\varepsilon$ ; pe o direcție de cosinusuri directoare  $l$ ,  $m$ ,  $n$

$$\varepsilon = \varepsilon_x l^2 + \varepsilon_y m^2 + \varepsilon_z n^2 + \gamma_{xy} lm + \gamma_{yz} mn + \gamma_{zx} nl. \quad (2.33)$$

Pentru a obține valoarea lunecării  $\gamma$  presupunem un al doilea segment  $ds' = 1$  perpendicular pe primul avînd cosinusurile directoare  $l'$ ,  $m'$ ,  $n'$ . Condiția de ortogonalitate se scrie:

$$ll' + mm' + nn' = 0.$$

Pentru a determina lunecarea specifică folosim produsul scalar dintre cele două segmente  $ds$  și  $ds'$  (după deformare), considerate ca vectori:

$$\cos(ds, ds') = l_1 l'_1 + m_1 m'_1 + n_1 n'_1;$$

$l_1$ ,  $m_1$ ,  $n_1$ , reprezintă cosinusurile directoare după deformare ale segmentului  $ds$ .

Valoarea cosinusului director  $l_1$  este:

$$l_1 = \frac{a}{1 + \varepsilon}$$

expresie care se poate scrie dezvoltînd în serie  $(1 + \varepsilon)^{-1}$  și reținînd primii doi termeni

$$(1 + \varepsilon)^{-1} = 1 - \varepsilon \text{ deci } l_1 = a(1 - \varepsilon).$$

Făcînd produsul

$$a(1 + \varepsilon)^{-1} = a(1 - \varepsilon) = \left[ l \left( 1 + \frac{\partial u}{\partial x} \right) + \frac{\partial u}{\partial y} m + \frac{\partial u}{\partial z} n \right] (1 - \varepsilon)$$

în care se neglijează produsele de forma  $\varepsilon \frac{\partial u}{\partial x}$ ,  $\varepsilon \frac{\partial u}{\partial y}$  în expresiile care cuprind deformațiile liniare la puterea întâi (deoarece ele au valorile  $\varepsilon \varepsilon_x$ ,  $\varepsilon \varepsilon_y$ )

$$\begin{aligned} l_1 &= \frac{a}{1 + \varepsilon} = \left( 1 - \varepsilon + \frac{\partial u}{\partial x} \right) l + \frac{\partial u}{\partial y} m + \frac{\partial u}{\partial z} n \\ m_1 &= \frac{b}{1 + \varepsilon} = \frac{\partial v}{\partial x} l + \left( 1 - \varepsilon + \frac{\partial v}{\partial y} \right) m + \frac{\partial v}{\partial z} n \\ n_1 &= \frac{c}{1 + \varepsilon} = \frac{\partial w}{\partial x} l + \frac{\partial w}{\partial y} m + \left( 1 - \varepsilon + \frac{\partial w}{\partial z} \right) n. \end{aligned}$$

În mod asemănător se calculează cosinusurile directoare  $l'_1$ ,  $m'_1$  și  $n'_1$ . Efectuînd operațiile și ținînd seama că

$$\cos(ds, ds') = \cos\left(\frac{\pi}{2} - \gamma\right) = \sin \gamma \approx \gamma$$

rezultă valoarea lunecării  $\gamma$ , adică a unghiului cu care se modifică unghiul drept dintre cele două segmente  $ds$  și  $ds'$

$$\begin{aligned} \gamma &= 2(\varepsilon_x ll' + \varepsilon_y mm' + \varepsilon_z nn') + \gamma_{yz}(mn' + m'n) + \\ &+ \gamma_{zx}(nl' + l'n) + \gamma_{xy}(lm' + l'm). \end{aligned} \quad (2.34)$$

Ecuția (2.33) dă posibilitatea unei interpretări geometrice a stării de deformare într-un punct al corpului.

Presupunem în direcția segmentului  $ds$  un vector de poziție  $\bar{R}$ , de mărime:

$$R = |\bar{R}| = \frac{k}{\sqrt{|\varepsilon|}}.$$

Coordonatele extremității acestui vector sînt:

$$x = lR; \quad y = mR; \quad z = nR$$

făcînd în expresia (2.33) substituția:

$$|\varepsilon| = \frac{k^2}{R^2}$$

se obține ecuația:

$$\varepsilon_x x^2 + \varepsilon_y y^2 + \varepsilon_z z^2 + \gamma_{yz} yz + \gamma_{zx} zx + \gamma_{xy} xy = k^2 \quad (2.35)$$

reprezentînd o suprafață cuadrică.

Axele suprafeței formează un triedru ortogonal; notînd cu  $\varepsilon_1$ ,  $\varepsilon_2$  și  $\varepsilon_3$  deformațiile după direcțiile axelor suprafeței, ecuația se scrie:

$$\varepsilon_1 x^2 + \varepsilon_2 y^2 + \varepsilon_3 z^2 = k^2. \quad (2.36)$$

Dispariția termenilor conținînd produsele  $xy$ ,  $yz$  și  $zx$  se datorește anulării coeficienților reprezentînd lunecările specifice relative. Aceste axe poartă numele de *axe principale de deformare* iar deformațiile liniare corespunzătoare de *deformații principale*.

Față de aceste axe expresiile (2.33) și (2.34) devin:

$$\begin{aligned} \varepsilon &= \varepsilon_1 l'^2 + \varepsilon_2 m'^2 + \varepsilon_3 n'^2 \\ \gamma &= 2(\varepsilon_1 ll' + \varepsilon_2 mm' + \varepsilon_3 nn'). \end{aligned} \quad (2.37)$$

Pentru direcțiile perpendiculare pe planele octaedrice (planele de egală înclinare față de cele trei axe principale pentru care  $l = m = n = \pm 1/\sqrt{3}$ ), se obține lungirea specifică:

$$\varepsilon_0 = \frac{\varepsilon_1 + \varepsilon_2 + \varepsilon_3}{3}. \quad (2.38)$$

Paralelipipedul elementar  $dx \, dy \, dz$  are o deformare volumică specifică

$$\begin{aligned} \varepsilon_v &= \frac{\Delta V}{V} = \frac{[(1 + \varepsilon_x)(1 + \varepsilon_y)(1 + \varepsilon_z) - 1] \, dx \, dy \, dz}{dx \, dy \, dz} = \varepsilon_x + \varepsilon_y + \varepsilon_z = \\ &= \frac{\partial u}{\partial x} + \frac{\partial v}{\partial y} + \frac{\partial w}{\partial z}. \end{aligned} \quad (2.39)$$

Exprimînd în funcție de deformațiile liniare principale

$$\varepsilon_v = \varepsilon_1 + \varepsilon_2 + \varepsilon_3. \quad (2.40)$$

## 2.9. DEFORMĂȚILE ÎN CAZUL STĂRII PLANE DE DEFORMĂȚI. CERCUL LUI MOHR PENTRU DEFORMĂȚI

În cazul unei stări plane de eforturi în planul  $xOy$  sînt nule mărimile:  $n$ ,  $\varepsilon_z$ ,  $\gamma_{zx}$ ,  $\gamma_{zy}$ . Notînd cu  $\alpha$  unghiul format de segmentul  $ds$  cu axa  $Ox$  cosinusurile directoare sînt  $l = \cos \alpha$ ;  $m = \sin \alpha$ ;  $l' =$

$= -\sin \alpha$ ;  $m' = \cos \alpha$ . Expresiile (2.33) și (2.34) se transformă după cum urmează:

$$\varepsilon = \frac{\varepsilon_x + \varepsilon_y}{2} + \frac{\varepsilon_x - \varepsilon_y}{2} \cos 2\alpha + \frac{\gamma_{xy}}{2} \sin 2\alpha \quad (2.41)$$

$$\gamma = -\frac{\varepsilon_x - \varepsilon_y}{2} \sin 2\alpha + \frac{\gamma_{xy}}{2} \cos 2\alpha.$$

Se observă similitudinea dintre aceste expresii și expresiile (2.14). Înlocuind  $\sigma$  cu  $\varepsilon$  și  $\tau$  cu  $-\frac{\gamma}{2}$  se obțin aceleași expresii. Deformațiile specifice pot fi deci reprezentate cu ajutorul cercului lui Mohr în mod asemănător eforturilor unitare, cu deosebirea că lunecările specifice se reprezintă cu jumătate din valoarea lor și au sensul pozitiv în jos (fig. 2.23). Ținând seama de această analogie, pot fi exprimate direct valorile deformațiilor liniare principale:

$$\varepsilon_1, \varepsilon_2 = \frac{\varepsilon_x + \varepsilon_y}{2} \pm \frac{1}{2} \sqrt{(\varepsilon_x - \varepsilon_y)^2 + \gamma_{xy}^2} \quad (2.42)$$

cît și direcțiile principale:

$$\operatorname{tg} 2\alpha_1 = \frac{\gamma_{xy}}{\varepsilon_x - \varepsilon_y}.$$

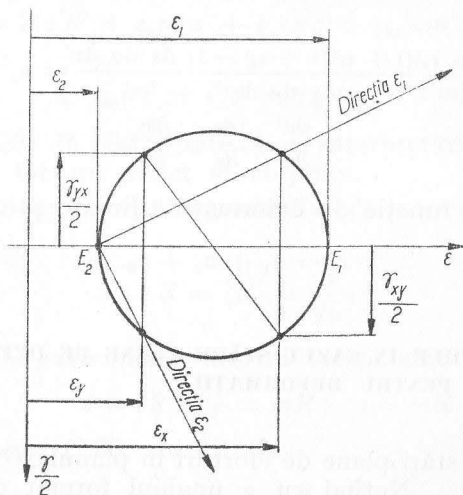


Fig. 2.23

Cercul lui Mohr permite de asemenea rezolvarea problemei determinării deformațiilor liniare specifice principale într-un punct în cazul că se cunosc deformațiile liniare după 3 direcții fără a se cunoaște și valorile lunecărilor. Problema are importanță practică datorită faptului că determinarea deformațiilor liniare se face cu relativă ușurință, folosind extensometre mecanice, optice sau instalații de tensometrie electrică; datorită dificultăților de măsurare determinarea lunecărilor este evitată.

Presupunem determinate experimental deformațiile liniare  $\varepsilon_\alpha$ ,  $\varepsilon_\beta$  și  $\varepsilon_\delta$  după direcțiile  $\alpha$ ,  $\beta$  și  $\delta$  (fig. 2.24). Ele se reprezintă la scară. Dintr-un punct arbitrar  $B'$  pe linia de abscisă  $\varepsilon_\beta$  se duc unghiurile  $\theta_1$  și  $\theta_2$  pe care le fac direcțiile  $\varepsilon_\alpha$  și  $\varepsilon_\delta$  cu direcția  $\varepsilon_\beta$ .

La intersecțiile cu verticalele  $\varepsilon = \varepsilon_\alpha$  și  $\varepsilon = \varepsilon_\beta$  se obțin punctele  $A$  și  $D$ . Prin punctele  $A$ ,  $B_1$  și  $D$  se construiește un cerc care este cercul deformațiilor. Se ia punctul  $B$  simetric față de punctul  $B_1$ , punctele  $A$ ,  $B$  și  $D$  reprezentînd deformațiile liniare pe direcțiile  $\alpha$ ,  $\beta$  și  $\delta$ : sînt pe cerc, au abscisele  $\varepsilon_\alpha$ ,  $\varepsilon_\beta$  și  $\varepsilon_\delta$  și sînt văzute din centru sub unghiurile  $2\theta_1$  și  $2\theta_2$ . Deformațiile liniare principale sînt  $\varepsilon_1$  și  $\varepsilon_2$  date de  $\overline{OE_1}$  și  $\overline{OE_2}$ ; direcția deformației principale  $\varepsilon_1$  face cu direcția  $\alpha$  unghiul  $\alpha_1$  care este reprezentat în fig. 2.24.

De regulă, în practica tensometriei electrice pentru unghiurile  $\theta_1$  și  $\theta_2$  se aleg valori de  $30^\circ$ ,  $45^\circ$ ,  $60^\circ$ ; ele se materializează în însăși construcția traductoarelor (mărcilor) electrice; cu aceste valori ale unghiurilor se obțin expresii analitice simple pentru determinarea deformațiilor liniare principale  $\varepsilon_1$  și  $\varepsilon_2$  (fig. 2.25).

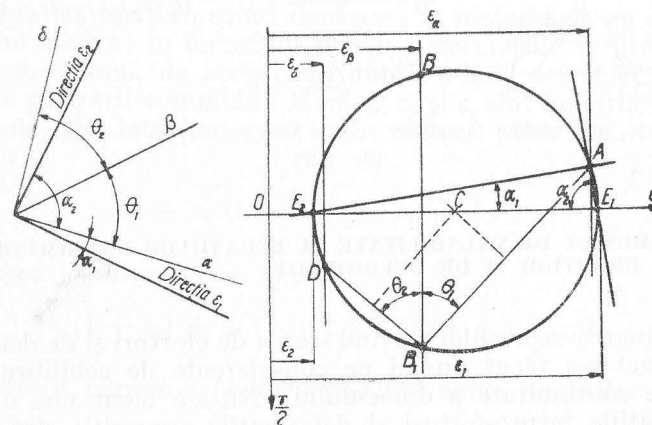
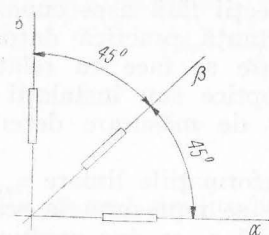


Fig. 2.24



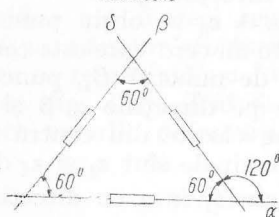
Rozeta dreptunghiulară



$$\varepsilon_{1,2} = \frac{\varepsilon_\alpha + \varepsilon_\beta}{2} \pm \frac{1}{\sqrt{2}} \sqrt{(\varepsilon_\alpha - \varepsilon_\beta)^2 + (\varepsilon_\beta - \varepsilon_\delta)^2}$$

$$\operatorname{tg} 2\varphi_1 = \frac{2\varepsilon_\beta - (\varepsilon_\alpha + \varepsilon_\delta)}{\varepsilon_\alpha - \varepsilon_\delta}$$

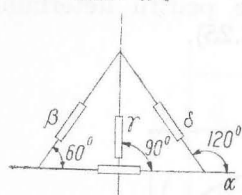
Rozeta delta



$$\varepsilon_{1,2} = \frac{\varepsilon_\alpha + \varepsilon_\beta + \varepsilon_\delta}{3} \pm \frac{\sqrt{2}}{3} \sqrt{(\varepsilon_\alpha - \varepsilon_\beta)^2 + (\varepsilon_\alpha - \varepsilon_\delta)^2 + (\varepsilon_\beta - \varepsilon_\delta)^2}$$

$$\operatorname{tg} 2\varphi_1 = \frac{\sqrt{3}(\varepsilon_\beta - \varepsilon_\delta)}{2\varepsilon_\alpha - \varepsilon_\beta - \varepsilon_\delta}$$

Rozeta T-delta



$$\varepsilon_{1,2} = \frac{\varepsilon_\alpha + \varepsilon_\beta}{2} \pm \frac{\sqrt{2}}{3} \sqrt{(\varepsilon_\delta - \varepsilon_\gamma)^2 + (\varepsilon_\gamma - \varepsilon_\beta)^2 + (\varepsilon_\delta - \varepsilon_\rho)^2}$$

$$\varepsilon_{1,2} = \frac{\varepsilon_\beta + \varepsilon_\gamma + \varepsilon_\delta}{3} \pm \sqrt{\frac{1}{3}(\varepsilon_\delta - \varepsilon_\gamma)^2 \pm \frac{1}{4}(\varepsilon_\beta - \varepsilon_\alpha)^2}$$

$$\operatorname{tg} 2\varphi_1 = \frac{2(\varepsilon_\beta - \varepsilon_\delta)}{\sqrt{3}(\varepsilon_\alpha - \varepsilon_\gamma)}$$

$\varphi_1$  este unghiul format de direcția principală  $\varepsilon_1$  cu direcția  $\alpha$ .

Fig. 2.25

## 2.10. DOMENIUL DE VALABILITATE AL ECUAȚILOR EXPRIMÂND STAREA DE EFORTURI ȘI DE DEFORMAȚII

Determinarea expresiilor privind starea de eforturi și de deformații într-un punct s-a făcut numai pe considerente de echilibru și geometrice (de continuitate a domeniului). Nu s-a făcut nici o ipoteză privind relațiile între eforturi și deformații; expresiile sînt valabile deci atît în domeniul elastic, cît și în domeniul plastic. Singura restrîn-

gere privește ordinul de mărime al deformațiilor care sînt presupuse infinitezimale, astfel încît în expresiile în care intervin să poată fi neglijate puterile lor superioare. De asemenea, deplasările  $u$ ,  $v$  și  $w$  sînt considerate îndeajuns de mici încît pătratele și produsele derivate lor în raport cu  $x$ ,  $y$  și  $z$  să fie neglijate în raport cu mărimea lor la puterea întâi. În cazul că deplasările  $u$ ,  $v$  și  $w$  nu mai sînt mici, cantitățile  $\varepsilon_x$ ,  $\dots$ ,  $\gamma_{xy}$ ,  $\dots$  nu mai pot defini complet starea de deformație.

Menționăm că în ultima vreme s-a dezvoltat teoria deformațiilor finite, teorie care nu mai menține ca ipoteză deformațiile foarte mici. Inițial teoria prezenta interes în mod deosebit în domeniul deformațiilor materialelor hiperelastice de tipul cauciucului sau al proceselor metalurgice de deformare plastică. În prezent se conturează de asemenea aplicații ale teoriei și în alte domenii cum este stabilitatea barelor cu pereți subțiri.

Modul de tratare al problemei revelează conținutul unor noțiuni. Definițiile convenționale ale deformațiilor specifice sînt înlocuite cu definiții mai riguroase. Prin definiția convențională, lungirea specifică este raportul dintre lungirea absolută și lungirea inițială. Ținînd seama că lungirea variază în procesul de deformare, se definește lungirea naturală specifică sub forma:

$$\bar{\varepsilon} = \int_{l_0}^l \frac{dl}{l} = \ln \frac{l}{l_0} = \ln (1 + \varepsilon); \quad \left( \varepsilon = \frac{l - l_0}{l_0} \right). \quad (2.43)$$

Domeniul deformațiilor mari depășește la materialele de construcție domeniul elastic; în domeniul plastic deformațiile se produc fără modificare de volum, de aceea unii autori admit deformațiile finite în condițiile păstrării volumului. Dacă  $\varepsilon_x$ ,  $\varepsilon_y$  și  $\varepsilon_z$  sînt lungirile specifice convenționale ale laturilor unui cub unitar, păstrarea volumului conduce la:

$$(1 + \varepsilon_x)(1 + \varepsilon_y)(1 + \varepsilon_z) = 1;$$

prin aplicarea logaritmilor se obține:

$$\ln (1 + \varepsilon_x) + \ln (1 + \varepsilon_y) + \ln (1 + \varepsilon_z) = 0$$

ceea ce potrivit expresiei (2.45) reprezintă suma lungirilor specifice naturale

$$\bar{\varepsilon}_x + \bar{\varepsilon}_y + \bar{\varepsilon}_z = 0. \quad (2.44)$$

Această expresie, care este exactă, se obține și pentru deformările specifice convenționale  $\varepsilon$  în cazul deformațiilor plastice, numai după neglijarea produselor lungirilor specifice.

#### BIBLIOGRAFIE

1. Fung, Y. C. *Foundations of Solid Mechanics*. New Jersey, Prentice Hall, 1965.
2. Love, A. E. H. *A Treatise on the Mathematical Theory of Elasticity*. Cambridge University Press, 1952.
3. Nádai A. *Theory of Flow and Fracture of Solids*. Vol. I, New York, Mc. Graw-Hill, 1950.
4. Novojilov, V.V. *Teoria uprugosti*. Leningrad, Sudpromgiz, 1958.
5. Timoshenko, S. și Goodier J.N. *Theory of Elasticity*. New York, Mc. Graw-Hill, 1951.
6. Zener, C. *Elasticité et Anelasticité des Métaux*. Paris, Dunod, 1955.
7. Westergaard, H.M. *Theory of Elasticity and Plasticity*. Cambridge, Massachusetts, Harvard University Press, 1952.

## COMPORTAREA MATERIALELOR SUB ACȚIUNEA FORȚELOR

### 3.1. COMPORTAREA MATERIALELOR SUB ACȚIUNEA STATICĂ A FORȚELOR DIAGrame CARACTERISTICE

După examinarea aspectelor teoretice privind forțele interioare și deformațiile, se impune cu necesitate stabilirea unor raporturi între aceste categorii, primele din domeniul mecanicii, celelalte din domeniul geometriei. Această problemă are caracter prin excelență experimental; încercările de a determina prin calcul comportarea materialelor sub acțiunea forțelor pornind de la legile fundamentale ale structurii materiei, s-au dovedit pînă în prezent infructuoase datorită în principal neomogenității structurale a majorității materialelor utilizate în practica inginererească, a marilor abateri pe care le prezintă structura reală a materialelor față de o structură perfect ordonată, cum este cea a cristalelor.

Comportarea materialelor sub acțiunea forțelor este stabilită în laboratoarele de încercări; raporturile dintre eforturi și deformații sînt o măsură a proprietăților fizico-mecanice ale materialelor.

Experimentările constau din realizarea într-o probă a unei solicitări de regulă omogenă, depinzînd de un singur parametru și măsurarea variațiilor care survin în dimensiunile probei. Se poate trasa astfel o curbă corelînd cele două variabile: cea mecanică și cea geometrică.

Pentru ilustrare vom lua cazul oțelurilor moi de construcție. Formele epruvetelor utilizate sînt în general normalizate pentru a se realiza în zona centrală un câmp de eforturi de întindere practic uniform a cărui intensitate este:

$$\sigma = \frac{N}{A}$$

în care  $N$  este efortul de întindere, iar  $A$  aria inițială a secțiunii transversale. Se măsoară lungirea  $\Delta l$  în zona centrală a epruvetei (în direcția efortului de întindere) și raportînd-o la lungimea inițială  $l$  se obține *lungirea specifică*

$$\varepsilon = \frac{\Delta l}{l}$$

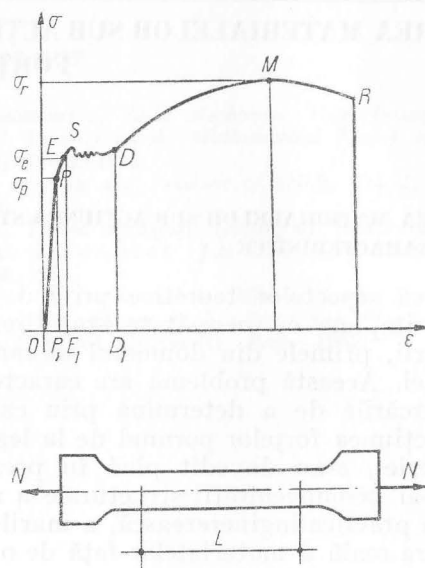


Fig. 3.1

Curba care leagă efortul unitar  $\sigma$  de lungirea specifică  $\varepsilon$  are alura celei din fig. 3.1 și poartă numele de *diagramă caracteristică*. Printre principalele puncte caracteristice ale acestei diagrame, se găsește în primul rând punctul  $E$  marcînd *limita de elasticitate a materialului*; cîtă vreme eforturile unitare rămîn inferioare valorii  $\sigma_e$  (pentru oțelurile de construcție moi  $\sigma_e = 2400 \text{ kgf/cm}^2$ ) lungirile sînt proporționale cu eforturile unitare și total reversibile; o dată îndepărtată forța de întindere, deformăția se anulează\*. Porțiunea de curbă  $OE$  este practic o dreaptă, atît la încărcarea epruvetei, cît și la descărcare. În lungul acestei porțiuni se poate scrie:

$$\sigma = E\varepsilon$$

\* O examinare mai atentă deosebește și o *limită de proporționalitate* corespunzînd unui efort unitar  $\sigma_p$  apropiat ca mărime de  $\sigma_e$ , totuși distinct, pînă la care se menține riguroasă proporționalitatea între eforturi și deformății.

relație bine cunoscută sub numele de legea lui Hooke, în care coeficientul de proporționalitate dintre eforturi și deformății  $E$  este *modulul de elasticitate longitudinal* sau modulul lui Young.

Pe măsură ce sub acțiunea forței epruveta se lungeste, dimensiunile secțiunii transversale se micșorează. Cîtă vreme  $\sigma \leq \sigma_e$  aceste modificări se pot exprima prin (fig. 3.2).

$$\varepsilon' = -\nu\varepsilon$$

în care  $\varepsilon'$  este lungirea (de fapt contracția) transversală specifică a dimensiunilor transversale ale acțiunii epruvetei, iar  $\nu$  *coeficientul de contracție transversală* denumit coeficientul lui Poisson.

Porțiunea  $OE$  a curbei caracteristice definește *domeniul de comportare elastică* a materialului. Încercările au demonstrat că valorile lui  $E$  și  $\nu$  sînt la compresiune aceleași ca la întindere.

După depășirea limitei de elasticitate  $\sigma_e$  o parte a deformăției este ireversibilă; la descărcarea completă o parte din deformăție persistă, este *remanentă* sau *plastică*.

Deformațiile remanente întrec mult ca valoare pe cele elastice după depășirea *limitei de curgere*  $\sigma_e$ . Curba caracteristică prezintă un palier, denumit *palier de curgere* de-a lungul căruia deformățiile cresc considerabil fără ca sarcina să crească sensibil; materialul „curge”, deformăția  $OD_1$  este de circa 20 ori mai mare decît cea elastică  $OE_1$ . Dincolo de punctul  $D$  materialul prezintă o *autoconsolidare*: eforturile unitare cresc, deși nu în aceeași proporție cu deformățiile. În momentul cînd se atinge punctul  $M$ , apar deformății importante ale secțiunii transversale, se produce *stricțiunea*; lungirile specifice nu mai sînt egale de-a lungul barei, ele devenind mult mai mari în zona stricțiunii.

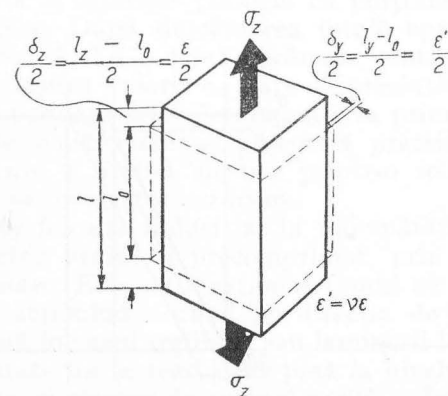


Fig. 3.2

În trasarea diagramei caracteristice, în mod convențional eforturile unitare  $\sigma$  se calculează raportându-se efortul  $N$  la aria inițială a secțiunii transversale; dincolo de punctul  $M$  această curbă prezintă o scădere aparentă a efortului unitar  $\sigma$  pînă în punctul  $R$  cînd epruveta se rupe, deoarece stricțiunea diminuează mult aria efectivă. Valoarea maximă a lui  $\sigma$  în punctul  $M$  se numește *limita de rupere*  $\sigma_r$ , sau *rezistența totală*. Dacă diagrama se trasează introducînd în calcul aria efectivă a secțiunii transversale, se obține curba reală cu alura din fig. 3.3 din care reiese că eforturile unitare cresc pînă în momentul ruperii. Alungirea specifică la rupere  $\delta_r$  atinge o valoare de 25...30%, adică de circa două sute de ori mai mare decît alungirea elastică.

Limita de curgere este bine marcată la oțelurile moi, care prezintă mari deformații înainte de rupere — sînt *tenace* sau *ductile* — dar ea devine din ce în ce mai puțin aparentă la oțelurile mai *dure*, ca urmare a creșterii procentului de carbon în compoziție. Acestea din urmă practic nu au palier de curgere și limita de curgere este definită convențional pe baza unei deformații remanente standard, de obicei 0,2%; această limită convențională de curgere se notează chiar  $\sigma_{0,2}$  (fig. 3.4). Menționăm că aceste oțeluri au și o lungire la rupere foarte redusă; comportarea lor se apropie de cea a materialelor *casante* sau *fragile* (fig. 3.5). Reducerea ductilității apare și la temperaturi scăzute cînd oțelurile, chiar cele moi, prezintă rupere casantă.

Prezența proprietăților plastice ale materialelor, manifestate printr-o lungire minimă la rupere, este de o deosebită importanță pentru utilizarea lor în construcții. Deformațiile mari în zonele foarte solificate ale construcției au ca efect retransmiterea unor eforturi asupra altor zone mai puțin solificate. Acest fenomen, care poartă numele

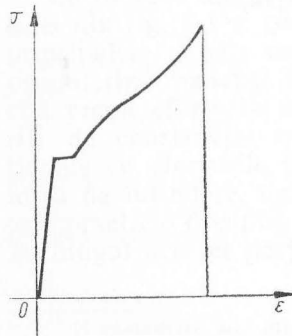


Fig. 3.3

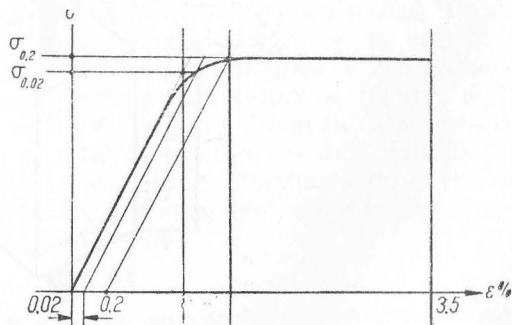


Fig. 3.4

de *adaptare*, nu poate avea loc decît în prezența unor deformații plastice suficient de mari.

Proprietățile plastice ale oțelurilor sînt la baza unor operații, ca fasonarea armăturilor, baterea niturilor; verificarea acestor proprietăți se face în mod sumar prin încercări relativ simple comportînd

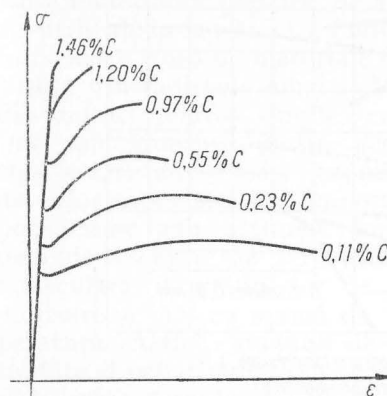


Fig. 3.5

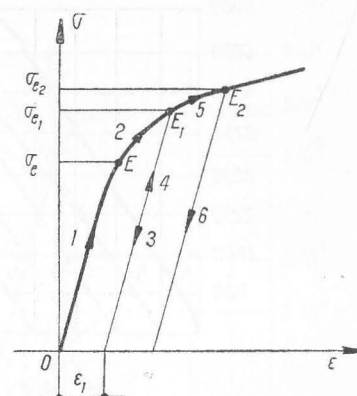


Fig. 3.6

în general îndoirea unei bare cu un unghi de 180°, fără să apară fisuri.

Să presupunem că o epruvetă de oțel a fost sollicitată peste limita de elasticitate  $\sigma_e$ ; dacă ea este descărcată și se trasează diagrama corespunzătoare, se observă (fig. 3.6) că descărcarea se face după o dreaptă (dreapta 3) aproape paralelă cu porțiunea rectilinie a diagramei de încărcare. După descărcarea totală epruveta păstrează o deformație remanentă. La o nouă încărcare materialul se comportă elastic pînă la atingerea valorii  $\sigma_{e1}$  care se prezintă ca o nouă limită de elasticitate, superioară celei determinate la prima încărcare  $\sigma_{e1} > \sigma_e$ . Modulul de elasticitate se păstrează practic constant. Acest fenomen de ridicare a limitei elastice printr-o sollicitare prealabilă, corespunzătoare, se numește *ecruisare*.

Ecruierea este folosită industrial la îmbunătățirea calității unor oțeluri pentru beton armat și precomprimat, prin laminare la rece, trefilare și torsionare. Este de menționat faptul că la ecruierea prin sisteme de forțe acționînd normal pe direcția de sollicitare a barei — cum se întîmplă în cazul trefilării sau laminării la rece — ridicarea limitei de elasticitate nu se realizează pînă la nivelul efortului unitar cu care s-a produs, ci rămîne de ordinul a 50%. În fig. 3.7 sînt date diagramele caracteristice ale unor oțeluri ecruiate.



Diagrame caracteristice asemănătoare celei a oțelului au și alte metale și aliaje utilizate în construcții. Un asemenea material, care prezintă un interes crescând pentru structurile ingineresti, este alumi- niul.

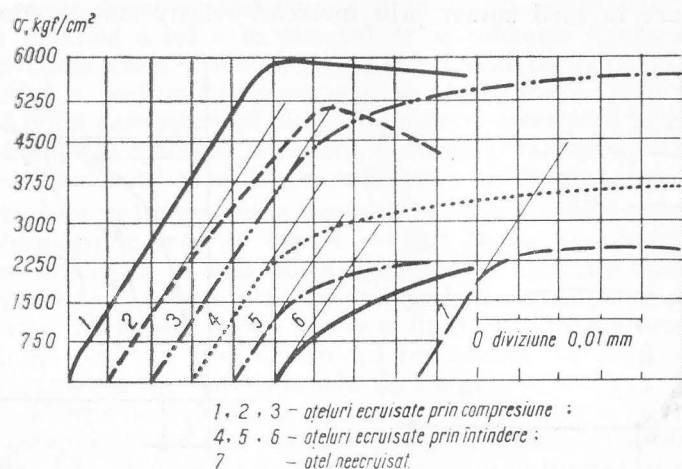


Fig. 3.7

Comportarea la solicitări mecanice a aliajelor de aluminiu este analogă oțelurilor moi (fig. 3.8) cu deosebirea absenței palierului de curgere; limita de curgere pentru aluminiu este o limită convențională  $\sigma_{0,2}$ . De remarcat că la aliajele de aluminiu limita de proporționalitate este mai depărtată de limita de curgere convențională decât la oțelurile de construcție: la aluminiu:  $\frac{\sigma_p}{\sigma_{0,2}} = 0,75 \dots 0,85$  față de

$\frac{\sigma_p}{\sigma_{0,2}} = 0,80 \dots 0,85$  la oțel.

În fig. 3.8 sînt date curbele  $\sigma - \varepsilon$  și modulele de elasticitate longitudinale la întindere și compresiune la un aliaj Al-Cu-Mg, și anume: curba  $\sigma - \varepsilon$  la compresiune (1), curba  $\sigma - \varepsilon$  la întindere (2), curba  $E$  la compresiune (3), și curba  $E$  la întindere (4). S-a notat cu  $\sigma_p^c$  limita de proporționalitate la compresiune, cu  $\sigma_p^t$  limita de proporționalitate la întindere, cu  $\sigma_{0,2}^c$  limita de curgere tehnică la compresiune (corespunzătoare unei deformări remanente de 0,2%).

Ruperea la solicitări statice este în general plastică; ea se produce după deformări mari. Spre deosebire de oțeluri, aliajele de aluminiu mențin aceste proprietăți plastice chiar la temperaturi foarte scăzute ( $-100^\circ\text{C}$ ); nu se întâlnește practic rupere fragilă.

O îmbunătățire a caracteristicilor mecanice ale aliajelor de alu- miniu se poate obține, ca și la oțeluri, prin ecruișare, operație care conduce la ridicarea limitei de curgere, a durității, a rezistenței la oboseală.

Comportare, mult diferită, pre- zintă materialele plastice, de sinte- ză, utilizate în construcții. Polimerii formează o clasă de materiale consti- tuite din molecule lungi alcătuite din unități relativ simple, crista- line sau amorf; dintre acestea elastomerii au o mare capacitate de deformare elastică. Comportarea polimerilor sub acțiunea forțelor depinde esențial de structura lor moleculară, de gradul lor de poli- merizare și mai cu seamă de tem- peratură. Astfel, modulul de elas- ticitate al polistirenului, a cărui va- riație este trasată în funcție de temperatură în fig. 3.9, nu mai este constantă. La temperatura mediului ambiant polimerii sînt duri și ca- sanți, iar deformările perfect elastice.

Spre deosebire de majoritatea materialelor de construcție, elasto- merii în zona lor de comportare elastică manifestă lungiri complet reversibile de sute de procente (fig. 3.10).

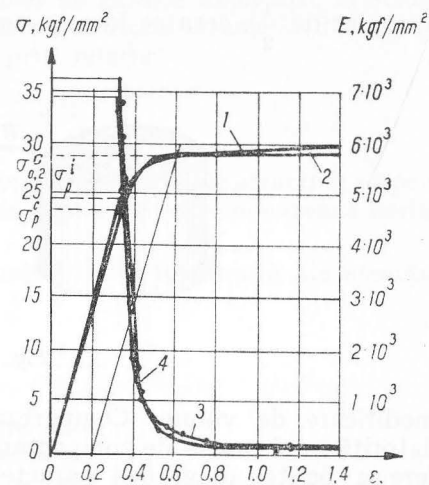


Fig. 3.8

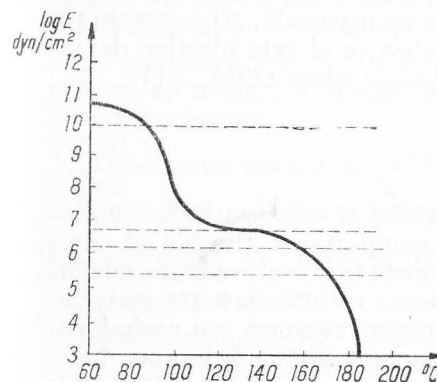


Fig. 3.9

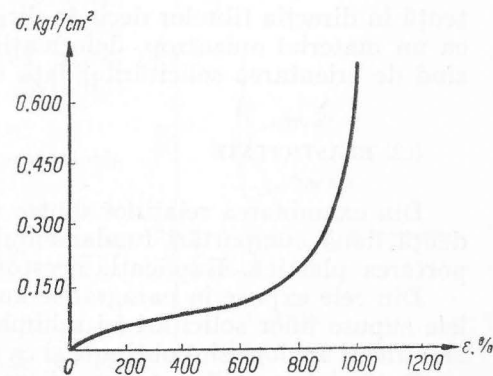


Fig. 3.10

Materialele cu comportarea elastomerilor au cîteva trăsături caracteristice: sînt moi și au modul de elasticitate redus; permit deformații foarte mari care sînt reversibile; sînt amorse.

La materialele de tipul elastomerilor, coeficientul lui Poisson este apropiat de  $\frac{1}{2}$ , ceea ce face ca aceste materiale să se deformeze fără

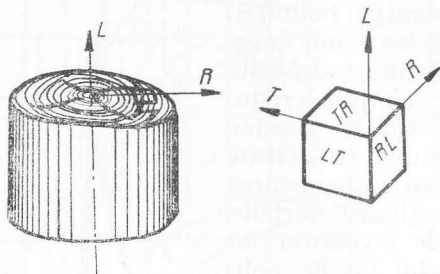


Fig. 3.11

modificare de volum. Comportarea la compresiune este deosebită datorită unui proces de compactare a materialului care duce la o creștere a pantei diagramei caracteristice.

Un material larg utilizat în construcții, lemnul, prezintă o structură fibroasă, din polimeri naturali, care îi determină proprietățile mecanice; lanțurile de molecule cristaline orientate avînd ca bază celuloza, care îi conferă structura fibriformă, ocupă 50 ... 60% din volumul lemnului, restul constînd dintr-o substanță amorfă, lignina. În ciclul anual de creștere celulele tubulare se dispun pe cercuri concentrice: *cercurile anuale* datorită cărora lemnul are o mai mare rezistență în direcția fibrelor decît în direcția transversală. El se comportă ca un material anizotrop, deformațiile elastice și cele plastice depinzînd de orientarea solicitărilor față de inelele anuale (fig. 3.11).

### 3.2. ELASTICITATE

Din examinarea relațiilor dintre solicitări și deformații, ies în evidență două comportări fundamentale: comportarea elastică și comportarea plastică. Explicația acestora constă în structura materialelor.

Din cele expuse în paragrafele anterioare rezultă că toate materialele supuse unor solicitări își schimbă forma, volumul sau amîndouă. Modificări analoge sînt obținute și ca urmare a variației de temperatură.

Dacă deformațiile produse dispar complet o dată cu înlăturarea cauzei ce le-a produs, comportarea a fost denumită *elastică*. Relația

matematică dintre deformații și solicitări în cazul comportării elastice a corpurilor cristaline este liniară, în timp ce la corpurile necristaline, în special la cele alcătuite din lanțuri lungi de molecule, este neliniară.

Comportarea elastică a materialelor își găsește explicație în structura lor atomică. Energia potențială a doi atomi situați la distanța  $r$  unul de altul, poate fi exprimată prin relația

$$V = -\frac{A}{r^n} + \frac{B}{r^m}$$

în care  $A$  și  $B$  sînt constantele de proporționalitate ale atracției, respectiv respingerii dintre atomi, iar  $n$  și  $m$  exponenții care precizează variația potențialului cu distanța.

Întrucît  $V$  este o funcție de potențial, forța rezultantă (de atracție sau respingere) are expresia:

$$F = -\frac{\partial V}{\partial r} = -\frac{nA}{r^{n+1}} + \frac{mB}{r^{m+1}}$$

La distanța  $d_0$  forța de atracție este echilibrată de cea de respingere; forța rezultantă este nulă iar atomii sînt în poziție de echilibru stabil (energia potențială este minimă). Orice deplasare impusă a celor doi atomi tinzînd să-i apropie sau să-i depărteze, va avea ca efect tendința de a reveni în poziția inițială; ca urmare, atomii într-o structură cristalină tind să se așeze față de vecinii lor astfel că forța rezultantă care acționează asupra fiecăruia să fie nulă.

O solicitare produce deformarea materialului ca urmare a modificării distanțelor interatomice.

Deformația specifică  $\frac{l - l_0}{l_0}$  într-o direcție oarecare devine la scara atomică, deplasarea raportată la distanța inițială:  $\frac{d - d_0}{d_0}$  în aceeași direcție.

Diagrama din fig. 3.12 ilustrează relația dintre forța de interacțiune a doi atomi și distanța dintre ei; ea este analogă diagramei caracteristice a unui

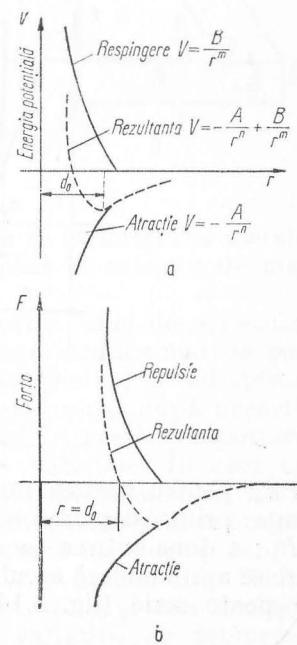


Fig. 3.12

material și prin urmare panta tangentei în punctul de abscisă  $r = d_0$  ilustrează o mărime analogă modulului de elasticitate al materialului. Mai mult, pentru variații ale distanței  $d$ , în jurul valorii  $d_0$ , nedepășind circa 0,5%, ceea ce corespunde în general valorilor alungirii specifice  $\varepsilon$  ale materialelor cristaline, diagrama prezintă o variație practic liniară (fig. 3.13). Această constatare făcută la nivel atomic, explică comportarea liniar elastică macroscopică a materialelor cristaline. La aceste materiale sînt necesare eforturi relativ mari pentru a produce deformări mici elastice. Comportarea la compresiune și întindere este practic identică.

Potrivit aceluiași model atomic, poate fi explicată și contracția transversală care apare la solicitarea de întindere. În acest scop ne imaginăm atomii ca niște sfere rigide de diametru  $d$  într-o așezare compactă (fig. 3.14, a). Presupunem că de-a lungul direcției  $x$  se exercită o forță de întindere care produce o deformare liniară specifică  $\varepsilon$ ; distanța  $(1 + \varepsilon)d_0$  constituie pe direcția  $x$  noua distanță de echilibru. Pentru a se menține însă distanța  $d_0$  după celelalte direcții, sferile de pe celelalte rînduri trebuie să rămînă în contact; distanța  $h_0$  între liniile centrelor se va micșora. Ținînd seama că  $\varepsilon$  este mic în raport

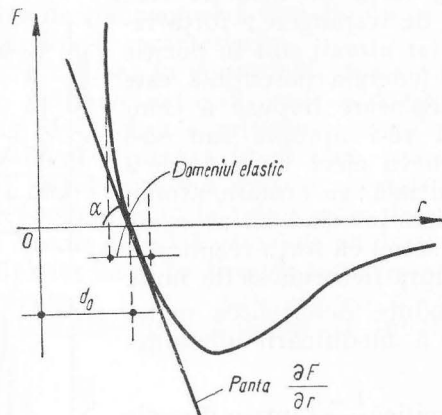


Fig. 3.13

cu  $d_0$ , pentru găsirea punctului  $A_1$  se consideră deformarea în două etape: prima, deplasarea diametrului  $BA$  în  $B_1A'$  ca urmare a lungirii  $BB_1$ ; a doua rotirea acestui diametru în  $A_1$  ( $A'A_1$  este tangenta cu care se aproximează arcul de cerc după care se face în realitate rotirea). Se poate scrie (fig. 3.14, b):

$$\varepsilon' h_0 = \varepsilon \frac{d_0}{2} \operatorname{tg} 30^\circ$$

sau ținînd seama că :

$$h_0 = \frac{\sqrt{3}}{2} d_0 \text{ și } \operatorname{tg} 30^\circ = \frac{1}{\sqrt{3}}$$

$$\varepsilon' = \nu \varepsilon \approx 0,3 \varepsilon$$

$$\nu \approx 0,3.$$

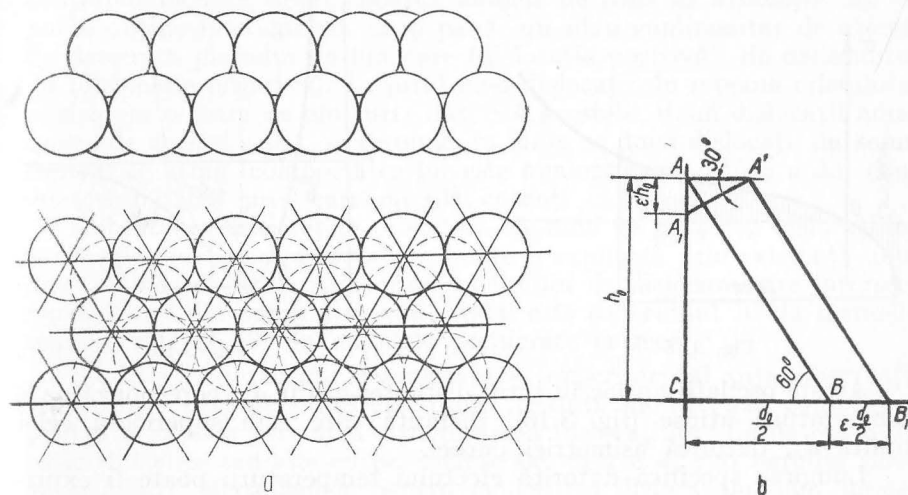


Fig. 3.14

Această valoare a coeficientului lui Poisson se întâlnește la metale al căror sistem cristalin coincide cu cel adoptat în calculul de mai înainte.

La materiale necristaline, alcătuite din lanțuri lungi de molecule, cum sînt elastomerii amintiți la § 3.1, deformări elastice mari se pot produce la solicitări reduse deoarece inițial se produce o îndreptare a lanțurilor moleculare în direcția efortului și numai după această fază începe învingerea legăturilor dintre atomi. Această comportare explică legea neliniară a elasticității acestor materiale. În ceea ce privește comportarea la compresiune a corpurilor necristaline alcătuite din lanțuri de molecule, ea este dictată de faptul că mai întîi se umple spațiile libere dintre lanțuri, după care se încarcă cu efort și lanțul propriu-zis: diagrama prezintă o accentuare a pantei (fig. 3.15).

O altă categorie de deformări, complet reversibile și deci analoge celor elastice, sînt deformările produse de variațiile de temperatură.



La temperatura zero absolut, orice mișcare a atomilor în jurul poziției lor de echilibru încetează: distanța interatomică este  $d_0$ . Pe măsură ce temperatura crește ca urmare a unei energii comunicate din exterior, atomii încep să oscileze, distanța maximă dintre ei la o anumită temperatură devenind  $d_b$ , iar cea minimă  $d_a$ .

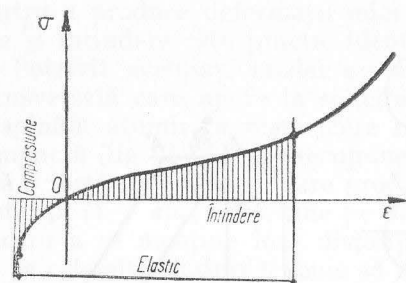


Fig. 3.15

Aceste oscilații au loc în jurul distanței medii  $d_e$ , corespunzătoare temperaturii atinse (fig. 3.16), distanță care este superioară celei limită  $d_0$ , datorită asimetriei curbei.

Lungirea specifică datorită efectului temperaturii poate fi exprimată prin relația cunoscută:

$$\frac{dl}{l} = \alpha dT$$

în care  $\alpha$  este coeficientul de dilatare liniară, iar  $dT$  variația de temperatură. Se demonstrează ușor că pentru corpurile solide cristaline care au același coeficient de dilatare liniară pe cele trei direcții ale spațiului, coeficientul de dilatare volumică este egal cu:

$$\alpha_v = 3\alpha.$$

Există numeroase cristale care au coeficienți de dilatare liniară diferiți pe direcții diferite.

### 3.3. PLASTICITATE

Comportarea plastică la metale își are originea în deplasarea unor defecte ale cristalelor, cunoscute sub denumirea de *dislocații*.

Teoria dislocațiilor a fost introdusă prima dată de G. Taylor în anul 1930 pentru a explica motivul pentru care într-o rețea cristalină

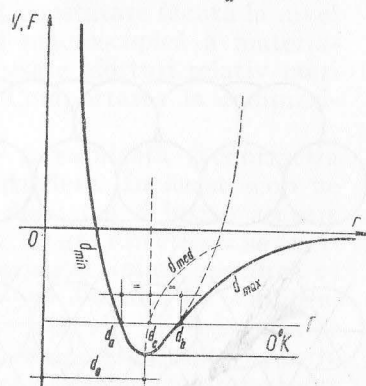


Fig. 3.16

forțele reale care produc deplasarea unor straturi de atomi sînt de sute de ori mai mici decît cele care rezultă dintr-un calcul în care se iau în considerare forțele interatomice într-o rețea cristalină perfectă.

Sub forma lor cea mai simplă, într-o rețea cubică dislocațiile au fost concepute ca linii de locuri goale, neocupate de atomi, goluri care se pot deplasa într-un plan denumit *plan de lunecare* sub acțiunea unei forțe tangențiale  $T$  (fig. 3.17). Linia (perpendiculară pe figură), conținînd locurile libere, poartă numele de *linie de dislocație*. Ea se poate obține introducînd, ca o pană, un plan suplimentar de atomi, fie deasupra planului de lunecare (dislocație pozitivă), fie dedesubtul lui (dislocație negativă). În jurul unei dislocații, în rețeaua cristalină ia naștere o stare de eforturi; datorită acestora, două dislocații adiacente, de același semn, se resping, în timp ce două dislocații de semn contrar se atrag (comportarea lor este analogă comportării a doi conductori paraleli prin care circulă curenți electrici).

Mobilitatea unei rețele cristaline depinde de numărul dislocațiilor existente; ductilitatea metalelor poate fi explicată prin existența unui mare număr de dislocații; numărul liniilor de dislocare care intersectează  $1 \text{ cm}^2$  din suprafața unui cristal este de ordinul  $10^9$  la metalele neprelucrate și  $10^{12}$  la metalele prelucrate la rece.

Studiile mai recente completate și experimental prin observații cu ajutorul microscopului electronic prezintă modele mai complicate pentru a explica formarea și deplasarea dislocațiilor; liniile de dislocație sînt elice sau alte curbe, închise sau deschise; sînt definite *surse de dislocații*. Mecanismele pentru deplasarea dislocațiilor sînt numeroase și diferite de la metal la metal. Ele diferă însă pentru același metal în funcție de temperatură; la temperaturi ridicate, cînd procesul de difuziune devine important, dislocațiile pot să se deplaseze dintr-un

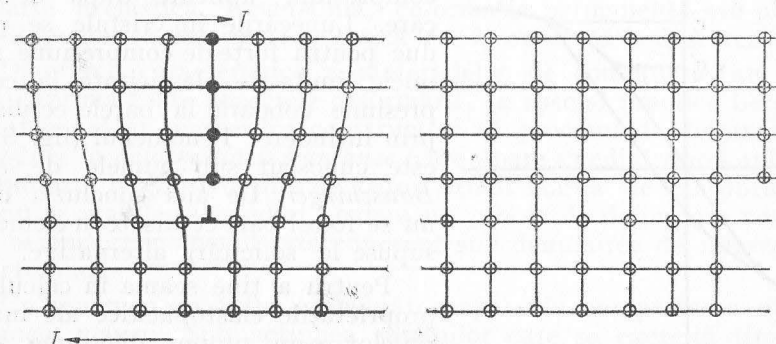


Fig. 3.17



plan de alunecare în altul. Aceasta explică deformațiile de fluaj ale metalelor la temperaturi ridicate.

Mobilitatea dislocațiilor este mai redusă în cristalele care conțin impurități; atomii străini rețin dislocațiile deoarece ei se localizează în regiunile dilatate ale rețelei din apropierea dislocațiilor. Fixarea impurităților se face în timp, ceea ce explică fenomenul de îmbătrânire prin care se micșorează ductilitatea. Existența unui mare număr de dislocații, de diferite orientări — ca urmare a prelucrării la rece de exemplu — reduce de asemenea mobilitatea dislocațiilor din cauza forțelor de interacțiune care apar în urma aglomerării lor.

Sub acțiunea forțelor, de-a lungul suprafețelor de alunecare, se deplasează straturi întregi de atomi. Prin deplasare, se restabilește însă rețeaua cristalină într-o nouă poziție de echilibru stabil al atomilor; deformația devine în acest fel ireversibilă. Intersecțiile planelor de alunecare cu suprafața laterală a epruvetei apar ca linii cunoscute sub numele de liniile lui Lueders.

Teoria dislocațiilor dă explicații și fenomenului de ecruisare. După solicitare, care depășește limita de elasticitate, prin descărcarea între cristalele deformate plastic și mediul amorf care le înconjoară, iau naștere eforturi care produc numai deformații elastice; cristalele sînt supuse la forțe de compresiune.

La o nouă încărcare nu se pot produce noi deformații plastice fără a depăși valoarea forței care le-a produs pe primele; de aceea, deformațiile la reîncărcare sînt elastice. Din acest mecanism al deformării,

rezultă însă că forțele de compresiune care se exercită asupra cristalelor prin descărcare se adaugă celor datorite unei eventuale forțe exterioare de compresiune, aplicate după descărcare. Alunecările în cristale se produc pentru forțe de compresiune mai mici; limita de elasticitate la compresiune coboară la barele ecruisate prin întindere. Fenomenul (fig. 3.18) este cunoscut sub numele de *efect Bauschinger*. De aici concluzia de a nu se folosi bare ecruisate în elemente supuse la solicitări alternative.

Pentru a ține seama în calcul de proprietățile elastoplastice ale materialelor, s-au propus diagrame simplificatoare. Două din aceste dia-

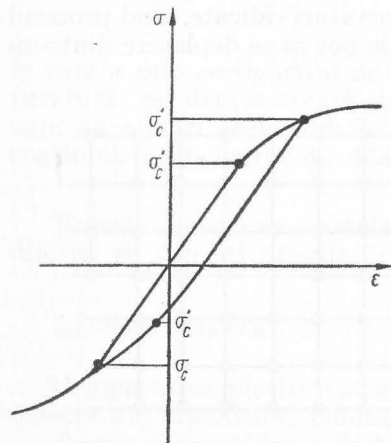


Fig. 3.18

grame au o utilizare mai mare. Prima datorită lui Prandtl, consideră materialul perfect elastic pînă la limita de curgere, după care corpul se deformează nedefinit fără a fi necesar practic un spor de

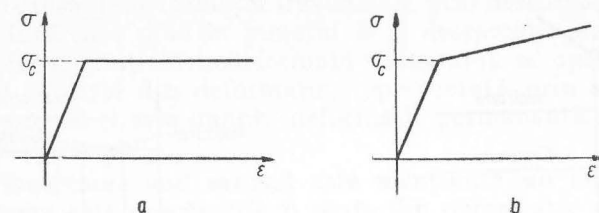


Fig. 3.19

efort. A doua ține seama de manifestările de *consolidare* pe care le prezintă materialul după o oarecare deformație datorită curgerii. În fig. 3.19, *a* și *b* sînt ilustrate cele două tipuri de diagrame.

#### 3.4. COMPORTAREA MATERIALELOR ÎN TIMP

S-a arătat că comportarea perfect elastică a materialelor este limitată; după depășirea unui anumit efort limită, proporționalitatea dintre efort și deformație nu mai subzistă, iar deformația este numai parțial reversibilă. Din diagrama caracteristică a materialului (fig. 3.20) rezultă că deformația totală  $\epsilon$  după depășirea limitei de elasticitate  $\sigma_e$  este alcătuită din două părți; o parte elastică, reversibilă  $\epsilon_e$ , și o parte neelastică, ireversibilă, deformația permanentă sau plastică  $\epsilon_p$ . Repetăm că deformația elastică iese în evidență la descărcare.

Diagrama caracteristică a materialelor de construcție nu poate însă exprima toate aspectele deformării; în special practica betonului armat a arătat inginerilor constructori că procesul de deformare nu se reduce la *deformația instantanee* (care apare imediat după aplicarea sarcinilor); la construcțiile de beton armat starea de echilibru elastic nu se stabilește imediat; există un proces de deformare continuă sub sarcină. Fenomenul este cunoscut sub denumirea de *curgere lentă* a betonului.

Un fenomen cu totul asemănător apare în comportarea oțelului la unele mașini. Sub acțiunea sarcinilor care se exercită timp mai îndelungat și la temperaturi ridicate, deformațiile cresc continuu,

ajungînd în anumite condiții să producă ruperea materialului (fig. 3.21). La agregate care lucrează în condiții de eforturi și temperaturi ridicate, cum sînt turbinele de aburi, s-au produs nu puține distrugerii ale agregatelor din cauza *fluajului* oțelului.

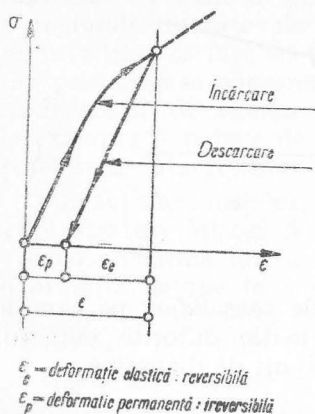


Fig. 3.20

Reprezentată grafic, curgerea lentă a betonului sub efort constant s-ar prezenta sub forma unei diagrame ca cea din fig. 3.22, din care rezultă că deformăția la timpul  $t_1$ , reprezentată prin punctul C, poate

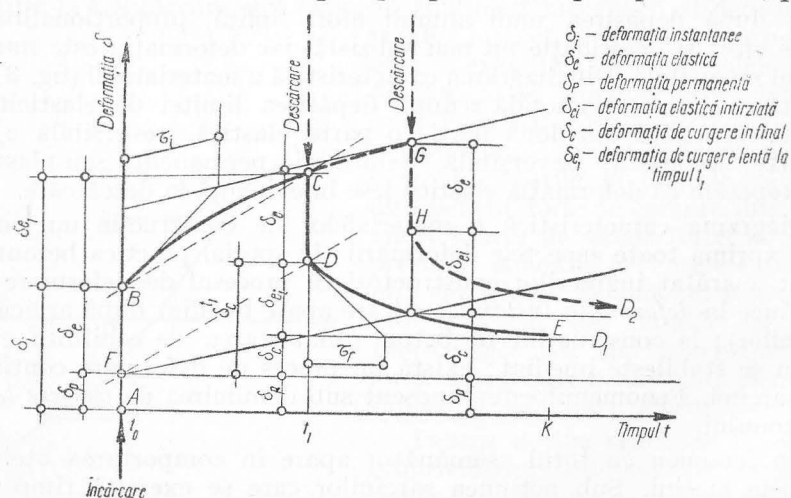


Fig. 3.22

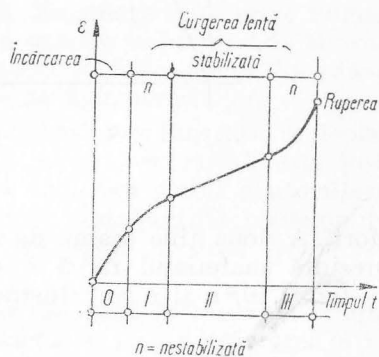


Fig. 3.21

fi socotită alcătuită din două părți: o deformăție instantanee, reprezentată prin segmentul AB, și o deformăție dependentă de timp, reprezentată prin diferența dintre ordonata punctului C și ordonata AB. Din deformăția totală, partea de deformăție reversibilă (elastică) poate fi distinsă de deformăția ireversibilă prin descărcare. Dacă epruveta este încărcată pînă în punctul B și descărcată imediat, nu mai revine la forma inițială nedeformată: diagrama se oprește în F. Înseamnă că o parte din deformăție, reprezentată prin segmentul AF este permanentă și este numită deformăție permanentă sau deformăție plastică instantanee\*.

Dacă încărcarea sub sarcină este menținută un anumit timp  $t_1$ , cînd epruveta este descărcată, o parte din deformăție se recuperează imediat (segmentul CD). Această parte a deformăției este denumită deformăție elastică instantanee sau simplu deformăție elastică,  $\delta_e$ .

Dacă epruveta este lăsată descărcată un timp mai lung, se observă o scădere a deformăției remanente; din punctul D deformățiile scad oprindu-se la valoarea reprezentată prin ordonata KE. Înseamnă că deformăției elastice (instantanee) i se adaugă o deformăție elastică, care se recuperează în timp, denumită deformăție elastică întârziată sau post-efect elastic,  $\delta_{ei}$ .

Epruveta rămîne după un timp suficient de lung cu o deformăție remanentă, care este compusă din două părți: o parte egală cu o deformăție permanentă (deformăția plastică instantanee) și o parte datorită curgerii lente. Este ceea ce în literatura de specialitate se numește uneori deformăție de curgere lentă veritabilă sau simplu curgere. În unele lucrări de specialitate, pentru deformăția elastică întârziată se folosește și termenul de curgere lentă primară, iar pentru partea din deformăția remanentă datorită curgerii lente, termenul de curgere lentă secundară.

Fenomenul de deformare continuă sub sarcină, fluaj sau curgere lentă, este de aceeași natură cu fenomenul cunoscut sub numele de relaxare, care constă în scăderea continuă a eforturilor din elementele menținute într-o anumită stare de deformare. Elementele de solidarizare care acționează prin eforturi obținute printr-o deformare inițială, cum sînt buloanele tensionate sau niturile, cu timpul slăbesc prinderea deoarece efortul la care erau solicitate inițial scade.

Fenomenele de relaxare și de curgere lentă interesează în mod deosebit pe constructori, deoarece intervin la materiale utilizate larg, cum sînt betonul armat și betonul precomprimat. Tensiunile mari inițiale în armăturile de oțel care produc precomprimarea betonului,

\* Unii cercetători contestă existența la beton a deformăției plastice instantanee.

scad pe măsura trecerii timpului (fără însă a scădea sub o anumită limită care să pericliteze elementul de construcție).

De aceeași natură cu curgerea lentă și relaxarea este și comportarea lemnului sub acțiunea de durată a forțelor care se manifestă prin ruperea probei supuse la întindere după un anumit timp fără ca în acest interval intensitatea forței să fi crescut.

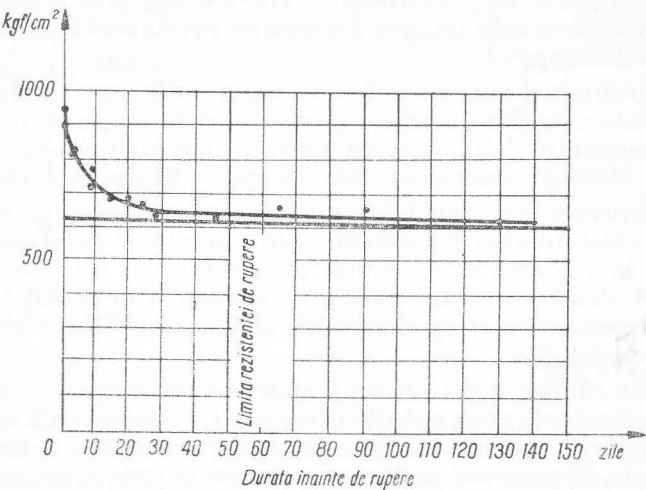


Fig. 3.23

Notăm cu  $\sigma_r$  rezistența la rupere determinată prin încercări de scurtă durată. Experiența arată că probe menținute continuu sub un efort unitar inferior rezistenței de rupere, cedează totuși după scurgerea unui anumit interval; acesta este cu atât mai scurt, cu cât efortul unitar este mai ridicat. Experimental se constată că se poate defini o limită a efortului unitar, în jurul valorii de  $(0,5 \dots 0,6) \sigma_r$ , pentru care ruperea nu se produce pentru intervale oricât de lungi. În felul acesta se definește rezistența de durată a lemnului (fig. 3.23).

Explicația fenomenului rezidă în mecanismul de eliminare — evaporare a apei din structura lemnului, avînd ca efect suprasolicitarea urmată de ruperea unor fibre.

În descrierea fenomenelor de deformare nomenclatura folosită este foarte variată. Pentru a introduce o reglementare în acest domeniu la colocviul RILEM de la München (1958), cu tema „Influența timpului asupra rezistenței și deformăției betonului”, s-a stabilit și o termino-

logie unitară privind deformarea, redată sub formă de tabel. Deși unii termeni sînt susceptibili de critică, nomenclatura adoptată are avantajul unificării termenilor.

Deformațiile betonului  
(RILEM 1958)

Independente de solicitările exterioare		Dependente de solicitările exterioare	
Din tempera- tură	Contractie		Independente de timp
	Ecologică	Reversibile	Elastică
	Intrinsecă	Ireversibile	Permanentă
			Dependente de timp (curgere lentă)
			Elastică întir- ziată
			Curgere

### 3.5. DISIPAREA ENERGIEI. VISCOSITATEA SOLIDELOR

Comportarea materialelor sub acțiunea forțelor este legată de transformările de energie care au loc în timpul procesului de deformare. În bilanțul energetic intră lucrul mecanic produs de forțele exterioare, energia cinetică a mișcării macroscopice a corpului (în cazul vibrației de exemplu) energia potențială (elastică) de deformare și energia disipată sub diferite forme. În cazul corpurilor în echilibru, energia cinetică este nulă; se consideră de regulă că lucrul mecanic al forțelor exterioare se transformă în întregime în energie potențială (elastică) de deformare. La descărcare, această energie produce revenirea corpului la starea inițială, nedeformată.

Un proces termodinamic este teoretic reversibil numai atunci cînd se produce cu viteze infinit mici. Vitezele cu care se produc deformările sînt însă finite; aceasta are ca rezultat disiparea unei părți din energia acumulată, sub formă de căldură. Ca urmare, deformarea nu mai este în întregime reversibilă.

Raportînd la unitatea de volum cantitatea de energie înmagazinată de corp prin deformare și notînd cu  $w_s$  energia specifică de deformare, se poate scrie relația:

$$w_s = w_e + w_d \quad (3.1)$$

în care cu  $w_d$  s-a notat energia disipată, iar cu  $w_e$  energia potențială elastică, energii raportate de asemenea la unitatea de volum.



Această relație redă aspectul cunoscut al deformăției corpului: din deformăția totală, o parte, care corespunde energiei elastice  $w_e$ , este reversibilă — deformăția elastică; partea care corespunde energiei disipate  $w_d$ , este ireversibilă — deformăția remanentă.

Atît termodinamica teoretică cît și comportarea construcțiilor au arătat că în deformarea corpurilor are importanță nu numai cantitatea de energie care se transferă, ci și viteza cu care se face acest transfer. Energia elastică specifică este o măsură a capacității corpului de a înmagazina lucrul mecanic produs de forțele exterioare, fără a ceda (fie prin rupere, fie prin deformății plastice). În cazul că lucrul mecanic produs de forțele exterioare este mare (în cazul șocului de exemplu), pentru ca o construcție să nu cedeze, este necesar ca partea de energie disipată să fie cît mai mare. Cum transferul de energie, respectiv disiparea, sînt procese care au loc în timp, sîntem conduși a le analiza raportîndu-le la unitatea de timp.

Ca urmare, expresia (3.1) este derivată în raport cu timpul, obținîndu-se:

$$\dot{w}_s = \dot{w}_e + \dot{w}_d \quad (3.2)$$

în care cu  $\dot{w}_s$ ,  $\dot{w}_e$  și  $\dot{w}_d$  s-au notat derivatele de forma  $\frac{dw}{dt}$ .

În această relație sînt 3 variabile legate printr-o condiție; numai două vor putea deci varia independent. Cazurile particulare sînt obținute considerînd pe rînd unul dintre termeni nul (cantitatea de energie corespunzătoare nu variază în timp), și anume:

$$a) \quad \dot{w}_d = 0 \quad \text{sau} \quad \dot{w}_s = \dot{w}_e. \quad (3.3)$$

Lucrul mecanic al forțelor exterioare se înmagazinează sub formă de energie potențială elastică de deformare. Energia aceasta poate fi restituită; materialul se comportă perfect elastic.

$$b) \quad \dot{w}_e = 0 \quad \text{sau} \quad \dot{w}_s = \dot{w}_d. \quad (3.4)$$

Toată energia este disipată; deformăția este în întregime ireversibilă. Comportarea materialului este perfect plastică.

$$c) \quad \dot{w}_s = 0 \quad \text{sau} \quad \dot{w}_e + \dot{w}_d = 0. \quad (3.5)$$

Cantitatea de energie înmagazinată prin deformare este constantă. În timp se face un transfer continuu de energie: energia potențială elastică scade cu aceeași viteză cu care crește energia disipată; deformăția ireversibilă crește în detrimentul deformăției elastice reversibile; acesta este cazul relaxării.

Cele trei cazuri de mai înainte sînt cazuri limită. În cazul general, exprimat prin relația (3.2), rapoartele între cele trei categorii de energii variază în timp. Exprîmînd valoarea vitezei de variație a energiei potențiale elastice sub forma:

$$\dot{w}_e = \dot{w}_s - \dot{w}_d = \dot{w}_s \left( 1 - \frac{\dot{w}_d}{\dot{w}_s} \right)$$

reiese că ea depinde de raportul între vitezele de variație ale energiei înmagazinate și ale celei disipate. Principiul al doilea al termodinamicii stabilește că energia disipată crește tot timpul: derivata ei  $\dot{w}_d$  este totdeauna pozitivă. De aici rezultă că energia potențială elastică nu crește în unitatea de timp în aceeași măsură în care crește lucrul mecanic produs de forțele exterioare.

Disiparea energiei în elementele de construcție este legată de deplasările particulelor materiale ale unui corp cu viteze finite, producînd procese ireversibile. Această cale de disipare a energiei poate fi pusă pe seama frecărilor interne. Procesele de disipare a energiei prin frecările interne, sînt cel mai bine ilustrate de fluidele vîscoase.

După cum se știe, ecuația generală a mișcării fluidelor vîscoase (legea lui Newton) poate fi scrisă sub forma (fig. 3.24)

$$\tau = \eta \cdot \dot{\gamma} \quad (3.6)$$

în care cu  $\tau$  s-a notat efortul unitar tangențial, cu  $\eta$  viscozitatea și cu  $\dot{\gamma}$  derivata în raport cu timpul a lunecării specifice\*.

Spre deosebire de corpurile solide, prin deformare fluidele incompresibile nu pot înmagazina energie; energia potențială de deformare (elastică) este inexistentă: cantitățile infinit mici de energie care se acumulează sînt disipate imediat prin curgere.

Din considerentele arătate, rezultă că pentru a explica unele aspecte ale deformăției corpurilor solide, și în special variația deformăției în timp, nu este nepotrivit să asociem proprietăților elastice specifice corpului solid, o proprietate specifică fluide-

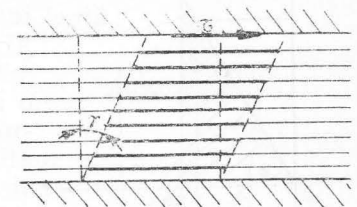


Fig. 3.24

\* Reamintim că unitatea de viscozitate în sistemul CGS este poise (P) egală cu viscozitatea fluidului în care, pentru a deplasa cu viteza de 1 cm/s o suprafață plană de 1 cm<sup>2</sup> situată la distanța de 1 cm de alt plan paralel, este necesară o forță de 1 dynă. Subunitatea sa, centipoise (cP) este egală cu viscozitatea apei la 20,2°C.



lor: viscozitatea, și să atribuim o anumită viscozitate corpurilor solide.

La numeroase materiale de construcție (betonul, bitumurile, lemnul etc.), atribuirea viscozității nu reprezintă un artificiu, ci corespunde structurii lor reale. Așa de exemplu, betonul cuprinde în structură sa, în stare proaspătă, geluri care se comportă ca fluide cu viscozitate mare. Bitumurile sînt, de fapt, fluide foarte vîscoase și se comportă ca atare. Chiar oțelurile de construcție, în special la temperaturi ridicate, prezintă o viscozitate care își are sursa în zonele periferice ale grăunților cristalini.

### 3.6. COMPORTAREA CORPURILOR LA ÎNCĂRCĂRI ȘI DESCĂRCĂRI REPE- TATE

În cazul cînd la încercarea unei epruvete dintr-un material oarecare curba caracteristică la descărcare nu se suprapune peste curba caracteristică determinată la încărcare, rezultă că din lucrul mecanic de deformare înmagazinat sub formă de energie de deformare, o parte nu este restituită, producîndu-se o disipare de energie. Într-adevăr dacă urmărim o diagramă oarecare, de încărcare (fig. 3.25), aria limitată de curba caracteristică și de axa absciselor reprezintă lucrul mecanic acumulat pe unitatea de volum prin deformarea probei solicitate

$$w = \int_0^{\epsilon_1} \sigma d\epsilon.$$

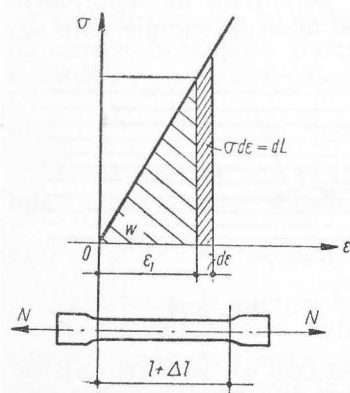


Fig. 3.25

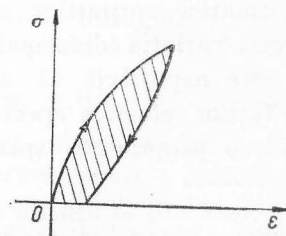


Fig. 3.26

Ca urmare, o curbă de încărcare-descărcare de forma celei din fig. 3.26 închide o arie reprezentînd energia disipată în ciclul efectuat. Despre materialele prezentînd curbe asemănătoare, se spune că prezintă fenomenul de *hysteresis*.

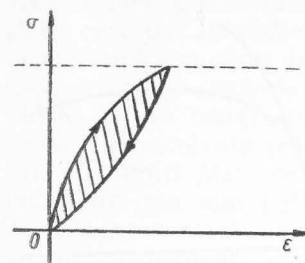


Fig. 3.27

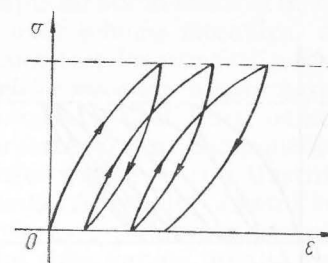


Fig. 3.28

În cazul unui material supus la solicitări a căror intensitate variază după o lege cu o perioadă dată, curba efort-deformație va avea de asemenea un caracter periodic. Se pot ivi două cazuri:

a) Curbele de variație se suprapun în timp, fie că închid o curbă de energie disipată (fig. 3.27), fie că nu. În acest caz, energia se disipează sub formă de căldură datorită frecărilor interne; deformarea nu crește nedefinit și astfel nu se ajunge la distrugere. Ciclul se numește *ciclu cu acomodare*.

b) Curbele se succed, deformarea crește continuu în timp; materialul are tendința de a „înghiți” continuu energia pe care o transformă în deformare (fig. 3.28).

În construcții, în care sarcinile prezintă variații în timp, materialele folosite trebuie să prezinte cicluri cu acomodare. Oțelurile au o acomodare mai rapidă, betoanele una mai lentă.

Chiar în cazul ciclurilor cu acomodare, la unele materiale, închiderea ciclului, prin dispariția deformărilor remanente, necesită o perioadă de timp. Această parte a deformăției, care se anulează în timp, denumită mai înainte deformare întârziată sau de post-efect elastic conduce la proprietatea care poartă numele de *reactivitate* (fig. 3.29). La asemenea materiale se poate ajunge la o stabilizare a ciclurilor după un număr mare de încărcări-descărcări (fig. 3.30).

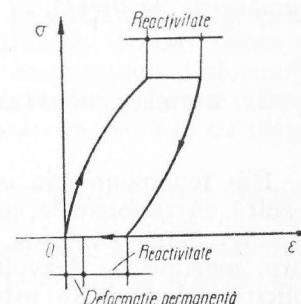


Fig. 3.29

Încercările ce se efectuează pentru determinarea curbelor caracteristice ale materialelor, trebuie să respecte o viteză maximă de încărcare, în general limitată la 100 kgf/cm<sup>2</sup>/s. O viteză de încărcare mai mare conduce la metale, la ridicarea aparentă a limitei de elasticitate

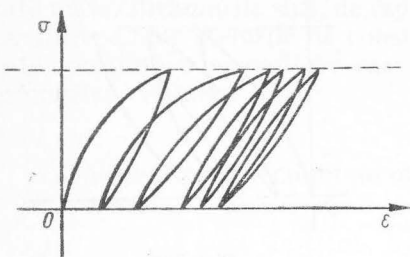


Fig. 3.30

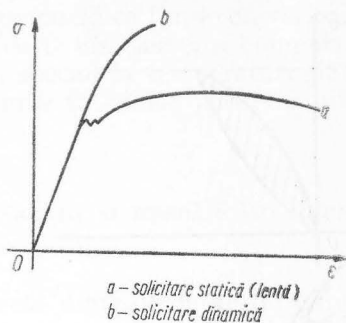


Fig. 3.31

și la reducerea lungirii la rupere: se reduce ductibilitatea metalului. La alte materiale, cum este betonul, alura diagramei caracteristice se modifică, curba se apropie mai mult de o dreaptă (fig. 3.31).

Pe de altă parte, la unele materiale destinate a suporta șocuri prin încercări la *impact* sau încercări dinamice făcute cu ajutorul dispozitivului cunoscut sub numele de *ciocanul lui Charpy* se stabilește lucrul mecanic necesar pentru a produce ruperea unei epruvete standard.

Cu cât materialul este mai ductil, cu atât absoarbe la rupere mai mult lucru mecanic; cu cât materialul este mai fragil, ruperea se face cu lucru mecanic mai redus. Raportul dintre lucrul mecanic consumat pentru ruperea prin șoc și aria secțiunii inițiale a epruvetei poartă numele de *reziliență*.

### 3.7. MODELUL CORPULUI MATERIAL

Din fenomenologia comportării corpurilor sub acțiunea forțelor, rezultă că raporturile cauzale dintre forțe și deformații îmbracă un caracter foarte complex, funcție de multe condiții. Pentru un același corp, mărimea și dezvoltarea deformațiilor produse de un sistem de solicitări depind de intensitatea și variația solicitărilor, de forma probei, de timp.

Pentru simplificarea și ordonarea problemei generale a raportului dintre solicitări și deformații, s-au desprins din tabloul complex câteva scheme simple de comportare, ușor exprimabile în limbaj matematic. Este adevărat că nici un corp material real nu corespunde practic acestor concepte schematizate, dar avantajul lor stă în relativa ușurință cu care pot fi studiate prin adoptarea unor scheme mecanice, deci macroscopice, a căror deformații sub acțiunea forțelor urmează aceleași legi. Se ajunge astfel la introducerea *modelelor mecanice* a unor corpuri ideale. Toată complexitatea comportării reale a unui corp oarecare tinde a fi rezolvată prin *compunerea* comportării unor componenți ai săi, denumiți *faze*; se obțin astfel modele complexe care ilustrează mai mult sau mai puțin comportarea reală. Avantajul acestui mod de a încerca rezolvarea problemei generale este pe de o parte acela al unei permanente imagini a fenomenului fizic, iar pe de altă parte al posibilității de a găsi expresia analitică a comportării complexe pornind de la cele simple, cunoscute, ale fazelor.

În cele ce urmează vor fi expuse modele mecanice ale corpurilor cu comportare perfect elastică, vîscoasă, plastică, ele fiind elementele de bază ale celor mai complexe scheme.

**Modelul corpului perfect elastic.** Prin definiție corpul perfect elastic, independent de intensitatea sau natura solicitărilor, revine la forma inițială o dată cu îndepărtarea acestora. Dacă între mărimea deformației, definită într-un mod oarecare, și intensitatea solicitării există o relație liniară, *elasticitatea* este și ea *liniară*. Acest din urmă tip de corp elastic este cel mai frecvent întâlnit în practică și este denumit *corpul Hooke*.

Modelul mecanic al acestui corp este resortul elicoidal sau simbolic *modelul H*. Acest model este complet lipsit de „memorie”. În orice moment starea sa este complet independentă de ceea ce s-a petrecut anterior atît la încărcare, cît și la descărcare.

Ecuația modelului H este:  $P_1 = K_1 \delta_1$ . Diagrama din fig. 3.32\* ilustrează comportarea modelului: deformațiile  $\delta_1$  depind liniar de solicitarea  $P_1$  și numai de ea, producîndu-se instantaneu. Deformația este independentă de timp; energia acumulată (aria 2 este măsura acestei energii) este complet restituită la descărcare, o dată cu dispariția integrală a deformației.

**Modelul corpului vîsco.** Prin definiție, corpurile perfect vîscoase se deformează continuu sub acțiunea forțelor, deformația cîștigată păstrîndu-se integral după îndepărtarea cauzei care a produs-o. Asemenea corpuri sînt lichidele cu frecare internă denumite lichide new-

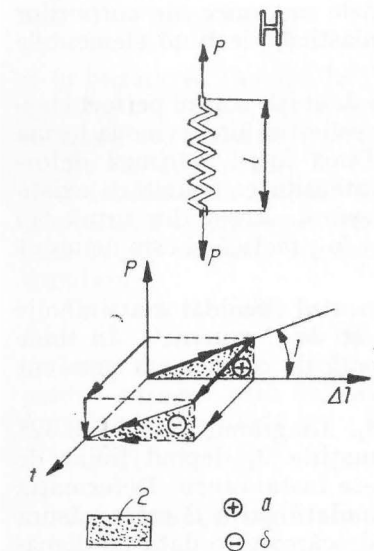
\* După Reiner.

toniene. Modelul mecanic al unui asemenea corp vâcos, la care deformările sînt proporționale cu solicitările, este alcătuit dintr-un corp de pompă cu un lichid vâcos în interiorul căruia poate glisa un piston perforat, totul simbolic denumit *modelul N*.

Ecuația modelului N este:  $P_2 = K_2 \dot{\delta}_2$ . Diagrama din fig. 3.33\* ilustrează comportarea acestui model: deformările  $\delta_2$  cresc în timp, ele nu se produc instantaneu, sînt proporționale cu sarcina aplicată; se păstrează integral la înlăturarea ei. Energia crește continuu cu sarcina și nu este restituită la descărcare.

Modelul se spune că are „memorie” perfectă: reține integral toate evenimentele produse asupra lui.

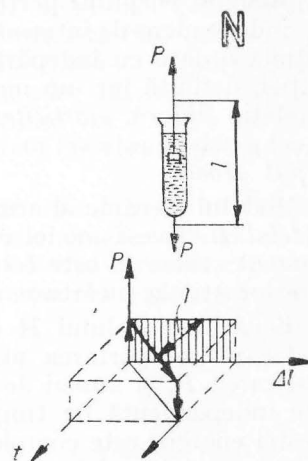
**Modelul corpului plastic.** Înțelegînd prin plasticitate proprietatea corpului de a se deforma ireversibil cînd eforturile unitare produse sub acțiunea unui sistem de forțe au atins limita de curgere, fenomenul mecanic analog este frecarea de alunecare. Un corp greu (fig. 3.34\*) rezemat pe un plan rugos solicitat de o forță  $P$  de tracțiune



1 - măsura  $\mu$ , 2 - energie potențială:  
a - acumulată;  
δ - restituită

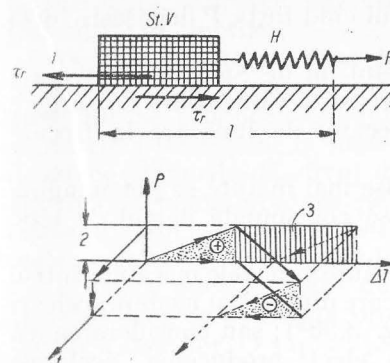
Fig. 3.32

\* După Reiner.



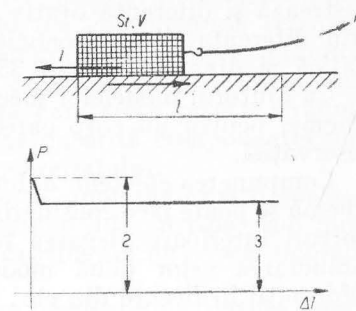
1 - măsura  $\frac{\eta}{p}$ , 2 - energie disipată

Fig. 3.33



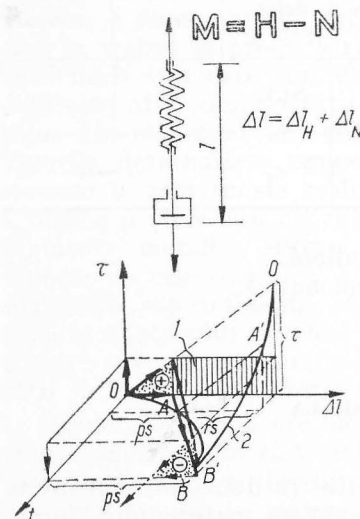
1 - forța de frecare 2 - măsura  $\sigma$ ;  
3 - histeresis plastic

Fig. 3.34



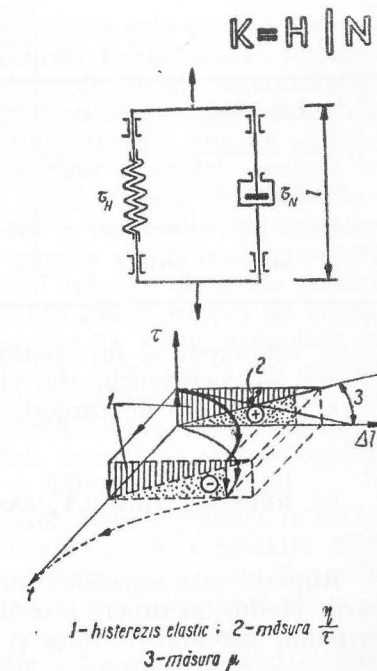
1 - forța de frecare 2 - frecare statică;  
3 - frecare de mișcare

Fig. 3.35



1 - histeresis viscos 2 - relaxare curbilinie

Fig. 3.36



1 - histeresis elastic 2 - măsura  $\frac{\eta}{\epsilon}$   
3 - măsura  $\mu$

Fig. 3.37



nu se pune în mișcare decât în momentul când forța  $P$  depășește forța de frecare  $T = \mu G$ .

Pe această analogie se bazează modelul lui de Saint-Venant, care ilustrează și diferența dintre limita superioară și inferioară de curgere prin diferența dintre coeficienții de frecare, de lunecare la frecare statică și dinamică (fig. 3.35\*).

Cu ajutorul modelelor mecanice expuse mai înainte se pot imagina scheme, pentru un corp oarecare, care să corespundă destul de bine observației.

Compunerea efectelor a două sau mai multor modele mecanice într-o schemă se poate face considerând că în fiecare din ele iau naștere aceleași eforturi interioare: legarea în serie (fig. 3.36\*); sau considerarea că conlucrarea celor două modele are ca efect producerea acelorași deformări în fiecare din ele: legarea lor în paralel (fig. 3.37\*).

Pe baza celor expuse pînă aici, se poate face un tabel general al corpurilor potrivit comportării lor sub acțiunea forțelor:

	Lichide		Solide		
	Curgere		Plastic	Elastic	Absolut rigid
	Ideală	Viscoasă			
Denumirea corpului	Pascalian	Newtonian	Saint-Venant	Hooke	Euclid
Simbol	—	N	St.V.	H	—
Constanta specifică	$0 \leftarrow \eta$		$\sigma_c$	$E \rightarrow \infty$	

$E$  este modulul de elasticitate longitudinal;  
 $\eta$  — coeficientul de viscozitate cinematică;  
 $\sigma_c$  — limita de curgere.

### 3.8. RUPEREA FRAGILĂ (CASANTĂ). OBOSEALA

Ruperea este separarea unui corp solicitat în două sau mai multe părți. Modul de rupere este influențat de natura materialului, forma corpului, sistemul de forțe și modul lui de aplicare, de condițiile de

\* După Reiner.

temperatură. Ruperea este clasificată în două mari categorii: fragilă (casantă) și ductilă.

Ruperea fragilă se datorește rapidei propagări a unei fisuri în absența sau la valori reduse ale deformății plastice. În materialele cristaline se produce de-a lungul planelor de clivaj; după separare, suprafețele de rupere la materialele policristaline au aspect grăunțos deoarece planurile de clivaj diferă de la cristal la cristal. Uneori însă ruperea se poate produce pe o suprafață care trece printre grăunții cristalini; ruperea se produce în acest caz datorită componentei normale maxime — de întindere — a materialului.

Ruperea ductilă apare după producerea unor deformări plastice apreciabile și se datorește propagării continue într-un timp mai îndelungat a fisurilor. O suprafață de rupere ductilă are un aspect deosebit de cea casantă prin aspectul mai fibros.

Modul de rupere nu este determinat exclusiv de natura materialului; materiale care de obicei au o rupere ductilă, prezintă rupere casantă în prezența concentratorilor de eforturi (modificări bruște ale secțiunii, creștături etc.), la temperaturi scăzute sau solicitate prin șoc.

Încercările de a determina prin calcul forțele care produc ruperea pornind de la forțele de coeziune s-au dovedit infructuoase; folosind modele simple de structură și ținând seama de forțele interatomice, precum și de energia de suprafață, se obțin prin calcul pentru forțele care ar trebui să producă ruperea, valori de zeci sau sute de ori mai mari decât cele care sînt determinate real prin încercări. Aceasta se datorește atît complexității structurilor reale, cît mai ales imperfecțiilor din structura lor, comparată cu cea a modelului lor teoretic. Valorile determinate experimental se apropie de cele determinate teoretic la materialele realizate în condiții tehnice deosebite pentru a obține o structură cît mai perfectă. Fibre foarte subțiri de sticlă, filamente metalice supuse întinderii se rup la forțe apropiate ca valoare de cele teoretice. Dar și în acest caz, chiar contactul cu alte materiale sau influența atmosferei reduc repede valorile reale, ca urmare a atacului pe care acesta îl exercită asupra suprafeței exterioare; aceasta dovedește influența stării suprafeței asupra capacității de rezistență; fisuri cît de mici o slăbesc considerabil.

Ruperea casantă are loc în absența deformățiilor plastice la materialele amorfе cum sînt: sticla, unii polimeri etc., în momentul atingerii unei valori a efortului unitar care de regulă nu poate fi prezis. Ruperea fragilă la materialele policristaline este precedată de mici deformări plastice.

Pentru materialele casante o explicație a discrepanței dintre rezistența teoretică și cea reală a fost dată de Griffith care presupune



că într-o bandă dintr-un asemenea material sînt numeroase fisuri de forma unor elipse foarte turtite (fig. 3.38) la marginea cărora sub acțiunea unei stări uniaxiale de eforturi se produce o concentrare de eforturi; efortul maxim  $\sigma_m$  are valoarea aproximativă

$$\sigma_m \approx 2\sigma \sqrt{\frac{c}{\rho}}$$

unde  $\sigma$  este efortul unitar mediu perpendicular pe direcția fisurilor,  $c$  este semiaxa mare a elipsei,  $\rho$  raza de curbură la extremitatea axei mari a elipsei; în cazul elipselor turtite  $\rho$  este foarte mic, ceea ce face ca la valori reduse pentru efortul unitar  $\sigma$ , efortul unitar maxim  $\sigma_m$  să ajungă la valoarea efortului de coeziune; fisura se extinde.

Calculînd cantitatea cu care energia elastică descrește (pentru o grosime egală cu unitatea) în momentul formării fisurii eliptice

$$W_e = \frac{\pi c^2 \sigma^2}{E}$$

precum și energia formată prin apariția tensiunii superficiale  $S$  (tot pentru unitatea de grosime)

$$W_s = 4cS,$$

Griffith ajunge la concluzia că propagarea fisurii se face pentru un minim al energiei totale  $W = W_e + W_s$  în raport cu semiaxa  $c$ , ceea ce conduce la valoarea efortului unitar mediu

$$\sigma = \sqrt{\frac{2ES}{\pi c}}$$

care constituie criteriul de rupere.

Această teorie stabilită pentru întindere simplă poate fi extinsă la cazul stării plane de eforturi socotind fisurile inițiale distribuite la întîmplare și admitînd că fisurile se propagă provocînd ruperea cînd valoarea efortului la marginea fisurii este aceea care produce propagarea fisurii și cazul stării de întindere simplă.

În acest caz, criteriul de rupere în funcție de eforturile principale  $\sigma_1$  și  $\sigma_2$  care pot fi de întindere dar și de compresiune, devine:

$$\sigma_1 = \sqrt{\frac{2ES}{\pi c}} \quad \text{dacă } 3\sigma_1 + \sigma_2 > 0$$

$$(\sigma_1 - \sigma_2)^2 + 8(\sigma_1 + \sigma_2) \sqrt{\frac{2ES}{\pi c}} = 0 \quad \text{dacă } 3\sigma_1 + \sigma_2 < 0$$

cu condiția  $\sigma_1 > \sigma_2$ .

Reprezentarea grafică a acestor condiții (fig. 3.39) într-un sistem de referință în care pe cele două axe se reprezintă valorile  $\sigma_1$  respectiv  $\sigma_2$  conduce la conturul  $ABCDE$ . Conform teoriei, ruperea nu se produce pentru combinațiile de eforturi principale reprezentate prin puncte situate în zona hașurată.

În diagramă iese în evidență faptul că în cazul compresiunii simple efortul unitar mediu care produce ruperea este de 8 ori mai mare decît cel care produce ruperea la întindere, fapt verificat la sticlă.

Ruperea casantă la materialele cristaline se deosebește de cea a materialelor amorphe prin aceea că în apropiere de suprafața de rupere apar deformații plastice. În acest caz, trebuie luate în considerare nu numai energia necesară producerii tensiunilor superficiale la fisuri, ci și cea necesară producerii deformațiilor plastice în apropierea fisurii. În cazul că deformațiile plastice se concentrează într-o zonă restrînsă, de grosime mică în raport cu lungimea fisurii, notînd

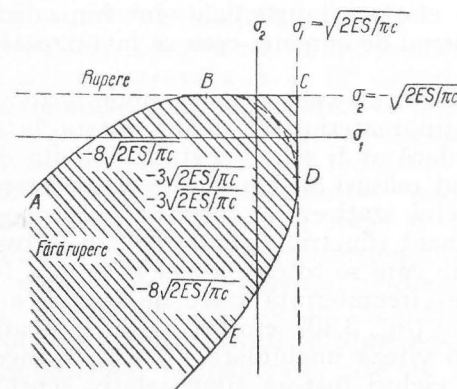


Fig. 3.39

cu  $P$  lucrul mecanic al forțelor pentru formarea deformației plastice, la colțul fisurii, criteriul de rupere devine

$$\sigma = \sqrt{\frac{2E(S+P)}{\pi c}} \approx \sqrt{\frac{EP}{c}}$$

Aplicând această expresie materialelor care se rup casant, însă prezintă o oarecare ductilitate, rezultă că lungimea critică a fisurilor este de ordinul milimetrilor, spre deosebire de materialele amorse la care ruperea casantă este produsă de fisuri de ordinul micronilor.

Ruperea ductilă apare după deformații plastice apreciabile. La epruvete din materiale utilizate curent în practica inginerescă (oțelul în special) ruperea ductilă se produce după parcurgerea a trei stadii distincte: 1) epruveta începe să se gătuie, iar în zona gătuirii se nasc cavități în material; 2) cavitățile se contopesc formând fisuri în zona centrală care se îndreaptă spre exterior după o direcție perpendiculară pe direcția efortului; 3) fisurile în apropierea suprafeței laterale se îndreaptă după o direcție de  $45^\circ$  față de axa epruvetei care se rupe. Ruperea poartă numele de *rupere cupă și con*.

Din momentul inițierii gătuirii nici efortul unitar nici deformațiile în bară nu mai sînt uniforme. Ia naștere o stare tridimensională de eforturi, iar lungirile se concentrează în această zonă.

La temperaturi scăzute și sub șocuri, ruperea casantă apare în materialele cu structură cristalină dacă o dată cu scăderea temperaturii sau cu creșterea vitezei de încărcare se ridică limita de curgere. De asemenea, ruperea casantă poate apărea în cazul că proba prezintă creștături care introduc concentrări de eforturi, cum sînt cele pentru proba de reziliență. Când se aplică o forță în regiunea creștăturii, starea de eforturi este triaxială, lunecările și deformațiile plastice care necesită eforturi tangențiale sînt împiedicate; materialele nu prezintă fenomenul de curgere, ceea ce favorizează apariția ruperii casante.

Este bine cunoscut că sub acțiunea unor forțe variind ciclic un timp îndelungat, un material nu poate rezista la aceleași eforturi la care ar rezista dacă ar fi solicitat static. Limita de curgere, rezistența de rupere sînt măsuri ale capacității de rezistență a unui material numai la sarcini statice. La încercările la oboseală, în special pentru ciclul alternant simetric, realizat pentru încovoiere prin solicitarea unei epruvete care se rotește astfel încît la o rotație completă, orice punct de pe circumferință trece de la starea de întindere la cea de compresiune (fig. 3.40), efortul unitar ia toate valorile. Efectuînd rotațiile cu o viteză unghiulară mare se ajunge la valori mari ale numărului de cicluri într-un timp relativ scurt; încercarea are loc pînă la distrugerea epruvetei. Încercările se fac pentru valori

descrescînde ale efortului unitar maxim pînă se ajunge la acea valoare sub care ruperea prin oboseală nu mai apare. Această valoare poartă numele de rezistență la oboseală sau limita de anduranță, precizîndu-se felul solicitării (întindere, încovoiere etc.) și felul ciclului (alternant simetric, pulsator etc.).

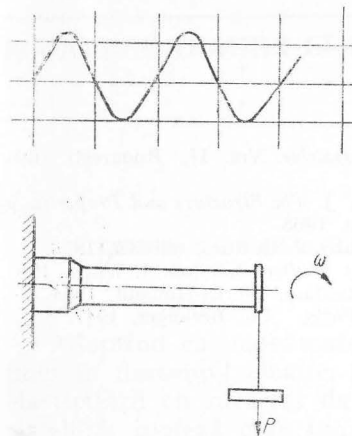


Fig. 3.40

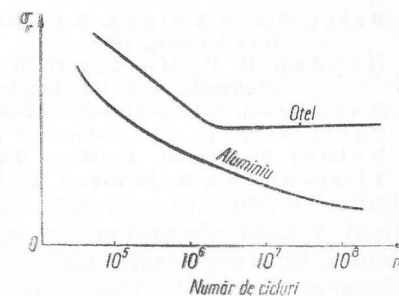


Fig. 3.41

Reprezentarea grafică a încercărilor se face de regulă într-un sistem semilogaritmice prin puncte avînd în ordonată valoarea efortului unitar maxim, iar în abscisă logaritmul numărului de cicluri la care s-a produs ruperea sub efortul respectiv.

La oțeluri pentru determinarea rezistenței la oboseală sînt necesare încercări care să solicite epruveta la  $\sim 10^6$  cicluri; o epruvetă care a rezistat la acest număr poate fi socotită că rezistă la un număr infinit de cicluri ( $> 10^8$ ). La materialele neferoase, aluminiiu de exemplu, nu se poate defini o asemenea rezistență la oboseală; cînd numărul ciclurilor crește continuu, efortul unitar care produce ruperea scade, însă înclinarea tangentei scade și ea (fig. 3.41).

Sînt mulți factorii care influențează rezistența la oboseală. Merită în mod deosebit a fi remarcată existența concentrărilor de eforturi, starea suprafeței și condițiile de mediu. Schimbările de secțiune, găurile produc concentrări de eforturi în apropierea cărora se amorsează ruperea. Suprafețele neprelucrate care au inițial mici fisuri produc o scădere a rezistenței la oboseală; aceasta crește dacă suprafața este prelucrată chimic sau mecanic.

Mediul coroziv micșorează rezistența la oboseală la elementele neprotejate. Dacă se aplică o solicitare statică permanentă pentru piese supuse la un ciclu alternant de întindere — compresiune, rezistența la oboseală se modifică; scade dacă solicitarea permanentă este de întindere și crește dacă este de compresiune.

#### BIBLIOGRAFIE

1. Beleş, A.A. și Voinea, R.P. *Rezistența materialelor*. Vol. II, București, Editura tehnică, 1958.
2. Hayden, H. V., Moffat, G. W. și Wulff, J. *The Structure and Properties of Materials*, Vol. III, London, J. Wiley, 1965.
3. Buzdugan, G. h. *Rezistența materialelor*. București, Editura tehnică, 1958.
4. Cottrell, A. H. *The Mechanical Properties of Matter*. London, J. Wiley, 1964.
5. Reiner, M. (editor). *Building Materials*. Amsterdam, North-Holland, 1954.
6. Timoshenko, S. *Résistance des Matériaux*. Paris, Ch. Beranger, 1947.

## ECUAȚIILE TEORIEI ELASTICITĂȚII ȘI ALE TEORIEI PLĂCILOR PLANE SUBȚIRI

### 4.1. LEGILE DE BAZĂ ALE ELASTICITĂȚII LINIARE

Adoptînd ca model materialele cristaline, care prezintă deformații mici în domeniul elastic, s-a adoptat ca ipoteză de bază a teoriei elasticității cu caracter de lege fizică, elasticitatea perfectă a materialelor\*, ipoteză care implică două proprietăți distincte: reversibilitatea deformației și liniaritatea relațiilor dintre deformațiile specifice și eforturile unitare (legea lui Hooke); acestea din urmă au expresia cea mai simplă în cazul stării liniare de eforturi (întindere sau compresiune), și anume:

$$\sigma = E\varepsilon. \quad (4.1)$$

În starea de eforturi tridimensională, legea lui Hooke poate fi exprimată fie deducînd deformațiile specifice în funcție de eforturile unitare:

$$\begin{aligned} \varepsilon_x &= \frac{1}{E} [\sigma_x - \nu(\sigma_y + \sigma_z)]; & \gamma_{xy} &= \frac{1}{G} \tau_{xy}; \\ \varepsilon_y &= \frac{1}{E} [\sigma_y - \nu(\sigma_z + \sigma_x)]; & \gamma_{yz} &= \frac{1}{G} \tau_{yz}; \\ \varepsilon_z &= \frac{1}{E} [\sigma_z - \nu(\sigma_x + \sigma_y)]; & \gamma_{zx} &= \frac{1}{G} \tau_{zx}, \end{aligned} \quad (4.2)$$

\* Evident, această ipoteză este completată de ipotezele cunoscute: omogenitate, continuitate, izotropie.

fie deducând eforturile unitare în funcție de deformațiile specifice:

$$\begin{aligned}\sigma_x &= \lambda e + 2G\varepsilon_x; & \tau_{xy} &= G\gamma_{xy}; \\ \sigma_y &= \lambda e + 2G\varepsilon_y; & \tau_{yz} &= G\gamma_{yz}; \\ \sigma_z &= \lambda e + 2G\varepsilon_z; & \tau_{zx} &= G\gamma_{zx};\end{aligned}\quad (4.3)$$

în care  $E$  este modulul de elasticitate longitudinal,  $\nu$  constanta lui Poisson,  $\lambda$  și  $G$  coeficienții lui Lamé avînd valorile:

$$\lambda = \frac{\nu E}{(1 + \nu)(1 - 2\nu)}; \quad G = \frac{E}{2(1 + \nu)}, \quad (4.4)$$

iar  $e = \varepsilon_x + \varepsilon_y + \varepsilon_z$  este deformația specifică a volumului.

Deformația specifică a unui volum elementar sollicitat de o stare omogenă de eforturi caracterizată prin componentele  $\sigma_x, \sigma_y, \sigma_z, \tau_{xy}, \tau_{yz}, \tau_{zx}$  este dată de relația:

$$e = \varepsilon_x + \varepsilon_y + \varepsilon_z = \frac{\sigma_x + \sigma_y + \sigma_z}{E} (1 - 2\nu)$$

sau notînd

$$\begin{aligned}\theta &= \sigma_x + \sigma_y + \sigma_z \\ e &= \frac{1 - 2\nu}{E} \theta.\end{aligned}\quad (4.5)$$

Prin această relație se definește modulul de deformație volumică  $K$  socotind un corp supus unei presiuni hidrostatice uniforme:

$$\sigma_x = \sigma_y = \sigma_z = -p.$$

Notînd

$$e = -\frac{p}{K}$$

rezultă pentru  $K$  valoarea

$$K = \frac{E}{3(1 - 2\nu)}. \quad (4.6)$$

Deformația unui volum poate fi descompusă în două componente: cea care produce modificarea volumului păstrînd însă forma și cea care produce schimbarea formei păstrîndu-i însă volumul.

O stare uniformă de eforturi produsă de efortul unitar mediu:

$$\sigma_0 = \frac{1}{3} (\sigma_x + \sigma_y + \sigma_z) = \frac{\theta}{3}$$

produce o deformație volumică egală în valoare cu cea produsă de starea de eforturi dată. La un paralelipiped dreptunghi, acționat de starea de eforturi uniformă, și după deformație laturile păstrează rapoartele inițiale dinainte de deformare, toate lungindu-se în același raport:

$$(1 + \varepsilon_0) = 1 + \frac{\sigma_0}{E} (1 - 2\nu)$$

deci forma se păstrează.

Deviatorul eforturilor  $D_\sigma$  păstrează însă volumul modificînd forma: paralelipipedul dreptunghi se transformă într-unul oblic avînd toate fețele paralelograme\*. Evident, această observație este valabilă în cazul stării omogene de eforturi și numai pentru corpurile izotrope. Așa cum s-a văzut (v. § 2.4) deviatorul eforturilor constituie o stare de forfecare pură; ea produce numai distorsiunea corpului.

Energia potențială de deformație specifică (raportată la unitatea de volum) este:

$$w_e = \frac{1}{2} [\sigma_x \varepsilon_x + \sigma_y \varepsilon_y + \sigma_z \varepsilon_z + \tau_{xy} \gamma_{xy} + \tau_{yz} \gamma_{yz} + \tau_{zx} \gamma_{zx}]. \quad (4.7)$$

Ea poate fi exprimată fie numai în funcție de componentele efortului unitar:

$$\begin{aligned}w_e &= \frac{1}{2E} (\sigma_x^2 + \sigma_y^2 + \sigma_z^2) - \frac{\nu}{E} (\sigma_x \sigma_y + \sigma_y \sigma_z + \sigma_z \sigma_x) + \\ &+ \frac{1}{2G} (\tau_{xy}^2 + \tau_{yz}^2 + \tau_{zx}^2),\end{aligned}\quad (4.8)$$

fie numai în funcție de componentele deformației specifice

$$w_e = \frac{1}{2} \lambda e^2 + G(\varepsilon_x^2 + \varepsilon_y^2 + \varepsilon_z^2) + \frac{G}{2} (\gamma_{xy}^2 + \gamma_{yz}^2 + \gamma_{zx}^2). \quad (4.9)$$

Această expresie arată că energia de deformație este totdeauna pozitivă.

Energia potențială de deformație poate fi de asemenea descompusă în două părți corespunzînd deformației uniforme  $w_0$  (modificarea

\* Cu excepția cazului cînd direcțiile laturilor coincid cu cele ale eforturilor principale.



volumului cu păstrarea formei) și distorsiunii  $w_f$  (modificarea formei cu păstrarea volumului), avînd valorile:

$$w_v = \frac{3}{2} \sigma_0 \varepsilon_0 = \frac{3\sigma_0^2}{2E} (1 - 2\nu) = \frac{(\sigma_x + \sigma_y + \sigma_z)^2}{6E} (1 - 2\nu); \quad (4.10)$$

$$w_f = w_e - w_v = \frac{1+\nu}{6E} [(\sigma_x - \sigma_y)^2 + (\sigma_y - \sigma_z)^2 + (\sigma_z - \sigma_x)^2] + \frac{1}{2G} (\tau_{xy}^2 + \tau_{yz}^2 + \tau_{zx}^2). \quad (4.11)$$

Continuitatea corpului după deformare se exprimă prin ecuații de compatibilitate matematică: prin derivarea relațiilor dintre deformări și deplasări se obține:

$$\begin{aligned} \frac{\partial^2 \varepsilon_x}{\partial y^2} &= \frac{\partial^3 u}{\partial x \partial y^2}; \quad \frac{\partial^2 \varepsilon_x}{\partial z^2} = \frac{\partial^3 u}{\partial x \partial z^2}; \quad \frac{\partial^2 \varepsilon_y}{\partial x^2} = \frac{\partial^3 v}{\partial x^2 \partial y}; \\ \frac{\partial^2 \varepsilon_y}{\partial z^2} &= \frac{\partial^3 v}{\partial y \partial z^2}; \quad \frac{\partial^2 \varepsilon_z}{\partial x^2} = \frac{\partial^3 w}{\partial x^2 \partial z}; \quad \frac{\partial^2 \varepsilon_z}{\partial y^2} = \frac{\partial^3 w}{\partial y^2 \partial z}; \\ \frac{\partial^2 \gamma_{xy}}{\partial x \partial y} &= \frac{\partial^3 u}{\partial x \partial y^2} + \frac{\partial^3 v}{\partial x^2 \partial y}; \quad \frac{\partial^2 \gamma_{yz}}{\partial y \partial z} = \frac{\partial^3 v}{\partial y \partial z^2} + \frac{\partial^3 w}{\partial y^2 \partial z}; \\ \frac{\partial^2 \gamma_{zx}}{\partial x \partial z} &= \frac{\partial^3 u}{\partial x \partial z^2} + \frac{\partial^3 w}{\partial x^2 \partial z}, \end{aligned} \quad (4.12)$$

Ținînd seama că valoarea derivatelor nu depinde de ordinea în care s-a făcut derivarea, se obțin următoarele expresii:

$$\begin{aligned} \frac{\partial^2 \varepsilon_x}{\partial y^2} + \frac{\partial^2 \varepsilon_y}{\partial x^2} &= \frac{\partial^2 \gamma_{xy}}{\partial x \partial y} \\ \frac{\partial^2 \varepsilon_y}{\partial z^2} + \frac{\partial^2 \varepsilon_z}{\partial y^2} &= \frac{\partial^2 \gamma_{yz}}{\partial y \partial z} \\ \frac{\partial^2 \varepsilon_z}{\partial x^2} + \frac{\partial^2 \varepsilon_x}{\partial z^2} &= \frac{\partial^2 \gamma_{zx}}{\partial z \partial x} \end{aligned} \quad (4.13)$$

$$\begin{aligned} 2 \frac{\partial^2 \varepsilon_x}{\partial y \partial z} &= \frac{\partial}{\partial x} \left( \frac{\partial \gamma_{xz}}{\partial z} + \frac{\partial \gamma_{xz}}{\partial y} - \frac{\partial \gamma_{yz}}{\partial x} \right) \\ 2 \frac{\partial^2 \varepsilon_y}{\partial x \partial z} &= \frac{\partial}{\partial y} \left( \frac{\partial \gamma_{yz}}{\partial x} + \frac{\partial \gamma_{yz}}{\partial z} - \frac{\partial \gamma_{xz}}{\partial y} \right) \\ 2 \frac{\partial^2 \varepsilon_z}{\partial x \partial y} &= \frac{\partial}{\partial z} \left( \frac{\partial \gamma_{zx}}{\partial y} + \frac{\partial \gamma_{zx}}{\partial x} - \frac{\partial \gamma_{xy}}{\partial z} \right). \end{aligned} \quad (4.14)$$

Aceste 6 condiții sînt condițiile de compatibilitate exprimate în funcție de deformări.

Folosind relațiile dintre eforturi și deformări (legea lui Hooke generalizată), precum și ecuațiile diferențiale de echilibru, în absența forțelor masice, sau cînd acestea sînt constante, condițiile de compatibilitate pot fi exprimate în funcție de eforturile unitare, după cum urmează:

$$\begin{aligned} (1 + \nu) \Delta \sigma_x + \frac{\partial^2 \theta}{\partial x^2} &= 0; & (1 + \nu) \Delta \tau_{yz} + \frac{\partial^2 \theta}{\partial y \partial z} &= 0; \\ (1 + \nu) \Delta \sigma_y + \frac{\partial^2 \theta}{\partial y^2} &= 0; & (1 + \nu) \Delta \tau_{xz} + \frac{\partial^2 \theta}{\partial x \partial z} &= 0; \\ (1 + \nu) \Delta \sigma_z + \frac{\partial^2 \theta}{\partial z^2} &= 0; & (1 + \nu) \Delta \tau_{xy} + \frac{\partial^2 \theta}{\partial x \partial y} &= 0; \end{aligned} \quad (4.15)$$

unde cu  $\Delta$  s-a notat laplacianul:

$$\Delta = \frac{\partial^2}{\partial x^2} + \frac{\partial^2}{\partial y^2} + \frac{\partial^2}{\partial z^2}$$

iar cu  $\theta$  invariantul prim al eforturilor unitare:

$$\theta = \sigma_x + \sigma_y + \sigma_z.$$

Rezultă că pe lîngă ecuațiile de echilibru (2.28) și condițiile pe contur (2.30) eforturile unitare trebuie să verifice și condițiile de compatibilitate (4.15). Sistemul de ecuații astfel obținut este în general suficient pentru determinarea fără ambiguitate a eforturilor unitare. În acest sens, teorema lui Kirchhoff bazată pe faptul că eforturile unitare dispar cînd se îndepărtează forțele exterioare, demonstrează că soluția astfel obținută este unică.

În cazul stării plane de eforturi condițiile care trebuie satisfăcute de eforturile unitare sînt simplificate. În absența forțelor masice, ecuațiile de echilibru (2.29) și condițiile pe contur (2.31) sînt:

$$\left. \begin{aligned} \frac{\partial \sigma_x}{\partial x} + \frac{\partial \tau_{yx}}{\partial y} &= 0 \\ \frac{\partial \sigma_y}{\partial y} + \frac{\partial \tau_{xy}}{\partial x} &= 0 \\ \tau_{xy} &= \tau_{yx} \\ \sigma_x l + \tau_{yx} m &= \bar{X} \\ \sigma_y m + \tau_{xy} l &= \bar{Y}. \end{aligned} \right\}$$

Relația dintre eforturile unitare și deformațiile specifice (legea lui Hooke) se exprimă sub una din următoarele forme:

$$\begin{aligned}\varepsilon_x &= \frac{1}{E} (\sigma_x - \nu \sigma_y) \\ \varepsilon_y &= \frac{1}{E} (\sigma_y - \nu \sigma_x)\end{aligned}\quad (4.16)$$

sau

$$\begin{aligned}\sigma_x &= \frac{E}{1 - \nu^2} (\varepsilon_x + \nu \varepsilon_y) \\ \sigma_y &= \frac{E}{1 - \nu^2} (\varepsilon_y + \nu \varepsilon_x)\end{aligned}\quad (4.17)$$

iar condiția de compatibilitate ia una din expresiile:

$$\frac{\partial^2 \varepsilon_x}{\partial y^2} + \frac{\partial^2 \varepsilon_y}{\partial x^2} = \frac{\partial^2 \gamma_{xy}}{\partial x \partial y} \quad (4.18)$$

(condiția de compatibilitate în funcție de deformații) sau

$$\left( \frac{\partial^2}{\partial x^2} + \frac{\partial^2}{\partial y^2} \right) (\sigma_x + \sigma_y) = 0$$

(condiția de compatibilitate în funcție de eforturile unitare).

#### 4.2. FUNCȚIA DE TENSIUNE. FUNCȚIA DE DEPLASĂRI

Soluționarea problemei determinării eforturilor și a deformațiilor unui corp sollicitat de forțe exterioare se face de regulă cu ajutorul unor funcții din care prin derivări se obțin fie eforturile unitare, fie deformațiile.

În cazul stării plane de eforturi, se caută de regulă o funcție de tensiune  $\Phi$ , denumită funcția lui Airy, din care se obțin, prin derivare, valorile eforturilor unitare:

$$\sigma_x = \frac{\partial^2 \Phi}{\partial y^2}; \quad \sigma_y = \frac{\partial^2 \Phi}{\partial x^2}; \quad \tau_{xy} = -\frac{\partial^2 \Phi}{\partial x \partial y} \quad (4.19)$$

Evident, condiția de compatibilitate (4.18) trebuie să fie satisfăcută de aceste eforturi; exprimându-le ca mai înainte, se obține condiția de compatibilitate pentru funcția de tensiune:

$$\begin{aligned}\Delta \Delta \Phi &= \left( \frac{\partial^2}{\partial x^2} + \frac{\partial^2}{\partial y^2} \right) \left( \frac{\partial^2 \Phi}{\partial x^2} + \frac{\partial^2 \Phi}{\partial y^2} \right) = \\ &= \frac{\partial^4 \Phi}{\partial x^4} + 2 \frac{\partial^4 \Phi}{\partial x^2 \partial y^2} + \frac{\partial^4 \Phi}{\partial y^4} = 0.\end{aligned}\quad (4.20)$$

De asemenea, eforturile unitare trebuie să satisfacă condițiile pe contur (2.31).

Înlocuind în condițiile pe contur, valorile componentelor eforturilor unitare cu cele din (4.19), se obține:

$$\begin{aligned}\frac{\partial^2 \Phi}{\partial y^2} l - \frac{\partial^2 \Phi}{\partial x \partial y} m &= \bar{X} \\ \frac{\partial^2 \Phi}{\partial x^2} m - \frac{\partial^2 \Phi}{\partial x \partial y} l &= \bar{Y}.\end{aligned}$$

Valoarea și variația pe contur a funcției de tensiune poate fi stabilită integrând aceste expresii pe contur; ținând seama că:

$$\begin{aligned}l &= \cos(n, x) = \frac{dy}{ds} \text{ și} \\ m &= \cos(n, y) = -\frac{dx}{ds}\end{aligned}$$

și înlocuind în condițiile de mai înainte se obține:

$$\begin{aligned}\bar{X} &= \frac{\partial^2 \Phi}{\partial y^2} \frac{dy}{ds} + \frac{\partial^2 \Phi}{\partial x \partial y} \frac{dx}{ds} = \frac{d}{ds} \left( \frac{\partial \Phi}{\partial y} \right) \\ -\bar{Y} &= \frac{\partial^2 \Phi}{\partial x^2} \frac{dx}{ds} + \frac{\partial^2 \Phi}{\partial x \partial y} \frac{dy}{ds} = \frac{d}{ds} \left( \frac{\partial \Phi}{\partial x} \right).\end{aligned}$$

Integrând aceste expresii de-a lungul arcului  $OS$  (fig. 4.1) se obține:

$$\int_0^s \bar{X} ds = \frac{\partial \Phi}{\partial y} - \left( \frac{\partial \Phi}{\partial y} \right)_0; \quad - \int_0^s \bar{Y} ds = \frac{\partial \Phi}{\partial x} - \left( \frac{\partial \Phi}{\partial x} \right)_0. \quad (4.21)$$

Derivatele  $\frac{\partial \Phi}{\partial y}$  și  $\frac{\partial \Phi}{\partial x}$  din expresiile (4.21) sînt determinate pentru punctul  $S$ . La contururile simplu conexe, valorile derivatelor în punctul  $O$  nu influențează valorile eforturilor unitare dispărînd prin deri-

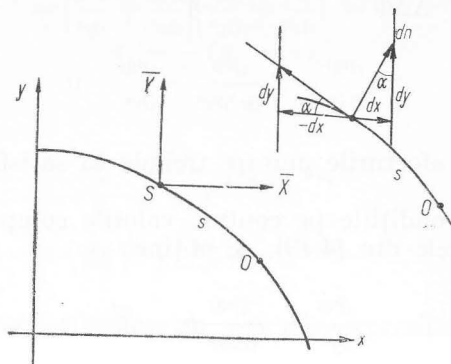


Fig. 4.1

vare. De aceea ele pot fi socotite nule și expresiile (4.21) se pot scrie sub forma :

$$\begin{aligned} \frac{\partial \Phi}{\partial x} &= - \int_0^s \bar{Y} ds = - \bar{T}_y \text{ și} \\ \frac{\partial \Phi}{\partial y} &= \int_0^s \bar{X} ds = \bar{T}_x. \end{aligned} \quad (4.22)$$

Mărimile  $\bar{T}_x$  și  $\bar{T}_y$  se calculează analog forței tăietoare : suma proiecțiilor tuturor forțelor aplicate pe contur (forțe exterioare) de la punctul  $O$  pînă la punctul  $S$  în care se calculează derivata funcției de tensiune.

Trecînd mai departe pentru a determina expresia funcției de tensiune se determină diferențiala ei totală :

$$d\Phi = \frac{\partial \Phi}{\partial x} dx + \frac{\partial \Phi}{\partial y} dy.$$

Funcția de tensiune  $\Phi$  se obține prin integrarea

$$\Phi = \int_0^s (\bar{T}_x dy - \bar{T}_y dx) \quad (4.23)$$

care se efectuează prin părți, obținîndu-se

$$\Phi = [\bar{T}_x y - \bar{T}_y x]_0^s - \int_0^s (y d\bar{T}_x - x d\bar{T}_y)$$

în care se înlocuiesc valorile componentelor forței tăietoare  $\bar{T}$  și a derivatei în funcție de forțele pe contur, obținîndu-se :

$$\Phi = \int_0^s \bar{X}(y_s - y) ds - \int_0^s \bar{Y}(x_s - x) ds. \quad (4.24)$$

Această expresie are valoarea momentului încovoietor al forțelor exterioare de pe conturul  $OS$  față de punctul  $S$  : el poate fi notat  $\bar{M}$  și relația devine :

$$\bar{M} = \Phi.$$

În cazul stării spațiale, tridimensionale, de eforturi, se poate apela tot la funcții de tensiune sau de deplasări. Una dintre funcțiile aplicabile, este funcția vectorială de deplasări a lui Galerkin. Notînd deplasarea sub formă vectorială cu

$$\bar{\rho} = \bar{i}u + \bar{j}v + \bar{k}w$$

iar funcția vectorială cu  $\bar{F}$

$$\bar{F} = \bar{i}X + \bar{j}Y + \bar{k}Z.$$

Deplasarea poate fi exprimată prin relația\*

$$2G\bar{\rho} = [2(1 - \nu)\Delta - \nabla \text{div}] \bar{F} \quad (4.25)$$

cu condiția ca

$$\Delta \Delta \bar{F} = - \frac{\bar{K}}{1 - \nu} \quad (4.26)$$

\* Reamintim că  $\nabla$  este operatorul diferențial „nabla” (uneori denumit „del”) definit prin relația :

$$\nabla \Phi = \left( \bar{i} \frac{\partial}{\partial x} + \bar{j} \frac{\partial}{\partial y} + \bar{k} \frac{\partial}{\partial z} \right) \Phi$$

iar prin „div” se notează divergența unui vector definită prin relația

$$\text{div } \bar{A} = \frac{\partial A_x}{\partial x} + \frac{\partial A_y}{\partial y} + \frac{\partial A_z}{\partial z}.$$

în care  $\bar{K}$  este forța masică; evident, în cazul că forța masică este nulă:

$$\Delta \Delta \bar{F} = 0. \quad (4.27)$$

Eforturile unitare se obțin prin derivare:

$$\begin{aligned} \sigma_x &= 2(1 - \nu) \frac{\partial(\Delta X)}{\partial x} + \left( \nu \Delta - \frac{\partial^2}{\partial x^2} \right) \operatorname{div} \bar{F} \\ \sigma_y &= 2(1 - \nu) \frac{\partial(\Delta Y)}{\partial y} + \left( \nu \Delta - \frac{\partial^2}{\partial y^2} \right) \operatorname{div} \bar{F} \\ \sigma_z &= 2(1 - \nu) \frac{\partial(\Delta Z)}{\partial z} + \left( \nu \Delta - \frac{\partial^2}{\partial z^2} \right) \operatorname{div} \bar{F} \\ \theta &= (1 + \nu) \Delta \operatorname{div} \bar{F} \\ \tau_{xy} &= (1 - \nu) \left( \frac{\partial \Delta X}{\partial y} + \frac{\partial \Delta Y}{\partial x} \right) - \frac{\partial^2}{\partial x \partial y} \operatorname{div} \bar{F} \\ \tau_{yz} &= (1 - \nu) \left( \frac{\partial \Delta Y}{\partial z} + \frac{\partial \Delta Z}{\partial y} \right) - \frac{\partial^2}{\partial y \partial z} \operatorname{div} \bar{F} \\ \tau_{zx} &= (1 - \nu) \left( \frac{\partial \Delta Z}{\partial x} + \frac{\partial \Delta X}{\partial z} \right) - \frac{\partial^2}{\partial z \partial x} \operatorname{div} \bar{F}. \end{aligned} \quad (4.28)$$

Avantajul funcției vectoriale a lui Galerkin constă în faptul că cele 3 componente ale sale după direcțiile  $Ox$ ,  $Oy$  și  $Oz$  sînt independente între ele; notîndu-le cu  $\mathfrak{F}_x$ ,  $\mathfrak{F}_y$  și  $\mathfrak{F}_z$  expresia (4.27) devine:

$$\Delta \Delta \mathfrak{F}_x = \Delta \Delta \mathfrak{F}_y = \Delta \Delta \mathfrak{F}_z = 0. \quad (4.29)$$

Un caz particular al stării tridimensionale este cel al torsiunii barelor cilindrice (fig. 4.2), problemă rezolvată de Barré de St. Venant prin metoda semiinversă denumită astfel pentru că consideră de la început cunoscute unele eforturi unitare, și anume:

$$\sigma_x = \sigma_y = \sigma_z = \tau_{xy} = \tau_{yx} = 0.$$

Problema se rezolvă determinînd o funcție de tensiune  $\Phi^*$  care să satisfacă ecuația lui Poisson

$$\Delta \Phi = -2G\theta, \quad (4.30)$$

în care cu  $\theta$  s-a notat rotirea specifică a secțiunii, și să fie constantă pe conturul secțiunii (sau pe contururi în cazul domeniilor multiplu

\* Funcție introdusă prima dată de Prandtl care a imaginat și analogia care îi poartă numele.

conexe (fig. 4.3); de regulă constanta se consideră nulă pentru conturul exterior  $c$ , deci:

$$(\Phi)_c = 0; \quad (\Phi)_{c_i} = C_i. \quad (4.31)$$

Pe fiecare contur interior este îndeplinită condiția:

$$\oint_{c_i} \frac{\partial \Phi}{\partial n} ds = -2G\theta A_i \quad (4.32)$$

în care cu  $A_i$  s-a notat aria închisă de conturul  $c_i$ .

O dată determinată funcția, componentele efortului unitar tangențial se determină prin derivare:

$$\tau_{zx} = \frac{\partial \Phi}{\partial y}; \quad \tau_{zy} = -\frac{\partial \Phi}{\partial x}. \quad (4.33)$$

Momentul de torsiune este dublul volumului închis de suprafața descrisă de funcția de tensiune și de suprafața secțiunii.

$$M_t = 2V\Phi = 2 \iint_A \Phi dx dy. \quad (4.34)$$

Reprezentînd funcția de tensiune ca o suprafață, efortul unitar tangențial într-un punct are ca direcție tangenta la curba de nivel în punctul respectiv, iar ca intensitate înclinarea liniei de cea mai mare pantă în acel punct.

O altă soluție se referă la eforturile unitare tangențiale datorite încovoierii barei drepte solicitate de o forță tăietoare  $T = P_x$  (fig. 4.4).

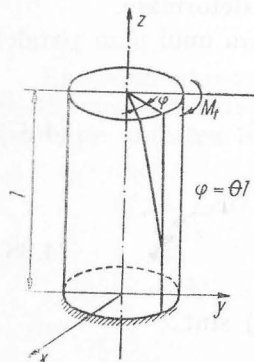


Fig. 4.2

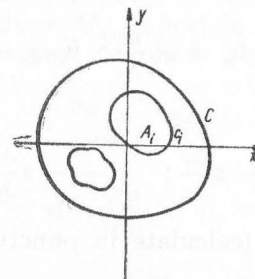


Fig. 4.3

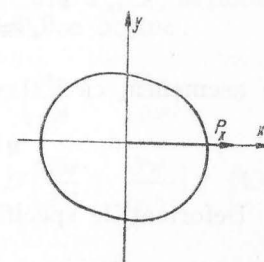


Fig. 4.4



Componentele eforturilor unitare tangențiale în acest caz pot fi deduse dintr-o funcție de tensiune  $\Phi = \Phi(x, y)$  care trebuie să verifice ecuația de tip Laplace

$$\Delta\Phi = \frac{\partial^2\Phi}{\partial x^2} + \frac{\partial^2\Phi}{\partial y^2} = 0 \quad (4.35 \text{ a})$$

iar într-un punct pe contur să aibă valoarea:

$$(\Phi)_e = \frac{P_x}{I_y} \int \frac{x^2}{2} dy - \frac{\nu}{2(1+\nu)} \cdot \frac{P_x y^3}{3 I_y} + C; \quad (y = y_e \text{ pe contur}) \quad (4.35 \text{ b})$$

în care cu  $I_y$  s-a notat momentul de inerție al secțiunii față de axa principală de inerție perpendiculară pe direcția forței tăietoare.

Componentele efortului unitar tangențial vor fi:

$$\tau_{xy} = -\frac{\partial\Phi}{\partial x}; \quad \tau_{yx} = \frac{\partial\Phi}{\partial y} - \frac{P_x}{2I_y} \left( x^2 - \frac{\nu y^2}{1+\nu} \right). \quad (4.36)$$

#### 4.3. ECUAȚIA PLĂCILOR PLANE SUBȚIRI

Plăci plane subțiri sînt considerate construcțiile definite printr-o suprafață mediană plană avînd grosimea (măsurată perpendicular pe suprafața mediană) mică în raport cu dimensiunile în planul suprafeței mediane. Deformațiile sînt mici; prin deformare, dreptele perpendiculare pe suprafața mediană înainte de deformare rămîn drepte și perpendiculare pe suprafața mediană și după deformare.

Din fig. 4.5 reiese (rezultatele se extind și asupra unui plan paralel cu  $Oy$  perpendicular pe planul  $xOy$ ) că:

$$\theta_x \approx \operatorname{tg} \theta_x = -\frac{\partial w}{\partial x}; \quad \theta_y = -\frac{\partial w}{\partial y}; \quad (4.37)$$

de asemenea, că:

$$u = -z \frac{\partial w}{\partial x}; \quad v = -z \frac{\partial w}{\partial y}. \quad (4.38)$$

Deformațiile specifice (calculate în punctul  $Q$ ) sînt:

$$\varepsilon_x = \frac{\partial u}{\partial x} = -z \frac{\partial^2 w}{\partial x^2}; \quad \varepsilon_y = -z \frac{\partial^2 w}{\partial y^2}; \quad \gamma_{xy} = -2z \frac{\partial^2 w}{\partial x \partial y}. \quad (4.39)$$

Exprimînd eforturile unitare în funcție de deformații (legea lui Hooke aplicată în cazul stării plane)

$$\sigma_x = \frac{E}{1-\nu^2} (\varepsilon_x + \nu \varepsilon_y); \quad \sigma_y = \frac{E}{1-\nu^2} (\varepsilon_y + \nu \varepsilon_x); \quad \tau_{xy} = G \gamma_{xy}. \quad (4.40)$$

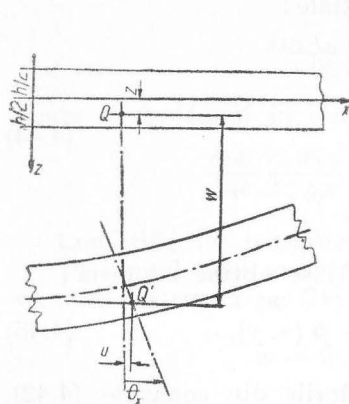


Fig. 4.5

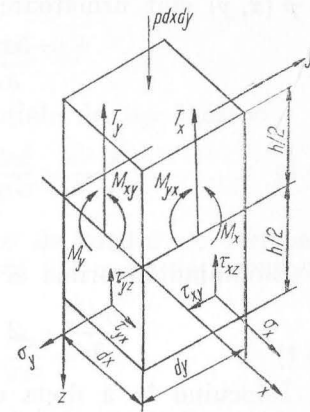


Fig. 4.6

Înlocuind în (4.40) valorile din expresiile (4.39) se obține:

$$\sigma_x = -\frac{Ez}{1-\nu^2} \left( \frac{\partial^2 w}{\partial x^2} + \nu \frac{\partial^2 w}{\partial y^2} \right); \quad \sigma_y = -\frac{Ez}{1-\nu^2} \left( \frac{\partial^2 w}{\partial y^2} + \nu \frac{\partial^2 w}{\partial x^2} \right)$$

$$\tau_{xy} = -2Gz \frac{\partial^2 w}{\partial x \partial y} = -\frac{Ez}{1+\nu} \frac{\partial^2 w}{\partial x \partial y}. \quad (4.41)$$

Reducînd eforturile din secțiune la momentele încovoiitoare  $M_x$  și  $M_y$ , momentul de torsiune  $M_{xy}$  și forțele tăietoare  $T_x$ ,  $T_y$  acționînd toate pe unitatea de lungime de placă (fig. 4.6), se obține:

$$M_x = -D \left( \frac{\partial^2 w}{\partial x^2} + \nu \frac{\partial^2 w}{\partial y^2} \right); \quad M_y = -D \left( \frac{\partial^2 w}{\partial y^2} + \nu \frac{\partial^2 w}{\partial x^2} \right)$$

$$M_{xy} = -M_{yx} = (1-\nu)D \frac{\partial^2 w}{\partial x \partial y}; \quad T_x = -D \left( \frac{\partial^3 w}{\partial x^3} + \frac{\partial^3 w}{\partial x \partial y^2} \right) \quad (4.42)$$

$$T_y = -D \left( \frac{\partial^3 w}{\partial y^3} + \frac{\partial^3 w}{\partial x^2 \partial y} \right).$$

În aceste expresii s-a notat cu  $D$  rigiditatea plăcii:

$$D = \frac{Eh^3}{12(1-\nu^2)}. \quad (4.43)$$

Între eforturile secționale  $M_x, M_y, M_{xy}, T_x, T_y$  și încărcarea  $p = p(x, y)$  sînt următoarele relații diferențiale:

$$\begin{aligned} \frac{\partial T_x}{\partial x} + \frac{\partial T_y}{\partial y} &= -p(x, y) \\ \frac{\partial M_x}{\partial x} + \frac{\partial M_{xy}}{\partial y} &= T_x \\ \frac{\partial M_y}{\partial y} - \frac{\partial M_{xy}}{\partial x} &= T_y. \end{aligned} \quad (4.44)$$

Eliminînd în prima ecuație pe  $T_x$  și  $T_y$ , se obține expresia:

$$\frac{\partial^2 M_x}{\partial x^2} - 2 \frac{\partial^2 M_{xy}}{\partial x \partial y} + \frac{\partial^2 M_y}{\partial y^2} = -p(x, y). \quad (4.45)$$

Înlocuind în a doua ecuație (4.44) valorile din ecuațiile (4.42), se obține:

$$\begin{aligned} -D \frac{\partial}{\partial x} \left( \frac{\partial^2 w}{\partial x^2} + \nu \frac{\partial^2 w}{\partial y^2} \right) + \frac{\partial}{\partial y} (1 - \nu) \frac{\partial^2 w}{\partial x \partial y} &= T_x \\ T_x &= -D \left( \frac{\partial^3 w}{\partial x^3} + \frac{\partial^3 w}{\partial x \partial y^2} \right) = -D \frac{\partial}{\partial x} (\Delta w) \end{aligned}$$

deci:

$$T_x = -D \frac{\partial}{\partial x} (\Delta w); \quad T_y = -D \frac{\partial}{\partial y} (\Delta w). \quad (4.46)$$

Înlocuind valorile din (4.46) în prima ecuație (4.44) se obține:

$$\Delta \Delta w = \frac{\partial^4 w}{\partial x^4} + 2 \frac{\partial^4 w}{\partial x^2 \partial y^2} + \frac{\partial^4 w}{\partial y^4} = \frac{p(x, y)}{D}. \quad (4.47)$$

Această ecuație, denumită ecuația generală a plăcii plane subțiri, poate fi pusă și sub altă formă:

$$M_x + M_y = -(1 + \nu) D \left( \frac{\partial^2 w}{\partial x^2} + \frac{\partial^2 w}{\partial y^2} \right) = -(1 + \nu) D \Delta w;$$

notînd:

$$M = \frac{M_x + M_y}{1 + \nu} \quad (4.48)$$

ecuația devine:

$$M = -D \Delta w.$$

Folosind această relație, ecuația generală a plăcii (4.47) scrisă sub forma:

$$D \Delta \Delta w = \left( \frac{\partial^2}{\partial x^2} + \frac{\partial^2}{\partial y^2} \right) (D \Delta w) = p$$

poate fi desfăcută în două ecuații diferențiale de tip Poisson:

$$\frac{\partial^2 M}{\partial x^2} + \frac{\partial^2 M}{\partial y^2} = -p \quad \text{și} \quad \frac{\partial^2 w}{\partial x^2} + \frac{\partial^2 w}{\partial y^2} = -\frac{M}{D}. \quad (4.49)$$

Condițiile de margine sînt determinate de modul de rezemare.

În lungul unei margini simplu rezemate (de exemplu o margine rectilinie normală pe  $Ox$ ) (fig. 4.7)

$$w = 0; \quad M_x = 0 \quad \text{sau} \quad \frac{\partial^2 w}{\partial x^2} = 0. \quad (4.50)$$

În lungul unei margini libere orientate ca în fig. 4.7:

$$M_x = 0 \quad \text{sau} \quad \frac{\partial^2 w}{\partial x^2} + \frac{\partial^2 w}{\partial y^2} = 0$$

și

$$R_x = 0 \quad \text{sau} \quad \frac{\partial^3 w}{\partial y^3} + (2 - \nu) \frac{\partial^3 w}{\partial x \partial y^2} = 0$$

( $R_x$  este reacțiunea pe această latură).

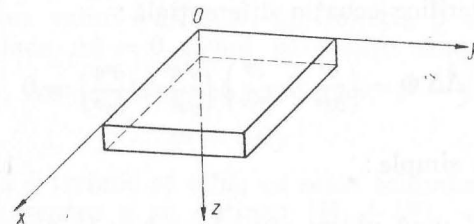


Fig. 4.7

Examinarea sumară a acestor probleme arată că ele pot fi rezolvate dacă se găsește în fiecare caz în parte o funcție, de tensiune sau de deformăție, care trebuie să satisfacă o ecuație diferențială și anumite

condiții pe contur. Ecuațiile diferențiale sînt de regulă ecuații de tip Poisson, socotind ecuația de tip Laplace ca un caz particular al acesteia, sau ecuații biarmonice. Din punct de vedere matematic problema este o problemă de condiții pe contur.

#### 4.4. REZOLVAREA DIRECTĂ A ECUAȚILOR DE CONDIȚII PE CONTUR

Sînt numeroase funcții: polinoame, funcții trigonometrice, circulare și hiperbolice, funcții Bessel etc. care constituie soluții ale ecuațiilor diferențiale pe care trebuie să le satisfacă funcțiile de tensiune. Cunoașterea acestor soluții, clasificarea lor într-un catalog și aplicarea lor constituie o primă cale pentru rezolvarea problemelor.

Multe probleme pot fi riguros rezolvate, sau cu un grad de aproximație acceptabil, datorită liniarității ecuațiilor diferențiale, faptului că se pot obține soluții valabile prin combinații liniare (cu coeficienți convenabili aleși) ale unor soluții simple. Conform teoremei lui Kirchhoff cu privire la unicitatea soluției teoriei elasticității, reiese că din numeroasele soluții ale unei ecuații diferențiale este exactă, sau cea mai apropiată, soluția care satisface riguros ecuația diferențială și verifică riguros sau cît mai aproape condițiile impuse pe contur.

În legătură cu condițiile pe contur, cînd acestea se referă la forțele exterioare, calculul este oarecum facilitat prin aplicarea principiului lui de Saint-Venant care, pentru sisteme de forțe exterioare echivalente, admite aceeași distribuție de eforturi în zone suficient de depărtate de cele de aplicare ale forțelor.

În cazul stării plane de tensiune, funcția de tensiune  $\Phi = \Phi(x, y)$ , care trebuie să verifice ecuația diferențială:

$$\Delta \Delta \Phi = \left( \frac{\partial^2}{\partial x^2} + \frac{\partial^2}{\partial y^2} \right) \left( \frac{\partial^2 \Phi}{\partial x^2} + \frac{\partial^2 \Phi}{\partial y^2} \right) = 0$$

admite ca soluții simple:

$$\Phi = x, x^2, x^3, y, y^2, y^3, xy, x^2y, x^3y, xy^2, xy^3, x^2 - y^2, x^4 - y^4,$$

$$\cos \alpha x, \operatorname{ch} \alpha y, \operatorname{ch} \alpha x \cdot \cos \alpha y, x \cos \alpha x \cdot \operatorname{ch} \alpha y, x \operatorname{ch} \alpha x \cdot \cos \alpha y$$

$$y \cos \alpha x \cdot \operatorname{ch} \alpha y, y \operatorname{ch} \alpha x \cdot \cos \alpha y$$

$\varphi + x\psi, \varphi + y\psi, \varphi + (x^2 + y^2)\psi$  ( $\varphi$  și  $\psi$  funcții armonice plane) sau combinații liniare ale acestor soluții care verifică pe contur condițiile:

$$\frac{\partial^2 \Phi}{\partial y^2} \frac{\partial y}{\partial s} + \frac{\partial^2 \Phi}{\partial x \partial y} \frac{\partial x}{\partial s} = \bar{X}$$

$$\frac{\partial^2 \Phi}{\partial x^2} \frac{\partial x}{\partial s} + \frac{\partial^2 \Phi}{\partial x \partial y} \frac{\partial y}{\partial s} = -\bar{Y}.$$

La torsiunea barelor prismatice funcția de tensiune  $\Phi = \Phi(x, y)$  trebuie să verifice ecuația diferențială (ecuație de tip Poisson)

$$\Delta \Phi = \frac{\partial^2 \Phi}{\partial x^2} + \frac{\partial^2 \Phi}{\partial y^2} = -2G\theta$$

și condițiile pe contur  $(\Phi)_{c_i} = C_i$  ( $C_i = 0$  pentru conturul exterior) precum și:

$$\oint_{c_i} \frac{\partial \Phi}{\partial n} ds = 2G\theta A_i.$$

Soluția se găsește de regulă considerînd funcția de tensiune  $\Phi$  ca fiind suma a două funcții:

$$\Phi = F + \psi.$$

Funcția  $F = F(x, y)$  verifică ecuația lui Poisson  $\Delta F = -2G\theta$  avînd ca soluții simple:

$$F = -G\theta x^2, -G\theta y^2, -\frac{G\theta}{2}(x^2 + y^2)$$

dar are pe contur valori variabile, iar funcția  $\psi = \psi(x, y)$  verifică ecuația lui Laplace  $\Delta \psi = 0$  avînd ca soluții simple:

$$\psi = x, y, xy, \cos \alpha x \cdot \operatorname{ch} \alpha y, \operatorname{ch} \alpha x \cdot \cos \alpha y, x^2 - y^2, x^3 - 3xy^2, y^3 - 3x^2y;$$

pe contur funcția  $\psi$  trebuie să aibă, cu semn schimbat, aceleași valori ca și funcția  $F$  pentru a se obține:  $(\psi)_c + (F)_c = 0$  sau diferind printr-o constantă (pentru conturile interioare).

Eforturile tangențiale din încovoiere pot fi deduse dintr-o funcție de tensiune  $\Phi = \Phi(x, y)$  care trebuie să verifice ecuația lui Laplace:

$$\Delta \Phi = \frac{\partial^2 \Phi}{\partial x^2} + \frac{\partial^2 \Phi}{\partial y^2} = 0$$

cu aceleași soluții simple ca cele de mai înainte, iar pe contur:

$$(\Phi)_c = \frac{P}{I} \int \frac{x^2}{2} dy - \frac{\nu}{2(1+\nu)} \frac{Py^3}{3I} + C \quad (y = y_c, \text{ pe contur}).$$

În cazul plăcilor plane, deplasarea pe direcția perpendiculară la suprafața mediană  $w$  satisface ecuația diferențială:

$$\Delta \Delta w = \left( \frac{\partial^2}{\partial x^2} + \frac{\partial^2}{\partial y^2} \right) \left( \frac{\partial^2 w}{\partial x^2} + \frac{\partial^2 w}{\partial y^2} \right) = \frac{p}{D};$$

soluția poate fi pusă sub forma:

$$w = w_0 + w_1$$

în care  $w_0$  este o integrală particulară a ecuației neomogene

$$\Delta \Delta w_0 = \frac{p}{D},$$

iar  $w_1$  este soluția ecuației omogene biarmonice  $\Delta \Delta w_1 = 0$  pentru care soluțiile sînt aceleași ca și în cazul stării plane de eforturi.

Comportarea unor sisteme elastice, prezentată exemplificator mai înainte, este descrisă de ecuații studiate aprofundat de analiza matematică, în special în analiza funcției de potențial. Dacă principal problema este rezolvabilă, forma deseori complicată a domeniului duce la expresii analitice complicate pentru condițiile pe contur, ceea ce se repercutează asupra calculului, făcînd dificilă găsirea unor soluții exacte. Aceasta face ca de multe ori să se renunțe la rigoare în rezolvare, mai ales în ce privește satisfacerea condițiilor pe contur.

În cazul plăcilor plane, soluții exacte, relativ simple, au fost obținute pentru plăcile circulare în diferite cazuri de rezemare și încărcare axial-simetrică. În construcții, sub forma cea mai răspîndită este placa dreptunghiulară sau poligonală avînd variate rezemări (încăstrări, simple rezemări, pe contur sau punctuale) și încărcări. Metoda prezentată constă deci în a găsi o soluție particulară  $w_0$  ecuației neomogene care de obicei nu îndeplinește condiția pe contur și o soluție  $w_1$  a ecuației omogene care, adunată cu  $w_0$ , pe contur îndeplinește condițiile de deformare (săgeată, rotire, curbura) sau de efort (moment sau forță tăietoare).

Numeroase soluții au fost găsite pe această bază; față de varietatea mare a cazurilor care apar în practica inginerului constructor, soluțiile exacte sînt însă foarte puține.

Folosirea funcțiilor de variabilă complexă și a transformării conforme a sporit numărul soluțiilor exacte care pot fi exprimate relativ simplu. De asemenea, pentru obținerea de soluții directe, cu bune

rezultate, se aplică analiza armonică; dezvoltarea funcțiilor de tensiune sau de deplasări în serii trigonometrice sau exprimarea lor prin integrale Fourier s-au dovedit foarte fructuoase. Cu ajutorul lor au fost obținute soluții simple în problemele grinzilor pereți, plăcilor plane de formă dreptunghiulară cu diferite încărcări și rezemări (inclusiv pe puncte, cazul planșelor ciupercă) etc.

Pentru determinarea coeficienților seriilor Fourier, problemă care devine laborioasă mai ales în cazurile seriilor nu prea rapid convergente, sînt folosite numeroase metode analitice, grafice și chiar instrumente; astfel este metoda lui Runge pentru determinarea aproximativă pe cale analitică, metoda lui Meissner pentru determinarea pe cale grafică etc.

La condiții pe contur mai variate sau în cazul conturilor a căror expresie analitică nu este foarte simplă, deși sînt stabilite soluții sub formă de serii trigonometrice, folosirea lor în calculele practice inginierești necesită un mare volum de muncă, prestat de personal cu pregătire superioară și care poate constitui, nu rareori, o dificultate.

#### 4.5. SOLUȚII APROXIMATIVE ALE ECUAȚIILOR CU CONDIȚII DATE PE CONTUR DETERMINATE PRIN CALCUL VARIATIONAL

Unele dificultăți pentru determinarea de soluții ale ecuațiilor diferențiale cu condiții pe contur pot fi ocolite adoptînd o altă cale de rezolvare care, deși nu totdeauna este exprimată sub formă variațională, constituie de fapt o aplicare a calculului variațional la aceste probleme. Astfel, de pildă, se aplică principiul energiei potențiale de deformare sau al energiei complementare de deformare minime\*; în loc de a căuta soluția ecuației diferențiale care să îndeplinească anumite condiții pe contur, se caută o funcție care să satisfacă condițiile pe contur și să facă minimă energia potențială  $V$  sau energia complementară de deformare  $V^*$ . În acest caz, drept ecuație fundamentală nu mai servește ecuația diferențială, ci principiul general valabil în cazul echilibrului elastic al minimumului energiei potențiale de deformare.

\* Energia complementară de deformare  $V^*$  este diferența dintre integrala produsului  $\sigma \epsilon$  și energia potențială de deformare (fig. 4.8). Pentru materiale elastice ascultînd de legea lui Hooke, energia complementară de deformare este egală cu energia potențială de deformare. Diferențele apar la relații neliniare între eforturi și deformații.

Expresia energiei complementare de deformare specifică (pentru unitatea de volum), în cazul întinderii de exemplu, se obține prin integrarea diferențialei

$$dw^* = \epsilon d\sigma.$$



Una din cele mai cunoscute metode este metoda folosită de Ritz și independent de Rayleigh. Ea se aplică în modul următor: funcția căutată este exprimată sub forma unei serii, cu coeficienți nedeterminați, care satisfac condițiile pe contur. Energia potențială de

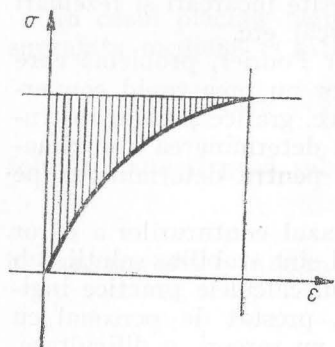


Fig. 4.8

deformație (respectiv energia complementară de deformație) este exprimată pe baza acestei funcții, obținându-se o expresie cuprinzând coeficienți nedeterminați. Pentru ca energia să fie minimă, trebuie ca derivatele parțiale ale energiei de deformație în raport cu acești coeficienți să fie nule.

Pentru a concretiza, luăm un exemplu simplu, și anume cazul torsiunii barei prismatice; așa cum s-a văzut, funcția de torsiune trebuie să verifice condițiile:  $\Delta\Phi = -2G\theta$ ;  $(\Phi)_c = 0$ .

Să presupunem o funcție  $\Phi$  cu coeficienți  $c_i$  nedeterminați  $\Phi = \Phi(x, y, c_1, c_2, \dots)$

care îndeplinește condiția de contur  $(\Phi)_c = 0$ .

Pentru o lungime de bară egală cu unitatea, energia potențială de deformație este

$$V = \frac{1}{2G} \iint_A (\tau_{zx}^2 + \tau_{zy}^2) dx dy = \frac{1}{2G} \iint_A \left[ \left( \frac{\partial\Phi}{\partial x} \right)^2 + \left( \frac{\partial\Phi}{\partial y} \right)^2 \right] dx dy.$$

Dacă se admite pentru funcția  $\Phi$  o mică variație  $\delta\Phi$  (care se anulează pe contur) creșterea corespunzătoare a energiei potențiale va fi

$$\delta V = \frac{1}{2G} \delta \iint_A \left[ \left( \frac{\partial\Phi}{\partial x} \right)^2 + \left( \frac{\partial\Phi}{\partial y} \right)^2 \right] dx dy.$$

Acestei creșteri îi corespunde o creștere a momentului de torsiune egală cu dublul creșterii volumului închis de funcția de tensiune:

$$\delta M_t = 2 \iint_A (\delta\Phi) dx dy.$$

Lucrul mecanic produs de creșterea momentului de torsiune este produsul acestuia cu rotirea specifică  $\theta$  (fiind vorba de o lungime de bară egală cu unitatea); scriind egalitatea dintre creșterea energiei

potențiale de deformație și a lucrului mecanic produs de forțele exterioare se obține:

$$\delta \iint \left[ \left( \frac{\partial\Phi}{\partial x} \right)^2 + \left( \frac{\partial\Phi}{\partial y} \right)^2 - 4G\theta\Phi \right] dx dy = 0.$$

Funcția  $\Phi$  căutată este cea care anulează variația integralei:

$$U = \iint \left[ \left( \frac{\partial\Phi}{\partial x} \right)^2 + \left( \frac{\partial\Phi}{\partial y} \right)^2 - 4G\theta\Phi \right] dx dy.$$

După efectuarea integralei cu valoarea aleasă a funcției  $\Phi$  se scriu condițiile de minim în raport cu coeficienții nedeterminați

$$\frac{\partial U}{\partial c_1} = 0; \quad \frac{\partial U}{\partial c_2} = 0; \quad \dots$$

Se obține astfel un sistem simultan de ecuații de gradul I în  $c_i$  (deoarece energia potențială de deformație cuprinde numai termeni de gradul 2 în  $c_i$ ) care rezolvat duce la definirea funcției de tensiune.

Precizia în rezolvarea problemei depinde nu rareori de numărul coeficienților nedeterminați luați în considerare. Deoarece numărul coeficienților mărește numărul ecuațiilor care la sfârșit trebuie rezolvate și deci volumul de muncă, se obișnuiește ca în calcul să se înceapă cu expresii care conțin un număr mic de coeficienți făcând două-trei determinări și studiind convergența rezultatelor.

O metodă asemănătoare, cu domeniu de aplicare mai vast, este cea a lui Galerkin care nu presupune formularea principiului de minim al energiei potențiale de deformație. Ea constă în alegerea unei funcții de tensiune cu coeficienți nedeterminați care satisfac condițiile de contur. Presupunând variația funcției alese și minimizarea ei în funcție de coeficienții nedeterminați, se obține imediat un sistem de ecuații liniare având ca necunoscute coeficienții, ceea ce ușurează rezolvarea problemei.

Principiul de bază al metodei este simplu; problema constă în rezolvarea unei ecuații diferențiale liniare, într-un domeniu dat  $R$ , care trebuie să îndeplinească anumite condiții pe contur.

Notăm ecuația diferențială  $L(\Phi) = 0$  [ $\Phi = \Phi(x, y)$ ].

Funcția  $\Phi(x, y)$  poate fi aproximată cu o serie de forma:

$$\Phi_n(x, y) = \sum_{i=1}^n c_i F_i(x, y)$$

(în care constantele  $c_i$  sînt nedeterminate) care satisface condițiile pe contur impuse soluției exacte a funcției  $\Phi$ .

De fapt, o serie cu un număr finit de termeni nu va verifica exact ecuația diferențială, deci

$$L(\Phi)_n = \in_n(x, y) \neq 0 \text{ în domeniul } R.$$

Funcția  $\in_n$  deci  $L(\Phi)_n$  poate fi considerată ca o funcție a erorilor; condiția care se pune este ca ea să fie minimă pentru ca funcția  $\Phi_n(x, y)$  să poată fi considerată ca o aproximare satisfăcătoare a funcției  $\Phi(x, y)$ .

O metodă de a găsi minimul, se bazează pe faptul că condiția de ortogonalitate

$$\iint_R L(\Phi)_n F_i(x, y) dx dy = 0 \text{ când } n \rightarrow \infty$$

este echivalentă cu condiția  $L(\Phi) = 0$ .

În acest caz, pentru determinarea coeficienților  $c_i$  se obține un sistem de  $n$  ecuații de felul celei de mai înainte.

Pentru a concretiza ne referim tot la torsiunea barelor prismatice folosind funcția

$$\psi = \frac{\Phi}{2G\theta}.$$

În acest caz, ecuația diferențială este  $\Delta\psi + 2 = 0$ .

Aproximînd funcția  $\psi$  cu seria:

$$\psi_n(x, y) = \sum_{i=1}^n c_i F_i(x, y)$$

sistemul de ecuații se scrie:

$$\iint_R (\Delta\psi_n + 2) F_1 dx dy = 0$$

$$\iint_R (\Delta\psi_n + 2) F_2 dx dy = 0$$

$$\dots \dots \dots$$

$$\iint_R (\Delta\psi_n + 2) F_n dx dy = 0.$$

Metode asemănătoare și procedee sînt numeroase. Amintim printre ele de metoda inversiunii a lui Biezeno și Koch care limitează variația coeficienților nedeterminați la anumite zone în care este împărțit domeniul studiat. De asemenea, în ce privește ecuația biarmonică este de relevat metoda lui Rafelson care pornește de la faptul că problema determinării funcției de tensiune  $\Phi$  sau a deformației  $w$

unei plăci plane în condițiile în care funcția și gradientul ei pe contur sînt nule, exprimată sub forma:

$$D\Delta^2 w = p(x, y); \text{ pe contur: } w = 0; \frac{\partial w}{\partial n} = 0$$

este echivalentă cu problema:

$$\iint_A [(D\Delta w)^2 - 2pw] dx dy = \text{minim.}$$

Aceste metode au reușit să sporească numărul problemelor rezolvate și să dea posibilitatea rezolvării mai lesnicioase a unor probleme care și-au găsit soluții și prin alte metode. Astfel, la domeniile cu contur dreptunghiular (plăci plane subțiri, bara solicitată la torsiune) soluțiile se obțin mai ușor cu ajutorul metodelor variaționale decît prin serii trigonometrice. Totuși, aplicarea acestor metode este limitată la domenii al căror contur poate fi descris analitic prin expresii relativ simple. Contururile domeniilor întîlnite însă adesea în practica inginerescă pot numai cu greutate să fie exprimate analitic, ceea ce face dificilă, dacă nu împiedică, aplicarea metodelor prezentate mai înainte.

Asemenea situații obligă la folosirea altor metode în special a metodelor numerice de calcul, folosind rețele de puncte care acoperă tot domeniul studiat.

#### BIBLIOGRAFIE

1. Bezuhov, N. I. *Teoria elasticității și plasticității* (trad. din l. rusă). București, Editura tehnică, 1957.
2. Biezeno, C. B. și Grammel, R. *Engineering Dynamics*. London, Blackie & Son, 1955.
3. Galerkin, V. G. *Sobranie socinenii*. Moskva, Izdatelstvo Akademii Nauk S.S.S.R., 1952.
4. Jemocikin, B. N. *Teoria uprugosti*. Moskva, Gosstroizdat, 1957.
5. Love, A. E. H. *A Treatise on the Mathematical Theory of Elasticity*. Cambridge University Press, 1952.
6. Novojilov, V. V. *Teoria uprugosti*. Leningrad, Sudpromghiz, 1958.
7. Teodorescu, P. P. *Probleme plane în Teoria elasticității*. București, Editura Academiei R.P.R., 1960.
8. Timoshenko, S. și Goodier, J. N. *Theory of Elasticity*. New York, Mc. Graw-Hill, 1951.
9. Wang, L. T. *Applied Elasticity*. New York, Mc. Graw-Hill, 1963.
10. Westergaard, H. M. *Theory of Elasticity and Plasticity*. Cambridge, Massachusetts, Harvard University Press, 1952.

## METODE NUMERICE PENTRU REZOLVAREA PROBLEMELOR TEORIEI ELASTICITĂȚII

### 5.1. METODA DIFERENȚELOR FINITE

Metoda diferențelor finite folosește valorile funcției studiate într-un anumit domeniu în punctele dispuse în nodurile unei rețele regulate care îl acoperă în întregime; diferențialele funcției sînt approximate prin diferențe între valorile funcției în puncte învecinate. Întregul domeniu studiat este acoperit printr-o rețea de puncte avînd de regulă ochiurile de forma unor pătrate; în unele cazuri, mai rare, este mai avantajoasă realizarea rețelei din triunghiuri echilaterale sau hexagoane.

În cazul unei rețele plane, de puncte dispuse în nodurile unui carelaj cu laturile egale cu  $h$  (fig. 5.1), se stabilesc următoarele expresii ale diferențelor finite în funcție de valorile funcției  $f = f(x, y)$  în nodurile rețelei notate pentru simplificare cu indicii punctelor în care au fost determinate ( $f_i$  înseamnă valoarea funcției  $f(x, y)$  în punctul  $i$ ).

Pe direcția  $Ox$  în punctul  $O$ :

diferența de ordinul I:  $(\Delta_x^1 f)_0 = f_k - f_0$ ;

diferența de ordinul II:  $(\Delta_x^2 f)_0 = (\Delta_x^1 f)_k - (\Delta_x^1 f)_0 =$   
 $= f_s - 2f_k + f_0$ ; (5.1)

diferența de ordinul III:  $(\Delta_x^3 f)_0 = (\Delta_x^2 f)_k - (\Delta_x^2 f)_0 =$   
 $= f_u - 3f_s + 3f_k - f_0$ ;

și așa mai departe.

Pe direcția  $Oy$  în punctul  $O$ :

diferența de ordinul I:  $(\Delta_y^1 f)_0 = f_j - f_0$ ;

diferența de ordinul II:  $(\Delta_y^2 f)_0 = f_r - 2f_j + f_0$ ;

diferența de ordinul III:  $(\Delta_y^3 f)_0 = f_v - 3f_r + 3f_j - f_0$ ;

și așa mai departe.

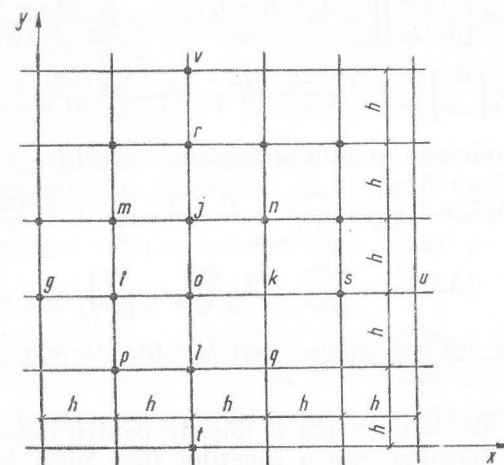


Fig. 5.1

În funcție de valorile diferențelor în diferitele puncte, derivatele parțiale au următoarele expresii:

$$\begin{aligned} \left(\frac{\partial f}{\partial x}\right)_0 &= \frac{f_k - f_0}{h} = \frac{f_0 - f_i}{h} \\ \left(\frac{\partial^2 f}{\partial x^2}\right)_0 &= \frac{\left(\frac{\partial f}{\partial x}\right)_k - \left(\frac{\partial f}{\partial x}\right)_0}{h} = \frac{f_s - 2f_k + f_0}{h^2} \\ \left(\frac{\partial^3 f}{\partial x^3}\right)_0 &= \left[\frac{\partial}{\partial x} \left(\frac{\partial^2 f}{\partial x^2}\right)\right]_0 = \frac{f_s - 3f_k + 3f_0 - f_i}{h^3} \\ \left(\frac{\partial^4 f}{\partial x^4}\right)_0 &= \left[\frac{\partial^2}{\partial x^2} \left(\frac{\partial^2 f}{\partial x^2}\right)\right]_0 = \frac{f_s - 4f_k + 6f_0 - 4f_i + f_g}{h^4} \\ \left(\frac{\partial f}{\partial y}\right)_0 &= \frac{f_j - f_0}{h} = \frac{f_0 - f_l}{h} \end{aligned} \quad (5.2)$$

$$\begin{aligned}\left(\frac{\partial^2 f}{\partial y^2}\right)_0 &= \frac{f_j - 2f_0 + f_l}{h^2} \\ \left(\frac{\partial^3 f}{\partial y^3}\right)_0 &= \frac{f_r - 3f_j + 3f_0 - f_l}{h^3} \\ \left(\frac{\partial^4 f}{\partial y^4}\right)_0 &= \frac{f_r - 4f_j + 6f_0 - 4f_l + f_l}{h^4} \\ \left(\frac{\partial^2 f}{\partial x \partial y}\right)_0 &= \left[\frac{\partial}{\partial y} \left(\frac{\partial f}{\partial x}\right)\right]_0 = \frac{f_n - f_j - f_k + f_0}{h^2} = \frac{f_n - f_m - f_p + f_q}{4h^2} \\ \left(\frac{\partial^4 f}{\partial x^2 \partial y^2}\right)_0 &= \left[\frac{\partial^2}{\partial y^2} \left(\frac{\partial^2 f}{\partial x^2}\right)\right]_0 = \frac{f_n - 2f_j + f_m - 2f_k + 4f_0 - 2f_i + f_q - 2f_l + f_p}{h^4}\end{aligned}$$

Operatorul laplacian și dublul laplacian devin:

$$(\Delta f)_0 = \left(\frac{\partial^2 f}{\partial x^2} + \frac{\partial^2 f}{\partial y^2}\right)_0 = \frac{f_i + f_j + f_k + f_l - 4f_0}{h^2} \quad (5.3)$$

$$\begin{aligned}(\Delta \Delta f)_0 &= \left(\frac{\partial^4 f}{\partial x^4} + 2\frac{\partial^4 f}{\partial x^2 \partial y^2} + \frac{\partial^4 f}{\partial y^4}\right)_0 = \\ &= \frac{20f_0 - 8(f_i + f_j + f_k + f_l) + 2(f_m + f_n + f_p + f_q) + (f_g + f_r + f_s + f_t)}{h^4} \quad (5.4)\end{aligned}$$

Aceste relații de definiții pot fi folosite pentru determinarea valorilor funcției de tensiune sau a săgeților unei plăci în punctele din nodurile unei rețele în care este împărțit domeniul studiat.

Valorile funcției (respectiv ale săgeții) în domeniu sînt necunoscute; se cunoaște numai ecuația fundamentală care trebuie satisfăcută și condițiile pe contur; ele sînt exprimate de obicei sub formă diferențială. Folosind ecuațiile în diferențe finite, aceste condiții pot fi scrise în fiecare punct în funcție de valorile din punctul respectiv și din punctele învecinate; condiția de contur evident se aplică numai punctelor rețelei de pe contur. În felul acesta se obține un sistem simultan de ecuații liniare din care se obțin valorile funcției în punctele respective. O dată determinate valorile funcției, se pot obține valorile eforturilor unitare (în cazul stării plane) sau ale momentelor încovoietoare (în cazul plăcilor plane) exprimînd derivatele secunde care intervin în expresii tot prin diferențe finite pornind de la valorile determinate.

În cazul cînd rețelele de puncte sînt relativ rare și exprimarea derivatelor prin diferențe finite poate duce la erori mari, determinarea acestora se face prin derivare stabilind în prealabil cu ajutorul formulelor de interpolare, ecuația aproximativă a funcției  $f(x, y)$ .

Cînd interesează în mod special derivatele parțiale după unele direcții, caz întîlnit deseori în problemele teoriei elasticității, se pot folosi expresiile obținute cu ajutorul polinomului de interpolare al lui Newton după direcția aleasă.

Pentru  $y$  constant de exemplu ( $y = y_0$ )

$$\begin{aligned}f(x, y_0) &= f(x_0, y_0) + \frac{(\Delta_1^1 f)_0}{h} x + \frac{(\Delta_2^2 f)_0}{2! h^2} x(x-h) + \\ &+ \frac{(\Delta_3^3 f)_0}{3! h^3} x(x-h)(x-2h) + \dots\end{aligned} \quad (5.5)$$

în care cu indicele 0 s-au notat mărimile relative la punctul  $x = x_0$ ,  $y = y_0$ .

Pentru a exemplifica, presupunem cazul torsiunii barei prismatice a cărei secțiune este împărțită cu ajutorul unei rețele pătratică cu latura  $h$  (fig. 5.2). Rețeaua are  $n$  noduri interioare notate cu  $i$ ,  $p$  noduri pe conturul exterior notate cu  $c$ ,  $r$  noduri pe conturul interior notate cu  $k$ .

Ecuațiile (4.30)–(4.32)

$$\Delta \Phi = -2G\theta; (\Phi)_c = 0; (\Phi)_k = \varphi_k \Phi_k \oint_k \frac{\partial \Phi}{\partial n} ds = -2G\theta A_k$$

se transformă într-un sistem de ecuații cu diferențe finite format din:

a)  $n$  ecuații pentru nodurile interioare (în care cu  $\varphi_j, \varphi_l, \varphi_m, \varphi_n$  s-au notat valorile funcției în punctele vecine punctului  $i$ ).

$$\varphi_j + \varphi_l + \varphi_m + \varphi_n - 4\varphi_i = -2G\theta h^2.$$

Aceste ecuații se scriu ușor suprapunînd în fiecare punct al rețelei de puncte tiparul din fig. 5.3 în care cifrele arată coeficienții cu care în ecuație sînt afectate valorile funcției din punctul respectiv.

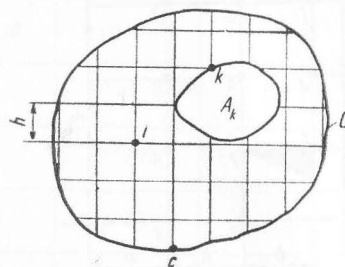


Fig. 5.2

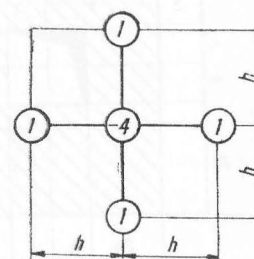


Fig. 5.3



b) O ecuație de forma :

$$\sum (\varphi_k - \varphi_l) = 2G\theta A_k$$

în care cu indicele  $l$  s-a notat punctul (din domeniu) vecin punctului de pe contur pe direcția normalei la contur.

Se obține astfel un sistem simultan format din  $(n + 1)$  ecuații din care se obțin valorile funcției în toate punctele domeniului.

Deși simplă în principiu, metoda cere un volum important de calcul atunci când pentru obținerea preciziei se adoptă o rețea mai deasă de puncte. Ca exemplu prezentăm sistemul de ecuații pentru secțiunea dreptunghiulară cu un gol pătrat solicitată la torsiune (fig. 5.4). Din motive de simetrie, s-a studiat un singur cadran.

Pe conturul exterior toate valorile funcției sînt nule; pe cel interior ele sînt constante și au fost toate notate cu  $\varphi_7$ .

Sistemul de ecuații este următorul :

$$\begin{aligned} \text{în nodul 1:} & 2\varphi_2 + \varphi_4 - 4\varphi_1 = -2G\theta h^2; \\ \text{în nodul 2:} & \varphi_1 + \varphi_3 + \varphi_5 - 4\varphi_2 = -2G\theta h^2; \\ \text{în nodul 3:} & \varphi_2 + \varphi_6 - 4\varphi_3 = -2G\theta h^2; \\ \text{în nodul 4:} & \varphi_1 + \varphi_7 + 2\varphi_5 - 4\varphi_4 = -2G\theta h^2; \\ \text{în nodul 5:} & \varphi_4 + \varphi_2 + \varphi_6 + \varphi_7 - 4\varphi_5 = -2G\theta h^2; \\ \text{în nodul 6:} & \varphi_5 + \varphi_3 + \varphi_8 - 4\varphi_6 = -2G\theta h^2; \\ \text{în nodul 8:} & \varphi_7 + \varphi_6 + \varphi_9 - 4\varphi_8 = -2G\theta h^2; \\ \text{în nodul 9:} & \varphi_7 + 2\varphi_8 - 4\varphi_9 = -2G\theta h^2. \end{aligned}$$

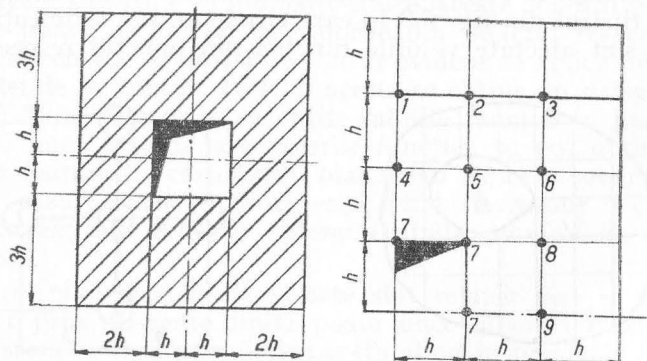


Fig. 5.4

Pe conturul interior :

$$8\varphi_7 - 2(\varphi_4 + \varphi_9) - 2(\varphi_5 + \varphi_3) = 8G\theta h^2.$$

Soluțiile acestui sistem de ecuații sînt :

$$\begin{aligned} \varphi_1 &= 3,08 G\theta h^2 & \varphi_4 &= 4,66 G\theta h^2 & \varphi_7 &= 4,91 G\theta h^2 \\ \varphi_2 &= 2,83 G\theta h^2 & \varphi_5 &= 4,32 G\theta h^2 & \varphi_8 &= 3,30 G\theta h^2 \\ \varphi_3 &= 1,93 G\theta h^2 & \varphi_6 &= 2,88 G\theta h^2 & \varphi_9 &= 3,38 G\theta h^2. \end{aligned}$$

Folosind polinomul de interpolare al lui Newton se determină variația funcției de tensiune de-a lungul celor două axe; diferențele se determină cu ajutorul tabelor :

De-a lungul axei  $Ox$  (punctele 0, 9, 7; originea se ia în  $A$ )

Punctul	0 ( $x = 0$ )	9 ( $x = h$ )	7 ( $x = 2h$ )
$\Phi^1 =$	0,00	3,38	4,91
$\Delta^1 =$	3,38	1,53	
$\Delta^2 =$	-1,85		

$$\Phi_i^1 = \left( \frac{\Phi}{G\theta h^2} \right)_i$$

$$(\Phi^1)_{y=0} = (\Phi^1)_0 + x \frac{\Delta^1}{h} + x(x-h) \frac{\Delta^2}{2! h^2}$$

$$(\Phi^1)_{y=0} = 0 + 3,38 \frac{x}{h} - \frac{1,85}{2} \left( \frac{x^2}{h^2} - \frac{x}{h} \right)$$

$$(\Phi^1)_{y=0} = -0,925 \frac{x^2}{h^2} h + 4,305 \frac{x}{h}.$$

De-a lungul axei  $Oy$  (punctele 0, 1, 4, 7; originea se ia în  $O$ )

Punctul	0 ( $y = 0$ )	1 ( $y = h$ )	4 ( $y = 2h$ )	7 ( $y = 3h$ )
$\Phi_i^1 =$	0	3,08	4,66	4,91
$\Delta^1 =$	3,08	1,58	0,25	
$\Delta^2 =$	-1,50	-1,33		
$\Delta^3 =$	0,17			

$$\Phi_i^1 = \left( \frac{\Phi}{G\theta h^2} \right)_i$$

$$(\Phi^1)_{x=0} = (\Phi^1)_0 + y \frac{\Delta^1}{h} + y(y-h) \frac{\Delta^2}{2! h^2} + y(y-h)(y-2h) \frac{\Delta^3}{3! h^3}$$

$$(\Phi^1)_{x=0} = 0 + 3,08 \frac{y}{h} - \frac{1,50}{2} \left( \frac{y^2}{h^2} - \frac{y}{h} \right) + \frac{0,17}{6} \left( \frac{y^3}{h^3} - 3 \frac{y^2}{h^2} + 2 \frac{y}{h} \right)$$

$$(\Phi^1)_{x=0} = 0,028 \frac{y^3}{h^3} - 0,835 \frac{y^2}{h^2} + 3,886 \frac{y}{h}$$

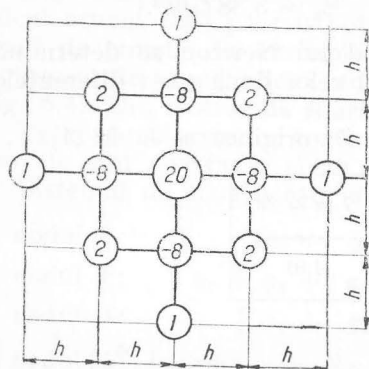


Fig. 5.5

În exemplul dat sistemul era format din 9 ecuații cu 9 necunoscute; în cazul când pentru mai mare exactitate s-ar fi recurs la o rețea mai deasă, numărul ecuațiilor ar fi crescut; la o rețea dublă, deci cu dimensiunile ochiurilor pe jumătate, numărul ecuațiilor ar fi fost de 40, ceea ce ar fi făcut rezolvarea foarte laborioasă.

Rezolvarea problemei devine și mai laborioasă atunci când ecuația diferențială fundamentală este ecuația biarmonică, deci în cazul stării plane de eforturi sau în cazul plăcilor. În acest caz, în fiecare punct al domeniului, folosind tiparul din fig. 5.5, în care sînt înscrise coeficienții valorilor funcției, se obține o ecuație cuprinzînd de regulă 13 termeni. Chiar dacă se aplică sisteme de aproximare succesivă a soluțiilor, rezolvarea sistemului cere un volum mare de muncă.

Aceste dificultăți ale rezolvării sistemelor de ecuații cu diferențe finite, fac să le fie preferate metode iterative de calcul numeric, cum este metoda relaxării, bazate de fapt tot pe metoda diferențelor finite.

## 5.2. METODA RELAXĂRII

Pentru rezolvarea prin aproximații succesive a problemei determinării unei funcții descrise de ecuații de tip Poisson sau Laplace cu condiții pe contur, poate fi folosită metoda relaxării. R. V. Southwell, autorul metodei, pornește de la analogia de membrană a lui Prandtl: o membrană întinsă de o presiune uniformă  $p$ , avînd deformații mici, verifică ecuația diferențială de tip Poisson:

$$\frac{\partial^2 z}{\partial x^2} + \frac{\partial^2 z}{\partial y^2} = -\frac{p}{S} \quad (5.6)$$

în care cu  $z$  s-a notat cota membranei într-un punct, iar cu  $S$  tensiunea superficială (forța care acționează unitatea de lungime din membrană) (fig. 5.6).

Presupunem o asemenea membrană pe care o imaginăm împărțită cu ajutorul unei rețele, în proiecție pe planul  $xOy$ , în poligoane regulate care acoperă întreaga suprafață (pătrate, triunghiuri sau hexagoane). Dacă distanțele între puncte sînt suficient de mici, laturile rețelei pot fi considerate drepte.

Echilibrul membranei poate fi studiat substituindu-i rețeaua în care toate laturile sînt considerate bare drepte rigide, articulate în noduri; forțele exterioare sînt considerate aplicate numai în noduri, avînd ca intensitate, intensitatea rezultantei forțelor aplicate pe suprafața aferentă (fig. 5.7).

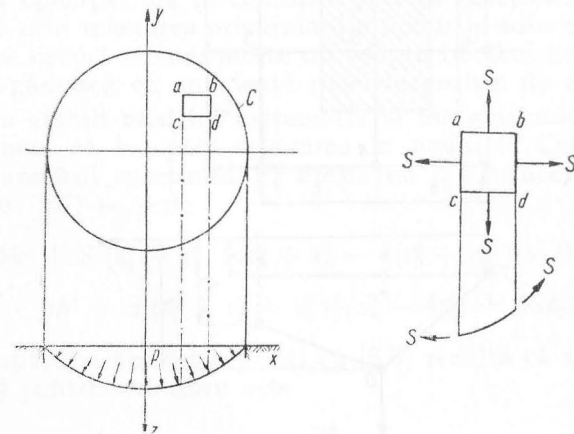


Fig. 5.6

Pentru a concretiza, presupunem sistemul de bare de substituție a membranei formînd o rețea pătratică și studiem echilibrul folosind metoda izolării nodurilor aplicabilă în cazul sistemelor articulate

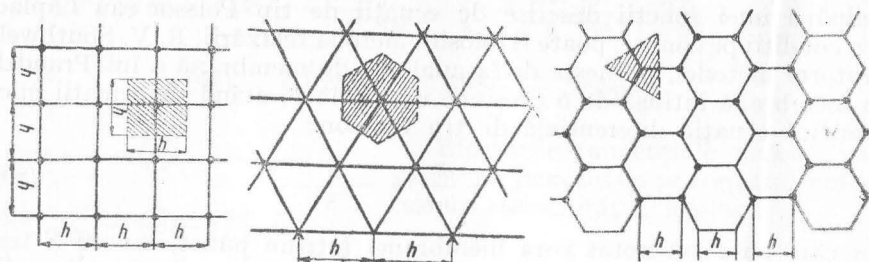


Fig. 5.7

de bare (fig. 5.8). Izolînd nodul 0, scriem ecuația de proiecție pe verticală; pentru valorile sinusurilor unghiurilor, ținînd seama că deformațiile, deci unghiurile făcute de bare cu orizontala sînt mici, admitem valoarea tangentei; cu această precizare se obține:

$$ph^2 - \frac{z_0 - z_1}{h} Sh - \frac{z_0 - z_2}{h} Sh - \frac{z_0 - z_3}{h} Sh - \frac{z_0 - z_4}{h} Sh = 0.$$

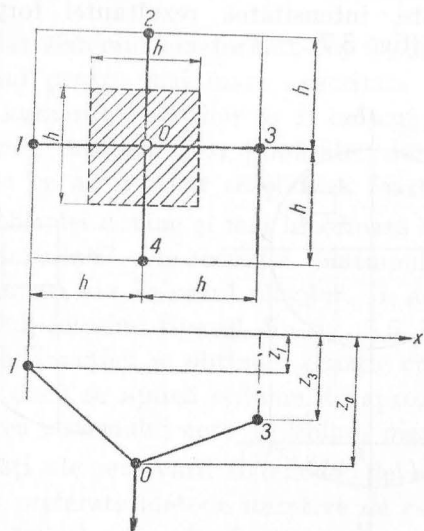


Fig. 5.8

Simplificînd și reducînd termenii asemenea obținem tocmai ecuația cu diferențe finite a membranei

$$ph^2 + S(z_1 + z_2 + z_3 + z_4 - 4z_0) = 0. \quad (5.7)$$

Pentru determinarea poziției de echilibru a rețelei se presupune o anumită poziție inițială arbitrară definită de cotele  $z_1^0, z_2^0, \dots$  a nodurilor. Este puțin probabil ca aceste cote să constituie poziția de echilibru a membranei, de aceea considerăm nodurile fixate în reazeme reglabile; reacțiunile în reazeme se determină introducîndu-le în ecuația de echilibru. În nodul 0

$$ph^2 + S(z_1^0 + z_2^0 + z_3^0 + z_4^0 - 4z_0^0) - V_0^0 = 0. \quad (5.8)$$

Valoarea reacțiunii  $V_0^0$  este egală cu restul  $R_0^0$  obținut introducînd valorile inițiale  $z_i^0$  în condiția de echilibru (5.7)

$$V_0^0 = R_0^0 = ph^2 + S(z_1^0 + z_2^0 + z_3^0 + z_4^0 - 4z_0^0). \quad (5.9)$$

Poziția de echilibru a sistemului presupune însă toate reacțiunile  $V_i^0 = R_i^0$  din reazeme nule. Ea se găsește imaginînd un mecanism de reglare succesivă a reazemelor, și anume: la început toate nodurile sînt blocate, în toate acționează reacțiuni. Se deblochează un nod, care se situează în poziția de echilibru; operația poartă numele de relaxare. În această poziție el este fixat din nou și se trece la reglarea altui nod. Prin reglarea reazemului unui nod se modifică reacțiunile în cele patru noduri învecinate, astfel încît un nod care într-o anumită fază a operației era în echilibru și avea reacțiunea nulă se dezechilibrează prin relaxarea oricărui din nodurile adiacente. De aceea, trebuie să se revină de mai multe ori asupra fiecărui nod pînă se reușește să se găsească cu suficientă precizie poziția de echilibru.

Pentru a stabili modelul matematic al mecanismului de relaxare, să presupunem că începem relaxarea în nodul 0. Cota acestuia în momentul anulării reacțiunii  $V_0^0$  crește cu  $z_0^1$ . În acest caz, ecuația de echilibru (5.7) se scrie

$$ph^2 + S[z_1^0 + z_2^0 + z_3^0 + z_4^0 - 4(z_0^0 + z_0^1)] = 0 \text{ sau}$$

$$ph^2 + S(z_1^0 + z_2^0 + z_3^0 + z_4^0 - 4z_0^0) = 4Sz_0^1.$$

Din comparația acestei expresii cu (5.9) rezultă că valoarea corecției cotei  $z_0^0$  pentru echilibru este

$$z_0^1 = \frac{R_0^0}{4S}. \quad (5.10)$$

Creșterea cotei nodului are însă ca efect creșterea efortului din barele cu care este legat (datorită preluării de către bare și a părții din încărcare preluate anterior de reazem) cu cantitatea  $z_0^1 S$ ; aceasta are ca efect creșterea reacțiunilor inițiale  $V_i^0 = R_i^0$  ( $i = 1, 2, 3, 4$ ) în nodurile învecinate nodului 0 cu aceeași valoare  $z_0^1 S$ .

Procedeu de calcul este următorul: peste domeniul studiat se suprapune rețeaua de puncte echidistante; se determină valorile funcției studiate în punctele de pe contur; fiecărui punct din interiorul domeniului i se atribuie o valoare arbitrară a funcției care se înscrie; cu ajutorul expresiei (5.9) se determină pentru fiecare punct în parte și se înscrie în dreptul punctului valoarea restului  $R^0$ ; o dată acestea determinate, se trece la efectuarea operației de relaxare. Se alege nodul la care valoarea restului este cea mai mare; aceasta se anulează adăugând valorii inițiale a funcției în punctul respectiv o pătrime din rest; aceeași pătrime se adaugă resturilor nodurilor adiacente. Se trece în continuare la nodul la care valoarea restului este cea mai mare și se efectuează operația de relaxare.

În cazul când rețeaua este triunghiulară sau hexagonală (fig. 5.9), expresiile (5.7), (5.9) și (5.10) devin:

În cazul rețelei triunghiulare:

$$\frac{\sqrt{3}}{2} ph^2 + S(z_1 + z_2 + z_3 + z_4 + z_5 + z_6 - 6z_0) = 0 \quad (5.7 \text{ a})$$

$$R_0^0 = \frac{\sqrt{3}}{2} ph^2 + S(z_1 + z_2 + z_3 + z_4 + z_5 + z_6 - 6z_0) \quad (5.9 \text{ a})$$

$$z_0^1 = \frac{R_0^0}{6S} \quad (5.10 \text{ a})$$

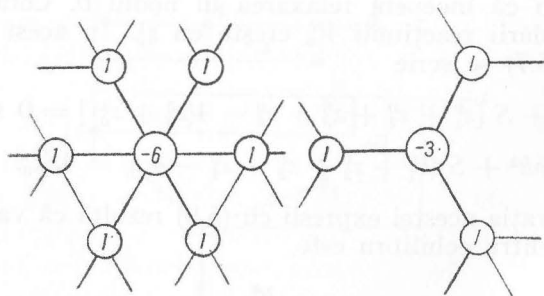


Fig. 5.9

În cazul rețelei hexagonale:

$$\frac{3\sqrt{3}}{4} ph^2 + S(z_1 + z_2 + z_3 - 3z_0) = 0 \quad (5.7 \text{ b})$$

$$R_0^0 = \frac{3\sqrt{3}}{4} ph^2 + S(z_1 + z_2 + z_3 - 3z_0) \quad (5.9 \text{ b})$$

$$z_0^1 = \frac{R_0^0}{3S} \quad (5.10 \text{ b})$$

Ca aplicație determinăm valorile funcției de tensiune a eforturilor tangențiale la bara dreaptă solicitată la încovoiere. Presupunem o secțiune dreptunghiulară având raportul între laturi 3/4. Funcția de tensiune  $\Phi$  verifică ecuația lui Laplace [deci în expresiile (5.7), (5.9)  $p = 0$ ], iar pe contur are valorile date de relația (4.35).

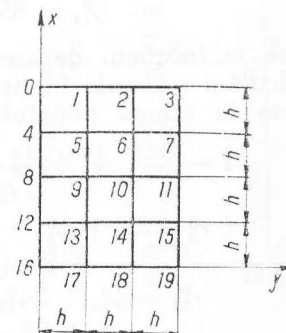
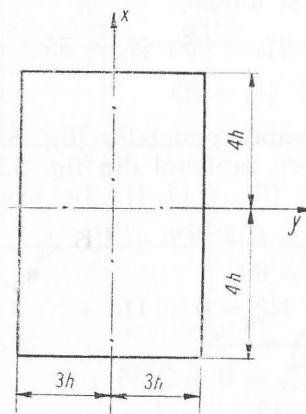
$$\Phi = \frac{P}{I} \left[ \int \frac{x^2}{2} dy - \frac{\nu}{2(1+\nu)} \frac{y^3}{3} \right].$$

Pentru simplificare împărțim funcția cu o constantă

$$\psi = \frac{I}{P} \frac{\Phi}{h^3}$$

în care  $h$  este latura unui ochi al rețelei suprapuse domeniului (fig. 5.10). Admițând pentru  $\nu$  valoarea 0,3 funcția  $\psi$  pe contur are valoarea:

$$(\psi)_c = \frac{1}{h^3} \left[ \int \frac{x^2}{2} dy - 0,0384 y^3 \right]. \quad (5.11)$$





Funcția pe contur este simetrică față de axa  $Oy$  și antisimetrică față de axa  $Ox$ . În acest caz studiul poate fi redus la un sfert din secțiune: de-a lungul axei  $Ox$  funcția va avea valoarea 0, iar pentru punctele de pe axa  $Oy$  se va ține seama că ea este axă de simetrie pentru funcție.

Valorile pe contur ale funcției  $\psi$  calculate conform expresiei (5.11) vor fi:

$$\begin{aligned} \text{în punctele de pe axa } Ox \text{ (punctele } 0, 4, 8, 12, 16) \quad & \psi = 0; \\ \text{în punctul } 1 \quad & \psi = 8,0000 - 0,0384 = 7,9616 \approx 7,96; \\ \text{în punctul } 2 \quad & \psi = 16,0000 - 0,0384 \cdot 8 = 15,6928 \approx 15,69; \\ \text{în punctele } 3, 7, 15, 19 \quad & \psi = 24,0000 - 0,0384 \cdot 27 = 22,9232 \approx 22,92. \end{aligned}$$

Pentru calcule reducem valorile folosind o funcție liniară care verifică ecuația lui Laplace:

$$F = \frac{22,92}{3h} y = 7,64 \frac{y}{h}.$$

Noua funcție  $\psi' = \psi - F$  va avea pe contur valorile:

$$\begin{aligned} \text{în punctele de pe axa } Ox \quad & \psi' = 0; \\ \text{în punctul } 1 \quad & \psi' = 0,32; \\ \text{în punctul } 2 \quad & \psi' = 0,42; \\ \text{în punctele } 3, 7, 15, 19 \quad & \psi' = 0. \end{aligned}$$

Aceste valori se înscriu (înmulțite cu  $10^3$ ) în dreapta punctelor (fig. 5.11, a) și vor rămâne valori fixe; punctelor din interiorul domeniului le atribuim valori arbitrare  $\psi_i^0$ , și anume:

$$\begin{aligned} \psi_5^0 = 115; \psi_6^0 = 135; \psi_9^0 = 65; \psi_{10}^0 = 85; \psi_{13}^0 = 55; \\ \psi_{14}^0 = 65; \psi_{17}^0 = 45; \psi_{18}^0 = 55 \end{aligned}$$

pe care le înscriem de asemenea în dreapta punctelor (fig. 5.11, a).

Calculăm resturile în fiecare punct cu șablonul din fig. 5.3 și le înscriem în stînga punctului respectiv (fig. 5.11, b). De exemplu:

$$\begin{aligned} r_5^0 &= \psi_4^0 + \psi_1^0 + \psi_6^0 + \psi_9^0 - 4\psi_5^0 = 0 + 320 + 135 + \\ &\quad + 65 - 4 \cdot 115 = 60; \\ r_9^0 &= \psi_8^0 + \psi_5^0 + \psi_{10}^0 + \psi_{13}^0 - 4\psi_9^0 = 0 + 115 + \\ &\quad + 85 + 55 - 4 \cdot 65 = -5; \\ r_{17}^0 &= \psi_{16}^0 + 2\psi_{13}^0 + \psi_{18}^0 - 4\psi_{17}^0 = 0 + 2 \cdot 55 + \\ &\quad + 55 - 4 \cdot 45 = -15 \end{aligned}$$

și așa mai departe.

Restul cel mai mare se găsește la nodul 6 și anume:  $r_6^0 = 80$ . Pentru relaxarea acestui nod este necesară o creștere a funcției cu valoarea  $\psi_6^0 = r_6^0 : 4 = 20$ ; dăm o creștere mai mare, și anume  $\psi_6^0 = 25$ ; în acest caz restul va deveni  $r_6^0 = 80 - 4 \cdot 25 = -20$ ; barăm restul 80, scriem deasupra  $-20$  și deasupra valorii  $\psi_6^0 = 135$  scriem 25; adăugăm resturilor din nodurile 5 și 10 câte 25 integrînd vechile valori; ele vor deveni  $r_5^0 = 85$ ;  $r_{10}^0 = -50$ . Nodurile 2 și 7 care au valori fixe nu sînt influențate (fig. 5.11, c).

Nodul cu restul cel mai mare este acum nodul 5; dăm o creștere funcției  $\psi_5^0 = 21$ ; o scriem în dreapta nodului deasupra valorii  $\psi_5^0 =$

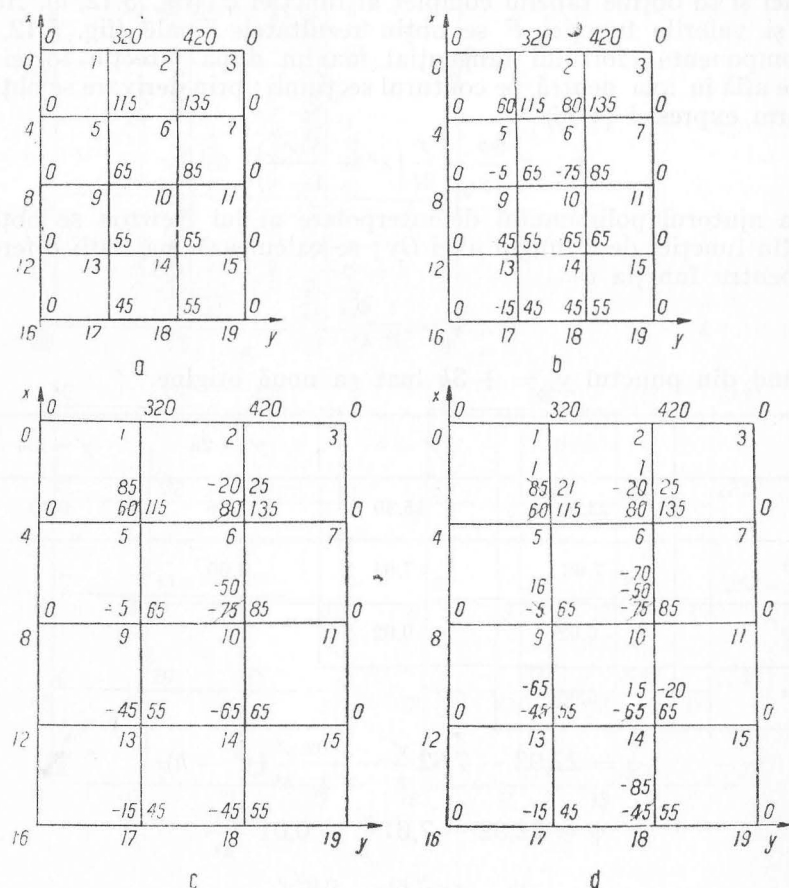


Fig. 5.11

= 115 (fig. 5.11, d) și corectăm restul care devine  $85 - 4 \cdot 21 = 1$ ; corectăm adăugînd 21 resturilor din nodurile 6 și 9. Restul cel mai mare se găsește acum la nodul 14. Creștem valoarea funcției cu  $-20$ ; corectăm restul care devine  $-65 - 4(-20) = 15$ ; corectăm resturile în nodurile 13 și 10 adăugînd  $-20$  și în nodul 18 adăugînd  $2(-20) = -40$ . (Din motive de simetrie facem concomitent și relaxarea nodului simetric nodului 14; în consecință, restul din nodul 18 va fi modificat cu aceeași cantitate din ambele părți.)

După efectuarea tuturor operațiilor de relaxare tabelul se prezintă ca în fig. 5.12, a. În fiecare nod se face suma algebrică a valorilor funcției și se obține tabelul complet al funcției  $\psi'$  (fig. 5.12, b). Adunînd și valorile funcției  $F$  se obțin rezultatele finale (fig. 5.12, c).

Componenta efortului tangențial maxim după direcția forței  $P$  ( $\tau_{zx}$ ) se află în axa neutră pe conturul secțiunii; prin derivare se obține conform expresiei (4.36)

$$\tau_{zx} = \frac{\partial \Phi}{\partial y} - \frac{P}{2I} \left( x^2 - \frac{vy^2}{1+\nu} \right).$$

Cu ajutorul polinomului de interpolare al lui Newton se obține variația funcției de-a lungul axei  $Oy$ ; se calculează mai întîi diferențele pentru funcția  $\psi$

$$\psi = \frac{I}{P} \frac{\Phi}{h^3}$$

începînd din punctul  $y' = +3h$  luat ca nouă origine.

	$y' = 0$	$y' = h$	$y' = 2h$	$y' = 3h$
$\psi$	22,92	15,30	7,66	0,00
$\Delta^1$	-7,62	-7,64	-7,66	
$\Delta^2$	-0,02	-0,02		
$\Delta^3$	0,00			

$$\psi = 22,92 - 7,62 \frac{y'}{h} - \frac{0,02}{2} \frac{y'}{h^2} (y' - h)$$

$$\psi = 22,92 - 7,61 \frac{y'}{h} - 0,01 \frac{(y')^2}{h^2}$$

$$\frac{\partial \psi}{\partial y'} = -\frac{7,61}{h} - \frac{0,02y'}{h^2}$$

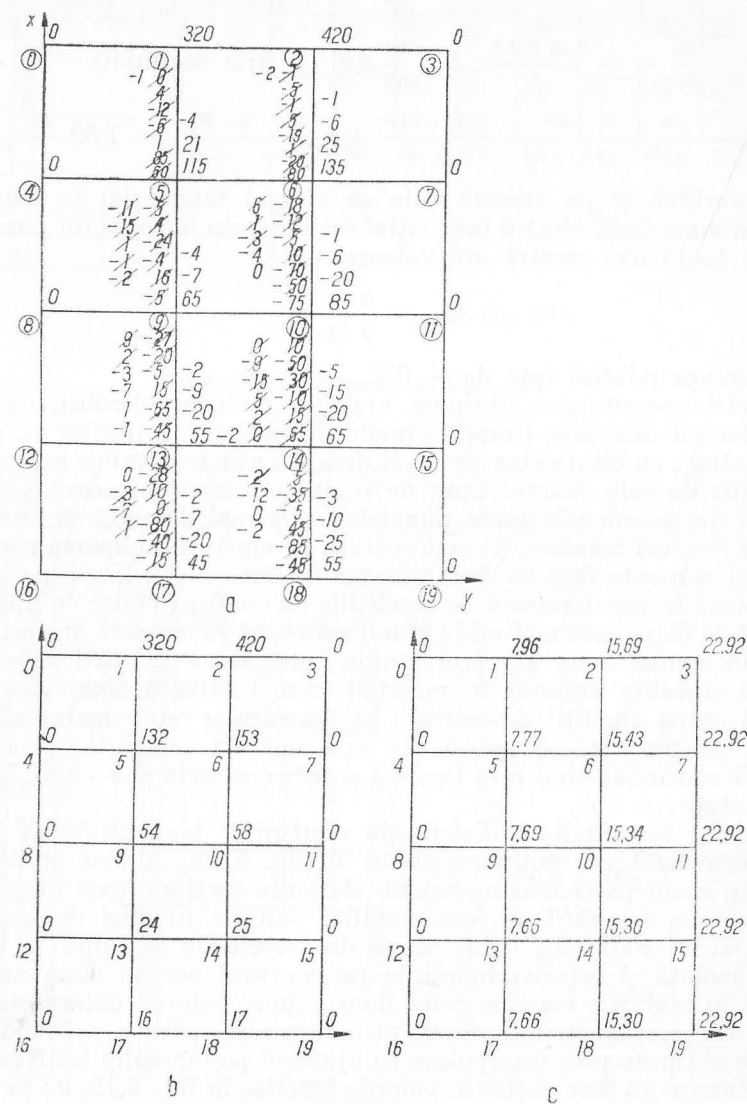


Fig. 5.12

$$y' = 0; \frac{\partial \psi}{\partial y'} = -\frac{7,61}{h}$$

$$\frac{\partial \Phi}{\partial y'} = +\frac{7,61 Ph^2}{I}; I = \frac{64}{12} Ah^2 \quad (A \text{ aria secțiunii})$$

$$\tau_{zx} = \frac{\partial \Phi}{\partial y} + \frac{P}{2I} \frac{vy^2}{1+\nu} = \frac{7,61 \cdot 12P}{64A} + \frac{0,3 \cdot 9 \cdot P}{2 \cdot 64A(1+0,3)} = 1,59 \frac{P}{A}$$

Se verifică și pe această cale că efortul tangențial la margine este mai mare decât efortul tangențial stabilit prin formula lui Juravski care pe toată axa neutră are valoarea:

$$\tau_{max} = \frac{3}{2} \frac{P}{A}$$

Diferența reieșită este de +6%.

Precizia rezultatelor obținute aplicând metoda relaxării, ca și a ecuațiilor cu diferențe finite, depinde de desimea nodurilor în sistemul studiat: cu cât acestea sînt mai dese, cu atît rezultatele se apropie mai mult de cele exacte. Cum de multe ori nu interesează valorile funcției de tensiune în toate punctele ci în mod deosebit în anumite zone de eforturi maxime, de concentrații de eforturi, aplicarea metodei relaxării se poate face în două sau mai multe etape: în prima etapă se studiază întreg domeniul cu condițiile de contur impuse cu ajutorul unei rețele de puncte mai rare; în a doua etapă se izolează din întregul domeniu numai zona al cărui studiu interesează în mod deosebit; valorile stabilite anterior în punctele care limitează zona, devin în această etapă condiții de contur; se trasează o rețea mai deasă de puncte pentru care se aplică din nou metoda relaxării; procedeul poate fi continuat cînd este necesar și într-o a treia sau chiar în mai multe etape.

Astfel a fost studiată distribuția eforturilor tangențiale  $\tau_{zx}$  într-o bară încovoiată cu secțiunea dublu T (fig. 5.13). A fost studiat la fel ca în cazul precedent numai un sfert din secțiune (cea hașurată). Prin metoda relaxării au fost stabilite valorile funcției de tensiune pentru acest sfert (fig. 5.14). Zona de trecere de la talpă la inimă a fost izolată și rețeaua îndesită; pe conturul acestei zone au fost impuse în nodurile comune celor două rețele, valorile determinate în prima relaxare, iar în nodurile de pe contur nou apărute, prin îndesire, valorile obținute prin interpolare cu ajutorul polinomului lui Newton; prin relaxare au fost obținute valorile înscrise în fig. 5.15, a; pe baza rezultatelor obținute, s-au trasat liniile de nivel pentru funcția de

\* S-a schimbat semnul  $y'$  fiind orientat în sens invers lui  $y$ .

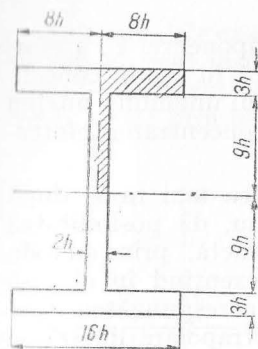


Fig. 5.13

0	72	144	215	286	355	424	491	556
0	105	189	259	323	384	443	500	556
0	161	248	311	366	416	464	510	556
0	293	333	373	412	450	487	522	556
0	293							
0	293							

Fig. 5.14

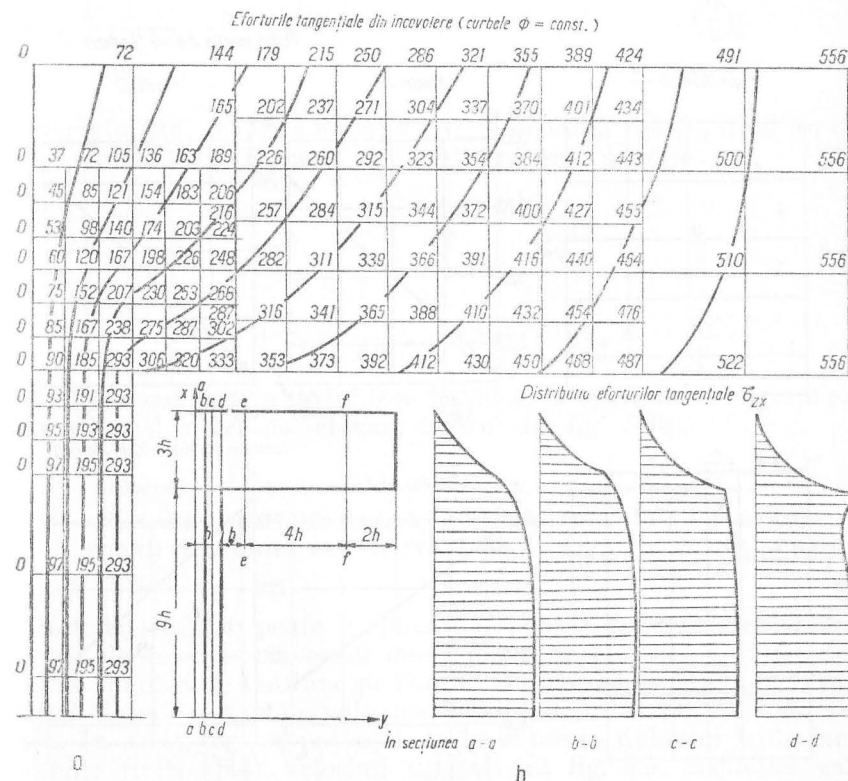


Fig. 5.15

tensiune și în secțiunile indicate și distribuția componentei  $\tau_{xx}$  a efortului unitar tangențial (planșa 5.15, b). Se remarcă în figură concentrarea liniilor de nivel a funcției de tensiune în jurul unghiului intrînd format de talpă cu inima, scoțînd în evidență concentrarea eforturilor.

Rezolvarea problemei în două etape pe o rețea mai rară, după aceea pe o rețea îndesită pentru întregul domeniu, dă posibilitatea găsirii soluției celei mai apropiate de soluția exactă, prin metoda extrapolării propuse de L. F. Richardson. Reprezentînd în abscisă suprafața ochiului rețelei și în ordonate valorile corespunzătoare ale funcției stabilite într-un punct (fig. 5.16) prin extrapolare liniară se determină valoarea funcției pentru o rețea cu un număr infinit de ochiuri.

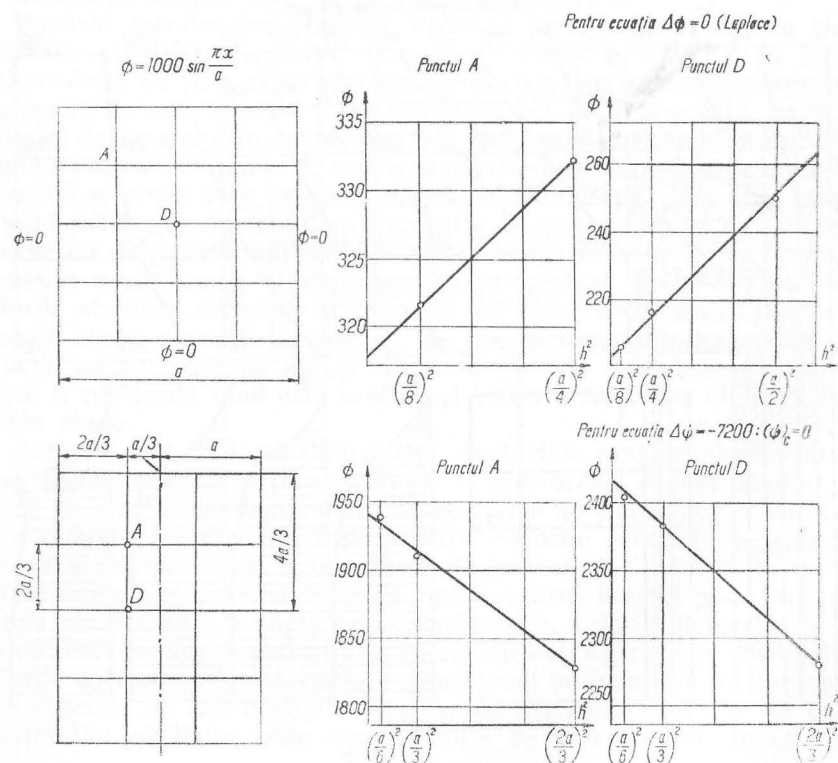


Fig. 5.16

În exemplele examinate, punctele de pe contur au coincis cu puncte ale rețelei; sînt însă cazuri cînd acest lucru nu este totdeauna posibil, mai ales în cazul contururilor curbe. Astfel, unele puncte ale rețelei vor fi legate prin bare mai scurte de barele de pe contur. Presupunem

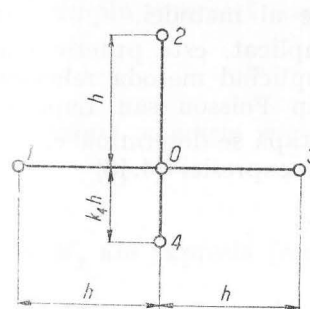


Fig. 5.17

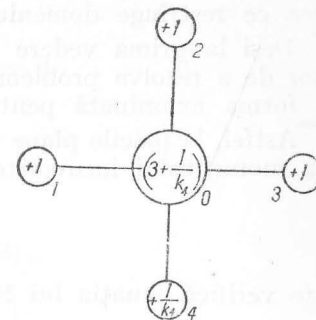


Fig. 5.18

de exemplu (fig. 5.17) că nodul 4 este la distanța  $k_4 h$  ( $k_4$  fiind un coeficient subunitar). Ecuația de echilibru se va scrie:

$$\frac{z_0 - z_1}{h} + \frac{z_0 - z_2}{h} + \frac{z_0 - z_3}{h} + \frac{z_0 - z_4}{k_4 h} = \frac{ph}{S}$$

sau

$$z_1 + z_2 + z_3 + \frac{1}{k_4} z_4 - \left(3 + \frac{1}{k_4}\right) z_0 = -\frac{ph^2}{S}$$

În acest caz pentru nodul 0 se va folosi în operația de determinare a resturilor și în cea de relaxare tiparul din fig. 5.18.

### 5.3. APLICAREA METODEI RELAXĂRII LA REZOLVAREA PROBLEMEI PLANE A TEORIEI ELASTICITĂȚII ȘI A PLĂCILOR PLANE SUBȚIRI

Metoda relaxării poate fi aplicată și pentru determinarea valorilor funcției de tensiune în cazul stării plane de eforturi pornind de la valorile funcției de tensiune pe contur sau ale deformației plăcii plane subțiri ținînd seama de valoarea încărcării și de condițiile de reze-mare. În acest caz, se pornește de la expresia dublului laplacian în diferențe finite (5.4), folosind tiparul din fig. 5.5. Asumînd valori arbitrare pentru funcția de tensiune, respectiv săgețile plăcii, în



nodurile unei rețele se determină resturile după care se trece la operația de relaxare succesivă a nodurilor. Dificultatea constă în faptul că atât în calculul resturilor, cât și în relaxare trebuie avute în vedere valorile din 13 noduri afectate de 4 coeficienți diferiți; operația în loc să se facă aproape mecanic, cere o mare concentrare a atenției, ceea ce restrânge domeniul de aplicabilitate al metodei.

Deși la prima vedere ar părea mai complicat, este practic mai ușor de a rezolva problema în două etape aplicând metoda relaxării în forma examinată pentru ecuațiile de tip Poisson sau Laplace.

Astfel, la plăcile plane subțiri, în prima etapă se determină valoarea momentului încovoietor definit conform expresiei (4.48)

$$M = \frac{M_x + M_y}{1 + \nu}$$

care verifică ecuația lui Poisson

$$\Delta M = -p$$

iar în etapa a doua se determină săgețile  $w$  care satisfac ecuația de asemenea de tip Poisson

$$\Delta w = -\frac{M}{D}$$

Ca aplicație vom examina cazul plăcii dreptunghiulare simplu rezemate pe contur, solicitată la încovoiere sub acțiunea unei forțe concentrate transversale acționând în mijlocul plăcii (fig. 5.19).

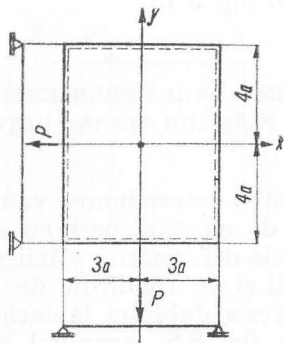


Fig. 5.19

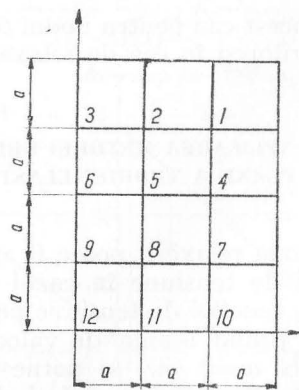


Fig. 5.20

Simetria permite să fie studiat un sfert din placă.

În acest sfert de placă se stabilește rețeaua de puncte la distanța  $a$  (fig. 5.20). În punctul 12 (mijlocul plăcii) acționează forța  $P$ . Pe contur placa este simplu rezemată  $M = 0$ . Această condiție poate fi dedusă ușor luând pentru concretizare latura  $y = 4a$ . Această latura fiind simplu rezemată, condițiile sînt:

$$w = 0; \quad \frac{\partial w}{\partial x} = 0 \text{ și } M_y = 0.$$

Din prima condiție rezultă

$$\frac{\partial^2 w}{\partial x^2} = 0.$$

Însă  $M_y$  are expresia [conform relației (4.42)].

$$M_y = -D \left( \frac{\partial^2 w}{\partial y^2} + \nu \frac{\partial^2 w}{\partial x^2} \right),$$

rezultă că și  $\frac{\partial^2 w}{\partial y^2} = 0$ , deci atât  $M_x$  cât și  $M_y$  sînt nule; în concluzie  $M = 0$ .

Rezultatele calculelor de relaxare din prima etapă sînt reproduse în fig. 5.21, a. Toate nodurile de pe contur au valoarea  $M = 0$ . În toate nodurile, în calculul resturilor s-a ținut seama că termenul  $ph^2$

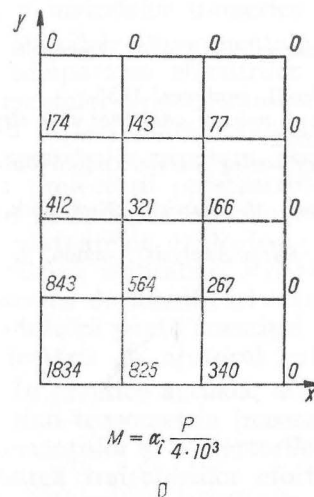
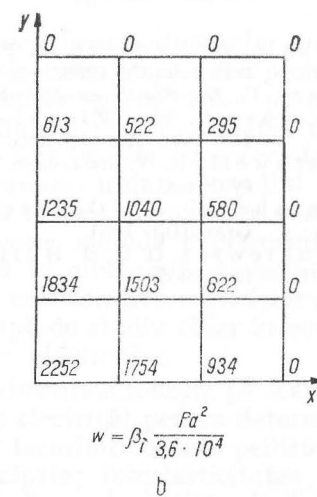


Fig. 5.21



este nul [v. relația (5.9)] cu excepția nodului 12, în care pentru  $ph^2 = P$  s-a luat valoarea 4 000.

În a doua etapă (fig. 5.21, b), calculul de relaxare în noduri s-a făcut ținând seama de faptul că pe contur săgeata este nulă ( $w = 0$ ), iar în nodurile din interior valoarea momentului  $M$  variază. Calculul resturilor în fiecare nod s-a făcut introducând în formula de calcul (5.9) valoarea locală a momentului  $M$  stabilită la prima relaxare. Astfel, de exemplu, în nodul 5 restul este:

$$R_5 = w_4 + w_2 + w_6 + w_8 - 4w_5 + \frac{M_5}{D} a^2$$

sau cu valorile numerice din fig. 5.21, b

$$R_5 = 580 + 522 + 1\,235 + 1\,503 + 321 - 4 \cdot 1\,040 = 1.$$

Notînd cu  $\alpha_i$  coeficienții obținuți în prima relaxare și cu  $\beta_i$  pe cei obținuți în a doua, rezultatele vor fi:

$$M_i = \frac{\alpha_i}{4 \cdot 10^3} P; \quad w_i = \frac{\beta_i}{3,6 \cdot 10^4} \frac{Pa^2}{D}.$$

#### BIBLIOGRAFIE

1. Beleş, A. A. și Voinea, R. P. *Rezistența materialelor*. Vol. II, București, Editura tehnică, 1958.
2. Beyer, K. *Die Statik im Eisenbetonbau*. Berlin, I. Springer, 1933.
3. Gerstner, R. W. și Zienkiewicz, O. C. *A note on anchorage zone stresses*. În: *Proc. Am Concrete Inst.*, July, 1962.
4. Southwell, R. V. *Relaxation Methods in Engineering Science*. Oxford University Press, 1951.
5. Timoshenko, S. și Goodier, J. N. *Theory of Elasticity*. New York, Mc. Graw-Hill, 1951.
6. Zienkiewicz, O. C. și Holister, G. S. *Stress Analysis*. London, J. Wiley, 1965.

#### DETERMINAREA EXPERIMENTALĂ A EFORTURILOR ȘI A DEFORMAȚILOR

Paralel cu metodele și procedeele de calcul, o dezvoltare și o perfecționare continuă cunosc metodele experimentale pentru determinarea eforturilor și deformațiilor în construcții sau în elementele de construcție. Metodele experimentale își dovedesc din plin utilitatea în special la rezolvarea problemelor la care prin calcul nu s-ar putea obține soluții mulțumitoare din diferite cauze: a depășirii domeniului de valabilitate a ipotezelor simplificatoare din rezistența materialelor, a simplificărilor mari introduse în schema de calcul, lipsa unor soluții exacte, a necesității unui mare volum de muncă pentru aplicarea metodelor numerice etc.

Metodele experimentale privesc fie verificarea ipotezelor de calcul — compararea eforturilor reale cu cele calculate — fie proiectarea elementelor prin determinarea deformațiilor și eforturilor pe modele. Prin perfecționarea tehnicii experimentale și prin simplitatea relativă a instalațiilor necesare, aceste metode sînt folosite cu succes în practica proiectării construcțiilor și a mașinilor. Chiar în stadiul actual, cînd se tinde la introducerea pe scară tot mai largă în proiectare a calculatoarelor analogice și cifrice, aceste metode experimentale își păstrează utilitatea. Relativa ușurință în alcătuirea modelelor și în aducerea de modificări formei lor face ca utilizarea metodelor experimentale să poată constitui o primă etapă de studiu chiar în condițiile proiectării cu ajutorul calculatoarelor electronice.

În practica actuală, metodele experimentale folosite pe scară largă cuprind tensometria (mecanică, optică, electrică) pentru determinarea deformațiilor și a eforturilor; folosirea lacurilor casante pentru determinarea traiectoriilor eforturilor principale; fotoelasticitatea pentru determinarea eforturilor în cazul stării plane și spațiale de tensiuni; cromoplasticitatea pentru studiul comportării structurilor în dome-

niul elasto-plastic și al stării plane de eforturi în domeniul elasto-plastic; metoda moiré-urilor pentru studiul stării plane de eforturi și al plăcilor; analogiile fizice și electrice pentru studiul stării plane de eforturi, al torsiunii barelor și al plăcilor etc.

În cele ce urmează nu vor fi tratate problemele tensometriei și ale lacurilor casante\*; vor fi tratate foarte succint problemele fundamentale ale fotoelasticității în cazul stării plane de eforturi în domeniul elastic, ele fiind tratate în prezent în toate tratatele de rezistență a materialelor. În ce privește metoda cromoplasticității, elaborată în urma cercetărilor efectuate în țara noastră, ea este tratată în lucrarea „Cromoplasticitatea” de Acad. Șt. Bălan, S. Răutu, V. Petcu.\*\*

### 6.1. FOTOELASTICITATEA. PRINCIPII ȘI METODĂ

Metoda de studiu a stării de eforturi prin fotoelasticitate se bazează pe proprietatea materialelor transparente și izotrope de a deveni birefringente când sînt supuse unei stări de eforturi. Presupunem o placă solicitată de un sistem de forțe în echilibru în planul său (fig. 6.1); prin fiecare punct trec direcțiile eforturilor principale  $\sigma_1$  și  $\sigma_2$ . O rază de lumină polarizată (cu ajutorul unui nicol denumit polarizor), vibrînd într-un plan, care trece prin punct, se descompune în două raze ale căror plane de vibrație cuprind direcțiile eforturilor principale  $\sigma_1$  și  $\sigma_2$ . Vitezele de parcurgere a plăcii de cele două raze sînt diferite și proporționale cu eforturile principale  $\sigma_1$  și  $\sigma_2$ . Drumurile optice sînt diferite pentru cele două raze, diferența de drum fiind:

$$\delta = C_\lambda \cdot t(\sigma_1 - \sigma_2) = (n_1 - n_2)t \quad (6.1)$$

unde  $C_\lambda$  este o constantă a cărei valoare depinde de proprietățile optice ale materialului și de lungimea de undă a luminii folosite,  $t$  este grosimea plăcii, iar  $n_1$  și  $n_2$  indicii de refracție ai materialului pentru lumina polarizată liniar în direcția  $\sigma_1$  respectiv  $\sigma_2$ .

Dacă cele două raze de lumină trec printr-un nou nicol (denumit analizor), vibrația lor este readusă în același plan; diferența drumului optic după parcurgerea plăcii face ca cele două raze să se găsească

\* Două lucrări de curînd apărute în limba română tratează dezvoltat aceste probleme dînd atît bazele teoretice, cît și indicațiile necesare practicii: „Tensometria electrică rezistivă” de Gh. Buzdugan și M. Blumenfeld, București, Editura tehnică, 1966, și „Determinarea experimentală a eforturilor unitare” de D. R. Mocanu, M. Buga și C. Georgescu, București, Editura transporturilor și telecomunicațiilor, 1966.

\*\* Editura Academiei R.S.R., 1963.

în diferență de fază, ceea ce are ca efect apariția fenomenului de interferență.

Pe acest principiu sînt construite bancurile de fotoelasticitate (fig. 6.2). Studiul se face asupra unui model de material transparent care reproduce la scară, atît ca geometrie, cît și ca forțe, elementul studiat. Examinarea modelului se face între doi nicoli încrucișați (polarizorul și analizorul), care constituie un *polariscop*. Planele de polarizare a luminii, ale polarizorului și analizorului, perpendiculare unul pe altul, formează *secțiunile principale ale polariscopului*. Pentru studiu se folosește atît lumina albă, cît și cea monocromatică.

Pentru toate punctele ale căror direcții principale sînt cuprinse în secțiunile principale ale polariscopului, pe ecranul aparatului apar puncte neluminate formînd benzi întunecate denumite linii *izocline*. Dacă planul polariscopului este vertical, izoclina corespunzătoare (denumită izoclina de  $0^\circ$ ) reprezintă locul punctelor care au direcțiile eforturilor principale, verticala și orizontala prin punct (fig. 6.3).

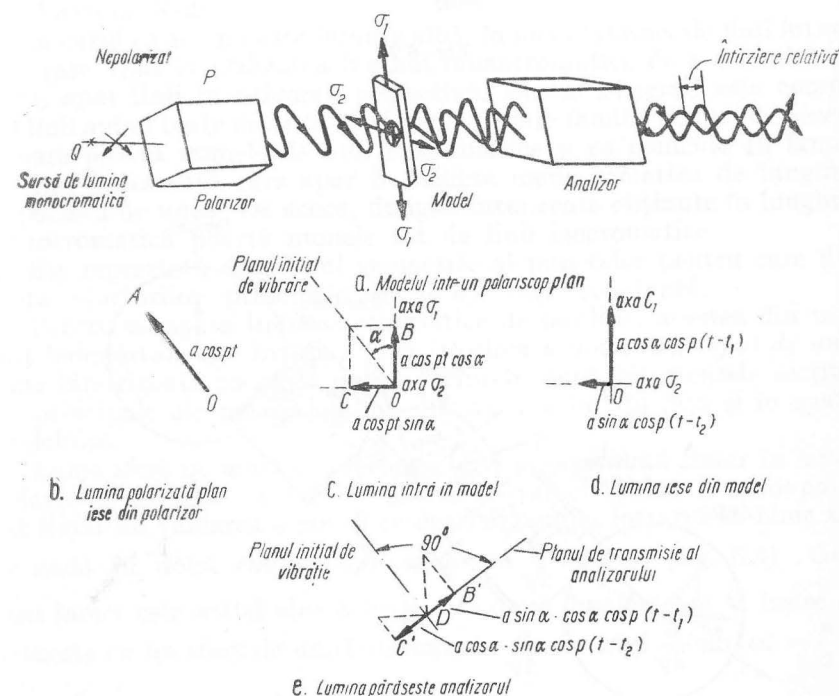


Fig. 6.1

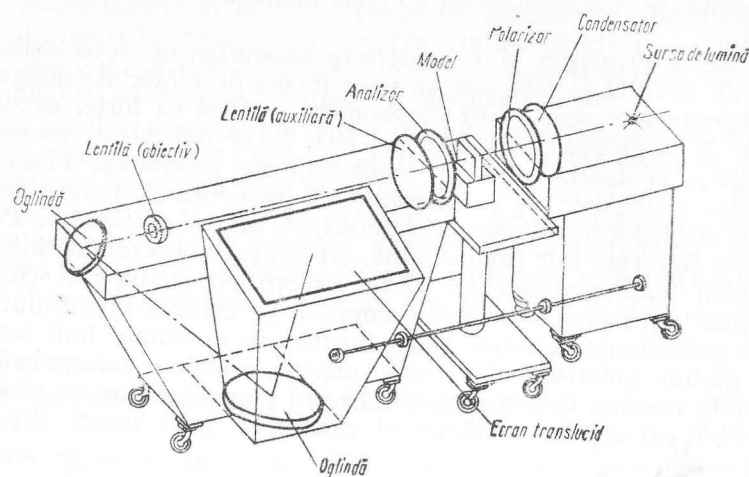


Fig. 6.2

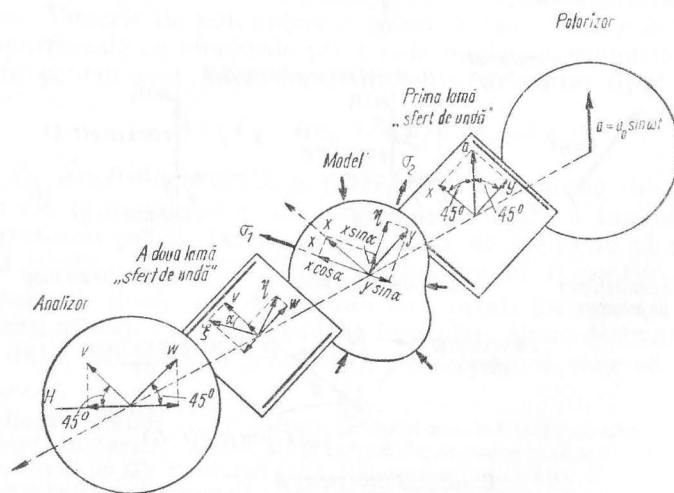


Fig. 6.3

Dacă polariscopul se rotește cu un unghi  $\alpha$  se obțin alte izocline reprezentând locul punctelor ale căror direcții principale sînt înclinate cu unghiul  $\alpha$  față de verticală și  $\frac{\pi}{2} - \alpha$  față de orizontală; izoclina este denumită *izoclina de unghi*  $\alpha$ . Izoclinele reprezintă deci locul geometric al punctelor avînd aceleași direcții principale; ele intersectează liniile izostatice (traectoriile eforturilor principale) în puncte avînd înclinarea tangentei la izostatica constantă.

În lumina monocromatică, pe lîngă izocline se obține încă o familie de linii întunecate pentru punctele în care

$$\sigma_1 - \sigma_2 = \frac{2n\pi}{C_\lambda t} \quad (6.2)$$

în care  $n$  are valori întregi ( $n = 1, 2, \dots$ ) și puncte singulare pentru  $n = 0$ . Pornind de la punctul singular, liniile întunecate, în ordinea în care se succed, sînt numerotate; numărul acordat liniei poartă numele de ordinul liniei și el coincide cu valoarea respectivă a lui  $n$  din formula (6.2).

În cazul că se folosește lumina albă, în locul familiei de linii întunecate care apar la utilizarea luminii monocromatice de o anumită culoare, apar linii în culoarea respectivă. Restul imaginii este compus din linii avînd toate culorile spectrului: fiecare familie de linii de aceeași culoare poartă numele de linii izocromatice și ea coincide cu familia de linii întunecată care apar în lumina monocromatică de lungimea respectivă de undă. De aceea, dungile întunecate obținute în lungimea monocromatică poartă numele tot de linii izocromatice.

Ele reprezintă deci locul geometric al punctelor pentru care diferența eforturilor principale ( $\sigma_2 - \sigma_1$ ) este constantă.

Pentru a separa liniile izocromatice de izocline, acestea din urmă sînt îndepărtate din imagine prin folosirea a două *lame sfert de undă*, lame birefringente cu axele optice înclinate după bisectoarele secțiunilor principale ale polariscopului, dispuse imediat în fața și în spatele modelului.

Lama sfert de undă convertește lumina polarizată liniar în lumină polarizată circular. Vectorul intensitate al cîmpului luminos polarizat liniar de valoarea  $a \sin \omega t$  se descompune la intrarea în lame sfert de undă în două componente egale cu  $\frac{a}{\sqrt{2}} \sin \omega t$  (fig. 6.4). Grosimea lamei este astfel aleasă încît cele două componente la ieșire sînt defazate cu un sfert de undă devenind:  $\frac{a}{\sqrt{2}} \sin \omega t$  și  $\frac{a}{\sqrt{2}} \sin \left( \omega t - \frac{\pi}{2} \right) = -\frac{a}{\sqrt{2}} \cos \omega t$ .



Extremitatea vectorului rezultat descrie cu viteza unghiulară  $\omega$  un cerc de rază  $\frac{a}{\sqrt{2}}$ . A doua lamă sfert de undă, situată între model și analizor, dar rotită cu unghiul  $\frac{\pi}{2}$  față de prima, readuce vibrația

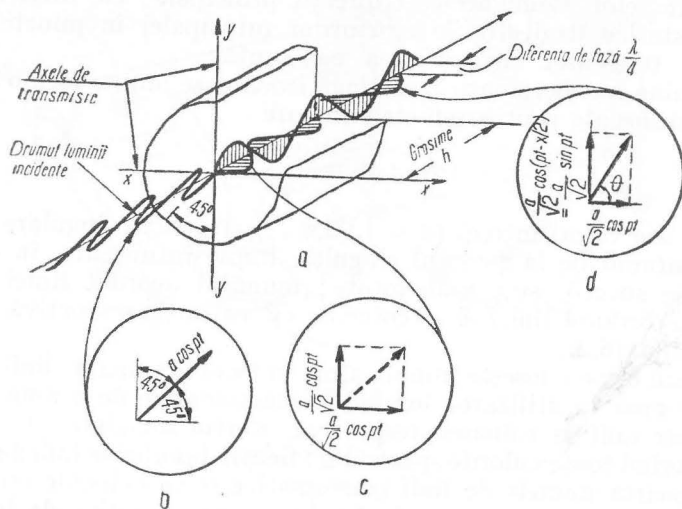


Fig. 6.4

luminoasă în planul inițial al polarizorului; ca urmare, este anulată de analizor a cărui axă optică este perpendiculară pe cel al polarizorului.

În practica metodei se folosesc, pentru același scop, modele din materiale diferite, ca de exemplu pentru determinarea izoclinelor plexiglasul, iar pentru determinarea izocromatelor aralditul, juralitul etc. Mărimea diferenței eforturilor unitare principale ( $\sigma_1 - \sigma_2$ ), corespunzătoare fiecărei linii izocromatice, se determină cu ajutorul unei bare etalon supuse în câmpul polariscopului unei stări de eforturi unitare precis determinate prin calcul (de obicei la încovoiere pură). În acest fel se determină constanta fotoelastică a materialului,  $f$ , care reprezintă valoric diferența eforturilor principale pentru linia izocromatică de ordinul 1 pentru o placă de grosime unitară. Pentru izocromata de ordinul  $n$ , într-o placă de grosime  $t$  diferența este:

$$\sigma_1 - \sigma_2 = \frac{nf}{t} \quad (6.3)$$

Pentru îmbunătățirea imaginilor obținute se folosesc unele dispozitive speciale. Astfel, în dispozitivul denumit polariscop de reflexie (fig. 6.5), prin plasarea unei oglinzi în spatele modelului, drumul parcurs de raza de lumină prin model se dublează, ceea ce are ca efect dublarea numărului de izocromate.

Prin dispunerea modelului între oglinzi parțiale dispuse paralel, se obține o accentuare a liniilor izocromatice, iar prin înclinarea lor cu un unghi mic, se realizează o multiplicare a numărului de linii, obținându-se numeroase izocromate intermediare.

Cunoscând pentru domeniul studiat liniile izocline și izocromatice, precum și încărcările pe contur, eforturile unitare în interiorul domeniului pot fi determinate prin metode analitice, grafice sau cu ajutorul unor procedee experimentale.

Dintre numeroasele metode analitice și grafice amintim metoda grafo-analitică a eforturilor unitare tangențiale. Pentru determinarea eforturilor unitare într-o secțiune aleasă, se pornește de la punctele de pe contur unde eforturile unitare sînt cunoscute; în orice punct din interiorul domeniului pot fi determinate eforturile unitare tangențiale pe direcțiile secțiunilor principale ale polariscopului din relația generală:

$$\tau = \frac{\sigma_1 - \sigma_2}{2} \sin 2\alpha$$

în care  $(\sigma_1 - \sigma_2)$  este dat de ordinul liniei izocromate, iar  $\alpha$  de linia izoclină care trece prin punctul respectiv.

Pentru un element dreptunghiular foarte mic  $\Delta x \Delta y$ , avînd laturile paralele cu secțiunile principale ale polariscopului (fig. 6.6) variația  $\Delta \sigma_x$  a efortului unitar  $\sigma_x$  rezultă din relația de echilibru pe orizontală:

$$\Delta \sigma_x = -(\tau' - \tau'') \frac{\Delta x}{\Delta y} \quad (6.4)$$

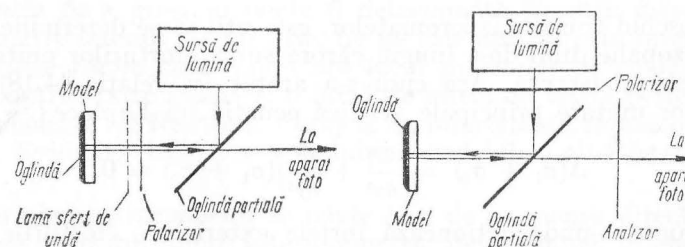


Fig. 6.5

Se pornește de la un punct pe contur notat cu  $O$  unde  $\sigma_x = \sigma_{x_0}$ ; împărțind în lung secțiunea studiată în dreptunghiuri egale (fig. 6.7) se obține într-un punct oarecare:

$$\sigma_x = \sigma_{x_0} - \sum (\tau' - \tau'') \frac{\Delta x}{\Delta y} \quad (6.5)$$

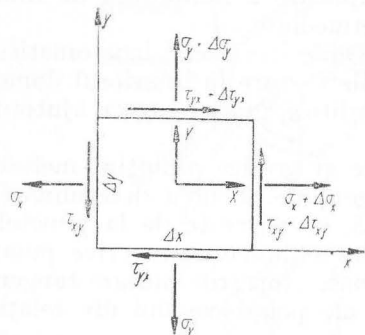


Fig. 6.6

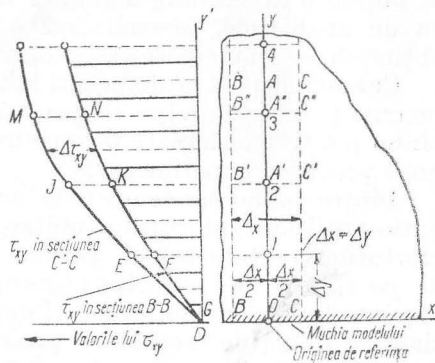


Fig. 6.7

în care  $\tau'$  și  $\tau''$  se determină interpolând grafic atât valoarea unghiului  $\alpha$ , cât și ordinul izocromaticii pentru liniile  $A'B'$  și  $A''B''$ .

În continuare se determină

$$\sigma_y = \sigma_x \pm \sqrt{(\sigma_1 - \sigma_2)^2 - 4\tau_{xy}^2} \quad (6.6)$$

unde  $\tau_{xy}$  este media valorilor  $\tau'$  și  $\tau''$ .

Cu aceste valori se pot determina eforturile principale

$$\sigma_1, \sigma_2 = \frac{\sigma_x + \sigma_y}{2} \pm \frac{\sigma_1 - \sigma_2}{2} \quad (6.7)$$

Cunoscând traseele izocromatelor, este util să se determine traseele liniilor izopahe, linii de-a lungul cărora suma eforturilor unitare principale este constantă. Așa cum s-a arătat [v. relația (4.18)], suma eforturilor unitare principale verifică ecuația lui Laplace:

$$\Delta(\sigma_1 + \sigma_2) = \left( \frac{\partial^2}{\partial x^2} + \frac{\partial^2}{\partial y^2} \right) (\sigma_1 + \sigma_2) = 0.$$

Pe contur, unde acționează forțele exterioare, eforturile unitare principale pot fi ușor determinate cunoscându-se diferența lor. În această situație, problema constă în a determina în punctele domeniu-

lui cercetat valoarea funcției armonice  $(\sigma_1 + \sigma_2)$  cunoscând valorile ei pe contur. Pentru unele contururi și încărcări, funcția poate fi determinată analitic prin rezolvarea problemei de contur, iar în cazurile cele mai frecvente printr-una din metodele numerice aproximative bazate pe diferențe finite, cum este metoda relaxării.

Pentru contururi și condiții de contur mai complicate, pentru a evita calcule laborioase, se poate folosi cuva electrolitică cu ajutorul căreia se realizează un câmp potențial plan-paralel fără surse, care verifică de asemenea ecuația lui Laplace:

$$\frac{\partial^2 V}{\partial x^2} + \frac{\partial^2 V}{\partial y^2} = 0 \quad (6.8)$$

în care  $V = V(x, y)$  este funcția de potențial.

În cuva electrolitică se modelează un contur care reproduce la scară domeniul studiat; pe contur se dispun electrozi la diferențe de potențial față de pământ proporționale cu valorile  $(\sigma_1 + \sigma_2)$  de pe conturul domeniului studiat. Se determină în interiorul cuvei diferențele de potențial care, înmulțite cu factorul de transformare, reprezintă tocmai suma  $(\sigma_1 + \sigma_2)$ . În practica folosirii cuvei electrolitice se utilizează un galvanometru de nul sau o cască telefonică având o bornă fixată pe un divizor de tensiune la o diferență de potențial dată  $V$  și cealaltă conectată la o sondă cu ajutorul căreia se explorează suprafața electrolitului din cuvă; în felul acesta se determină punctele având aceeași diferență de potențial  $V$  care, cu ajutorul unui pantograf, sînt reproduse imediat pe o planșă, trasîndu-se liniile echipotențiale care coincid cu izopahele (fig. 6.8).

Determinarea sumei eforturilor principale se poate face și pornind de la fenomenul de contracție transversală. Într-un punct solicitat de eforturile principale  $\sigma_1$  și  $\sigma_2$  grosimea  $t$  a plăcii se modifică cu:

$$\Delta t = -\frac{\nu}{E} (\sigma_1 + \sigma_2) t. \quad (6.9)$$

Variația  $\Delta t$  a grosimii poate fi determinată fie prin măsurare cu extensometre laterale de precizie, fie pe cale optică, prin interferență, obținîndu-se franje care reprezintă locul punctelor de egală grosime de aer cuprins între model și o lamă de sticlă cu fețele perfect plane (analog inelelor lui Newton). Franjele de interferență reprezintă liniile izopahe. Evident, este necesar ca inițial modelul să aibă fețele perfect plane.

Determinarea izopahelor se poate face de asemenea direct pe cale optică cu ajutorul unui interferometru determinînd diferențele de drum optic în modelul încărcat și neîncărcat; datorită costului ridicat

al instalației și dificultăților în mînuire, metoda este mai puțin folosită. Obținerea unei imagini a izopahelor se realizează însă cu ușurință prin folosirea efortului optic de moiré care are și avantajul că nu necesită modele optice plane.

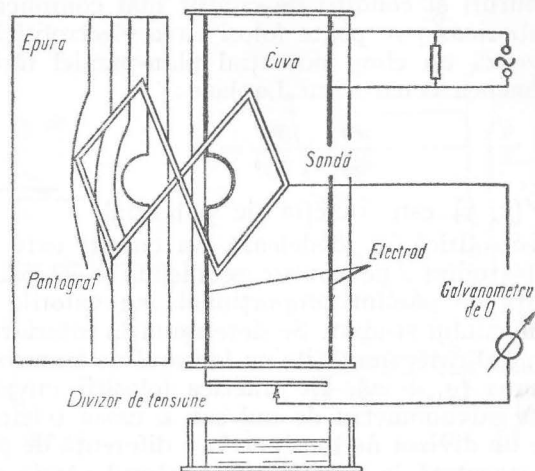


Fig. 6.8

Metoda moiré-urilor, care va fi tratată mai detaliat mai departe, se aplică prin suprapunerea fotografică a imaginilor liniilor de interferență pentru modelul descărcat și apoi încărcat, obținute cu ajutorul luminii monocromatice reflectate de cele două fețe ale modelului tratate ca oglinzi. În zonele în care în negativul imaginilor liniile de interferență (în negativ linii luminate) coincid, vor rămîne zone luminoase; în zonele în care liniile sînt alăturate, vor apărea zone întunecate. În imaginea pozitivă vor apărea deci liniile izopahe întunecate; ele sînt locul geometric al punctelor în care dublul diferenței dintre grosimea plăcii modelului neîncărcat și încărcat este un multiplu întreg al lungimii de undă a luminii folosite.

În interferometrele care se folosesc în prezent pe scară mai mare (interferometrul Saunders-Post de exemplu) reflexia razelor de lumină se face cu ajutorul a două oglinzi parțiale ca în fig. 6.9 din care una (b) cu fețele puțin înclinată față de cealaltă (a). Prin dimensionarea dispozitivului, se urmărește ca drumul optic parcurs de cele două raze de lumină să fie practic același pentru a se obține franje de interfe-

rență cît mai dese; aceasta necesită însă surse de mare luminozitate și de spectre cît mai restrînse.

Pentru determinările izopahelor pe cale optică se folosesc, la fel ca pentru determinarea izoclinelor, modele cu birefrință redusă, cum este plexiglasul, pentru a împiedica apariția liniilor izocromatice.

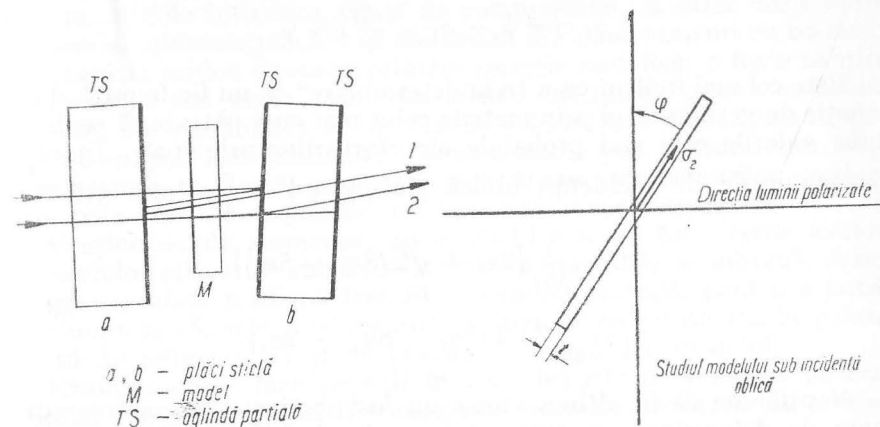


Fig. 6.9

Fig. 6.10

Menționăm, de asemenea, ca un procedeu pentru determinarea pe cale analitică a eforturilor principale în zonele în care direcția eforturilor principale este cunoscută (în axele de simetrie de exemplu), procedeul examinării izocromatelor și sub incidență oblică nu numai sub incidență normală (fig. 6.10). Modelul se înclină în jurul unei axe paralele cu o direcție principală ( $\sigma_1$  de exemplu). În acest caz, în loc de efortul principal  $\sigma_2$  se va lua în considerare efortul principal „secundar”  $\sigma_2 \cos^2 \varphi$ ; din expresiile diferențelor de drumuri optice (6.1) se obțin două ecuații în  $\sigma_1$  și  $\sigma_2$

$$\delta = C_\lambda t(\sigma_1 - \sigma_2) \text{ și } \delta_\varphi = C_\lambda \frac{t}{\cos \varphi} (\sigma_1 - \sigma_2 \cos^2 \varphi).$$

În funcție de ordinul liniilor izocromatice [v. relația (6.3)] aceste relații se scriu:

$$\sigma_1 - \sigma_2 = \frac{n_1 f}{t}; \quad \sigma_1 - \sigma_2 \cos^2 \varphi = \frac{n_2 f}{t} \cos \varphi.$$

Metoda incidenței oblice se aplică în special în cazurile cînd alte metode nu pot fi aplicate, de exemplu în cazul că nu sînt cunoscute condițiile de contur (studiul eforturilor în inima unei grinzi I de exem-



plu). Stabilind, pe baza studiului izoclinelor, direcțiile eforturilor principale, incidența oblică se face în raport cu aceste axe pentru fiecare punct studiat. Uneori, rotirea modelului se face pe rând în raport cu fiecare din cele două direcții ale eforturilor principale. Se obține o a treia ecuație:

$$\sigma_1 \cos^2 \psi - \sigma_2 = \frac{n_3 f}{t} \cos \psi.$$

Este cel mai indicat ca a treia determinare\* să nu fie folosită drept ecuație de verificare, ci prin metoda celor mai mici pătrate să se determine valorile cele mai probabile ale eforturilor principale. În cazul că unghiurile de incidență oblică sînt  $\varphi = \psi = \frac{\pi}{4}$  soluția este\*\*

$$\begin{aligned} \sigma_1 &= \frac{f}{13t} \{2n_1 + \sqrt{2} (8n_1 - 5n_3)\} \\ \sigma_2 &= \frac{f}{13t} \{\sqrt{2} (5n_2 - 8n_3) - 2n_1\}. \end{aligned} \quad (6.10)$$

Menționăm că în ultima vreme au fost realizate dispozitive automate de determinare a axelor principale și defazajului în modelul fotoelastic prin compararea semnalului modulat obținut prin intermediul unui traductor lumină-energie cu un semnal de referință, dispozitive de înregistrare a birefringenței în diferitele puncte ale modelului etc.

## 6.2. FOTOELASTICITATEA. DOMENII DE APLICARE

Fotoelasticitatea s-a extins mult în ultima vreme și a ajuns să fie folosită ca metodă curentă în laboratoarele de cercetări uzinale și în birourile de proiectare datorită posibilității pe care o dă de a determina eforturile în cazurile în care calculul prezintă mari dificultăți.

În domeniul stării plane de tensiune, metoda fotoelasticității își lărgeste domeniul de aplicație extinzându-se și asupra sistemelor cu un înalt grad de nedeterminare statică, cum sînt cadrele multietajate. Metoda servește la determinarea punctelor de moment nul în barele structurii, dînd posibilitate ca în calcul să fie redus gradul de ne-

\* Prima determinare este cea sub incidență normală.

\*\* Allison I. A. „A least squares solution of the oblique incidence equations” VDI — Berichte No. 102, 1966, pp. 9—12.

determinare statică a sistemului și să se obțină și relații privind raportul între forța normală și forța tăietoare din bare.

Fotoelasticitatea poate fi folosită de asemenea pentru studiul plăcilor plane solicitate la încovoiere. Ținînd seama că în acest caz de-a lungul fiecărei normale la planul median iau naștere eforturi unitare, atît de întindere, cît și de compresiune, al căror efect optic s-ar anula, modelele plăcilor se realizează din două straturi cu un strat reflectant la mijloc (realizat printr-o inserție metalică, o foaie subțire de aluminiu sau chiar printr-un adeziv metalizat pentru a forma oglindă), iar examinarea se face ca în polariscopul cu reflexie despre care s-a amintit mai înainte. Liniile izocromate pot fi socotite în aceeași măsură ca locuri geometrice ale diferenței eforturilor unitare principale sau ale momentelor încovoietoare principale.

Menționăm, de asemenea, unele studii care au fost făcute asupra suprafețelor cilindrice subțiri solicitate în starea de membrană. Acestea au suprafața mediană tratată ca oglindă parțială, pentru a putea fi examinate efectele produse atît de lumina reflectată (ca la polariscopul de reflexie), cît și de lumina care străbate modelul.

Examinarea se face pe fișii în zone înguste de-a lungul genera-toarelor (pentru a putea fi considerate normale pe razele de lumină incidente).

Posibilitățile pe care le dă tehnica actuală a cinematografiei de a înregistra fenomene care se produc cu viteze mari, au dat prilejul cercetătorilor de a examina variația stării de eforturi la solicitări dinamice, în special la șocuri. De asemenea, au fost fotografiate, prin procedee stroboscopice, imaginile modelelor fotoelastice în mișcare de rotație, modelîndu-se greutatea proprie.

Polariscopul cu reflexie, ca instalație portativă, dă posibilitatea examinării stării de eforturi în unele zone ale construcțiilor existente; modelul fotoelastic este realizat la scară naturală cu ajutorul unui lac cu proprietăți de birefringență aplicat direct pe construcție\*, tratată în zona de studiat ca o oglindă. Cu toate că numărul izocromatelor este destul de redus, se pot obține informații prețioase cu privire la distribuția eforturilor, în special în zonele de mare concentrare a lor.

Prin fotoelasticitate se pot obține pe această cale și informații asupra tensiunilor remanente; se prelucrează suprafața în zona de studiat, se aplică marca fotoelastică și se perforează piesa fie pe întreaga grosime, fie pe o adîncime dată, îndepărtîndu-se material; prin redistribuția eforturilor, iau naștere în lumină polarizată franjele de interferență.

\* Se folosește uneori și denumirea de *marcă fotoelastică*.



O importantă extindere a căpătat aplicarea metodei datorită posibilităților de studiere a stării spațiale de eforturi prin procedeul fixării sau „înghețării” eforturilor. Procedeul constă în executarea prin turnare a modelului spațial dintr-un material sintetic (araldit, bachelită), încălzirea lui la temperaturi în jurul a  $100^{\circ}\text{C}$ , încărcarea și răcirea lui treptată sub sarcină pînă la temperatura mediului ambiant. După răcire, modelul este tăiat în lame plane și fiecare lamă este examinată în polariscop unde prezintă linii izocline și izocromate, ca și cum acestea ar fi fost fixate sau înghețate odată cu răcirea modelului.

Efectul de fixare sau înghețare a deformațiilor, după M. Hetenyi, se datorește structurii rășinilor sintetice care constau dintr-o structură primară continuă, constituind o fază elastică, și dintr-un material fuzibil, de umplutură, constituind o fază fluidă vîscoasă. Prin încărcare la temperaturi mai ridicate, faza elastică se poate deforma relativ liber, fără a fi împiedicată de faza fluidă a cărei vîscozitate la temperatura ridicată este mult scăzută; pe măsura scăderii temperaturii fazei fluide îi crește vîscozitatea (care este foarte mare la temperatura ambiantă) și împiedică revenirea fazei elastice la poziția nedeformată după descărcare.

Prin procedeul fixării, pot fi rezolvate numeroase probleme ale stării de eforturi în spațiu, cum sînt probleme ale plăcilor groase, plane și curbe, ale fundațiilor, suprafețelor subțiri etc., datorite solicitărilor statice.

Menționăm, de asemenea, utilizarea gelatinelor pentru determinarea eforturilor care iau naștere datorită forțelor masice, în special a greutateii proprii. Utilizate la fel ca celelalte materiale pentru studiul stării plane de eforturi, ele pot fi folosite și pentru studiul stării spațiale, prin înghețarea eforturilor, prin scăderea temperaturii sub cea a mediului ambiant.

Fotoelasticitatea dă posibilitatea studierii eforturilor în corpurile neomogene. Astfel, prin aplicarea unui strat fotoelastic pe suprafața laterală a unui cub de beton, au putut fi puse în evidență variațiile mari ale efortului unitar față de efortul unitar mediu de-a lungul unor secțiuni longitudinale și transversale, datorite structurilor neomogene ale betonului\*. Elemente de beton armat au fost de asemenea modelate prin încorporarea unor bare subțiri într-un material fotoelastic. Pentru a păstra raportul dintre modulele de elasticitate ale oțelului și betonului, barele se modelează de obicei din aluminiu, duraluminu sau fire de sticlă (fig. 6.11).

\* Dantu P.I. „Étude de contraintes dans les milieux hétérogènes. Application au béton”. Ann. de l'ITBTP. Nr. 121 janv. 1958.

În ultimii ani sînt tot mai numeroase studiile pentru determinarea cu ajutorul luminii polarizate a stării de eforturi elasto-plastică. Deși s-au obținut rezultate folosind modele în special din celuloză și unele

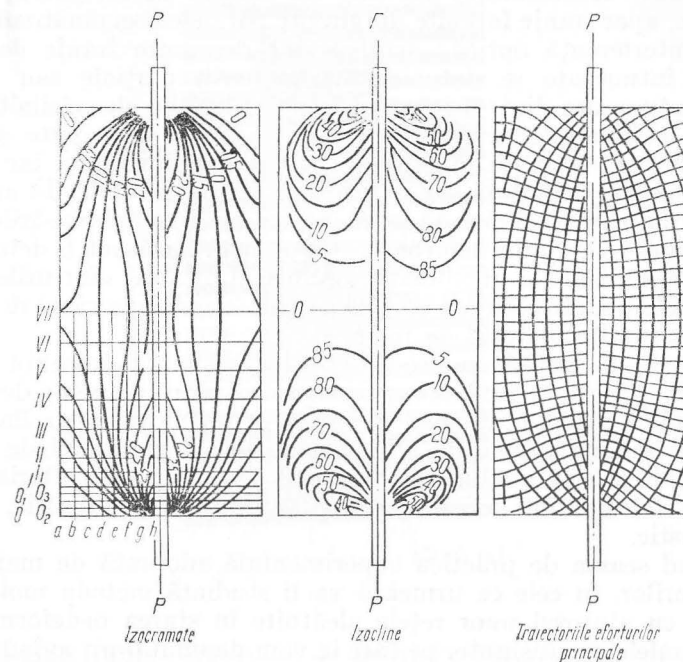


Fig. 6.11

lacuri fotoelastice aplicate pe piese solicitate în domeniul elasto-plastic, sînt încă numeroase probleme care stau în fața experimentatorilor. Astfel, este necesar ca materialul din care este alcătuit modelul să aibă o diagramă caracteristică, asemănătoare celei a materialului studiat (cu palier de curgere de exemplu în cazul oțelului), să prezinte deformații mici datorite curgerii lente etc.

Rezultatele obținute însă pînă în prezent cu ajutorul metodei fotoelasticității o recomandă proiectanților ca un auxiliar prețios în studiul stării de eforturi în structurile sau la solicitările mai complicate. Instalațiile relativ simple și puțin costisitoare, tehnica experimentală bine pusă la punct, fac metoda accesibilă oricărui institut de proiectare.

### 6.3. METODA MOIRÉ-URILOR. PRINCIPII

Moiré-ul este efectul optic obținut prin suprapunerea a două rețele de linii sau puncte. Dacă cele două rețele sînt alcătuite fiecare din linii paralele echidistante, dar care nu coincid fie ca distanță, fie ca orientare, apar franje formate din drepte paralele asemănătoare franjelor de interferență optică; acestea sînt denumite franje de moiré; franjele întunecate se datoresc suprapunerii, parțiale sau totale, a liniilor întunecate dintr-o rețea peste spațiile albe ale celeilalte rețele.

Cele două rețele care sînt suprapuse pot fi concepute și altfel: prima, o rețea formată din drepte paralele echidistante, iar a doua, o nouă poziție, deplasată sau deformată, a primei rețele. În acest caz, studiul franjelor de moiré dă posibilitatea stabilirii deplasărilor punctelor primei rețele prin deformare; pe această bază pot fi determinate deformațiile liniare și unghiulare specifice și, în fine, eforturile unitare în diferitele puncte ale unui corp elastic deformat, ale cărui deformații au fost urmărite în totul de rețea.

În prezent, metoda moiré-urilor își găsește un domeniu tot mai amplu de aplicare în studiul experimental al stării plane de deformare și în studiul plăcilor, în mod deosebit al plăcilor plane. Bazîndu-se numai pe studiul geometric al deformațiilor, domeniul ei de aplicare nu se limitează la stadiul de comportare elastică a materialelor, ci poate fi folosită cu succes și pentru studiul elasto-plastic, plastic, visco-elastic.

Ținînd seama de practica experimentală adoptată de majoritatea cercetătorilor, în cele ce urmează va fi studiată metoda moiré-urilor produse cu ajutorul unor rețele alcătuite în starea nedeformată din benzi paralele echidistante, pe care le vom denumi *linii*, avînd lățimile egale cu cele ale spațiilor dintre ele; aceasta nu exclude posibilitatea utilizării unor rețele ale căror linii să aibă lățimi diferite de cele ale spațiilor albe. Pasul rețelei, notat cu litera  $a$ , reprezintă dublul lățimii unei linii (lățimea unei benzi și a spațiului dintre benzi); de obicei pentru definirea unei rețele se folosește frecvența liniilor pe unitatea de lungime.

### 6.4. STUDIUL STĂRII PLANE DE EFORTURI CU AJUTORUL METODEI MOIRÉ-URILOR

#### 6.4.1. Starea de deformare unidimensională

Presupunem două rețele egale: una desenată pe o bară dreaptă care urmează să fie solicitată axial; direcția liniilor este perpendiculară pe axa barei; a doua rețea, denumită *rețea martor*, va fi menținută

nedeformată. Inițial, cele două rețele suprapuse coincid. Presupunem bara solicitată la întindere; după deformarea barei, prima rețea, care s-a deformat solidar cu bara prin suprapunere, nu va mai coincide cu rețeaua martor și vor apărea franje de moiré; din fig. 6.12 se vede

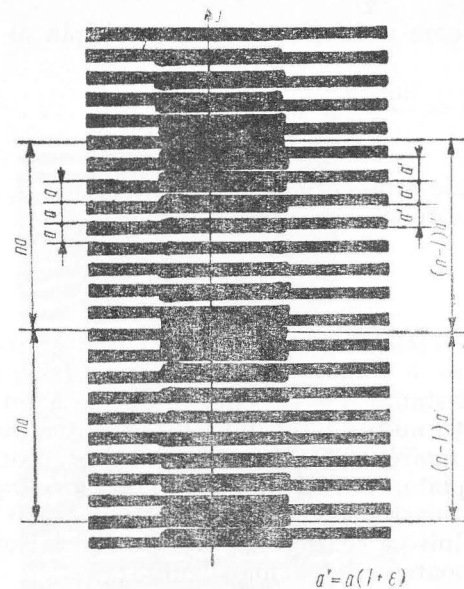


Fig. 6.12

că vor apărea franje întunecate de moiré la distanța  $d_y = na$ , în care  $n$  este dat de relația:

$$n \frac{a}{2} = (n - 1) \frac{a}{2} (1 + \epsilon_y) \quad (6.11)$$

în care  $a$  este pasul rețelei nedeformate,  $\epsilon_y$  lungirea specifică,  $n$ , respectiv  $(n - 1)$ , numărul de linii în rețeaua martor, respectiv în rețeaua deformată dintre două franje de moiré. De aici rezultă:

$$\epsilon_y = \frac{1}{n - 1} \text{ sau } n \approx \frac{1}{\epsilon_y} \text{ de unde } d_y = na = \frac{a}{\epsilon_y}.$$

Deoarece pasul  $a$  este cunoscut, măsurînd distanța  $d_y$  dintre franjuri se poate obține imediat lungirea specifică

$$\epsilon_y = \frac{a}{d_y} \quad (6.12)$$

Socotind că prin deformare toate punctele au deplasări după direcția  $y$  notate  $v$  și anume  $v = \varepsilon_y y$ , rezultă că prima franje moiré pornind de la secțiunea care rămîne fixă a barei va fi locul punctelor care au deplasarea  $v = \frac{a}{2}$  iar celelalte franje sînt locul geometric al punctelor pentru care  $v$  diferă printr-un multiplu al pasului rețelei:

$$v = \frac{2n+1}{2} a \text{ în care } n = 1, 2, \dots \quad (6.13)$$

Între două franje consecutive situate la distanța  $d$ , diferența deplasărilor punctelor este  $a$

$$\Delta v = \varepsilon_v d_v = a.$$

În cazul unei rețele alcătuite din 100 linii pe centimetru ( $a = 10^{-2}$  cm) pentru o lungire specifică  $\varepsilon = 10^{-3}$  franjele de moiré vor fi situate la distanța  $d = 10$  cm; în cazul că întinderea nu este uniformă, informații nu pot fi obținute decât pentru puncte la distanțe egale cu cele ale moiré-urilor. Pentru a obține informații și pentru puncte mai apropiate, pot fi folosite *rețele diferențiale*; frecvența liniilor la rețeaua martor este mai mare decât cea a rețelei studiate (de exemplu 101 linii pe centimetru față de 100 la rețeaua studiată). În acest caz, se poate scrie ca mai înainte:

$$n \frac{a}{2} (1 - \lambda) = (n - 1) \frac{a}{2} (1 + \varepsilon) \quad (6.14)$$

unde sub forma  $a(1 - \lambda)$  s-a scris pasul rețelei martor. Rezultă

$$n = \frac{1 + \varepsilon}{\varepsilon + \lambda} \approx \frac{1}{\varepsilon + \lambda}; \quad d = \frac{a}{\varepsilon + \lambda} \text{ și } \varepsilon = \frac{a}{d} - \lambda. \quad (6.15)$$

Cu datele din exemplul de mai sus socotind  $\lambda \approx 10^{-2}$  rezultă că distanța între franje va fi:

$$d = \frac{10^{-2}}{10^{-3} + 10^{-2}} = 0,9 \text{ cm.}$$

În zona cuprinsă anterior între două franje apar, folosind rețele diferențiale, 11 franje.

### 6.4.2. Rotirea rețelei\*

În cazul că cele două rețele sînt două poziții ale aceleiași rețele rotite cu un unghi  $\theta$  (mic), vor apărea franje de moiré la distanța

$$d = \frac{a}{\tan \theta} \approx \frac{a}{\theta} \quad (6.16)$$

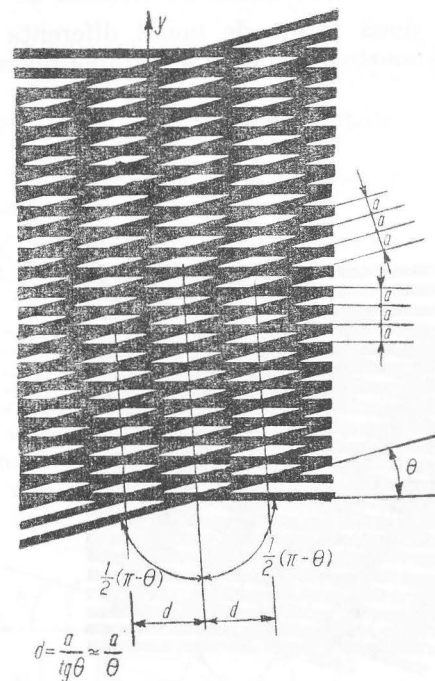


Fig. 6.13

și vor fi orientate după bisectoarea unghiului  $(\pi - \theta)$  făcut de cele două rețele (fig. 6.13).

În cazul că cele două rețele nu mai sînt egale ca urmare a deformației rețelei după direcția  $y$  definită prin lungirea specifică  $\epsilon$ , poziția franjelor de moiré poate fi determinată socotind deplasarea  $v$  alcătuită

\* Ținând seama de faptul că rotirile produse prin deformare sînt în general mici, în calculele care se fac se presupun rotiri mici astfel încît să se poată considera  $\sin \theta \approx \approx \operatorname{tg} \theta \approx \theta$ .

dintr-o rotire  $v' = \theta x$  și o întindere  $v'' = \varepsilon y$  (fig. 6.14). Punctele de egală deplasare  $v$  sînt situate pe dreapta

$$\theta x + \varepsilon y = v$$

avînd coeficientul unghiular

$$\operatorname{tg} \beta = -\frac{\theta}{\varepsilon}. \quad (6.17)$$

Știind că între două franje de moiré diferența dintre deplasări este  $a$  (pasul rețelei martor) se poate determina distanța dintre franje

$$d = \frac{a}{\sqrt{\varepsilon^2 + \theta^2}}. \quad (6.18)$$

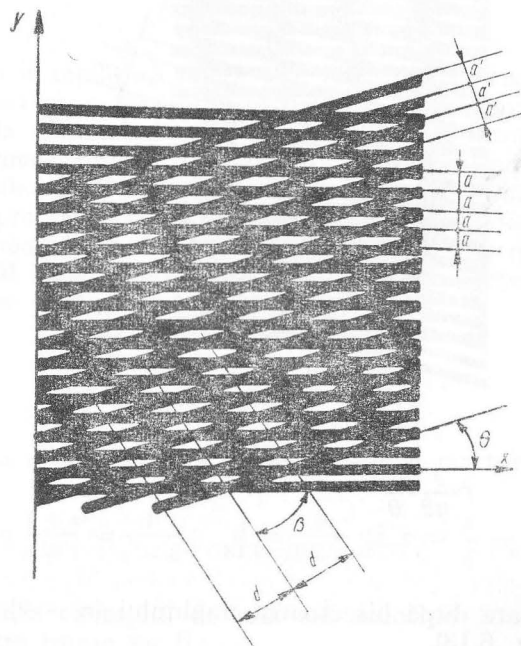


Fig. 6.14

Măsurînd unghiul  $\beta$  și distanța  $d$  dintre franje, se pot determina atît lungirea specifică, cît și rotirea:

$$\varepsilon = \frac{a}{d} \cos \beta; \quad \theta = -\frac{a}{d} \sin \beta. \quad (6.19)$$

În cazul deformațiilor mici franjele de moiré sînt rare; pentru  $\varepsilon = 10^{-3}$ ;  $\theta = 0,5 \cdot 10^{-3}$  și  $a = 10^{-2}$  cm se obține  $\operatorname{tg} \beta = 0,5$  și  $d = 8,9$  cm.

Îndesirea franjelor de moiré poate fi realizată folosind ca rețea martor o rețea cu pasul  $a_1 = a(1 - \lambda)$ ; aceasta corespunde unei lungiri fictive  $\varepsilon_1 = \varepsilon + \lambda$  în sensul axei  $Oy$ . Aplicînd formulele (6.17) și (6.18), rezultă că franjele de moiré vor fi caracterizate prin

$$\operatorname{tg} \beta = -\frac{\theta}{\varepsilon + \lambda} \quad \text{și} \quad d = \frac{a}{\sqrt{(\varepsilon + \lambda)^2 + \theta^2}} \quad (6.20)$$

pe baza cărora pot fi determinate deformațiile:

$$\varepsilon = \frac{a}{d} \cos \beta - \lambda; \quad \theta = -\frac{a}{d} \sin \beta. \quad (6.21)$$

Folosind spre exemplificare aceleași date ca mai înainte pentru o rețea martor avînd  $\lambda = 10^{-2}$  rezultă  $d = 0,91$  cm și  $\operatorname{tg} \beta = -0,0455$ .

#### 6.4.3. Starea plană de deformare

Presupunem două rețele egale alcătuite din linii perpendiculare, una desenată pe un element plan, cealaltă servind drept rețea martor. Presupunem elementul plan supus unei stări de deformare omogenă. După deformare vor lua naștere două familii de franje de moiré datorite deformațiilor liniare și unghiulare (fig. 6.15). Deformațiile liniare

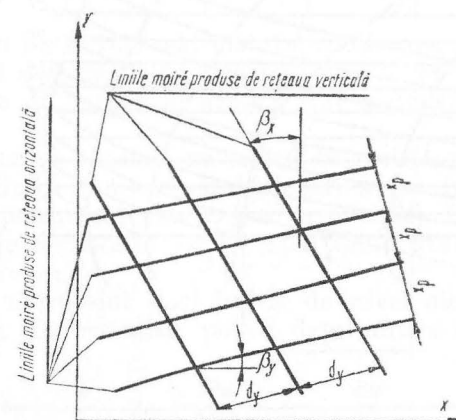


Fig. 6.15



$\varepsilon_x$  și  $\varepsilon_y$ , rotirile  $\theta_x$  și  $\theta_y$  ale liniilor orizontale, respectiv verticale, pot fi determinate pe baza formulelor determinate mai înainte, în funcție de distanțele și înclinările franjelor moiré față de sistemele de linii paralele de pe rețeaua martor corespunzătoare:  $d_x$  respectiv  $d_y$  și  $\text{tg } \beta_x$  respectiv  $\text{tg } \beta_y$

$$\varepsilon_x = \frac{a}{d_x} \cos \beta_x; \quad \varepsilon_y = \frac{a}{d_y} \cos \beta_y; \quad \theta_x = -\frac{a}{d_x} \sin \beta_x; \quad \theta_y = -\frac{a}{d_y} \sin \beta_y$$

Lunecarea  $\gamma_{xy}$  va avea valoarea  $\gamma_{xy} = \theta_x - \theta_y$ .

În cazul folosirii rețelelor diferențiale în formulele de mai înainte în locul lungirii  $\varepsilon$  se introduce termenul  $(\varepsilon + \lambda)$  în cazul că pasul rețelei martor este mai mic și  $(\varepsilon - \lambda)$  în cazul că pasul rețelei martor este mai mare decât cel al rețelei studiate.

În cazul stării neomogene de deformare liniile moiré nu vor mai fi drepte ca în cazul stării omogene, ci curbe.

Examinăm astfel liniile moiré produse de rețeaua de linii orizontale (fig. 6.16); au fost notate cu  $-2, -1, 0, 1, 2$ , liniile moiré care corespund deplasărilor  $v = -2a$ ;  $v = -a$ ;  $v = 0$ ;  $v = a$ ,  $v = 2a$ . Schimbăm notațiile față de cele precedente, care au dezavantajul

că dau posibilitatea să se greșească mai ușor (de exemplu unghiul  $\beta_y$  este format de o linie moiré cu axa  $Ox$ ) numai din dorința de a păstra aceeași indici într-o formulă; cu  $h_x$  notăm distanța pe direcția  $Ox$  dintre două linii moiré diferind cu un ordin de mărime într-un punct (punctul  $A$ ) și cu  $d_y$  distanța măsurată de-a lungul axei  $Oy$ . Deși în punctul  $C$  direcția liniei moiré este dată de tangentă, se poate admite pentru unghiul  $\beta_x$  valoarea dată de

$$\text{tg } \beta_x = \frac{d_y}{h_x} \quad (6.22)$$

iar pentru  $\theta_x$

$$\text{tg } \theta_x = \frac{a}{h_x} \quad (6.23)$$

iar pentru lungirea pe verticală:

$$\varepsilon_y = \frac{\partial v}{\partial y} \approx \frac{\Delta v}{\Delta y} = \frac{v_B - v_A}{y_B - y_A} = \frac{-a - (-2a)}{d_y} = \frac{a}{d} \quad (6.24)$$

astfel încît, ținînd seama și de faptul că  $\text{tg } \beta_x < 0$ , rezultă

$$\text{tg } \theta_x = -\varepsilon_y \text{tg } \beta_x \quad (6.25)$$

ceea ce corespunde formulei (6.17) în care pentru tangentă s-a luat valoarea unghiului.

În mod asemănător pot fi analizate curbele moiré produse de rețeaua perpendiculară paralelă cu axa  $Oy$ .

#### 6.4.4. Metoda grafică de determinare a deformărilor

Deși, așa cum s-a arătat mai înainte, rezolvarea analitică a problemei determinării deformărilor este posibilă, se preferă pentru avantaje pe care le au metodele grafice sau metodele de determinare directă.

Metoda grafică se bazează pe faptul că moiré-urile sînt locul geometric al punctelor avînd aceeași deplasare  $u$  (pentru rețeaua cu linii verticale) sau  $v$  (pentru rețeaua cu linii orizontale). Deplasările punctelor a două franje de moiré vecine (aparținînd aceleiași familii) este egală cu pasul rețelei.

Franjele de moiré sînt deci liniile de nivel ale funcției  $u(x, y)$ , respectiv  $v(x, y)$ . Deformațiile pot fi determinate grafic pornind de la relațiile:

$$\varepsilon_x = \frac{\partial u}{\partial x}; \quad \varepsilon_y = \frac{\partial v}{\partial y}; \quad \gamma_{xy} = \frac{\partial u}{\partial y} + \frac{\partial v}{\partial x}; \quad \frac{\partial u}{\partial y} = -\theta_y; \quad \frac{\partial v}{\partial x} = \theta_x,$$

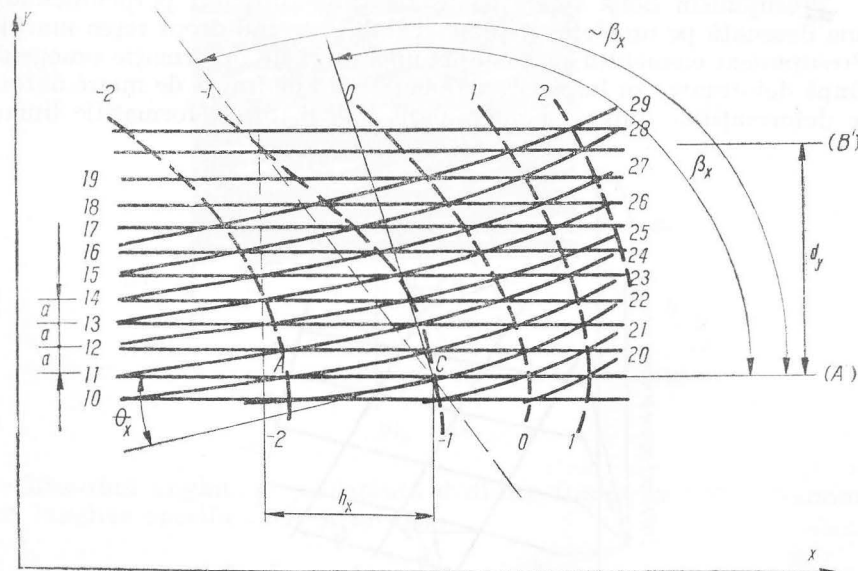


Fig. 6.16

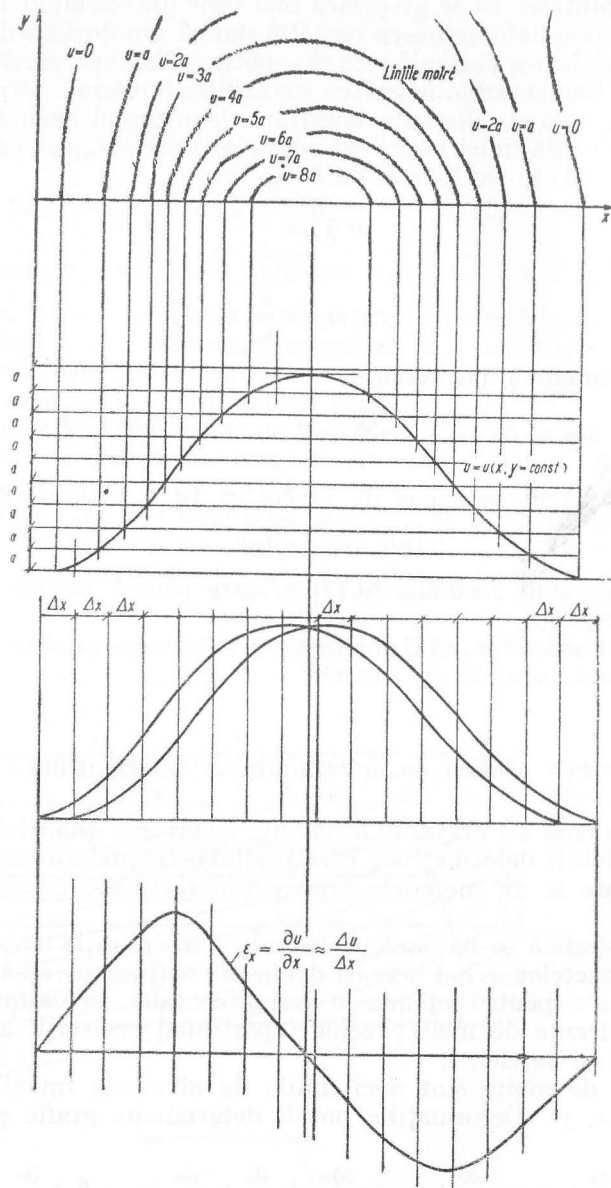


Fig. 6.17

și anume: se trasează curba de intersecție a suprafeței de moiré studiate  $u(x, y)$  de exemplu (fig. 6.17) cu un plan perpendicular pe planul  $xOy$  orientat după direcția dorită ( $Ox$  în figură); derivarea după direcția respectivă se realizează grafic prin diferențe finite împărțind diferența cotelor dintre două puncte de pe curba de intersecție la distanța dintre ele. (Practic se deplasează curba  $u(x, y)$  cu distanța  $\Delta x$ , obținându-se direct diferențele.)\* Procedînd asemănător cu liniile de moiré  $u(x, y)$  însă intersectîndu-le cu un plan după direcția  $Oy$ , se obține componenta lunecării:  $\theta_y = \frac{\Delta u}{\Delta y} \approx \frac{\partial u}{\partial y}$ .

Punctele de pe liniile de nivel  $u(x, y)$  avînd tangenta orizontală sînt puncte în care

$$\varepsilon_x = \frac{\partial u}{\partial x} = 0.$$

Punctele singulare ale unei suprafețe de moiré, de exemplu  $u(x, y)$  vîrfuri sau adîncituri, reprezintă evident puncte pentru care planul tangent este orizontal deci derivata parțială după ori ce direcție din plan este nulă; în consecință și  $\varepsilon_x$  și  $\theta_y$  sînt nule în punctul respectiv.

#### 6.4.5. Trasarea directă a liniilor de nivel $\varepsilon_x$ , $\varepsilon_y$ și $\gamma_{xy}$

Folosind rețele diferențiale, și anume rețele martor cu pasuri diferite pentru analiza aceleiași rețele deformate, pot fi determinate direct liniile de-a lungul cărora deformațiile sînt constante.

Prin suprapunerea unei rețele martor cu pasul  $a_1 = a(1 - \lambda)$  peste o rețea cu pasul  $a$ , se obțin franje de interferență identice cu cele care s-ar obține dacă rețeaua studiată s-ar fi deformat cu  $\varepsilon' = \lambda$ ; punctele rețelei verticale, de exemplu, au deplasări (fictive) față de rețeaua martor  $u = \lambda x$ .

În cazul deformării rețelei studiate, franjele sînt cele care corespund unei deformații  $\bar{\varepsilon} = \varepsilon + \varepsilon' = \varepsilon + \lambda$ . În funcție de deplasări aceasta se scrie:

$$\frac{\partial \bar{u}}{\partial x} = \frac{\partial u}{\partial x} + \lambda. \quad (6.26)$$

Punctele de pe liniile moiré  $u(x, y)$  care au tangenta orizontală, sînt puncte pentru care  $\varepsilon_x = -\lambda$ . Unind aceste puncte, se obține o linie de nivel a suprafeței  $\varepsilon_x(x, y)$  de-a lungul căreia  $\varepsilon_x = -\lambda$ .

\* Evident trebuie să se țină seama de scara desenului.

Suprapunând peste rețeaua deformată succesiv rețele martor cu pasuri diferite, pentru fiecare parametru  $\lambda$  se determină curba de nivel  $\varepsilon_x$  corespunzătoare. În mod asemănător se determină cu rețele orizontale liniile de nivel de-a lungul cărora  $\varepsilon_y = -\lambda$  și care unesc punctele de pe moiré-uri avînd tangenta verticală (fig. 6.18).

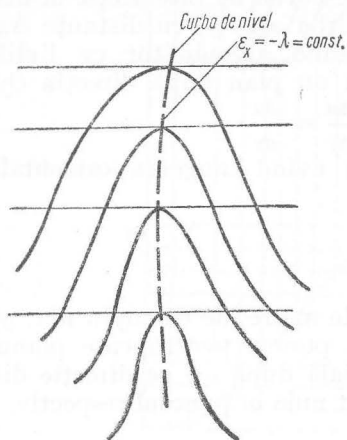


Fig. 6.18

Prin rotirea cu un unghi  $\alpha$  a rețelei martor, presupuse cu pas egal cu al celei studiate, deplasării reale a unui punct  $i$  se adaugă o deplasare fictivă; în cazul că rețelele sînt verticale deplasarea totală este  $\bar{u} = u + \alpha y$ , în care  $u$  este deplasarea reală a punctelor; prin derivare în raport cu  $y$  se obține:

$$\frac{\partial \bar{u}}{\partial y} = \frac{\partial u}{\partial y} + \alpha \text{ sau } \frac{\partial u}{\partial y} = \frac{\partial \bar{u}}{\partial y} - \alpha. \quad (6.27)$$

Punctele de tangentă verticală sînt cele pentru care derivata  $\frac{\partial \bar{u}}{\partial y}$  se anulează, deci pentru care:

$$\frac{\partial u}{\partial y} = -\alpha = \text{const.}$$

Unind pe moiré-urile realizate cu rețeaua martor rotită punctele în care tangenta este verticală, pentru diferite valori ale unghiului  $\alpha$ , se obțin liniile de nivel corespunzătoare  $\theta_y = -\alpha$ ; repetînd operația și pentru rețeaua orizontală, se obțin liniile de nivel pentru rotirile  $\theta_x$ ; prin diferență se obțin puncte care unite dau linii de egală valoare ale lunecării  $\gamma_{xy}$ .

#### 6.4.6. Moiré de ordinul 2 (moiré de moiré)

Presupunem pe două clișee diferite, două imagini identice ale aceluiași tablou de moiré-uri produse, de exemplu, cu rețele orizontale. Suprapunînd cele două imagini și dînd o translație verticală foarte mică  $\Delta y$  unui clișeu, se obține un nou moiré denumit moiré de ordinul 2 sau moiré de moiré (fig. 6.19). Evident este necesar ca moiré-ul inițial să fie suficient de des.

Ținînd seama că fiecare moiré reprezintă locul punctelor ale căror deplasări diferă cu un multiplu al pasului rețelei:

$v(x, y) = na$ ;  $v(x, y + \Delta y) = ma$ ; ( $n$  și  $m$  sînt numere întregi) rezultă că moiré-ul de ordinul 2 va fi definit prin:

$$v(x, y + \Delta y) - v(x, y) = (m - n)a = pa; \quad (p \text{ întreg})$$

sau dezvoltînd în serie și neglijînd puterile superioare ale lui  $\Delta y$

$$\Delta y \frac{\partial v}{\partial y} = pa \text{ sau } \varepsilon_y = p \frac{a}{\Delta y}. \quad (6.28)$$

Curbele moiré-ului de ordinul 2 sînt deci linii de egal  $\varepsilon_y$ ; între două curbe succesive deformația liniară  $\varepsilon_y$  diferă prin raportul dintre pasul rețelei și  $\Delta y$  (v. fig. 6.19).

Procedînd analog, se pot determina curbele de nivel  $\varepsilon_x$  (prin translația moiré-ului  $u$  în direcția axei  $Ox$ ),  $\theta_x$  (prin translația moiré-ului  $v$  în direcția axei  $Ox$ ) și  $\theta_y$  translația moiré-ului  $u$  în direcția axei  $Oy$ ).

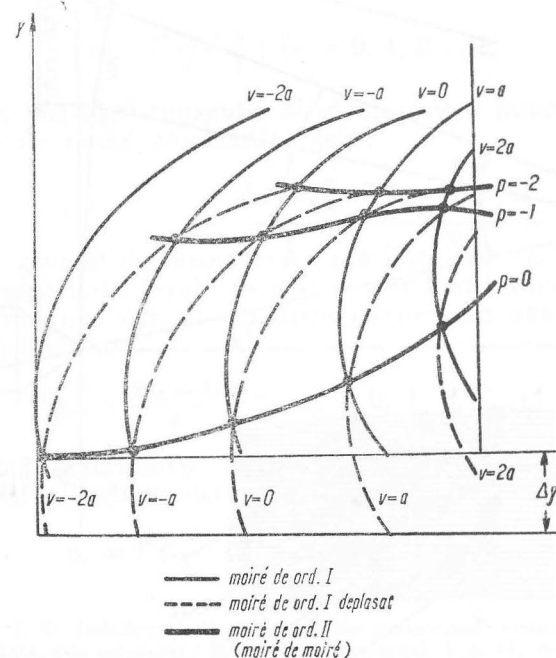


Fig. 6.19

## 6.5. STUDIUL ÎNCOVOIERII PLĂCILOR CU AJUTORUL METODEI MOIRÉ-URILOR

**Deformarea plăcilor plane.** În studiul deformației plăcilor plane, rețelele folosite (rețeaua martor și rețeaua deformată) sînt de regulă imaginile unei aceleiași rețele desenate pe un ecran cilindric și reflectate de suprafața, tratată ca oglindă, a plăcii studiate (fig. 6.20).

Dacă placa este neîncărcată, punctul  $P$  de pe placă și punctul  $Q$  de pe o linie a rețelei desenate pe ecran va avea imaginea în  $S$  pe placa fotografică. Considerînd deformațiile mici și după deformarea plăcii, punctul  $P$  va avea imaginea în  $S$  care va coincide însă de data aceasta cu imaginea punctului  $R$  de pe rețea. Fixînd cele două imagini ale rețelei suprapuse pe aceeași placă fotografică, vor apărea

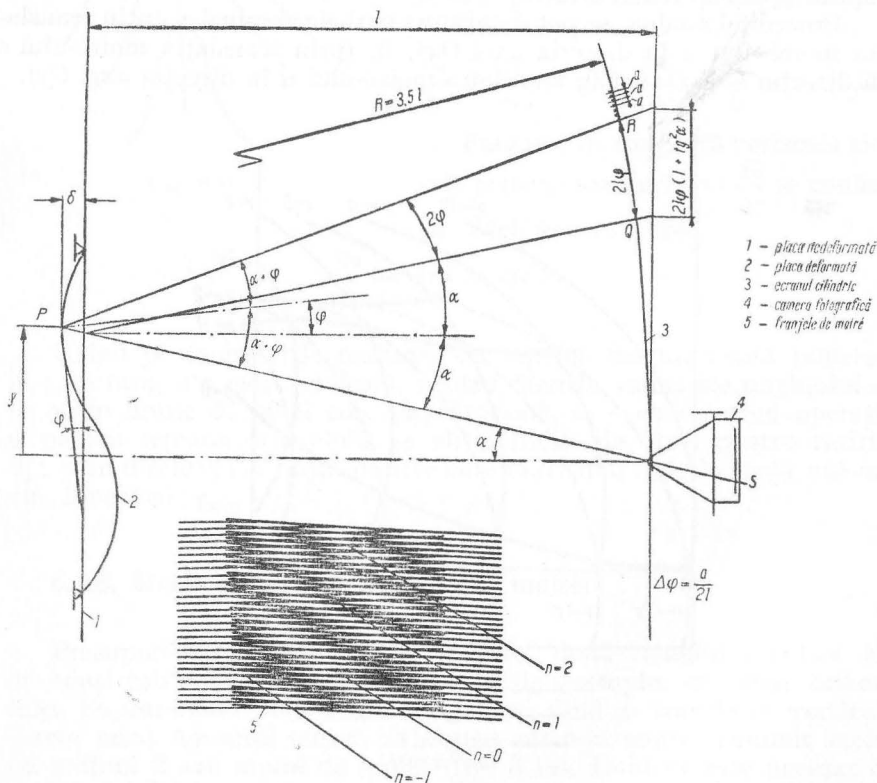


Fig. 6.20

franje de moiré dacă cele două puncte  $Q$  și  $R$  se găsesc unul pe o bandă întunecată, celălalt pe o bandă albă a rețelei, deci dacă

$$\overline{QR} = (2n + 1) \frac{a}{2} \quad (6.29)$$

în care  $a$  este pasul rețelei, iar  $n$  un număr întreg.

Lungimea arcului  $QR$  poate fi determinată în funcție de rotirea  $\varphi$  și cota  $y$  a punctului  $P$  al plăcii:

$$\overline{QR} = 2R \left[ 1 - \frac{y^2 + lR - l^2}{R \sqrt{l^2 + y^2}} \right]^* \quad (6.30)$$

În cazul că  $R = (3 \dots 3,5) l$ , pentru arcul  $\overline{QR}$  poate fi aplicată cu destulă precizie formula simplificată, și anume:

$$\overline{QR} = 2l\varphi. \quad (6.31)$$

Egalînd cele două expresii ale arcului  $\overline{QR}$ , rezultă că franjele de moiré sînt locul punctelor pentru care înclinarea tangentei la placă are valoarea:

$$\varphi = \frac{2n + 1}{4} \frac{a}{l}; \quad (n = 0, 1, 2 \dots). \quad (6.32)$$

Diferența înclinării tangentei la placă pentru punctele situate pe două franje de moiré consecutive este:

$$\Delta\varphi = \frac{a}{2l}. \quad (6.33)$$

În cazul general de încovoiere a plăcilor, este necesar să se facă două determinări de franje moiré: o primă determinare de franje avînd generatoarea oglinzii cilindrice paralelă cu axa  $Oy$ , prin care se obțin înclinările

$$\varphi_x = \frac{(2n_x + 1)}{4} \frac{a}{l}; \quad (n_x = 0, 1, 2, \dots);$$

cea de a doua determinare de franje moiré se obține prin rotirea cu  $90^\circ$  a rețelei cilindrice determinîndu-se:

$$\varphi_y = \frac{(2n_y + 1)}{4} \frac{a}{l}; \quad (n_y = 0, 1, 2 \dots).$$

\* Suharev I. P. Issledovanie izghiba plastin peremennoi jesticosti muar — otrazatelnim metodom. Din culegerea: Rasceti na procinosti. Vol. 11, Moskva, Izd. „Mašinostroenie“, 1965



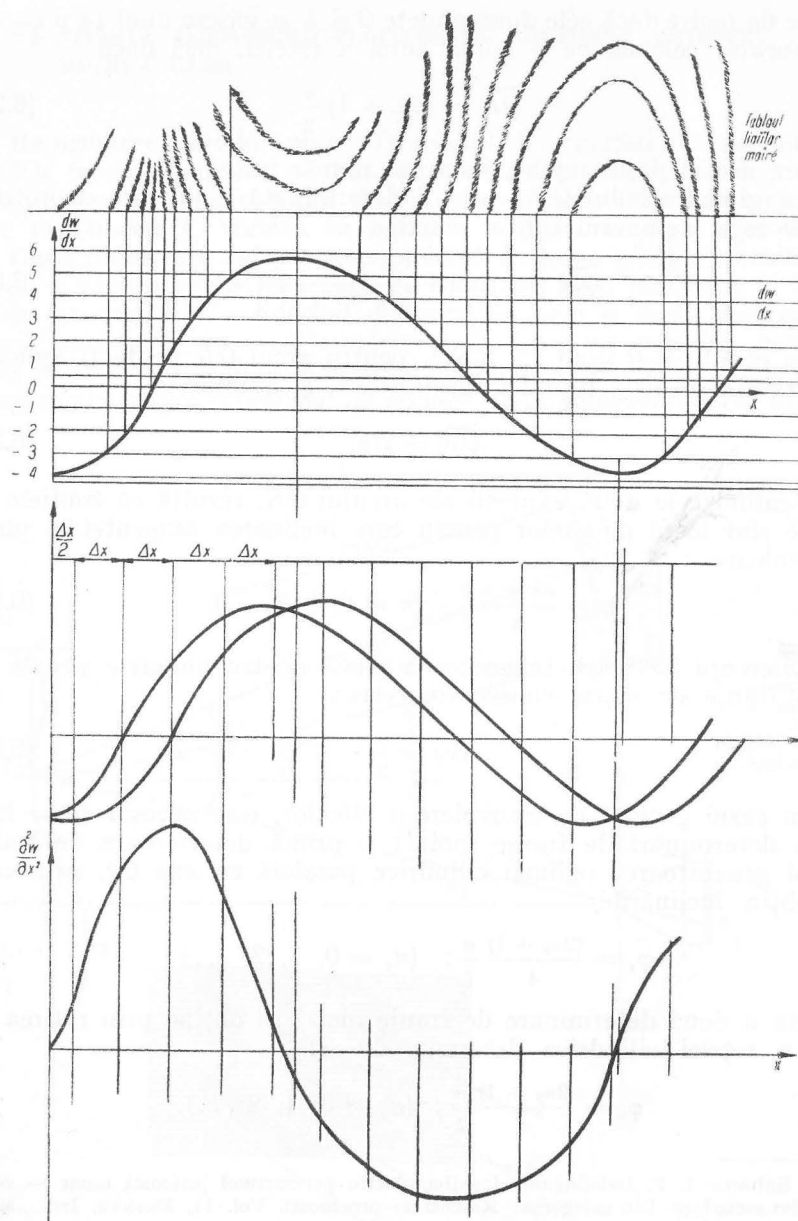


Fig. 6.21

Notînd cu  $K$  numărul de ordine al unei franje, aceste expresii se pot scrie :

$$\varphi_x = \frac{\partial w}{\partial x} = K\Delta\varphi_x; \quad \varphi_y = \frac{\partial w}{\partial y} = K\Delta\varphi_y. \quad (6.34)$$

Prin derivare, deci aplicînd unul din procedeele arătate mai înainte (fig. 6.21) se determină componentele curburii plăcii :

$$\frac{1}{\rho_x} \approx \frac{\partial^2 w}{\partial x^2} = \frac{\partial \varphi_x}{\partial x}; \quad \frac{1}{\rho_y} \approx \frac{\partial^2 w}{\partial y^2} = \frac{\partial \varphi_y}{\partial y};$$

$$\frac{1}{\rho_{xy}} = \frac{\partial^2 w}{\partial x \partial y} = \frac{\partial \varphi_y}{\partial x} = \frac{\partial \varphi_x}{\partial y}.$$

Momentele încovoietoare se determină cu ușurință din expresiile (4.42)

$$M_x = -D \left[ \frac{\partial^2 w}{\partial x^2} + \nu \frac{\partial^2 w}{\partial y^2} \right]; \quad M_y = -D \left[ \frac{\partial^2 w}{\partial y^2} + \nu \frac{\partial^2 w}{\partial x^2} \right]$$

$$M_{xy} = D(1 - \nu) \frac{\partial^2 w}{\partial x \partial y}; \quad D = \frac{Eh^3}{12(1 - \nu^2)}.$$

## 6.6. METODA MOIRÉ-URILOR. TEHNICA EXPERIMENTALĂ. APLICAȚII

Problema principală a tehnicii metodei moiré-urilor este realizarea rețelei cu desimea de linii și precizia dorite. Prin tehnici de laborator avansate, s-au putut obține rețele avînd 10, 20, 40 și chiar 80 linii pe milimetru. De obicei rețeaua se realizează pe un film fotografic, se lipește, cu ajutorul unui adeziv (emulsie de araldit de exemplu), pe fața plană a piesei care trebuie studiată, după care se îndepărtează filmul rămînînd numai partea de emulsie fotografică fixată. În cazul metalelor, deseori rețeaua se imprimă pe suprafața laterală a piesei studiate prin atac cu acizi. În cazul studiului stării plane rețeaua orizontală se fixează pe o parte a piesei, iar rețeaua verticală pe cealaltă.

Alcătuirea modelului se face la scară; sînt preferate materiale sintetice cu deformatii relativ mari. În cazul plăcilor, modelul plăcii se realizează de obicei dintr-o sticlă organică, oglinda realizîndu-se prin depunerea prin metalizare a unui strat subțire de aluminiu.

Tehnica experimentală în principiu este simplă. Se fotografiază rețeaua nedeformată (modelul neîncărcat) și pe același clișeu se fotografiază și rețeaua deformată. Executînd operația pentru cele două fețe, se obțin două imagini de moiré-uri care pot fi analizate grafic.

În cazul plăcilor, cele două imagini ale moiré-urilor se obțin fotografiind pe același clișeu rețeaua reflectată de placa descărcată și apoi încărcată; se fac două clișee: unul în situația că rețeaua cilindrică are generatoarele orientate după o direcție și al doilea cu generatoarele orientate după o direcție perpendiculară pe prima.

O tehnică experimentală mai complicată este necesară în cazul că pentru studiul mai amănunțit prin îndesirea franjelor de moiré se folosesc rețele diferențiale. În acest caz, trebuie folosite două rețele: rețeaua de pe model și rețeaua martor. Pentru a obține rețeaua mai îndesită sau mai rară (diferențele sînt de ordinul 1%), se apelează la mijloace mecanice. O rețea este trasată pe un suport, de obicei dintr-o rășină sintetică, fotografiată pentru rețeaua martor; suportul este apoi supus la compresiune sau întindere uniformă pînă se obține deformarea dorită și se fotografiază rețeaua deformată care urmează să fie aplicată pe model. Obținerea franjelor de moiré prin suprapunerea celor două rețele fie la suprafața modelului încărcat, fie la suprafața plăcii sau filmului care se impresionează, constituie o probă de ingeniozitate și de muncă meticuloasă pentru cercetători. Există și posibilitatea ca rețeaua diferențială să se obțină prin fotografierea de la distanțe diferite (sau prin reglarea diferită a obiectivului), a rețelei nedeforimate și deformată.

În studiul stării plane de eforturi, metoda moiré-urilor s-a extins la studiul solicitărilor dinamice utilizînd cinematografierea rapidă (în cazurile cu simetrie se fotografiază în același timp și rețeaua orizontală și cea verticală dispuse în zonele simetrice), precum și la studiul deformațiilor datorite curgerii lente. Sînt unele încercări de a face determinări în cazul stării spațiale de eforturi prin încorporarea de rețele în secțiunile interesante ale unui model (în modele din araldit, rețele fixate pe un suport tot din araldit de exemplu).

Pe lîngă încovoierea plăcilor plane, unele studii marchează posibilitatea folosirii metodei moiré-urilor la studiul suprafețelor cilindrice, prin proiectarea unei rețele plane de referință pe suprafața laterală lucioasă a unei suprafețe cilindrice. Suprapunerea imaginii obținute peste o altă rețea de referință dă naștere la moiré-uri care reprezintă conturul pantelor parțiale ale suprafeței deformată. Înregistrarea imaginii se face cu ajutorul unui aparat fotografic de tip periferic. Sînt de asemenea unele studii asemănătoare privind aplicarea metodei la studiul suprafețelor cu dublă curbura.

Pentru studiul imaginilor, au fost, în unele cazuri, folosite filtre optice și numerice; ca și la imaginile obținute prin fotoelasticitate, se caută ca analiza lor să se facă cu ajutorul calculatoarelor electronice folosind mijloace automate de explorare (uneori și de retușare a imaginii).

## 6.7. ANALOGII

Analogia este relația dintre două mulțimi de elemente echivalente care constă în faptul că între elementele corespunzătoare ale celor două mulțimi există relații egale. Analogia se numește totală sau parțială, după cum relațiile egale există între elementele tuturor submulțimilor sau numai între elementele anumitor submulțimi din cele două mulțimi considerate; mai general, identitatea ecuațiilor care exprimă legile a două ramuri de cercetare ale fizicii, cele două ramuri diferind numai prin sensul fizic al mărimilor care intervin în ecuațiile corespunzătoare, constituie o analogie. Fenomenele de studiat se produc într-un anumit sistem fizic, iar fenomenul analogic în altul. În aceste condiții, ultimul sistem fizic se numește modelul primului sistem\*.

Pe această bază, studiul prin analogie urmărește stabilirea comportării unui sistem fizic observînd comportarea modelului cu care sistemul studiat este analog în laturile esențiale ale comportării; se presupune și se demonstrează că la excitații asemănătoare și răspunsurile vor fi asemănătoare.

Latura esențială a analogiei dintre două sisteme este constituită de identitatea ecuațiilor lor fundamentale. În această situație, ecuațiile fundamentale, atît cea a sistemului, cît și cea a modelului, trebuie bine cunoscute; nu pot fi obținute informații prin analogie între sisteme fizice, dacă problemele nu pot fi abstractizate, exprimate cu siguranță în formă matematică. De aceea, studiul prin analogie al sistemelor fizice trebuie să conțină în prima etapă un proces de abstractizare matematică: determinarea ecuațiilor fundamentale, a sistemului și a modelului, precum și stabilirea identității dintre ele; pe această bază se realizează modelul (ca structură și excitație); ultima etapă a studiului o constituie stabilirea (prin calcul sau măsurări), a unor mărimi în model și transcrierea rezultatelor pentru sistemul original.

Socotind această condiție drept fundamentală, chiar calculul matematic poate fi socotit ca un caz particular de studiu prin analogie: proprietățile esențiale ale sistemului sînt abstractizate și puse sub formă de expresii matematice. În măsura în care problema este corect pusă, soluția matematică transpusă pentru sistem constituie răspunsul sistemului fizic: expresia matematică poate fi deci considerată drept modelul matematic al sistemului fizic.

În cele ce urmează însă, termenul de analogie va fi rezervat studiului în paralel a două sisteme fizice diferite, de exemplu un sistem mecanic

\* Definiție preluată din *Lexiconul Tehnic Român*.

și unul electric, sau chiar două sisteme mecanice aparținând însă unor clase de fenomene deosebite.

Marele avantaj al studiului pe bază de analogie stă în faptul că orice proprietate a unui din cele două domenii poate fi transpusă în celălalt domeniu. Înlocuind calculele deseori foarte dificile, în special de integrări în anumite condiții la limită, prin măsurări și citiri, modelul poate fi considerat drept un calculator. Acest avantaj se face simțit în special în cazurile în care din cauza condițiilor pe contur mai complicate, trebuie să se apeleze la metode numerice de calcul. Nu poate fi însă neglijat și un alt avantaj, și anume posibilitatea de a obține reprezentări mai simple, mai accesibile, cu ajutorul cărora se întuiesc cu ușurință unele fenomene mai complicate sau abstracte.

Ca mijloc de intuire și chiar de memorare sînt unele analogii mecanice folosite pentru stabilirea mecanismului de rezolvare prin iterație a unor sisteme simultane de ecuații liniare; este vorba de metoda repartizării și transiterii momentelor a lui H. Cross și metoda relaxării a lui V. J. Southwell. Modul de desfășurare a calculelor reproduce în ambele cazuri o serie de operații imaginate pe un model mecanic.

Datorită avantajelor, unele analogii în domeniul mecanicii tehnice — cum este analogia dintre ecuația diferențială a fibrei medii deformate și relațiile diferențiale dintre eforturile ( $M$ ,  $T$ ,  $p$ ) din grindă — au devenit clasice. Menționăm, de asemenea, analogia dinamică a lui Kirchhoff care se întemeiază pe identitatea dintre ecuațiile diferențiale ale axei deformate (cu deformații mici) a barei subțiri solicitate de sisteme de forțe activînd la extremități pe deoparte și cele ale mișcării corpului rigid în jurul unui punct fix pe de altă parte (fig. 6.22). Soluții stabilite de dinamica corpului rigid au fost aplicate la flambajul inelului circular supus unei presiuni uniforme, la flambajul lateral

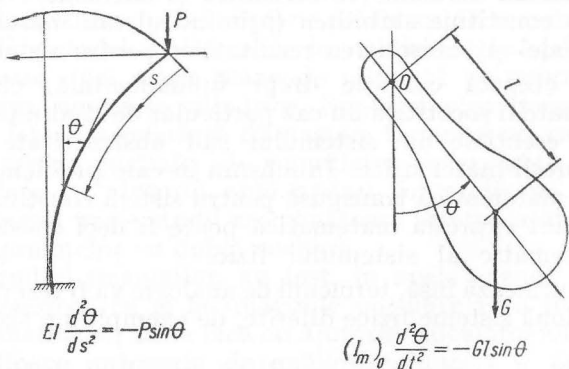


Fig. 6.22

al grinzii drepte cu secțiune dreptunghiulară îngustă etc. În aceeași categorie menționăm analogia dintre ecuațiile mișcării lente plan paralele ale unui lichid vâscos cu problema plană a teoriei elasticității și cu problema plăcii plane încărcate transversal; analogia dintre comportarea elastică și comportarea visco-elastică a unui corp etc.

Dacă analogiile menționate extind într-un domeniu rezultatele obținute prin calcul în alt domeniu, analogiile constituie de asemenea baza unei tot mai ample activități de studiu experimental pe modele a unor sisteme fizice studiate de mecanica construcțiilor.

Una din cele mai cunoscute analogii este analogia de membrană a lui L. Prandtl, care se bazează pe identitatea dintre ecuațiile diferențiale ale deformației unei membrane subțiri supuse la o presiune uniformă și cea a torsiunii barelor prismatice. Pe lângă faptul că simplifică considerabil calculele (cazul secțiunii dreptunghiulare înguste și a profilelor cu pereți subțiri) și sugerează starea de tensiune în cazul unor secțiuni mai complicate, ea constituie baza unei tehnici experimentale care s-a dezvoltat foarte amplu în vederea stabilirii cu un grad de precizie ridicat, a eforturilor unitare datorate torsiunii.

Principiul analogiei este cunoscut: torsiunea barei prismatice poate fi descrisă cu ajutorul unei funcții de tensiune  $\Phi$  care îndeplinește condițiile [v. relațiile (4.30) — (4.32)].

$$\Delta \Phi = -2G\theta; \quad (\Phi)_c = \text{const}; \quad \oint_C \frac{\partial \Phi}{\partial n} ds = 2G\theta A_i.$$

Efortul unitar tangențial într-un punct este derivata acestei funcții

$$\tau = \frac{\partial \Phi}{\partial n}.$$

Aceste condiții sînt verificate și de ecuația unei membrane subțiri cu deformații mici întinse pe un contur plan sub acțiunea unei presiuni uniforme  $p$  (fig. 6.23)

$$\Delta w = -\frac{p}{S}; \quad (w)_c = \text{const.}; \quad \oint_C \frac{\partial w}{\partial n} ds = pA_i.$$

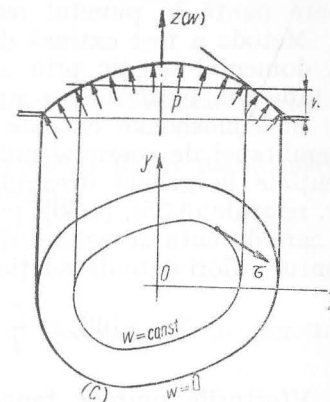


Fig. 6.23



Pe această bază s-a stabilit metoda experimentală de studiu pentru torsiunea barei prismatice: pe un contur care reproduce la scară conturul barei solicitate la torsiune, este întinsă o membrană foarte subțire (de preferință o membrană realizată cu ajutorul unei emulsii de săpun) sub presiune constantă; determinarea efortului tangențial într-un punct se reduce la determinarea înclinării liniei de cea mai mare pantă în punctul respectiv.\*

Metoda a fost extinsă de Nádai pentru bara solicitată la torsiune în domeniul plastic prin analogia figurii de nisip (panta constantă a taluzului natural reprezintă efortul unitar constant  $\tau = \tau_c$ ).

S. Timoshenko extinde metoda — sub denumirea de metodă a membranei de presiune nulă — pentru determinarea eforturilor tangențiale în grinda dreaptă solicitată la încovoiere. Aceste eforturi [v. relațiile (4.35), (4.36)] pot fi deduse tot dintr-o funcție de tensiune  $\Phi$  care de data aceasta verifică ecuația lui Laplace  $\Delta\Phi = 0$  și are pe contur valori date de relația:

$$(\Phi)_c = \frac{P}{I} \int_c \frac{x^2}{2} dy - \frac{\nu}{2(1+\nu)} \cdot \frac{Py^3}{3I}.$$

Eforturile unitare tangențiale se determină prin derivare:

$$\tau_{zx} = \frac{\partial\Phi}{\partial y} - \frac{Px^2}{2I} + \frac{\nu}{2(1+\nu)} \frac{Py^2}{I}; \quad \tau_{yz} = -\frac{\partial\Phi}{\partial x}.$$

În acest caz, membrana este întinsă și menținută în poziție de echilibru elastic pe un contur spațial; pantele în diferite puncte ale membranei se determină de regulă prin metode optice.

O altă metodă experimentală care a fost folosită pentru determinarea funcției de tensiune în cazul stării plane de eforturi, este bazată pe analogia dintre ecuația fundamentală a stării plane de tensiune și cea a plăcii plane subțiri deformate fără încărcare transversală, imaginată de Wieghardt încă în anul 1908.

Funcția de tensiune (a lui Airy) verifică ecuația:

$$\Delta\Delta\Phi = 0;$$

\* Dificultățile întâmpinate de experimenatori în realizarea unei membrane subțiri întinse sub tensiune uniformă, care să răspundă și condiției de deformății mici, au fost ocolite, membrana devenind meniscul de separație între două lichide nemiscibile de densități egale (de regulă electrolit și clorotoluen, sau nitrobenzen și toluen-densitate circa 1,08). În majoritatea cazurilor, determinarea pantelor se face prin mijloace optice (reflexia sau refracția razei de lumină, aceasta din urmă imprimându-se pe hirtie foto sensibilă) și prin metode fotogrametrice; există și unele dispozitive automate de determinare a pantelor și înregistrării lor pe placa fotosensibilă.

iar eforturile unitare au componentele [v. relațiile (4.19) și (4.20)]

$$\sigma_x = \frac{\partial^2\Phi}{\partial y^2}; \quad \sigma_y = \frac{\partial^2\Phi}{\partial x^2}; \quad \tau_{xy} = -\frac{\partial^2\Phi}{\partial x\partial y}.$$

Ecuația generală a plăcii plane

$$\Delta\Delta w = \frac{p}{D}$$

în absența părții din dreapta devine în totul asemănătoare celei a funcției de tensiune.

Zona din apropierea unui punct al suprafeței plăcii plane poate fi descrisă cu suficientă aproximație de ecuația:

$$w = \frac{x^2}{2\rho_x} + \frac{y^2}{2\rho_y} - \frac{xy}{\rho_{xy}}$$

în care cu  $\frac{1}{\rho_x}$ ,  $\frac{1}{\rho_y}$  și  $\frac{1}{\rho_{xy}}$  s-au notat componentele curburii în punctul respectiv:

$$\frac{1}{\rho_x} = \frac{\partial^2 w}{\partial x^2}; \quad \frac{1}{\rho_y} = \frac{\partial^2 w}{\partial y^2}; \quad \frac{1}{\rho_{xy}} = -\frac{\partial^2 w}{\partial x\partial y}.$$

În aceste condiții, problema determinării eforturilor într-un domeniu plan se reduce la realizarea unei plăci subțiri flexibile (chiar din cauciuc) (fig. 6.24) modelate la scară pentru a reproduce domeniul studiat și la măsurarea curburilor de obicei pe cale optică (determinând intermediar pantele) sau cu ajutorul sferometrelor. Dacă metoda se poate aplica cu relativă ușurică la domeniile simplu conexe, problema este mai complicată pentru domeniile multiplu conexe; în acest caz, contururile interioare ale plăcii trebuie menținute la cote și cu pante rezultate din condiția de contur.

O interesantă analogie a imaginat Biot pentru determinarea efor-

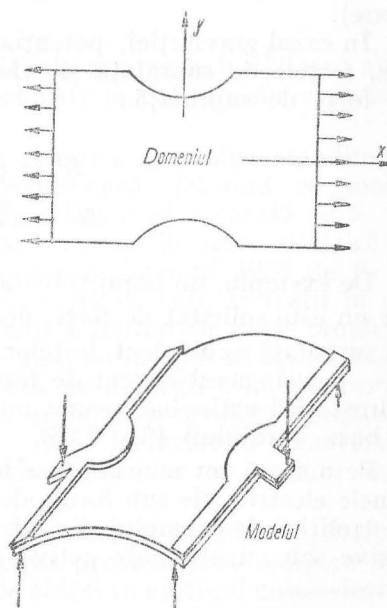


Fig. 6.24



turilor în cazul stării plane de eforturi, datorită acțiunii forțelor masice, în particular a greutateii proprii cu ajutorul stării de eforturi produse de acțiunea unor forțe aplicate pe contur.

În cazul greutateii proprii, forțele masice derivă dintr-un potențial  $V$ . Se știe că eforturile unitare determinate de forțele de pe contur și de forțele masice derivând dintr-un potențial sînt:

$$\sigma_x = \frac{\partial^2 \Phi}{\partial y^2} + V; \quad \sigma_y = \frac{\partial^2 \Phi}{\partial x^2} + V; \quad \tau_{xy} = -\frac{\partial^2 \Phi}{\partial x \partial y}.$$

Funcția de tensiune  $\Phi$  verifică condiția

$$\Delta \Delta \Phi = 0$$

avînd pe contur valori bine definite\*.

În condițiile de contur dacă se înlocuiesc forțele

$$(\bar{X} - Vl) \text{ cu } \bar{X}' \text{ și } (\bar{Y} - Vm) \text{ cu } \bar{Y}'$$

în expresii apar numai forțe pe contur ( $l$  și  $m$  fiind cosinusurile directe).

În cazul gravitației, potențialul de forțe este:  $V = \rho g y$ . În acest caz, forțele de suprafață și cele masice pot fi înlocuite cu sistemul de forțe de suprafață:

$$\bar{X}' = (\bar{X} - \rho g y l)$$

$$\bar{Y}' = (\bar{Y} - \rho g y m).$$

De exemplu, un baraj solicitat numai de greutatea proprie pe contur nu este solicitat de forțe, deci:  $\bar{X} = 0$ ;  $\bar{Y} = 0$ . Sistemul de forțe de suprafață echivalent forțelor masice este  $\bar{X}' = -\rho g y l$  și  $\bar{Y}' = -\rho g y m$ ; acest sistem de forțe poate fi realizat printr-o presiune hidrostatică acționînd asupra modelului răsturnat ( $x = 0$ ,  $y = 0$  sînt la baza barajului) (fig. 6.25).

Pe o scară tot mai largă se folosesc ca sisteme fizice analoge, sistemele electrice fie sub formă de cîmpuri de potențial continue (cuva electrolitică de exemplu), fie sub formă de rețele alcătuite cu elemente pasive sau cu elemente active.

\* Detalii sînt date în M. Hetenyi „Handbook of Experimental Stress Analysis”. J. Wiley, 1954.

Avantajele sistemelor electrice, care le fac preferate altor sisteme, rezidă în cunoașterea perfectă a legilor fundamentale ale sistemelor electrice, în relativa ușurință de confecționare a unor sisteme oricît de complicate la un grad de precizie predeterminat, în elasticitatea lor

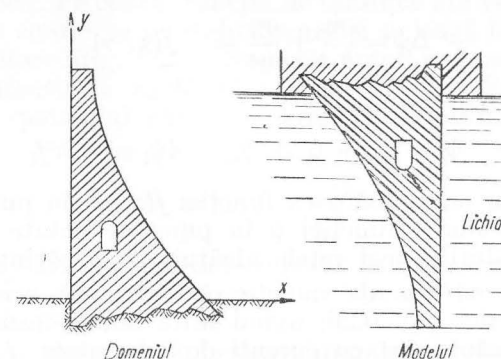


Fig. 6.25

în sensul că pot fi cu ușurință modificate pentru a fi aplicate altor structuri, ca și în gradul de precizie cu care se pot face determinările prin măsurări.

Principiile de bază ale modelării electrice sînt bine stabilite de cîteva decenii; analogia electrohidrodinamică, folosind ca model un cîmp de potențial electric continuu, a fost fundamentată de N. N. Pavlovski (U.R.S.S.) în anul 1922, iar analogia de rețea electrică ca model discontinuu al unui mediu continuu, în anul 1926 de S. A. Gherșgorin (U.R.S.S.). În următoarele două decenii, aplicații în domeniul construcțiilor apar numai sporadic și limitate la unele probleme relativ simple; în ultimii 15 — 20 ani însă, au început să apară numeroase lucrări prezentînd soluții pe bază de analogii electrice pentru problema torsiunii barei prismatice, a corpului de revoluție, problema plană a elasticității, calculul plăcilor plane la încărcări transversale și vibrații, calculul sistemelor articulate, al cadrelor etc. și chiar unele probleme reologice.

Analogia electrohidrodinamică este folosită în practica inginerului constructor pentru a rezolva în principal problemele de curgere prin medii poroase (probleme de filtrații), de obicei cu ajutorul cuvei electrolitice. De aceea ea nu va fi tratată în continuare, oprindu-ne mai mult la folosirea rețelilor electrice.

## 6.8. REȚELE ELECTRICE ANALOGHE PENTRU REZOLVAREA UNOR PROBLEME DE REZISTENȚA MATERIALELOR

**Rețele cu rezistori.** Așa cum s-a arătat în § 5.1, prin metoda diferențelor finite ecuația lui Poisson

$$\Delta\psi = \frac{\partial^2\psi}{\partial x^2} + \frac{\partial^2\psi}{\partial y^2} = -f(x, y)$$

poate fi scrisă sub forma:

$$\psi_j + \psi_k + \psi_l + \psi_m - 4\psi_i = -h^2 f_i \quad (6.35)$$

în care cu  $f_i$  s-a notat valoarea funcției  $f(x, y)$  în punctul  $i$ , iar  $\psi_1, \psi_2, \dots, \psi_n$  sînt valorile funcției  $\psi$  în punctele notate cu 1, 2, ...  $n$  reprezentînd nodurile unei rețele alcătuite din pătrate cu latura  $h$ .

Presupunem rețeaua de puncte materializată printr-o rețea de conductori electrice (fig. 6.26) avînd între noduri rezistențe egale  $R$  și fiecare nod alimentat cu curenți de intensitate  $I_i$  proporționali cu valoarea părții drepte a ecuației (6.35)

$$I_i = k_1 f_i h^2. \quad (6.36)$$

Notînd cu  $V_i$  diferența de potențial a nodului  $i$ , față de un potențial de referință, se poate aplica legea curenților lui Kirchhoff care conduce la expresia:

$$V_j + V_k + V_l + V_m - 4V_i = -RI_i. \quad (6.37)$$

Din compararea relațiilor (6.35) și (6.37) rezultă că diferența de potențial  $V_i$  înmulțită cu un coeficient de transformare  $k_2$  reprezintă tocmai valoarea  $\psi_i$  a funcției  $\psi$  în punctul  $i$

$$\psi_i = k_2 V_i; \quad k_2 = \frac{h^2 f_i}{RI_i} = \frac{1}{k_1 R}. \quad (6.38)$$

Determinarea valorilor funcției  $\psi$  se reduce astfel la măsurarea unor diferențe de potențial. Evident, rețeaua electrică trebuie astfel construită, încît să reproducă pe contur condițiile domeniului real studiat.

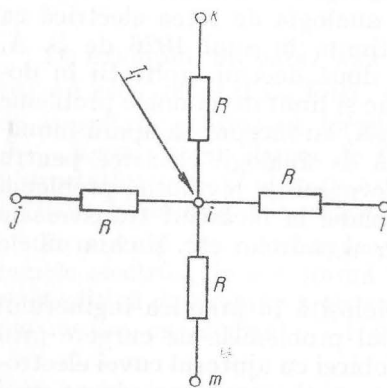


Fig. 6.26

Cunoscînd valorile funcției  $\psi$  se poate determina polinomul de interpolare dat de formula lui Newton pentru orice serie de puncte coliniare [v. expresia (5.5)]\*.

În cazul torsiunii barelor cu secțiune necirculară, modelul electric se realizează izolînd în rețea un domeniu reprezentînd la scară conturul secțiunii studiate. Pe contur funcția de tensiune are valoare constantă: nodurile de pe contur se scurtcircuitează și se leagă la o bornă a bateriei de alimentare (fig. 6.27). Nodurile interioare se alimentează cu curenți de intensitate egală ( $I_i = k_1 G \theta h^2$ ). Se măsoară în noduri diferențele de potențial care sînt proporționale cu valorile funcției de tensiune:

$$\psi_i = k_2 V_i = \frac{h^2 G \theta}{RI_i} V_i.$$

Pe această bază au fost determinate valorile funcției de tensiune pentru secțiunea dreptunghiulară cu gol pătrat pentru curbele  $\Phi = \text{const}$  (fig. 6.28).

Condițiile de simetrie au permis limitarea studiului la porțiunile mai restrînse delimitate de axele de simetrie dublînd însă rezistența conductoarelor de-a lungul acestor axe.

În cazul că ecuația care trebuie rezolvată este ecuația lui Laplace  $\Delta\Phi = 0$ , ecuația în diferențe devine:

$$\varphi_j + \varphi_k + \varphi_l + \varphi_m - 4\varphi_i = 0$$

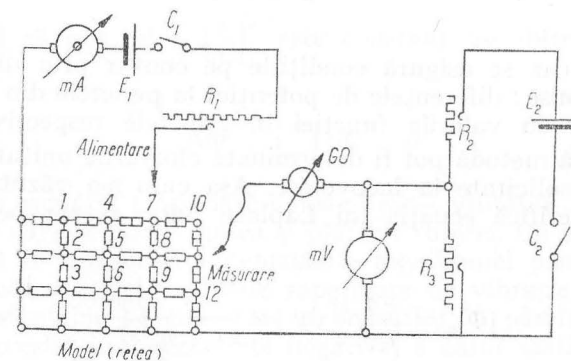


Fig. 6.27

\* Sînt și formule de integrare aproximativă pentru funcțiile care satisfac ecuația lui Poisson care conduc însă la calcule mai laborioase.

care corespunde ecuației deduse din legea curenților într-un nod ne-alimentat

$$V_j + V_k + V_l + V_m - 4V_i = 0.$$

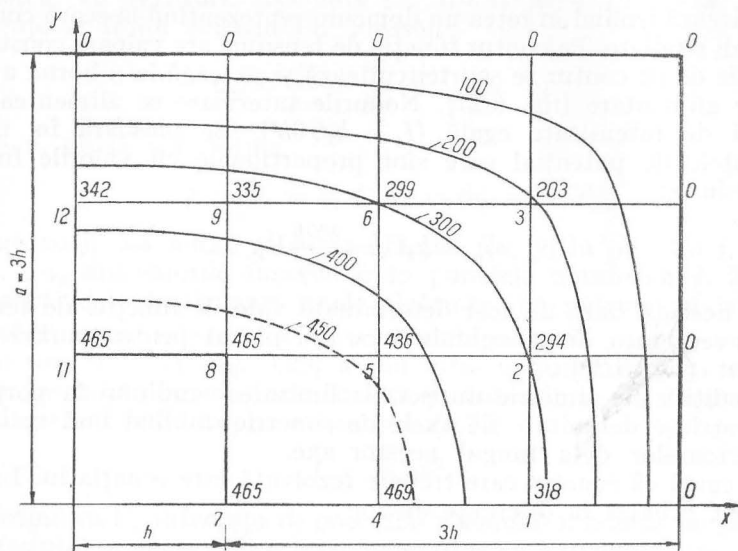


Fig. 6.28

În acest caz se asigură condițiile pe contur prin diferențele de potențial impuse: diferențele de potențial la punctele din interior sînt proporționale cu valorile funcției în punctele respective.

Cu această metodă pot fi determinate eforturile unitare tangențiale în barele solicitate la încovoiere. Așa cum s-a văzut, funcția de tensiune  $\Phi$  verifică ecuația lui Laplace  $\Delta\Phi = 0$ , iar pe contur are valorile

$$(\Phi)_c = \frac{P}{I} \int \frac{x^2}{2} dy - \frac{\nu}{2(1+\nu)} \frac{Py^3}{3I}.$$

Se izolează în rețea conturul; în nodurile de pe contur se asigură diferențe de potențial proporționale cu  $(\Phi)_c$  în punctele respective. Nodurile interioare ale rețelei nu sînt alimentate; diferențele lor de potențial sînt proporționale cu valorile funcției  $\Phi$ .

În cazul că nodurile rețelei sînt conectate la pămînt prin rezistori (fig. 6.29) (nodul  $i$  legat prin rezistorul  $R_{ii}$ ) diferențele de potențial verifică relația (calculată în nodul 5)

$$V_4 + V_2 + V_6 + V_8 - 4V_5 + \frac{R}{R_{55}} V_5 = 0.$$

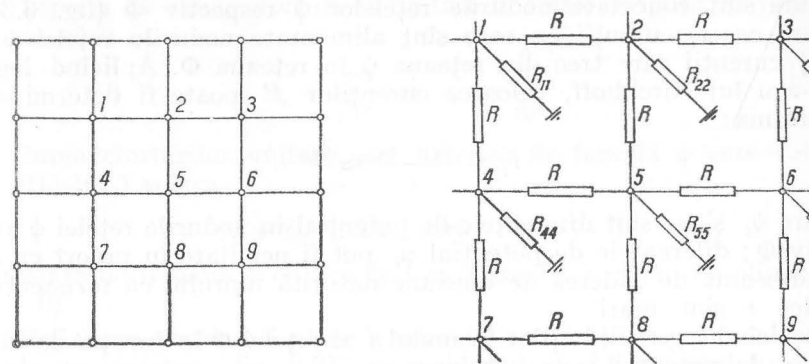


Fig. 6.29

Această dispoziție modelează ecuația (exprimată în diferențe finite) de stabilitate:

$$\Delta w + u(x, y) w = 0.$$

În cazul că  $u(x, y) = \left(\frac{\omega}{c}\right)^2$  este constant, se obține ecuația lui Helmholtz

$$\Delta\Phi + \left(\frac{\omega}{c}\right)^2 \Phi = 0$$

care descrie oscilația staționară a membranei vibrante fixate pe contur, ecuație care se poate aplica și plăcilor subțiri. Cu ajutorul rețelei descrise pot fi determinate deplasările membranei pentru modul de vibrație fundamental și modurile superioare de vibrație prin variația valorii rezistențelor de conectare a nodurilor la pămînt. Realizarea analogiei necesită însă rezistențe negative, a căror realizare complică într-o oarecare măsură schema instalației.\*

\* Swenson G. W. și Higgins Th. J. „A direct current network analyzer for solving wave-equation boundary value problems.” În J. Appl. Physics vol. 23, Nr. 1, ian., 1952.

Cu ajutorul rețelelor cu rezistori, pot fi rezolvate problemele stării plane de tensiune descrise de ecuația biarmonică și problemele încovoierii plăcilor plane: în cazul de față, două rețele asemănătoare denumite în cele ce urmează rețelele  $\psi$  și  $\Phi$  alcătuite din ochiuri de aceeași dimensiuni așezate față în față, cu nodurile conectate prin rezistori de rezistență ohmică  $r$  mare în raport cu  $R$  și  $R'$ , valorile rezistențelor cu care sînt conectate nodurile rețelelor  $\psi$  respectiv  $\Phi$  (fig. 6.30). Notăm cu  $I_i$  curenții cu care sînt alimentate nodurile rețelei  $\psi$  și cu  $I'_i$  curenții care trec din rețeaua  $\psi$  în rețeaua  $\Phi$ . Aplicînd legea a II-a a lui Kirchhoff, valoarea curenților  $I'$  poate fi determinată sub forma:

$$I'_i = \frac{\psi_i - \varphi_i}{r} \approx \frac{\psi_i}{r}$$

în care  $\psi_i$  și  $\varphi_i$  sînt diferențele de potențial în nodurile rețelei  $\psi$  respectiv  $\Phi$ ; diferențele de potențial  $\varphi_i$  pot fi neglijate în raport cu  $\psi_i$ , ținînd seama de căderea de tensiune datorită faptului că rezistențele ohmice  $r$  sînt mari.

Aplicînd legea curenților în nodul  $i$  al rețelei  $\Phi$  în funcție de diferențele de potențial  $\varphi_i$  se obține:

$$\varphi_j + \varphi_l + \varphi_k + \varphi_m - 4\varphi_i = -\frac{R'}{r} \psi_i.$$

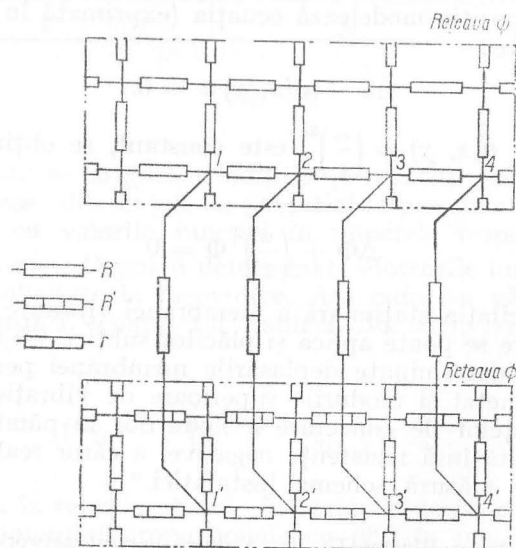


Fig. 6.30

Această expresie împărțită cu  $h^2$  ( $h$  fiind lungimea ochiului rețelei) reprezintă laplacianul funcției  $\Phi$  (în diferențe finite) în punctul  $i$

$$(\Delta\Phi)_i = -\frac{R'}{r} \frac{\psi_i}{h^2}.$$

Dacă considerăm că  $\Phi$  este funcția de tensiune (a lui Airy) laplacianul reprezintă suma eforturilor unitare normale în punctul  $i$ , ținînd seama că:

$$\sigma_x = \frac{\partial^2 \Phi}{\partial y^2} \text{ și } \sigma_y = \frac{\partial^2 \Phi}{\partial x^2}.$$

Suma eforturilor unitare este descrisă de funcția  $\psi$  care verifică ecuația lui Laplace:

$$\sigma_x + \sigma_y = \Delta\Phi = k\psi; \quad \Delta\psi = 0$$

modelată de rețeaua  $\psi$  cu condiția ca nodurile ei să nu fie alimentate ( $I_i = 0$ ).

Modelarea problemei plane a teoriei elasticității cu ajutorul rețelei duble cu rezistori (fig. 6.31) se realizează deci în modul următor:

— în cele două rețele se izolează conturul care reprezintă la scară domeniul care se studiază;

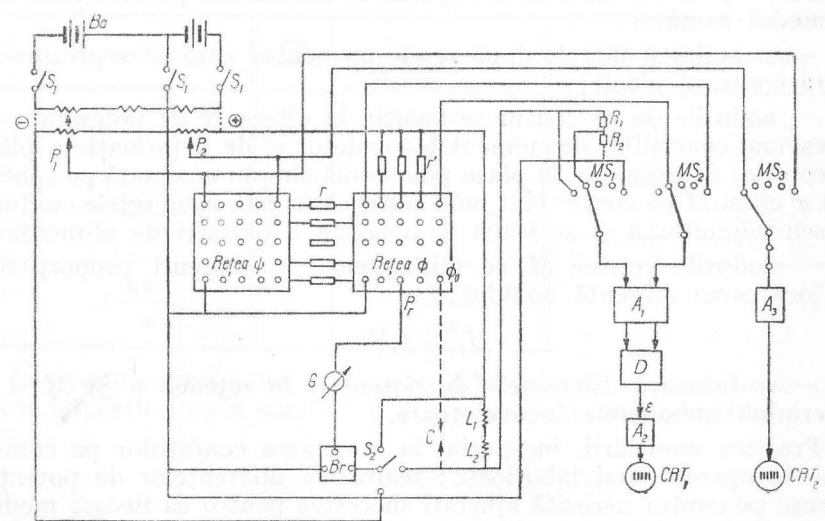


Fig. 6.31



— se modelează condițiile pe contur: prin reglări succesive se asigură în nodurile de pe conturul rețelei  $\Phi$  diferențe de potențial proporționale atât ca valori cât și ca gradient cu valorile și gradientul funcției de tensiune în punctele corespunzătoare;

— se măsoară diferențele de potențial din rețeaua  $\Phi$  care sînt înscrise și cu ajutorul cărora se determină eforturile unitare într-un punct, fie în diferențe finite:

$$(\sigma_x)_i = \frac{\varphi_j - 2\varphi_i + \varphi_l}{h^2}; \quad (\sigma_y)_i = \frac{\varphi_k - 2\varphi_i + \varphi_m}{h^2}; \quad (\tau_{xy})_i = \frac{\varphi_n - \varphi_o + \varphi_p - \varphi_q}{4h^2}$$

fie prin derivare după ce se determină expresia funcției de tensiune înscrisă una din metodele de integrare sau interpolare.

În mod asemănător se rezolvă problema încovoierii plăcilor plane, folosind relațiile (4.47), (4.48) și (4.49). Despărțind ecuația generală a plăcilor în cele două ecuații diferențiale:

$$\frac{\partial^2 M}{\partial x^2} + \frac{\partial^2 M}{\partial y^2} = -p$$

$$\frac{\partial^2 w}{\partial x^2} + \frac{\partial^2 w}{\partial y^2} = -\frac{M}{D}$$

iese în evidență imediat că cele două rețele plane reprezintă: prima rețeaua  $M$ , iar cea de a doua rețeaua  $w$ . Modelarea problemei se face în modul următor:

— se izolează în cele două rețele un contur care să reprezinte la scară conturul plăcii;

— nodurile de pe contur se mențin la diferențe de potențial care corespund condițiilor de moment încovoietor și de deformație a plăcii pe contur; de exemplu, la placa poligonală simplu rezemată pe contur, atât  $w$  cât și  $M$  pe contur sînt nule astfel că în cele două rețele conturul se scurtcircuitează și se leagă la o bornă a bateriei de alimentare;

— nodurile rețelei  $M$  se alimentează cu curenți proporționali cu încărcarea aferentă nodului:

$$I_i = p_i h^2;$$

— se măsoară diferențele de potențial în rețeaua  $w$  și  $M$  și se determină momentele încovoietoare.

Practica modelării, în special la realizarea condițiilor pe contur, duce la operații mai laborioase; realizarea diferențelor de potențial impuse pe contur necesită ajustări succesive pentru că fiecare modificare a diferenței de potențial la un nod are ca efect modificarea diferențelor de potențial în toate nodurile de pe contur.

Menționăm că totuși, datorită simplității construcției și modelării relativ ușoare a condițiilor, rețeaua a fost aplicată cu succes în rezolvarea unor probleme ale plăcilor plane solicitate de sisteme de forțe în planul median sau transversale. Unii cercetători au reușit să automatizeze reglarea diferențelor de potențial pe contur, pentru a evita volumul mare de muncă cerut la rețelele cu un număr mare de noduri\*.

**Rețele cu bobine și condensatori.** O altă rețea aplicată cu succes în cazul stării plane de eforturi a fost realizată de G. Kron utilizînd bobine electrice și condensatori. Schema fundamentală și cea simplificată sînt date în fig. 6.32, *a* și *b*.

Valorile admitanțelor condensatorilor și a bobinelor, precum și intensitatea curenților, sînt astfel alese încît în nodurile notate  $u$  să fie modelate ecuațiile diferențiale de echilibru pe orizontală

$$\frac{\partial \sigma_x}{\partial x} + \frac{\partial \tau_{xy}}{\partial y} = 0$$

iar în nodurile  $v$ , ecuația diferențială de echilibru pe verticală

$$\frac{\partial \sigma_y}{\partial y} + \frac{\partial \tau_{xy}}{\partial x} = 0.$$

Rețeaua modelează condițiile de echilibru. Valorile admitanțelor elementelor de circuit sînt următoarele:

Element	Admitanța	Element	Admitanța	Element	Admitanța
<i>a</i>	$\frac{n\Delta y\Delta z}{m\Delta x}(\lambda + 2G)$	<i>b</i>	$\frac{n\Delta x\Delta z}{m\Delta y}G$	<i>c</i>	$\frac{n\Delta z}{m\Delta x}G$
<i>d</i>	$\frac{n\Delta z\lambda}{m}$	<i>e</i>	$\frac{n\Delta x\Delta z}{m\Delta y}(\lambda + 2G)$	<i>f</i>	$\frac{n\Delta y\Delta z}{m\Delta x}G$
<i>g</i>	$-\frac{n\Delta z}{m}G$	<i>h</i>	$-\frac{n\Delta z\lambda}{m}$		

În aceste expresii,  $\Delta x$   $\Delta y$   $\Delta z$  sînt dimensiunile elementelor în care a fost împărțit corpul studiat:  $G$  și  $\lambda$  sînt constantele elastice

$$G = \frac{E}{2(1 + \nu)}; \quad \lambda = \frac{\nu E}{(1 + \nu)(1 - 2\nu)};$$

\* Hlinka J. W. și alții „An automatic network analog computer for the solution of the biharmonic equation”. J. Appl. Mech. vol. 30, nr. 1, mart. 1963.

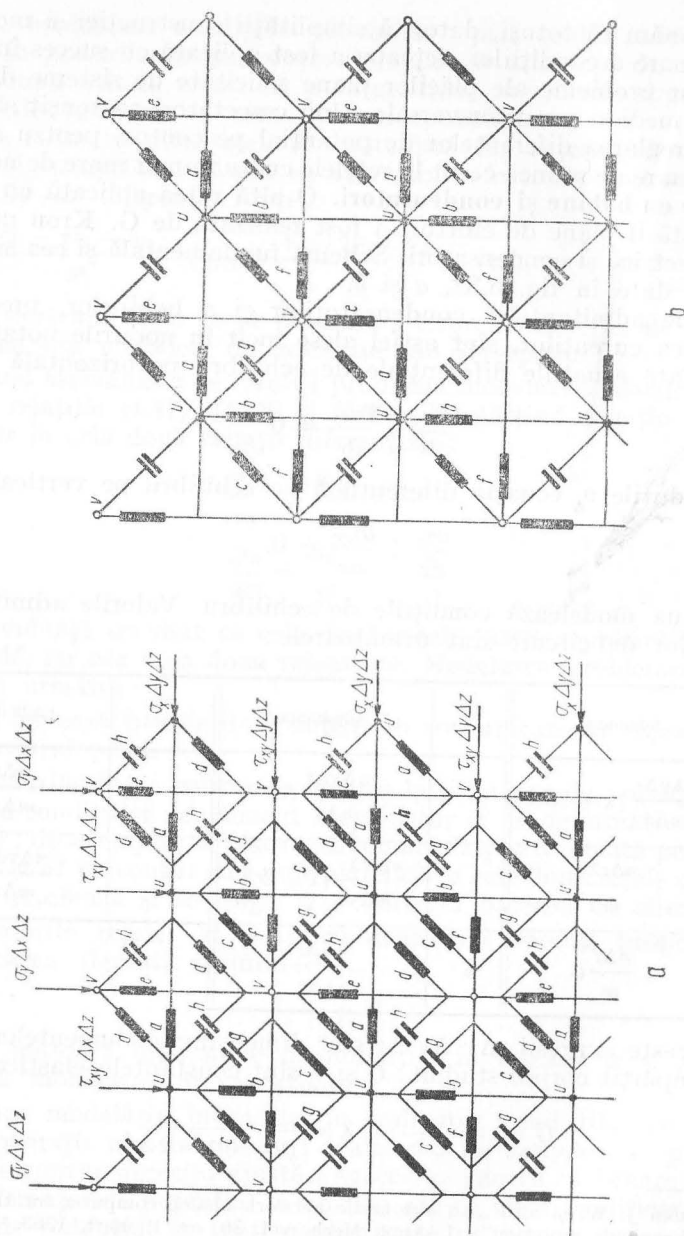


Fig. 6.32

$m$  este factorul de transformare a forțelor în curenți (kgf/A), iar  $n$  factorul de transformare a deplasărilor în diferențe de potențial (cm/V).

Tehnica modelării este următoarea:

- se izolează în rețea la scară conturul domeniului studiat;
- condițiile de contur se modelează alimentând nodurile de pe contur cu curenți proporționali cu componentele forțelor de contur, și anume: componentele normale într-o serie de noduri ale fiecărei rețele ( $u$  respectiv  $v$ ), iar cele tangențiale în altă serie. De exemplu:  $I = m\sigma_y\Delta x\Delta z$ ;

— se măsoară diferențele de potențial care sînt proporționale cu deplasările  $u$  și  $v$  ale punctelor; pe această bază se determină lungirile specifice și lunecările și, aplicînd legea lui Hooke generalizată, eforturile unitare.

Notînd cu  $V_u$  și  $V_v$  diferența de potențial față de pămînt a unui nod din rețeaua  $u$ , respectiv rețeaua  $v$ , deplasările punctului corespunzător al domeniului elastic sînt:

$$u = nV_u \quad \text{și} \quad v = nV_v.$$

Notînd cu  $\Delta V_u$ , respectiv  $\Delta V_v$ , diferențele de potențial între două noduri vecine, se obțin lungirile specifice

$$\epsilon_x = n \frac{\Delta V_u}{\Delta x}; \quad \epsilon_y = n \frac{\Delta V_v}{\Delta y}; \quad \gamma_{xy} = n \left( \frac{\Delta V_u}{\Delta y} + \frac{\Delta V_v}{\Delta x} \right).$$

Numeroase aplicații au fost realizate cu rețeaua simplificată (v. fig. 6.32, b). Rezultatele au suferit însă din cauză că folosindu-se curent alternativ, defazările au ajuns la valori care nu puteau fi neglijate; rezolvarea acestei situații a fost găsită de unii cercetători în curenți adiționali în fază cu tensiunea. Pentru a îmbunătăți soluția, unii cercetători adaugă o fază de calcul în verificarea curenților din noduri (cu ajutorul legii lui Kirchhoff), pornind de la diferențele de potențial măsurate și valorile nominale ale admitanțelor elementelor de circuit.

Cu toate că în special în nodurile în care diferențele de potențial sînt mici apar abateri relativ mari, rețeaua este utilizată și pentru posibilitatea de a modela starea de eforturi datorite forțelor masice; forțele masice sînt modelate prin curenți cu care sînt alimentate nodurile interioare ale rețelei.

O interesantă aplicație o constituie determinarea eforturilor unitare într-un bloc de beton lung, datorită cîmpului termic produs prin

priza cimentului\*. O dată cîmpul de temperatură determinat, se determină forțele masice de contur și fictive

$$X = \frac{\alpha E}{1 - 2\nu} \frac{\partial T}{\partial x}; \quad Y = \frac{\alpha E}{1 - 2\nu} \frac{\partial T}{\partial y} \quad \text{forțele masice};$$

$$\bar{X} = \frac{\alpha ET}{1 - 2\nu} \cos(n, x); \quad \bar{Y} = \frac{\alpha ET}{1 - 2\nu} \cos(n, y) \quad \text{forțele de contur}.$$

Acestea înmulțite cu factorul de transformare  $m$  (evident după înmulțirea cu elementul de volum  $\Delta x \Delta y \Delta z$ , respectiv de suprafață  $\Delta x \Delta y$ ), dau valorile curenților cu care sînt alimentate nodurile rețelei. În fig. 6.33 sînt reproduse etapele: a) epura deplasărilor (în microni):  $u$  (linii întrerupte),  $v$  (linii continue); b) eforturile unitare calculate (în  $\text{kgf/cm}^2$ ):  $\sigma_x$  (linii continue),  $\sigma_y$  (linii întrerupte); c) eforturile unitare tangențiale  $\tau_{xy}$  (linii continue) și  $\sigma_z$  (linii întrerupte).

\*

Menționăm, în încheiere, numeroasele analogii electrice realizate pentru calculul sistemelor articulate al cadrelor etc.; acestea nu au fost menționate socotindu-se că ele constituie obiectul Staticii construcțiilor și ies din cadrul lucrării de față; nu au fost de asemenea menționate unele rețele electrice analogice care își propun studiul unor probleme de vibrații ale plăcilor, ale unor suprafețe de rotație fie din cauză că ajung la scheme foarte complicate de realizat, fie că utilizează elemente cărora li se presupun calități pe care acestea nu le au (transformatori perfecți de exemplu) și transformă numai calculul de rezistență într-un calcul de rețea electrică.

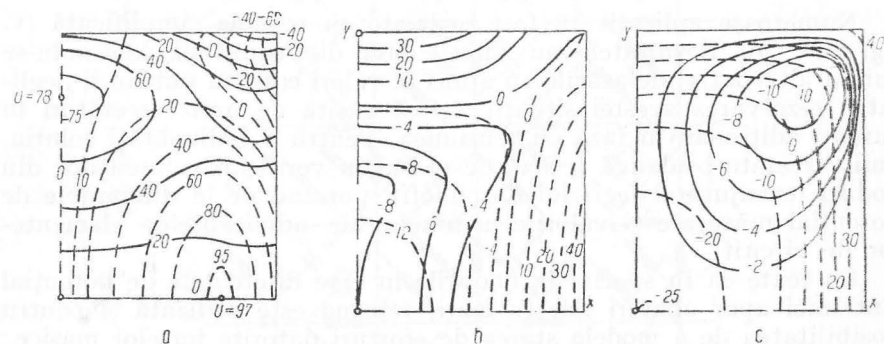


Fig. 6.33

\* Ameliancik A. V. „Rešenje temperaturnih zadaci teorij uprugosti posredstvom elektriceskih eevivalentnih țepej uprugovo polia.” În: IZV AN SSSR-OTN Meh. i Maș. nr. 4, 1959.

## APLICAȚII ALE CALCULULUI ELASTIC. CALCULUL PLĂCILOR ORTOTROPE. CALCULUL SISTEMELOR CU FIRE

### 7.1. GENERALITĂȚI

În ultimii douăzeci de ani studiile teoretice aprofundate întreprinse precum și cunoașterea din ce în ce mai precisă a comportării principalelor materiale de construcție au condus la dezvoltarea de noi forme structurale. Ca urmare, funcționalitatea devine un criteriu din ce în ce mai căutat, iar utilizarea materialelor cu maximum de eficiență, cu respectarea unei siguranțe bine stăpînite, devine un imperativ. Aceste împrejurări fac ca, în ultima vreme, un calcul cu ipoteze simplificatoare să fie înlocuit cu o analiză structurală precisă, extinsă în spațiul cu două sau trei dimensiuni. Funcționalitatea, reprezentînd alegerea unor forme cît mai raționale, adaptate suplu scopului urmărit, trebuie să conducă în final la economie și siguranță. Este interesant de remarcat că acest criteriu o dată adoptat satisface în general, sau cel puțin creează premisele, pentru satisfacerea cerințelor estetice.

În cele ce urmează se prezintă cîteva sisteme constructive care cunosc o aplicare din ce în ce mai largă în acest domeniu: plăci ortotrope, sistemele întinse sau cu fire.

### 7.2. ELEMENTE ORTOTROPE

Necesitatea crescîndă a satisfacerii cerințelor de eficiență a utilizării materialelor a determinat o aplicare din ce în ce mai mare în ultimii 15 ani în unele construcții, mai ales în cele inginerești, a utili-

zării plăcilor *ortotrope*, adică a plăcilor care prezintă o anizotropie ortogonală. Ca în multe alte domenii ale construcțiilor, această soluție, expresie a unui nivel superior al calculului și a posibilităților de execuție, s-a impus întîi în tehnica podurilor, și anume a podurilor metalice. Într-adevăr, realizarea unor importante poduri metalice cu un consum redus de oțel era posibilă pe două căi: a) o eficiență utilizare a oțelului și b) o reducere maximă a greutateii moarte a structurii. O eficiență ridicată a utilizării materialului s-a atins prin folosirea de oțeluri superioare, prin aplicarea sudurii, prin adoptarea de scheme statice spațiale avînd o capacitate portantă superioară. În ceea ce privește reducerea greutateii moarte, factor hotărîtor la deschideri și lățimi de cale mari, ea se obține prin adoptarea unor platelaje ușoare din care placa ortotropă reprezintă soluția cea mai rațională. Ulterior, și tot în domeniul construcțiilor de poduri, s-a constatat că procedeele de calcul ale plăcilor ortotrope, verificate de practică între timp, pot fi avantajos aplicate la calculul rețelelor de grinzi ortogonale de beton armat sau precomprimat, al căror calcul prin metodele clasice era laborios și introducea în plus și anumite ipoteze care aveau mai mult meritul de a aduce simplificări în calcul decît acela de a fi verificate experimental.

În tehnica podurilor placa ortotropă s-a impus inițial ca element al platelajului la marile suprastructuri metalice. Este alcătuită în general dintr-o tolă de oțel de grosime 10 — 25 mm (fig. 7.1) rigidizată cu nervuri a căror secțiune transversală a evoluat de la simpla diafragmă sudată vertical pe tolă, pînă la nervura casetată formînd un profil închis cu mare rigiditate la torsiune.

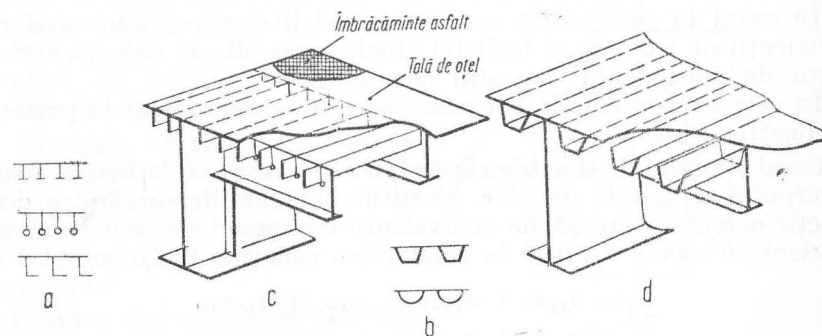


Fig. 7.1



### 7.2.1. Corpul anizotrop

Un corp elastic se numește izotrop dacă proprietățile sale elastice sînt identice în toate direcțiile și anizotrop dacă aceste proprietăți pentru diferite direcții sînt diferite. Un corp elastic se numește omogen dacă proprietățile sale elastice sînt identice pentru toate direcțiile paralele duse prin diferite puncte alese arbitrar. Această diferență este echivalentă cu condiția ca toate elementele paralelipipedice dreptunghice identice cu fațetele paralele, duse în orice punct al corpului elastic, să aibă proprietăți elastice identice.

Dacă corpul în structura sa prezintă o simetrie internă, atunci și în proprietățile sale elastice se constată o simetrie denumită în general *simetrie elastică*, manifestată prin aceea că în fiecare punct al corpului se pot identifica direcții denumite *echivalente* pentru care proprietățile elastice sînt identice. Asemenea simetrii elastice posedă cristalele.

Fie un corp elastic omogen, avînd o anizotropie generală, lipsită de orice simetrie elastică. Legea lui Hooke generalizată poate fi exprimată atunci într-un sistem de referință ortogonal  $x, y, z$ , sub următoarea formă:

[illegible]

în care coeficienții  $a_{11}, a_{12}, \dots, a_{66}$  sînt niște constante elastice din care distincte în cazul general sînt 21.

În cazul în care există anumite simetrii elastice, între unii din coeficienții de tipul  $a_{ij}$  ai legii lui Hooke generalizate se pot exprima relații de dependență, iar alții se anulează.

În cele ce urmează se vor examina cîteva cazuri mai importante de simetrie elastică.

**Cazul planului de simetrie elastică.** Presupunând că în fiecare punct al corpului se găsește un plan constituind planul de simetrie a două direcții oarecare care să fie echivalente din punct de vedere elastic și orientînd axa  $z$  normală la acest plan, ecuațiile (7.1) devin :

$$\begin{aligned}\varepsilon_x &= a_{11}\sigma_x + a_{12}\sigma_y + a_{13}\sigma_z + a_{16}\tau_{xy} \\ \varepsilon_y &= a_{12}\sigma_x + a_{22}\sigma_y + a_{23}\sigma_z + a_{26}\tau_{xy} \\ \varepsilon_z &= a_{13}\sigma_x + a_{23}\sigma_y + a_{33}\sigma_z + a_{36}\tau_{xy}\end{aligned}$$

$$\begin{aligned}\gamma_{yz} &= a_{44}\tau_{yz} + a_{45}\tau_{xz} \\ \gamma_{xz} &= a_{45}\tau_{yz} + a_{55}\tau_{xz} \\ \gamma_{xy} &= a_{16}\sigma_x + a_{26}\sigma_y + a_{36}\sigma_z + a_{66}\tau_{xy}\end{aligned}$$

deoarece :

$$a_{14} = a_{15} = a_{24} = a_{34} = a_{35} = a_{46} = a_{56} = 0.$$

Astfel, numărul constantelor  $a_{ij}$  s-a redus la 13.

Pentru a ilustra cele expuse în acest paragraf să luăm un element paralelipipedic dreptunghi avînd două fațete paralele cu planul de simetrie elastică, fațete pe care acționează efortul unitar de întindere (sau de compresiune)  $\sigma_x$  (fig. 7.2). Deoarece

$$\sigma_x = \sigma_y = 0; \sigma_z \neq 0$$

$$\tau_{xy} = \tau_{yz} = \tau_{zx} = 0$$

sistemul de ecuații (7.2) devine:

$$\begin{aligned}\varepsilon_x &= a_{13}\sigma_z; & \gamma_{yz} &= 0 \\ \varepsilon_y &= a_{23}\sigma_z; & \gamma_{xz} &= 0 \\ \varepsilon_z &= a_{33}\sigma_z; & \gamma_{xy} &= a_{36}\sigma_z.\end{aligned}$$

Aceste relații exprimă faptul că unghiurile drepte dintre segmentele normale pe planul de simetrie elastică și segmentele din acest plan nu se modifică ( $\gamma_{yz} = \gamma_{xz} = 0$ ), alterându-se numai unghiurile drepte din planul  $xOy$  ( $\gamma_{xy} \neq 0$ ). Rezultă că paralelipipedul inițial după deformare va avea fețele laterale dreptunghiuri iar bazele paralelograme. În cazul unui corp care nu prezintă plan de simetrie elastică, paralelipipedul dreptunghic supus la efort de întindere sau compresiune devine paralelipiped oblic.

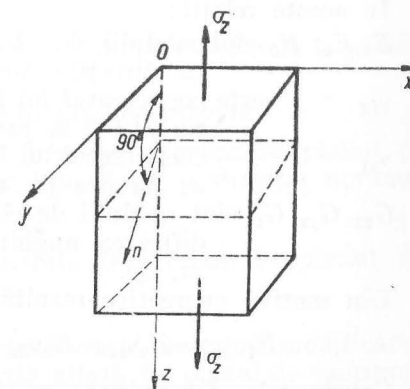


Fig. 7.2

Direcțiile normale la planul de simetrie elastică se numesc direcții principale de elasticitate. În cazul expus, prin fiecare punct al corpului trece o direcție principală de elasticitate.

**Cazul a trei plane de simetrie elastică.** Dacă prin fiecare punct al unui corp omogen trec trei plane

perpendiculare între ele, plane de simetrie elastică, ecuațiile legii lui Hooke generalizate se pot scrie luând ca plane de referință chiar aceste plane :

$$\begin{aligned}\varepsilon_x &= a_{11}\sigma_x + a_{12}\sigma_y + a_{13}\sigma_z; & \gamma_{yz} &= a_{44}\tau_{yz} \\ \varepsilon_y &= a_{12}\sigma_x + a_{22}\sigma_y + a_{23}\sigma_z; & \gamma_{xz} &= a_{55}\tau_{xz} \\ \varepsilon_z &= a_{13}\sigma_x + a_{23}\sigma_y + a_{33}\sigma_z; & \gamma_{xy} &= a_{66}\tau_{xy}.\end{aligned}\quad (7.3)$$

Numărul constantelor care ilustrează proprietățile elastice ale corpului sînt nouă; prin fiecare punct trec trei direcții principale de elasticitate. Un astfel de corp se numește ortogonal-anizotrop sau ortotrop. Un element paralelipiped dreptunghic detașat dintr-un astfel de corp prin plane paralele cu planele de simetrie elastică după o solitare la întindere sau compresiune după una din axe rămîne paralelipiped dreptunghic.

Sistemul de ecuații (7.3) poate fi pus și sub altă formă dacă constantele generale elastice  $a_{ij}$  sînt desemnate prin denumirile folosite curent în teoria elasticității, și anume: modulul de elasticitate, coeficientul lui Poisson și modulul de elasticitate transversal

$$\begin{aligned}\varepsilon_x &= \frac{1}{E_1}\sigma_x - \frac{\nu_{21}}{E_2}\sigma_y - \frac{\nu_{31}}{E_3}\sigma_z; & \gamma_{yz} &= \frac{1}{G_{23}}\tau_{yz} \\ \varepsilon_y &= -\frac{\nu_{12}}{E_1}\sigma_x + \frac{1}{E_2}\sigma_y - \frac{\nu_{32}}{E_3}\sigma_z; & \gamma_{xz} &= \frac{1}{G_{13}}\tau_{xz} \\ \varepsilon_z &= -\frac{\nu_{13}}{E_1}\sigma_x - \frac{\nu_{23}}{E_2}\sigma_y + \frac{1}{E_3}\sigma_z; & \gamma_{xy} &= \frac{1}{G_{12}}\tau_{xy}.\end{aligned}\quad (7.4)$$

În aceste relații :

$E_1, E_2, E_3$  sînt modulii de elasticitate la întindere (compresiune) pe direcțiile principale elastice  $x, y, z$ ;

$\nu_{12}$  este coeficientul lui Poisson ilustrînd scurtarea pe direcția  $y$  cînd se produce o lungire pe direcția  $x$ ;

$\nu_{21}$  — coeficientul lui Poisson ilustrînd scurtare pe direcția  $x$ , lungire pe direcția  $y$ .

$G_{23}, G_{13}, G_{12}$  sînt modulii de elasticitate transversali ilustrînd modificarea unghiului dintre direcțiile principale  $yz, xz, xy$ .

Din motive energetice rezultă :

$$E_1\nu_{21} = E_2\nu_{12}; \quad E_2\nu_{32} = E_3\nu_{23}; \quad E_3\nu_{13} = E_1\nu_{31}.$$

Constantele determinate pe direcțiile principale de elasticitate poartă numele de constante principale elastice.

**Izotropia plană.** Dacă prin fiecare punct al unui corp trece un plan în care toate direcțiile sînt echivalente din punct de vedere al proprietăților elastice, atunci legea lui Hooke generalizată exprimată într-un sistem de referință cu axa  $z$  normală la acest plan devine :

$$\begin{aligned}\varepsilon_x &= a_{11}\sigma_x + a_{12}\sigma_y + a_{13}\sigma_z; & \gamma_{yz} &= a_{44}\tau_{yz} \\ \varepsilon_y &= a_{12}\sigma_x + a_{11}\sigma_y + a_{13}\sigma_z; & \gamma_{xz} &= a_{44}\tau_{xz} \\ \varepsilon_z &= a_{13}(\sigma_x + \sigma_y) + a_{33}\sigma_z; & \gamma_{xy} &= 2(a_{11} - a_{12})\tau_{xy}.\end{aligned}\quad (7.5)$$

Constantele elastice se reduc la cinci. Corpul se bucură de o anizotropie denumită de A. Love *anizotropie transversală*. Direcția normală la planul de izotropie și toate direcțiile în acest plan sînt direcții principale elastice. Folosind constantele uzuale, ecuațiile (7.5) devin:

$$\begin{aligned}\varepsilon_x &= \frac{1}{E}(\sigma_x - \nu\sigma_y) - \frac{\nu'}{E'}\sigma_z; & \gamma_{yz} &= \frac{1}{G'}\tau_{yz} \\ \varepsilon_y &= \frac{1}{E}(\sigma_y - \nu\sigma_x) - \frac{\nu'}{E'}\sigma_z; & \gamma_{xz} &= \frac{1}{G'}\tau_{xz} \\ \varepsilon_z &= -\frac{\nu'}{E'}(\sigma_x + \sigma_y) + \frac{1}{E'}\sigma_z; & \gamma_{xy} &= \frac{1}{G}\tau_{xy}\end{aligned}\quad (7.6)$$

în care :

$E$  este modulul de elasticitate după o direcție în planul de izotropie;

$E'$  — modulul de elasticitate după o direcție normală la planul de izotropie;

$\nu$  — coeficientul lui Poisson în planul de izotropie;

$\nu'$  — coeficientul lui Poisson ilustrînd scurtări în planul de izotropie cînd se produc lungiri pe o direcție normală la acest plan;

$G = \frac{E}{2(1 + \nu)}$  — modulul de elasticitate transversal în planul de izotropie;

$G'$  — modulul de elasticitate transversal ilustrînd modificarea unghiului dintre o direcție aflată în planul de izotropie și una normală pe acest plan.

### 7.2.2. Simetria generală. Corpul izotrop

În cazul corpului izotrop orice plan este un plan de simetrie elastică și orice direcție, o direcție principală elastică. Ecuațiile care exprimă legea lui Hooke generalizată devin:

$$\begin{aligned}\varepsilon_x &= \frac{1}{E} [\sigma_x - \nu(\sigma_y + \sigma_z)]; & \gamma_{yz} &= \frac{1}{G} \tau_{yz} \\ \varepsilon_y &= \frac{1}{E} [\sigma_y - \nu(\sigma_x + \sigma_z)]; & \gamma_{xz} &= \frac{1}{G} \tau_{xz} \\ \varepsilon_z &= \frac{1}{E} [\sigma_z - \nu(\sigma_x + \sigma_y)]; & \gamma_{xy} &= \frac{1}{G} \tau_{xy}\end{aligned}\quad (7.7)$$

în care:

$E$  este modul de elasticitate;

$\nu$  — coeficientul lui Poisson;

$G = \frac{E}{2(1 + \nu)}$  — modulul de elasticitate transversal.

În cazul corpului izotrop, la schimbarea sistemului de referință sistemul de ecuații (7.7) nu se schimbă deoarece constantele elastice  $E$ ,  $\nu$  își păstrează valorile.

În cazul corpului anizotrop, trecerea de la un sistem de referință la altul antrenează valori noi ale coeficienților  $a_{ij}$ .

### 7.3. ELEMENTE DE CALCUL AL PLĂCILOR ORTOTROPE

Dacă în cazul unei plăci ortotrope luăm un sistem de referință cu axele paralele cu direcțiile după care placa are rigidități diferite, această proprietate a plăcii poate fi exprimată prin:

$$D_x \neq D_y$$

în care  $D_x$  și  $D_y$  sînt rigiditățile plăcii pe cele două direcții.

Această anizotropie poate proveni fie din proprietăți mecanice diferite ale materialului în lungul celor două direcții, deci moduli de elasticitate diferiți:

$$E_x \neq E_y$$

fie din caracteristici geometrice diferite ale secțiunilor normale pe cele două direcții, deci momente de inerție diferite:

$$I_x \neq I_y.$$

Din prima categorie de plăci ortotrope fac parte plăcile de lemn. Într-adevăr, dacă axa  $x$  este paralelă cu fibrele, iar axa  $y$  normală pe ele, modulul de elasticitate în direcția  $y$  este aproximativ a zecea parte din cel de pe direcția  $x$  ( $E_y = 0,1 E_x$ ) (fig. 7.3). În cea de a doua categorie se situează o mare parte a plăcilor aplicate în construcții, începînd cu simpla placă din tablă ondulată (fig. 7.4) și terminînd cu rețeaua de grinzi constituind un *grătar de grinzi*, folosit la plate-lajul podurilor sau la planșeele casetate ale clădirilor. La placa ortotropă din tablă ondulată din fig. 7.4 metalul este omogen și izotrop,  $E_x = E_y$ , dar secțiunile  $O_x$  și  $O_y$  relevă:  $I_y \gg I_x$ .

Ipotezele de bază în teoria plăcilor ortotrope sînt aceleași ca cele admise în teoria plăcilor omogene și izotrope:

1) Grosimea plăcii este mică raportată la celelalte două dimensiuni ale plăcii.

2) Deformațiile  $w$  sînt mici raportate la grosimea plăcii.

3) Eforturile unitare  $\sigma_z$  sînt mici și influența lor în deformarea plăcii poate fi neglijată.

Ținînd seama de aceste ipoteze de calcul ceea ce revine la:  $\sigma_z = 0$ ;  $\varepsilon_z = 0$ ;  $\gamma_{yz} = \gamma_{zx} = 0$  și de sistemul de ecuații (7.4), putem exprima eforturile unitare într-o placă ortotropă după cum urmează:

$$\begin{aligned}\sigma_x &= E'_x \varepsilon_x + E''_y \varepsilon_y \\ \sigma_y &= E'_y \varepsilon_y + E''_x \varepsilon_x \\ \tau_{xy} &= G \gamma_{xy}.\end{aligned}\quad (7.8)$$

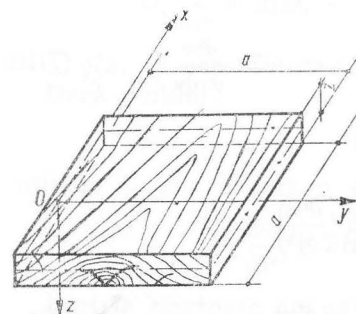


Fig. 7.3

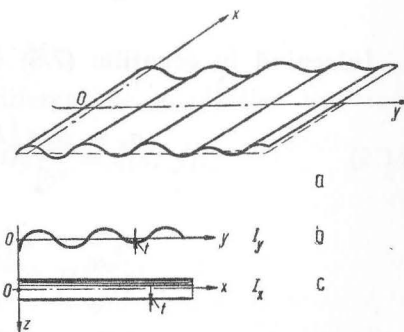


Fig. 7.4

Constantele elastice, în număr de patru sînt:  $E'_x$ ,  $E'_y$ ,  $E''$  și  $G$ , iar cu semnificațiile care s-au dat anterior ele capătă expresiile:

$$\begin{aligned} E'_x &= \frac{E_1}{1 - \nu_{12}\nu_{21}} \\ E'_y &= \frac{E_2}{1 - \nu_{12}\nu_{21}} \\ E'' &= \frac{\nu_{21}E_1}{1 - \nu_{12}\nu_{21}} = \frac{\nu_{12}E_2}{1 - \nu_{12}\nu_{21}}. \end{aligned} \quad (7.9)$$

Se vede ușor că în cazul plăcilor izotrope:

$E_1 = E_2 = E$ ;  $\nu_{12} = \nu_{21} = \nu$  iar relațiile se transformă în:

$$E'_x = E'_y = \frac{E}{1 - \nu^2}; \quad E'' = \frac{\nu E}{1 - \nu^2}.$$

Constantele  $E'_x$ ,  $E'_y$ ,  $E''$ ,  $G$  se găsesc în tabele. De exemplu, pentru placajul de lemn:  $E'_x = 130\,000 \text{ kgf/cm}^2$ ;  $E'_y = 42\,000 \text{ kgf/cm}^2$ ;  $E'' = 5\,100 \text{ kgf/cm}^2$ ,  $G = 11\,000 \text{ kgf/cm}^2$ .

Admițînd ca și în cazul plăcilor izotrope că elementele rectilinii normale la planul median al plăcii (planul  $xy$ ) rămîn și după deformare rectilinii și normale la suprafața deformată, putem scrie în conformitate cu teoria generală a plăcilor:

$$\varepsilon_x = -z \frac{\partial^2 w}{\partial x^2}; \quad \varepsilon_y = -z \frac{\partial^2 w}{\partial y^2}; \quad \gamma_{xy} = -2z \frac{\partial^2 w}{\partial x \partial y}. \quad (7.10)$$

Înlocuind în ecuațiile (7.8) obținem:

$$\begin{aligned} \sigma_x &= -z \left( E'_x \frac{\partial^2 w}{\partial x^2} + E'' \frac{\partial^2 w}{\partial y^2} \right) \\ \sigma_y &= -z \left( E'_y \frac{\partial^2 w}{\partial y^2} + E'' \frac{\partial^2 w}{\partial x^2} \right) \\ \tau_{xy} &= -2Gz \frac{\partial^2 w}{\partial x \partial y}. \end{aligned} \quad (7.11)$$

Momentele încovoietoare și de torsiune vor avea expresiile:

$$\begin{aligned} M_x &= \int_{-\frac{h}{2}}^{\frac{h}{2}} \sigma_x z dz = - \left( D_x \frac{\partial^2 w}{\partial x^2} + D_1 \frac{\partial^2 w}{\partial y^2} \right) \\ M_y &= \int_{-\frac{h}{2}}^{\frac{h}{2}} \sigma_y z dz = - \left( D_y \frac{\partial^2 w}{\partial y^2} + D_1 \frac{\partial^2 w}{\partial x^2} \right) \\ M_{xy} &= \int_{-\frac{h}{2}}^{\frac{h}{2}} \tau_{xy} z dz = 2D_{xy} \frac{\partial^2 w}{\partial x \partial y} \end{aligned} \quad (7.12)$$

în care s-au făcut următoarele notații:

$$D_x = \frac{E'_x h^3}{12}; \quad D_y = \frac{E'_y h^3}{12}; \quad D_1 = \frac{E'' h^3}{12}; \quad D_{xy} = \frac{G h^3}{12}. \quad (7.13)$$

Expresiile (7.11) introduse în ecuația de echilibru a plăcilor

$$\frac{\partial^2 M_x}{\partial x^2} + \frac{\partial^2 M_y}{\partial y^2} - 2 \frac{\partial^2 M_{xy}}{\partial x \partial y} = -q(x, y)$$

dau:

$$D_x \frac{\partial^4 w}{\partial x^4} + 2(D_1 + 2D_{xy}) \frac{\partial^4 w}{\partial x^2 \partial y^2} + D_y \frac{\partial^4 w}{\partial y^4} = q(x, y)$$

unde  $q(x, y)$  este intensitatea încărcării normale la placă.

Dacă notăm:

$$H = D_1 + 2D_{xy}$$

obținem forma uzuală a ecuației diferențiale a plăcilor ortotrope

$$D_x \frac{\partial^4 w}{\partial x^4} + 2H \frac{\partial^4 w}{\partial x^2 \partial y^2} + D_y \frac{\partial^4 w}{\partial y^4} = q(x, y). \quad (7.14)$$

Forțele tăietoare au expresiile:

$$\begin{aligned} Q_x &= -\frac{\partial}{\partial x} \left( D_x \frac{\partial^2 w}{\partial x^2} + H \frac{\partial^2 w}{\partial y^2} \right) \\ Q_y &= -\frac{\partial}{\partial y} \left( D_y \frac{\partial^2 w}{\partial y^2} + H \frac{\partial^2 w}{\partial x^2} \right). \end{aligned} \quad (7.15)$$



Ținând seama de relațiile (7.13) și (7.9), coeficienții ecuației diferențiale (7.14) au următoarele semnificații:

$$D_x = \frac{E_x h^3}{12(1 - \nu_x \nu_y)}; \quad D_y = \frac{E_y h^3}{12(1 - \nu_x \nu_y)}$$

$$2H = 2(D_1 + 2D_{xy})$$

$$D_1 = \nu_y D_x = \nu_x D_y$$

$$D_{xy} = \frac{G h^3}{12}$$

în care:

$\nu_x$  este coeficientul lui Poisson pe direcția  $x$ ;

$\nu_y$  — coeficientul lui Poisson pe direcția  $y$ ;

$E_x$  — modulul de elasticitate pe direcția  $x$ ;

$E_y$  — modulul de elasticitate pe direcția  $y$ .

Cu aceste notații și punind  $D_{xy} = c$  ecuația (7.13) poate căpăta aspectul sub care a fost descrisă și publicată de Huber în anul 1923:

$$D_x \frac{\partial^4 w}{\partial x^4} + (4c + \nu_y D_x + \nu_x D_y) \frac{\partial^4 w}{\partial x^2 \partial y^2} + D_y \frac{\partial^4 w}{\partial y^4} = q(x, y) \quad (7.16)$$

în care coeficientul  $(4c + \nu_y D_x + \nu_x D_y) = 2H$ .

Se vede ușor că în cazul plăcilor izotrope când  $E_x = E_y = E$ , iar  $\nu_x = \nu_y = \nu$ , coeficienții de mai înainte devin:

$$D_x = D_y = \frac{E h^3}{12(1 - \nu^2)}$$

$$H = D_1 + 2D_{xy} = \frac{h^3}{12} \left( \frac{\nu E}{1 - \nu^2} + \frac{E}{1 + \nu} \right) = \frac{E h^3}{12(1 - \nu^2)}.$$

*Discuție asupra coeficienților.* Proprietățile elastice ale unei plăci ortotrope sînt determinate de coeficienții ecuației diferențiale (7.14) denumiți și *rigidități* ale plăcii, și anume:

$D_x$  — rigiditatea la încovoiere a plăcii pe direcția  $x$ ;

$D_y$  — rigiditatea la încovoiere a plăcii pe direcția  $y$ ;

$H$  — rigiditatea la torsiune.

Rigiditățile la încovoiere  $D_x$  și  $D_y$  se referă la fișii de placă pe direcția  $x$  sau  $y$  de lățime unitară și grosime  $h$ .

În ceea ce privește rigiditatea la torsiune, ea este compusă din trei termeni din care primul  $C = D_{xy}$  se definește ca inversul unghiului de răsucire a unei plăci elementare de dimensiuni  $dx = dy = 1$  când este acționată de momentele de torsiune unitare  $M_{xy} = M_{yx} = 1$ .

În conformitate cu fig. 7.5 rezultă  $2C = \frac{1}{\theta}$ .

Spre deosebire de coeficienții  $D_x$  și  $D_y$ , determinarea valorii coeficientului  $2C$  prezintă dificultăți atât pe cale teoretică cît și pe cale experimentală. Huber a recomandat o expresie aproximativă:

$$2C = (1 - \sqrt{\nu_x \nu_y}) \sqrt{D_x D_y}. \quad (7.17)$$

Dacă în conformitate cu teorema reciprocității lucrului mecanic a lui Betti avem:

$$D_x \nu_y = D_y \nu_x$$

sau

$$\frac{D_x}{D_y} = \frac{\nu_x}{\nu_y}$$

atunci expresia rigidității la torsiune cu acceptarea formulei lui Huber devine:

$$H = \sqrt{D_x D_y} \quad (7.18)$$

care este recomandată pentru cazul plăcilor de beton armat a căror anizotropie provine din rigidizări cu nervuri pe două direcții ortogonale.

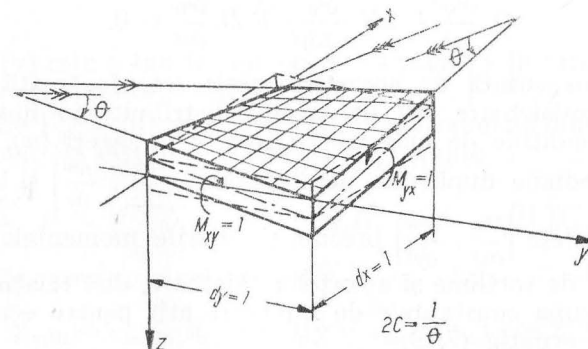


Fig. 7.5

În fig. 7.6\* se dă o comparație între comportarea unei plăci izotrope și a uneia ortotrope de aceeași deschideri, cu aceeași rezemare și încărcare.

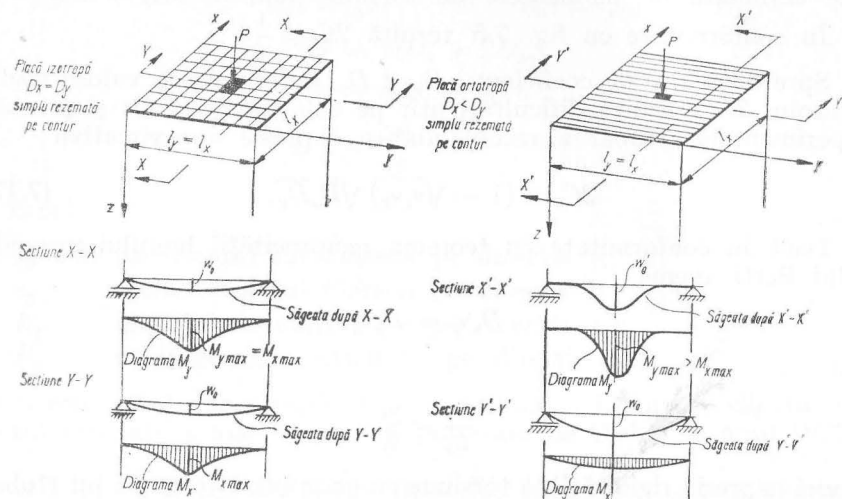


Fig. 7.6

Găsirea unei funcții  $w(x, y)$  care să satisfacă ecuația (7.14) adică rezolvarea acestei ecuații diferențiale neomogene este dificilă.

Pe porțiunile pe care nu se află încărcări  $q(x, y) = 0$ , ecuația diferențială devenită omogenă capătă aspectul:

$$D_x \frac{\partial^4 w}{\partial x^4} + 2H \frac{\partial^4 w}{\partial x^2 \partial y^2} + D_y \frac{\partial^4 w}{\partial y^4} = 0. \quad (7.19)$$

Placa reprezentată de această ecuație este încărcată numai de momente încovoietoare sau de sarcini distribuite în lungul marginilor sale. Condițiile de margine cu privire la săgeți ( $w$ ), la pantele suprafeței mediane după cele două direcții  $\left(\frac{\partial w}{\partial x}, \frac{\partial w}{\partial y}\right)$  și la curburile

aceleiași suprafețe  $\left(\frac{\partial^2 w}{\partial x^2}, \frac{\partial^2 w}{\partial y^2}\right)$  precum și valorile momentelor încovoietoare, a celor de torsiune și a forțelor tăietoare, dau relațiile din care se pot determina constantele de integrare atât pentru ecuația (7.14) cât și pentru ecuația (7.19).

\* După American Institute of Steel Constructions.

O soluție generală a ecuației neomogene (7.14) se poate obține din însumarea unei soluții generale a ecuației omogene (7.19) avînd aceiași coeficienți, cu o soluție particulară a ecuației neomogene (7.14) adică:

$$w = w_h + w_p. \quad (7.20)$$

Această relație exprimă săgeata plăcii ortotrope într-un punct ca fiind suma a două săgeți  $w_h$  și  $w_p$  date de cîte o funcție  $w(x, y)$ , și anume:

- $w_p(x, y)$  — suprafața deformată a plăcii din încărcarea  $p(x, y)$  satisfăcînd unele condiții de margine, dar nu pe toate;
- $w_h(x, y)$  — suprafața deformată a plăcii neavînd încărcări  $q(x, y) = 0$  în interiorul conturului său, dar fiind supusă la efectul unor momente încovoietoare sau încărcări distribuite pe contur așa fel încît să realizeze prin însumarea cu  $w_p(x, y)$  deformația reală a plăcii, satisfăcînd toate condițiile de contur.

Găsirea unei funcții  $w_h(x, y)$  este adesea dificilă și se recurge de cele mai multe ori la exprimarea ei printr-o serie infinită.

Cazul general al unei plăci ortotrope (v. fig. 7.8) este cel în care pentru marginile  $x = 0$  și  $x = l$  placa este simplu rezemată iar pentru marginile  $y = \pm b$  placa este fie liberă, fie simplu rezemată.

Pentru astfel de cazuri, o soluție a ecuației omogene (7.10) poate fi dată de o serie simplă Maurice Lévi de forma:

$$w_h = \sum_{n=1}^{\infty} Y_n(y) \sin \frac{n\pi x}{l} \quad (7.21)$$

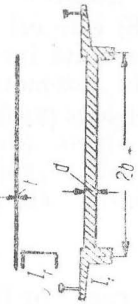
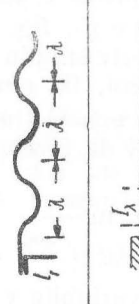
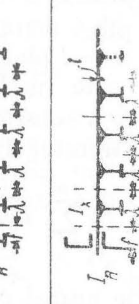
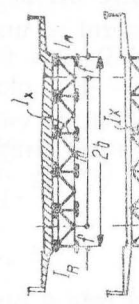
în care  $Y_n(y)$  este o funcție numai de variabila  $y$  în care vor fi incluși coeficienții de rigiditate  $D_x$ ,  $D_y$  și  $H$ .

Funcțiile  $Y_n(y)$  au expresii diferite după raportul dintre coeficienții de rigiditate. Se disting trei cazuri importante:

$$H > \sqrt{D_x D_y} \quad H = \sqrt{D_x D_y} \quad H < \sqrt{D_x D_y}.$$

De exemplu, pentru cazul  $H < \sqrt{D_x D_y}$  se obține:

$$Y_n(y) = c_{1n} \operatorname{sh} \alpha_n y \sin \beta_n y + c_{2n} \operatorname{ch} \alpha_n y \cos \beta_n y + c_{3n} \operatorname{sh} \alpha_n y \cos \beta_n y + c_{4n} \operatorname{ch} \alpha_n y \sin \beta_n y$$

Nr. crt.		Schema	$D_x$	$D_y$	Contractie transversală	$H$
1	Placă izotropă		$\frac{Et^3}{12(1-\nu^2)}$	$\frac{Et^3}{12(1-\nu^2)}$	Oțel $\nu = 0,3$ Beton $\nu = 0,1 \dots 0,2$	Cazul I $H = \frac{Et^3}{12(1-\nu^2)}$
2	Placă anizotropă		$\frac{EI_x}{\lambda(1-\nu_y^2)}$	$\frac{EI_y}{l(1-\nu_x^2)}$	$\frac{\nu_x}{\nu_y} = \frac{D_x}{D_y}$ cu $\nu_{max} = \nu$ sau $\nu_x = \nu_y = 0$	Cazul I $H = \sqrt{D_x D_y}$
3			$\frac{EI_x}{\lambda}$	$\frac{Et^3}{12(1-\nu^2)}$	$\nu_x = \nu_y = 0$	Cazul II $0 < H < \sqrt{D_x D_y}$
4			$\frac{E \sum I_x}{m}$	$\frac{E \sum I_y}{l}$	$\nu_x = \nu_y = 0$	Cazul III $H = 0$

în care:

$c_{in}$  sînt constante de integrare care se determină prin condițiile de contur

$$\alpha_n = \frac{n\pi}{l} \sqrt{\frac{1}{2D_y} (\sqrt{D_x D_y} + H)};$$

$$\beta_n = \frac{n\pi}{l} \sqrt{\frac{1}{2D_y} (\sqrt{D_x D_y} - H)}.$$

În ceea ce privește o soluție particulară  $w_p(x, y)$  a ecuației (7.14), pentru o placă ortotropă cu aceleași condiții de rezemare ca cea din fig. 1.7 poate fi considerată ecuația fibrei deformate a unei fișii de placă simplu rezemată la capete de deschidere  $l$ . Singura condiție de observat este că această soluție trebuie să conțină sarcina  $q$  dezvoltată în serie pentru a putea fi introdusă în soluția (7.19), cu alte cuvinte trebuie să fie de forma:

$$w_p = \frac{1}{D_x} \sum_{n=1}^{\infty} \left( \frac{l}{n\pi} \right)^4 p(x). \quad (7.22)$$

În această expresie, încărcarea fiind numai funcție de  $x$ , dacă în realitate pe direcția  $y$  ea nu are aceeași valoare pe toată lățimea dalei, procedeul de calcul se aplică unor fișii separate legate între ele prin condiții de margine. Mai mult încă, dacă sarcinile se prezintă ca distribuite numai în direcția  $x$ , ecuația suprafeței deformate  $(x, y)$  se obține din ecuația omogenă (7.19) aplicînd-o unor fișii încărcate numai pe marginea lor.

Pentru diferite structuri care pot fi privite ca plăci ortotrope, W. Cornelius a stabilit ecuațiile diferențiale corespunzătoare factorilor de rigiditate și a dat și soluțiile acestor ecuații. În tabelul de la pag. 196 se arată principalele cazuri studiate de W. Cornelius.

#### 7.4. APLICAREA CALCULULUI PLĂCILOR ORTOTROPE LA REȚELELE DE GRINZI. METODA GUYON-MASSONNET

Majoritatea structurilor de poduri din beton armat cît și cele metalice cu lățimea căii de o anumită dimensiune recurg pentru realizarea platelajului la o rețea de grinzi care suportă calea. De asemenea, este cunoscută rezolvarea problemei acoperirii unor suprafețe mari de planșee la construcțiile civile și industriale printr-un sistem de grinzi, fie ortogonale, fie făcînd un unghi nu prea ascuțit între ele,

rezolvare pe cât de economică, pe atât de estetică. Rezolvarea prin metodele staticii clasice a acestor sisteme implică rezolvarea unor sisteme cu ecuații necesitînd un important volum de muncă. În tehnica podurilor sînt cunoscute metodele de calcul elaborate de F. Leonhardt.

În ultima vreme calculul plăcilor ortotrope a fost aplicat și la calculul rețelelor de grinzi a căror structură în general se prezintă ca în fig. 7.7.

Interesul prezentat de această nouă metodă de calcul se explică prin faptul că în zilele noastre, în traficul rutier, sarcinile utile concentrate cunosc sporuri rapide, neîntîlnite în trecut: se pot întîlni azi vehicule în circulație atîngînd 200 t greutate totală. Structurile care suportă asemenea încărcări capătă forme deosebite, ieșite din comun, dictate de cerințele moderne ale autostrăzilor (intersecții denivelate, lățimi neobișnuite). Determinarea solicitărilor efective produse de asemenea sarcini mobile devine o problemă dificilă. Soluția cea mai rațională va fi aceea care va asigura o repartizare cât mai uniformă a sarcinilor între toate elementele structurii în cele mai multe din schemele de încărcare. Cu cât conlucrarea tuturor grinzilor rețelei este mai activă, cu atât soluția este mai economică. Problema rezolvării sistemului devine în ultima analiză problema stabilirii modului de repartizare, a determinării suprafeței de influență a sistemului.

Guyon și Massonnet au asimilat rețeaua de grinzi cu un mediu continuu, cu anizotropie ortogonală, și au aplicat ecuația diferențială a lui Huber. În fig. 7.7 este reprezentată structura curentă a unui pod de beton armat sau beton precomprimat, din elemente prefabricate. Conlucrarea grinzilor se face prin solidarizarea antretoazelor fie prin realizarea continuității rosturilor lor, fie prin precomprimare transversală. Rețeaua de grinzi este asimilată cu o placă

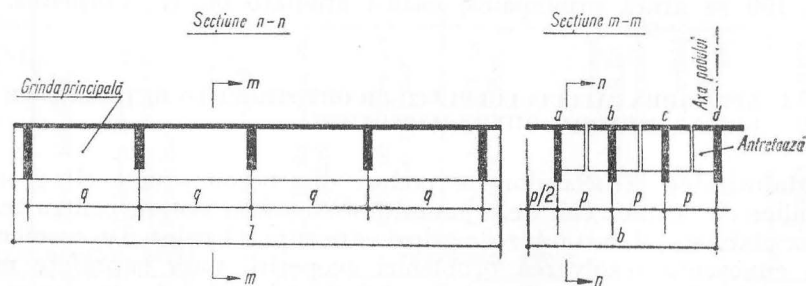


Fig. 7.7

ortotropă de deschidere  $l$  și lățime  $2b$ , simplu rezemată la extremități și liberă pe celelalte două laturi.

În ecuația (7.14):

$$D_x \frac{\partial^4 w}{\partial x^4} + 2H \frac{\partial^4 w}{\partial x^2 \partial y^2} + D_y \frac{\partial^4 w}{\partial y^4} = \bar{q}(x, y)$$

coeficienții vor avea următoarele expresii pentru o structură reticulară asimilată cu una continuă, și anume cu o placă ortotropă, prin reducerea rigidităților la încovoiere și la torsiune la valori pe unitatea de lungime respectiv de lățime a dalei:

$$D_x = \frac{EI_p}{p}; \quad D_y = \frac{EI_q}{q}; \quad H = \frac{G}{2} \left( \frac{I_{dp}}{p} + \frac{I_{dq}}{q} \right)$$

în care:

- $I_p$  este momentul de inerție al unei grinzi principale;
- $I_q$  — momentul de inerție al unei antretoaze;
- $I_{dp}$  — momentul de inerție pentru rigiditatea la torsiune a unei grinzi principale;
- $I_{dq}$  — momentul de inerție pentru rigiditatea la torsiune a unei antretoaze;
- $p$  — distanța dintre grinzi principale;
- $q$  — distanța dintre antretoaze;
- $\bar{q}$  — încărcarea pe unitatea de suprafață.

Dacă se pune expresia rigidității la torsiune  $H$  sub o formă generală

$$H = \alpha \sqrt{D_x D_y}$$

coeficientul  $\alpha$  va avea expresia:

$$\alpha = \frac{G \left( \frac{I_{dp}}{p} + \frac{I_{dq}}{q} \right)}{2E \frac{I_p I_q}{pq}} \quad (7.23)$$

Valorile mici,  $\alpha = 0$ , caracterizează rețelele de grinzi puțin rigide a torsiune în timp ce rețelele rigide au valori  $\alpha \approx 1$ .

Procedeul stabilește încă un parametru de rigiditate, și anume:

$$\theta = \frac{b}{l} \sqrt[4]{\frac{I_p q}{I_q p}} \quad (7.24)$$



Problema practică în rezolvarea rețelei de grinzi asimilate cu o placă ortotropă este de a determina pentru o structură ca cea din fig. 7.8 momentul încovoiător într-o grindă principală, în secțiunea  $R$  de coordonate  $x, y$ , moment produs de o sarcină  $P = 1$  plasată într-un punct  $S$  de coordonate  $\xi, \eta$ .

În cele ce urmează această problemă se reduce la stabilirea unor factori sau coeficienți de repartiziție transversală definiți ca fiind raportul :

$$K = \frac{w}{w_0}$$

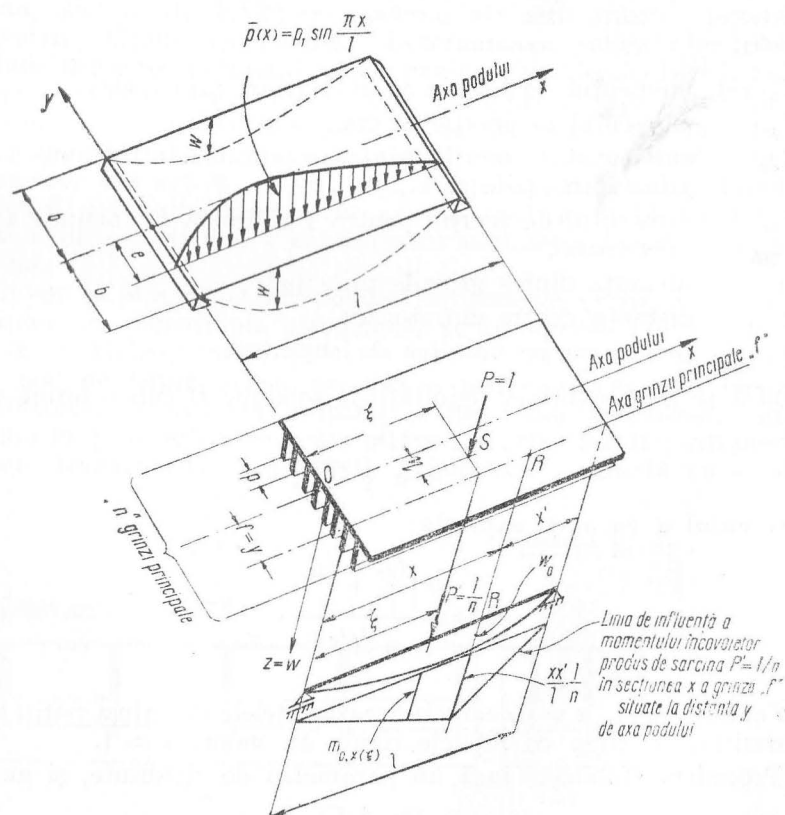


Fig. 7.8

în care :

$w$  este săgeata reală produsă în secțiunea  $R(x, y)$  de sarcina  $P = 1$  plasată în punctul  $S(\xi, \eta)$ ;

$w_0$  — săgeata produsă în secțiunea  $R(x, y)$  de sarcina medie concentrată  $P'$  plasată în punctul  $S(\xi, \eta)$ .

La determinarea săgeților, adică a ordonatelor  $w$ , se folosește procedeul amintit adoptînd dezvoltarea în serie de forma :

$$w = \sum_{n=1}^{\infty} Y_n(y) \sin \frac{n\pi x}{l} \quad (7.25)$$

Încărcarea considerîndu-se repartizată sinusoidal pe lungimea  $l$ , pe o fișe situată la distanța  $e$  de axa longitudinală a dalei (v. fig. 7.8). În fig. 7.9\* se arată modul cum variază apropierea de distribuția reală a sarcinii, funcție de  $n$ , din dezvoltarea în serie.

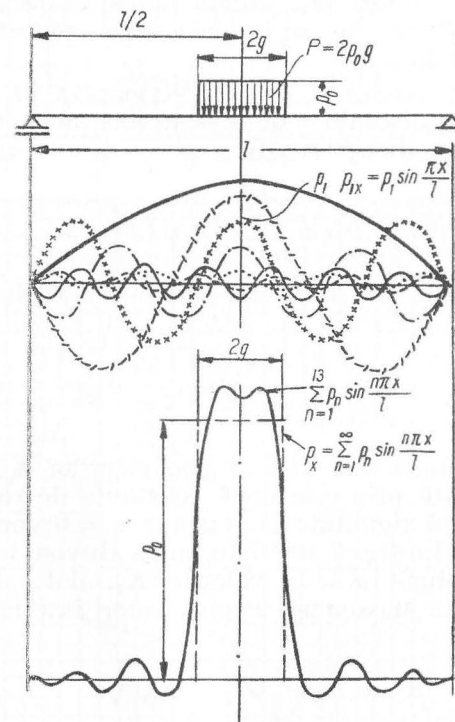


Fig. 7.9

\* După American Institute of Steel Constructions.

Sarcina medie concentrată se obține divizând sarcina unitară  $P = 1$  la lățimea  $2b$  a plăcii sau la numărul  $n$  al grinzilor.

Cu această sarcină medie se calculează momentul mediu încovoietor  $m_0$  în secțiunea  $x$  a unei grinzi situate la distanța  $y$  de axa rețelei, după regulile clasice ale Staticii construcțiilor, folosind linia de influență a momentului încovoietor.

Momentul încovoietor în secțiunea  $x$  a grinzii situată la distanța  $f = y$ , produs de o sarcină oarecare  $P$  așezată în punctul  $S(\xi, \eta)$ , va fi:

$$M_x = PK_{(y, \eta)} \cdot m_{0, x(\xi)}$$

în care:  $K_{(y, \eta)}$  este coeficientul de repartitie transversală; primul indice al coeficientului  $K$  arată poziția grinzii pe care se calculează influența sarcinii  $P$  a cărei poziție este indicată de cel de al doilea indice; în ceea ce privește  $m_0$ , primul indice arată poziția secțiunii în lungul grinzii „ $f$ ” în care se produce acest moment iar cel de al doilea poziția sarcinii.

Dacă mai multe sarcini  $P_1, P_2 \dots$  acționează pe o aceeași paralelă cu axa rețelei la distanța  $\eta$  de această axă, momentul încovoietor în secțiunea  $x$  a grinzii „ $f$ ” va fi:

$$M_x = K_{(y, \eta)} \cdot \sum_{\xi=0}^{\xi=l} P_{(\xi, \eta)} \cdot m_{0, x(\xi)}. \quad (7.26)$$

În sfârșit, în cazul general, când sarcinile sînt dispuse în poziții oarecare,

$$M_x = \sum_{\eta=-b}^{\eta=+b} K_{(y, \eta)} \cdot \sum_{\xi=0}^{\xi=l} P_{(\xi, \eta)} \cdot m_{0, x(\xi)}. \quad (7.27)$$

Guyon și Massonnet dau valorile coeficienților  $K$  pentru o rețea oarecare caracterizată prin cele două constante de rigiditate  $\alpha$  și  $\theta$ . Pentru structuri fără rigiditate la torsiune  $\alpha = 0$  corespund valorile  $K_0$  date de curbele din fig. 7.10—7.15, după Guyon, iar pentru structuri rigide la torsiune  $\alpha = 1$ , valorile  $K_1$ , date de curbele din fig. 7.16—7.20, după Massonnet. Pentru valori intermediare se poate folosi relația:

$$K_\alpha = K_0 + (K_1 - K_0) \sqrt{\alpha}. \quad (7.28)$$

Potrivit teoremei reciprocității lui Maxwell:

$$K_{(y, \eta)} = K_{(\eta, y)}.$$

Din studiile și încercările făcute de Guyon și Massonnet rezultă că factorul de repartizare transversală este practic independent de poziția sarcinii în lungul rețelei.

Momentele încovoietoare în grinzile transversale ale rețelei (în antretoaze) se pot determina cu formula:

$$M_y = \mu_\alpha \frac{2P}{l} b \sin \frac{\pi x}{l} \quad (7.29)$$

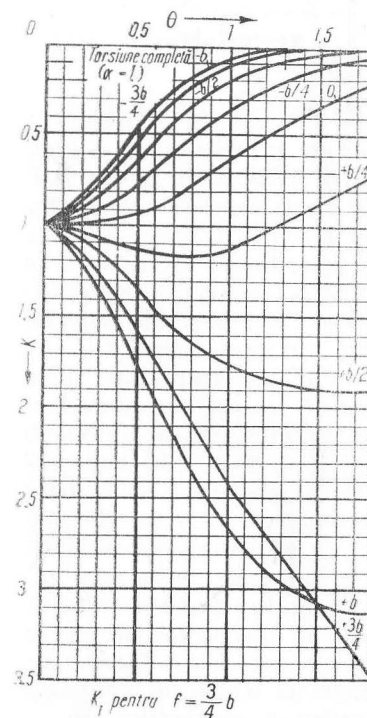


Fig. 7.1)

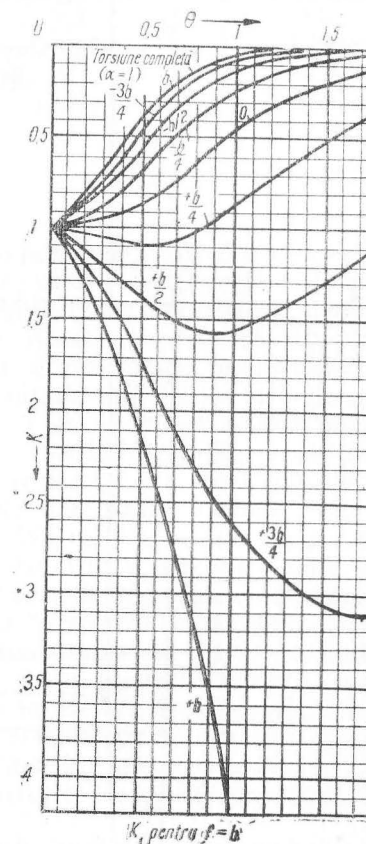


Fig. 7.20

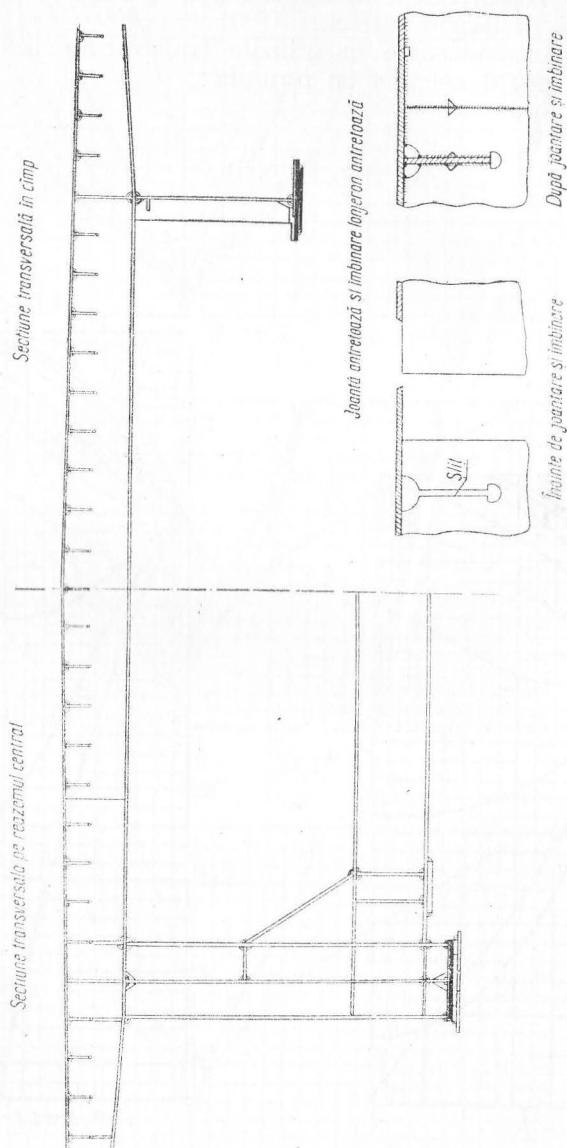


Fig. 7.21

Analog cu coeficientul de repartiție transversală  $K$ , se determină din tabele valorile pentru coeficientul  $\mu_0$  corespunzător coeficientului  $\alpha = 0$  și  $\mu_1$  corespunzător lui  $\alpha = 1$ , cunoscând de asemenea că

$$\mu_\alpha = \mu_0 + (\mu_1 - \mu_0) \sqrt{\alpha}. \quad (7.30)$$

Guyon și Massonnet au studiat problema asimilării cu o placă ortotropă și a rețelei de grinzi pe mai multe deschideri. Toate concluziile le-au verificat prin încercări pe modele, obținând rezultate satisfăcătoare. Metoda lor este avantajoasă pentru stabilirea celui mai indicat tip de rețea, în special, la alegerea numărului minim de ancoretoaze care să asigure o bună repartiție transversală a sarcinilor cu un minim de cost.

În fig. 7.21 sînt date cîteva elemente ale primului pod metalic cu placă ortotropă de la noi din țară.

## 7.5. SISTEME CU FIRE

Începînd cu anii 1950—1955 au început să se răspîndească în străinătate, la acoperirea marilor suprafețe, sisteme constructive de mare deschidere folosind ca structură de rezistență structurile cu elemente întinse, în general suspendate pe fire. Aceste construcții s-au impus atenției lumii tehnice atît prin efecte arhitectonice remarcabile, cît și prin indici tehnico-economici deosebit de avantajoși față de soluțiile clasice. Sisteme de fire și în general cu elemente întinse au fost folosite din cele mai vechi timpuri: corturile și punțile suspendate. În timpurile moderne podurile suspendate dețin încă supremația celor mai mari deschideri realizate de om: podul Golden Gate de la San Francisco cu deschiderea de 1 280 m. Nu ne vom ocupa însă de acest gen de construcții care au o tradiție și o tehnică bine pusă la punct, devenită clasică. Interesul trezit de structurile cu elemente întinse de mari deschideri este datorat în special faptului că metalul (oțelul) lucrează în elementele structurii numai la întindere, înlăturîndu-se sporurile de secțiuni și deci și de greutate moartă, cerute de prevenirea pericolului de flambaj în elementele comprimate. În soluțiile clasice, aplicînd materiale de construcție tradiționale, deschiderile depășind 100 m, la șarpantele marilor săli, devin din ce în ce mai neraționale, mai neeconomice, datorită creșterii considerabile a greutății proprii a elementelor.

În aprecierea oportunității folosirii unui material trebuie luat astfel în considerare raportul dintre greutatea specifică a materialului



și rezistența sa de rupere. Din acest punct de vedere oțelurile superioare ocupă primul loc ca eficacitate, iar cablurile din oțel se impun fără concurență în crearea marilor acoperișuri alcătuite din suprafețe suspendate. Aceste sisteme constructive necesită de asemenea mult mai puțin timp de execuție, o bună parte din volumul lucrărilor fiind lucrări de montaj (cabluri și panouri prefabricate de învelitoare), iar cele de cofrare fiind aproape complet eliminate.

Șarpantele suspendate cunosc în prezent diverse forme și sisteme de realizare care pot fi clasificate în două tipuri esențiale:

- membrane;
- rețele de cabluri.

În prima categorie se găsește exemplul tipic și cel mai clar al unei suprafețe suspendate întinse: corturile.

În cea de a doua categorie se găsește cea mai mare parte a soluțiilor la care s-a făcut apel în realizările ultimilor ani.

**Membrane.** Sînt suprafețe în general cu dublă curbura, suple, întinse, realizate dintr-o folie metalică sau dintr-o textură oarecare. De cele mai multe ori elementul de rezistență constituie și învelitoarea. Ca lucrare de o amploare deosebită într-o perioadă premergătoare prezentei faze de dezvoltare a sistemelor suspendate trebuie menționată clădirea pavilionului Franței de la expoziția din Zagreb (Jugoslavia) din anul 1937. Pavilionul conceput de profesorul La Faille are șarpanta și învelitoarea alcătuite dintr-o folie de tablă de oțel de 2 mm grosime, în forma unui trunchi de con răsturnat, cu baza mică în jos. Suprafața este suspendată de un inel rigid, comprimat, de 30 m diametru. Un al doilea inel, greu, de diametru redus, aflat la baza mică a suprafeței, servește de luminător și colector al apelor de ploaie și în același timp la punerea sub tensiune a foliei metalice.

Membranele se construiesc cu eforturi inițiale de întindere sau fără.

Membranele cu eforturi inițiale de întindere se pot realiza numai în cazul cînd în fiecare punct al suprafeței cu dublă curbura, cele două curbură sînt de sens contrar. În acest fel, (fig. 7.22)\* se realizează un sistem spațial rigid. Acest lucru are importanță, deoarece marele inconvenient al suprafețelor suspendate fără preîntindere sînt vibrațiile produse de vînt.

În ceea ce privește calculul membranelor, dacă pentru cele fără eforturi inițiale de întindere (fig. 7.23) el este relativ simplu, pentru membranele preîntinse singura metodă convenabilă atît în studii premergătoare cît și în cele definitive pentru determinarea tensiunilor

\* După O. Frei.

este metoda modelării. În acest sens, se poate folosi o membrană de cauciuc subțire pe care s-au trasat mărci de forma celei din fig. 7.24 avînd diametrul de 5—10 mm cu ajutorul cărora după deformare se determină direcțiile și eforturile unitare principale. În fig. 7.25, 7.26, 7.27 se arată modelul unei membrane cu un suport central.

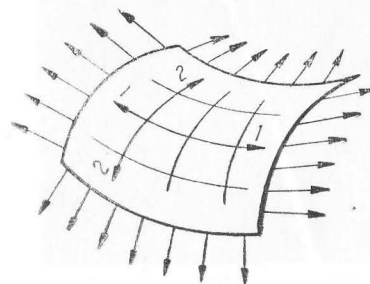


Fig. 7.22

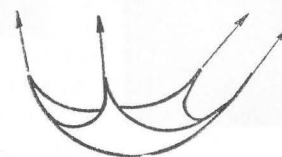


Fig. 7.23

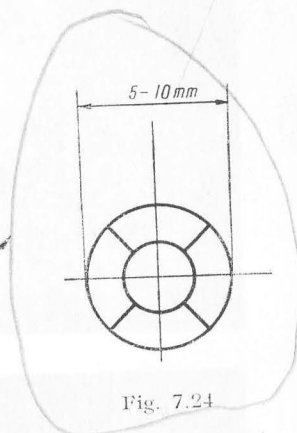


Fig. 7.24

Este interesant de remarcat că în proiecție orizontală (v. fig. 7.25) mărcile păstrează aceleași dimensiuni și aceeași dispoziție pe membrana deformată, ceea ce ne face să conchidem că proiecțiile orizontale ale tensiunilor sînt aceleași în orice direcție. Mai mult încă, experiența arată că într-o membrană cu eforturi de întindere inițiale, supusă la încărcări verticale, proiecțiile orizontale ale eforturilor rămîn constante ca mărime și direcție cu cele inițiale, ceea ce înseamnă că punctele membranei se deplasează numai pe verticală. Din încărcări, se modifică unghiul  $\alpha$  al planului tangent într-un punct al suprafeței cu planul orizontal, astfel că vom avea relația

$$\sigma_M = \frac{H}{\cos \alpha} \quad (7.31)$$

în care:

- $\sigma_M$  este tensiunea în membrană;
- $H$  — proiecția orizontală a tensiunii.

Din cele arătate rezultă că în cazul cunoașterii formei pe care o îmbracă suprafața suspendată din încărcările verticale, determinarea tensiunilor nu constituie o dificultate. Dar cum determinarea pe cale matematică a suprafeței deformate este practic imposibilă pentru

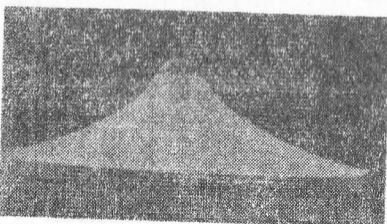
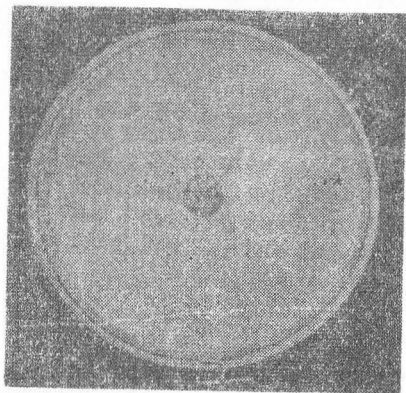


Fig. 7.25

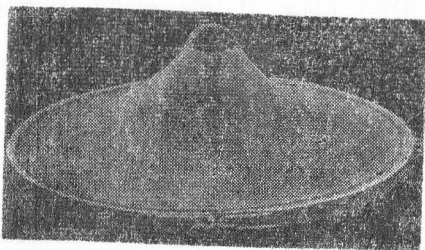


Fig. 7.26

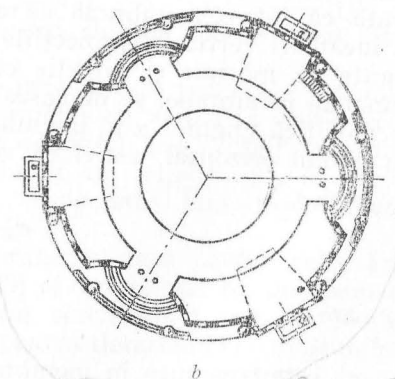
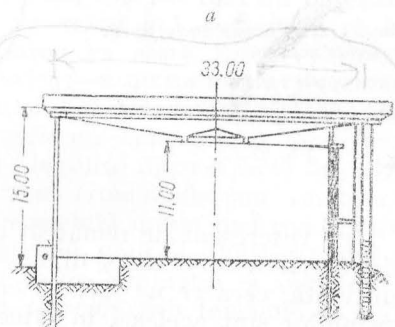
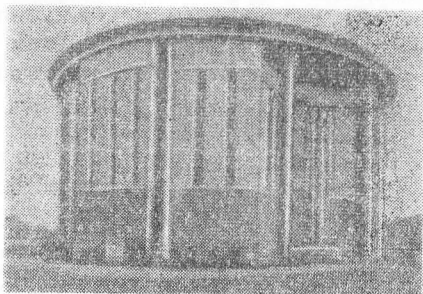


Fig. 7.27

un contur oarecare, se recurge tot la metode experimentale de mare precizie, și anume la metode optice (v. cap. 6).

**Rețele de cabluri.** Aceste rețele se utilizează la construcțiile de acoperișuri suspendate în două sisteme principale: fără aplicarea unor eforturi inițiale în rețea sau cu aplicarea acestora. În ambele cazuri, cablurile rețelei formează două familii după direcțiile eforturilor principale, ambele de întindere. La primul sistem constructiv, cablurile se suspendă de elementele rigide de margine, iar între ochiurile rețelei se așază elemente prefabricate cât mai ușoare care formează învelitoarea. Cel de al doilea sistem recurge inițial tot la o rețea de cabluri suspendate pe un contur rigid, dar după montarea unor dale prefabricate de beton sau turnarea unei pânze subțiri de beton se procedează succesiv la: precomprimarea dalelor prin lestarea lor, betonarea rosturilor și în final la delestare sau, folosind alt procedeu, la postîntinderea cablurilor după întărirea betonului turnat. Eforturile de preîntindere trebuie să asigure, în orice ipoteză de încărcare, în fiecare cablu, un efort de întindere.

Din punct de vedere al formei, suprafețele suspendate se realizează:

- cu simplă curbură;
- cu dublă curbură.

Problemele de bază ale unei rețele sînt:

- a) asigurarea ancorării cablurilor în unul din următoarele elemente: 1) grinzi sau arce marginale rigide; 2) pereți sau stîlpi cu contrafișe;
- 3) fundații în teren.

b) asigurarea unei rigidități suficiente a suprafeței suspendate pentru a împiedica intrarea acesteia în vibrații din solicitarea la vînt.

În fig. 7.28 se indică schematic cîteva posibilități de realizare a unor rețele de cabluri.

Din schemele indicate se constată că există mai multe moduri de intersectare a celor două familii de cabluri — *cabluri portante* și *cabluri de repartizare*, — după unghiul pe care îl formează între ele: ortogonale, la  $45^\circ$ , la  $30^\circ$ . De la caz la caz spațiul util realizat variază, după cum variază și eforturile de întindere care trebuie asigurate în rețea. Un sistem avantajos este cel care utilizează trei familii de cabluri realizînd o rețea cu ochiuri triunghiulare, ceea ce favorizează așezarea plăcilor prefabricate ale învelitorii, deoarece triunghiurile sînt figuri plane în timp ce patrulateralele pot închide porțiuni de suprafețe neplane (hiperboloizi parabolici).

*Elemente de calcul al rețelelor de cabluri\**. Sistemele de fire (în cele ce urmează vom folosi denumirea generală folosită în statică

\* Prelucrare după A. F. Lileev.

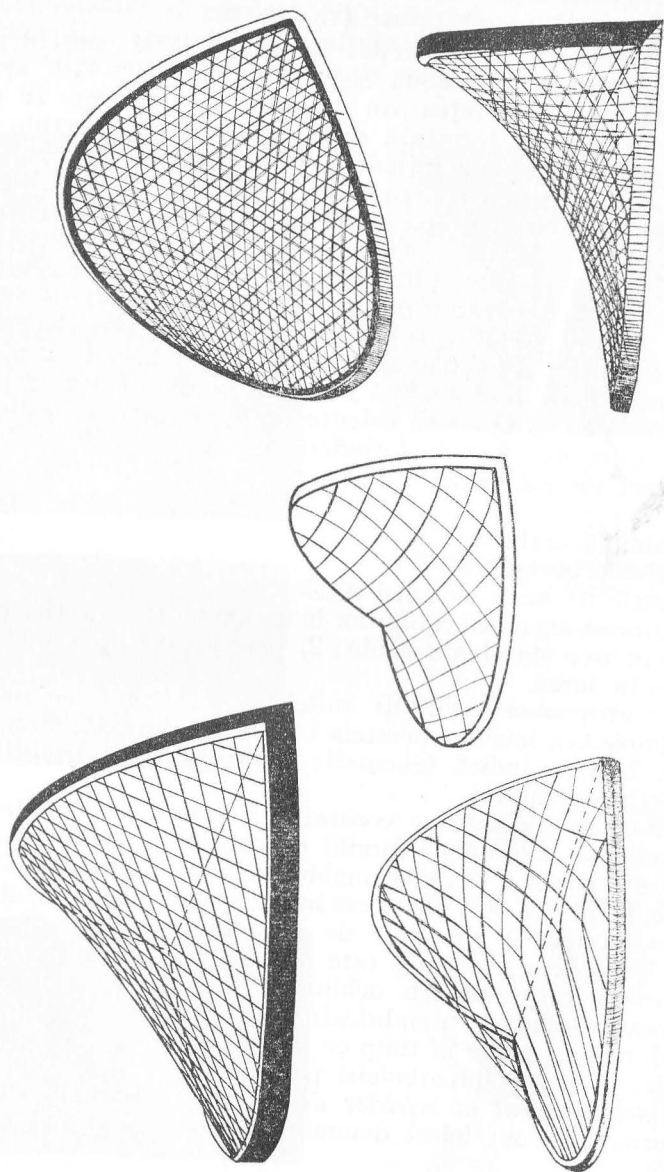


Fig. 7.28

de fir pentru a desemna cablurile, coardele de oțel trefilate etc.) pot avea, în general, una din următoarele alcătuiți:

- cu fire elastice sau inextensibile;
- cu fire avînd reazeme fixe sau deplasabile;
- cu fire avînd eforturi inițiale sau fără ( $l$  final  $< l$  inițial).

Ipotezele de bază care se admit în calcul asupra comportării firelor și asupra încărcărilor sînt:

a) firele pot prelua numai eforturi de întindere, rigiditatea lor la compresiune, încovoiere, forfecare sau torsiune fiind nulă;

b) firele sînt omogene în tot lungul lor; materialul din care sînt construite este perfect elastic supunîndu-se legii lui Hooke (sau perfect inextensibil);

c) firele nu pot avea formă rectilinie decît în lipsa oricărei încărcări;

d) direcția încărcărilor se consideră normală pe coardă.

Această din urmă ipoteză este justificată de caracteristicile geometrice uzuale ale elementelor la care se aplică teoria: deschideri mari, pante mici ale tangentei la fir. Precizia obținută s-a dovedit suficientă în practică.

Din cele arătate rezultă caracteristica procedurii de calcul pentru un sistem de fire și deci pentru o rețea de cabluri:

- se consideră sistemul fără momente încovoietoare;
- se consideră sistemul static nedeterminat.

Pentru înlăturarea nedeterminării se egalează lungimea firului sub sarcină, lungime determinată din relațiile de deformare ale teoriei elasticității, cu cea determinată pe cale geometrică.

De observat că teoria nu este liniară, deformațiile nedepinzînd liniar de încărcări. În acest mod, nu se mai aplică una din ipotezele de calcul al construcțiilor din elemente rigide: considerarea sistemului din punct de vedere geometric nedeforimat. În cazul firelor schema de calcul este cea a sistemului deformat.

Referindu-ne la fig. 7.29\* să considerăm acum un fir dintr-un sistem, într-o stare de echilibru denumită  $i$ .

Față de cele expuse vom avea în orice secțiune:  $M = 0$ ; dacă  $M_i(x)$  este momentul încovoietor pentru o grindă de aceeași deschidere și cu aceeași încărcare vom avea:

$$M_i(x) = H_i y_i(x) \text{ de unde } y_i(x) = \frac{M_i(x)}{H_i}; \quad (7.32)$$

\* După A. F. Lileev.



prin diferențiere rezultă :

$$\frac{dy_i}{dx} = \frac{dM_i(x)}{dx H_i} = \frac{1}{H_i} Q_i(x) \quad (7.33)$$

$$\frac{d^2 y_i}{dx^2} = \frac{1}{H_i} \frac{d^2 M_i(x)}{dx^2} = \frac{1}{H_i} \frac{dQ_i(x)}{dx} = \frac{1}{H_i} q_i(x). \quad (7.34)$$

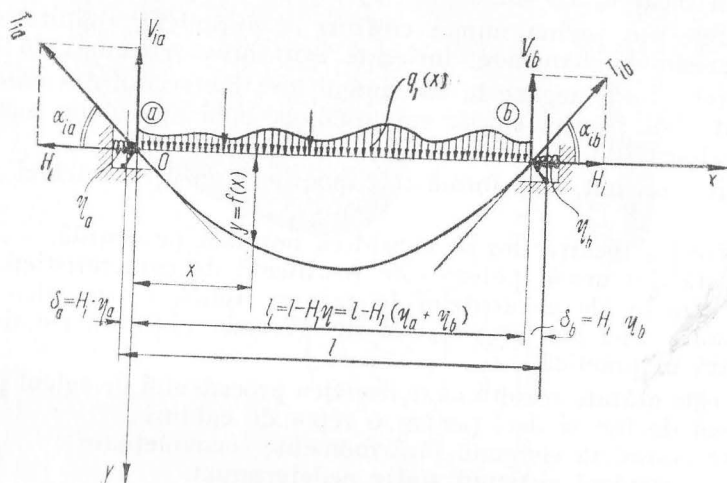


Fig. 7.29

Fie acum  $l'$  lungimea inițială a firului înainte de a fi supus la sarcini, iar  $s_i$  lungimea firului după solicitare. Evident  $s_i > l'$ .

Dacă ar fi supus la întindere de către o forță axială constantă  $N$  am avea :

$$s_i = l' + \Delta l' = l' + \frac{N l'}{EA} = l' \left( 1 + \frac{N}{EA} \right). \quad (7.35)$$

Dar efortul de întindere variază în lungul firului. Luînd ca variabilă lungimea arcului și notînd cu  $T_i(s_i)$  efortul de întindere într-o secțiune oarecare, vom introduce în locul efortului  $N$  efortul mediu de întindere, definit prin relația :

$$T_{i med} = \frac{1}{s_i} \int_0^{s_i} T_i(s_i) ds_i; \quad (7.36)$$

cu această notație vom avea :

$$s_i = l' \left( 1 + \frac{T_{i med}}{EA} \right)$$

sau

$$s_i = l' \left( 1 + \frac{\frac{1}{s_i} \int_0^{s_i} T_i(s_i) ds_i}{EA} \right) \quad (7.37)$$

dar

$$T_i(s_i) = \frac{H_i}{\cos \alpha_s} \quad (7.38)$$

sau

$$T_{i med} = \frac{H_i}{(\cos \alpha_s)_{med}} = H_i m \quad (7.39)$$

în care :

$$m = \frac{1}{(\cos \alpha_s)_{med}} \approx \frac{s_i}{l_i}; \quad (\cos \alpha_s)_{med} \approx \frac{l_i}{s_i}$$

ceea ce se poate admite la cabluri cu înclinare mică, ca în cazul acoperișurilor suspendate.

Pe de altă parte, formula de rectificare a arcelor curbilor ne dă :

$$s_i = \int_0^{l_i} \sqrt{1 + \left( \frac{dy_i}{dx} \right)^2} dx.$$

Înlocuind derivata  $\frac{dy_i}{dx}$  cu expresia  $\frac{1}{H_i} Q_i(x)$  vom avea :

$$s_i = \int_0^{l_i} \sqrt{1 + \left( \frac{Q_i(x)}{H_i} \right)^2} dx. \quad (7.40)$$

Dezvoltînd în serie radicalul se obține :

$$s_i = \int_0^{l_i} \left[ 1 + \frac{1}{2} \left( \frac{Q_i(x)}{H_i} \right)^2 - \frac{1}{8} \left( \frac{Q_i(x)}{H_i} \right)^4 + \frac{1}{16} \left( \frac{Q_i(x)}{H_i} \right)^6 - \dots \right] dx.$$



Reținând numai primii doi termeni ai dezvoltării:

$$s_i \approx \int_0^{l_i} \left[ 1 + \frac{1}{2} \left( \frac{Q_i(x)}{H_i} \right)^2 \right] dx \approx l_i + \frac{1}{2H_i^2} \int_0^{l_i} Q_i^2(x) dx \approx l_i + \frac{1}{2H_i^2} D_i \quad (7.41)$$

în care:

$$D_i = \int_0^{l_i} Q_i^2(x) dx = \int_0^{l_i} M_i(x) q_i(x) dx. \quad (7.42)$$

Acest factor care ilustrează starea sistemului din încărcarea  $i$  se găsește calculat și în tabele.

*Succesiunea calculului.* Pentru „rezolvarea” completă a unui fir este suficient a determina două elemente:

- lungimea inițială a firului  $l'$ , înainte de încărcarea  $i$ ;
- proiecția orizontală a efortului de întindere la reazem  $H_i$  după încărcarea  $i$ .

Toate celelalte necunoscute derivă din acestea, astfel:

Efortul de întindere în fir în secțiunea aflată la distanța  $x$  de reazem,

$$T_i(x) = \frac{H_i}{\cos \alpha_x}. \quad (7.43)$$

Ecuația firului întins sub sarcini:

$$y_i(x) = \frac{1}{H_i} M_i(x). \quad (7.44)$$

În rezolvarea unei anumite probleme referitoare la un fir este necesar și suficient a se examina două stări:

— starea I *inițială* ( $i = 0$ ) pentru care se cunoaște valoarea săgeții într-un punct oarecare, produsă de încărcarea dată  $q_0(x)$ . Se determină  $H_0$  și  $l'_0$ ;

— starea a II-a *de calcul* ( $i = 1$ ) pentru o nouă încărcare oarecare  $q_1(x)$ : pentru lungimea  $l'$  a firului determinat în starea I se determină proiecția orizontală a efortului de întindere din reazem  $H_1$ .

Aplicând aceste două trepte de calcul se poate pune în ecuație, din aproape în aproape, orice rețea de fire cu orice încărcare. În continuare se dă mersul practic al calculului cu parcurgerea celor două etape:

I. *Starea inițială a firului.*  $H_0 = \frac{M_0(x)}{y_0(x)}$

în care:

$y_0(x)$  este săgeata produsă de încărcarea  $q_0(x)$  într-un punct oarecare;

$M_0(x)$  — momentul încovoietor produs de încărcarea  $q_0(x)$  în secțiunea  $x$  a unei grinzi simplu rezemate de deschidere egală cu distanța dintre reazemele firului.

Pentru determinarea lungimii inițiale  $l'$  admitem cu aproximație

$$s_0 \sim l' \left( 1 + \frac{H_0}{EA} \right); \quad l' \approx \frac{s_0}{1 + \frac{H_0}{EA}} \quad (7.45)$$

dar

$$s_0 = l_0 + \frac{D_0}{2H_0}$$

și încă:

$$l' = \frac{l_0 + \frac{D_0}{2H_0}}{1 + \frac{H_0}{EA}} = \frac{l - H_0\eta + \frac{D_0}{2H_0}}{1 + \frac{H_0}{EA}} \quad (7.46)$$

ținând seama că  $l_i = l - H_i \eta$  din care rezultă

$$l_0 = l - H_0\eta \quad (\text{v. fig. 7.29})$$

$l_i$  fiind deschiderea după cedarea elastică a reazemelor iar coeficientul  $\eta = \eta_a + \eta_b$  fiind un coeficient de cedare elastică cu dimensiunea  $\frac{\text{lungime}}{\text{forță}}$ ; în cazul reazemelor rigide:

$$\eta = 0 \text{ iar } l_i = l.$$

II. *Starea de calcul a firului.* Aplicând ecuațiile precedente pentru un fir de deschidere  $l_i$  și încărcare de calcul  $q_i(x)$  să determinăm reacțiunea din reazem  $H_i$  și mărimea  $D_i$ :

$$l' \left( 1 + \frac{H_i m}{EA} \right) = l_i + \frac{D_i}{2H_i}$$

iar după transformări, obținem ecuația generală

$$H_i^2 \frac{l' m}{EA} + H_i^2 (l' - l_i) - \frac{D_i}{2} = 0. \quad (7.47)$$

Valoarea coeficientului  $m$  diferă puțin de unitate ( $1 \leq m \leq 1,02 \dots 1,03$ ) și poate fi admisă egală cu

$$m = \frac{s_0}{l_0} = \frac{l' \left( 1 + \frac{H_0}{EA} \right)}{l - H_0 \eta}.$$

În determinarea valorii  $D_i$  pentru încărcarea  $q_i$  se poate admite pentru  $l_i$  valoarea  $l_0$ .

*Determinarea reacțiunii  $H_i$  pentru diferite stări de calcul*

I. Fir elastic: reazeme elastice

$$H_i = H_I; l_i = l_I = l - H_I \eta; D_i = D_I$$

$$H_I^3 \left( \frac{l'_m}{EA} + \eta \right) + H_I^2 (l' - l) - \frac{D_I}{2} = 0. \quad (7.48)$$

II. Fir elastic: reazeme rigide

$$H_i = H_{II}; l_i = l; D_i = D_{II} = D$$

$$H_{II}^3 \frac{l'_m}{EA} + H_{II}^2 (l' - l) - \frac{D}{2} = 0. \quad (7.49)$$

În particular pentru  $l' = l$  se obține rezolvarea problemei coardei.

$$H_{II}^3 = \frac{D \cdot EA}{2l'_m}.$$

Dacă  $l' < l$  ne aflăm în prezența cazului coardelor preîntinse. În acest caz particular ecuația cazului II se aplică ca și în cazul când  $l' > l$  sau când  $l' = l$ .

III. Fir inextensibil; reazeme elastice

$$H_i = H_{III}; l_i = l_{III} = l - H_{III} \cdot \eta$$

$$D_i = D_{III}, \text{ iar } EA = \infty$$

$$H_{III}^3 \eta + H_{III}^2 (l' - l) - \frac{D_{III}}{2} = 0 \dots \quad (7.50)$$

IV. Fir inextensibil; reazeme rigide

$$H_i = H_{IV}; l_i = l; D_i = D; EA = \infty$$

$$H_{IV} = \sqrt{\frac{D}{2(l' - l)}}.$$

Dacă în starea inițială lungimea de execuție a firului  $l'$  s-a determinat la o temperatură  $t$ , atunci pentru considerarea variației de temperatură cu  $\pm \Delta t$  în toate formulele de calcul în loc de  $l'$  se introduce valoarea  $l'_t$ :

$$l'_t = l' (1 \pm \alpha_t \Delta t) \quad (7.51)$$

$\alpha_t$  fiind coeficientul de dilatare termică.

#### BIBLIOGRAFIE

1. Cornelius, W. Die Berechnung der ebenen Flächentragwerke mit Hilfe der Theorie der orthogonal-anisotropen Platte. În: Stahlbau, Heft 2, Februar, 1952.
2. Guyon, Y. și Massonnet, Ch. Calcul des réseaux de poutres. În: Annales de l'Institut Technique du Bâtiment et des Travaux Publics, 3/1946.
3. Huber, M. T. Die Theorie der Kreuzweise bewehrter Eisenbetonplatten nebst Anwendungen. În: Bauingenieur 4, Heft 12, 1923.
4. Huber, M. T. Ueber die Biegung einer rechteckigen Platte von ungleicher Biegesteifigkeit in der Längs und Querrichtung. În: Bauingenieur, Heft 1, 2, 9, 1924.
5. Lehnîțki, S. G. Anizotropnîe plastinki. Moskva, Gosudarstvenoe izdatelstvo tehniko-teoreticeskoi literaturî, 1957.
6. Lileev, A. F. și Selezneva, E. N. Metodî rasciata prostranstvenîh vantovîh sistem. Moskva, Izdatelstvo literaturî po stroitelstvu, 1964.
7. Roesli, A. Lateral load distribution in multi beam bridges. În: Leight University Institute Research, U.S.A., July, 1955.
8. Sattler, K. Betrachtungen zum Berechnungsverfahren von Guyon Massonnet für freiaufhängende Trägerroste und Erweiterung dieses Verfahrens auf beliebige Systeme. În: Der Bauingenieur, März, 1955, Heft 3, pp. 77-89.
9. Design manual for orthotropic steel plate deck bridges. New York, American Institute of Steel Construction AISC, 1962.

## DETERMINAREA EFORTURILOR ȘI A DEFORMAȚILOR ÎN ELEMENTE SOLICITATE ÎN DOMENIUL PLASTIC ȘI ELASTO-PLASTIC. CRITERII DE PLASTICITATE

### 8.1. CONSIDERAȚII GENERALE ȘI PRINCIPII DE CALCUL

În capitolele precedente s-au analizat rezultatele de laborator ale încercărilor asupra comportării diferitelor materiale.

În cele ce urmează se vor da elementele de calcul pentru principalele tipuri de solicitări ale elementelor de construcție, și anume: întindere și compresiune axială, încovoiere, încovoiere cu forță axială, încovoiere cu forțe tăietoare și, în continuare, elemente de calcul al structurilor în domeniul elasto-plastic.

În teoria de calcul clasică, majoritatea ecuațiilor care stau la baza calculului construcțiilor — admitând solicitarea elementelor numai în domeniul perfect elastic și păstrarea schemei de calcul geometrice inițiale și a legăturilor în tot timpul solicitării — sînt liniare.

Abaterea de la una din aceste ipoteze enunțate conduce la relații neliniare între solicitările exterioare și tensiunile interioare. Abaterile de la comportarea liniară a materialului (legea lui Hooke) constituie cazul cel mai frecvent întâlnit.

O teorie generală care să țină seama riguros de proprietățile elasto-plastice ale materialelor și în același timp să constituie o teorie practică de calcul este aproape imposibil de realizat din cauza complicațiilor produse de exprimarea matematică a fenomenelor fizice care se ivesc la solicitări care depășesc limita de elasticitate, cît și la cele care apar în timp. Sîntem conduși astfel, din necesități practice, să simplificăm unele aspecte ale comportării materialelor, să le „idealizăm”

atribuindu-le unele scheme de comportare normate, care se depărtează de realitate într-o măsură care s-a dovedit în practică acceptabilă.

Diagramele convenționale, general admise, se referă la trei categorii de materiale, și anume:

a) materiale elastice ideale (de obicei materiale fragile), caracterizate prin proporționalitatea tensiunilor și a deformațiilor pînă la o anumită limită, cînd survine brusc ruperea (fig. 8.1);

b) materiale elasto-plastice ideale, caracterizate prin proporționalitatea dintre tensiuni și deformații pînă la o limită — limita de curgere — după care deformațiile cresc practic nelimitat, fără ca tensiunile să crească (diagrama lui Prandtl) (fig. 8.2, a).

c) materiale elasto-plastice cu consolidare, caracterizate prin proporționalitatea dintre tensiuni și deformații pînă la o limită după care deformațiile cresc, tot proporțional cu tensiunile, însă mult mai rapid (fig. 8.2, b).

d) materiale firmo-plastice, la care deformațiile sînt neglijabile pînă la atingerea limitei de curgere, după care cresc nelimitat (fig. 8.3).

Problema calculului unei construcții ținînd seama de comportarea elasto-plastică a elementelor componente revine la a stabili sarcina ei limită în ansamblu și de aici, sarcina de exploatare.

La construcțiile static determinate, cum starea de eforturi nu este funcție de deformațiile elementelor, rezultă că distribuția eforturilor în elemente este aceeași ca în cazul solicitării lor în domeniul elastic, chiar dacă deformațiile elementelor care au ajuns la curgere sînt mai mari.

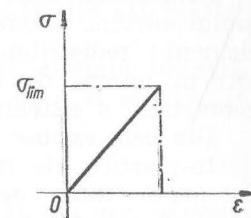


Fig. 8.1

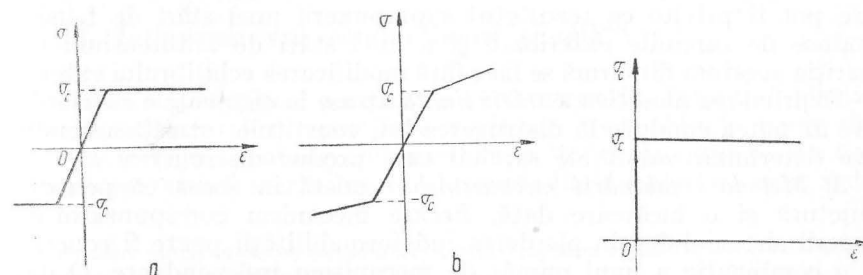


Fig. 8.2

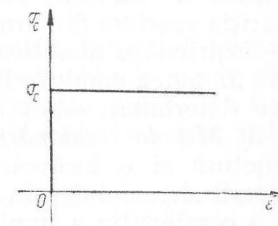


Fig. 8.3

La construcțiile static nedeterminate se produce o schimbare calitativă esențială; elementele care au atins limita de curgere vor continua să se deformeze fără a mai prelua eforturi; o dată atinsă această fază, se produce o redistribuire a eforturilor interioare între elementele construcției care continuă să reziste în ansamblul ei.

Schimbarea legii de distribuire a eforturilor între elementele sistemului survine o dată cu atingerea palierului de curgere de cîte un element; redistribuirea se produce pînă ce deformațiile nelimitate într-un număr de elemente conduc la pierderea indeformabilității geometrice a sistemului.

Din cele expuse rezultă că luarea în considerare a proprietăților elasto-plastice ale materialelor prezintă deosebit interes la calculul sistemelor static nedeterminate. Pentru construcțiile alcătuite din materiale pentru care se poate admite diagrama simplificatoare a lui Prandtl, dintre metodele de rezolvare a sistemelor static nedeterminate menționăm:

1) *Metoda cinematică*, care constă în a determina toate schemele de încărcare care produc trecerea unui număr suficient de legături exterioare sau interioare ale sistemului în domeniul de comportare perfect plastic (la încovoiere în articulații plastice), așa fel ca acesta să se transforme într-un mecanism. Din toate sarcinile limită corespunzătoare fiecărei scheme evident interesează cea cu valoarea cea mai mică.

2) *Metoda statică*, care constă în a determina o stare de tensiuni în sistem provocată de o sarcină egală, de exemplu, cu unitatea, căreia i se suprapune o stare de *autotensiuni*. (Se definește *starea de autotensiune* ca fiind orice stare de tensiuni a unui sistem nedeterminat în absența solicitărilor exterioare. De exemplu, stări de tensiuni provocate de: variații de temperatură, denivelări ale reazemelor, tensiuni produse prin sudură etc.). Atingerea limitei de curgere a unor elemente dintr-un sistem supus la sarcini exterioare, a căror intensitate crește, conduce la o redistribuire a eforturilor interioare care pot fi privite ca rezultatul suprapunerii unei stări de tensiuni produse de sarcinile exterioare și a unei stări de autotensiuni căci apariția acestora din urmă se face fără modificarea echilibrului exterior.

Exprimarea analitică a *stării limită* atinse în elementele sistemului, care ar putea conduce la distrugerea lui, constituie tot atîtea condiții care determină valori ale sarcinii care produc distrugerea.

3) *Metoda combinării mecanismelor* constă în aceea că pentru o structură și o încărcare dată, fiecare mecanism corespunzător distrugerii sistemului prin pierderea indeformabilității poate fi conceput ca o combinație a unui număr de mecanisme independente. O dată aceste mecanisme identificate, se pot scrie ecuații de lucru mecanic

și deduce pentru fiecare din mecanisme valorile eforturilor care produc curgerea plastică (în cazul încovoierii  $M_p$ ); mecanismul care produce distrugerea sistemului se distinge de altele prin aceea că valoarea eforturilor (la încovoiere  $M_p$ ) determinată prin metoda cinematică este maximă.

Metoda combinării mecanismelor se referă la structurile cu un grad înalt de nedeterminare statică la care metodele cinematică sau statică ar duce la calcule foarte laborioase.

Pentru a concretiza, în cele ce urmează va fi studiată redistribuirea eforturilor și primele două metode, cinematică și statică, în cazul unui sistem simplu static nedeterminat.

## 8.2. CALCULUL EFORTURILOR UNITARE NORMALE ÎN SECȚIUNILE SOLICITATE ÎN DOMENIUL ELASTO-PLASTIC

Pentru determinarea distribuției eforturilor unitare normale produse în secțiune de forțe axiale și momente încovoietoare, în afară de diagrama caracteristică, idealizată, a lui Prandtl\*, cele mai importante ipoteze care se au în vedere sînt următoarele:

- ipoteza secțiunilor plane: o secțiune inițial plană și perpendiculară pe axa barei rămîne plană și perpendiculară pe axa barei și după deformare;
- singurele eforturi unitare care acționează sînt eforturile unitare normale (între fibre nu sînt frecări);
- materialul este omogen;
- în bară nu sînt eforturi reziduale;
- relația dintre eforturile unitare normale și lungirile specifice este aceeași la încovoiere ca și la întindere sau compresiune;
- la barele încovoiate efectul forței tăietoare sau al forței axiale este neglijabil.

### 8.2.1. Întinderea sau compresiunea simplă\*\*

La bara cu secțiune constantă, la trecerea în domeniul plastic, eforturile unitare sînt repartizate uniform; toate fibrele barei sînt solicitate uniform și ajung concomitent la limita de curgere. În acel moment este atinsă starea limită; lungirile barei, teoretic, cresc inde-

\* Evident pot fi luate în considerare și alte diagrame caracteristice (definite prin curbe, diagrama cu ecrisare etc.).

\*\* În domeniul în care stabilitatea elastică este asigurată.



finit; de fapt, autoconsolidarea (ecruisarea) materialului permite creșterea forței axiale, însă deformările cresc foarte mult.

O comportare deosebită apare la barele cu schimbări de secțiune, la care în domeniul elastic apar concentrări de eforturi. Acesta este, de exemplu, cazul barei drepte cu secțiunea dreptunghiulară, cu o gaură circulară (fig. 8.4) supusă la întindere în stadiul elastic.

În cazul în care raportul  $d/D$  este foarte mic în secțiunea făcută prin dreptul diametrului găurii, la marginea acesteia eforturile unitare sînt maxime și au valoarea  $\sigma_{max} = 3\sigma_m$  în care

$$\sigma_m = \frac{N}{A}$$

Presupunînd că efortul de întindere crește continuu, distribuția din stadiul elastic (stadiul I) se menține pînă cînd  $\sigma_{max} = \sigma_c$ . Din acel moment, dacă forța crește, se trece în stadiul II cînd eforturile unitare în zona din apropierea găurii se mențin la valoarea  $\sigma_c$ . Stadiul limită este stadiul III, cînd toată secțiunea este solicitată în domeniul plastic și eforturile unitare sînt distribuite uniform pe întreaga secțiune materială a barei. Această comportare justifică metoda de calcul a secțiunilor barelor alcătuite din materiale ductile, la care se presupun eforturile uniform repartizate

$$\sigma_{max} = \frac{N}{A_{net}}$$

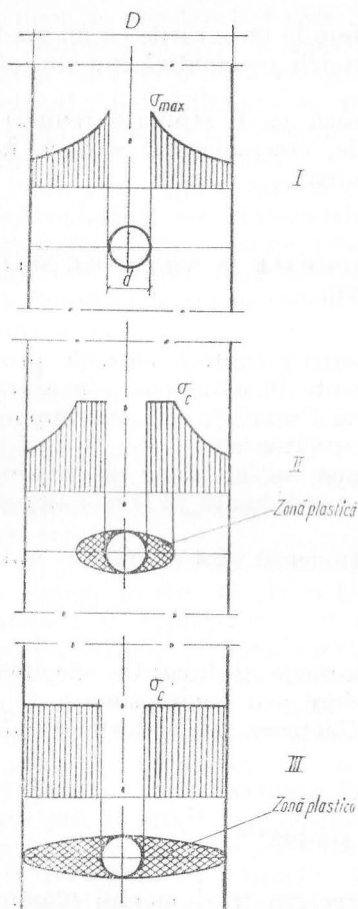


Fig. 8.4

În cele ce urmează se exemplifică principiile expuse, aplicate la un sistem de bare articulate, simplu static nedeterminat (fig. 8.5):

$$\begin{aligned} \alpha &= 30^\circ; & A_1 &= 9,60 \text{ cm}^2 \\ \beta &= 45^\circ & A_2 &= 7,07 \text{ cm}^2 \\ & & A_3 &= 16 \text{ cm}^2 \end{aligned}$$

$$l = 3,00 \cdot \cos 60^\circ = 3,00 \cdot 0,50 = 1,50 \text{ m}$$

$$m = 3,00 \cdot \cos 45^\circ = 3,00 \cdot 0,707 = 2,12 \text{ m}$$

$$n = 3,00 \cdot \frac{1}{\cos 30^\circ} \cdot \cos 75^\circ = 3,00 \cdot \frac{1}{0,866} \cdot 0,258 = 0,89 \text{ m}$$

$$k = 3,00 \cdot \frac{1}{\cos 45^\circ} \cdot \cos 75^\circ = 3,00 \cdot \frac{1}{0,707} \cdot 0,258 = 1,09 \text{ m}$$

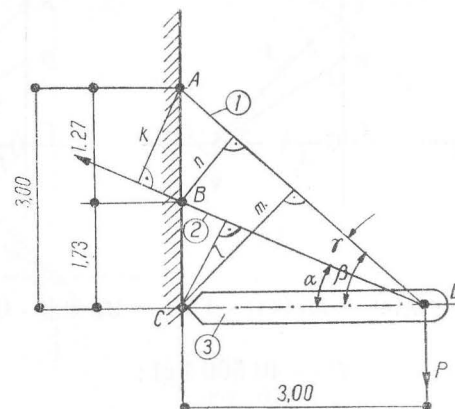


Fig. 8.5

Sistemul este alcătuit dintr-o bară metalică orizontală de 3 m lungime, cu secțiunea de  $16 \text{ cm}^2$ , astfel alcătuită încît să nu apară flambajul, executată din oțel OT 60—3 cu limita de curgere  $\sigma_c = 3500 \text{ kgf/cm}^2$ , bară la extremitatea căreia se aplică sarcina  $P$ . În același punct bara este suspendată de două tije de oțel de diametre  $\varnothing_1 = 35 \text{ mm}$  și  $\varnothing_2 = 30 \text{ mm}$ , oțel avînd limita de curgere  $\sigma_{1c} = \sigma_{2c} = 2850 \text{ kgf/cm}^2$ .

Capacitățile portante limită ale elementelor sistemului sînt

$$N_1 = A_1 \sigma_{1c} = 9,601 \cdot 2850 = 27\,400 \text{ kgf}$$

$$N_2 = A_2 \sigma_{2c} = 7,07 \cdot 2850 = 20\,150 \text{ kgf}$$

$$N_3 = A_3 \sigma_{3c} = 16,0 \cdot 3500 = 56\,000 \text{ kgf}$$

**Metoda cinematică.** Sistemul poate atinge o stare limită de eforturi cînd devine un mecanism datorită atingerii limitei de curgere în două din cele trei elemente ale sale. Cele trei posibilități de a atinge această stare limită sînt schematizate în fig. 8.6.

Pentru fiecare din aceste trei scheme cinematice se determină valoarea sarcinii  $P$ :

$$\text{I. } \Sigma M_C = P \cdot 3,00 - 20\,150 \cdot 1,50 - 27\,400 \cdot 2,12 = 0;$$

$$P = 30\,130 \text{ kgf};$$

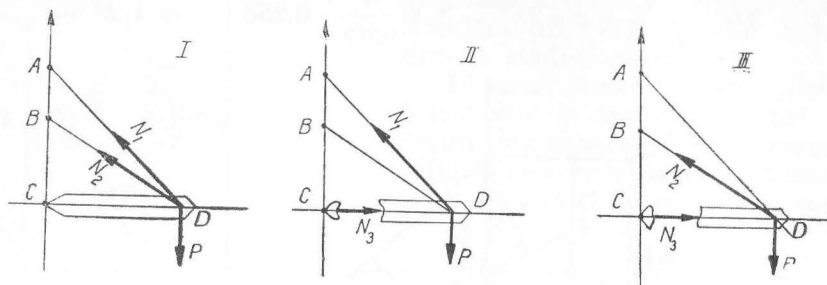


Fig. 8.6

$$\text{II. } \Sigma M_B = P \cdot 3,00 - 56\,000 \cdot 1,73 - 27\,400 \cdot 0,89 = 0;$$

$$P = 40\,500 \text{ kgf};$$

$$\text{III. } \Sigma M_A = P \cdot 3,00 - 56\,000 \cdot 3,00 + 20\,150 \cdot 1,09 = 0;$$

$$P = 48\,700 \text{ kgf};$$

Sistemul atinge starea limită evident pentru valoarea cea mai mică a sarcinii  $P$ , și anume pentru  $P = 30\,130 \text{ kgf}$ .

**Metoda statică.** Admitem că sub efectul sarcinii  $P$  în bara  $BD$  ia naștere efortul de întindere  $N_2 = 1$ . Din condițiile de echilibru rezultă (fig. 8.7):

$$N_1 = 1,41 P - 0,707$$

$$N_3 = P + 0,366$$

$$N_2 = 1.$$

Suprapunem acestei stări de tensiuni o alta de autotensiuni adică

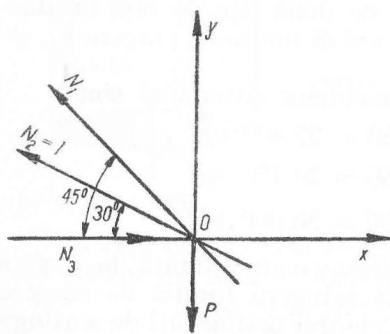


Fig. 8.7

o stare de tensiuni compatibilă cu legăturile dar corespunzând unei sarcini  $P = 0$ . O astfel de stare este ilustrată în schema din fig. 8.8 pentru care am considerat valoarea efortului  $N_3$  ca fiind necunoscut,  $N_3 = X$ .

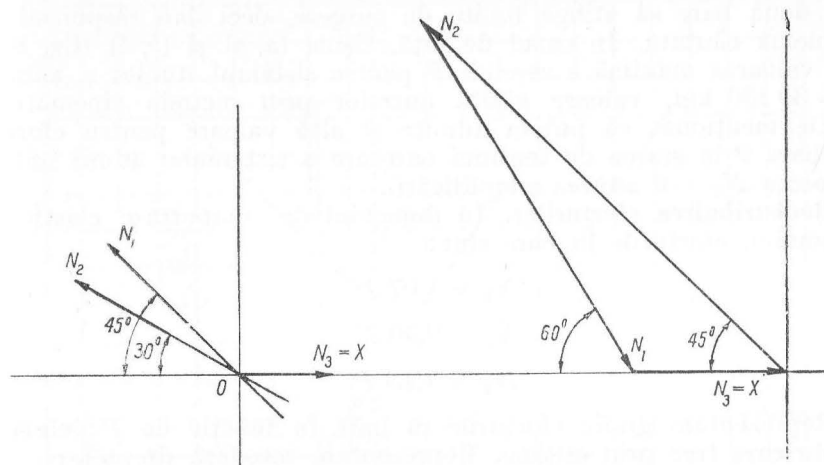


Fig. 8.8

Cele trei eforturi concurente  $N_1, N_2, N_3$  trebuie să fie în echilibru. Sistemul inițial fiind simplu static nedeterminat, schema din figură este singura ce poate lua naștere în sistem.

Rezultă:  $N_1 = -1,98 X$ ;  $N_2 = 2,78 X$ ;  $N_3 = X$ .

Suprapunând cele două stări de tensiune se obține:

$$\overline{N}_1 = 1,41 P - 0,707 - 1,98 X$$

$$\overline{N}_2 = 1 + 2,78 X$$

$$\overline{N}_3 = P + 0,366 + X.$$

Aceste eforturi trebuie să rămână inferioare efortului limită din bara corespunzătoare adică:

$$\text{a) } -27,40 \text{ tf} \leq 1,41 P - 0,707 - 1,98 X \leq 27,40 \text{ tf} \quad \text{bara 1}$$

$$\text{b) } -20,15 \text{ tf} \leq 1 + 2,78 X \leq 20,15 \text{ tf} \quad \text{bara 2}$$

$$\text{c) } -56,0 \text{ tf} \leq P + 0,366 + X \leq 56,0 \text{ tf} \quad \text{bara 3.}$$

Reprezentînd grafic inegalitățile (a), (b), (c), se obțin cîte două drepte (a, a), (b, b), (c, c), care închid fiecare domeniul în interiorul căruia sarcina  $P$  poate avea valori care nu conduc la atingerea limitei de curgere în barele 1, 2 sau 3. Domeniile comune din diagramă pentru două bare închid valorile pe care le poate lua sarcina  $P$ , fără ca cele două bare să atingă limita de curgere, deci dau răspunsul la problema căutată. În cazul de față, fișile (a, a) și (b, b) (fig. 8.9) dau valoarea maximă a sarcinii  $P$  pentru sistemul studiat și anume  $P = 30\,130$  kgf, valoare găsită anterior prin metoda cinematică.

De menționat că putem admite și altă valoare pentru efortul din bara 2 la starea de tensiuni oarecare a sistemului admis inițial (valoarea  $N_2 = 0$  aducea simplificări).

**Redistribuirea eforturilor.** În domeniul de comportare elastic al sistemului, eforturile în bare sînt:

$$N_1 = 1,07 P$$

$$N_2 = 0,49 P$$

$$N_3 = 1,18 P.$$

Reprezentăm grafic eforturile în bare în funcție de  $P$ ; ele sînt drepte care trec prin origine. Reprezentăm totodată dreptele:

$N_1 = 27\,400$  kgf,  $N_2 = 20\,150$  kgf și  $N_3 = 56\,000$  kgf care figurează capacitatea portantă, deci limita superioară a efortului în bara respectivă.

Din fig. 8.10 se vede că dreapta  $N_1 = 1,07 P$  intersectează dreapta  $N_1 = 27\,400$  kgf în punctul  $A$  de abscisă  $P = 25\,400$  kgf. Înseamnă că prima bară a ajuns la curgere. Creșterile  $\Delta P$  ale forței  $P$  de aici înainte vor fi preluate numai de barele 2 și 3:  $\Delta N_2 = 2,00 \Delta P$ ;  $\Delta N_3 = 1,73 \Delta P$ .

În felul acesta s-a produs redistribuția eforturilor în bare. Relațiile dintre forța  $P$  și eforturile în bare se vor scrie:  $25\,400 \leq P$

$$N'_1 = 27\,400 \text{ kgf}$$

$$N'_2 = 0,49 \cdot 25\,400 + 2,00 (P - 25\,400)$$

$$N'_3 = 1,18 \cdot 25\,400 + 1,73 (P - 25\,400).$$

Reprezentate grafic se obțin dreptele  $N'_1$ ,  $N'_2$  și  $N'_3$ ; se vede că  $N'_2$  ajunge la valoarea limită  $20\,150$  cînd  $P = 29\,400$  kgf și sistemul întreg se transformă într-un mecanism.

Trebuie făcută observația că sistemul simplu static nedeterminat din exemplul ales este printre cele mai simple. Să luăm un alt exemplu, și anume o consolă alcătuită dintr-un sistem articulată, simplu static nedeterminat, solicitată tot la o singură forță concentrată  $P$  (fig. 8.11).

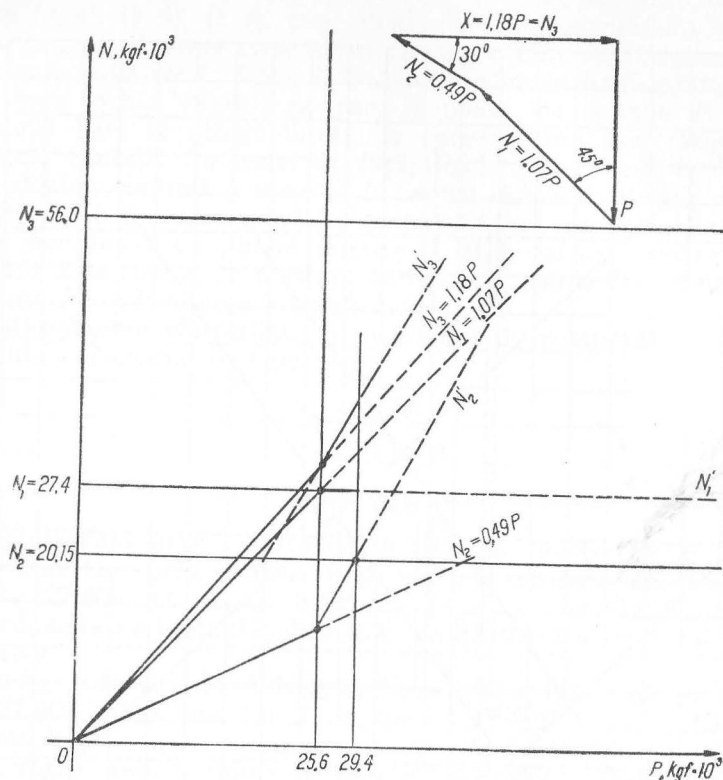


Fig. 8.10

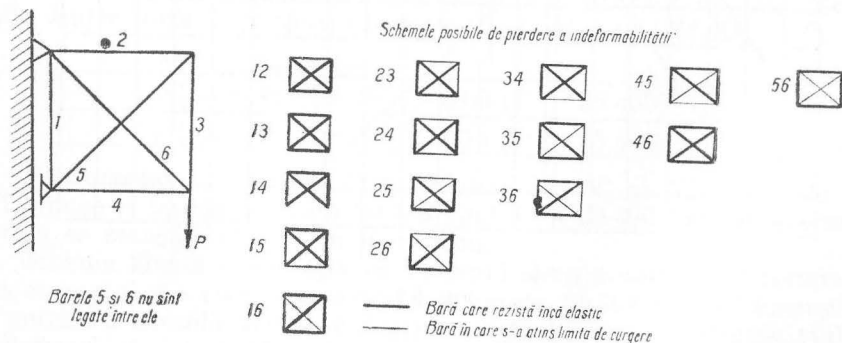


Fig. 8.11

Aplicînd metoda cinematică trebuie găsite toate schemele potrivit cărora sistemul se găsește într-o stare limită prin pierderea indeformabilității datorită atingerii limitei de curgere în două din cele șase bare ale sistemului. Numărul acestor scheme este dat de relația  $C_6^2 = 15$ .

În figură sînt arătate cele 15 scheme posibile. Se constată că, chiar în cazul problemelor simple, a unor sisteme articulate supuse la o singură forță concentrată, fixă, determinarea valorii acestei sarcini care conduce la atingerea stării limită este laborioasă. Este ușor de înțeles că aplicarea metodelor descrise mai înainte la sisteme multiplu static nedeterminate, cu sarcini mobile, prezintă dificultăți deosebite. Este logic să se pună deci problema economiilor care se pot realiza prin procedeele de calcul care țin seama de redistribuirea eforturilor la starea limită, economii care să justifice folosirea unor procedee extrem de laborioase. După A. R. Rjanițin\* economia poate atinge 20% față de metoda clasică, dar acest procent poate varia mult de la un sistem la altul, construcțiile la care se găsesc în același timp elemente subdimensionate cît și supradimensionate fiind printre cele la care prezintă avantaje calculul elasto-plastic.

Din contră, la construcțiile la care toate elementele sînt uniform sollicitate, avînd același coeficient de siguranță, pentru toate schemele de încărcare, avantajul procedeei noi de calcul devine practic neînsemnat.

Trebuie precizat încă o dată că la sistemele calculate în ipoteza comportării elasto-plastice a elementelor, materialul trebuie să aibă un palier de curgere cît mai întins posibil, adică să se apropie de diagrama lui Prandtl. Oțelurile de construcție satisfac această cerință; de asemenea aluminiul. Sînt însă materiale folosite în construcții care nu au un palier de curgere dezvoltat (ceea ce poate produce distrugerea unor fibre în faza atingerii tensiunilor de curgere pe toată secțiunea). Betonul, betonul armat, zidăriile din cărămidă și piatră nu pot fi considerate ca avînd comportare elasto-plastică decît la eforturi de compresiune și într-o măsură mai restrînsă. Elementele din materiale fragile nu pot fi calculate decît prin metodele clasice bazate pe teoria elasticității.

### 8.2.2. Încovoierea

În cele ce urmează se dau elemente de calcul pentru bare alcătuite dintr-un material elasto-plastic, supuse la încovoiere. De la început se precizează că este vorba de grinzi la care influența forțelor tăie-

\* A. R. Rjanițin [8.8]



toare asupra deformațiilor secțiunilor transversale este neglijabilă, ceea ce se realizează la grinzi a căror deschidere este de cel puțin 4—5 ori înălțimea secțiunii (la secțiuni dreptunghiulare).

Experiența arată că în aceste condiții și în cazul solicitărilor care depășesc limita de elasticitate se poate menține ipoteza de bază a teoriei clasice a încovoierii, și anume ipoteza secțiunilor plane.

Dacă materialul din care se execută grinda prezintă caracteristici asemănătoare celor reprezentate prin diagrama lui Prandtl, atunci diagrama tensiunilor care iau naștere în secțiunea solicitată de un moment încovoietor a cărui intensitate crește, va avea următoarele aspecte potrivit stadiului de solicitare (fig. 8.12).

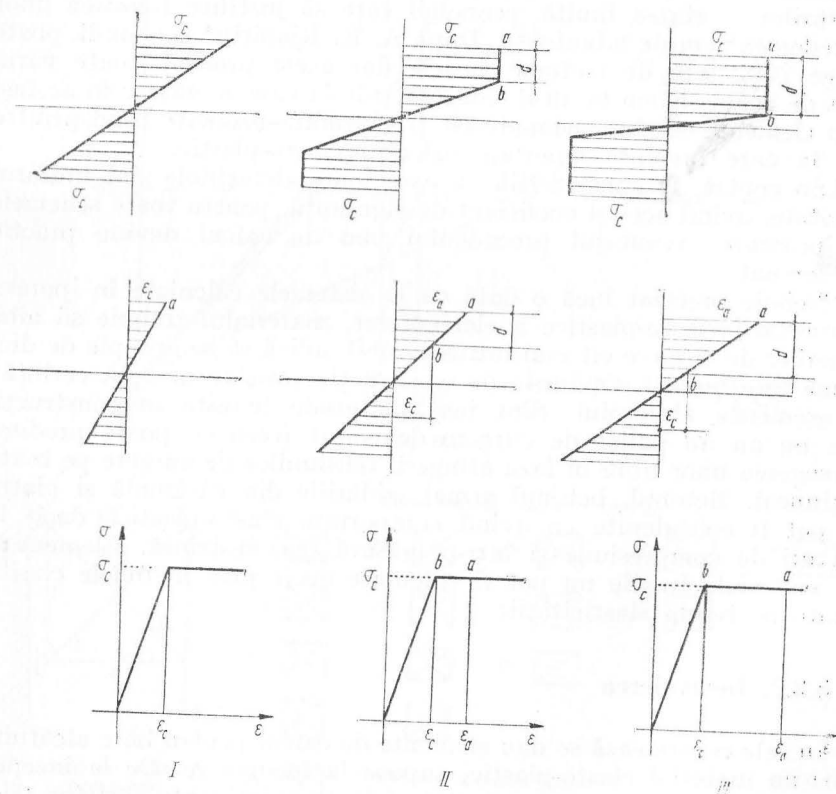


Fig. 8.12

**Stadiul I.** Tensiunile pe întreaga înălțime a secțiunii sînt inferioare limitei de curgere. E stadiul elastic pe care se bazează teoria clasică.

**Stadiul II.** Fibrele extreme au ajuns la limita de curgere; deformațiile cresc o dată cu solicitarea, dar ele nu se mai încarcă cu efort peste limita de curgere. Fibrele care se găsesc spre centrul secțiunii sînt în stadiul elastic, tensiunile sînt inferioare limitei de curgere în aceste fibre centrale.

**Stadiul III.** Practic, întreaga secțiune este *plastifiată*, toate fibrele fiind în aceeași stare de tensiune a cărei intensitate este egală cu limita de curgere. Se produce *articulația plastică*. Teoretic, trebuie să-i corespundă o curbă infinită a grinzii și deci și alungiri infinite ale fibrelor extreme ale secțiunii transversale.

În conformitate cu teoria plasticității *articulația plastică* permite rotații indefinit de mari sub moment încovoietor constant, deci sub încărcare constantă; la aceste încărcări pot să se dezvolte deformații mari; *esențial este că formarea articulației plastice transformă structura într-un mecanism*. Deosebirea față de articulația mecanică constă în aceea că în timp ce aceasta permite rotiri la un moment oricît de mic, în articulația plastică mecanismul funcționează numai după ce momentul încovoietor a atins o anumită valoare.

Articulația plastică este o noțiune abstractă, ea nu corespunde în totul comportării reale. O comportare de articulație efectivă presupune deformații specifice infinite; ecrisarea care apare produce creșterea momentului plastic; cu toate că nu este în strictă concordanță cu rezultatele experimentale, articulația plastică este fundamentată mai mult de experiență decît de teorie. În sensul acesta sînt încercările făcute acum aproape 40 de ani de Maier-Leibnitz: la grinda simplă rezemată cu secțiunea I de 1,6 m deschidere, încărcată cu o forță concentrată la mijloc, curgerea a început la o sarcină de 12,66 tf; încărcarea corespunzătoare articulației plastice calculate de 14,7 tf a fost însă depășită, distrugerea s-a produs la 16,9 tf prin flambaj lateral; de observat că pentru sarcinile depășind valoarea determinată prin calcul deformațiile au fost foarte mari.

În articulația plastică nu sînt luate în considerare eforturile radiale  $\sigma_r$  fără care o curbă accentuată nu poate fi concepută; o fibră curbă nu poate fi în echilibru numai sub forțe de întindere (compresiune) fără eforturi radiale; la deformații mari, o parte din încărcare este preluată și prin forțe de întindere; efectul acesta trebuie considerat ca efect secundar neinfluențînd considerabil capacitatea de rezistență.

Dacă se consideră secțiunea transversală dreptunghiulară a unei grinzi care se află în stadiul elasto-plastic, se poate ușor determina

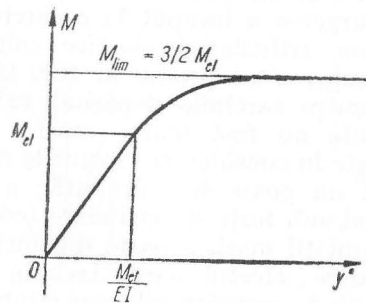
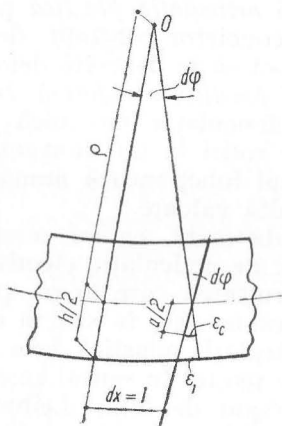
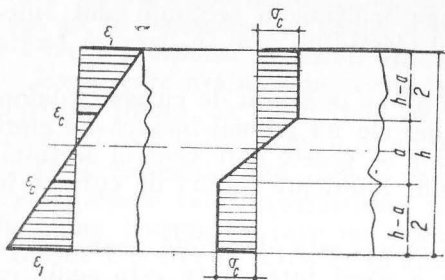


Fig. 8.13

\* După G. Baker.

momentul încovoietor exterior corespunzător distribuției tensiunilor din secțiune.

Fie o distribuție a acestor tensiuni ca în fig. 8.13\*, în care limita de curgere  $\sigma_c$  a fost atinsă pe o adâncime a secțiunii transversale egală cu  $\frac{h-a}{2}$  rămânând un sîmbure elastic de înălțime  $a$ . Lățimea secțiunii transversale este  $b$ . Alungirile specifice, în ipoteza secțiunilor plane, vor fi  $\varepsilon_c = \frac{\sigma_c}{E}$  la limita sîmburelui elastic.

Momentul încovoietor se poate exprima atunci prin:

$$M = b\sigma_c \left( \frac{h-a}{2} \right) \left( h - \frac{h-a}{2} \right) + b\sigma_c \frac{1}{2} \cdot \frac{a}{2} \cdot \frac{2}{3} a = b\sigma_c \left( \frac{h^2}{4} - \frac{a^2}{12} \right).$$

Ținînd seama că:

$$\frac{\varepsilon_c}{a} = \frac{\varepsilon_1}{h} = \frac{1}{\rho};$$

$$\frac{2\varepsilon_c}{a} = \frac{2\varepsilon_1}{h} = \frac{1}{\rho} = \frac{d^2y}{dx^2}$$

$$\frac{d^2y}{dx^2} = y'' = \frac{2\varepsilon_c}{a}; a = \frac{2\varepsilon_c}{y''} = \frac{2\sigma_c}{Ey''}$$

$$M = \frac{bh^2}{4} \sigma_c - \frac{b\sigma_c^3}{3E^2(y'')^2}$$

Dacă se notează  $M_{el} = W\sigma_c = \frac{bh^2}{6} \sigma_c$  în care  $W$  este modulul de rezistență, se obține:

$$M = M_{el} \left[ \frac{3}{2} - \frac{2\sigma_c^2}{h^2 E^2 (y'')^2} \right] \quad (8.1)$$

care reprezintă dependența dintre momentul încovoietor din secțiune și curbura grinzii, ținînd seama de caracteristicile elasto-plastice ale materialului. Reprezentînd grafic această relație se obține diagrama din fig. 8.13.

Se observă că valoarea limită către care tinde momentul încovoietor din secțiune — în momentul formării articulației plastice — este egală cu  $M_{lim} = 3/2 M_{el} = \frac{bh^2}{4} \sigma_c$  deci cu 50% mai ridicat decît valoarea momentului încovoietor admis de metoda clasică. Această valoare presupune  $y'' = \infty$ .

Dacă momentul încovoietor limită se exprimă sub forma:

$$M_{lim} = W_{pl}\sigma_c \text{ se obține: } W_{pl} = \frac{M_{lim}}{\sigma_c}. \quad (8.2)$$

Prin analogie cu stadiul elastic, mărimea  $W_{pl}$  se denumește *modul de rezistență plastic*. În cazul particular al secțiunii dreptunghiulare  $W_{pl}$  are valoarea:

$$W_{pl} = \frac{bh^2}{4}, \text{ iar raportul } \frac{W_{pl}}{W} = 1,5. \text{ Pentru diferite forme ale}$$

secțiunii transversale valorile raportului  $\frac{W_{pl}}{W}$  sînt date în fig. 8.14. Cu cît este mai integral folosit materialul în secțiune după criteriul metodei clasice, cu atît mai aproape de unitate este raportul  $\frac{W_{pl}}{W}$ .

De aceea profilul ideal este cel la care în materialul — cît mai depărtat de axa neutră — se nasc practic aceleași tensiuni limită pe toată aria, iar secțiunea transversală romboidală care prezintă material puțin la fibrele extreme, aglomerîndu-se spre axa neutră, este cea mai puțin avantajoasă avînd raportul  $\frac{W_{pl}}{W} = 2$ .

Determinarea analitică a modului de rezistență plastic, pentru secțiunile transversale avînd o axă de simetrie orizontală, se face cu ajutorul relației:

$$M_{lim} = W_{pl}\sigma_c = 2 \int_{\frac{A}{2}}^A \sigma_c y dA = 2\sigma_c \int_{\frac{A}{2}}^A y dA = 2\sigma_c S$$

de unde :

$$W_{pl} = 2S = 2A_1 y_1 \quad (8.3)$$

în care  $S$  este momentul static al jumătății de secțiune în raport cu axa de simetrie (fig. 8.15).

În cazul secțiunilor asimetrice, se determină mai întâi poziția axei neutre în stadiul limită, ceea ce se realizează ușor exprimând că suma tensiunilor de compresiune, în acest stadiu, egalează suma tensiunilor de întindere, adică :

$$\Sigma X = A_1 \sigma_c - A_2 \sigma_c = 0$$

$$A_1 = A_2 \quad (8.4)$$

de unde :

ceea ce revine a spune că axa neutră, în stadiul limită, împarte secțiunea în două părți echivalente (fig. 8.16).

Determinarea poziției axei neutre în acest stadiu se poate face foarte comod pe cale grafică după cum este indicat în fig. 8.17.

Potrivit acestei metode aria totală se împarte în fișii ale căror arii se însumează treptat și se raportează la scară obținându-se o

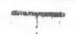





FORMA SECȚIUNII	$\frac{W_{pl}}{W}$
 Profil Ideal	1.0
 Laminat	1.15 - 1.17
 Tubular	1.27
	1.50
	1.70
	2.00

Fig. 8.14

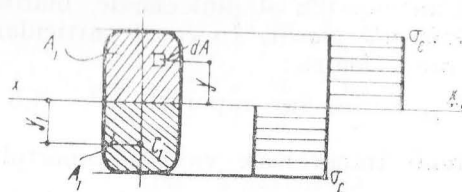


Fig. 8.15

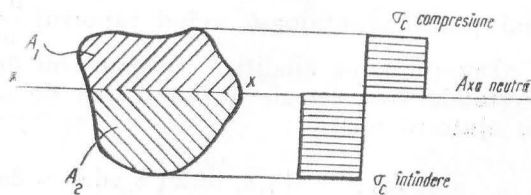


Fig. 8.16

curbă a cărei abscisă inferioară este egală cu aria totală. Verticala ridicată la jumătatea acestei abscise determină un punct pe curbă care la rândul său determină poziția axei neutre. Momentul limită se poate obține din relația :

$$M_{lim} = \sigma_c \frac{A}{2} z = W_{pl} \sigma_c \text{ iar } W_{pl} = \frac{A}{2} z \quad (8.5)$$

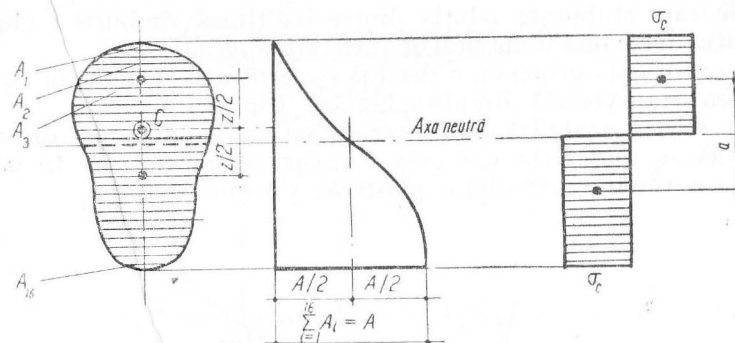


Fig. 8.17

în care :

$A$  este aria secțiunii transversale ;

$z$  — distanța dintre centrele de greutate ale celor două porțiuni echivalente ale secțiunii.

Este ușor de demonstrat că centrul de greutate al întregii secțiuni se găsește la jumătatea distanței dintre centrele de greutate ale celor două părți echivalente. De unde :

$$M_{lim} = W_{pl} \sigma_c = 2 \frac{z}{2} \frac{A}{2} \sigma_c = 2 \sigma_c \cdot S$$

în care regăsim momentul static al jumătății de secțiune în raport cu o axă care trece prin centrul de greutate al întregii secțiuni.

Pornind de la formulele stabilite în paragrafele anterioare, se poate determina înălțimea  $a$  în secțiune transversală a șîmburelui rămas încă elastic, funcție de solicitarea din secțiune, de caracteristicile geometrice ale acesteia și de proprietățile elasto-plastice ale materialului :

$$a = \sqrt{3h^2 - \frac{12M}{b\sigma_c}}$$

sau ținând seama că :

$$\frac{bh^2}{4} \sigma_c = M_{lim}$$

$$a = h \sqrt{3 \left( 1 - \frac{M}{M_{lim}} \right)}, \quad (8.6)$$

expresie care stabilește relația dintre înălțimea sîmburelui elastic și momentul încovoietor în lungul unei grinzi.

Fie cazul unei grinzi cu o sarcină concentrată la mijlocul ei, avînd secțiunea transversală dreptunghiulară (fig. 8.18).

Din relația stabilită, să determinăm la ce distanță de reazem începe să se manifeste curgerea fibrelor extreme, dacă la mijlocul grinzii s-a produs articulația plastică ; punem condiția

$$a_x = h,$$

rezultă :

$$h = h \sqrt{3 \left( 1 - \frac{M}{M_{lim}} \right)} \text{ sau } \frac{M}{M_{lim}} = \frac{2}{3}, \quad (8.7)$$

adică în secțiunea în care momentul încovoietor este  $2/3$  din cel limită, lucru evident față de cele stabilite anterior. Cum în cazul de față diagrama momentelor încovoietoare variază liniar, la distanța  $x = \frac{l}{3}$  începe zona de plastifiere a fibrelor grinzii.

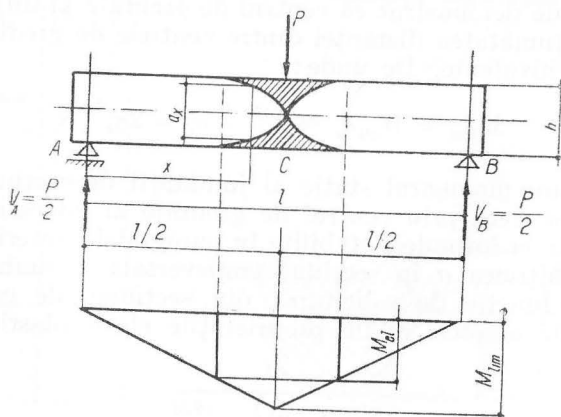


Fig. 8.18

În cazul în care aceeași grindă ar fi fost încărcată cu o sarcină uniform distribuită, am fi avut aceeași condiție :

$$\frac{M}{M_{lim}} = \frac{2}{3}$$

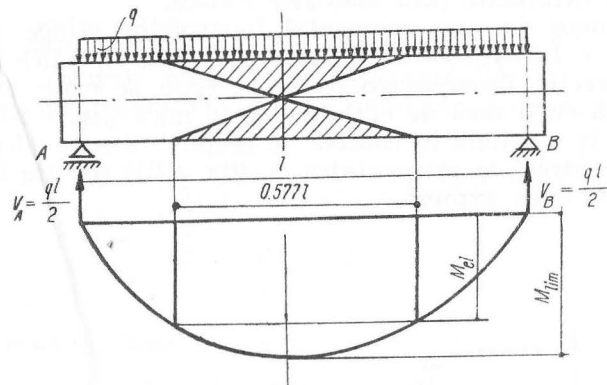


Fig. 8.19

dar distanța pe care se întinde zona de plastifiere a fibrelor este de această dată egală cu  $0,288 l$ , de o parte și de alta a mijlocului grinzii (fig. 8.19).

Sîmburele elastic este limitat în acest caz de două plane care se intersectează după o dreaptă trecînd prin secțiunea de mijloc a grinzii. În cazul în care momentul încovoietor maxim nu atinge valoarea momentului limită, atunci zonele plastificate rămîn la partea superioară și inferioară a grinzii și nu se ating. Dacă grinda are secțiunea transversală alta decît dreptunghiulară, extinderea zonei plastificate ia diferite valori depinzînd de raportul  $\frac{M}{M_{lim}}$ .

**Deformațiile grinzilor în stadiul elasto-plastic.** Situîndu-ne tot în cazul unei grinzi de secțiune transversală dreptunghiulară și rezolvînd ecuația (8.1) în raport cu curbura, obținem :

$$y'' = \frac{\sqrt{2} \sigma_c}{Eh \sqrt{1,5 - \frac{M}{M_{el}}}} \quad (8.8)$$



în care:  $M$  este momentul încovoietor din secțiune, iar

$$M_{el} = \frac{bh^2}{6} \sigma_c.$$

Această expresie dă valorile curburii fibrei medii a grinzii pentru zona în care fibrele extreme au început să curgă, adică zona în care  $M > M_{el}$ . De la valorile curburii se poate trece la determinarea formei fibrei medii deformate prin metodele clasice.

În secțiunea în care momentul încovoietor atinge valoarea sa limită  $M_{lim} = 1,5 M_{el}$ , curbura tinde către infinit, adică axa grinzii se frînge. Practic, deoarece grinda nu se rupe, se realizează local un arc de curbă cu o rază de curbura foarte mică (fig. 8.20).

Dacă se ia o grindă în consolă de secțiune dreptunghiulară cu o sarcină concentrată la extremitatea ei, (fig. 8.21) ecuația fibrei medii deformate va avea expresia:

$$EIy'' = -M = Px; \quad y'_1 = \frac{Px}{EI}$$

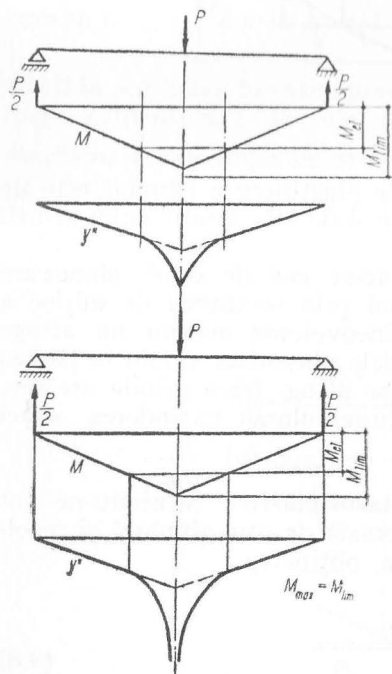


Fig. 8.20

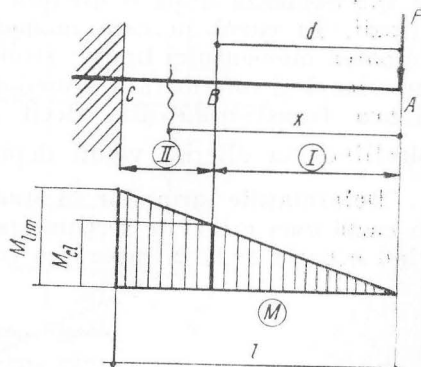


Fig. 8.21

pentru porțiunea  $d > x > 0$  adică porțiunea pe care  $M < M_{el} = \frac{bh^2}{6} \sigma_c$  și

$$y''_{II} = \frac{\sqrt{2} \sigma_c}{Eh \sqrt{1,5 - \frac{M}{M_{el}}}} = \frac{\sqrt{2} \sigma_c}{Eh \sqrt{1,5 - \frac{x}{d}}} \quad (8.9)$$

pentru porțiunea  $d < x < l$  ținând seama că  $M_{el} = Pd$ .

Integrând ecuațiile și determinînd constantele de integrare, se obține pentru porțiunea II, ecuația fibrei medii deformate:

$$y = \frac{4}{3} \frac{\sqrt{2} \sigma_c d^2}{Eh} \left[ \sqrt{\left(1,5 - \frac{l}{d}\right)^3} - \sqrt{\left(1,5 - \frac{l}{d}\right)^3} \right] - \frac{2\sqrt{2} \sigma_c d}{Eh} \sqrt{1,5 - \frac{l}{d}} (l - x) \quad (8.10)$$

iar pentru ecuația pantei tangentei la fibra deformată:

$$y' = \frac{2\sqrt{2} \sigma_c d}{Eh} \left[ \sqrt{1,5 - \frac{l}{d}} - \sqrt{1,5 - \frac{x}{d}} \right]$$

În cazul de față secțiunea fiind dreptunghiulară  $M_{lim} = \frac{3}{2} M_{el}$ , deci:  $l = \frac{3}{2} d$ , valoare care înlocuită în formula (8.10) dă expresia săgeților pe porțiunea II a grinzii cînd în încăstrare s-a atins starea limită:

$$y_{lim} = \frac{4}{3} \frac{\sqrt{2} \sigma_c d^2}{Eh} \sqrt{\left(1,5 - \frac{x}{d}\right)^3} \quad (8.11)$$

și expresia unghiului tangentei la fibră:

$$y'_{lim} = -\frac{2\sqrt{2} \sigma_c d}{Eh} \sqrt{1,5 - \frac{x}{d}} \quad (8.12)$$

ceea ce în punctul B dă:

$$y_{Blim} = \frac{2}{3} \frac{d^2 \sigma_c}{Eh}; \quad y'_{Blim} = -2 \frac{\sigma_c d}{Eh} \quad (8.13)$$

Prin integrarea ecuației fibrei medii deformate pe porțiunea  $I$  a grinzii se obține:

$$y = \frac{\sigma_c x^3}{3Edh} - 3 \frac{\sigma_c dx}{Eh} + \frac{10}{3} \cdot \frac{\sigma_c d^2}{Eh}$$

$$y' = \frac{\sigma_c x^2}{Edh} - 3 \frac{\sigma_c d}{Eh}; \quad (8.14)$$

pentru  $x = 0$  se obține valoarea săgeții sub sarcina  $P$  în cazul cînd în încăstrare s-a atins starea limită de curgere:

$$f_{lim} = \frac{10}{3} \frac{\sigma_c d^2}{Eh} \quad (8.15)$$

iar în cazul secțiunii dreptunghiulare:  $d = \frac{2}{3} l$

$$f_{lim} = \frac{40}{27} \frac{\sigma_c l^2}{Eh} = 1,481 \frac{\sigma_c l^2}{Eh}. \quad (8.16)$$

Pentru a compara această valoare cu valoarea săgeții sub sarcina  $P$  în cazul cînd curgerea a apărut numai în fibrele extreme ale secțiunii din încăstrare, se poate determina această valoare din urmă punînd condițiile  $x = d = l$  și  $y'(l) = 0$ , ceea ce dă:

$$f_{lim_{el}} = 0,667 \frac{\sigma_c l^2}{Eh};$$

făcînd raportul valorilor celor două săgeți se găsește:

$$\frac{f_{lim}}{f_{lim_{el}}} = \frac{1,481}{0,667} = 2,22.$$

De remarcat că în încăstrare în stadiul limită atins se realizează o curbă infinită, ceea ce nu conduce însă la o săgeată infinită.

**Calculul unei grinzi static nedeterminate în domeniul elasto-plastic.** Fie grinda continuă pe două deschideri egale, încărcată cu o sarcină concentrată pe una din deschideri, aplicată la mijlocul ei.

Calculul clasic dă următoarele valori ale momentelor încovoietoare:

$$M_D = \frac{13}{64} Pl$$

$$M_B = -\frac{3}{32} Pl.$$

Dacă grinda este dimensionată în stadiul elastic, atît în secțiunea  $D$  cît și în  $C$  diagramele eforturilor unitare vor avea aspectul din fig. 8.22,  $a$ , în secțiunea  $D$  în fibrele extreme luînd naștere cel mult efortul unitar admisibil.

Dacă valoarea sarcinii  $P$  crește, momentele încovoietoare cresc, eforturile unitare din secțiuni de asemenea, pînă cînd în fibrele extreme ale secțiunii  $D$  apar eforturile unitare de curgere (fig. 8.22,  $b$ ). Sporînd continuu valoarea sarcinii  $P$ , zona de curgere pătrunde treptat

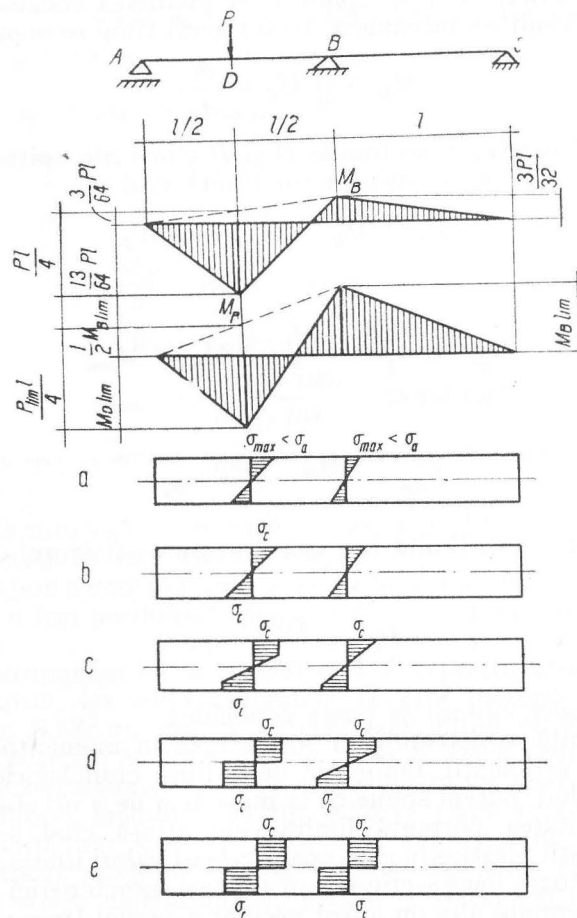


Fig. 8.22

pe înălțimea secțiunii din  $D$ , fenomen care apare și în secțiunea din  $B$  după ce fibrele extreme au ajuns la curgere (fig. 8.22,  $c$ ). În faza următoare (fig. 8.22,  $d$ ) s-a realizat articulația plastică în  $D$ , iar în  $B$  curgerea pătrunde spre interiorul secțiunii diminuând simburile elastic până ce cuprinde întreaga secțiune (fig. 8.22,  $e$ ). Din acest moment sistemul poate fi considerat ca static determinat: două grinzi static determinate legate printr-o articulație în care acționează un moment încovoietor cunoscut  $M_D = M_{lim}$  și o forță dată  $P$ . Faza finală, limită, este cea la care în punctele  $D$  și  $B$  s-au produs articulații plastice, ceea ce conduce la pierderea indeformabilității: sistemul a devenit un mecanism. În tot acest timp se menține relația:

$$M_D + \frac{1}{2} M_C = \frac{Pl}{4}.$$

În stadiul limită, în secțiunile  $D$  și  $B$  eforturile unitare interioare echilibrează un moment încovoietor limită egal cu:

$$M_D = M_B = M_{lim} = \sigma_c W_{pl}$$

sau

$$M_D = \frac{P_{lim} l}{4} - \frac{M_C}{2} = M_B = M_{lim}$$

de unde:

$$P_{lim} = \frac{6M_B}{l} = \frac{6W_{pl}}{l} \cdot \sigma_c. \quad (8.17)$$

Dacă acestei stări limită i se aplică acum coeficientul de siguranță  $c$  se obține:

$$P_{adm} = \frac{6W_{pl}}{c \cdot l} \cdot \sigma_c. \quad (8.18)$$

Pe baza celor expuse se poate conchide:

Starea limită a sistemului a fost atinsă în momentul când s-au realizat două articulații, indiferent de ordinea cronologică a apariției lor. Generalizând, putem spune că la un sistem de  $n$  ori static nedeterminat, capacitatea portantă limită este atinsă când se realizează  $n + 1$  articulații plastice în care apar aceleași valori limită ale momentelor încovoietoare dacă secțiunile au aceleași caracteristici geometrice.

Pentru exemplul ales nu a fost necesar a se mai trece prin calculul elastic clasic.

**Exemplu numeric.** Fie o grindă continuă pe două deschideri de 5 m, alcătuită dintr-un profil I 40 laminat din oțel Ol 38; să se calculeze forța capabilă pentru coeficientul de siguranță 1,714.

#### 1) Metoda clasică

$$\text{Pentru Ol 38 } \sigma_c = 2\,400 \text{ kgf/cm}^2; \sigma_a = \frac{\sigma_c}{2} = \frac{2\,400}{1,714} = 1\,400 \text{ kgf/cm}^2$$

$$W_x = 1\,460 \text{ cm}^3$$

$$M_{max} = \frac{13}{64} Pl = W_{xnet} \sigma_a = 1\,460 \cdot 1\,400 = 2\,044\,000 \text{ kgf cm} = \frac{13}{64} P \cdot 500$$

de unde:  $P_{adm} = 20\,150 \text{ kgf}$ .

#### 2. Metoda stării limită (elasto-plastică)

Aplicăm formula:

$$P_{adm} = \frac{6\sigma_c W_{pl}}{cl}$$

$$\frac{W_{pl}}{W} = 1,15 \dots 1,17 \text{ (v. fig. 8.14)}$$

$$W_{pl} = 1\,460 \cdot 1,15 = 1\,680 \text{ cm}^3$$

$$P_{adm} = \frac{6 \cdot 2\,400 \cdot 1\,680}{1,714 \cdot 500} = 28\,200 \text{ kgf}.$$

Rezultă un spor al sarcinii admisibile de 40% față de valoarea dată de metoda clasică.

În cele ce urmează se studiază un cadru triplu static nedeterminat aplicînd calculul în domeniul elasto-plastic (fig. 8.23). Analiza modului de distrugere a cadrului prin apariția articulațiilor plastice conduce la reținerea a trei posibilități de bază de a se ajunge într-o asemenea stare limită.

Dacă presupunem că forța verticală  $P$  reprezintă sarcina moartă + sarcina utilă, iar forța orizontală  $H$  este produsă de presiunea vîntului (fig. 8.23,  $a$ ), atunci de cele mai multe ori distrugerea se va produce potrivit modului din fig. 8.23,  $b$ . Dacă cadrul este foarte înalt sau dacă presiunea vîntului este ridicată, se poate produce distrugerea conform modului din fig. 8.23,  $c$ . Dacă presiunea vîntului este importantă, iar sarcinile utile sînt neînsemnate, cadrul se va distruge potrivit modului din fig. 8.23,  $d$ . În toate cazurile cadrul fiind triplu static nedeterminat, pentru a trece într-un mecanism, trebuie să se ajungă la formarea a patru articulații.

Pentru exemplificare să simplificăm problema presupunând încărcarea din fig. 8.24; să desfacem cadrul în două console introducând pentru echilibru legăturile necesare. În fig. 8.24, *a* este luată în considerare o sarcină utilă  $p$  uniform distribuită pe toată deschiderea cadrului, iar în fig. 8.24, *b* sînt reprezentate forțele introduse la des-

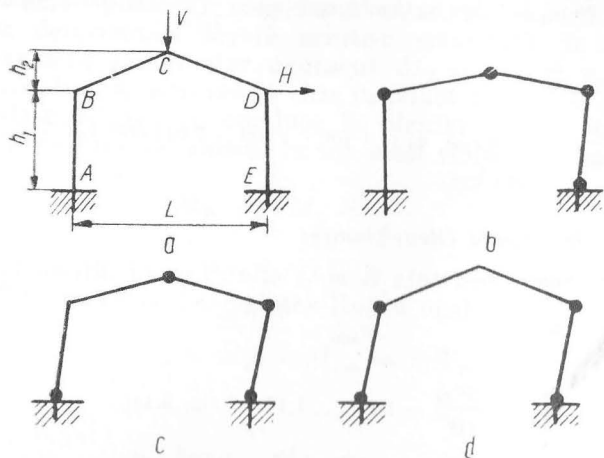


Fig. 8.23

facerea legăturilor și care pot fi considerate ca cele trei mărimi static nedeterminate ale sistemului.

Datorită simetriei mecanice și de încărcare a cadrului,  $S = 0$ . Admițînd că distrugerea se va produce ca în cazul din fig. 8.23, *b*, se poate forma următorul sistem de ecuații, exprimînd că în cele

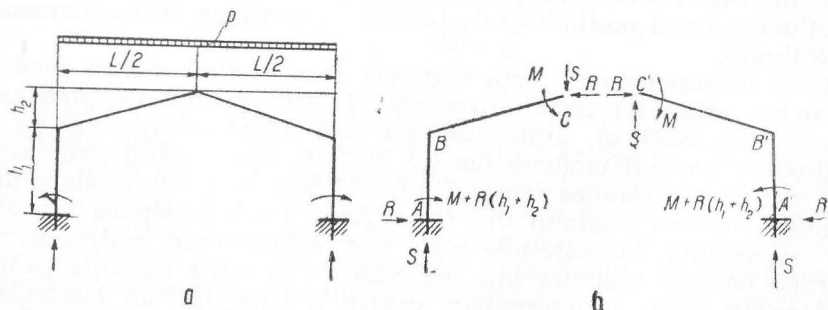


Fig. 8.24

patru puncte  $B, C, B', A'$  s-au format articulații plastice al căror moment plastic este  $M_{pl}$  (secțiunea cadrului este constantă).

În punctul  $B$ :

$$-\frac{pL^2}{8} + (M + Rh_2) = -M_{pl}$$

În punctul  $C$ :

$$M = +M_{pl}$$

În punctul  $B'$ :

$$-\frac{pL^2}{8} + (M + Rh_2) = -M_{pl}$$

În punctul  $A'$ :

$$-\frac{pL^2}{8} + [M + R(h_1 + h_2)] = +M_{pl}$$

Rezolvînd sistemul rezultă:

$$M_{pl} = \left( \frac{h_1}{h_1 + h_2} \right) \frac{pL^2}{16} = \frac{1}{1+k} \frac{pL^2}{16} \quad (8.19)$$

unde  $k = \frac{h_2}{h_1}$ .

Din relația (8.19) fie că se deduce  $M_{pl}$  produs de sarcina  $p$  și se compară cu momentul  $M_{lim}$  calculat potrivit elementelor geometrice ale secțiunii și a limitei de curgere a materialului, fie că se pornește cu valoarea limită a lui  $M_{pl}$  și se determină sarcina  $p$ . Dacă  $M_p$  calculat din relația (8.19) este inferior lui  $M_{lim}$  rezultă că sarcina  $p$  nu este suficient de ridicată pentru a produce toate patru articulațiile plastice.

### 8.2.3. Încovoierea oblică

S-a arătat mai înainte că în stadiul limită secțiunea transversală a unei grinzi supuse la încovoiere este împărțită în două arii echivalente de către axa neutră:

$$M_{lim} = \frac{A}{2} z \sigma_c$$



Când în stadiul limită planul forțelor, trecând totdeauna prin centrul de greutate al întregii secțiuni, se rotește, axa neutră se rotește și ea, dar respectînd condiția de a împărți secțiunea în două arii echi-

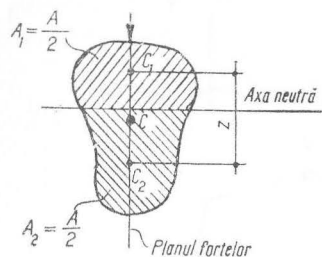


Fig. 8.25

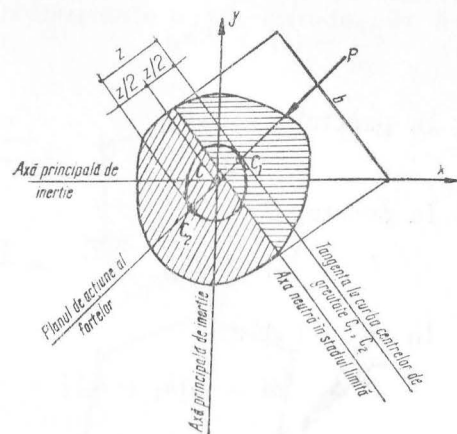


Fig. 8.26

valente  $A_1$  și  $A_2$ . Centrele de greutate ale acestor arii  $C_1$  și  $C_2$  vor descrie o curbă evident închisă.

Centrul de greutate al întregii secțiuni (fig. 8.25) împarte în două părți egale segmentul  $z$  care unește cele două centre  $C_1$ ,  $C_2$ , de unde rezultă că el este centrul de simetrie al curbei reprezentînd locul geometric al lui  $C_1$ ,  $C_2$  (fig. 8.26).

Se demonstrează ușor că tangenta la curbă în punctul  $C_1$  sau  $C_2$  corespunzînd unei anumite stări limită, este paralelă cu axa neutră a acestei stări limită.

Curba poate fi definită — se demonstrează — prin curbura ei:

$$\frac{d\alpha}{ds} = \frac{6A}{b^3} = \frac{y''}{(1+y'^2)^{3/2}}$$

în care  $b$  este lungimea axei neutre în stadiul limită considerat.

În cazul secțiunii dreptunghiulare (fig. 8.27):

$$b = \frac{B}{\cos \alpha}$$

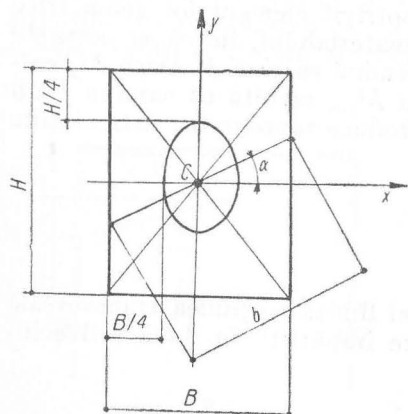


Fig. 8.27

în care  $\alpha$  este unghiul de înclinare al axei neutre într-un stadiu limită față de axa  $Cx$ , iar  $B$  lățimea secțiunii. Rezultă:

$$\frac{d\alpha}{ds} = \frac{6A}{b^3} = \frac{6A \cos^3 \alpha}{B^3} = \frac{y''}{(1+y'^2)^{3/2}}$$

în care  $y$  este ordonata unui punct din curba centrelor de greutate ale semisecțiunilor.

De asemenea,

$$\cos \alpha = \frac{dx}{ds} = \frac{1}{(1+y'^2)^{1/2}}$$

și înlocuind:

$$y'' = \frac{6A}{B^3} = \frac{6H}{B^2} = \text{const.} \quad (8.20)$$

de unde deducem că este vorba de o parabolă de gradul doi; centrele de greutate  $C_1$  și  $C_2$  se găsesc pe o curbă formată din 4 segmente de parabolă.

#### 8.2.4. Calculul barelor supuse la încovoiere și efort axial în domeniul elasto-plastic

Ne vom situa în cadrul elementelor de secțiune transversală dreptunghiulară supuse la un efort de compresiune excentrică. Dezvoltarea eforturilor unitare în secțiunile barei pe măsură ce efortul normal  $N$  crește și deci și momentul încovoietor  $M = Ne$  (excentricitatea rămîne constantă) este ilustrată în fig. 8.28.

Și în acest caz de solicitare se poate considera în stadiul limită o diagramă dreptunghiulară a eforturilor atît pentru zona întinsă,

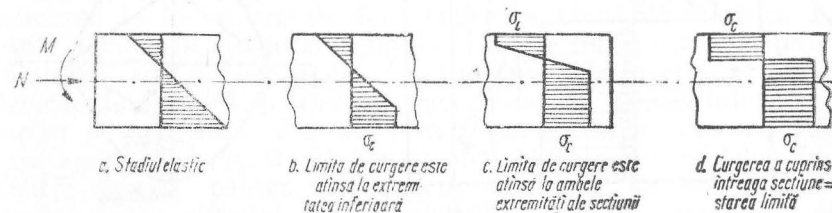


Fig. 8.28

cît și pentru cea comprimată. Să determinăm valoarea forței axiale limită  $N_{lim}$  și a momentului încovoietor limită  $M_{lim}$  care provoacă articulația plastică.

Pentru aceasta, pornind de la diagramele eforturilor unitare, să aplicăm condițiile de echilibru acestor eforturi. Proiecția eforturilor pe o axă orizontală dă (fig. 8.29):

$$\Sigma X = b \left( \frac{h}{2} - x \right) \sigma_c - b \left( \frac{h}{2} + x \right) \sigma_c + N = 0$$

în care  $b$  este lățimea secțiunii.

Din această relație se deduce poziția axei neutre:

$$x = \frac{N}{2b\sigma_c}. \quad (8.21)$$

Condiția ca suma momentelor să fie nulă pentru orice punct, deci și pentru punctul  $O$ , care este centrul eforturilor unitare de compresiune, dă:

$$\Sigma M_0 = \frac{h}{2} \left( \frac{h}{2} - x \right) b \sigma_c - M + N \left( \frac{h}{4} - \frac{x}{2} \right) = 0$$

sau

$$\frac{bh^2}{4} \sigma_c - \frac{Nh}{2 \cdot 2b\sigma_c} b \sigma_c - M + \frac{Nh}{4} - \frac{N}{2} \frac{N}{2b\sigma_c} = 0$$

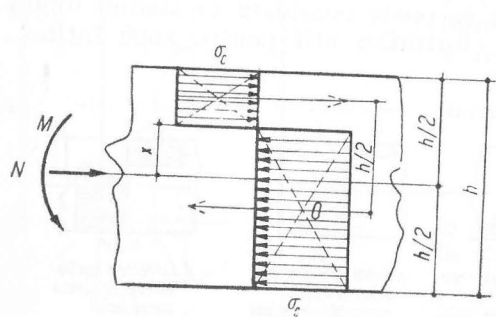


Fig. 8.29

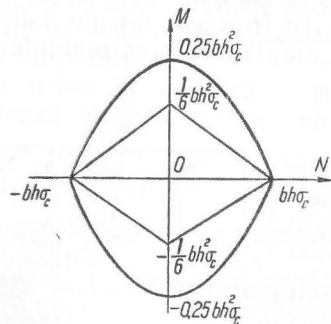


Fig. 8.30

ținînd seama că:

$$\frac{bh^2}{4} \sigma_c = M_{lim} \text{ și } bh\sigma_c = N_{lim}$$

$$M_{lim} - M - \frac{N^2}{4b\sigma_c} = 0$$

$$1 - \frac{M}{M_{lim}} - \frac{N^2}{4b\sigma_c} \frac{4}{bh^2\sigma_c} = 1 - \frac{M}{M_{lim}} - \frac{N^2}{N_{lim}^2} = 0 \text{ sau}$$

$$\frac{M}{M_{lim}} + \frac{N^2}{N_{lim}^2} = 1. \quad (8.22)$$

Dacă reprezentăm grafic această relație dintre forța axială și momentul încovoietor în stadiul limită, se obțin două arce de parabolă ca în fig. 8.30. Orice punct aflat în interiorul regiunii delimitate de aceste parabole reprezintă o pereche de valori  $M$  și  $N$  care satisfac condiția pusă, deci reprezintă valori admisibile, care ne conduc la o stare limită. În particular spațiul limitat de rombul trasat reprezintă limitele în care perechi de valori ale lui  $N$  și  $M$  produc solicitări în domeniul elastic, adică satisfac relația

$$\left| \pm \frac{M}{W} \pm \frac{N}{A} \right| < |\sigma_c|$$

sau

$$\left| \frac{6M}{bh^2} + \frac{N}{bh} \right| < |\sigma_c|.$$

### 8.3. CONDIȚIILE DE PLASTICITATE ÎN CAZUL STĂRII PLANE DE EFORTURI

Luarea în considerare a eforturilor unitare tangențiale la grinzile solicate la încovoiere conduce la starea plană de eforturi. Încercările făcute în decursul timpului asupra comportării materialelor sub stări mai complexe de eforturi pînă la atingerea stadiului de deformare plastică și apoi de rupere au dat posibilitatea cercetătorilor să propună mai multe criterii pentru stabilirea condițiilor în care apar deformările plastice și apoi ruperea materialelor ductile. Dintre acestea, pentru uzul practic ingineresc au fost reținute în special două: criteriul (teoria) efortului tangențial maxim și cel al energiei elastice de distorsiune sau al efortului tangențial octaedric.

Teoria efortului tangențial maxim se bazează pe studiile făcute de Tresca asupra curgerii plastice a metalelor moi (plumbul, de exemplu) prin orificii; conform acestei teorii se presupune că stadiul plastic în asemenea metale este atins atunci când efortul tangențial maxim atinge o valoare constantă care este tocmai valoarea rezistenței interne la forfecare. Apariția liniilor de lunecare, a căror direcție este foarte apropiată de direcția efortului tangențial maxim, în barele solicate la întindere — la unele metale (oțelul moale) chiar coincide — pare să confirme validitatea teoriei.

Notînd eforturile unitare principale în ordinea mărimii lor algebrice  $\sigma_1 < \sigma_2 < \sigma_3$  teoria se exprimă matematic sub forma:

$$\tau_{max} = \frac{\sigma_1 - \sigma_3}{2} = \text{const.}$$

Această teorie trebuie să se verifice și în cazul întinderii simple la care curgerea plastică apare la valorile eforturilor principale:  $\sigma_1 = \sigma_c$ ,  $\sigma_2 = \sigma_3 = 0$ . De aici rezultă valoarea constantei:

$$\tau_{max} = \text{const.} = \frac{\sigma_c}{2}$$

iar teoria se poate exprima sub forma:

$$\sigma_1 - \sigma_3 = \sigma_c.$$

Comportarea metalelor solicate la eforturi de compresiune neegale după cele 3 direcții pînă în domeniul plastic verifică de o manieră satisfăcătoare această teorie deși rezultatele încercărilor par să arate că trecerea în domeniul plastic se produce la solicitări diferite pentru aceeași valoare a efortului tangențial octaedric.

Teoria efortului tangențial octaedric coincide cu cea a energiei de distorsiune maximă (teoria Huber-Hencky) datorită asemănării expresiilor

$$\tau_{oct} = \frac{1}{3} \sqrt{(\sigma_1 - \sigma_2)^2 + (\sigma_2 - \sigma_3)^2 + (\sigma_3 - \sigma_1)^2}$$

$$w_d = \frac{1 + \nu}{6E} [(\sigma_1 - \sigma_2)^2 + (\sigma_2 - \sigma_3)^2 + (\sigma_3 - \sigma_1)^2].$$

Verificînd în cazul întinderii simple  $\sigma_1 = \sigma_c$ ,  $\sigma_2 = \sigma_3 = 0$  și comparînd rezultatele, se obține în ambele cazuri criteriul de plasticitate

$$(\sigma_1 - \sigma_2)^2 + (\sigma_2 - \sigma_3)^2 + (\sigma_3 - \sigma_1)^2 = 2\sigma_c^2.$$

Efortul octaedric la care apare deformația plastică este

$$\tau_{oct} = \frac{\sqrt{2}}{3} \sigma_c = \text{const.}$$

Adoptînd drept criteriu de plasticitate efortul unitar tangențial constant și ca încercare de referință încercarea la forfecare pură în care:

$$\sigma_1 = -\sigma_3 = \tau; \quad \sigma_2 = 0,$$

eforturile unitare principale pentru care apare curgerea plastică a materialului sînt:

a) după teoria efortului tangențial maxim constant

$$\sigma_1 = -\sigma_3 = \tau_{max} = \frac{\sigma_c}{2};$$

b) după teoria efortului tangențial octaedric constant

$$\sigma_1 = -\sigma_3 = \frac{\sigma_c}{\sqrt{3}}.$$

În cazul stării plane de eforturi produse la încovoierea grinzilor, cînd în secțiune apar atît eforturi unitare normale  $\sigma$  datorite momentului încovoiator, cît și tangențiale  $\tau$  datorite forței tăietoare, eforturile principale sînt:

$$\sigma_1 = \frac{\sigma}{2} + \frac{1}{2} \sqrt{\sigma^2 + 4\tau^2}$$

$$\sigma_2 = 0$$

$$\sigma_3 = \frac{\sigma}{2} - \frac{1}{2} \sqrt{\sigma^2 + 4\tau^2}.$$

În acest caz, cele două criterii de plasticitate ajung la următoarele expresii:

a) după teoria efortului tangențial maxim constant

$$\sqrt{\sigma^2 + 4\tau^2} = \sigma_c;$$

b) după teoria efortului tangențial octaedric constant

$$\sqrt{\sigma^2 + 3\tau^2} = \sigma_c.$$

Pînă acum au fost prezentate succint numai două teorii de plasticitate cele mai des utilizate în probleme de construcții. Numărul teoriilor, majoritatea relativ recente, este mare. Menționăm că, așa

cum a arătat W. Prager, teoriile importante sînt bazate pe relații liniare între tensori; ele sînt obținute prin derivare și integrarea deviatorului tensiunilor și al deformațiilor sau prin relații între invarianti.

#### 8.4. EFORTURILE UNITARE TANGENȚIALE LA GRINZILE SOLICITATE LA ÎNCOVOIERE

În studiul formării articulației plastice la grinda solicitată la încovoiere nu s-a ținut seama de influența eforturilor unitare tangențiale produse de forțe tăietoare. Este ușor de văzut că în zona plastică eforturile unitare tangențiale în secțiune sînt nule.

Într-adevăr, dacă din grindă, în zona solicitată în domeniul elasto-plastic, se izolează o porțiune de lungime infinit mică și din aceasta o prismă cuprinsă numai în zona plastică pe toată lățimea grinzii avînd ca bază dreptunghiul  $lmno$  și se studiază echilibrul, se vede că pe cele două fețe laterale acționează forțe normale egale:  $N = A\sigma_c$  ( $A$  fiind aria suprafeței laterale a prisme). Eforturile tangențiale pe fața de jos a prisme sînt ca urmare nule (fig. 8.31).

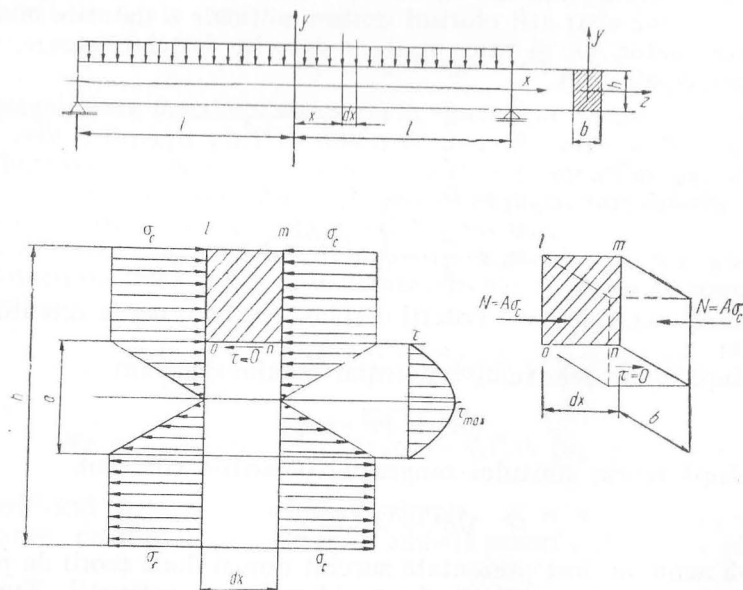


Fig. 8.31

Eforturi unitare tangențiale vor apărea deci numai în zona elastică; pentru a determina variația eforturilor unitare tangențiale, presupunem o grindă simplu rezemată de deschidere  $2l$  și de secțiune dreptunghiulară  $b \times h$ , încărcată cu o forță uniform repartizată  $p$ . Notăm ca mai înainte cu  $a = a(x)$  înălțimea sîmburelui elastic al grinzii.

În sistemul de referință ales, ecuația momentului încovoietor într-o secțiune oarecare este:

$$M = \frac{p}{2} (l^2 - x^2).$$

Pentru a determina înălțimea zonei elastice egalăm momentul încovoietor cu momentul forțelor interioare

$$\frac{b\sigma_c}{12} [3h^2 - a^2] = \frac{p}{2} (l^2 - x^2). \quad (8.23)$$

Înălțimea  $a$  a zonei elastice este:

$$a^2 = 3h^2 - \frac{6p}{b\sigma_c} (l^2 - x^2).$$

În secțiunea mediană a grinzii ea variază între

$a = h$  când  $p = p_0 = \frac{h^2}{3l^2} b\sigma_c$  (toată grinda în domeniul elastic);

$a = 0$  când  $p = p_1 = \frac{h^2}{2l^2} b\sigma_c$  (se formează articulația plastică).

În cazul  $p = p_1$  ecuația liniilor sîmburelui elastic este

$$a^2 = 3 \frac{h^2}{l^2} x^2 \quad (8.24)$$

reprezentînd o pereche de drepte simetrice trecînd prin origine.

În zona elastică efortul unitar normal variază după legea:

$$\sigma = \sigma_c \frac{2y}{a}. \quad (8.25)$$

Derivînd expresiile (8.23) și (8.25) în raport cu  $x$  se obține:

$$2a \frac{da}{dx} = \frac{12px}{b\sigma_c} \text{ și } \frac{d\sigma}{dx} = -\sigma_c \frac{2y}{a^2} \frac{da}{dx}.$$



Eliminând între cele două expresii derivata  $\frac{da}{dx}$  se obține

$$\frac{d\sigma}{dx} = -\frac{12p}{a^3b} xy.$$

Introducând această valoare în ecuația diferențială de echilibru (2.29)

$$\frac{\partial \sigma}{\partial x} + \frac{\partial \tau}{\partial y} = 0$$

și integrând, se obține valoarea efortului unitar tangențial

$$\tau = \frac{6pxy^2}{ba^3} + c.$$

Valoarea constantei  $c$  rezultă din faptul că pentru  $y = \pm \frac{a}{2}$  efortul unitar tangențial este nul ( $\tau = 0$ )

$$\tau = -\frac{3}{2} \frac{px}{ba} \left[ 1 - \left( \frac{2y}{a} \right)^2 \right].$$

Se recunoaște ușor că efortul unitar tangențial are aceeași expresie ca pentru grinda solicitată în domeniul elastic și anume cea dată de formula lui Juravski

$$\tau = \frac{TS}{bI}$$

cu deosebirea că momentul de inerție în cazul de solicitare în domeniul elasto-plastic se referă numai la simburile elastic. Din expresia efortului tangențial se vede imediat că efortul tangențial maxim se găsește în zona elastică. De asemenea, este interesant de notat că pentru valoarea încărcării  $p_1$  care produce articulația plastică de-a lungul zonei elasto-plastice raportul  $x/a$  este constant [v. relația (8.24)] deci efortul unitar tangențial maxim ( $y = 0$ ) este constant.

**Influența forței tăietoare asupra formării articulației plastice.** La grinzile la care eforturile unitare tangențiale au valori relativ mari (cazul consolelor scurte, de exemplu) formarea articulației plastice este influențată de acestea. Această influență este de înțeles deoarece apariția eforturilor unitare tangențiale transformă problema efortu-

rilor unitare într-o problemă plană pentru care este valabil unul din criteriile de plasticitate. Admitem de exemplu drept criteriu de plasticitate pe cel al efortului tangențial maxim:

$$\sqrt{\sigma^2 + 4\tau^2} = \sigma_c.$$

Pentru a concretiza, presupunem o grindă în consolă încărcată cu o forță concentrată la extremitate. Presupunem, de asemenea,

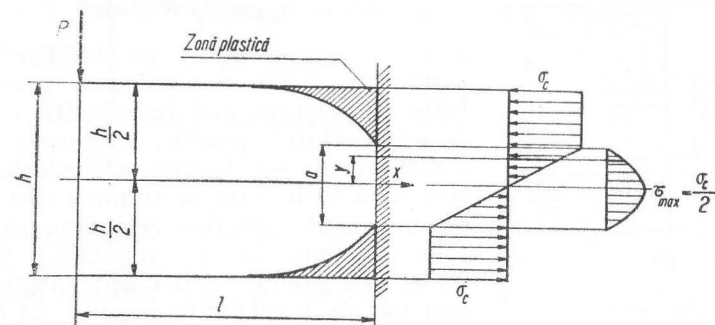


Fig. 8.32

că secțiunea cea mai solicitată, cea din încastrare, lucrează în domeniul elasto-plastic.

Distribuția eforturilor unitare este cea din fig. 8.32; presupunem că intensitatea forței  $P$  crește pînă cînd  $\tau_{max}$  atinge valoarea

$$\tau_{max} = \frac{\sigma_c}{2}.$$

În acest moment, starea de eforturi într-un punct din secțiune situat la distanța  $y$  de axa neutră în domeniul elastic este:

$$\left. \begin{aligned} \sigma &= \sigma_c \frac{2y}{a} \\ \tau &= \left( 1 - \frac{4y^2}{a^2} \right) \frac{\sigma_c}{2} \end{aligned} \right\} -\frac{a}{2} \leq y \leq \frac{a}{2}.$$

Introducînd aceste valori în condiția de plasticitate se obține:

$$-\frac{a}{2} \leq y \leq \frac{a}{2}; \quad \tau_{max} = \frac{\sigma_c}{2} \sqrt{1 - \frac{4y^2}{a^2} + \frac{16y^4}{a^4}}. \quad (8.26)$$

Valori mai mari decât  $\frac{\sigma_c}{2}$  pentru  $\tau_{max}$  nu vor mai fi întâlnite în domeniul de valabilitate stabilit. Valoarea minimă se va găsi la înălțimea  $y = \frac{a}{2\sqrt{2}}$ , și anume  $\tau = \frac{\sqrt{3}}{4} \sigma_c$ . Luînd ca mărime de compara-

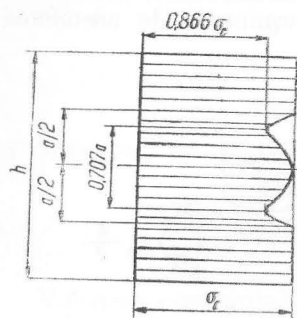


Fig. 8.33

ție efortul unitar echivalent, variația acestuia

$$\sigma_{ech} = \sqrt{\sigma^2 + 4\tau^2}$$

poate fi reprezentată pe înălțimea secțiunii (fig. 8.33). Se vede că practic pe întreaga secțiune este îndeplinită condiția de plasticitate; practic, simburile elastic a dispărut și s-a format articulația plastică. Concluzia care se impune este aceea că în cazul grinzilor acționate de forțe tăietoare importante, momentul încovoiător care produce articulația plastică este mai mic decât cel dat de formula de calcul:

$$M_p = \sigma_c(S_1 + S_2). \quad (8.27)$$

Mai mult, la grinzile foarte scurte, articulația plastică poate fi inițiată în axa neutră, astfel că pot apărea modurile de inițiere a articulației plastice reprezentate în fig. 8.34\*. O situație asemănătoare

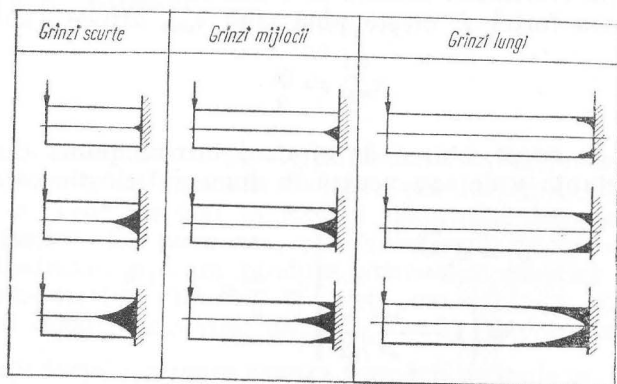


Fig. 8.34

\* S.D. Leites „Ob uprugo-plasticeskom izghibe balki priamougolnovo secenia”. Izdatelstvo Akademii Nauk S.S.S.R., O.T.N. nr. 6, 1961.

apare la grinzile I solicitate de forțe tăietoare importante. În aceste grinzi eforturile unitare tangențiale au valori importante în inimă; practic, inima preia toată forța tăietoare. Variația eforturilor unitare tangențiale de-a lungul inimii este puțin accentuată. În zona superioară a inimii, imediat sub talpă, atât eforturile unitare normale, cât

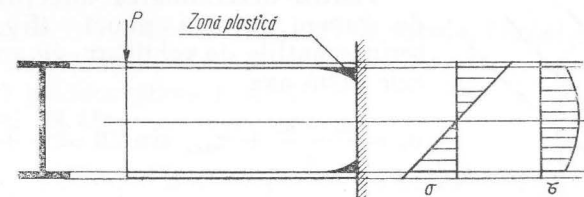


Fig. 8.35

și cele tangențiale, sînt apropiate de cele maxime. În asemenea împrejurări, condiția de plasticitate poate fi îndeplinită și articulația plastică este inițiată în inimă, imediat sub talpă (fig. 8.35).

#### 8.5. LINII DE CURGERE ÎN CAZUL STĂRII PLANE DE EFORTURI ȘI AL PLĂCILOR PLANE SUBȚIRI

În cazul stării plane de eforturi în domeniul elastic, eforturile unitare pot fi determinate pornind de la funcția de tensiune a lui Airy. Apariția zonelor plastice poate fi determinată folosind unul dintre criteriile de rezistență, cum este cel al efortului tangențial maxim. Notînd (în absența forțelor masice), conform relației (4.19):

$$\sigma_x = \frac{\partial^2 \Phi}{\partial y^2}; \quad \sigma_y = \frac{\partial^2 \Phi}{\partial x^2}; \quad \tau_{xy} = -\frac{\partial^2 \Phi}{\partial x \partial y}$$

criteriul de plasticitate ia forma:

$$\sqrt{(\sigma_x - \sigma_y)^2 + 4\tau^2} = \sigma_c \text{ sau} \quad (8.28)$$

$$\left[ \frac{\partial^2 \Phi}{\partial x^2} - \frac{\partial^2 \Phi}{\partial y^2} \right]^2 + 4 \left[ \frac{\partial^2 \Phi}{\partial x \partial y} \right]^2 = \sigma_c^2. \quad (8.29)$$

Se obține deci o ecuație diferențială de gradul doi și de ordinul doi, care în cazul general nu poate fi rezolvată cu ajutorul soluțiilor elementare; sînt soluții folosind funcțiile Bessel. Această ecuație definește o familie de linii ortogonale, numite linii de curgere sau linii

de rupere de-a lungul cărora efortul tangențial maxim are valoarea  $\sigma_c/2$ ; evident, de-a lungul liniilor de rupere pe cele două fețe ortogonale acționează același efort unitar normal, și anume

$$\sigma = (\sigma_1 + \sigma_2)/2 = (\sigma_x + \sigma_y)/2.$$

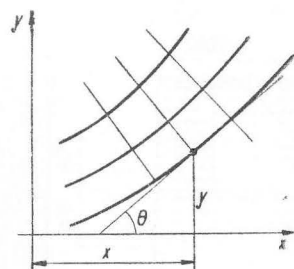


Fig. 8.36

Pentru determinarea direcțiilor liniilor de rupere într-un punct, (fig. 8.36) se scriu ecuațiile de echilibru de proiecții pe cele două axe

$$\sigma_x = \frac{\sigma_x + \sigma_y}{2} + \tau_{max} \sin 2\theta = \sigma + \frac{\sigma_c}{2} \sin 2\theta$$

$$\sigma_y = \sigma - \frac{\sigma_c}{2} \sin 2\theta$$

$$\tau = \frac{\sigma_c}{2} \cos 2\theta.$$

Introducînd aceste valori în ecuațiile de echilibru (2.29) se obțin (în absența forțelor masice):

$$\frac{\partial \sigma}{\partial x} + \frac{\sigma_c}{2} \frac{\partial \sin 2\theta}{\partial x} + \frac{\sigma_c}{2} \frac{\partial \cos 2\theta}{\partial y} = 0 \quad (8.30)$$

$$\frac{\partial \sigma}{\partial y} - \frac{\sigma_c}{2} \frac{\partial \sin 2\theta}{\partial y} + \frac{\sigma_c}{2} \frac{\partial \cos 2\theta}{\partial x} = 0. \quad (8.31)$$

Eliminînd  $\sigma$  prin derivare se obține ecuația diferențială:

$$\frac{\partial^2 \cos 2\theta}{\partial y^2} - \frac{\partial^2 \cos 2\theta}{\partial x^2} + 2 \frac{\partial^2 \sin 2\theta}{\partial x \partial y} = 0 \quad (8.32)$$

din care se obțin prin integrare familiile de linii de rupere și eforturile unitare care le produc.

Presupunînd  $\sigma_x$ ,  $\sigma_y$  și  $\tau_{xy}$  ca funcții cunoscute de  $x$  și  $y$  ecuațiile liniilor de rupere pot fi obținute și prin integrarea ecuațiilor diferențiale

$$\frac{dy}{dx} = \tan \theta = \frac{1 - \cos 2\theta}{\sin 2\theta} \quad \text{și} \quad (8.33)$$

$$\frac{dy}{dx} = \tan \left( \frac{\pi}{2} + \theta \right) = -\cotg \theta = -\frac{\sin 2\theta}{1 - \cos 2\theta} \quad (8.34)$$

în care unghiurile  $\theta$  și  $\left( \frac{\pi}{2} + \theta \right)$  sînt cele ale direcțiilor eforturilor tangențiale maxime date de:

$$\tan 2\theta = \frac{\sigma_y - \sigma_x}{2\tau_{xy}}.$$

Se obțin deci două familii de linii de rupere, curbele dintr-o familie fiind ortogonale cu cele ale celeilalte familii.

În cazul plăcilor plane ecuațiile de echilibru sînt cele exprimate de (4.44) și (4.45):

$$\frac{\partial T_x}{\partial x} + \frac{\partial T_y}{\partial y} = -p; \quad \frac{\partial M_x}{\partial x} + \frac{\partial M_{xy}}{\partial y} = T_x;$$

$$\frac{\partial M_y}{\partial y} + \frac{\partial M_{xy}}{\partial x} = T_y; \quad \frac{\partial^2 M_x}{\partial x^2} + 2 \frac{\partial^2 M_{xy}}{\partial x \partial y} + \frac{\partial^2 M_y}{\partial y^2} = -p.$$

Pentru determinarea celor 3 momente se poate scrie numai o ecuație de echilibru, ceea ce face problema static nedeterminată; o primă relație suplimentară este ipoteza de rupere; în fine, rezolvarea se obține punînd anumite condiții de natură geometrică care trebuie îndeplinite.

Pentru plăcile de beton armat de grosime constantă, avînd armătura presupusă repartizată uniform, se admite ca ipoteză de rupere, că cel mai mare moment încovoietor pozitiv este  $M$ , iar cel mai mic moment negativ este  $-M'$ ; valorile sînt determinate de armătura întinsă dispusă la fața de jos, respectiv la fața de sus a plăcii; procentul de armare este presupus scăzut, astfel încît curgerea armăturii să precedă ruperea betonului prin compresiune. Evident, în cazul unei plăci de oțel  $M = M'$ .

Din compararea expresiilor eforturilor unitare (4.41) și ale momentelor încovoietoare și de torsiune (4.42) din care reproducem primele expresii

$$\sigma_x = \frac{Ez}{1 - \nu^2} \left( \frac{\partial^2 w}{\partial x^2} + \nu \frac{\partial^2 w}{\partial y^2} \right) \quad \text{și}$$

$$M_x = -D \left( \frac{\partial^2 w}{\partial x^2} + \nu \frac{\partial^2 w}{\partial y^2} \right)$$

rezultă că între eforturile într-un punct ( $z = \text{const.}$ ) și momentele în secțiunile normale făcute într-un punct este o perfectă analogie.

Dacă în expresia eforturilor unitare se înlocuiește raportul  $\frac{Ez}{1-\nu^2}$  ( $z = \text{const}$ ) cu rigiditatea plăcii  $D$  se obțin expresiile momentelor din secțiune: momentele încovoietoare au expresia eforturilor unitare normale, iar momentele de torsiune cele ale eforturilor unitare tangențiale. Rezultă că pentru secțiunile făcute în jurul unei normale pe planul median, variația momentelor este dată de cercul lui Mohr analog celui al eforturilor unitare\*.

Rezultă deci într-un punct din placă două secțiuni principale ortogonale, în care acționează momentele încovoietoare principale  $M_1 = M_{\max}$  și  $M_2 = M_{\min}$ , momentele de torsiune fiind nule (fig. 8.37).

Făcând această remarcă, sîntem conduși la concluzia că momentele principale sînt cele care determină capacitatea portantă a plăcilor; în plăci se produce curgerea la unul din momentele principale  $M_1$  de exemplu, în acest loc apărînd și curbura maximă (deoarece deformațiile plastice sînt mult mai mari decît cele elastice). Un sistem de secțiuni principale (cele corespunzînd momentului  $M_1$  de exemplu), formează un sistem de curbe de curbura maximă ale suprafeței deformate; evident, cel de al doilea sistem formează un sistem ortogonal ca și secțiunile principale. Luînd în considerare numai curbura produse de atingerea momentelor limită  $M$  sau  $-M'$ , deci neglijînd curbura datorite deformațiilor elastice, rezultă trei posibilități:

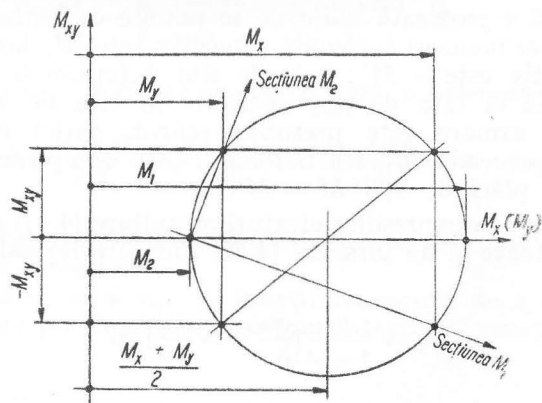


Fig. 8.37

\* Aceleași concluzii rezultă din considerente geometrice, curbura și torsiunea curbelor de intersecție cu plane care se rotesc în jurul unei normale la suprafața mediană deformată fiind descrise tot de cercul lui Mohr.

a) curbura sînt de același semn; în acest caz

$$M_1 = M_2 = M \text{ (respectiv } -M' \text{);}$$

b) curbura sînt de semne contrare; în acest caz

$$M_1 = M; M_2 = -M';$$

c) una din curburi este nulă, în acest caz

$$M_1 = M; -M' < M_2 < M \text{ sau}$$

$$M_2 = -M'; -M' < M_1 < M.$$

În cazul a) placa este solicitată de momente principale egale de unde rezultă că  $M_x = M_y = M$  și  $M_{xy} = 0$ ; acesta este un caz particular de încovoire, deoarece rezultă  $\rho = 0$ .

În cazul b) momentele principale sînt cunoscute; folosind cercul lui Mohr, se pot deduce expresiile momentelor încovoietoare în secțiunile paralele cu axele  $Ox$  și  $Oy$ :

$$M_x = \frac{1}{2} (M - M') + \frac{1}{2} (M + M') \cos 2\theta \quad (8.35)$$

$$M_y = \frac{1}{2} (M - M') - \frac{1}{2} (M + M') \cos 2\theta \quad (8.36)$$

$$M_{xy} = -\frac{1}{2} (M + M') \sin 2\theta. \quad (8.37)$$

Introducînd aceste valori în ecuațiile de echilibru (4.44) și (4.45) se obține o ecuație diferențială care poate servi pentru determinarea unghiului  $\theta$  care definește familiile de linii de rupere în placă

$$2 \frac{\partial^2 \sin 2\theta}{\partial x \partial y} + \frac{\partial^2 \cos 2\theta}{\partial y^2} - \frac{\partial^2 \cos 2\theta}{\partial x^2} = \frac{2\rho}{M + M'}. \quad (8.38)$$

În cazul c) curbura după  $M_2$  (în primul caz) este nulă și liniile de curgere sînt drepte. În acest caz, în ecuațiile (8.35) — (8.37)  $-M'$  trebuie înlocuit cu  $M_2$ , a cărui valoare este variabilă, cuprinsă între limitele  $-M'$  și  $M$ . Deci, sînt două necunoscute  $\theta$  și  $M_2$ , astfel încît de fapt problema este nedeterminată dacă nu se poate determina pe altă cale una dintre mărimi: rețeaua de linii de rupere, de exemplu. Condiții suplimentare cu privire la formarea liniilor de rupere se obțin în cele mai multe cazuri din condițiile de contur.

De-a lungul unei laturi simplu rezemate, de exemplu, atît momentul încovoitor cît și momentul de torsiune sînt nule; latura cons-



tituie o secțiune principală ; liniile perpendiculare pe latură sînt linii de rupere.

În cazul unei plăci simplu rezemate pe contur, liniile de rupere nu pot merge drept de la un punct de pe contur la altul, pentru că ar transforma suprafața deformată într-un plan. Ele trebuie să se

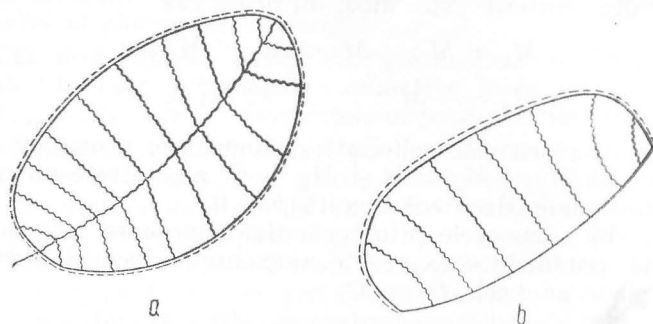


Fig. 8.38

întîlnească de-a lungul unei linii  $a - a'$  care este tot o linie de rupere (fig. 8.38, a).

În cazul că o parte din contur este simplu rezemată iar alta liberă, perpendiculare pe aceasta sînt liniile de rupere care continuă ajungînd perpendicular pe reazemul simplu (fig. 8.38, b).

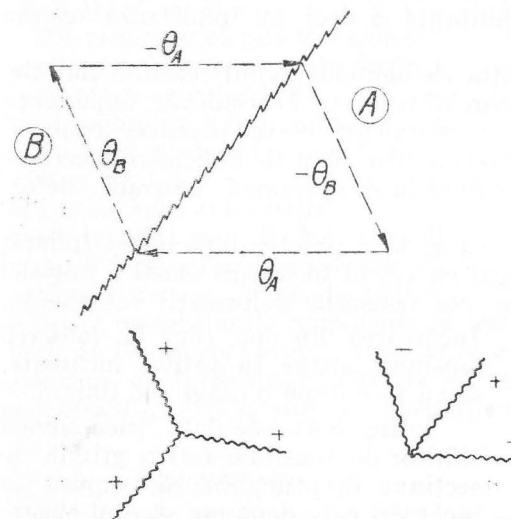
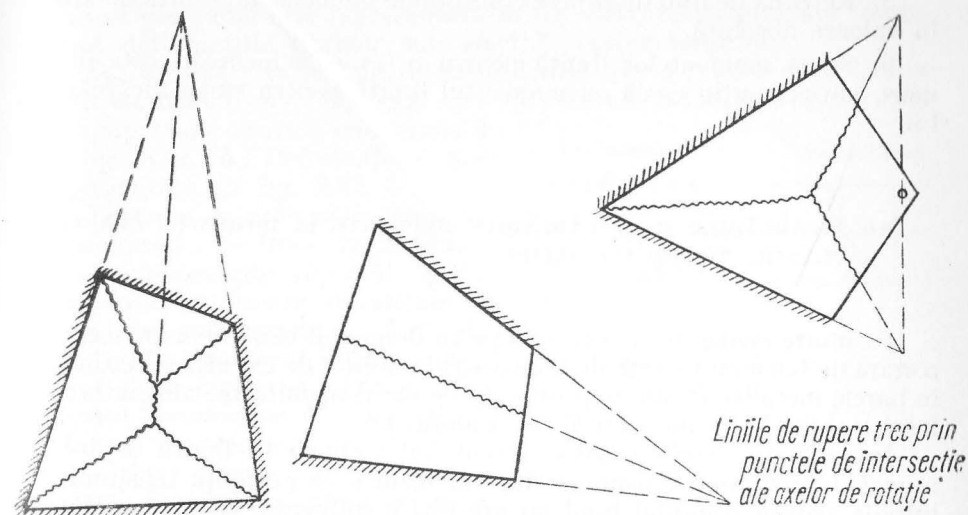
Dintre liniile de rupere, o importanță deosebită au cele care despart suprafața plăcii în porțiuni ; cunoscîndu-le pe bază de considerente statice și cinematice, pot fi determinate forțele interioare care produc ruperea plăcii. În legătură cu acestea sînt valabile următoarele teoreme (fig. 8.39) :

1) Linia de rupere între două părți ale unei plăci trebuie să treacă prin intersecția axelor de rotație.

2) Rețeaua de linii de rupere este determinată de axele de rotație și de rapoartele dintre rotații. (Rotațiile sînt pozitive cînd produc compresiune la partea superioară a plăcii).

3) Într-un nod în care se întîlnesc mai multe linii de rupere cu același semn, forțele în nod sînt nule.

4) Într-un nod în care se întîlnesc linii de rupere de semne contrare, numărul direcțiilor distincte ale liniilor de rupere nu poate depăși trei.



Reprezentarea rotațiilor

Fig. 8.39

5) Rețeaua de linii de rupere corespunde momentului limită maxim în valoare absolută.

6) Suma momentelor limită pentru o serie de încărcări este mai mare sau cel puțin egală cu momentul limită pentru suma încărcărilor.

#### 8.6. ÎNCĂRCĂRILE ȘI DESCĂRCĂRILE REPETATE ÎN DOMENIUL ELASTO-PLASTIC. TENSIUNILE ÎNITIALE

În multe elemente de construcție în domeniul elasto-plastic există o stare de tensiuni înainte de aplicarea sarcinilor, de exemplu: tensiuni în barele metalice laminate provocate de răcirii neuniforme ale materialului, tensiuni din inexactități de montaj etc.

Întrucât, în cazul grinzilor, momentul încovoietor limită depinde numai de diagrama tensiunilor limită, rezultă că prezența tensiunilor inițiale asupra stadiului final nu are nici o influență, cu alte cuvinte capacitatea portantă limită în cazul materialelor elasto-plastice nu depinde de tensiunile inițiale. De altminteri acest lucru este în acord cu cele expuse anterior, căci starea de tensiuni inițiale este o stare de autotensiune auto-echilibrată și deci nu împieteză asupra capacității portante limită.

Cu totul diferită este situația elementelor având tensiuni inițiale, dar supuse la încărcări și descărcări repetate. Într-adevăr, experiența arată că pentru majoritatea materialelor elasto-plastice, comportarea lor la descărcare este elastică. Un ciclu de solicitări succesive — încărcări și descărcări — conduce la o diagramă tensiuni-deformații ca cea din fig. 8.40.

Datorită faptului că revenirea se face practic după o lege liniară, cu un modul de elasticitate egal cu cel al încărcării elastice inițiale, după înlăturarea sarcinilor se vor constata deformații remanente.

Încărcarea din nou, până la valoarea tensiunii atinse la prima încărcare, se va face după o diagramă liniară.

În fig. 8.41 este dată succesiunea stărilor de tensiune într-o grindă de secțiune dreptunghiulară, supusă la încărcări care depășesc stadiul elastic — solicitând deci secțiunile la comportare elasto-plastică — urmate de descărcări.

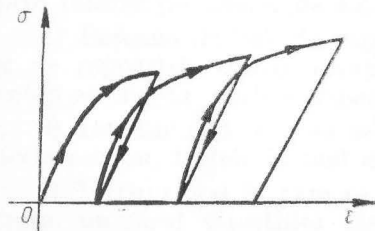


Fig. 8.40

Încărcarea grinzii. Momentul încovoietor  $M$  produce tensiuni a căror diagramă este reprezentată în fig. 8.41,  $a$ . Diagrama  $a'$  reprezintă deformațiile fibrelor sub efectul acestor tensiuni.

Descărcarea grinzii. Efectul este identic cu cel produs de aplicarea unui moment încovoietor egal cu  $-M$ , fibrele având însă la revenire o comportare elastică reprezentată în fig. 8.41,  $b$ . Deformațiile sînt reprezentate în fig. 8.41,  $b'$ .

Tensiuni și deformații reziduale (remanente). În lipsa momentului încovoietor exterior (fig. 8.41,  $c$  și  $c'$ ), tensiunile interioare constituie o stare de autotensiune, deci de rezultantă și moment interior nule.

A doua încărcare a grinzii. Momentul încovoietor  $M$  va produce deformațiile atinse la prima încărcare, dar comportarea pînă la această fază este elastică ca și la descărcare (fig. 8.41,  $d$  și  $d'$ ).

Se atinge astfel aceeași stare de tensiuni și de deformații ca în fig. 8.41  $a$ , și  $a'$ .

De remarcat că prin mecanismul descris mai înainte se poate încărca și descărca o grindă de secțiune dreptunghiulară, prin aplicarea și înlăturarea aceluiași moment încovoietor  $M$ , de un număr de ori, fără a se mări deformațiile atinse. Acest rezultat nu rămîne valabil în cazul secțiunilor transversale de secțiuni oarecare. În aceste cazuri, se poate ca tensiunile remanente în unele fibre extreme să ajungă ele însele la limita de curgere, ceea ce face ca deformațiile remanente ale ciclurilor de încărcare-descărcare să se cumuleze și deci deformația generală a grinzii să sporească continuu.

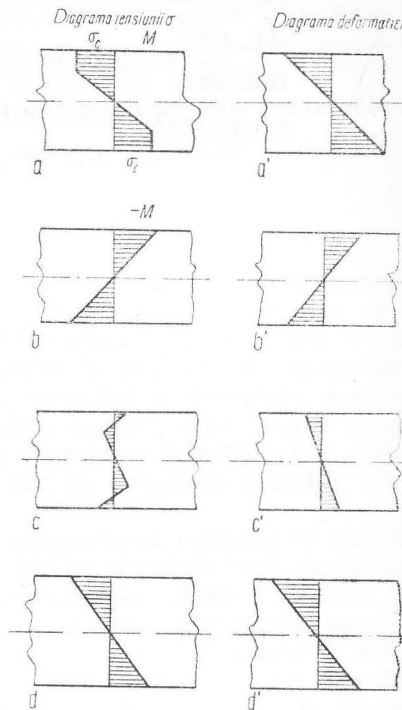


Fig. 8.41

#### BIBLIOGRAFIE

1. Baker, G., Horne, M. R. și Heyman, J. *The steel skeleton*. Vol. II, Cambridge University Press, 1965.
2. Beleş, A. A. și Voinea, R. P. *Rezistența materialelor*. Vol. II, București, Editura tehnică, 1958.

1965.  
1959.

1963.  
izda-

Graw

man &

Paris,

1952.

## ELEMENTE DE TEORIA LINIARĂ A VÎSCO-ELASTICITĂȚII

Adoptarea unor modele mai complexe pentru corpul material care să descrie și comportarea lui în timp a dat posibilitatea să fie întrunite într-o teorie accesibilă, satisfăcătoare prin rezultate, numeroase rezultate experimentale obținute în practica de laborator și în construcții. În ultima vreme s-a dezvoltat o disciplină nouă cu caracter tehnic, *Reologia*, care „stricto sensu”, este știința despre curgerea materialelor. Ea a reușit să sintetizeze într-un cadru unitar, datele furnizate pînă acum separat atît de mecanica fluidelor, cît și de mecanica corpului solid.

În cele ce urmează va fi studiată comportarea corpului cu proprietăți vîsco-elastice la solicitări simple, pentru a stabili legile de variație în timp a eforturilor unitare și a deformațiilor. Pentru întuirea mai lesnicioasă a fenomenelor, studiul se va face prin intermediul modelelor mecanice. În compunerea acestor modele, cele două faze — solidă și vîscoasă — se găsesc fie în serie, fie în paralel. Modelele mai complexe se obțin prin combinarea modelelor simple legate între ele în mod asemănător.

Viscozitatea în fluide este definită pentru curgerea laminară sub acțiunea eforturilor unitare tangențiale. Cum proprietățile materialelor se caracterizează pe baza încercărilor axiale (la întindere sau compresiune), este util să se definească *viscozitatea (aparentă) la întindere*.

Într-o bară supusă la întindere sub acțiunea unui efort unitar normal  $\sigma$ , eforturile tangențiale maxime sînt în secțiunea înclinată cu  $\frac{\pi}{4}$  și au valoarea  $\tau = \frac{\sigma}{2}$  iar lunecarea specifică

$$\gamma = \frac{\tau}{G} = \frac{\sigma}{2} \cdot \frac{2(1 + \nu)}{E} = \varepsilon(1 + \nu);$$

scriind pentru aceste eforturi tangențiale legea lui Newton  $\tau = \eta \dot{\gamma}$  rezultă

$$\frac{\sigma}{2} = \eta \dot{\epsilon} (1 + \nu)$$

sau ținând seama că în cazul fluidelor incompresibile  $\nu = 0,5$

$$\sigma = 3\eta \dot{\epsilon} = \lambda \dot{\epsilon}$$

în care cu  $\lambda = 3\eta$  s-a notat viscozitatea la întindere sau compresiune.

Rezultă că poate fi studiată comportarea corpurilor alcătuite din două faze — solidă și viscoasă — la eforturi normale, dacă în locul viscozității  $\eta$  se introduce în calcul o viscozitate (convențională)  $\lambda = 3\eta$ .

## 9.1. CORPUL VÎSCO-ELASTIC FĂRĂ RELAXARE, CU DEFORMAȚII ELASTICE ÎNTÎRZIATE

### 9.1.1. Ecuația de stare

Să presupunem un corp alcătuit din cele două faze: una perfect elastică, alta viscoasă, care în model sînt cuplate în paralel. Un asemenea corp este cunoscut sub numele de corpul lui Kelvin sau corpul lui Voigt. Faza elastică (reprezentată în fig. 9.1 prin resortul 1) este caracterizată prin modulul de elasticitate  $E$ , iar cea viscoasă (în fig. 9.1 cilindru cu pistonul perforat 2) prin viscozitatea la întindere  $\lambda$ . Cele două elemente ale modelului, pe care le denumim faze, sînt cuplate prin bare rigide, astfel încît deformarea lor, în orice moment, să fie egală. Să presupunem sistemul solicitat la un efort de întindere  $\sigma$ ; efortul va fi egal cu rezultanta eforturilor din cele două faze. Ecuațiile fundamentale ale celor două faze sînt

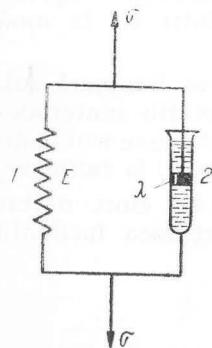


Fig. 9.1

$$\text{resort: } \sigma_1 = E\varepsilon$$

$$\text{piston: } \sigma_2 = \lambda \dot{\varepsilon}.$$

Efortul total va fi

$$\sigma = E\varepsilon + \lambda \dot{\varepsilon}. \quad (9.1)$$

Această ecuație este *ecuația de stare a corpului visco-elastic fără relaxare cu deformări elastice întîrziate*.

Ecuația de stare este o ecuație diferențială liniară de ordinul întîii.

Scrisă sub forma:

$$\frac{dy}{dx} + my = n \quad (9.2)$$

în care  $m$  și  $n$  sînt funcții de  $x$ , ecuația are ca soluție:

$$y = e^{-\int m dx} \left[ \int n e^{\int m dx} + c \right]; \quad (9.3)$$

aducînd ecuația de stare sub aceeași formă, și anume

$$\dot{\varepsilon} + \frac{E}{\lambda} \varepsilon = \frac{\sigma}{\lambda}$$

și integrînd, se obține soluția

$$\varepsilon = e^{-\frac{E}{\lambda} t} \left( \int_0^t \frac{\sigma}{\lambda} e^{\frac{E}{\lambda} t} dt + \varepsilon_0 \right) \quad (9.4)$$

în care  $E$  și  $\lambda$  sînt constante iar  $\varepsilon_0$  lungirea specifică în momentul încărcării ( $t = 0$ ).

### 9.1.2. Deformația sub efort constant

Presupunem că asupra corpului se exercită un efort constant  $\sigma = \sigma_0$ . În acest caz soluția este:

$$\varepsilon = e^{-\frac{E}{\lambda} t} \varepsilon_0 + \frac{1}{E} \sigma_0 \left( 1 - e^{-\frac{E}{\lambda} t} \right). \quad (9.5)$$

În cazul în care deformația inițială este nulă  $t = 0$ ;  $\varepsilon = \varepsilon_0 = 0$  ecuația devine:

$$\varepsilon = \frac{\sigma_0}{E} \left( 1 - e^{-\frac{E}{\lambda} t} \right). \quad (9.6)$$



Această ecuație se reprezintă grafic (fig. 9.2) printr-o curbă care tinde asimptotic către dreapta  $\varepsilon = \frac{\sigma_0}{E}$ . Înseamnă că faza vîscoasă acționează ca un factor de întîrziere al deformăției fazei perfect elastice. Deformațiile se apropie cu atît mai repede de valoarea deformăției

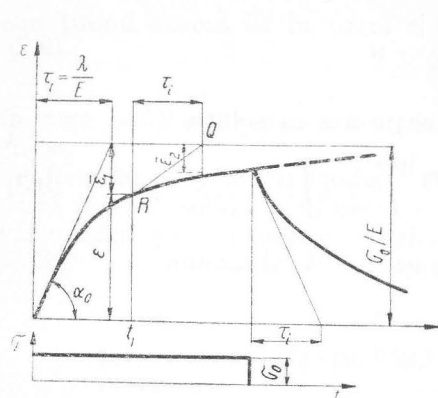


Fig. 9.2

elastice, cu cît raportul  $\frac{\lambda}{E}$  este mai mic. Acest raport are dimensiunea unui interval de timp și este denumit *timp de întîrziere*, notat cu  $\tau_i$  definit, ca :

$$\tau_i = \frac{\lambda}{E} \quad (9.7)$$

! Semnificația fizică a acestor mărimi rezultă din studiul diagramei din fig. 9.2. Ecuația tangentei într-un punct R de coordonate  $t = t_1$  și  $\varepsilon = \varepsilon_1$  este

$$\varepsilon - \varepsilon_1 = (\dot{\varepsilon})_{t=t_1} (t - t_1)$$

$$\varepsilon - \frac{\sigma_0}{E} \left( 1 - e^{-\frac{t_1}{\tau_i}} \right) = \frac{\sigma_0}{\lambda} e^{-\frac{t_1}{\tau_i}} (t - t_1).$$

Tangenta intersectează asimptota  $\varepsilon = \frac{\sigma_0}{E}$  într-un punct Q de abscisă t dată de relația :

$$\frac{\sigma_0}{E} e^{-\frac{t_1}{\tau_i}} = \frac{\sigma_0}{\lambda} e^{-\frac{t_1}{\tau_i}} (t - t_1).$$

Rezolvînd ecuația rezultă valoarea abscisei punctului Q:  $t = t_1 + \tau_i$ .

Scăzînd din această abscisă, abscisa punctului R rezultă

$$t - t_1 = \tau_i = \text{const.}$$

În orice punct R al curbei, tangenta definește pe asimptotă segmente egale ca lungime (durată) cu timpul de întîrziere. Rezultă că timpul de întîrziere este intervalul de timp invariabil, necesar pentru

a se ajunge la deformăția  $\frac{\sigma_0}{E}$ , dacă viteza de deformăție atinsă într-un anumit moment s-ar menține constantă.

În momentul  $t = t_1$  deformăția este

$$\varepsilon_1 = \frac{\sigma_0}{E} \left[ 1 - e^{-\frac{t_1}{\tau_i}} \right].$$

În momentul  $t_2 = t_1 + \tau_i$  deformăția este

$$\varepsilon_2 = \frac{\sigma_0}{E} \left[ 1 - e^{-\left(\frac{t_1}{\tau_i} + 1\right)} \right].$$

Partea de deformăție care rămîne de efectuat pînă la atingerea întregii deformății elastice  $\frac{\sigma_0}{E}$  pe care o denumim *deformație rămasă* notată  $\bar{\varepsilon}$  este :

$$\text{cînd } t = t_1; \quad \bar{\varepsilon}_1 = e^{-\frac{t_1}{\tau_i}} \cdot \frac{\sigma_0}{E};$$

$$\text{cînd } t = t_1 + \tau_i; \quad \bar{\varepsilon}_2 = e^{-\left(\frac{t_1}{\tau_i} + 1\right)} \cdot \frac{\sigma_0}{E}.$$

Răcînd raportul între cele două deformații rezultă

$$\frac{\bar{\varepsilon}_2}{\bar{\varepsilon}_1} = \frac{1}{e}.$$

Rezultă că timpul de întîrziere are încă o semnificație fizică: el este intervalul de timp constant după scurgerea căruia deformația rămasă se reduce în raportul  $\frac{1}{e}$ .

### 9.1.3. Revenirea după îndepărtarea efortului. Descărcarea

Presupunem că efortul  $\sigma$  este menținut constant egal cu  $\sigma_0$  pe intervalul  $0 < t < t_0$  după care efortul se anulează. Ecuația generală pentru  $t > t_0$  se simplifică devenind :

$$\dot{\varepsilon} + \frac{E}{\lambda} \varepsilon = 0 \quad \text{sau} \quad \frac{\dot{\varepsilon}}{\varepsilon} = -\frac{E}{\lambda}.$$

Luând ca nouă origine a timpului  $t = t_0$  (noua variabilă independentă devine  $t' = t - t_0$ ) și integrând, obținem:

$$\int \frac{\dot{\varepsilon}}{\varepsilon} dt' = - \int \frac{E}{\lambda} dt' + C = - \frac{1}{\tau_i} \int dt' + C \text{ de unde}$$

$$\varepsilon = C_1 e^{-\frac{(t-t_0)}{\tau_i}}$$

sau ținând seama că pînă în momentul  $t = t_0$  corpul s-a deformat conform relației (9.6)

$$\varepsilon = \frac{\sigma_0}{E} \left( 1 - e^{-\frac{t-t_0}{\tau_i}} \right) \text{ rezultă pentru } t > t_0:$$

$$\varepsilon = \frac{\sigma_0}{E} \left( 1 - e^{-\frac{t-t_0}{\tau_i}} \right) e^{-\frac{t-t_0}{\tau_i}} = \frac{\sigma_0}{E} e^{-\frac{t}{\tau_i}} \left( e^{\frac{t_0}{\tau_i}} - 1 \right). \quad (9.8)$$

Această expresie reprezintă deformația în timp a corpului Kelvin (Voigt) descărcat în momentul  $t_0$  de sarcina care a produs efortul unitar  $\sigma_0$ .

Cînd timpul tinde spre infinit deformația tinde spre zero. Înseamnă că procesul este în întregime reversibil, însă completa recuperare a deformației se face după scurgerea unui interval infinit de timp (v. fig. 9.2).

Se poate verifica faptul că deformația la descărcare se produce după aceeași lege ca și la încărcare. Și pe această parte a diagramei tangenta determină pe asimptotă (de data aceasta axa  $\varepsilon = 0$ ) segmente egale cu  $\tau_i$ . Într-un interval de timp egal cu  $\tau_i$  (timpul de întârziere) deformațiile rămase corespunzătoare extremităților acestui interval sînt în raportul  $\frac{1}{e}$ .

Din examinarea deformației corpului Kelvin la acțiunea forțelor rezultă că el se comportă ca un solid: după îndepărtarea forței, deformația se anulează (este adevărat că într-un timp infinit lung), însă nu rămîne nici o deformație remanentă cu caracter de curgere, proprie fluidelor.

#### 9.1.4. Deformația proporțională cu timpul. Efort unitar proporțional cu timpul. Ecuația caracteristică a materialului

În cazul că deformația crește proporțional cu timpul, derivata ei  $\dot{\varepsilon}$  (viteza de deformație) este o constantă:  $\dot{\varepsilon} = c$ . În acest caz, din ecuația (9.1) se obține imediat valoarea efortului unitar  $\sigma$ :

$$\sigma = Ect + \lambda c = E\varepsilon + \lambda c. \quad (9.9)$$

Reprezentînd grafic această relație pentru diferite valori  $c_i$  (fig. 9.3) ale vitezei  $c$  de deformare, obținem o familie de drepte paralele ale căror ordonate în origine au valoarea  $\sigma_i = \lambda c_i$ . Diagramele dînd o relație directă între  $\sigma$  și  $\varepsilon$  sînt diagrame caracteristice ale materialului pentru diferite viteze de deformare. Se vede că perfectă elasticitate în comportare se obține numai pentru o viteză de deformare foarte mică (teoretic nulă).

În cazul în care efortul crește proporțional cu timpul, el poate fi scris sub forma  $\sigma = st$ , în care  $s$  (constantă) este viteza de creștere, a efortului unitar.

Integrînd (prin părți) ecuația (9.4) se obține:

$$\varepsilon = e^{-\frac{t}{\tau_i}} \left( \frac{1}{\lambda} \int s t e^{\frac{t}{\tau_i}} dt + \varepsilon_0 \right)$$

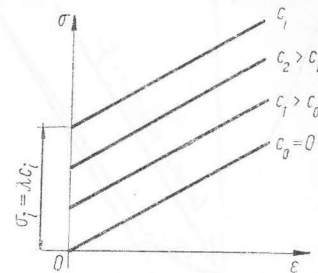


Fig. 9.3

$$\int_0^t s t e^{\frac{t}{\tau_i}} dt = \left| \tau_i s t e^{\frac{t}{\tau_i}} - \tau_i s \int e^{\frac{t}{\tau_i}} dt \right|_0^t = \tau_i s \left( t e^{\frac{t}{\tau_i}} - \frac{1}{\tau_i} e^{\frac{t}{\tau_i}} \right) + \tau_i^2 s.$$

Ținînd seama că  $\frac{\tau_i}{\lambda} = \frac{1}{E}$  și înlocuind în expresia deformației  $\varepsilon$  se obține

$$\varepsilon = \varepsilon_0 e^{-\frac{t}{\tau_i}} + \frac{st}{E} \left[ 1 - \frac{\tau_i}{t} \left( 1 - e^{-\frac{t}{\tau_i}} \right) \right]. \quad (9.10)$$

Aceasta reprezintă expresia deformației în timp a corpului Kelvin (Voigt) în funcție de viteza de încărcare.

În cazul în care deformația inițială  $\varepsilon_0$  este nulă, relația se simplifică

$$\varepsilon = \frac{st}{E} - \frac{s\tau_i}{E} \left( 1 - e^{-\frac{t}{\tau_i}} \right). \quad (9.11)$$

În partea dreaptă primul termen reprezintă deformația elastică, iar termenul al doilea factorul de întârziere. Reprezentînd grafic (fig. 9.4) se obține o curbă care tinde asimptotic către o dreaptă paralelă cu dreapta dată de ecuația

$$\varepsilon = \frac{st}{E}$$

care ilustrează comportarea elastică a materialului. Asimptota are tăietura în origine de ordonată  $\varepsilon = -\frac{s\tau_i}{E}$ . În origine tangenta la curbă este orizontală.

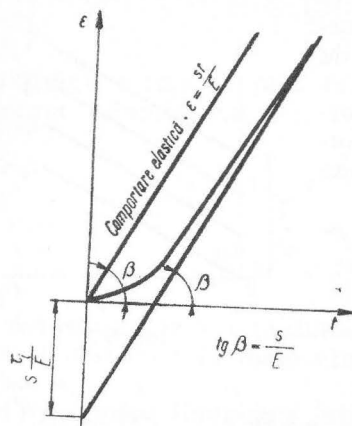


Fig. 9.4

Diagrama caracteristică a materialului se obține eliminând din expresia (9.11) parametrul  $t$  care are valoarea  $t = \frac{\sigma}{s}$

$$\varepsilon = \frac{\sigma}{E} \left[ 1 - \frac{\tau_i s}{\sigma} \left( 1 - e^{-\frac{\sigma}{s\tau_i}} \right) \right]. \quad (9.12)$$

Pentru diferite valori ale vitezei de încărcare  $s$ , se obține o familie de diagrame caracteristice (fig. 9.5), care au toate în origine tangenta verticală și care se apropie asimptotic de drepte avînd panta egală cu modulul de elasticitate  $E$ .

### 9.1.5. Comportarea la solicitări ciclice

Presupunem că asupra corpului Kelvin se exercită o solicitare care produce un efort unitar

$$\sigma = \sigma_0 \sin \omega t. \quad (9.13)$$

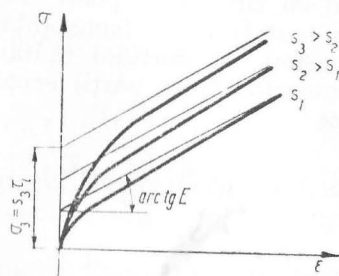


Fig. 9.5

Introducînd această valoare în soluția generală (9.4) socotind deformația inițială nulă ( $t = 0$ ;  $\varepsilon = 0$ ), se obține pentru deformație expresia

$$\varepsilon = e^{-\frac{t}{\tau_i}} \left( \int_0^t \frac{\sigma_0}{\lambda} e^{\frac{t}{\tau_i}} \sin \omega t \, dt \right) \quad (9.14)$$

$$\begin{aligned} \varepsilon &= \frac{\sigma_0}{\lambda} \frac{\tau_i^2}{1 + \omega^2 \tau_i^2} \left( \frac{1}{\tau_i} \sin \omega t - \omega \cos \omega t + \omega e^{-\frac{t}{\tau_i}} \right) = \\ &= \frac{\sigma_0}{E} \frac{1}{1 + \omega^2 \tau_i^2} \left[ \sin \omega t - \tau_i \omega \cos \omega t + \tau_i \omega e^{-\frac{t}{\tau_i}} \right]. \end{aligned}$$

Deformația este formată din două părți. Prima parte

$$\varepsilon_1 = \frac{\sigma_0}{E} \frac{1}{1 + \omega^2 \tau_i^2} (\sin \omega t - \tau_i \omega \cos \omega t) = \frac{\sigma_0}{E} \frac{1}{\pm \sqrt{1 + \omega^2 \tau_i^2}} \sin (\omega t - \varphi)$$

urmărește legea de variație a efortului unitar cu o întârziere de fază  $\varphi = \arctg \omega \tau_i$ .

Cea de a doua parte a deformației:

$$\varepsilon_2 = \frac{\sigma_0}{E} \frac{\tau_i \omega}{1 + \omega^2 \tau_i^2} e^{-\frac{t}{\tau_i}}$$

corectează partea variind ciclic  $\varepsilon_1$ ; ea descrește continuu cu cît timpul  $t$  crește. În timp ce  $\varepsilon_1$  urmărește variația efortului unitar în fiecare moment,  $\varepsilon_2$  în prima fază pentru  $t$  apropiat de 0 menține deformația la valori apropiate de cea inițială  $\varepsilon_0 = 0$ ; ea exprimă, antropomorfic vorbind, „memoria” corpului.

Reprezentînd grafic funcțiile (fig. 9.6) se vede că diagrama  $\varepsilon_1$  urmărind variația efortului unitar  $\sigma$  cu o diferență de fază, ar trebui să aibă pentru  $t = 0$  valori negative;  $\varepsilon_2$  corectează curba introducînd la  $t = 0$  valoarea care face ca deformația inițială să fie nulă.

După trecerea unui anumit timp  $\varepsilon_2$  scade mult și poate fi neglijat. Expresia deformației  $\varepsilon_1$  poate fi luată ca expresie pentru toată defor-

mația  $\varepsilon$ : deformăția variază urmînd o lege asemănătoare celei de variație a efortului unitar:

$$\varepsilon = \frac{\sigma_0}{E \pm \sqrt{1 + \omega^2 \tau_i^2}} \sin(\omega t - \varphi) \quad (9.15)$$

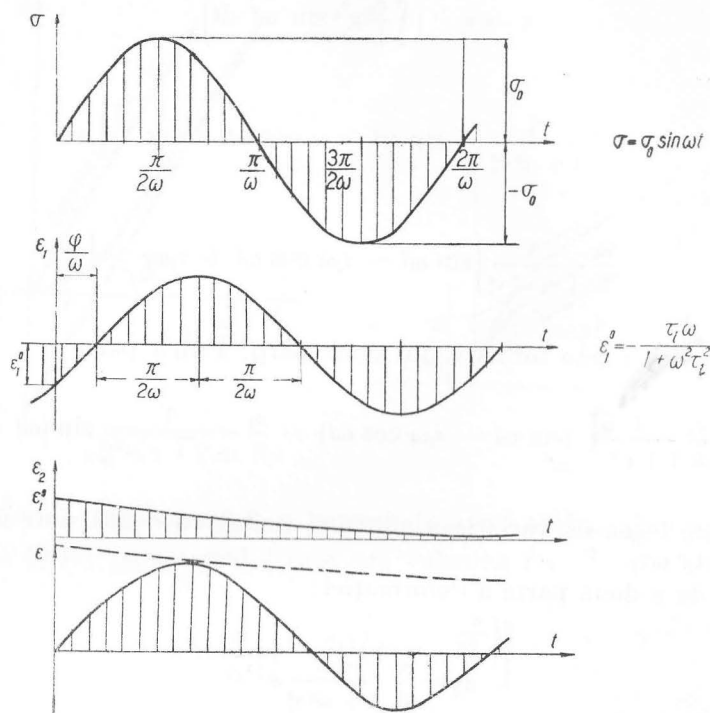


Fig. 9.6

însă cu o întârziere de fază  $\varphi$ . Aceasta are ca efect în diagrama caracteristică apariția buclei de histeresis.

Într-adevăr, dacă eliminăm parametrul  $t$  scriind:

$$\sin \omega t = \frac{\sigma}{\sigma_0} \text{ și } \cos \omega t = \sqrt{1 - \frac{\sigma^2}{\sigma_0^2}}$$

se obține ecuația diagramei caracteristice:

$$\varepsilon = \frac{\sigma}{E} \cdot \frac{1}{(1 + \omega^2 \tau_i^2)} \left[ 1 \mp \omega \tau_i \sqrt{\frac{\sigma_0^2}{\sigma^2} - 1} \right]$$

care este o elipsă (fig. 9.7) intersectînd axele în punctele

$$\sigma = 0; \quad \varepsilon = \pm \frac{\omega \tau_i}{1 + \omega^2 \tau_i^2} \frac{\sigma_0}{E} \text{ și}$$

$$\sigma = \frac{\omega \tau_i}{\pm \sqrt{1 + \omega^2 \tau_i^2}} \sigma_0; \quad \varepsilon = 0.$$

Se poate verifica cu ușurință că axa mare a elipsei poate fi descrisă de ecuația

$$\sigma = E\varepsilon.$$

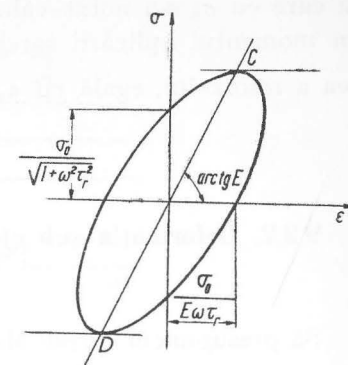


Fig. 9.7

Cu cît pulsația  $\omega$  este mai mare, cu atît elipsa este mai îngustă. Apariția buclei de histeresis arată că în procesul de deformare se disipă energie prin intermediul fazei fluide vîscoase.

## 9.2. CORPUL CU RELAXARE (CORPUL LUI MAXWELL)

### 9.2.1. Ecuația de stare

Să presupunem, de data aceasta, corpul alcătuit din cele două faze: elastică și vîscoasă, descris de un model cu cele două elemente așezate în serie (fig. 9.8). Acest corp este cunoscut sub numele de corpul lui Maxwell. Sub acțiunea unui efort unitar  $\sigma$ , corpul se va deforma; deformăția totală va fi suma deformățiilor celor două elemente, de unde rezultă că derivata în raport cu timpul va fi egală cu suma derivatelor deformățiilor celor două elemente:

$$\dot{\varepsilon} = \frac{\dot{\sigma}}{E} + \frac{\sigma}{\lambda} \quad (9.16)$$

Această ecuație pusă sub forma:

$$\dot{\sigma} + \frac{E}{\lambda} \sigma = E \dot{\varepsilon}$$

are ca soluție [v. relația (9.3)]

$$\sigma = e^{-\frac{E}{\lambda} t} \left( \sigma_0 + E \int_0^t \dot{\varepsilon} e^{\frac{E}{\lambda} t} dt \right) \quad (9.17)$$



Fig. 9.8.



în care cu  $\sigma_0$  s-a notat valoarea efortului unitar în momentul  $t = 0$ . În momentul aplicării sarcinii, deformăția instantanee se reduce la cea a resortului, egală cu  $\varepsilon_0 = \frac{\sigma_0}{E}$ .

### 9.2.2. Deformația sub efort constant

Să presupunem corpul Maxwell supus unui efort constant  $\sigma = \sigma_0$ ; evident  $\dot{\sigma} = 0$  și ecuația (9.16) se reduce la  $\dot{\varepsilon} = \frac{\sigma_0}{\lambda}$  din care prin integrare se obține

$$\varepsilon = \frac{\sigma_0}{\lambda} t + \text{const.}$$

Constanta are valoarea deformației instantanee la timpul  $t = 0$ , și anume

$$\varepsilon_0 = \frac{\sigma_0}{E}.$$

Expresia deformației devine deci:

$$\varepsilon = \frac{\sigma_0}{\lambda} t + \frac{\sigma_0}{E} = \left(1 + \frac{E}{\lambda} t\right) \frac{\sigma_0}{E}.$$

Se definește cu timp de relaxare și se notează cu  $\tau_r$  raportul  $\frac{\lambda}{E}$ ; cu această notație expresia deformației este:

$$\varepsilon = \frac{\sigma_0}{E} \left(1 + \frac{t}{\tau_r}\right). \quad (9.18)$$

Pentru diferite valori ale lui  $\sigma$  se pot trasa diagramele corespunzătoare care sînt drepte concurente într-un punct pe axa absciselor  $t = -\tau_r$  (fig. 9.9).

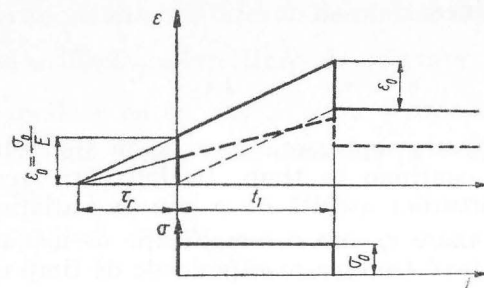


Fig. 9.9

La descărcare, după timpul  $t_1$  se recîștigă numai deformația resortului (v. fig. 9.9). Sînt puse în evidență cele două părți care alcătuiesc deformarea corpului:

$$\varepsilon_e = \varepsilon_0 = \frac{\sigma_0}{E} = \sigma_0 \frac{\lambda}{\tau_r} \text{ deformația elastică (instantanee, reversibilă în întregime)}$$

și

$$\varepsilon_c = \frac{\sigma_0}{E \tau_r} t_1 = \frac{\sigma_0}{\lambda} t_1 \text{ curgerea (ireversibilă).}$$

Deformația elastică este independentă de durata aplicării sarcinii, în timp ce curgerea este proporțională cu această durată. Corpul Maxwell se comportă deci ca un *fluid*.

### 9.2.3. Efortul sub deformație constantă

Să presupunem că unui corp Maxwell i se impune instantaneu o deformație inițială,  $\varepsilon_0$  care se menține constantă ( $\dot{\varepsilon}_0 = 0$ ). În acest caz, ecuația de stare ia forma:

$$\frac{\dot{\sigma}}{\sigma} = -\frac{E}{\lambda} = -\frac{1}{\tau_r}.$$

Integrând obținem :

$$\sigma = \sigma_0 e^{-\frac{t}{\tau_r}} = E \varepsilon_0 e^{-\frac{t}{\tau_r}}. \quad (9.19)$$

Ecuația (9.19) este reprezentată grafic în fig. 9.10. Se vede că efortul descrește continuu în timp, tinzând către zero. Fenomenul de relaxare a eforturilor ascultă de o lege de variație exponențială.

Timpul de relaxare  $\tau_r$  are o semnificație asemănătoare timpului de întârziere  $\tau_i$ . După trecerea unei perioade de timp egale cu  $\tau_r$  de-

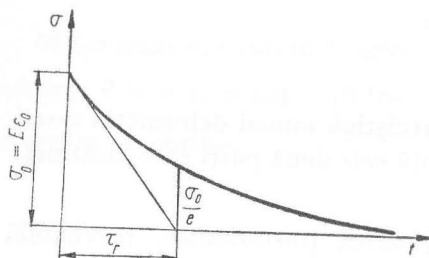


Fig. 9.10

formația se reduce în raportul  $\frac{1}{e}$  față de deformația de la începutul intervalului. Într-adevăr :

$$\frac{(\sigma)_{t=t_0+\tau_r}}{(\sigma)_{t=t_0}} = \frac{E \varepsilon_0 e^{-\frac{t_0+\tau_r}{\tau_r}}}{E \varepsilon_0 e^{-\frac{t_0}{\tau_r}}} = \frac{1}{e}.$$

#### 9.2.4. Efortul unitar produs de deformații proporționale cu timpul

Să presupunem că unui corp Maxwell i se impune o deformație care crește proporțional cu timpul; viteza de deformare impusă va fi constantă:  $\dot{\varepsilon} = -c$ .

Ecuația de stare va lua forma :

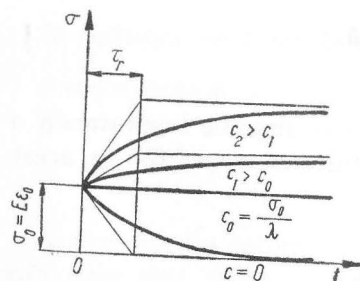


Fig. 9.11

$$\dot{\sigma} + \frac{E}{\lambda} \sigma = E \dot{\varepsilon} \quad \text{sau} \quad \dot{\sigma} + \frac{\sigma}{\tau_r} = E c$$

a cărei soluție este

$$\begin{aligned} \sigma &= e^{-\frac{t}{\tau_r}} \left( \sigma_0 + E \int_0^t c e^{\frac{t}{\tau_r}} dt \right) = \\ &= \sigma_0 e^{-\frac{t}{\tau_r}} + c \lambda \left( 1 - e^{-\frac{t}{\tau_r}} \right). \end{aligned} \quad (9.20)$$

Pentru diferite valori ale vitezei de deformare  $c$ , se obține o familie de curbe avînd evident același timp de relaxare  $\tau_r = \frac{\lambda}{E}$  (fig. 9.11).

Din această familie o curbă este dreaptă (orizontală), și anume cea care corespunde unui efort unitar constant ( $\dot{\sigma} = 0$ ). Acest caz particular corespunde valorii

$$c_0 = \frac{\sigma_0}{\lambda}$$

a vitezei de deformare.

Pentru viteze de deformație mai mari decît  $c_0$  eforturile unitare cresc în timp; pentru viteze mai mici decît  $c_0$  eforturile descreșc; în ambele cazuri ele tind asimptotic către valoarea  $\sigma = c \lambda$ . Pentru  $c = 0$  se obține curba de relaxare (sub deformația constantă) (v. fig. 9.10).

#### 9.2.5. Deformația în cazul unui efort unitar proporțional cu timpul

Să presupunem că asupra unui corp Maxwell se exercită un efort unitar  $\sigma$  proporțional cu timpul  $\sigma = st$ .

Pornind de la ecuația de stare

$$\dot{\varepsilon} = \frac{\dot{\sigma}}{E} + \frac{\sigma}{\lambda}$$

în care se înlocuiește valoarea lui  $\sigma$  cu  $st$ , se obține ecuația

$$\dot{\varepsilon} = \frac{s}{E} + \frac{st}{\lambda}$$

ecuație care se integrează direct în raport cu timpul obținîndu-se (socotind pentru  $t = 0$  atît  $\sigma = 0$  cît și  $\varepsilon = 0$ )

$$\varepsilon = \frac{st}{E} + \frac{st^2}{2\lambda}.$$

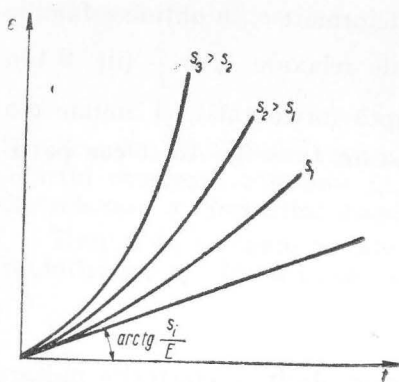


Fig. 9.12

În cazul unei viteze de deformare constante, cele două ecuații sînt  $\varepsilon = ct$  și ecuația (9.20); ținînd seama că la  $t = 0$  atît  $\sigma = \sigma_0 = 0$  cît și  $\varepsilon = 0$  se obține înlocuind  $t = \frac{\varepsilon}{c}$

$$\sigma = c\lambda \left( 1 - e^{-\frac{\varepsilon}{c\tau_r}} \right). \quad (9.21)$$

Reprezentînd grafic pentru diferite viteze  $c$  de deformare, se obține o familie de curbe care au toate în origine o tangentă comună de pantă egală ca valoare cu  $E$  (fig. 9.13)

$$\left( \frac{d\sigma}{d\varepsilon} \right)_{\varepsilon=0} = \frac{c\lambda}{c\tau_r} \left( e^{-\frac{\varepsilon}{c\tau_r}} \right)_{\varepsilon=0} = \frac{\lambda}{\tau_r} = E.$$

Diagramele se apropie de cele reprezentînd o comportare perfect elastică pentru viteze de deformare mari. Cînd viteza de deformare este foarte mare (teoretic infinită) diagrama caracteristică devine o dreaptă cu ecuația  $\sigma = E\varepsilon$ .

Diagrama caracteristică în cazul unui efort care crește proporțional cu timpul se obține eliminînd parametrul  $t$  între ecuația  $\sigma = st$  și ecuația (9.18)

$$\varepsilon = \frac{\sigma}{E} \left( 1 + \frac{\sigma}{2\tau_r s} \right). \quad (9.22)$$

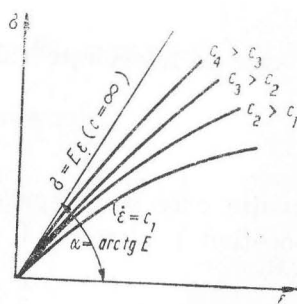


Fig. 9.13

Tangenta în origine are valoarea  $\frac{s}{E}$ .

Pentru diferite valori ale vitezei  $s$  se obține o familie de curbe (fig. 9.12).

### 9.2.6. Diagrama caracteristică a unui corp cu relaxare

Diagrama caracteristică a unui corp Maxwell se obține prin reprezentarea ecuației (9.20) din care se elimină parametrul  $t$  (timpul).

Pentru diferite valori ale vitezei de încărcare  $s$  se obține familia de curbe din fig. 9.14. Tangenta în origine are panta de valoare  $E$ . Această valoare se determină prin derivare:

$$\frac{1}{\tan \alpha} = \cotg \alpha = \left( \frac{d\varepsilon}{d\sigma} \right)_{\sigma=0} = \frac{1}{E} \left( 1 + \frac{\sigma}{\tau_r s} \right)_{\sigma=0} = \frac{1}{E} \left( 1 + \frac{t}{\tau_r} \right)_{t=0} = \frac{1}{E}.$$

Pentru un punct oarecare de pe diagrama caracteristică se poate determina valoarea modulului de elasticitate instantaneu (modulul tangent de elasticitate)  $E_t$ .

În cazul deformației proporționale cu timpul:

$$E_t = \frac{d\sigma}{d\varepsilon} = \frac{\lambda}{\tau_r} e^{-\frac{\varepsilon}{c\tau_r}} = E e^{-\frac{\varepsilon}{c\tau_r}},$$

deci modulul de elasticitate tangent descrește în timp după o lege exponențială; reprezentată grafic, se obține o diagramă asemănătoare celei din fig. 9.10.

În cazul efortului unitar proporțional cu timpul

$$E_t = \frac{d\sigma}{d\varepsilon} = \frac{E}{1 + \frac{t}{\tau_r}}$$

care de asemenea tinde spre zero la valori tinzînd spre infinit ale timpului.

Diagrama caracteristică a unui corp cu relaxare scoate în evidență disiparea energiei, apariția buclei de histeresis în ciclul de încărcare-descărcare (fig. 9.15). Să presupunem un corp Maxwell a

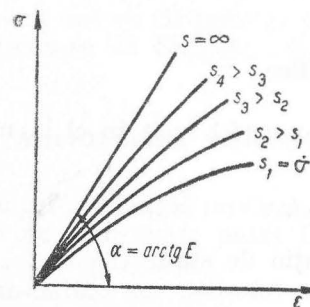


Fig. 9.14

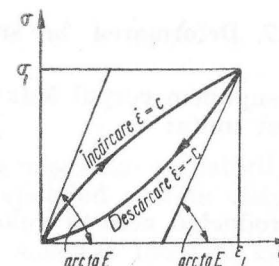


Fig. 9.15

căruia deformare crește proporțional cu timpul în intervalul  $0 < t < t_1$  și este descărcat cu aceeași viteză (evident în sens invers).

Socotind deformarea inițială nulă, pentru faza de încărcare este valabilă relația (9.21)

$$\sigma = c\lambda \left( 1 - e^{-\frac{\varepsilon}{c\tau_r}} \right).$$

La timpul  $t = t_1$  deformarea va fi  $\varepsilon_1$  iar efortul unitar

$$\sigma_1 = c\lambda \left( 1 - e^{-\frac{\varepsilon_1}{c\tau_r}} \right).$$

Pentru faza de descărcare, este valabilă aceeași relație cu observația că deformarea se produce cu viteza  $-c$  și că procesul începe în punctul de coordonate  $(\varepsilon_1, \sigma_1)$ .

Ecuatia care se obține este următoarea:

$$\begin{aligned} \sigma - \sigma_1 &= \sigma - c\lambda \left( 1 - e^{-\frac{\varepsilon_1}{c\tau_r}} \right) = -c\lambda \left( 1 - e^{-\frac{\varepsilon - \varepsilon_1}{c\tau_r}} \right) \\ \sigma &= c\lambda \left[ 1 - e^{-\frac{\varepsilon_1}{c\tau_r}} - 1 + e^{-\frac{\varepsilon - \varepsilon_1}{c\tau_r}} \right] = c\lambda e^{-\frac{\varepsilon_1}{c\tau_r}} \left( e^{\frac{\varepsilon - \varepsilon_1}{c\tau_r}} - 1 \right). \end{aligned}$$

Modulul de elasticitate instantaneu (modulul tangent) pentru descărcare are expresia

$$\frac{d\sigma}{d\varepsilon} = c\lambda e^{-\frac{\varepsilon_1}{c\tau_r}} \cdot \frac{1}{c\tau_r} e^{\frac{\varepsilon - \varepsilon_1}{c\tau_r}} = E e^{\frac{\varepsilon - \varepsilon_1}{c\tau_r}}.$$

Rezultă că pentru  $\varepsilon = \varepsilon_1$ , la descărcare modulul de elasticitate instantaneu are valoare  $E$  ceea ce înseamnă că descărcarea se manifestă la început elastic ca și încărcarea.

### 9.2.7. Deformarea la sollicitări ciclice

Presupunem corpul Maxwell sollicitat astfel încât în el ia naștere un efort unitar

$$\sigma = \sigma_0 \sin \omega t.$$

Introducând această valoare în ecuația de stare

$$\dot{\varepsilon} = \frac{\dot{\sigma}}{E} + \frac{\sigma}{\lambda}$$

și integrând se obține (socotind deformarea inițială nulă)

$$\varepsilon = \frac{\sigma_0}{E} \sin \omega t - \frac{\sigma_0}{\omega \lambda} \cos \omega t + \frac{\sigma_0}{\omega \lambda} = \frac{\sigma_0}{E} \left( \sin \omega t - \frac{1}{\omega \tau_r} \cos \omega t \right) + \frac{\sigma_0}{\omega \lambda}.$$

Iese în evidență și în acest caz că deformarea variază tot sinusoidal, urmărind variația efortului cu o întârziere dată de diferența de fază  $\varphi$

$$\varepsilon = \frac{\sigma_0}{E} \cdot \frac{\pm \sqrt{1 + \omega^2 \tau_r^2}}{\omega \tau_r} \sin(\omega t - \varphi) \quad (9.23)$$

$$\varphi = \arctg \left( \frac{1}{\omega \tau_r} \right). \quad (9.24)$$

Ecuatia caracteristică și în acest caz se prezintă ca o buclă de histeresis de forma unei elipse descrise de ecuația

$$\varepsilon = \frac{\sigma}{E} \left[ 1 \mp \frac{1}{\omega \tau_r} \sqrt{\frac{\sigma_0^2}{\sigma^2} - 1} \right] \quad (9.25)$$

intersectînd axele în punctele

$$\sigma = 0; \quad \varepsilon = \pm \frac{\sigma_0}{E \omega \tau_r} \text{ și } \sigma = \frac{\sigma_0}{\pm \sqrt{1 + \omega^2 \tau_r^2}}; \quad \varepsilon = 0.$$

Se poate verifica în acest caz că elipsa intersectează axa orizontală  $\sigma = 0$  în puncte care au tangenta de panta  $E$  deci punctele de tangentă orizontală (punctele  $C$  și  $D$ ) (fig. 9.16) se găsesc pe dreapta

$$\sigma = E\varepsilon$$

și în acest caz cu cît pulsația  $\omega$  este mai mare, elipsa este mai îngustă apropiindu-se de diametrul  $CD$ .

### 9.3. AMORTIZAREA VIBRAȚIILOR

Disiparea energiei produce amortizarea mișcărilor oscilatorii. Capacitatea de amortizare poate fi definită raportînd energia disipată la energia înmagazinată.

Considerăm un material visco-elastic sollicitat uniaxial ciclic de efortul unitar

$$\sigma = \sigma_0 \sin \omega t$$

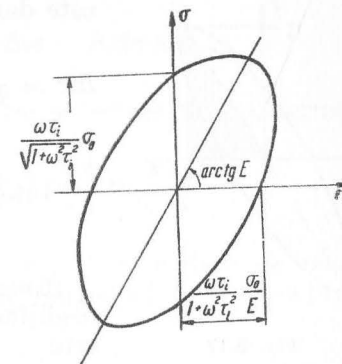


Fig. 9.16



a cărei deformare, întârziată, este dată de expresia

$$\varepsilon = \varepsilon_0 \sin(\omega t - \varphi)$$

în care  $\sigma_0$  și  $\varepsilon_0$  sînt amplitudinile maxime ale efortului unitar, respectiv ale deformăției specifice (fig. 9.17).

Expresia energiei disipate pentru un ciclu este dată de integrala

$$\Delta w = \oint \sigma d\varepsilon = \int_0^{\omega t = 2\pi} \sigma_0 \varepsilon_0 \sin \omega t \cos(\omega t - \varphi) d(\omega t). \quad (9.26)$$

Integrînd se obține:

$$\Delta w = \sigma_0 \varepsilon_0 \pi \sin \varphi. \quad (9.27)$$

Energia elastică înmagazinată pentru  $\sigma = \sigma_0$ , neglijînd diferența de fază  $\varphi$  considerată mică, este

$$w = \int_{\sigma=0}^{\sigma=\sigma_0} \sigma d\varepsilon \approx \int_0^{\omega t = \frac{\pi}{2}} \sigma_0 \varepsilon_0 \sin \omega t \cos \omega t d(\omega t) \approx \frac{\sigma_0 \varepsilon_0}{2}.$$

Capacitatea de amortizare definită ca mai înainte va avea deci valoarea:

$$\frac{\Delta w}{w} \approx 2 \pi \sin \varphi. \quad (9.28)$$

Se vede că diferența de fază  $\varphi$ , mai exact  $\sin \varphi$ , este o măsură a capacității de amortizare a corpului visco-elastic. În cazul în care  $\varphi$  este mic, se poate considera  $\sin \varphi \approx \varphi$  și expresia devine

$$\frac{\Delta w}{w} = 2\pi\varphi. \quad (9.29)$$

În timpul unei vibrații libere, datorită amortizării, amplitudinea vibrației descrește cu timpul; decrementul logaritm al deformăției este deseori luat ca măsură a amortizării. Prin definiție, decrementul logaritm  $\delta$  este logaritmul natural al raportului între amplitudinile

vibrației pentru două cicluri succesive; aceasta poate fi scris în funcție de capacitatea de amortizare sub forma

$$\delta = \ln \left[ \frac{\varepsilon_1}{\varepsilon_2} \right] \approx \frac{1}{2} \frac{\Delta w}{w} \quad (9.30)$$

dedusă ținînd seama că atît  $w$  cît și  $\Delta w$  sînt proporționale cu pătratul amplitudinei vibrației

$$w \approx \frac{\sigma_0^2}{2E} \approx \frac{E\varepsilon_0^2}{2} \text{ și asemănător } \Delta w = E\varepsilon_0^2 \pi \sin \varphi$$

și dezvoltînd logaritmul în seria din care se reține primul termen:

$$\ln \frac{\varepsilon_1}{\varepsilon_2} = \frac{1}{2} \ln \left( \frac{\varepsilon_1}{\varepsilon_2} \right)^2 = \frac{1}{2} \ln \left( 1 + \frac{\Delta w}{w} \right) \approx \frac{1}{2} \frac{\Delta w}{w}.$$

În cazul corpului Kelvin diferența de fază este dată de relația  $\tan \varphi = \omega \tau_i$ . Calculînd valoarea  $\sin \varphi$  și introducînd-o în expresia capacității de amortizare se obține

$$\frac{\Delta w}{w} = 2\pi \frac{\omega \tau_i}{\sqrt{1 + \omega^2 \tau_i^2}}.$$

În mod asemănător se obține pentru corpul Maxwell

$$\frac{\Delta w}{w} = \frac{2\pi}{\sqrt{1 + \omega^2 \tau_r^2}}.$$

#### 9.4. MODELE LINIARE. FUNCȚIA DE FLUAJ ȘI FUNCȚIA DE RELAXARE

Comportarea corpurilor visco-elastice studiate în paragrafele precedente este descrisă de relații liniare; relațiile între  $\sigma$ ,  $\varepsilon$  și derivatele lor sînt liniare. Elementele simple utilizate, resortul și cilindrul cu piston — care datorită proprietăților sale poate fi numit și amortizor — a căror comportare este liniară, legate în serie sau în paralel, au condus la corpuri a căror comportare este de asemenea liniară.

Reluînd ecuațiile fundamentale ale celor două corpuri Kelvin și Maxwell și expresiile deduse pentru deformăția sub efort constant (la corpul Kelvin) și pentru efort unitar sub deformăție impusă constantă (la corpul Maxwell):

corpul Kelvin :

$$\dot{\sigma} = E\dot{\varepsilon} + \lambda\dot{\varepsilon} \text{ și } \varepsilon = \frac{\sigma_0}{E} \left[ 1 - e^{-\frac{t}{\tau_i}} \right];$$

corpul Maxwell :

$$\dot{\varepsilon} = \frac{\sigma}{\lambda} + \frac{\dot{\sigma}}{E} \text{ și } \sigma = E\varepsilon_0 e^{-\frac{t}{\tau_r}},$$

se pot stabili două funcții care exprimă comportarea în timp independent de mărimea efortului unitar aplicat  $\sigma_0$  (respectiv a deformației specifice impuse  $\varepsilon_0$ ) în funcție numai de constantele elastice, și anume :

funcția de fluaj :

$$f(t) = \frac{\varepsilon}{\sigma_0}; \quad (9.31)$$

funcția de relaxare :

$$r(t) = \frac{\sigma}{\varepsilon_0}. \quad (9.32)$$

În cazul corpului Kelvin funcția de fluaj este :

$$f(t) = \frac{1}{E} \left[ 1 - e^{-\frac{t}{\tau_i}} \right] \quad (9.33)$$

sau înlocuind modulul de elasticitate cu inversul lui *compliance* elastică notată prin  $I$

$$f(t) = I \left( 1 - e^{-\frac{t}{\tau_i}} \right).$$

În cazul corpului Maxwell funcția de relaxare este :

$$r(t) = E e^{-\frac{t}{\tau_r}}. \quad (9.34)$$

În practica betonului, a betonului armat și a betonului precomprimat și în recomandările Comitetului European al Betonului (C.E.B.)

s-a introdus în locul funcției de fluaj o funcție adimensională  $\varphi(t)^*$  (numită pentru a o deosebi, *caracteristica curgerii lente*) definită ca raportul dintre deformația din curgere lentă  $\varepsilon_c$  și cea elastică instantanee  $\varepsilon_0$  (fig. 9.18)

$$\varphi(t) = \frac{\varepsilon_c}{\varepsilon_0}. \quad (9.35)$$

Ținând seama că deformația betonului este suma deformației elastice instantanee și a celei de curgere lentă se poate scrie :

$$\varepsilon = \varepsilon_c + \varepsilon_0 = \varepsilon_0 [1 + \varphi(t)]. \quad (9.36)$$

Deformația elastică instantanee sub efort constant  $\sigma_0$  este

$$\varepsilon_0 = \frac{\sigma_0}{E_0} \text{ sau}$$

$$\varepsilon_0 = \frac{\sigma}{E_0} \text{ pentru } t = 0.$$

Viteza de deformare  $\dot{\varepsilon}$  este pentru efort unitar  $\sigma$  variabil (socotind  $E_0$  constant)

$$\dot{\varepsilon} = \frac{\sigma}{E_0} \dot{\varphi}(t) + \frac{\dot{\sigma}}{E_0}.$$

Prin gruparea de elemente liniare, în serie sau în paralel, se pot descrie diferite comportări de asemenea liniare. Astfel grupînd modelele Kelvin și Maxwell în serie, se obține modelul denumit al lui Burgers (fig. 9.19). Acest model este folosit pentru a descrie comportarea pietrei de ciment mai ales în prima perioadă după punerea în operă. Existența corpului Maxwell în serie încadrează acest model în categoria fluidelor viscoase, care continuă să se deformeze atît timp cît acționează forțele, ceea ce nu corespunde comportării reale a pietrei de ciment, în timpul întăririi.

Pornind de la ecuațiile fundamentale ale corpurilor Maxwell și Kelvin, se obține ecuația de stare a modelului

$$E_1 \dot{\varepsilon} + \lambda_1 \ddot{\varepsilon} = \frac{E_1}{\lambda_0} \sigma + \left( \frac{E_1}{E_0} + \frac{\lambda_1}{\lambda_0} + 1 \right) \dot{\sigma} + \frac{\lambda_1}{E_0} \ddot{\sigma}. \quad (9.37)$$

\* Notată și  $\varphi_N$ .

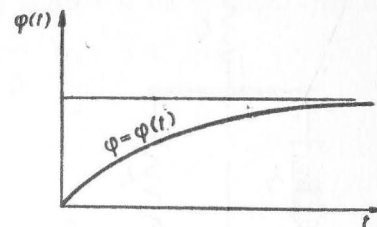


Fig. 9.18

Prin integrare funcția de relaxare a modelului ia forma :

$$r(t) = \frac{E_0(\tau'' - \tau')}{\lambda_1} \left[ \left( E_1 - \frac{\lambda_1}{\tau'} \right) e^{-\frac{t}{\tau'}} - \left( E_1 - \frac{\lambda_1}{\tau''} \right) e^{-\frac{t}{\tau''}} \right] \quad (9.38)$$

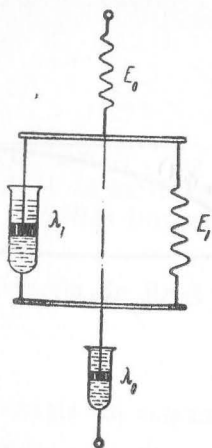


Fig. 9.19

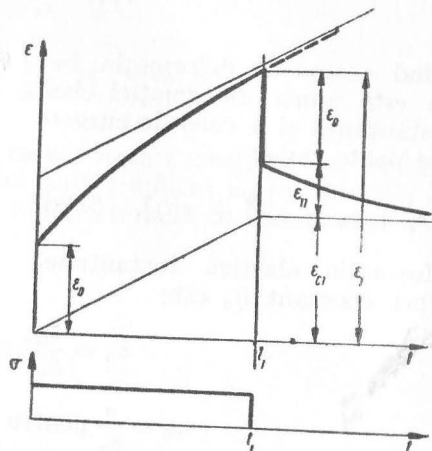


Fig. 9.20

în care  $\tau'$  și  $\tau''$ , de natura timpilor de relaxare, sînt inversele rădăcinilor ecuației caracteristice a ecuației diferențiale fundamentale în care  $\dot{\epsilon}$  și  $\ddot{\epsilon}$  sînt nule

$$\frac{\lambda_1}{E_0} z^2 + \left( \frac{E_1}{E_0} + \frac{\lambda_1}{\lambda_0} + 1 \right) z + \frac{E_1}{\lambda_0} = 0.$$

Funcția de fluaj a modelului se obține însumînd funcțiile de fluaj ale celor două corpuri Maxwell și Kelvin :

$$f(t) = I_0 + I_1 \left( 1 - e^{-\frac{t}{\tau_1}} \right) + \frac{t}{\lambda_0} \quad (9.39)$$

unde s-a notat :

$$I_0 = \frac{1}{E_0} ; \quad I_1 = \frac{1}{E_1} \quad \text{și} \quad \tau_1 = \frac{\lambda_1}{E_1}.$$

Deformația sub efort constant, redată în fig. 9.20, se obține prin suprapunerea diagramelor deformației în funcție de timp sub efort

unitar constant a corpului Kelvin și a corpului Maxwell. Principiul suprapunerii efectelor este aplicabil deoarece ecuațiile care descriu aceste deformații sînt liniare (v. § 9.5).

În cazul că deformația a ajuns la timpul  $t = t_1$  pînă la valoarea  $\epsilon_1$ , după descărcare este valabilă aceeași ecuație de stare în care  $\sigma = \dot{\sigma} = \ddot{\sigma} = 0$  la timpul  $t = t_1$ ; luînd timpul  $t_1$  ca o nouă origine a timpului se poate scrie :

$$\dot{\epsilon} + \frac{\lambda_1}{E_1} \ddot{\epsilon} = 0$$

din care integrînd o dată se obține

$$\epsilon + \tau_i \dot{\epsilon} = C \quad \text{cu} \quad \tau_i = \frac{\lambda_1}{E_1},$$

iar printr-o nouă integrare, ținînd seama de condițiile puse, se obține

$$\epsilon = \left( e^{-\frac{t}{\tau_i}} - 1 \right) \epsilon_{11} + \epsilon_1$$

în care cu  $\epsilon_{11}$  s-a notat deformația componentei Kelvin care se recuperează denumită și *curgerea lentă primară*.

Diferența  $\epsilon_1 - \epsilon_{11} = \epsilon_{c1}$  reprezintă deformația ireversibilă a componentei Maxwell sau *curgerea lentă secundară*

$$\epsilon_{c1} = \frac{\sigma_0 t_1}{\lambda_0}$$

sau simplu deformația de curgere.

Determinările experimentale făcute asupra mortarelor de ciment au condus la stabilirea constantelor reologice : modul de elasticitate, viscozitate etc. Desigur, rezultatele diferă mult în funcție de dozaje, factor apă : ciment, data începerii încercării față de data confecționării probei etc. Numai în legătură cu ordinul de mărime dăm din literatura de specialitate unele rezultate.

Cu dozajul în greutate : 1 000 kg ciment, 700 kg apă, 6 000 kg agregate, viscozitatea la compresiune sub o sarcină de circa 0,1 kgf/cm<sup>2</sup> a fost  $\lambda_0 = 32 \cdot 10^{16}$  poise. La un modul de elasticitate instantaneu de 250 000 kgf/cm<sup>2</sup> corespunde

$$\tau_r = \frac{32 \cdot 10^{16}}{2,5 \cdot 10^5 \cdot 9,81 \cdot 10^5} \cdot \frac{1}{60 \cdot 60 \cdot 24} = 15 \text{ zile.}$$

Corpul Kelvin generalizat se obține legând în serie un resort cu un număr (notat cu  $n$ ) de modele Kelvin (fig. 9.21). Funcția de fluaj a acestui corp este:

$$f(t) = I_0 + \sum_{j=1}^n I_j \left(1 - e^{-\frac{t}{\tau_j}}\right) \quad (9.40)$$

în care cu  $\tau_j$  s-a notat timpul de întârziere al elementului cu numărul de ordine  $j$ .

Dacă în serie se adaugă și un amortizor  $\lambda_0$  se obține corpul lui Maxwell generalizat, (fig. 9.22) a cărui funcție de fluaj este:

$$f(t) = I_0 + \sum_{j=1}^n I_j \left(1 - e^{-\frac{t}{\tau_j}}\right) + \frac{t}{\lambda_0}. \quad (9.41)$$

Termenul  $I_0$  reprezintă elasticitatea instantanee, termenii după semnul sumei elasticitatea întârziată, iar ultimul termen, curgerea secundară ireversibilă.

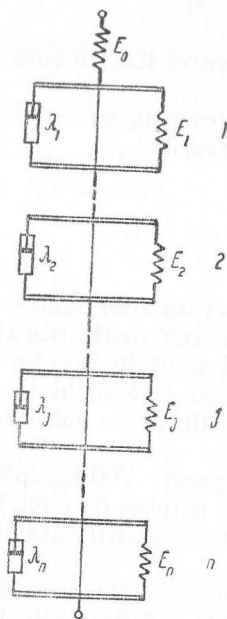


Fig. 9.21

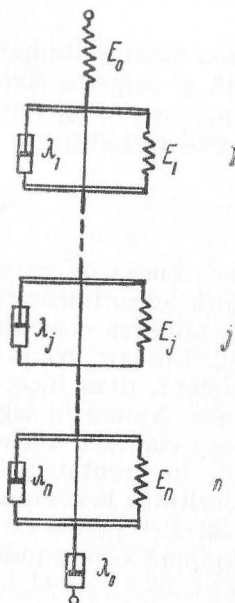


Fig. 9.22

Corpul lui Maxwell generalizat se poate obține și legând în paralel mai multe corpuri Maxwell (fig. 9.23). Funcția de relaxare este în acest

$$r(t) = \sum_{k=1}^n E_k e^{-\frac{t}{\tau_k}} \quad (9.42)$$

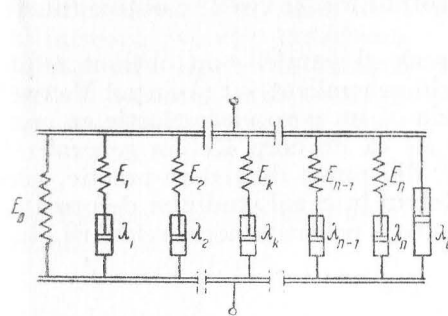


Fig. 9.23

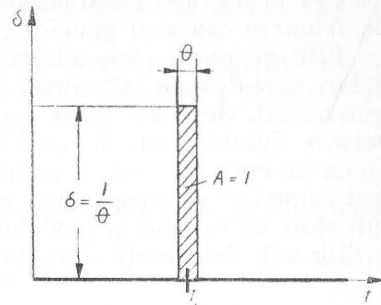


Fig. 9.24

caz în care  $\tau_k$  este timpul de relaxare al corpului Maxwell avînd numărul de ordine  $k$ . Dacă se adaugă și un resort  $E_0$  în paralel, funcția de relaxare devine

$$r(t) = E_0 + \sum_{k=1}^n E_k e^{-\frac{t}{\tau_k}} \quad (9.43)$$

iar dacă se adaugă în paralel și un amortizor  $\lambda_0$  se obține:

$$r(t) = E_0 + \sum_{k=1}^n E_k e^{-\frac{t}{\tau_k}} + \lambda_0 \delta(t). \quad (9.44)$$

În această expresie este introdusă funcția  $\delta(t)$  denumită *funcția impulsie* a lui Dirac. Această funcție este nulă pentru toate valorile parametrului  $t$  cu excepția unui interval cît de mic  $\theta$  la valoarea  $t_1$  a parametrului pentru care ia valoarea  $\delta = \frac{1}{\theta}$ . (În cazul în care intervalul se reduce la un punct, valoarea funcției este infinită) (fig. 9.24).

Integrala acestei funcții pe un interval este nulă dacă intervalul nu conține valoarea  $t_1$  a parametrului și egală cu unitatea dacă conține punctul singular  $t = t_1$ .



Existența acestei funcții reflectă faptul că modelul este lipsit de elasticitate instantanee\*. Existența amortizorului în paralel implică o deformare impusă instantanee, ceea ce înseamnă că o experiență de relaxare în condițiile teoretice nu poate fi realizată.

Se remarcă, reexaminând aceste modele, că prin gruparea în serie de elemente Kelvin se obține funcția de fluaj cea mai generală, în timp ce prin gruparea în paralel a corpurilor Maxwell se obține funcția de relaxare cea mai generală.

Prin gruparea elementelor în serie și paralel s-au obținut relații liniare care descriu atât corpul Kelvin generalizat, cât și corpul Maxwell generalizat. Se poate trage concluzia că un corp visco-elastic cu comportare liniară poate fi considerat fie ca un corp Kelvin generalizat, fie ca un corp Maxwell generalizat; din punct de vedere practic, pare mai comod să se aleagă modelul Kelvin în cazul studiului deformăției sub efort unitar dat și modelul Maxwell pentru studiul relaxării eforturilor sub deformare impusă.

## 9.5. PRINCIPIUL SUPRAPUNERII EFECTELOR

Presupunem o mărime  $s_1$  denumită *cauză* care produce apariția mărimii  $e_1$  denumite *efect* (amândouă măsurabile); de asemenea, mărimea  $s_2$  de aceeași natură ca  $s_1$  producând efectul  $e_2$ ; principiul suprapunerii postulează că acționând concomitent cele două cauze  $s_1 + s_2$  efectul produs este  $e_1 + e_2$ .

O primă consecință a acestui principiu este proporționalitatea între efect și cauză. Dacă se exercită cauza  $ks_1$  atunci efectul este  $ke_1$ .

Principiul pare adevărat atât timp cât efectele se păstrează mici; explicația, din punct de vedere matematic, constă în faptul că în acest domeniu relațiile dintre cauză și efect sînt descrise de ecuații liniare și omogene, situație care în cazul general constituie numai o primă aproximație.

În literatura de specialitate se întâlnește uneori denumirea de sistem Boltzmann sau mai des de sistem boltzmanian, pentru sistemele cărora li se poate aplica principiul suprapunerii.

Fenomenele studiate la corpurile visco-elastice scot în evidență faptul că deformările, respectiv eforturile, într-un anumit moment nu depind numai de valoarea în momentul respectiv a eforturilor;

\* Unii silicieni se apropie în comportare de acest model: la sarcini aplicate brusc se comportă ca materiale aproape rigide, în timp ce sarcini mici aplicate un timp mai îndelungat le deformează apreciabil.

același lucru, în ce privește eforturile față de deformări; pornind de la această constatare prin antropomorfiză corpurile se clasifică în două categorii: *corpuri lipsite de memorie*, corpurile a căror deformare specifică (respectiv efort unitar) nu depinde decât de valoarea momentană a efortului unitar (respectiv a deformăției) și *corpuri dotate cu memorie\**, a căror deformare (respectiv efort unitar) depinde de întreaga evoluție anterioară.

Corpurile lipsite de memorie sînt cele a căror stare nu depinde decât de valoarea momentană a unor mărimi; corpurile perfect elastice care ascultă de legea lui Hooke:

$$\sigma(t) = E\varepsilon(t)$$

sau fluidele viscoase care ascultă de legea lui Newton (scrisă pentru întindere)

$$\sigma(t) = \lambda \dot{\varepsilon}(t)$$

în care efortul unitar dintr-un moment dat depinde numai de viteza de deformare în momentul respectiv.

Să presupunem un corp înzestrat cu memorie, asupra căruia în momentul  $\tau$ , pe o durată  $d\tau$ , se aplică efortul unitar  $\sigma(\tau)$  (fig. 9.25); după scurgerea unui interval de timp, în momentul  $t$  deformarea rămasă va fi  $d\varepsilon(t)$ ; dacă aceeași încărcare se va face tot pe o durată  $d\tau$  dar începînd din momentul  $(\tau + d\tau)$ , datorită faptului că intervalul între cauză și efect diferă numai cu un infinit mic, la timpul  $t$  deformarea

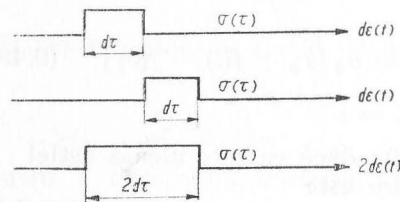


Fig. 9.25

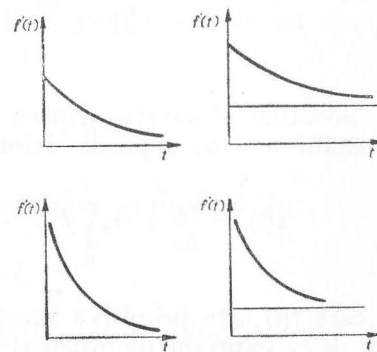


Fig. 9.26

\* Se folosește de asemenea în loc de memorie, termenul de *ereditate*, folosit întâi de Boltzmann (1876).

rămasă va fi tot  $d\varepsilon(t)$ ; dacă însă în momentul  $\tau$  se aplică efortul unitar  $\sigma(\tau)$  pe un interval  $2d\tau$ , atunci deformația rămasă va fi  $2d\varepsilon(t)$ . Deformația rămasă este proporțională cu timpul elementar de aplicație al încărcării, precum și cu intensitatea efortului unitar aplicat; în concluzie, ea este proporțională cu produsul  $\sigma(\tau) d\tau$ . Coeficientul de proporționalitate depinde de intervalul  $\theta = t - \tau$  dintre momentul aplicării efortului și cel al măsurării deformației.

Astfel judecând se poate scrie

$$d\varepsilon(t) = \sigma(\tau) f'(t - \tau) d\tau \quad (9.45)$$

în care  $f'(t)$  este funcția de memorie care are o alură rapid descrescătoare (tinzând către zero sau o valoare constantă), alură care exprimă faptul că evenimentele mai recente au o influență mai mare asupra efectului decât cele care au avut loc mai de mult (fig. 9.26).

Integrând, pentru a determina deformația produsă de evenimentele trecute, se obține

$$\varepsilon(t) = \int_{-\infty}^t \sigma(\tau) f'(t - \tau) d\tau. \quad (9.46)$$

Deformația totală se obține adăugând acesteia deformația datorită efortului din momentul  $t$

$$\varepsilon(t) = \frac{\sigma(t)}{E_0} + \int_{-\infty}^t \sigma(\tau) f'(t - \tau) d\tau. \quad (9.47)$$

Socotind că efortul pentru  $\tau < 0$  este nul, iar pentru  $\tau > 0$  este constant  $\sigma = \sigma_0$  expresia deformației devine:

$$\varepsilon(t) = \frac{\sigma_0}{E_0} + \sigma_0 \int_0^t f'(t - \tau) d\tau = \sigma_0 [I_0 + f(t) - f(0)] \quad (9.48)$$

în care  $f(t)$  este primitiva funcției  $f'(t)$ ; dacă ea este aleasă astfel ca  $f(0) = I_0$  expresia deformației specifice este

$$\varepsilon(t) = \sigma_0 f(t). \quad (9.49)$$

Primitiva astfel definită este tocmai funcția de fluaj: derivata ei este deci funcția de memorie.

În cazul general când efortul unitar  $\sigma$  variază în timp, integrarea prin părți conduce la

$$\int_{-\infty}^t \sigma(\tau) f'(t - \tau) d\tau = \int_{-\infty}^t \sigma'(\tau) f(t - \tau) d\tau - [\sigma(t)f(t - \tau)]_{-\infty}^t.$$

Considerând nule eforturile pînă în momentul  $t = 0$  expresia deformației devine

$$\varepsilon(t) = \sigma(0)f(t) + \int_0^t \sigma'(\tau) f(t - \tau) d\tau. \quad (9.50)$$

Neglijînd efectele eforturilor unitare anterioare expresia generală se simplifică devenind

$$\varepsilon(t) = \int_{-\infty}^t \sigma'(\tau) f(t - \tau) d\tau. \quad (9.51)$$

Aceste relații arată că deformația unui corp cu memorie poate fi determinată în orice moment dacă se cunoaște funcția de fluaj, efortul unitar și variația lui în timp.

Aplicînd aceste relații corpului Kelvin dispus în serie cu un resort de complianță  $I_0$  a cărui funcție de fluaj este

$$f(t) = I_0 + I \left( 1 - e^{-\frac{t}{\tau_i}} \right)$$

solicitat începînd cu  $t = 0$  de un efort unitar variînd ciclic

$$\sigma = \sigma_0 \sin \omega t,$$

pentru a determina variația deformației, se determină funcția de memorie

$$f'(t) = \frac{I}{\tau_i} e^{-\frac{t}{\tau_i}} \quad (9.52)$$

cu ajutorul căreia se obține

$$\begin{aligned}\varepsilon(t) &= \sigma(t)I_0 + \int_0^t \sigma(\tau) f'(t-\tau) d\tau = I_0 \sigma_0 \sin \omega t + \\ &+ \frac{\sigma_0 I}{\tau_i} \int_0^t \sin \omega \tau e^{-\frac{t-\tau}{\tau_i}} d\tau = \\ &= \sigma_0 \sin \omega t \left( I_0 + \frac{I}{1 + \omega^2 \tau_i^2} \right) - \sigma_0 \omega \frac{I \tau_i}{1 + \tau_i^2 \omega^2} \left[ \cos \omega \tau - e^{-\frac{t}{\tau_i}} \right].\end{aligned}\quad (9.53)$$

În mod asemănător, în cazul corpurilor cărora li se impune o deformare, se determină funcția de relaxare a cărei derivată este funcția de memorie; în acest caz se poate scrie similar cazului precedent:

$$\sigma(t) = E_0 \varepsilon(t) + \int_{-\infty}^t \varepsilon(\tau) r'(t-\tau) d\tau$$

cînd deformarea se aplică de la  $t=0$ :

$$\sigma(t) = \varepsilon(0) r(t) + \int_0^t \varepsilon(\tau) r'(t-\tau) d\tau$$

sau, socotind deformările vechi nule:

$$\sigma(t) = \int_{-\infty}^t \varepsilon'(\tau) r(t-\tau) d\tau.$$

Și în acest caz, efortul unitar într-un moment dat poate fi determinat cunoscînd funcția de relaxare, deformarea impusă și variația ei în timp. De exemplu, în cazul unui corp Maxwell căruia i se impune, pornind din momentul  $t=0$ , o deformare proporțională cu timpul

$$\varepsilon = k_0 t,$$

funcția de relaxare este:

$$r(t) = E e^{-\frac{t}{\tau_r}}.$$

Introducînd aceste valori în expresia (9.55)

$$\begin{aligned}\sigma(t) &= \varepsilon(0) r(t) + \int_0^t \varepsilon'(\tau) r(t-\tau) d\tau = E k_0 \int_0^t e^{-\frac{t-\tau}{\tau_r}} d\tau = \\ &= E k_0 \tau_r \left( 1 - e^{-\frac{t}{\tau_r}} \right).\end{aligned}\quad (9.57)$$

Una din aplicațiile suprapunerii efectelor ca metodă constă în posibilitatea de a trasa curbele de curgere lentă în cazul în care asupra corpului visco-elastic se exercită încărcări și descărcări repetate în intervalele definite de  $t=0, t_1, t_2, t_3$  (fig. 9.27). Pentru încărcarea în intervalul  $0 \leq t \leq t_1$  este valabilă curba de fluaj  $C_1$ . Descărcarea se poate considera ca suprapunerea unui efort negativ egal cu primul, care are curba de fluaj ( $C_2$ ) obținută simplu prin translația curbei  $C_1$  în punctul de abscisă  $t_1$ . Evident, deformarea în momentul  $t_1 \leq t \leq t_2$  va fi reprezentată prin diferența dintre ordonatele curbelor  $C_1$  și  $C_2$ ;

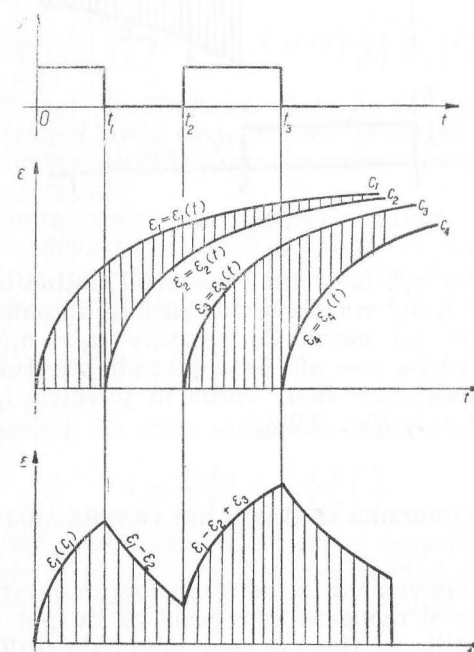


Fig. 9.27

în mod asemănător se procedează în cazul unei noi încărcări la  $t = t_3$ ; pentru  $t_2 \leq t \leq t_3$  deformația va fi suma algebrică a deformațiilor reprezentate prin curbele  $C_1$ ,  $C_2$  și  $C_3$

$$\varepsilon = \varepsilon_1 - \varepsilon_2 + \varepsilon_3$$

și așa mai departe.

În cazul relaxării datorite unei deformații impuse  $\varepsilon_0$  menținute constantă pe intervalul  $0 \leq t \leq t_1$ , variația efortului unitar este repre-

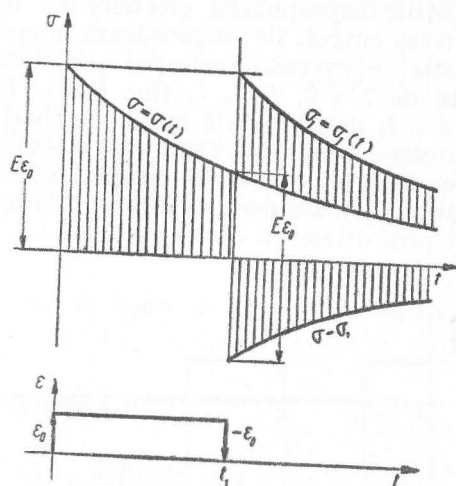


Fig. 9.28

zentată prin curba  $\sigma_0$ ; la timpul  $t_1$  efortul unitar are valoarea  $\sigma_1$ ; dacă în momentul  $t_1$  deformația se anulează (se impune în sens negativ aceeași deformație  $\varepsilon_0$ ) curba de relaxare  $\sigma_1 = \sigma_1(t)$  (negativă) se obține deplasând curba  $\sigma = \sigma(t)$  cu originea în punctul  $t = t_1$ ; diferențele între ordonatele celor două curbe în punctele  $t_1 < t$  dau curba de fluaj pentru  $t > t_1$  (fig. 9.28).

## 9.6. FLUAJUL (CURGEREA LENTĂ) ȘI RELAXAREA NELINIARE

Principalul inconvenient al soluțiilor reprezentate prin ecuațiile diferențiale liniare și omogene este acela că nu pot descrie suficient de exact deformațiile în timp a unor materiale utilizate în practica inginerescă, în special fluajul metalelor la temperaturi ridicate.

Continuând să considerăm corpul alcătuit din două faze, faza solidă și faza fluidă, neconcordanțele în comportare se datoresc fazei fluide a cărei comportare trebuie definită, de data aceasta printr-o lege neliniară; în cazul solicitării la întindere, forma cea mai simplă a unei asemenea legi este:

$$\dot{\varepsilon} = \left( \frac{\sigma}{\sigma^*} \right)^n \left( \frac{\sigma}{\lambda} \right) \quad (9.54)$$

în care  $\sigma^*$  este un efort unitar de referință  $\sigma > \sigma^*$  iar  $n$  un număr întreg și par. În cazul unui efort unitar constant, prin integrare se obține:

$$\varepsilon = \left( \frac{\sigma}{\sigma^*} \right)^n \left( \frac{\sigma}{\lambda} \right) t. \quad (9.55)$$

Deoarece observațiile asupra fluajului metalelor și deformațiile pe timp lung a rocilor sau ale betonului arată că deformațiile nu cresc totuși proporțional cu timpul, așa cum rezultă din relația (9.55), expresia deformației și a vitezei de deformație se corectează afectând timpul cu un exponent subunitar  $m < 1$

$$\varepsilon = \left( \frac{\sigma}{\sigma^*} \right)^n \left( \frac{\sigma}{\lambda} \right) t^m \quad \text{și} \quad \dot{\varepsilon} = m \left( \frac{\sigma}{\sigma^*} \right)^n \left( \frac{\sigma}{\lambda} \right) t^{m-1}. \quad (9.56)$$

Pentru valori mari ale timpului viteza de deformație scade tinzând către zero când timpul tinde către infinit; la metale ( $m = 0,3 \dots 0,5$ ) aceasta se datorește modificărilor în microstructură și în special fenomenului de ecruisare.

Pot fi concepute modele mecanice prin diferite combinații în serie și paralel a celor două faze, solidă și fluidă, în care faza fluidă este descrisă de o lege neliniară. De exemplu, un fluid similar corpului Maxwell va avea ca ecuație de stare:

$$\dot{\varepsilon} = \frac{\dot{\sigma}}{E} + \left( \frac{\sigma}{\sigma^*} \right) \frac{\sigma}{\lambda} = \frac{1}{E} \left[ \dot{\sigma} + \frac{\sigma}{\tau} \left( \frac{\sigma}{\sigma^*} \right)^n \right]. \quad (9.57)$$

Integrând, pentru un efort unitar constant  $\sigma > \sigma^*$

$$\varepsilon = \frac{\sigma}{E} \left[ 1 + \frac{t}{\tau} \left( \frac{\sigma}{\sigma^*} \right)^n \right]. \quad (9.58)$$

Deformația este mai mare decât cea a corpului Maxwell liniar. Legea de relaxare a eforturilor se obține integrând ecuația diferențială (socotind  $\varepsilon = \text{const.}$  deci  $\dot{\varepsilon} = 0$ ) care în această situație ia forma

$$\frac{\dot{\sigma}}{\sigma} = - \frac{1}{\tau} \left( \frac{\sigma}{\sigma^*} \right)^n \quad (9.59)$$



avînd ca soluție

$$\left(\frac{\sigma_0}{\sigma}\right)^n = 1 + n \frac{t}{\tau_r} \left(\frac{\sigma_0}{\sigma^*}\right)^n \quad (9.60)$$

în care cu  $\sigma_0$  s-a notat efortul unitar în momentul impunerii deformației,  $\varepsilon_0$  adică  $\sigma_0 = E\varepsilon_0$ ; se observă că relaxarea depinde nu numai de funcția de relaxare ci și de mărimea deformației inițiale.

### 9.7. SOLIDUL NEELASTIC STANDARD

Comparînd comportarea în domeniul cvasi-static al celor două corpuri liniare simple cuprinzînd două faze, și anume corpurile Maxwell și Kelvin, pare că ultimul, în afară de modelarea elasticității întîrziate nu ar avea importanța practică; într-adevăr la viteze mici de încărcare el se comportă ca un corp perfect elastic și nu prezintă nici curgere ireversibilă, nici relaxare a eforturilor. Mai semnificativă pare comportarea lui în cazul solicitării ciclice cînd iese în evidență capacitatea de a disipa energie, capacitatea de amortizare a vibrațiilor.

În studiul făcut în § 9.3 se arată că între efortul unitar și deformația produsă de acesta este o diferență de fază  $\varphi = \arctg(\omega\tau_r)$  a cărei măsură dă posibilitatea determinării directe a capacității de amortizare care, în cazul corpului Kelvin, crește proporțional cu  $\omega\tau_r$ .

Observațiile asupra solidelor reale au arătat însă neconcordanțe; amortizarea crește liniar cu  $\omega\tau_r$ , atinge un maxim, după care descrește pînă la valoarea zero.

Cea mai simplă expresie care poate descrie o asemenea comportare este

$$\sigma + \tau_r \dot{\sigma} = E(\varepsilon + \tau_1 \dot{\varepsilon}) \quad (9.61)$$

în care  $\tau_r$  este timpul de relaxare, iar  $\tau_1$  timpul de întîrziere a deformației

$$\tau_1 = \frac{\bar{E}}{E} \tau_r > \tau_r$$

iar modulii de elasticitate  $\bar{E} > E$  sînt modulii limită de comportare elastică la solicitări ciclice pentru frecvența infinită ( $\bar{E}$ ), respectiv nulă ( $E$ ), numiți modul dinamic ( $\bar{E}$ ) și modul static ( $E$ ). Corpul descris de această ecuație combină proprietățile corpului Kelvin (postefectul elastic) cu cele ale corpului Maxwell (relaxarea efortului). El este denumit *solid neelastic standard*.

Presupunînd acest corp solicitat ciclic de efortul unitar  $\sigma = \sigma_0 \sin \omega t$  care produce deformația  $\varepsilon = \varepsilon_0 \sin \omega t$ , relația între eforturi și deformații se obține introducînd aceste valori în expresia (9.61), și anume:

$$\sigma_0 (\sin \omega t + \tau_r \omega \cos \omega t) = E \varepsilon_0 (\sin \omega t + \tau_1 \omega \cos \omega t).$$

Din această relație în care termenii din paranteză se pun sub forma:

$$\sigma_0 a_r \sin(\omega t + \varphi_r) = E \varepsilon_0 a_1 \sin(\omega t + \varphi_1) \quad (9.62)$$

$$\text{în care: } a_r = \sqrt{1 + \tau_r^2 \omega^2}; \quad a_1 = \sqrt{1 + \tau_1^2 \omega^2}$$

$$\operatorname{tg} \varphi_r = \omega \tau_r; \quad \operatorname{tg} \varphi_1 = \omega \tau_1,$$

rezultă că între efort și deformație este o diferență de fază dată de relația:

$$\operatorname{tg}(\varphi_r - \varphi_1) = \frac{\tau_r \omega - \tau_1 \omega}{1 + \tau_1 \tau_r \omega^2}. \quad (9.63)$$

Diferența de fază este nulă pentru  $\omega = 0$  și  $\omega = \infty$ ; diferența de fază fiind una din măsurile amortizării rezultă că pentru aceste valori vibrațiile nu se amortizează; amortizarea este nulă. Maximul diferenței de fază se obține anulînd derivata; aceasta apare pentru valoarea pulsației  $\omega = \sqrt{\tau_r \tau_1}$  (fig. 9.29).

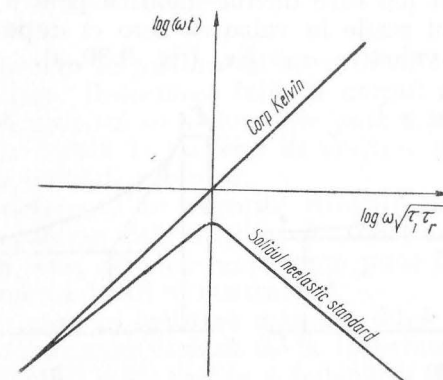


Fig. 9.29

Modulul de elasticitate  $E(\omega)$  pentru o anumită valoare a pulsației  $\omega$  se obține scriind

$$\sigma_0 = E(\omega)\varepsilon_0 \quad (9.64)$$

sau folosind relația (9.62)

$$\sigma_0 a_r = E\varepsilon_0 a_1$$

și identificînd termenii rezultă

$$E(\omega) = E \frac{a_1}{a_r} = E \frac{\sqrt{1 + \omega^2 \tau_1^2}}{\sqrt{1 + \omega^2 \tau_r^2}} \quad (9.65)$$

$E(\omega)$  este egal cu  $E$  pentru  $\omega = 0$  și egal cu  $E \cdot (\tau_1/\tau_r)$  pentru  $\omega = \infty$ .

Comportarea solidului neelastic standard la curgerea lentă este asemănătoare corpului Kelvin. Rezolvînd ecuația (9.61) pentru  $\sigma = \text{const} = \sigma_0$  deci  $\dot{\sigma} = 0$  (pentru  $t > 0$ ) rezultă ecuația deformației elastice întîrziate

$$\varepsilon = \frac{\sigma_0}{E} \left( 1 - e^{-\frac{t}{\tau_r}} \right) = \varepsilon_0 \varphi(t) \quad \left( \varepsilon_0 = \frac{\sigma_0}{E} \right) \quad (9.66)$$

Comportarea la relaxare se obține pentru  $\varepsilon = \varepsilon_0 = \text{const}$  (pentru  $t > 0$ ) considerînd că în momentul aplicării bruște a deformației ( $\omega \rightarrow \infty$ ) la  $t = 0$  ia naștere efortul unitar  $\sigma_0 = E\varepsilon_0$ . Prin integrare se obține ecuația

$$\sigma = \varepsilon_0 \left[ \bar{E} e^{-\frac{t}{\tau_r}} + E \left( 1 - e^{-\frac{t}{\tau_r}} \right) \right] = \varepsilon_0 E(t) = \varepsilon_0 E_r(t) \quad (9.67)$$

Curba care descrie relaxarea eforturilor este asemănătoare celei a corpului Maxwell (cu care devine identică pentru  $E = 0$ ) cu diferența că efortul nu scade la valoarea zero ci după un timp infinit lung el rămîne la valoarea  $\sigma = E\varepsilon_0$  (fig. 9.30, a).

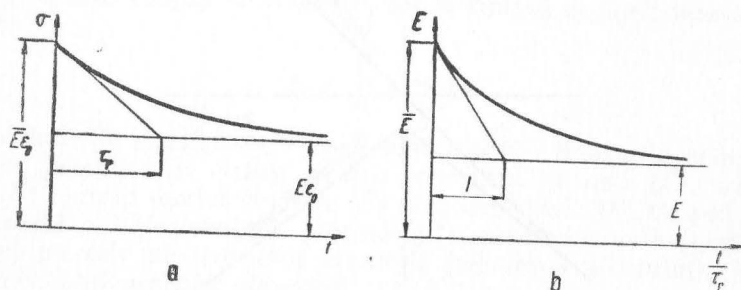


Fig. 9.30

O diagramă asemănătoare se poate trasa pentru modulul de elasticitate instantaneu al solidului standard (fig. 9.30, b) care poate fi determinat din relația (9.67)

$$E(t) = E + (\bar{E} - E)e^{-\frac{t}{\tau_r}} \quad (9.68)$$

Solidul standard nu prezintă curgere ireversibilă așa cum au betonul sau metalele la temperaturi ridicate. Acest neajuns îi limitează domeniul de utilizare în favoarea corpului Maxwell sau modelelor cuprinzînd un corp Maxwell în serie. Cînd curgerea (ireversibilă) este neglijabilă, solidul (neelastic) standard poate fi utilizat cu succes.

## 9.8. BETONUL CA MATERIAL REOLOGIC

Prin comportarea sa, betonul s-a dovedit materialul de construcție cu proprietăți visco-elastice evidente. Pe baza unui mare număr de încercări de laborator, au fost determinate deformațiile datorite curgerii lente, ca urmare a solicitării continue la compresiune. Rezultatele încercărilor au dat posibilitatea stabilirii unor expresii practice pentru calculul curgerii lente ținînd seama de principalii factori care influențează fenomenul, și anume:

- durata de încărcare;
- valoarea efortului unitar;
- vîrsta betonului din care este confecționată proba;
- modul de conservare a probei;
- compoziția betonului probei;
- volumul probei.

**Durata de încărcare** Experimental se verifică creșterea continuă a deformației în timp. Deosebirea față de corpul ideal visco-elastic constă în faptul că procesul de deformare pare a se opri după circa 800 zile. Explicația constă în procesul de creștere a viscozității aparente ca urmare a întăririi gelurilor.

Determinarea deformațiilor datorite curgerii lente sub acțiunea forțelor implică separarea deformațiilor din contracție care la compresiune au același sens, deoarece experiența pune în evidență deformațiile totale (curgerea lentă + contracția).

Deformația din curgere lentă se măsoară după un anumit timp de la aplicarea sarcinii care variază de la experimentator la experimentator, între o oră și o zi, pentru a îndepărta deformația instantanee.

În fig. 9.31 se dă diagrama curgerii lente după Le Camus a unei probe cilindrice  $\varnothing = 9$  cm de beton cu dozaj de  $350 \text{ kg/m}^3$  ciment Portland, încărcat după 3 zile la  $126 \text{ kgf/cm}^2$ , în atmosferă de 75% umiditate.

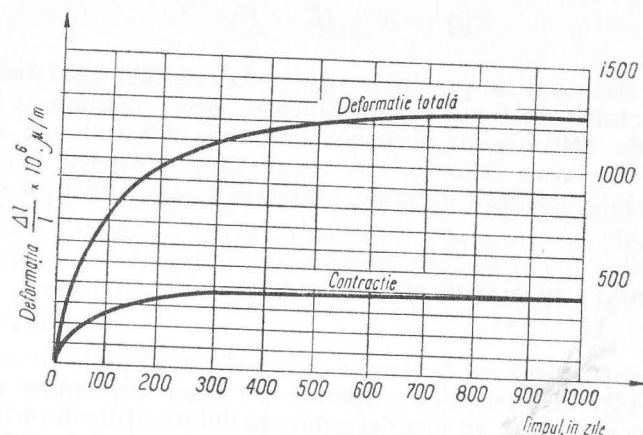


Fig. 9.31

**Valoarea efortului unitar.** Încercările au confirmat, mai ales în cazul eforturilor unitare ridicate, că deformațiile din curgere lentă, după scurgerea aceluiași interval de timp, sînt mai mari pentru eforturi unitare mai mari. Pentru valori mai reduse ale efortului, deformația totală nu diferă mult de deformația datorită contracției.

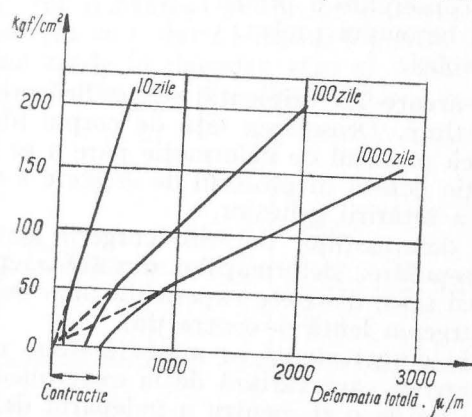


Fig. 9.32

În fig. 9.32 se arată deformația după Le Camus a unui beton în vîrstă de o lună, în medie de 75% umiditate la diferite solicitări.

**Vîrsta betonului.** Experiențele efectuate de unii cercetători, mai ales de D. Mc. Henry, arată că deformațiile din curgere lentă sînt mai mici cu cît vîrsta betonului în momentul încărcării este mai mare, fapt explicabil atît prin scăderea contracției, cît și prin creșterea

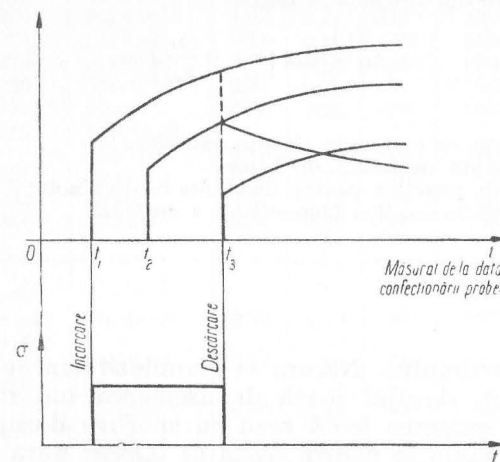


Fig. 9.33

viscozității aparente a betonului. Determinarea diagramelor de curgere lentă în funcție de vîrsta betonului în momentul încărcării au o aplicație interesantă pentru determinarea curgerii în cazul descărcării. Potrivit teoriei lui Mc Henry, verificată și experimental, din ordonatele diagramei de curgere a betonului încărcat la vîrsta  $t_1$  se scad ordonatele diagramei curgerii betonului determinată pentru vîrsta la care se face descărcarea ( $t_3$  în fig. 9.33).

**Modul de conservare a probei.** Umiditatea mediului joacă rolul preponderent. După un timp de patru ani și jumătate, un beton de marcă curentă, încărcat după 28 zile la un efort unitar de  $65 \text{ kgf/cm}^2$  a dat următoarele rezultate

Umiditate relativă %	Deformație totală din curgere $\mu/m$	Contractie $\mu/m$	Deformație din curgere calculată $\mu/m$
Apă	180	— 120	200
Aer 99%	250	— 100	240
Aer 70%	1 450	750	1 460
Aer 50%	2 100	1 200	2 100



Judecând prin prisma modelelor mecanice prezența apei în interstițiile betonului corespunde cu majorarea numărului de elemente corp de pompă (piston) ceea ce are ca efect creșterea viscozității aparente.

R. L'Hermite propune următoarea relație:

$$\Delta_m = \Delta_{mi} \left( 1 + Q \frac{\Delta_r}{\Delta_{r_0}} \right)$$

în care:

$\Delta_{mi}$  este deformația de curgere în absența contracției;

$Q$  — o constantă depinzând de beton;

$\Delta_{r_0}$  — contracția teoretică pentru umiditate relativă nulă;

$\Delta_r$  — contracția în condiția higrometrică a mediului.

Se poate lua  $Q \frac{\Delta_{mi}}{\Delta_{r_0}} = 1,42$ .

**Compoziția betonului.** Natura și granulozitatea agregatelor, factorul apă:ciment, dozajul joacă de asemenea un rol important; deformațiile din curgerea lentă scad cu sporirea dozajului deși contracția crește, în timp ce pentru pasta de ciment pură curgerea lentă ia proporții cu atât mai accentuate cu cât și factorul apă:ciment crește. Aceste observații, care ilustrează influența diverselor faze în modelul reologic, ar conduce la concluzia că există un beton cu o anumită granulozitate din agregate de o anumită compoziție mineralogică și un anumit dozaj care să aibă curgere minimă. În tabelul de la pag. 313 întocmit de R. L'Hermite, se observă dependențele amintite mai înainte.

**Volumul probei.** Dimensiunile transversale ale epruvetei de beton au influență evidentă asupra vitezei deformațiilor din contracție. Curgerea lentă fiind un fenomen de aceeași natură cu contracția ne-ar conduce la concluzia că ea este de asemenea influențată. Din încercări efectuate pe betoane, încărcate la 28 zile, la un efort unitar de 120 kgf/cm<sup>2</sup>, după 50 zile, au indicat deformații datorite curgerii lente, după cum urmează:

Dimensiunea probei:

17 × 17 cm  
15 × 15 cm  
12 × 12 cm

Deformația:

120 μ/m  
140 μ/m  
165 μ/m

Autorul	Dozajul kg/m <sup>3</sup>	Natura agregatelor și a cimentului	$\frac{a}{c}$	Umiditatea înainte de încărcare	Vârsta la punerea în sarcină, zile	Împingerea de încărcare, zile	Curgere μ/m	Contracție*
Davis	400	Portland	0,81	0,78	210	140	120	Scăzută
	250	Portland	1,42	0,78	210	140	450	Scăzută
	275	Portland	0,71	0,50	28	350	550	Scăzută
	275	Portland	0,71	Apă	28	350	175	Scăzută
	350	Gresie	0,89	0,78	28	700	1 200	Scăzută
	350	Bazalt	0,89	0,78	28	700	1 000	Scăzută
	350	Pietriș de riu	0,89	0,78	28	700	900	Scăzută
	350	Granit	0,89	0,78	28	700	750	Scăzută
	350	Cuarț	0,89	0,78	28	700	720	Scăzută
	350	Calcar	0,89	0,78	28	700	500	Scăzută
Giangreco	Pastă ciment	Portland	0,30	0,50	28	200	5 000	Inclusă
	Pastă ciment	Portland	0,30	0,50	28	200	4 400	Scăzută
	450	Nisip silicios	0,50	0,50	28	50	2 000	Inclusă
	450	Nisip silicios	0,50	0,50	28	50	1 700	Scăzută
Dutron	350	Porfir	?	Apă	60	900	2 250	Inclusă
	350	Porfir	?	Apă	60	900	500	Inclusă
Glanville	500	Silicios	0,40	0,75	28	330	241	Scăzută
	310	Silicios	0,70	0,75	28	330	612	Scăzută
	200	Silicios	0,85	0,75	28	330	1 076	Scăzută
L'Hermite & Le Camus	350	Silicios de Sena	0,50	0,75	30	1 200	270	Scăzută
	350	Silicios de Sena	0,50	0,75	30	1 200	590	Inclusă
	350	Silicios de Sena	0,50	0,75	30	1 200	250	Scăzută
	350	Silicios de Sena	0,50	0,75	30	1 200	660	Inclusă
Berthier (Casa)	400	Calcar	0,40	0,73	28	100	190	Inclusă

\* Numai de la punerea sub sarcină.



Raportul valorilor extreme din acest tabel era la 50 zile egal cu 1,26, și se reduce în cazul încărcărilor făcute pînă la 90 zile la 1,12, ceea ce pare să arate că valorile finale depind puțin de dimensiunile probei.

Ținînd, în mai mare sau mai mică măsură, seama de factorii examinați sumar mai înainte, au fost stabilite formule empirice pentru deformația din curgere lentă.

O asemenea relație furnizînd deformația totală este cea a lui R. L'Hermite

$$\Delta_t = \Delta_i + \Delta = \Delta_i + (\Delta_m - \Delta) \left[ 1 - e^{-\left(K_1 \log \frac{a+t}{a} K_2 t\right)} \right]$$

în care :

- $\Delta_t$  este deformația totală după scurgerea timpului  $t$ ;
- $\Delta_i$  — deformația inițială instantanee;
- $\Delta_m$  — deformația maximă (limită);
- $a$  — vîrsta betonului în momentul încărcării;
- $K_1$  — coeficient a cărui valoare medie este 0,65—0,70;
- $K_2$  — coeficient a cărui valoare medie este 0,26—0,30.

R. Dutron propune relația:

$$D_e = D_i \left[ 1 + A \frac{E_i}{E_s} \cdot \frac{100 - (\theta_e - \theta_i)}{100} \right] [1 - B \Delta_m (\Delta_1 - \Delta_i)]$$

în care indicii 1 și  $i$  semnifică starea finală, respectiv starea inițială a punerii sub sarcină, astfel :

- $D_e$  este deformația limită datorită curgerii;
- $D_i$  — deformația instantanee la aplicarea sarcinii;
- $\theta$  — starea higrometrică a mediului;
- $\Delta$  — deformații datorită contracției sau umflării exprimat, în ‰.

Coeficienții  $A$  și  $B$  au valorile 1, 2 respectiv 4, 5.

Deformația  $D_i$  se calculează în funcție de solicitarea la care este supusă proba și de modulul instantaneu de elasticitate  $E_i$ .

În sfîrșit, Voellmy propune pentru construcții de beton armat :

$$\varepsilon_{K\infty} = \frac{7}{30} \frac{\sigma}{W_\beta} \left[ (130 - F) \cdot \frac{W}{Z} \left( W + \frac{Z}{\gamma_s} \right) \cdot \frac{1}{1 + \frac{\mu}{3}} \right]$$

în care :

- $\varepsilon_{K\infty}$  este deformația relativă, la mie, datorită curgerii;
- $W_\beta$  — rezistența la compresiune pe cub în momentul aplicării sarcinii, în kgf/cm<sup>2</sup>;
- $F$  — umiditatea relativă, în %;
- $\frac{W}{Z}$  — factorul apă : ciment;
- $W$  — cantitatea de apă la metru cub de beton proaspăt;
- $Z$  — volumul de ciment la metru cub de beton proaspăt;
- $\gamma_s$  — greutatea specifică a cimentului ( $\approx 3,1$ );
- $\mu$  — coeficientul de armare.

Paralel cu încercările de a determina formule empirice care să descrie comportarea betonului în timp, se manifestă mult interes pentru stabilirea pe cale teoretică a unor expresii care să descrie același fenomen. La baza acestor studii stau diferite modele matematice sau mecanice. În cele ce urmează se prezintă o soluție stabilită pe cale teoretică\*.

La încercări de scurtă durată betonul se comportă ca un material elastic. La încercări de durată, sub efort constant, deformațiile variază în timp datorită pe de o parte curgerii lente, pe de altă parte contracției; acestea tind către valori finite ca urmare a proceselor de întărire a pietrei de ciment. Deformația totală este suma celor trei deformații: elastică  $\varepsilon_e$ , de curgere lentă  $\varepsilon_c$  și de contracție  $\varepsilon_r$ .

$$\varepsilon = \varepsilon_e + \varepsilon_c + \varepsilon_r \quad (9.69)$$

sau introducînd vitezele de deformare

$$\dot{\varepsilon} = \dot{\varepsilon}_e + \dot{\varepsilon}_c + \dot{\varepsilon}_r \quad (9.70)$$

Cele trei componente pot fi descrise pornind de la modelele simple reologice. Componenta elastică se supune legii lui Hooke; sub formă diferențială, presupunînd modulul de elasticitate constant, se obține :

$$\dot{\varepsilon}_e = \frac{\dot{\sigma}}{E}$$

Deformațiile datorite curgerii lente și contracției — fenomene de natură asemănătoare — pot fi descrise în linii mari de ecuația corpului Kelvin, și anume :

$$\dot{\varepsilon} + \frac{\varepsilon_c}{\tau} = \frac{\sigma}{\tau E_c} ; \quad \dot{\varepsilon}_r + \frac{\varepsilon_r}{\tau} = \frac{s_0}{\tau E_c} \quad (9.71)$$

\* Soluție dată de H. Trost [98].

în care  $\tau$ ,  $E_c$ ,  $s_0$  sînt constante ale materialului. Prin integrare și ținînd seama că pentru momentul inițial ( $t = 0$ ) și deformăția din contracție  $\varepsilon_r$  este nulă, rezultă:

$$\varepsilon_r = \frac{s_0}{E_c} \left( 1 - e^{-\frac{t}{\tau}} \right). \quad (9.72)$$

Valoarea constantei  $s_0$ , de natura unui efort unitar, se obține din valoarea deformăției de contracție limită  $\varepsilon_{r\infty}$

$$\begin{aligned} \varepsilon_r &= \varepsilon_{r\infty} \quad \text{cînd } t = \infty \\ s_0 &= E_c \varepsilon_{r\infty}. \end{aligned} \quad (9.73)$$

Înlocuind această valoare în expresia (9.71), se obține o nouă expresie pentru deformăția din contracție:

$$\dot{\varepsilon}_r = \frac{1}{\tau} (\varepsilon_{r\infty} - \varepsilon_r). \quad (9.74)$$

În mod asemănător se obține o expresie pentru curgerea lentă

$$\dot{\varepsilon}_c = \frac{1}{\tau} \left( \frac{\sigma}{E_c} - \varepsilon_c \right). \quad (9.75)$$

Înlocuind aceste valori în expresia (9.70) se obține:

$$\dot{\varepsilon} = \frac{\dot{\sigma}}{E} + \frac{1}{\tau} \left( \frac{\sigma}{E_c} + \varepsilon_{r\infty} \right) - \frac{1}{\tau} (\varepsilon_c + \varepsilon_r). \quad (9.76)$$

Dar în ultima paranteză se poate înlocui

$$\varepsilon_c + \varepsilon_r = \varepsilon - \varepsilon_e = \varepsilon - \frac{\sigma}{E} \quad (9.77)$$

ceea ce conduce la:

$$\dot{\varepsilon} + \frac{\varepsilon}{\tau} = \frac{\dot{\sigma}}{E} + \frac{\sigma}{\tau E} \left( 1 + \frac{E}{E_c} \right) + \frac{\varepsilon_{r\infty}}{\tau}. \quad (9.78)$$

Aceasta ar fi ecuația reologică de stare a betonului. Din punct de vedere matematic problema se reduce la integrarea acestei ecuații diferențiale de ordinul I cu coeficienți constanți; din punct de vedere ingineresc, problema este a determinării coeficienților; pentru un anumit beton, coeficienții pot fi determinați pe baza încercărilor de curgere lentă sau relaxare prescrise de norme. De exemplu, aplicînd recomandările CEB problema constă în a determina mărimea deformăției finale din curgerea lentă exprimată în aceste norme

printr-un coeficient constant  $\varphi_N$ , a cărui valoare depinde de mai mulți factori. Încercarea de curgere lentă are loc sub efort constant  $\sigma = \sigma_0$ ; în acest caz, soluția ecuației (9.78) este:

$$\varepsilon = \varepsilon_0 \left[ 1 + \frac{E}{E_c} \left( 1 - e^{-\frac{t}{\tau}} \right) \right] + \varepsilon_{r\infty} \left( 1 - e^{-\frac{t}{\tau}} \right) \quad (9.79)$$

în care  $\varepsilon_0$  este deformăția instantanee pentru  $t = 0$ .

Pentru  $t = \infty$

$$\varepsilon_{\infty} = \varepsilon_0 \left( 1 + \frac{E}{E_c} \right) + \varepsilon_{r\infty}.$$

Această relație permite determinarea raportului între modulele de elasticitate  $E$  și  $E_c$

$$\frac{\varepsilon_{\infty} - \varepsilon_{r\infty} - \varepsilon_0}{\varepsilon_0} = \frac{E}{E_c}. \quad (9.80)$$

Numărătorul primei fracții reprezintă tocmai curgerea lentă finală de unde rezultă:

$$\frac{E}{E_c} = \frac{\varepsilon_{c\infty}}{\varepsilon_0} = \varphi_N. \quad (9.81)$$

Determinarea coeficientului  $\varphi_N$  (caracteristica curgerii lente) permite transcrierea expresiei (9.79) sub forma:

$$\varepsilon = \varepsilon_0 \left[ 1 + \varphi_N \left( 1 - e^{-\frac{t}{\tau}} \right) \right] + \varepsilon_{r\infty} \left( 1 - e^{-\frac{t}{\tau}} \right) \quad (9.82)$$

iar ecuația de stare (9.78) ia expresia:

$$\dot{\varepsilon} + \frac{\varepsilon}{\tau} = \frac{\dot{\sigma}}{E} + \frac{\sigma}{E} \frac{1 + \varphi_N}{\tau} + \frac{\varepsilon_{r\infty}}{\tau}. \quad (9.83)$$

În aceste expresii intervine  $\tau$ , valoarea timpului de întârziere; considerîndu-l constant\*  $\tau$  poate fi determinat experimental stabilind perioada de timp în care deformăția întârziată reprezintă  $\left( 1 - \frac{1}{e} \right)$  din cea finală; de regulă, aceasta corespunde unei perioade de 2-4 luni, ceea ce permite să se adopte pentru  $\tau$  o valoare medie de 100 zile.

\* Așa cum s-a arătat în § 9.1 timpul de relaxare este raportul dintre viscozitatea la întindere  $\lambda$  și modulul de elasticitate  $E$ ; viscozitatea însă, așa cum arată încercările, crește cu timpul.

Aceleași constante pot fi determinate prin încercarea de relaxare în care deformarea este menținută constantă  $\varepsilon = \varepsilon_0$ ; în acest caz ecuația (9.83) devine:

$$\dot{\sigma} + \frac{1 + \varphi_N}{\tau} \sigma = \frac{E}{\tau} (\varepsilon_0 - \varepsilon_{r\infty}). \quad (9.84)$$

Soluția acestei ecuații, în care s-a ținut seama că în momentul inițial  $t = 0$  efortul unitar este  $\sigma_0 = E\varepsilon_0$ , este

$$\sigma = \sigma_0 \left[ 1 - \frac{\varphi_N}{1 + \varphi_N} \left( 1 - e^{-\frac{t}{\tau}(1 + \varphi_N)} \right) \right] - \frac{E\varepsilon_{r\infty}}{1 + \varphi_N} \left( 1 - e^{-\frac{t}{\tau}(1 + \varphi_N)} \right). \quad (9.85)$$

La  $t = \infty$  efortul rămas este

$$\sigma_{\infty} = \frac{\sigma_0}{1 + \varphi_N} - \frac{E\varepsilon_{r\infty}}{1 + \varphi_N}. \quad (9.86)$$

Determinînd experimental  $\sigma_{\infty}$ ,  $\sigma_0$ ,  $E$  și  $\varepsilon_{r\infty}$  coeficientul  $\varphi_N$  se obține cu ușurință

$$\varphi_N = \frac{\sigma_0 - \sigma_{\infty} - E\varepsilon_{r\infty}}{\sigma_{\infty}}. \quad (9.87)$$

Problema poate fi rezolvată introducînd ca parametru funcția de curgere lentă  $\varphi_t$ . În acest scop ecuația (9.76) poate fi scrisă și sub forma:

$$\dot{\varepsilon} = \frac{\dot{\sigma}}{E} + \frac{\sigma}{E} \left\{ \frac{E}{\tau} \left( \frac{1}{E_c} - \frac{\varepsilon_c}{\sigma} \right) \right\} + \dot{\varepsilon}_r. \quad (9.88)$$

Termenul al doilea din dreapta parantezei reprezintă derivata curgerii lente; în acest caz se poate lua pentru termenul dintre acolade

$$\frac{E}{\tau} \left( \frac{1}{E_c} - \frac{\varepsilon_c}{\sigma} \right) = \varphi(t) \quad (9.89)$$

sau ținînd seama de (9.81) se poate scrie:

$$\dot{\varphi} = \frac{1}{\tau} \left( \varphi_N - \frac{E\varepsilon_c}{\sigma} \right). \quad (9.90)$$

Ecuația (9.88) devine:

$$\dot{\varepsilon} = \frac{\dot{\sigma}}{E} + \frac{\sigma}{E} \varphi + \dot{\varepsilon}_r^*. \quad (9.91)$$

\* Relație adoptată de Dischinger.

Aceasta poate fi scrisă și sub forma:

$$\frac{d\varepsilon}{d\varphi} = \frac{1}{E} \frac{d\sigma}{d\varphi} + \frac{\sigma}{E} + \frac{d\varepsilon_r}{d\varphi}. \quad (9.92)$$

Avantajul acestei expresii este că în afară de modulul de elasticitate  $E$  nu necesită determinarea altor constante ci numai a variațiilor deformăției.

În cazul încercării de relaxare, cînd este impusă o deformare  $\varepsilon = \varepsilon_0 = \text{const.}$ , dacă încercarea nu durează mult, pentru a putea neglija variația contracției, expresia (9.92) se poate scrie simplu

$$\frac{d\sigma}{d\varphi} + \sigma = 0. \quad (9.93)$$

Ținînd seama că pentru  $\varphi = 0$ ,  $\sigma = \sigma_0$  ecuația (9.93) are soluția

$$\sigma = \sigma_0 e^{-\varphi(t)}. \quad (9.94)$$

Din egalarea acestei expresii cu (9.85) care se referă la aceeași încercare (de relaxare) se obține:

$$\varphi(t) = \ln(1 + \varphi_N) - \ln \left[ 1 + \varphi_N e^{-\frac{t}{\tau}(1 + \varphi_N)} \right]$$

ceea ce dă pentru  $t = \infty$  valoarea finală

$$\varphi_{\infty} = \ln(1 + \varphi_N). \quad (9.95)$$

Un model relativ simplu al betonului ar putea fi obținut considerîndu-l ca un corp asemănător corpului Burgers, alcătuit deci dintr-un corp Maxwell și un corp Kelvin legate în serie, cu deosebirea că viscozitatea corpului Maxwell se consideră crescătoare în timp după o lege exponențială

$$\lambda = \lambda_0 e^{\alpha t}. \quad (9.96)$$

Componenta Maxwell ar avea în acest caz următoarea ecuație diferențială de stare

$$\dot{\varepsilon} = \frac{\sigma}{\lambda_0} e^{-\alpha t} + \frac{\dot{\sigma}}{E_0} \quad (9.97)$$

care conduce la expresia deformăției

$$\varepsilon(t) = \frac{1}{\lambda_0} \int_0^t e^{-\alpha t} dt + \frac{\sigma}{E_0} \quad (9.98)$$

în care s-a considerat că efortul unitar se aplică la  $t = 0$ . Funcția de curgere lentă  $\varphi$  a corpului se obține adunând cele două funcții (ale corpului Maxwell și Kelvin)

$$\varphi(t) = 1 + \frac{E_0}{E_1} \left( 1 - e^{-\frac{t}{\tau_i}} \right) + \frac{1}{\sigma \tau_r} \int_0^t \sigma e^{-at} dt. \quad (9.99)$$

În cazul încercării de curgere lentă pentru  $\sigma = \sigma_0 = \text{const.}$  funcția de curgere lentă devine:

$$\varphi(t) = 1 + \frac{E_0}{E_1} \left( 1 - e^{-\frac{t}{\tau_i}} \right) + \frac{1}{\alpha \tau_r} (1 - e^{-\alpha t}) \quad (9.100)$$

în care cu  $E_0$  s-a notat modulul de elasticitate instantaneu, iar cu  $E_1$  și  $\lambda_1$  constantele reologice ale corpului Kelvin,  $\tau_i$  timpul de întîrziere al componentei Kelvin, iar  $\tau_r$  timpul de relaxare al componentei Maxwell.

## 9.9. FLUAJUL ȘI RELAXAREA FIRELOR DE OȚEL

Oțelul de înaltă rezistență, în special sub formă de fire, este tot mai des utilizat în construcții pentru a crea o stare de eforturi inițială asupra betonului — precomprimarea acestuia — în scopul prevenirii apariției eforturilor de întindere produse de sarcinile permanente, utile, accidentale sau de diferențele de temperatură. Această stare de eforturi este în general realizată prin întinderea firelor și menținerea lor sub tensiune în elementul precomprimat.

Deși în forma cea mai accentuată fluajul și relaxarea la oțel apar la temperaturi ridicate, asemenea fenomene sînt sesizabile chiar la temperatura ambiantă. Importanța lor este evidentă; adăugată curgerii lente a betonului, relaxarea efortului în firele de oțel contribuie la scăderea forței de precomprimare.

Fluajul și relaxarea metalelor sînt fenomene care definesc proprietatea denumită neelasticitate (anelasticitate), opusă elasticității. Comportarea la fluaj și relaxare a firelor de oțel se stabilește prin încercări de două feluri: sub efort constant pentru determinarea diagramei de fluaj, sub deformare impusă constantă pentru determinarea diagramei de relaxare; amîndouă încercările au loc la temperatură constantă în jur de 20°C. Se trasează diagrame asemănătoare celor din fig. 9.34.

În ce privește fluajul, s-a introdus termenul de *limită de fluaj* care, asemănător celorlalte limite utilizate în descrierea diagramei caracteristice (de exemplu, limita de elasticitate, limita de curgere) ar reprezenta efortul unitar sub a cărui valoare fluajul, la tempera-

tura ambiantă ar fi neglijabil. DIN 4227, ca și STAS 6482—61, de exemplu, definesc limita de fluaj ca fiind valoarea efortului unitar care, aplicat asupra firului de oțel, produce în intervalul de o mie de ore (măsurate începînd cu minutul 6 de la aplicarea sarcinii), o deformare de fluaj de 3% din cea produsă prin aplicarea rapidă a sarcinii.

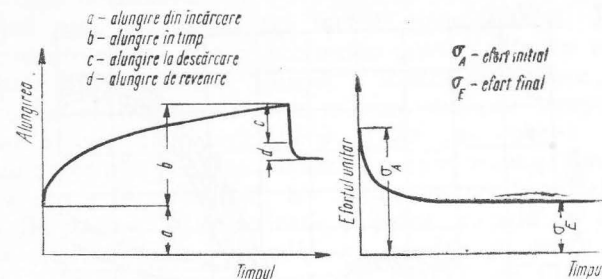


Fig. 9.34

(Inițial prin limita de fluaj se definea efortul unitar sub care se presupunea că nu apare fluajul; încercări ulterioare au dovedit însă că fluajul apare chiar la eforturi unitare cuprinse în domeniul de comportare elastică a materialului.)

În ce privește relaxarea, s-au introdus ca mărimi de referință pierderile de tensiune determinate prin încercări pe o durată de 1 000 ore sub deformare constantă. Recomandările FIP—CEB pentru betonul precomprimat, presupun că pierderile de tensiune după 1 000 de ore sînt cuprinse între 2% și 8% din efortul inițial, cînd acesta este 0,65  $\sigma_r$  și între 8% și 12% cînd efortul unitar este 0,80  $\sigma_r$  ( $\sigma_r$  fiind limita de rupere a firului de oțel\*); recomandările admit ca rezultatele obținute în intervalul de 1 000 ore să fie extrapolate pentru 100 000 ore, prin comparație cu curbele de relaxare reale trasate pentru un oțel cu caracteristici asemănătoare pe bază de încercări de lungă durată.

În această ordine de idei, menționăm observațiile făcute de Franco Levi care susține că la firele trefilate pierderea de efort prin relaxare pe termen lung este dublă față de cea constatată după 120 ore. Pentru oțelurile laminate sau cele tratate termic, raportul este, se pare, superior lui 2 și poate ajunge în unele cazuri la 3 sau chiar 4.

Rezultatele încercărilor făcute pe scară largă de numeroase laboratoare constituie o bază pentru recomandările și opiniile enunțate mai înainte; literatura tehnică abundă în acest domeniu.

\* Notată în recomandări  $\sigma_{prk}$ .



Indicații prețioase, în ce privește comportarea la fluaj, se obțin din diagrama caracteristică obținută pe baza încercării de întindere la solicitări statice. O diagramă caracteristică, având limite ridicate (limita de elasticitate, de curgere) indică și o comportare bună la fluaj; limita de fluaj coincide sau este foarte apropiată de limita

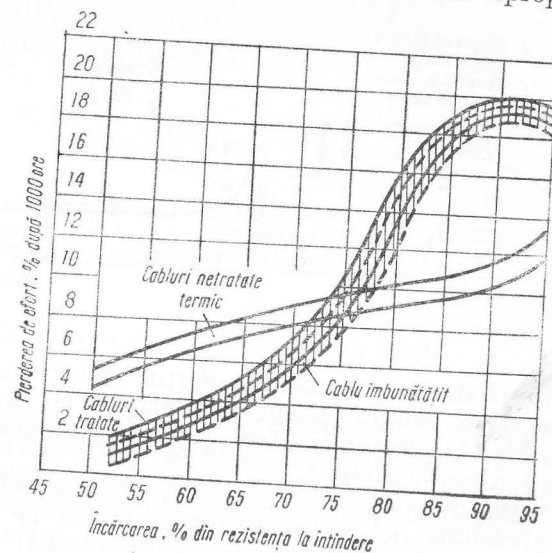


Fig. 9.35

de elasticitate. Factorii care influențează comportarea elastică, influențează în același timp și în același sens comportarea la fluaj. Revenirea\*, de exemplu, are ca efect reducerea deformațiilor din fluaj și a pierderilor de efort prin relaxare, pentru valori ale efortului unitar sub limita de elasticitate.

În fig. 9.35 sînt date sintetice rezultatele unor încercări de relaxare efectuate în străinătate\*\* asupra firelor de oțel revenite, tratate termic și netratate; în ordonată se dau pierderile de efort prin relaxare în procente față de efortul inițial care variază între 50% și 95% din limita de rupere a firului de oțel. Se vede că pentru eforturi pînă la 50% din limita de rupere firele netratate prezintă o relaxare mai

\* Tratament termic aplicat sîrmelor constînd în încălzirea la o temperatură prescrisă (sub temperatura inferioară de transformare a oțelului) urmată de o răcire lentă.

\*\* Stahl und Eisen, vol. 78, iulie 1958, pp. 937 - 947.

pronunțată; la eforturi peste 70% din limita de rupere, firele cu limita de elasticitate ridicată prin tratament prezintă o creștere importantă a pierderilor prin relaxare, explicată prin apariția deformațiilor plastice mari după depășirea limitei de elasticitate; la eforturi unitare mari pierderile prin relaxare au valori apropiate atît la firele tratate, cît și la cele netratate.

Fluajul este influențat de factori asemănători. În fig. 9.36 se arată rezultatele obținute în laborator pentru diferite valori ale raportului dintre efortul unitar aplicat și limita de rupere; este de notat faptul că la eforturi mari, pe măsura trecerii timpului, viteza de deformare scade; în intervalul de 1000 ore curbele trasate într-un sistem de referință semilogaritmă (în care numai timpul este reprezentat la scara logaritmică), au forma literei S, altele a unei părți a literei S; asemănările sesizate și între curbele de fluaj trasate în sistemele de referință normale, au condus pe unii cercetători\* să considere că pentru același material curbele de fluaj pentru diferite eforturi unitare sînt omotetice.

Asemănări apar și între curbele de relaxare; reprezentate într-un sistem semilogaritmă ele au alura generală redată schematic în fig. 9.37.

Pentru un efort unitar inițial redus și o durată limitată a încercării (pînă la 1000 ore) este parcursă numai prima parte — cvasi liniară — a diagramei; pentru eforturi inițiale medii, cea mai mare

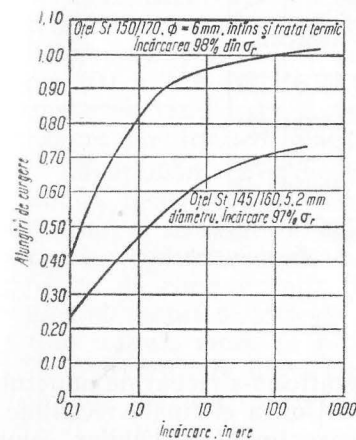


Fig. 9.36.

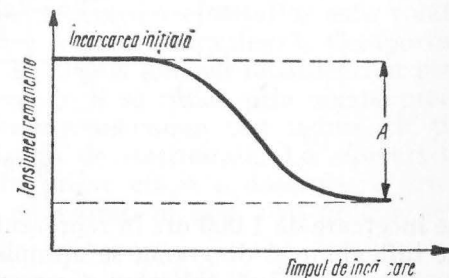


Fig. 9.37

\* M. Campus. Bulletin du CERES, tome VI, 1953.

parte a pierderii de tensiune are loc în timpul celor 1 000 ore de încercare; pentru eforturi inițiale mari, pierderea de tensiune se produce în cea mai mare parte în primele ore astfel încât la sfârșitul perioadei

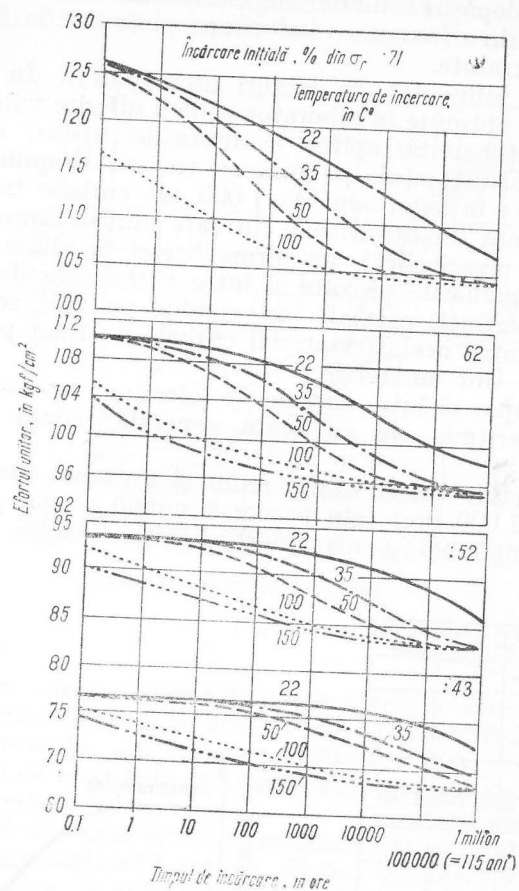


Fig. 9.38

de încercare de 1 000 ore în reprezentarea grafică s-a trecut de punctul de inflexiune și diagrama se apropie de porțiunea ei finală rectilinie. Menționăm că ridicarea temperaturii are un efect similar celui produs de creșterea efortului inițial. După cum se vede din diagramele prezentate în fig. 9.38, curbele de relaxare la diferite temperaturi pentru același oțel (trefilat și revenit) tind să ajungă la aceeași

valoare finală a pierderii de tensiune. Aceasta dă posibilitatea să se obțină prin extrapolare pentru durate mari, rezultatele obținute prin încercări pe termen scurt (1 000 ore), la eforturi unitare moderate și la temperatura camerei; făcând încercări la temperaturi relativ ridicate (100°C sau 150°C) sub același efort inițial și trasând diagrama corespunzătoare, se obțin valori ale pierderii de tensiune apropiate de cele finale.

Un procedeu interesant îl constituie și trasarea diagramei de relaxare în același grafic cu diagrama caracteristică (fig. 9.39); unei abscise (lungirea specifică) i se asociază două puncte: primul este situat pe diagrama caracteristică (determinată prin încercarea statică de întindere), al doilea are ca ordonată valoarea efortului unitar rămas după relaxare sub un efort unitar egal cu ordonata primului punct. Diferența ordonatelor reprezintă pierderea de tensiune datorită relaxării pe perioada experimentării.

Rezultatele înscrise în diagramele obținute încercând timp de 1 000 ore fire trefilate și revenite pentru diferite temperaturi, evidențiază concluziile trase anterior. Pentru eforturi unitare mici la temperatura camerei, pierderile de tensiune sînt scăzute; ele cresc cînd temperatura se apropie de 100°C însă diagramele pentru temperaturi peste 100°C (de exemplu 150°C) sînt apropiate de cea de 100°C. De asemenea, se remarcă creșterea pierderilor de tensiune o dată cu creșterea deformației specifice impuse.

Interesant este faptul că diagramele de relaxare pentru diferite temperaturi converg cînd efortul inițial de întindere este de ordinul 0,8 $\sigma_r$ . Extrapolînd rezultatele pentru o durată de relaxare de 1 milion ore (circa 114 ani) se obțin curbe asemănătoare din care rezultă că creșterea temperaturii peste 35°C are un efect suplimentar redus asupra pierderii de tensiune.

Menționăm că o diagramă de relaxare a eforturilor este valabilă numai pentru oțelul pentru care a fost determinată. Comportarea la fluaj și relaxare se datorește în ultima analiză modificărilor structurale; oțelurilor trefilate și revenite li se ridică prin aceste procese limita de curgere; atît fluajul cît și relaxarea sînt reduse cît timp efortul unitar se găsește sub limita de elasticitate. La eforturi unitare inițiale mari, se produce în prima etapă o deecruisare urmată de o reecruisare după trecerea unui timp în care s-au produs deformațiile plastice corespunzătoare.

Asemănarea dintre comportarea la relaxare și la fluaj și explicarea acestor fenomene pe baza formării de deformații ireversibile dă posibilitatea prezicerii comportării la relaxare folosind rezultatele obținute la încercările de fluaj.

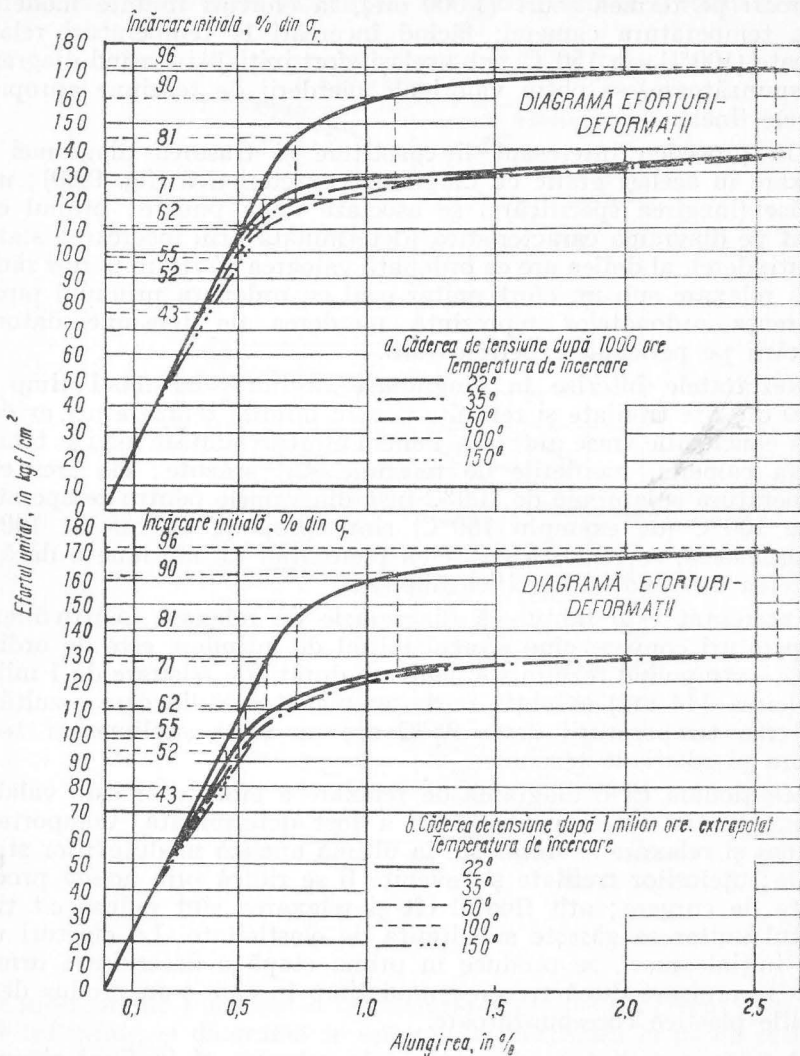


Fig. 9.39

Să presupunem trasate pentru același material, (fig. 9.40) curbele de fluaj pentru diferite eforturi unitare  $\sigma_0 > \sigma_1 > \sigma_2 > \sigma_3$  diferite între ele cu aceeași valoare  $\Delta\sigma$

$$\sigma_2 = \sigma_1 - \Delta\sigma; \quad \sigma_3 = \sigma_2 - \Delta\sigma \text{ etc.}$$

Deformația de fluaj ireversibilă notată  $\epsilon_c$  o împărțim în elemente  $\Delta f$  egale și ducem liniile de ordine corespunzătoare: intervalul  $\Delta f$  este definit ca  $\Delta f = (\Delta\sigma/E)$ .

Curba de relaxare a materialului supus unei deformații impuse  $\epsilon_0$  se trasează prin puncte. În momentul inițial, efortul unitar este  $\sigma_0 = E\epsilon_0$ . O bară solicitată însă de efortul  $\sigma_0$  capătă după timpul  $t_1$  o deformație de fluaj ireversibilă egală cu  $\Delta f$ ; această deformație permanentă are ca efect scăderea efortului unitar cu  $\Delta\sigma$ ; efortul unitar în bară va fi deci  $\sigma_0 - \Delta\sigma = \sigma_1$ ; curba de fluaj va fi în continuare cea pentru efortul  $\sigma_1$ ; construcția grafică este evidentă.

Se vede ușor că pentru construcția grafică din fig. 9.40 este

necesară trasarea curbelor de fluaj pentru diferite valori ale efortului unitar pe bază de încercări. O construcție aproximativă a curbelor de fluaj pentru diferite valori ale efortului unitar se poate face pe cale grafică folosind rezultatele încercărilor pentru o singură valoare a efortului unitar, precum și rezultatele încercărilor statice. Această construcție se bazează pe observația notată mai înainte cu privire la omotetia curbelor de fluaj. Pentru aceeași durată a încercării la fluaj (100 ore de exemplu) curbele de fluaj ale aceluiași material

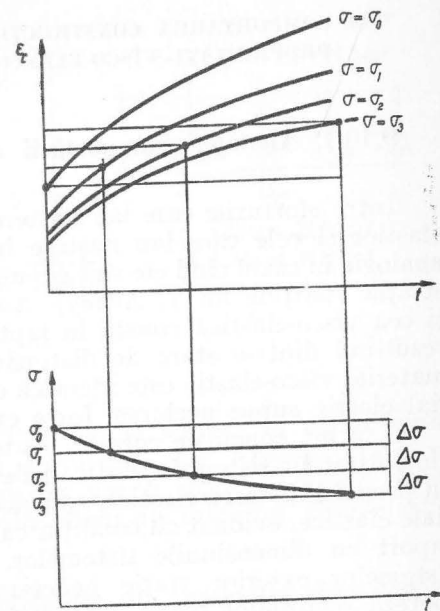


Fig. 9.40

$$\frac{\epsilon_c}{\epsilon_p} = \text{const.}$$



în care cu  $\epsilon_s$  s-a notat deformația datorită fluajului, iar cu  $\epsilon_p$  deformația remanentă din diagrama caracteristică a materialului (de obicei măsurată la 2 min după aplicarea forței). Trasate grafic, se obțin curbele de fluaj necesare construcției\* curbei de relaxare.

## 9.10. COMPORTAREA CONSTRUCȚIILOR ALCĂTUITE DIN MATERIALE CU PROPRIETĂȚI VÎSCO-ELASTICE

### 9.10.1. Analogia comportării elastice și vîsco-elastice

Între eforturile care iau naștere în corpuri alcătuite din materiale elastice și cele care iau naștere în materiale vîsco-elastice, există o analogie în cazul cînd ele sînt supuse unei stări de distorsiune. (Demonstrația aparține lui T. Alfrey). Analogia dintre comportarea elastică și cea vîsco-elastică constă în faptul că repartitia eforturilor unitare rezultînd dintr-o stare de distorsiune într-un corp alcătuit dintr-un material vîsco-elastic este identică cu cea care ia naștere într-un material elastic supus aceluiași forțe exterioare.

O primă concluzie care se poate trage de aici, este că distribuția eforturilor în sistemele static nedeterminate, alcătuite din materiale cu proprietăți vîsco-elastice, este aceeași ca la cele alcătuite din materiale elastice, evident cu condiția ca deformațiile să fie neglijabile în raport cu dimensiunile sistemelor. Înseamnă deci că și reacțiunile sistemelor exterior static nedeterminate vor fi aceleași. Păstrînd ipoteza secțiunilor plane, înseamnă că distribuția eforturilor unitare într-o secțiune la materialele vîsco-elastice va fi aceeași ca la materialele elastice.

Analogia comportării elastice și vîsco-elastice a fost verificată experimental de către Ross, care a folosit în acest scop bare alcătuite din rășini fenolice. Avantajul experimental al acestor rășini constă în faptul că au o diagramă de deformare în timp analogă celei a betonului, obținută într-un timp de 50 de ori mai scurt (fig. 9.41, a).

Încărcînd o grindă continuă confecționată dintr-o asemenea rășină fenolică ca în fig. 9.41, b și menținînd constantă încărcarea timp de 240 zile (echivalent unei durate de 33 ani pentru beton), reacțiunea  $V_B$  măsurată s-a menținut permanent constantă cu valoarea inițială deși deformațiile vîsco-elastice au crescut permanent.

\* Metoda este descrisă în: F. Dumas „Résistance et sécurité du béton précontraint”. Travaux, Oct. 1960, p. 623.

Curgerea vîsco-elastică deci nu are influență asupra repartirii eforturilor în secțiune sau în sistemele static nedeterminate. Sînt însă cazuri în care curgerea vîsco-elastică avantajează sau dezavantajează comportarea unei construcții. Astfel, construcțiile alcătuite din materiale vîsco-elastice supuse unor tasări ale reazemelor se comportă

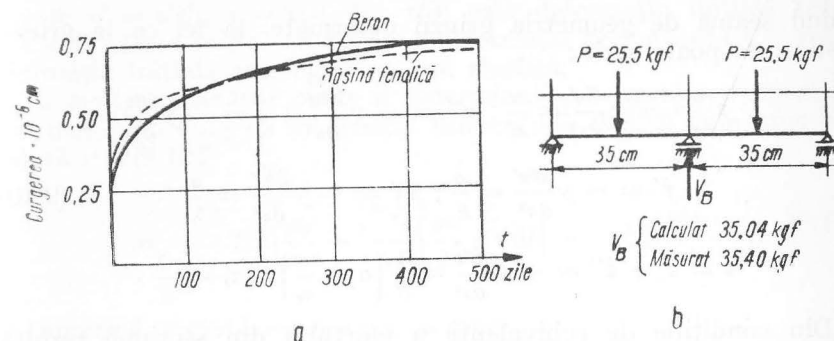


Fig. 9.41

mai avantajos cu trecerea timpului. Barele supuse la compresiune excentrică, arcele pleoștite greu încărcate sînt dezavantajate cu trecerea timpului. În cele ce urmează vor fi studiate aceste cazuri în ipoteza unei construcții alcătuite dintr-un material vîsco-elastic.

### 9.10.2. Încovoierea grinzilor alcătuite din materiale vîsco-elastice

Presupunem o grindă dreaptă de secțiune constantă solicitată la încovoiere de forțe cuprinse într-un plan intersectînd secțiunea după o axă principală de inerție (fig. 9.42). Admitem valabilitatea ipotezei secțiunilor plane și în acest caz. Rezolvarea problemei se face în mod

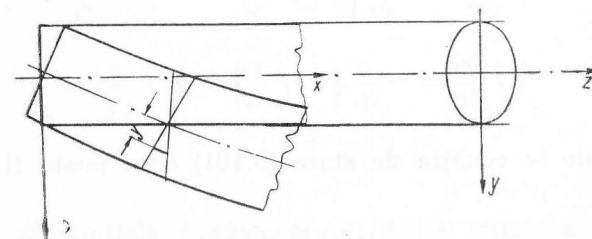


Fig. 9.42



asemănător problemei încovoierii grinzilor drepte în stadiul plastic cu singura deosebire că deformările — lungiri specifice sau săgeți — sînt considerate alcătuite din două părți: o parte elastică ( $\varepsilon'$  și  $v'$ ) și o parte remanentă ( $\varepsilon''$  și  $v''$ ). Se notează deci:

$$\varepsilon = \varepsilon' + \varepsilon''; \quad v = v' + v''.$$

Ținînd seama de geometria grinzii deformate, la fel ca la grinzile elastice, se poate scrie:

$$\begin{aligned} \varepsilon' &= -y \frac{\partial^2 v'}{\partial x^2} = \frac{\sigma}{E}; \quad \varepsilon'' = -y \frac{\partial^2 v''}{\partial x^2}; \quad \varepsilon = -y \frac{\partial^2 v}{\partial x^2} \\ \dot{\varepsilon}' &= -y \frac{\partial^2 \dot{v}'}{\partial x^2} = \frac{\dot{\sigma}}{E}; \quad \dot{\varepsilon}'' = -y \frac{\partial^2 \dot{v}''}{\partial x^2} = \frac{\dot{\sigma}}{\lambda} \end{aligned} \quad (9.101)$$

$$\dot{\varepsilon} = \dot{\varepsilon}' + \dot{\varepsilon}'' = -y \frac{\partial^2 \dot{v}}{\partial x^2} = \frac{1}{E} \left( \dot{\sigma} + \frac{\sigma}{\tau_r} \right); \quad \tau_r = \frac{\lambda}{E}.$$

Din condițiile de echivalență a efortului din secțiune rezultă:

$$\int \sigma y dA = M; \quad \int \dot{\sigma} y dA = \dot{M}; \quad \text{prin definiție } I = \int y^2 dA.$$

Făcînd în aceste expresii înlocuirile și ținînd seamă că derivata momentului încovoiator este forța tăietoare  $T$ , se poate scrie:

$$M = -EI \frac{\partial^2 v}{\partial x^2} = -\lambda I \frac{\partial^2 v''}{\partial x^2} \quad (9.102)$$

$$EI \frac{\partial^2 \dot{v}}{\partial x^2} = -\dot{M} - \frac{M}{\tau_r} \quad (9.103)$$

$$EI \frac{\partial^3 \dot{v}}{\partial x^3} = -\frac{\partial}{\partial x} \left( \dot{M} + \frac{M}{\tau_r} \right) = -\dot{T} - \frac{T}{\tau_r} \quad (9.104)$$

$$EI \frac{\partial^4 \dot{v}}{\partial x^4} = -\frac{\partial}{\partial x} \left( \dot{T} + \frac{T}{\tau_r} \right) = \dot{p} + \frac{p}{\tau_r}. \quad (9.105)$$

Pornind de la ecuația de stare (9.101) care poate fi scrisă sub forma:

$$\dot{\varepsilon}' + \frac{\varepsilon'}{\tau_r} = \dot{\varepsilon} \quad (9.106)$$

și aplicînd soluția generală (9.3) se poate scrie:

$$\varepsilon' = \varepsilon - \frac{t}{\tau_r} \left[ \varepsilon(0) + \int_0^t \dot{\varepsilon} e^{\frac{t}{\tau_r}} dt \right] = \varepsilon - \frac{e^{-\frac{t}{\tau_r}}}{\tau_r} \int_0^t \dot{\varepsilon} e^{\frac{t}{\tau_r}} dt \quad (9.107)$$

în care  $\varepsilon' = \varepsilon'(t)$ ,  $\varepsilon = \varepsilon(t)$ , iar  $\varepsilon(0)$  este deformarea inițială totală (la  $t = 0$ ). Dacă inițial nu există o deformare permanentă  $\varepsilon''$ , atunci deformarea inițială este egală cu cea elastică.

În mod asemănător poate fi determinată și expresia momentului încovoiator pornind de la ecuația diferențială (9.103) care apoi este egalată cu (9.102)

$$M = -EI \left( \frac{\partial^2 v}{\partial x^2} - \frac{e^{-\frac{t}{\tau_r}}}{\tau_r} \int_0^t \frac{\partial^2 v}{\partial x^2} e^{\frac{t}{\tau_r}} dt \right) = -EI \frac{\partial^2 v'}{\partial x^2}. \quad (9.108)$$

Integrînd această expresie se obține:

$$v' = v - \frac{e^{-\frac{t}{\tau_r}}}{\tau_r} \int_0^t v e^{\frac{t}{\tau_r}} dt = -\frac{1}{EI} \left[ \int dx \int M dx + C_1 x + C_2 \right].$$

Valorile constantelor  $C_1$  și  $C_2$  se determină din condițiile inițiale; ele sînt dependente de timp.

Deformarea permanentă  $v''$  se determină imediat

$$v'' = v - v' = \frac{e^{-\frac{t}{\tau_r}}}{\tau_r} \int_0^t v e^{\frac{t}{\tau_r}} dt. \quad (9.109)$$

Derivînd în raport cu timpul se obține:

$$\dot{v}'' = \frac{v'}{\tau_r}$$

precum și

$$v'' = v''(0) + \frac{1}{\tau_r} \int_0^t v' dt. \quad (9.110)$$

Ecuația diferențială fundamentală (9.103) prezintă două cazuri particulare:

grinda pur elastică

$$EI \frac{\partial^4 v}{\partial x^4} = p; \quad (9.111)$$

grinda pur viscoasă

$$\lambda I \frac{\partial^4 v}{\partial x^4} = p, \quad (9.112)$$

din care rezultă un aspect particular al analogiei visco-elastice amintite în paragraful precedent, și anume că o grindă viscoasă sub o sarcină permanentă  $p$  independentă de timp se deformează cu o viteză  $\dot{v}$  care este proporțională cu săgeata  $v$  a unei grinzi alcătuite dintr-un material perfect elastic având aceleași dimensiuni și aceleași condiții de rezemare.

Dacă bara începe să se deformeze de la poziția inițială încărcată, săgeata  $v$  poate fi determinată pornind de la una din următoarele expresii:

$$EI \frac{\partial^2 v}{\partial x^2} = -M - \frac{1}{\tau_r} \int_0^t M dt \text{ sau } EI \frac{\partial^4 v}{\partial x^4} = p + \frac{1}{\tau_r} \int_0^t p dt. \quad (9.113)$$

Presupunem că grinda este menținută deformată și după îndepărtarea forțelor; îi sînt deci impuse unele deformații. În acest caz,  $\dot{v} = 0$  și din ecuația (9.103) rezultă:

$$\tau_r \dot{M} + M = 0 \text{ sau } M = M_1 e^{-\frac{t}{\tau_r}}. \quad (9.114)$$

În cazul deformației impuse, momentul încovoietor și în consecință eforturile unitare normale scad tinzînd către 0; după trecerea unui timp suficient de lung, grinda rămîne deformată chiar dacă sînt îndepărtate legăturile care mențineau deformația impusă; a apărut relaxarea care a transformat deformația elastică într-o deformație permanentă.

Pentru a exemplifica, examinăm cazul unei grinzi încăstrate alcătuite dintr-un material visco-elastic încărcată cu o forță concentrată, de intensitate variabilă  $P = P(t)$  la capăt \* (fig. 9.43).

\* După A. Nădai: „Theory of Flow and Fracture of Solids”.

Momentul încovoietor într-o secțiune este  $M = -Px$

$$\frac{\partial^2 v}{\partial x^2} = \frac{\partial^2 v}{\partial x^2 \partial t} = \left( \dot{P} + \frac{P}{\tau_r} \right) \frac{x}{EI}.$$

După integrarea (de două ori în raport cu  $x$  și o dată cu  $t$ ) în care s-a presupus că la  $t = 0$ ,  $P = 0$  și  $v = 0$

$$v = \left( P + \frac{1}{\tau_r} \int_0^t P dt \right) \frac{x^3}{6EI} + \varphi_1 + \varphi_2 x$$

în care  $\varphi_1$  și  $\varphi_2$  sînt două funcții arbitrare de  $t$ .

Pentru a simplifica se notează:

$$P^* = P + \frac{1}{\tau_r} \int_0^t P dt.$$

Din condițiile de deformare rezultă:

$$x = 0; \quad v = f = \varphi_1 \text{ și } x = l; \quad v = 0; \quad \frac{\partial v}{\partial x} = 0$$

$$\varphi_1 = f = \frac{P^* l^3}{3EI}; \quad \varphi_2 = -\frac{P^* l^2}{2EI}.$$

Se regăsesc aceleași expresii ca în domeniul elastic cu deosebire că locul forței  $P$  permanente este luat de  $P^*$ .

Ecuația fibrei medii deformată este:

$$v = fF(x) = f \left( \frac{x^3}{2l^3} - \frac{3x}{l} + 1 \right) = (f' + f'')F(x)$$

în care deformația totală a grinzii s-a despărțit în două părți: elastică și viscoasă

$$v' = f'F(x), \quad f' = \frac{Pl^3}{3EI};$$

$$v'' = f''F(x), \quad f'' = \frac{Pl^3}{\tau_r 3EI} \int_0^t P dt.$$

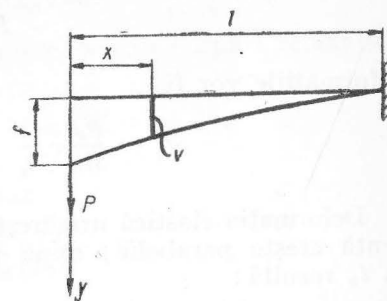


Fig. 9.43

În cazul că forța este constantă, deformația permanentă  $f''$  crește proporțional cu timpul de încărcare.

Dacă intensitatea forței  $P$  crește proporțional cu timpul

$$P = \frac{P_0}{t_0} t$$

deformațiile vor fi

$$f' = \frac{P_0 l^3}{3EI} \cdot \frac{t}{t_0} \quad \text{și} \quad f'' = \frac{P_0 l^3}{6EI} \cdot \frac{t^2}{t_0 \tau_r}.$$

Deformația elastică urmărește creșterea forței; deformația permanentă crește parabolic; după trecerea unui interval de timp egal cu  $t_0$  rezultă:

$$P = P_0; \quad f'_0 = \frac{2\tau_r}{t_0} f''_0 = \frac{P_0 l^3}{3EI}.$$

### 9.10.3. Încovoierea grinzilor static nedeterminate

Presupunem o grindă static nedeterminată pe două deschideri egale, încărcată cu două forțe concentrate, alcătuită dintr-un material relaxabil a cărui ecuație de stare în cazul unei stări de tensiune uniformă, conform relației (9.16) este:

$$\dot{\epsilon} = \frac{\dot{\sigma}}{E} + \frac{\sigma}{\lambda}.$$

Pentru a formula ecuația fibrei medii deformate în cazul grinzii încovoiate, facem o analogie între legea lui Hooke și ecuația fibrei medii deformate pentru un corp perfect elastic:

$$\epsilon = \frac{\sigma}{E}; \quad \frac{\partial^2 v}{\partial x^2} = -\frac{M}{EI}.$$

Termenii corespunzători în cele două expresii sînt:

- efortul unitar  $\sigma \rightarrow$  momentul încovoietor redus  $\frac{M}{I}$ ;
- lungirea specifică  $\epsilon \rightarrow$  curbura  $\frac{\partial^2 v}{\partial x^2}$ ;
- modulul de elasticitate  $E \rightarrow$  modulul de elasticitate  $E$ .

Extinzînd analogia asupra celorlalți termeni din expresia (9.16)

- vitezei de deformare  $\dot{\epsilon}$  îi va corespunde  $\frac{\partial}{\partial t} \left( \frac{\partial^2 v}{\partial x^2} \right)$ ;
- vitezei de încărcare  $\dot{\sigma}$  i va corespunde  $-\frac{1}{I} \frac{\partial M}{\partial t}$ .

Ecuația diferențială a fibrei deformate pentru corpuri relaxabile va deveni:

$$\frac{\partial}{\partial t} \left( \frac{\partial^2 v}{\partial x^2} \right) = -\frac{M}{\lambda I} - \frac{1}{EI} \frac{\partial M}{\partial t}$$

care ordonată poate fi scrisă sub forma:

$$\frac{\partial M}{\partial t} + \frac{E}{\lambda} M + EI \frac{\partial}{\partial t} \left( \frac{\partial^2 v}{\partial x^2} \right) = 0.$$

În această expresie apare timpul de relaxare  $\tau_r = \frac{\lambda}{E}$  astfel încît ecuația se va scrie sub forma:

$$\frac{\partial M}{\partial t} + \frac{M}{\tau_r} + EI \frac{\partial}{\partial t} \left( \frac{\partial^2 v}{\partial x^2} \right) = 0. \quad (9.115)$$

Această ecuație este de același tip cu ecuația dată în expresia (9.10), astfel, încît soluția ei va fi:

$$M = e^{-\frac{t}{\tau_r}} \left[ M_0 + EI \int_0^t e^{\frac{t}{\tau_r}} \frac{\partial}{\partial t} \left( \frac{\partial^2 v}{\partial x^2} \right) dt \right]. \quad (9.116)$$

Un caz particular este cel al unei deformații impuse, de exemplu prin tasarea reazemelor marginale. În acest caz apar solicitări suplimentare; dacă în cazul reazemelor de același nivel diagrama momentului încovoietor avea ca linie de referință dreapta  $I$  (fig. 9.44) tasarea

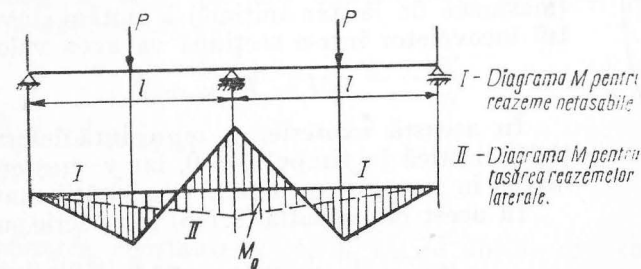


Fig. 9.44

reazemelor marginale (echivalentă cu ridicarea reazemului central) are ca efect introducerea unui moment  $M_0$ , care coboară linia de referință în diagrama momentelor încovoietoare pe linia frântă  $II$ ; ca urmare, momentele pozitive scad, în timp ce momentele negative cresc (în valoare absolută). La grinzile alcătuite din materiale perfect elastice, noua diagramă de momente se păstrează indefinit.

În cazul grinzii alcătuite dintr-un material relaxabil, este valabilă ecuația (9.116) în care integrala se anulează, deoarece datorită deformăției impuse prin tratare, curbura nu mai variază în timp:

$$\frac{\partial}{\partial t} \left( \frac{\partial^2 v}{\partial x^2} \right) = 0.$$

Momentul încovoietor are ca expresie:

$$M = M_0 e^{-\frac{t}{\tau}}.$$

Din această expresie rezultă că eforturile suplimentare, apărute ca urmare a tasării reazemelor, se reduc cu timpul, tinzând către anularea lor totală. Înseamnă că, în cazul tasării reazemelor, la materialele relaxabile trecerea timpului favorizează construcția prin reducerea eforturilor suplimentare.

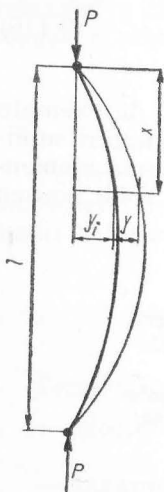


Fig. 9.45

#### 9.10.4. Încovoierea barelor comprimate excentric

Presupunem o bară cu o curbură inițială mică, alcătuită dintr-un material relaxabil (fig. 9.45) supusă acțiunii unei forțe de compresiune  $P$ . Notăm cu  $y_i$  ordonatele axei barei. Pe măsura trecerii timpului, curbura barei se va mări; ordonatele axei deformată (măsurate de la axa inițială) le notăm cu  $y$ . Momentul încovoietor într-o secțiune va avea valoarea:

$$M = P (y_i + y).$$

În această expresie,  $y_i$  reprezintă deformăția inițială elastică la timpul  $t = 0$ , iar  $y$  creșterea deformăției în timp, ca urmare a viscozității materialului.

În acest caz ecuația (9.115) se va scrie sub forma:

$$P \frac{\partial y}{\partial t} + \frac{P}{\tau_r} (y_i + y) + EI \frac{\partial}{\partial t} \left( \frac{\partial^2 y}{\partial x^2} \right) = 0.$$

Notînd  $p^2 = \frac{P}{EI}$ , ecuația devine

$$\frac{\partial}{\partial t} \left( \frac{\partial^2 y}{\partial x^2} \right) + p^2 \left( \frac{\partial y}{\partial t} + \frac{y}{\tau_r} \right) = -p^2 \frac{y_i}{\tau_r}. \quad (9.117)$$

Ecuația fără partea dreaptă are ca soluție produsul a două funcții  $X(x)$  și  $T(t)$ , în care  $X$  este numai funcție de  $x$ , iar  $T$  numai funcție de  $t$ . Efectuînd operațiile indicate de ecuația (9.117) (fără partea dreaptă), se obțin expresiile:

$$y = X(x) T(t); \quad \frac{\partial}{\partial t} \left( \frac{\partial^2 y}{\partial x^2} \right) = \frac{\partial^2 X}{\partial x^2} \cdot \frac{\partial T}{\partial t}; \quad \frac{\partial y}{\partial t} = X \frac{\partial T}{\partial t}; \quad \frac{y}{\tau_r} = \frac{X T}{\tau_r}$$

care, înlocuite în ecuația (9.117) (fără partea dreaptă) dau:

$$\frac{\partial^2 X}{\partial x^2} \cdot \frac{\partial T}{\partial t} + p^2 X \frac{\partial T}{\partial t} = -\frac{p^2}{\tau_r} X T$$

sau împărțind cu  $X T$ :

$$\frac{1}{T} \cdot \frac{\partial T}{\partial t} \left( \frac{1}{X} \frac{\partial^2 y}{\partial x^2} + p^2 \right) = -\frac{p^2}{\tau_r}. \quad (9.118)$$

Termenul din dreapta este constant: ecuația (9.118) poate fi satisfăcută dacă fiecare factor al produsului este constant. Această condiție este satisfăcută în cazul cînd:

$$T = e^{\frac{at}{\tau}} \text{ și } X = A \cos ax + B \sin ax.$$

Soluția generală a ecuației (9.118) se obține sub forma unei serii:

$$y = \sum_{n=1}^{\infty} e^{\frac{\alpha_n t}{\tau_r}} (A_n \cos a_n x + B_n \sin a_n x). \quad (9.119)$$

Parametrii  $\alpha_n$  și  $a_n$  nu sînt independenți, ci legați prin relația (9.118), din care se obține:

$$\frac{\alpha_n}{\tau_r} (p^2 - a_n^2) = -\frac{p^2}{\tau_r}$$

de unde rezultă relația:

$$\alpha_n = \frac{p^2}{a_n^2 - p^2}. \quad (9.120)$$

Determinarea constantelor  $A_n$  și  $B_n$  se obține din condițiile în care se produce deformarea. Pentru  $x = 0$  și  $x = l$  independent de timp  $y = 0$ .



Pentru  $x = 0$  și  $y = 0$ , rezultă că toți termenii  $A_n$  sînt nuli  $A_n = 0$ .

Pentru  $x = l$  și  $y = 0$ , rezultă:  $a_n = \frac{n\pi}{l}$ .

Soluția ecuației omogene (fără partea dreaptă) este deci:

$$y(x, t) = \sum_{n=1}^{\infty} e^{\alpha_n \frac{t}{\tau}} B_n \sin \frac{n\pi x}{l}. \quad (9.121)$$

Valoarea parametrului  $\alpha_n$  se obține din relația (9.120):

$$\alpha_n = \frac{p^2}{a_n^2 - p^2} = \frac{\frac{P}{EI}}{\frac{\pi^2 n^2}{l^2} - \frac{P}{EI}} = \frac{\frac{P}{EI}}{\frac{P_{fl,n}}{EI} - \frac{P}{EI}} = \frac{1}{\frac{P_{fl,n}}{P} - 1}. \quad (9.122)$$

În această expresie s-a notat cu  $P_{fl,n}$  sarcina critică de flambaj în domeniul elastic:

$$P_{fl,n} = \frac{\pi^2 n^2 EI}{l^2}.$$

Dacă ecuația fibrei medii deformate în momentul  $t = 0$  (în absența forței) este de forma:

$$y_i(x) = \sum_{n=1}^{\infty} y_n \sin \frac{n\pi x}{l}. \quad (9.123)$$

Deformația totală  $y_t = y_i + y$  poate fi determinată în orice punct, înmulțind ordonata inițială cu un factor de multiplicare. Shanley\* arată că acest factor este:

$$k = \frac{1}{1 - \frac{P}{P_{fl}}}$$

Rezultă deci că:

$$y_{el} = y(x, 0) = \sum_{n=1}^{\infty} \frac{y_n}{1 - \frac{P}{P_{fl,n}}} \sin \frac{n\pi x}{l}. \quad (9.124)$$

Această ecuație trebuie să coincidă cu ecuația (9.121). Identificînd termenii, rezultă (pentru  $t = 0$ ) că:

$$B_n = \frac{y_n}{1 - \frac{P}{P_{fl,n}}}$$

\* Strength of Materials p. 567.

Ecuația axei deformate este deci funcție de timp și are expresia:

$$y = \sum_{n=1}^{\infty} e^{\alpha_n \frac{t}{\tau}} \frac{y_n}{1 - \frac{P}{P_{fl,n}}} \sin \frac{n\pi x}{l} \quad (9.125)$$

în care:

$$\alpha_n = \frac{1}{\frac{P_{fl,n}}{P} - 1}.$$

Din cauza termenului prim, care este exponențial, seria este rapid convergentă. Luînd numai primul termen al seriei, rezultă că flambajul poate apărea înainte de încărcarea barei cu  $P_c = P_{fl,n}$ . Distrugerea nu se produce, riguros vorbind, din cauza pierderii stabilității barei, ci din cauza creșterii deformațiilor în timp. Încercările făcute de Ross pe bare de rășini fenolice cu un coeficient de subțirime  $\lambda_f = 75$  au dat rezultatele din diagrama reprezentată în fig. 9.46. După 30 ore de la încărcare (echivalent a circa 60 zile la betoane), flambajul s-a produs pentru încărcări cu circa 25% mai mici decît cele care produceau flambajul instantaneu.

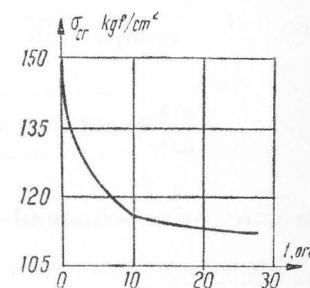


Fig. 9.46

#### 9.10.5. Comportarea arcelor pleoștite cu încărcare mare

Să presupunem (fig. 9.47) un arc dublu articulat. Într-o secțiune oarecare momentul încovoietor este:  $M = M^0 - Hy$ , în care cu  $M^0$  s-a notat momentul încovoietor al grinzii simplu rezemate de aceeași deschidere, încărcată cu aceeași sarcină în secțiunea situată la aceeași distanță de reazeme (măsurată pe orizontală) ca și arc, iar cu  $H$  împingerea arcului.

La arcele foarte pleoștite, deformația nu mai

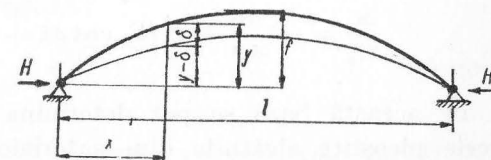


Fig. 9.47

poate fi neglijată în raport cu ordonata  $y$  a arcului. Momentul încovoietor va avea valoarea :

$$M = M^0 - H(y - \delta) = M^0 - Hy + H\delta.$$

După cum se vede, principiul suprapunerii efectelor nu mai este valabil. Ținând seamă de faptul că la arcele pleoștite curbura este mică, folosim ecuația diferențială a fibrei medii deformată a grinzii drepte :

$$\frac{d^2 \delta}{dx^2} = -\frac{M}{EI_c} = -\frac{M^0 - Hy}{EI_c} - \frac{H\delta}{EI_c}$$

în care cu  $I_c$  s-a notat momentul de inerție al arcului la cheie. Notînd  $c^2 = \frac{H}{EI_c}$ , ecuația diferențială se scrie sub forma :

$$\frac{d^2 \delta}{dx^2} + c^2 \delta = A + B\left(\frac{x}{l}\right) + \dots + N\left(\frac{x}{l}\right)^n = X\left(\frac{x}{l}\right) \quad (9.126)$$

în care prin polinomul  $X\left(\frac{x}{l}\right)$  s-a exprimat momentul încovoietor  $-\frac{M^0 - Hy}{EI_c}$ .

Soluția ecuației diferențiale (9.126) este :

$$\delta = C_1 \cos cx + C_2 \sin cx + F(x)$$

în care  $F(x)$  este un polinom de același ordin cu  $X\left(\frac{x}{l}\right)$ .

Momentul încovoietor va avea valoarea :

$$\frac{M}{EI_c} = -\frac{d^2 \delta}{dx^2} = c^2 (C_1 \cos cx + C_2 \sin cx) - \frac{d^2 F(x)}{dx^2}. \quad (9.127)$$

Pe această bază se pot determina momentele încovoietoare la arcele pleoștite alcătuite din materiale elastice. La aceste arce se determină așa-numita caracteristică a arcului prin produsul  $cl$  care

sintetizează subțirimea și încărcarea lui, așa cum rezultă din expresia următoare :

$$cl = l \sqrt{\frac{H}{EI_c}} = \frac{l}{i} \sqrt{\frac{H}{A}} = \frac{l}{i} \sqrt{\frac{\sigma_0}{E}} = \lambda_f \sqrt{\frac{\sigma_0}{E}} = \lambda_f e_0$$

în care cu  $\sigma_0$  s-a notat efortul unitar produs în secțiunea de la cheia de împingere  $H$ , socotită că acționează centric.

Luînd în considerare cele arătate, în tabelul care urmează se vede cum variază momentul încovoietor la sfertul unui arc parabolic cu pleoștirea  $\frac{F}{l} = \frac{1}{9}$ , încărcat cu o sarcină moartă  $g$  și cu o sarcină utilă  $p$  pe jumătate din deschidere.

$\frac{g}{p} =$	1	6	12	
$cl = 2$	0,021	0,023	0,028	$p l^2$
$cl = 5$	0,033	0,038	0,045	$p l^2$

În cazul materialelor relaxabile, deformația va crește cu timpul ; calculul se poate face ca pentru arcele alcătuite din materiale elastice, determinîndu-se eforturile după un anumit timp de existență a arcului. În acest caz, în locul modulului de elasticitate, se ia valoarea modulului de elasticitate aparent, determinat la pct. 9.2.6 (sub numele de modul de elasticitate instantaneu), și anume :

$$E' = \frac{E}{1 + \frac{t}{\tau_r}}$$

În acest caz, se pot folosi rezultatele pentru un arc alcătuit dintr-un material elastic, avînd caracteristica :

$$cl = \lambda_f e_0 \sqrt{1 + \frac{t}{\tau_r}}. \quad (9.128)$$

Se menționează că pentru deformația vîscoasă este importantă în primul rînd încărcarea permanentă a construcției.

## METODE STATISTICE ÎN MECANICA CONSTRUCȚIILOR

### 10.1. INTRODUCERE

Comportarea construcțiilor supuse la sarcini statice sau dinamice depinde de un șir de parametri întâmplători. Acești parametri pot fi grupați în trei categorii generale, și anume:

- 1) Parametri reflectând caracteristicile geometrice, de formă, ale elementelor construcției.
- 2) Parametri reflectând proprietățile fizico-mecanice ale materialelor din care sînt executate elementele construcției.
- 3) Parametri reflectînd solicitările, încărcările construcției.

Primele două categorii ilustrează „corpul”, iar cea de a treia „solicitarea”. Întreaga disciplină a Mecanicii construcțiilor urmărește raporturile dintre aceste categorii și legile lor.

În prima și cea de a doua categorie, factorii întâmplători care influențează parametrii sînt abaterile de la forma geometrică considerată în calcul și abaterile de la caracteristicile fizico-mecanice ale materialelor admise în calcul. În cea de a treia grupă, factorii întâmplători fi constituie: nerealizarea încărcărilor admise în calcul (de obicei depășiri) și în general toate influențele „exterioare” care nu au fost prinse în calcul, dar care acționează construcția în exploatare (inexactități de execuție și montaj, variații în timp ale unor deformări sau tensiuni interioare etc.).

Din experiența acumulată prin observarea acestor parametri întâmplători s-a ajuns la concluzia că anumite aspecte cantitative ale lor pot fi corelate cu unele frecvențe ale observării acestor valori. Astfel, abaterile de la valorile admise pentru caracteristicile fizico-mecanice ale materialelor de construcție oscilează în jurul unei valori medii caracteristice cu anumite frecvențe. Și sarcinilor la care sînt

supuse construcțiile li se pot asocia anumite frecvențe de apariție a intensităților lor sau a altor parametri întâmplători legați de ele.

Toate aceste constatări au făcut posibilă o fundamentare nouă a principiilor de calcul în Mecanica construcțiilor plecând de la teoria statisticii matematice.

Aplicarea metodelor statistice în mecanica construcțiilor este strâns legată și de concepția despre siguranța unei construcții.

În concepția clasică siguranța construcției este pusă în evidență de coeficientul de siguranță, determinat prin compararea în diferite elemente ale construcției a tensiunilor determinate prin calcul și a celor considerate limită. Dar acest fel de a rezolva problema nu dă o imagine clară asupra siguranței ansamblului și nu dă un răspuns la întrebarea: în tot timpul cât va dura exploatarea, construcția va suporta în bune condiții încărcările? La aplicarea metodelor statistice determinarea deformațiilor și a tensiunilor nu constituie pentru calcul decât o fază, necesară numai în măsura în care deformațiile și tensiunile pot da o măsură a siguranței ansamblului.

Statistica matematică și teoria probabilității se pot aplica la două grupe de probleme ale mecanicii construcțiilor, care pot fi formulate astfel:

1) Se dau solicitările exterioare (statice, dinamice) și parametrii de formă și fizico-mecanici ai elementelor construcției. Se cere a determina legea de distribuție a unor parametri care să ilustreze probabilitatea de producere a unei anumite stări a construcției precum: fisurare, deformații permanente, distrugere, după o anumită perioadă de exploatare; sau probabilitatea de a avea o anumită perioadă de exploatare sigură a construcției. Se mai poate pune problema de a stabili curbele de distribuție a unor parametri, cum sînt toleranțele de execuție sau limitele de încărcare, pentru a avea o siguranță dată.

2) Se dau rezultatele încercărilor de laborator ale materialelor și rezultatele unui șir de observații privind încărcările produse de sarcini utile, accidentale, climatice etc. și se cere determinarea curbelor de distribuție ale caracteristicilor materialelor și ale încărcărilor critice pe baza interpretării și prelucrării materialului experimental.

\*

\*

\*

Stabilirea de la început a măsurii siguranței pe care trebuie să o respecte o construcție în timpul exploatării este legată de o serie de elemente enumerate în continuare:

- gradul de cunoaștere a comportării materialelor;
- aproximațiile introduse prin ipotezele și metodele de calcul;

- aproximațiile în evaluarea încărcărilor;
- erorile de calcul posibile: mărimea și sensul lor;
- defectele de execuție posibile;
- amploarea pagubelor produse de o eventuală distrugere.

Toți acești factori au într-o măsură mai mare sau mai mică un caracter probabilistic, deci sînt susceptibili de a avea o curbă de distribuție.

Pentru ultimul factor particularitățile specifice au o importanță majoră și se poate mai greu stabili un criteriu general. Astfel, distrugerea unui baraj amplasat în amonte de o așezare omenească constituie o catastrofă, în timp ce ruperea cablului unui funicular forestier capătă aspectul unui accident de exploatare.

## 10.2. NOȚIUNI FUNDAMENTALE

În cele ce urmează se recapitulează conceptele de bază pentru înțelegerea aspectelor probabiliste ale Mecanicii construcțiilor.

Se numește *eveniment* rezultatul calitativ sau cantitativ al unei experiențe realizate în condiții perfect determinate.

Un eveniment se numește *cert* dacă el este inevitabil într-un complex dat de condiții și *imposibil* dacă în aceleași condiții nu poate avea loc. Dacă un eveniment într-un complex dat de condiții este posibil a apărea sau este posibil a nu apărea el va fi eveniment întâmplător sau aleatoriu.

Constatarea că un eveniment este întâmplător are importanță. De exemplu, limita de curgere a unui oțel se poate găsi prin încercare fie în intervalul  $2\,200 \text{ kgf/cm}^2 < \sigma_c < 2\,600 \text{ kgf/cm}^2$ , fie în intervalul  $3\,600 \text{ kgf/cm}^2 < \sigma_c < 4\,000 \text{ kgf/cm}^2$ . Rezultatele acestor determinări constituie evenimente întâmplătoare dar este evident că pentru același oțel elaborat în condiții controlate, nu există posibilitatea ca limita sa de curgere să apară, în urma încercării epruvetelor, tot atît de bine într-un interval sau altul. Măsura obiectiv matematică a unui eveniment întâmplător de a se produce se numește probabilitatea evenimentului.

Pentru a se putea aplica legile teoriei probabilităților este necesar ca evenimentul studiat să se observe în aceleași condiții, de un mare număr de ori, adică să aibă „caracter de masă”.

Fie  $n_A$  numărul de experimente în care își face apariția evenimentul  $A$ , iar  $n$  numărul total de cazuri (experimentate) observate.

Raportul  $f_A = \frac{n_A}{n}$  se numește frecvența evenimentului  $A$ . Dacă



se mărește numărul total de cazuri observate se constată că valoarea raportului  $\frac{n_A}{n}$ , adică frecvența, tinde către o oarecare valoare constantă, în jurul căreia oscilează cu o amplitudine cu atât mai mică cu cât numărul de experimente este mai mare.

Privind lucrurile în acest mod, la un mare număr de observații sau de probe ale evenimentului, frecvențele apar ca valori experimentale ale măsurii posibilității de a se produce evenimentul și în alte probe, deci o măsură a probabilității de apariție a sa.

Pornind de la strînsa legătură dintre frecvență și probabilitate von Mises a dat următoarea formulare pentru probabilitatea unui eveniment.

$$p = \lim_{n \rightarrow \infty} f_n$$

în care :

$p$  este probabilitatea evenimentului ;

$f_n$  — frecvența observată într-un număr  $n$  de probe, formulare care are meritul de a prezenta mai mult aspectul calitativ al problemei căci în general exprimarea funcției  $f_n$ , care ar conduce la aplicări practice este extrem de dificilă.

Probabilitatea evenimentului  $A$  se notează prin  $P(A)$ . Observînd că numărul  $n_A$  al observațiilor (experimentelor) în care se observă evenimentul  $A$  se găsește cuprins între :

$$0 < n_A \leq n$$

ajungem la concluzia că probabilitatea  $\frac{n_A}{n} = P(A)$  va fi cuprinsă între :

$$0 \leq P(A) \leq 1 ;$$

limita inferioară corespunde imposibilității, iar cea superioară certitudinii.

Să examinăm două evenimente incompatibile  $A$  și  $B$  adică evenimente care nu pot apărea simultan în rezultatul unui experiment, adică fie că se produce evenimentul  $A$ , fie evenimentul  $B$ . Dacă la repetarea experimentului de  $n$  ori, evenimentul  $A$  se prezintă de  $n_A$  ori, iar evenimentul  $B$  de  $n_B$  ori, atunci frecvența evenimentului  $(A + B)$ , adică a aceluia în care apare fie  $A$ , fie  $B$ , va fi :

$$\frac{n_A + n_B}{n} = \frac{n_A}{n} + \frac{n_B}{n} \quad (10.1)$$

ținînd seama de definiția probabilității s-a ajuns la teorema însumării probabilităților :

$$P(A + B) = P(A) + P(B). \quad (10.2)$$

Această teoremă se poate ușor generaliza pentru un număr oarecare de evenimente.

Să examinăm acum două evenimente  $A$  și  $B$ , din care evenimentul  $A$  se poate realiza numai dacă evenimentul  $B$  a avut loc. Fie  $n_{AB}$  numărul aparițiilor simultane a evenimentelor  $A$  și  $B$  ; atunci, față de cele enunțate :  $n_{AB} = n_A$  (de cîte ori apar  $A$  și  $B$  ca evenimente, apare și  $A$ ). Rezultă :

$$\frac{n_{AB}}{n} = \frac{n_A}{n_B} \cdot \frac{n_B}{n} \quad (10.3)$$

și de aici concluzia că :

$$P(AB) = P(A/B) \cdot P(B)$$

în care :

$P(AB)$  este probabilitatea apariției simultane a evenimentelor  $A$  și  $B$  ;

$P(A/B)$  — probabilitatea apariției evenimentului  $A$ , în condiția apariției evenimentului  $B$  (probabilitate condiționată).

Formula stabilită se numește formula probabilității totale.

Dacă evenimentele  $A$  și  $B$  sînt independente, adică dacă apariția unuia din ele nu depinde de apariția celuilalt atunci  $P(A/B) = P_A$  și formula capătă aspectul :

$$P(AB) = P(A) \cdot P(B).$$

Această formulă ilustrează teorema înmulțirii probabilităților evenimentelor independente : probabilitatea apariției simultane a două evenimente independente este egală cu produsul probabilităților lor. Formula se poate generaliza pentru cazul unui număr oarecare de evenimente independente :

$$P(A_1 A_2 \dots A_n) = P(A_1) \cdot P(A_2) \dots P(A_n). \quad (10.4)$$

Dacă se cere să se determine probabilitatea de apariție de  $m$  ori a evenimentului  $A$  într-un număr  $n$  de probe, în care poate să apară

în oricare probă cu probabilitatea  $p$ , independent de numărul probei și independent de rezultatul celorlalte probe, se demonstrează că ea este egală cu:

$$p_n^m(A) = C_n^m p^m \cdot q^{n-m} \quad (10.5)$$

în care  $q$  este probabilitatea ca evenimentul să nu aibă loc, adică

$$q = (1 - p).$$

### 10.3. MĂRIMI ALEATORII ȘI CARACTERISTICILE DISTRIBUȚIEI LOR

Să presupunem că un eveniment aleatoriu constă în determinarea unei mărimi a cărei valoare este  $X$ : această determinare poate da ca rezultat valori diferite  $x$ , cuprinse în intervalul  $-\infty \leq x < +\infty$ . O astfel de mărime se numește aleatorie. Proprietățile probabilistice ale unei mărimi aleatorii  $X$  pot fi determinate cu ajutorul funcției de distribuție  $F(x)$  care dă mărimea probabilității de a găsi pentru evenimentul  $X$  o valoare anumită  $X < x$

$$P(X < x) = F(x).$$

Din această definiție a funcției  $F(x)$  rezultă că  $F(-\infty) = 0$ , căci probabilitatea ca valoarea găsită în măsurare pentru mărimea  $X$  să fie mai mică decât  $x = -\infty$  este nulă și  $F(\infty) = 1$ , deoarece probabilitatea ca valoarea găsită să se găsească sub  $x = +\infty$  este o certitudine.

Dacă mărimea aleatorie  $X$  poate lua numai valori discrete  $x_1, x_2, \dots$ , atunci distribuția se numește discretă și apare ca în fig. 10.1. Funcția crește în trepte.

Ca exemplu de distribuție discretă poate fi luată distribuția numerelor  $m$  ale apariției evenimentului într-un număr de  $n$  experimentări independente. Numărul  $m$  poate lua toate valorile întregi de la 0 la  $n$  iar probabilitatea de a avea  $m$  apariții se determină cu formula:

$$p_n^m(A) = C_n^m p^m q^{n-m}. \quad (10.6)$$

De aici rezultă:

$$F(x) = \begin{cases} 0 & \text{pentru } x \leq 0 \\ C_n^m p^m q^{n-m} & \text{pentru } 0 \leq x \leq n \\ 1 & \text{pentru } x > n. \end{cases}$$

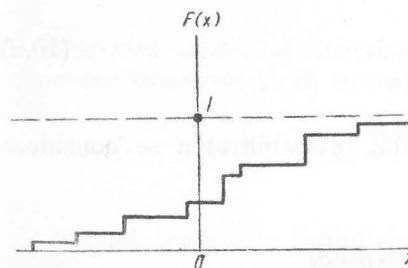


Fig. 10.1

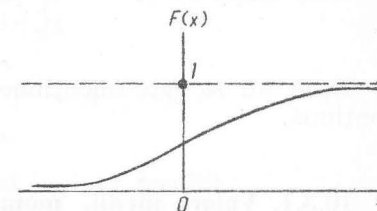


Fig. 10.2

Această lege de distribuție se numește binomială.

Dacă mărimea aleatorie  $X$  are o distribuție continuă (fig. 10.2), atunci derivata întâi a funcției distribuției probabilității există și poartă numele de densitate a probabilității  $p(x)$ :

$$p(x) = \frac{dF(x)}{dx}. \quad (10.7)$$

Legătura dintre densitatea probabilității și probabilitate este dată de relația:

$$p(x) = \lim_{\Delta x \rightarrow 0} \frac{P(x < X < x + \Delta x)}{\Delta x}. \quad (10.8)$$

Cu ajutorul funcției  $p(x)$  probabilitatea de a găsi mărimea  $X$  în intervalul infinit mic:  $x < X < x + dx$  poate fi pusă sub forma

$$P(x < X < x + dx) = p(x)dx.$$

iar probabilitatea de a găsi aceeași mărime în intervalul finit  $x_1 < X < x_2$  devine:

$$P(x_1 < X < x_2) = \int_{x_1}^{x_2} p(x) dx.$$

Probabilitatea de a găsi mărimea  $X$  în întregul interval  $-\infty \leq X \leq +\infty$  este egală evident cu unitatea (un eveniment cert). De aici se obține condiția de normare

$$\int_{-\infty}^{+\infty} p(x) dx = 1. \quad (10.9)$$

Dacă nu se face mențiune specială, probabilitatea se consideră continuă.

### 10.3.1. Valori medii, momente, dispersii

Să presupunem că în  $n$  experimentări mărimea aleatorie  $X$  a avut de  $n_1$  ori valoarea  $x_1$ , de  $n_2$  ori valoarea  $x_2$  și așa mai departe. Atunci valoarea medie aritmetică a acestei mărimi aleatorii va fi:

$$\bar{X} = \frac{\sum_{k=1}^m x_k n_k}{n} = \sum_{k=1}^m x_k \frac{n_k}{n}. \quad (10.10)$$

Să examinăm acum o funcție oarecare  $g(X)$  a unei mărimi aleatorii  $X$ . Pornind de la formula mediei aritmetice

$$\overline{g(X)} = \frac{\sum_{k=1}^m g(x_k) n_k}{n} = \sum_{k=1}^m g(x_k) \frac{n_k}{n}$$

și extinzînd se obține formula

$$\overline{g(X)} = \int_{-\infty}^{+\infty} g(x) p(x) dx. \quad (10.11)$$

### Valoarea medie

$$\bar{X}^n = \int_{-\infty}^{+\infty} x^n p(x) dx \quad (10.12)$$

se numește *moment de ordinul  $n$*  al mărimii aleatorii  $X$ . Momentul de ordinul doi constituie „media pătratică”:

$$\bar{X}^2 = \int_{-\infty}^{+\infty} x^2 p(x) dx. \quad (10.13)$$

Pătratul mediu al abaterii mărimii  $X$ , de la valoarea medie se numește dispersie și se notează cu  $D(X)$ :

$$D(X) = \overline{(X - \bar{X})^2} = \int_{-\infty}^{+\infty} (x - \bar{X})^2 p(x) dx. \quad (10.14)$$

Ținînd seama de formulele de mai înainte rezultă:

$$D(X) = \bar{X}^2 - (\bar{X})^2. \quad (10.15)$$

Valoarea pozitivă a rădăcinii pătrate a dispersiei se numește abatere medie pătratică sau standard

$$\sigma = \sqrt{D(X)}. \quad (10.16)$$

Dispersia și standardul sînt măsuri ale împrăstierii unei mărimi aleatorii în jurul valorii medii.

### 10.3.2. Distribuția normală

Printre distribuțiile teoretice ale mărimilor aleatorii, de un interes deosebit este distribuția normală sau a lui Gauss

$$p(x) = \frac{1}{\sigma \sqrt{2\pi}} e^{-\frac{(x-a)^2}{2\sigma^2}}; \text{ în care } a \text{ este media.} \quad (10.17)$$

Făcînd schimbarea de variabilă:

$$\frac{x-a}{\sigma} = u$$

se obține :

$$\int_{-\infty}^{+\infty} p(x) dx = \frac{1}{\sqrt{2\pi}} \int_{-\infty}^{+\infty} e^{-\frac{u^2}{2}} du. \quad (10.18)$$

Dar integrala din membrul doi este integrala lui Poisson

$$\int_{-\infty}^{+\infty} e^{-\frac{u^2}{2}} du = \sqrt{2\pi}$$

de unde se vede că condiția de normare :

$$\int_{-\infty}^{+\infty} p(x) dx = 1$$

este îndeplinită.

Analog se poate demonstra că :

$$\int_{-\infty}^{+\infty} x p(x) dx = a \int_{-\infty}^{+\infty} (x - a)^2 p(x) dx = \sigma^2. \quad (10.19)$$

Cu cât standardul  $\sigma$  este mai mare, cu atât este mai mare și abaterea mărimii aleatorii față de valoarea medie. Dacă  $a = 0$  atunci distribuția este simetrică (adică valorile pozitive și negative ale mărimii  $X$  au probabilități egale). Densitățile probabilității și funcțiile de distribuție calculate după legea lui Gauss sînt întabulate

$$\varphi(u) = \frac{1}{\sqrt{2\pi}} e^{-\frac{u^2}{2}}; \quad \Phi(u) = \frac{1}{\sqrt{2\pi}} \int_0^u e^{-\frac{u^2}{2}} du.$$

Cea de a doua expresie poartă numele de integrala erorilor sau funcția lui Gauss.

Funcția distribuției se exprimă cu ajutorul integralei erorilor, astfel :

$$F(x) = \frac{1}{2} + \Phi\left(\frac{x-a}{\sigma}\right). \quad (10.20)$$

Pentru probabilitatea ca mărimea aleatorie  $X$  să se găsească în intervalul  $x_1 \leq X \leq x_2$ , legea distribuției normate dă :

$$P(x_1 \leq X \leq x_2) = \Phi\left(\frac{x_2-a}{\sigma}\right) - \Phi\left(\frac{x_1-a}{\sigma}\right) \quad (10.21)$$

ceea ce decurge din relația

$$P(x_1 \leq X \leq x_2) = \int_{x_1}^{x_2} p(x) dx.$$

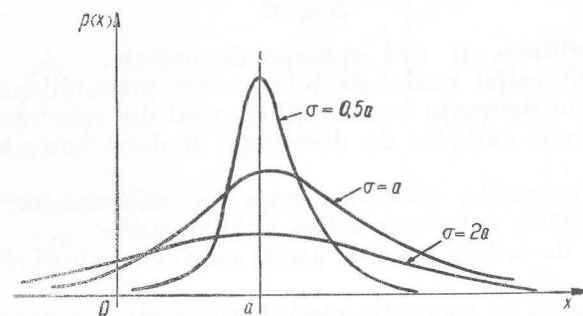


Fig. 10.3

Folosind tabele este ușor de calculat că probabilitatea de a găsi abaterea de la valoarea medie după o distribuție normală mai mare decât de două ori standardul este egală cu

$$1 - P(a - 2\sigma \leq X \leq a + 2\sigma) = 1 - 2\Phi(2,00) = 0,0456.$$

Pentru a găsi abaterea ce depășește de două sau de trei ori standardul, se obțin analog valorile : 0,00270 și 0,000064.

#### 10.4. APLICAȚII LA CALCULUL CONSTRUCȚIILOR

În întreg procesul de concepere a unei construcții se urmărește ca aceasta, în exploatare, să nu fie nici măcar o singură dată într-o stare limită neadmisibilă. Aceasta înseamnă a obține o asigurare sau o garanție în exploatare. Dacă ne limităm la o singură stare limită, pentru exemplificare, și anume aceea a capacității portante și dacă notăm cu  $S$  o măsură a solicitărilor exterioare, iar cu  $R$  o măsură a capacității de rezistență, atunci siguranța se poate exprima prin inegalitatea

$$S_{max} \leq R_{min}.$$



Dar  $S$  și  $R$  fiind mărimi aleatorii nu se poate aplica formula cu valorile extreme absolute așa cum este exprimată mai înainte, pentru că aceste valori nu se cunosc. Trebuie astfel studiate legile de distribuție ale parametrilor de care depind aceste două mărimi și pusă condiția ca pentru un interval în curbele de distribuție corespunzător condițiilor de exploatare să se realizeze condiția:

$$S \leq R$$

cu o probabilitate cât mai aproape de unitate.

Am stabilit astfel modul de interpretare probabilistic al problemelor legate de siguranța construcțiilor, mod din care rezultă necesitatea cunoașterii curbelor de distribuție a două categorii mari de parametri:

- ai proprietăților fizico-mecanice ale materialelor;
- ai sarcinilor exterioare adică ai încărcărilor.

Din punct de vedere statistic aceste mărimi aleatorii sînt independente.

Menționăm că în concepția clasică, siguranța era exprimată prin condiția:

$$S_n \leq \frac{R_n}{C}$$

în care:

$S_n$  este încărcarea de calcul a elementului (normată);

$R_n$  — capacitatea portantă limită (normată);

$C$  — un coeficient ilustrînd o măsură a siguranței și în care  $S_n$ ,  $R_n$  și  $C$  avînd valori perfect determinate nu pot avea decît caracterul unor valori medii față de valorile reale care au caracter aleatoriu.

#### 10.4.1. Curbele de repartiție a proprietăților fizico-mecanice ale materialelor

Se dau în continuare două curbe determinate prin încercări pentru două materiale de bază: oțelul de construcție marca OL 52 și betonul marca B 250 (fig. 10.4 și 10.5).

Ambele curbe au alura curbelor de distribuție normală.

Adoptarea acestei legi de distribuție ridică următoarele obiecții:

- distribuția normală nu este limitată nici inferior, nici superior;
- distribuția normală se întinde și în domeniul valorilor negative.

Din această cauză ramurile curbelor din zonele cu probabilități reduse se determină extrem de dificil; într-adevăr frecvența cazurilor din extremele curbelor fiind foarte mică este necesar adesea un număr de probe care depășește posibilitățile de experimentare. Dacă ne propunem să trasăm cu o siguranță de 90% porțiunile de curbă

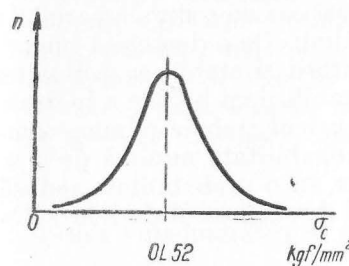


Fig. 10.4.

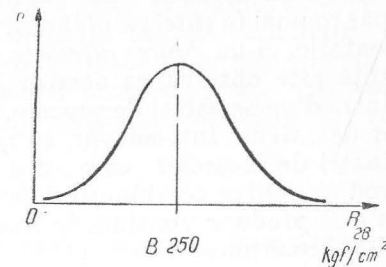


Fig. 10.5

corespunzătoare unor posibilități cuprinse între 0 și 0,001 pentru valorile inferioare ale limitei de curgere din exemplul de mai înainte, rezultă că va fi necesar să efectuăm un număr de probe de ordinul lui  $10^6$ .

#### 10.4.2. Curbele de repartiție a încărcărilor

Încărcările produse de greutatea proprie sau de unele sarcini utile se realizează cu o mare probabilitate, cu toate că în ultimă analiză au și ele caracter aleatoriu. Cu totul altfel se prezintă sarcinile accidentale: vînt, zăpadă, seisme. Față de curbele de distribuție ale proprietăților fizico-mecanice ale materialelor, aceste curbe prezintă unele deosebiri fundamentale (fig. 10.6 și 10.7)\*:

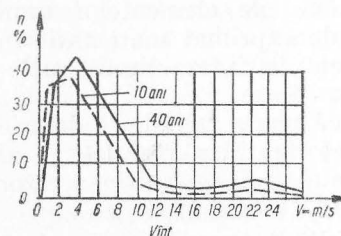


Fig. 10.6

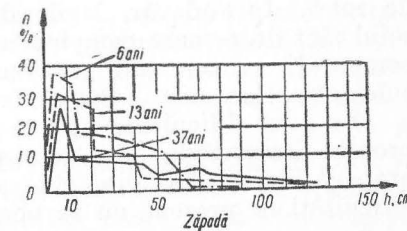


Fig. 10.7

\* După Bolotin.

— sînt asimetrice, ceea ce face imposibilă asimilarea lor cu curbe de distribuție normală;

— depind de mărimea intervalului în care s-au făcut observațiile.

Observațiile au arătat că deosebiri mari în curbele de distribuție se observă mai ales în ceea ce privește încărcarea produsă de zăpadă, o dată cu lărgirea intervalului de observare; valorile excepționale apar tocmai în intervalul lărgit. Avem în acest caz nu o simplă variabilă aleatorie, ci un *proces aleatoriu* funcție de timp. De o deosebită importanță este observarea acestor procese aleatorii și stabilirea corelației dintre diverse astfel de procese, în scopul stabilirii cu justete a ipotezelor de calcul. Într-adevăr, în ipotezele de calcul trebuie admise combinații de încărcări care au o anumită probabilitate minimă de a se produce. Orice combinații defavorabile care au o probabilitate redusă de a se produce vor duce în final la sporuri de secțiuni și deci la soluții neeconomice.

\*

\* \*

Bazată pe elementele expuse mai înainte s-a clădit o teorie statistică a deformației și ruperii solidelor privite ca un ansamblu statistic cu un mare număr de elemente primare. În metale, cristalele constituie aceste elemente, iar în beton granulele și interstițiile dintre ele. Dacă proprietățile mecanice ale acestor elemente sînt privite ca variabile aleatorii, atunci proprietățile întregului pot fi deduse din acestea dacă se cunosc:

— legile de distribuție ale proprietăților mecanice ale elementelor primare;

— legile care guvernează interacțiunile elementelor.

Dificultățile care rezultă însă, cînd se caută a clădi o teorie statistică practică, generală și unică pentru procesele deformațiilor plastice, ale curgerii lente și ale relaxării, ale ruperii fragile, sînt deosebit de mari. Într-adevăr, legile de interacțiune ale elementelor unui solid sînt de o mare complexitate și greu de exprimat matematic în comparație cu cele care guvernează, de exemplu, interacțiunea moleculelor gazelor.

O a doua dificultate survine din faptul că teoria trebuie să descrie procese ireversibile cum este procesul deformațiilor plastice și al propagării fisurilor din oboseala materialului. Din cauza acestor dificultăți în prezent nu se poate vorbi de o teorie încheată.

În ceea ce privește ruperea fragilă, Weibull a propus, ca primă aproximație, să se admită că rezistența întregului corp depinde de capacitatea de a rezista a celui mai slab element primar. Tot el pune

în evidență influența volumului corpului în cazul ruperii fragile și stabilește, ca și Frenkel și Kontorova, influența *factorului de scară*. După autorii citați ruperea fragilă este determinată de tensiunile locale unde se aglomerează cele mai grave defecte ale structurii materialului.

Apariția defectelor de structură, ca număr și gravitate, este un fenomen aleatoriu supunîndu-se unei anumite legi de distribuție. Cu cît corpul este mai mare, cu atît probabilitatea de a găsi puncte cu o aglomerare de defecte și deci cu slabă rezistență, este mai mare, antrenînd prin aceasta și o ridicată probabilitate a întregului corp de a suferi o rupere fragilă.

#### 10.5. CONSIDERENTE STATISTICE ASUPRA COEFICIENTULUI DE SIGURANȚĂ

Coeficientul de siguranță în concepția clasică cea mai generală este raportul  $\frac{R}{P}$  dintre solicitarea limită pe care o poate suporta

o structură înainte de a surveni distrugerea și solicitarea efectiv suportată în exploatare. Cu toate că astfel exprimat coeficientul de siguranță pare o noțiune simplă, clară, la o analiză mai profundă apar unele aspecte confuze, echivoce. Într-adevăr pentru o structură determinarea *certă* a valorii  $R$  nu se poate face decît direct, experimental, încărcînd-o progresiv, pînă se atinge distrugerea, căci pe altă cale decît cea directă, experimentală, o serie întregă de parametri necunoscuți nu pot fi prinși în calcul: defecte ale materialelor, dimensiunile riguros cunoscute ale tuturor părților componente etc.; și aceasta, chiar dacă admitem că am dispune de o metodă de calcul care să poată îmbrăca natura și comportarea structurii în studiu. Dacă în aceste condiții am cunoaște valoarea solicitării  $R$  s-ar putea determina, cunoscînd și valoarea solicitării  $P$ , coeficientul de siguranță real, într-un moment dat sub acțiunea lui  $P$ . Dar determinarea valorii  $R$  implică distrugerea structurii, ceea ce conduce la un rezultat care nu prezintă interes. De aici rezultă marea dificultate de a avea un coeficient de siguranță sigur, real.

Trebuie astfel să avem un coeficient de siguranță pe care să-l putem prevedea înainte de realizarea structurii și nu determinat la capătul existenței sale, coeficient care să poată influența concepția și realizarea proiectului.

Dar a prevedea implică cu necesitate o incertitudine, o probabilitate. De aici problema: în ce mod se poate determina valoarea lui  $R$

și  $P$  și cu ce probabilitate? Acest lucru se poate realiza pe următoarele căi potrivit accepțiunii care i se dă lui  $R$  și  $P$ :

Pentru determinarea valorii lui  $P$ :

1) Cu ajutorul metodelor de calcul ale mecanicii construcțiilor, plecând de la anumite solicitări exterioare.

2) Cu ajutorul metodelor tensometrice, când structura este executată. Pe aceeași cale se poate folosi și un model construit la scară redusă.

Pentru determinarea valorii lui  $R$ :

1) Determinând pe epruvete de forme anumite rezistența materialului din care urmează a se confecționa structura.

2) Confecționând un element identic cu cel care urmează a fi studiat și solicitându-l până la distrugere.

Atât determinarea lui  $P$  cât și a lui  $R$  așa cum au fost indicate mai înainte sînt susceptibile de critică. Într-adevăr: calculul conține pe lîngă ipoteze simplificatoare, aproximații datorită unor parametri neluați în considerare. Pe de altă parte, încercările pe un alt element decît cel în cauză lasă îndoieli asupra identității cu cel în studiu. De altminteri, nici solicitările exterioare măsurate la aceste încercări nu se poate admite că vor fi reproduse cu exactitate în altă împrejurare.

Totuși, repetînd determinările amintite mai înainte de un foarte mare număr de ori, se obțin o serie de valori ale lui  $R$ , respectiv  $P$ . Dacă aceste valori se raportează pe un grafic avînd în abscisă unitatea de măsură aleasă ( $\text{kgf/cm}^2$ ), iar în ordonată numărul de cazuri cînd acea valoare a fost atinsă, se obțin două curbe de frecvență ( $C_1$ ) și ( $C_2$ ) (fig. 10.8).

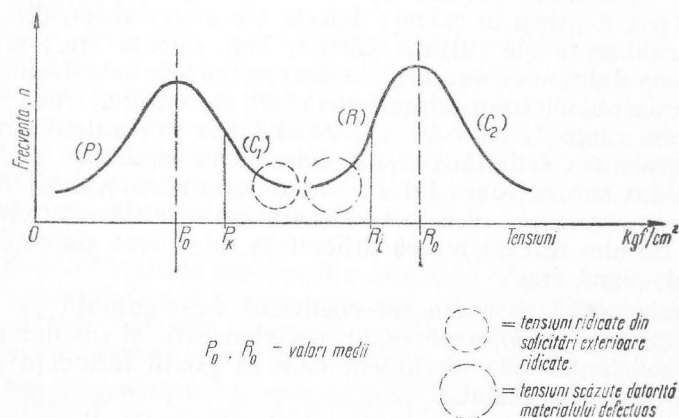


Fig. 10.8

Măsura siguranței unui element poate fi definită, față de cele expuse pînă acum, prin diferența dintre două valori oarecare ale lui  $P$  și  $R$ , adică

$$C = R_i - P_k;$$

- dacă valoarea  $R_i - P_k > 0$  există siguranță;
- dacă valoarea  $R_i - P_k < 0$  se produce distrugerea.

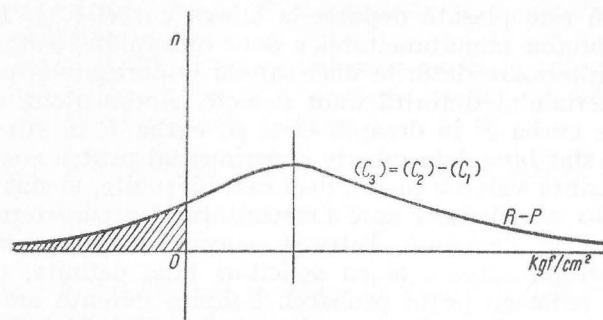


Fig. 10.9

Pentru a putea stabili unele elemente care să poată servi și în viitor, trebuie acum să facem o inducție cu toate implicațiile și criticile ce se pot aduce acestui fel de raționament. Sîntem nevoiți a admite că curbele de frecvențe stabilite experimental pot fi considerate și ca curbe de probabilitate. Adică vom induce că fenomenele observate, măsurate pînă în prezent, vor avea și în viitor aceeași frecvență și aceeași intensitate, dacă condițiile în care se produc fenomenele rămîn aceleași.

Dacă luăm acum ca variabilă aleatorie diferența  $R_i - P_k$  a două valori întîmplătoare ale lui  $R$  și  $P$ , putem trasa o curbă ( $C_3$ ). Porțiunea de arie închisă de curbă în stînga originii reprezintă probabilitatea totală ca  $R - P < 0$  deci riscul de distrugere (fig. 10.9).

Pentru a determina aria hașurată este necesar a se trasa curba ( $C_3$ ), lucru care se poate obține pe două căi:

a) Pe cale analitică; se admit pentru curbele ( $C_1$ ) și ( $C_2$ ) expresii analitice cît mai apropiate. Diferența se exprimă apoi ușor. Asemenea curbe sînt curbele Laplace—Gauss și curbele Pearson.

b) Pe cale empirică, atribuind fiecărei valori determinate experimental  $R_i$  o valoare  $P_k$ , la întîmplare și făcînd diferența  $R_i - P_k$ . Repetînd procedeul de un număr de ori se deduc valorile curbei ( $C_3$ ).



Ambele metode trebuie să conducă practic la același rezultat dacă numărul probelor este suficient de mare.

După cum este și normal, riscul de „distrugere” care poate fi acceptat la o construcție este foarte mic. Nu se poate accepta un risc de  $10^{-2}$  sau chiar  $10^{-3}$ . Trebuie menționat de asemenea că un risc mai mic de  $10^{-6}$  nu prezintă interes sau semnificație. Experiența arată că un risc de  $10^{-6}$  nu este luat în seamă chiar dacă este vorba de viața noastră. Aceasta înseamnă că oricum ar fi, măsura riscului care este aria hașurată este plasată departe la stînga curbei ( $C_3$ ). Dar distrugerea are la origine simultaneitatea a două întîmplări: o stare ridicată de tensiuni interioare datorite unei sarcini importante și o rezistență slabă a materialului datorită unor defecte. Aceste două cazuri sînt încercuite pe curba  $P$  în dreapta ei și pe curba  $R$  în stînga ei. Dar aceste curbe sînt bine determinate experimental pentru zonele centrale care reprezintă valorile medii, deci cele obișnuite, și sînt mai puțin bine sau chiar rău definite spre extremitățile lor care reprezintă cazuri excepționale, deci rare. Întrucît se consideră că se lucrează cu materiale corespunzătoare și cu solicitări bine definite, distrugerea apare ca un fenomen puțin probabil. Tehnica curentă are de a face cu valorile curente  $P_0$  și  $R_0$  pe curbele ( $C_1$ ) și ( $C_2$ ). Metoda obișnuită de a spori siguranța unei structuri este de a mări diferența dintre  $R$  și  $P$ , fie micșorînd solicitarea  $P_0$ , fie mărind caracteristica materialului  $R_0$ .

Fie cazul cînd răspîndirea solicitărilor este mică în jurul valorii medii  $P_0$ . Riscul de distrugere depinde atunci aproape exclusiv de ramura stîngă a curbei ( $C_2$ ) a lui  $R$  (fig. 10.10).

Pentru a spori siguranța există două posibilități, fie să deplasăm curba ( $C_2$ ) spre dreapta în ( $C_2'$ ), adică mărind valoarea medie  $R_0$  la  $R_0'$  dar lăsînd aceeași răspîndire, fie să lăsăm aceeași valoare medie

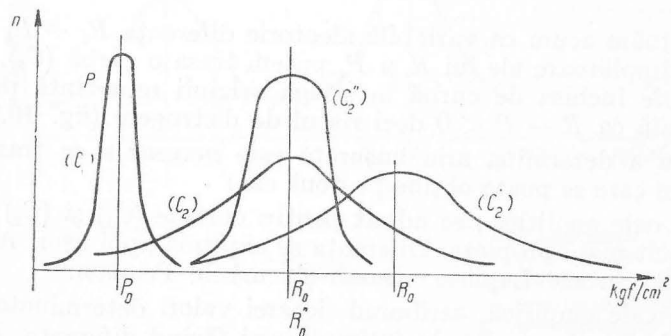


Fig. 10.10

$R_0$  dar să micșorăm răspîndirea, adică să adoptăm curba ( $C_2''$ ). Ambele procedee nu urmăresc în fond decît să deplaseze spre dreapta extremitatea stîngă a curbei ( $C_2$ ). De aici se vede că este avantajos de a mări siguranța printr-o mai mare regularitate a caracteristicilor materialului decît printr-o sporire a valorii medii a acestei caracteristici.

Pentru a arăta importanța celei de a doua căi, să luăm un exemplu concret. În practică, valoarea limită admisă pentru caracteristica unui material este valoarea medie  $R_0$  micșorată cu o valoare egală cu de cîteva ori abaterea medie.

Fie un beton B 300, deci cu valoarea medie la rupere a efortului unitar de  $300 \text{ kgf/cm}^2$ . Fie  $12\%$  abaterea medie; să admitem diminuarea cu de 5 ori această abatere:

$$R' = R_0 - 5 \times 0,12 R_0 = 300 - 5 \times 0,12 \times 300 = 120 \text{ kgf/cm}^2.$$

Să luăm un beton superior B 400 dar care are o răspîndire mai mare, avînd abaterea medie egală cu  $15\%$

$$R' = R_0 - 5 \times 0,15 \times R_0 = 400 - 5 \times 0,15 \times 400 = 100 \text{ kgf/cm}^2.$$

#### BIBLIOGRAFIE

1. Bolotin, V. V. *Statisticheskie metodî v stroitelnoi mehanike*. Moskva, Gosstroizdat, 1961.
2. L'Hermite, R. *L'expérience et les théories modernes en Résistance des Matériaux*. Ed. II, Paris, Dunod, 1945.



## EVOLUȚIA CONCEPTILOR ÎN CALCULUL CONSTRUCȚIILOR

### 11.1. GENERALITĂȚI. METODA REZISTENȚELOR ADMISIBILE

În capitolele precedente s-au prezentat rezultatele de laborator obținute, în ultima vreme, în ceea ce privește comportarea reală a principalelor materiale de construcție și s-au analizat unele aspecte ale problemelor teoretice legate de stabilirea eforturilor interioare în elementele de construcție, cu scopul de a interpreta cât mai corect experiența. S-au examinat, de asemenea, unele aspecte statistice ale problemelor legate de determinarea proprietăților mecanice ale materialelor de construcție și de determinarea încărcărilor exterioare care solicită construcțiile.

În cele ce urmează se vor examina pe scurt procedeele de calcul adoptate în țara noastră în ultimii ani, procedee care tind să reflecte concluziile ieșite din laborator și din practica constructorilor.

Pînă nu de mult, în domeniul proiectării principalelor tipuri de construcții, și anume a celor metalice, de beton armat și de lemn, era universal aplicată metoda *rezistențelor admisibile*, atît pentru dimensionarea secțiunilor cît și pentru verificarea lor. Principiul de bază al metodei, acela de a limita în orice punct al unui element de construcție eforturile unitare efective la o fracțiune din rezistența de curgere sau de rupere, a fost stabilit încă de la începutul secolului trecut de Navier care a admis în calculul construcțiilor comportarea elastică a materialelor. Metoda a cunoscut o extindere care a dominat aproape în exclusivitate concepția și calculul elementelor de construcție.

Ipoteza fundamentală a metodei de calcul bazată pe rezistențele admisibile constă în admiterea deformării elastice, total reversibile,

a materialelor, în domeniul solicitărilor de exploatare, cît și în proporționalitatea dintre eforturile unitare și deformațiile produse; (admiterea deci a legii lui Hooke). În plus, pentru anumite elemente de construcție, metoda admite în diferite cazuri de solicitare un anumit mod de deformare; de exemplu, în cazul barelor supuse la încovoiere pură se admite ipoteza secțiunilor plane.

Esența metodei constă, deci, în a porni de la o anumită solicitare exterioară și de la o stare de deformație admisă și a determina, pe baza legilor mecanicii, eforturile unitare în orice punct al elementului, eforturi care trebuie să rămînă în orice condiții de exploatare inferioare unei limite. Precizarea acestei limite este echivalentă cu alegerea unui *coeficient de siguranță* unic care să acopere toate abaterile de la ipotezele luate în considerație: abateri de la calitatea și comportarea materialului, de la încărcările admise, de la condițiile de exploatare, de la precizia de execuție propusă a se realiza etc. Relația care permite trecerea de la deformații la eforturi unitare este legea lui Hooke.

De la enunțarea primelor principii în secolul trecut și pînă în deceniul al treilea al secolului nostru metoda rezistențelor admisibile a stat la baza multiplelor și remarcabilelor realizări ale constructorilor de pe glob; a impulsat rapidă dezvoltare a construcțiilor metalice din a doua jumătate a secolului trecut, a furnizat primele procedee de calcul pentru noul material de construcție betonul armat și a contribuit la vertiginoasa sa dezvoltare.

În tot acest timp metoda rezistențelor admisibile a fost unanim acceptată și numai în ultimele decenii s-a ajuns la examinarea ei critică din ce în ce mai severă, iar în final chiar la înlocuirea ei.

Explicația acestui fapt constă în aceea că pentru perioada de timp amintită metoda satisfăcea cerințele în ceea ce privește volumul și anvergura lucrărilor vremii. Într-adevăr, elemente cum sînt șarpanțele sau podurile din acea vreme, de deschideri și încărcări relativ reduse, potrivit și materialelor de construcție de care se dispunea și care nu permiteau solicitări ridicate, nu puneau probleme speciale. În afara celei de bază: a rezistenței elementelor. În aceste condiții, metoda nu a condus la eșecuri care să dezvăluie erori în principiile ei. Pe de altă parte însă, anumite constatări și observații făcute în timp asupra unor construcții executate, nu puteau găsi explicații mulțumitoare la acea dată, atît datorită lipsei de date experimentale asupra comportării materialelor puse în cauză, cît și datorită lipsei unei teorii care, prin interpretarea noilor rezultate, să elucideze imperfecțiunile metodei.

Într-adevăr, construcții metalice în elementele cărora, potrivit metodei elastice de calcul, se produceau depășiri ale rezistențelor admisibile pînă la atingerea limitei de curgere, s-au dovedit a fi încă

apte de exploatare, distrugerea fiind departe de a se manifesta. Era și mai este cazul fermelor metalice considerate în calcul ca sisteme de bare articulate, cu toate că în realitate barele acestor construcții sînt încastrate elastic în guseele nodurilor, ceea ce conduce la dezvoltarea de eforturi unitare care pot depăși limita de curgere în gusee, fără a produce însă distrugerea fermei, ceea ce face să se tragă concluzia că există încă rezerve de rezistență pentru a asigura exploatarea.

Dezvoltarea construcțiilor de beton armat a furnizat noi exemple în sprijinul criticilor aduse metodei rezistențelor admisibile. Materiale ca: betonul, zidăria, betonul armat, inițial admise ca supunîndu-se legii lui Hooke, s-au dovedit a fi departe de a se comporta ca atare. În această privință este demn de a fi relevat un exemplu pe care îl citează E. Freyssinet din practica sa, interesant nu numai datorită faptului că fenomenele care l-au frapat se petreceau în anul 1911, ci și datorită faptului că constatările lui aveau să fie începuturile unor noi concepții asupra comportării reale a betonului și oțelului, culminînd cu crearea unor procedee revoluționare: ale betonului precompri-mat.

Este vorba de construcția podului de beton armat de peste râul Allier în Franța, denumit podul Veudre. Proiectul întocmit de E. Freyssinet comporta trei arce cu trei articulații, de deschideri; 63,75 m, 70,50 m, 63,75 m avînd pleostiri foarte pronunțate:

$$\frac{1}{14,80}, \frac{1}{13,35}, \frac{1}{14,80}.$$

Calculul fusese condus în conformitate cu circulara franceză pentru beton armat din anul 1906, care stabilea pentru un material nou și puțin cunoscut ca betonul, o valoare constantă a modulului de elasticitate. La cîteva luni de la terminarea lucrării și darea ei în exploatare, apar deformații, la început perceptibile doar la un examen atent, dar care se măresc zi de zi și care nu lăsau să se întrevadă alt final decît prăbușirea. Neputîndu-se constata nici o eroare de calcul sau de execuție, fenomenul trebuie interpretat ca o scădere lentă dar considerabilă a valorii modulului de elasticitate a betonului turnat, de la 1 la 1/4 și chiar la 1/5. Cu toate acestea, încercările pe cuburile de probă din betonul turnat, din care șantierul dispunea din belșug, arătau o creștere apreciabilă a rezistenței și a modulului de elasticitate. Trebuia admisă în fenomenele care își făceau apariția, o nouă variabilă, neglijată, funcție de eforturile interioare din beton care creșteau rapid prin mărirea deformațiilor arcelor.

Grava eroare s-a dovedit a rezida în modul de determinare în laborator a modulului de elasticitate al betonului. Într-adevăr, laboratorul din Paris se mulțumea să oprească încercarea probelor de beton

la valori reduse ale eforturilor unitare, de îndată ce determina panta în origine a curbei de deformare și deci și valoarea modulului admis constant. În momentul cînd a avut și dovada falsității acestei ipoteze admise în calcul, Freyssinet care avusese intuiția fenomenelor în prezența cărora se afla, a găsit imediat soluția: în cea mai mare grabă a restabilit cu ajutorul unor prese de descintrare, de concepție proprie, poziția inițială a arcelor, ceea ce a făcut să dispară o bună parte din sporul de eforturi interioare la care erau supuse arcele, iar apoi a suprimat și articulația de la cheie care producea tasarea arcelor. Podul a rezistat în perfecte condiții pînă la distrugerea lui în timpul războiului.

În esență, principalele obiecții aduse metodei rezistențelor admisibile sînt:

— admiterea fără rezerve a comportării elastice a materialelor și deci neglijarea comportării reale, reologice a lor;

— admiterea coeficientului de siguranță unic și deci neglijarea ponderii fiecărui factor care influențează comportarea construcției.

Datorită acestor imperfecțiuni, metoda da o imagine inexactă a comportării construcției în ansamblu și ascundea rezerva sa de capacitate portantă. Pe măsură ce stadiul cercetărilor de laborator și de teren avansa, s-a căutat să se corecteze în parte neajunsurile menționate mai înainte prin unele îmbunătățiri aduse metodei, cum ar fi: adoptarea unor coeficienți de siguranță diferențiați potrivit probabilității de a se produce a diferitelor combinații de ipoteze de încărcare, clasificate după criteriul probabilistic în: fundamentale, accidentale și extraordinare. De asemenea, s-a căutat să se țină seama și de natura solicitării: efort normal sau tangențial, de solicitare: locală sau generală, sau de gradul de precizie cu care se realizează un procedeu de construcție: sudură, nituire. Cu toate acestea, coeficientul de siguranță unic pentru o stare de încărcare a elementului de construcție nu poate ține seama diferențiat de variațiile de încărcări, sau mai ales de faptul că greutatea moartă și greutatea proprie a elementului fiind bine prinse în calcul (diferențe de cel mult 10%) nu au nevoie de o acoperire cu un coeficient de siguranță care variază între 1,8 și 3.

Iată un exemplu de acest fel\*:

Un stîlp solicitat excentric, executat dintr-un material omogen, face parte din structura de rezistență a unei construcții. Eforturile

\* Baldin, Goldenblat: „Calculul elementelor de construcții e pe baza stărilor limită” rad. din l. rusă), București, Editura tehnică, 1953.

unitare de întindere într-o secțiune, fără a ține seama de influența flambajului, trebuie să satisfacă condiția:

$$\sigma_{ef\ int} = \frac{N}{A} - \frac{M}{W} \leq \sigma_{a\ int} = \frac{\sigma_r\ int}{c} \quad (11.1)$$

sau

$$\sigma_r\ int = \frac{cN}{A} - \frac{cM}{W}; \quad (11.2)$$

în care:

- $N$  este forța axială care solicită stîlpul produsă de greutatea proprie, greutatea moartă, încărcarea utilă;
- $M$  — momentul încovoietor din secțiune produs de excentricitatea încărcării utile pe panourile planșeelor, vînt;
- $A$  — aria secțiunii;
- $W$  — modulul de rezistență;
- $\sigma_r\ int$  — rezistența de rupere la întindere;
- $c$  — coeficientul de siguranță unic.

Rezistența admisibilă la întindere se obține din relația (11.1).

Dacă în formula (11.2) valoarea forțelor axiale ar fi afectată de un coeficient de siguranță mai mic decît coeficientul de siguranță aplicat momentului încovoietor — lucru perfect justificat, deoarece probabilitatea abaterii de la ipoteza de încărcare a greutății proprii și moarte este mult mai mică decît probabilitatea abaterii sarcinilor utile de la aceleași ipoteze de încărcare sau cea a producerii de momente din deplasarea sarcinilor utile sau din vînt — atunci se poate demonstra că rezistența admisibilă la întindere are o valoare sporită.

Într-adevăr, dacă  $c$  este coeficientul de siguranță al forțelor axiale iar  $c_1 = c + K$  este coeficientul de siguranță al momentului încovoietor astfel încît  $c_1 > c$ , atunci

$$\frac{cN}{A} - \frac{(c + K)M}{W} = \sigma_r\ int$$

sau

$$\frac{cN}{A} - \frac{cM}{W} = \sigma_r\ int + \frac{KM}{W}$$

sau încă

$$\sigma_{a\ int} = \frac{N}{A} - \frac{M}{W} = \frac{\sigma_r + \frac{KM}{W}}{c} > \frac{\sigma_r}{c}$$

Invers, putem conchide că păstrînd un coeficient de siguranță unic pentru  $N$  și  $M$  sau se pot produce depășiri ale rezistențelor admisibile sau se adoptă dimensiuni prea acoperitoare și deci neeconomice.

## 11.2. METODA SARCINILOR LA RUPERE

Față de neajunsurile metodei clasice bazată pe rezistențele admisibile s-a căutat să se realizeze o relativă îmbunătățire a procedeele de calcul, introducîndu-se o nouă metodă, denumită *metoda sarcinilor la rupere*. Ea apărea ca rezultat al unor observații mai organizate și îndelungate a comportării materialelor și constituia un prim pas important în fundamentarea mai riguros științifică a principiilor de calcul. Noua metodă explică în bună parte fenomenele care nu putuseră fi lămurite pe baza ipotezei comportării elastice a materialelor admise de vechea teorie și ca urmare ține seama de starea plastică a acestora la limita de încărcare. Introducerea acestei noi metode s-a impus în primul rînd la calculul elementelor din beton, beton armat și zidărie, materiale care nu se supun legii lui Hooke, nici măcar în domeniul de încărcare cu sarcinile de exploatare.

Marele merit pentru elaborarea metodei de calcul la rupere, în domeniul betonului armat, pornind de la analiza proprietăților reale ale materialelor, și folosind un bogat material experimental, revine savanților sovietici. Într-adevăr, în anul 1932 profesorul V. Loleit își prezintă la Leningrad raportul său „Despre revizuirea teoriei betonului armat”, iar în anul 1938, proiectul de norme elaborat de profesorul A. A. Gvozdev capătă caracter oficial în calculul construcțiilor civile și industriale, U.R.S.S. fiind prima țară în lume care părăsește metoda rezistențelor admisibile. Ulterior, A. A. Gvozdev lărgeste aplicarea principiilor de calcul la rupere și la alte materiale de construcție: betonul simplu, zidăriile.

În esență, noua metodă se bazează pe:

- luarea în considerație a proprietăților plastice ale materialelor și a condițiilor reale de lucru ale construcțiilor;
- utilizarea coeficientului de siguranță unic, nediferențiat.

Noile criterii de calcul avînd cea mai mare aplicare în primul rînd în domeniul construcțiilor de beton și beton armat, vom ilustra expunerea în cele ce urmează cu exemple din acest domeniu, principiile fundamentale pentru elemente alcătuite din alte materiale de construcție fiind analoge.

Pentru înțelegerea acestei metode, este necesar în prealabil a defini o noțiune generală de care se face uz, aceea de *stare limită a unei*



construcții noțiune prin care se înțelege acea stare în care exploatarea ei normală, inițial prevăzută, încetează.

Cercetări ample de laborator asupra comportării betonului armat au condus la stabilirea unor studii principale de lucru, ilustrând proprietățile elastic plastice ale acestuia, funcție de intensitatea solicitării, și anume:

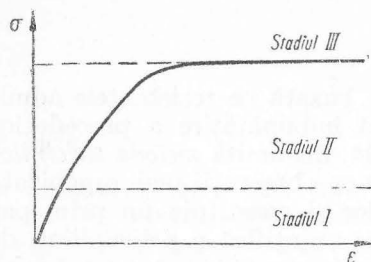


Fig. 11.1

Stadiul I: betonul se comportă elastic sau cvasi-elastic la încărcări de scurtă durată; nu apar fisuri în zonele supuse eforturilor de întindere. Oțelul se comportă elastic.

Stadiul II: betonul se comportă elasto-plastic; fisurează în zonele supuse la întindere. Oțelul se comportă elastic.

Stadiul III: betonul în stare plastică este pe punctul de a se distruge. Oțelul atinge limita de curgere; este stadiul de rupere a elementului.

Aceste trei stări prin care trece un element de beton armat pe măsură ce solicitarea exterioară crește se pot identifica în toate tipurile de solicitări: întindere, compresiune, încovoiere, torsiune. În fig. 11.1 este ilustrată într-o diagramă, relația deformații-eforturi unitare pentru o piesă de beton armat supusă la întindere.

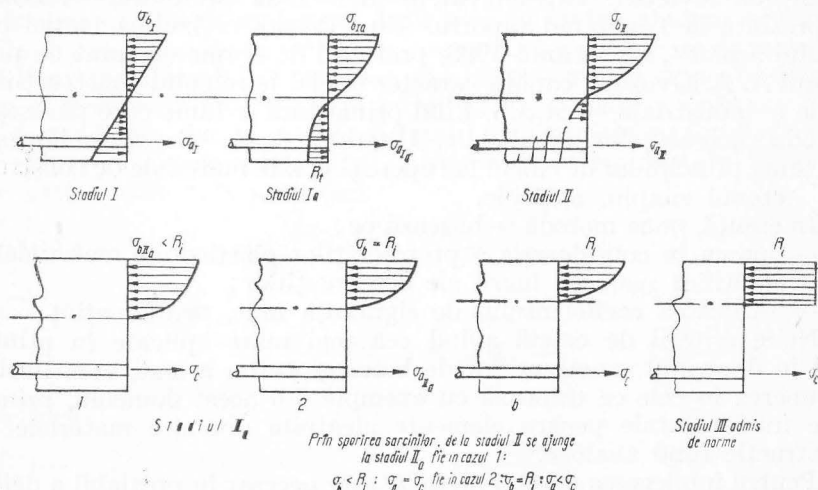


Fig. 11.2

Pentru o mai bună ilustrare a fazelor succesive care apar în comportarea oricărui element de beton armat supus la o solicitare crescândă, în fig. 11.2 se dau diagramele eforturilor unitare la un element supus la încovoiere. De remarcat faza intermediară Ia reprezentând momentul când se atinge în zona întinsă a betonului eforturile limită de rupere  $R_t$ , și faza intermediară IIa reprezentând momentul limită al fazei a doua, când fie betonul atinge valorile de rupere prin compresiune  $R_c$ , deformându-se plastic, fie armătura atinge limita de curgere. Este momentul creerii articulației plastice.

### 11.3. PRINCIPIILE DE BAZĂ ALE METODEI DE CALCUL LA RUPERE PENTRU ELEMENTELE DE BETON ARMAT

1) Solicitarea admisibilă a unui element, moment încovoiător, forță axială, forță excentrică etc., se consideră a fi o fracțiune din solicitarea care provoacă starea limită de rupere a elementului și se obține aplicând acesteia din urmă un coeficient de siguranță  $c$ . Acesta înglobează asigurarea împotriva eventualelor depășiri de încărcări admise în calcul, defecte ale materialelor și de execuție, condiții de exploatare neprevăzute.

2) Solicitarea limită se consideră cea care produce în element stadiul III deci stadiul de rupere când eforturile unitare în beton ating valoarea de rupere, iar cele din oțel limita de curgere.

Pentru stabilirea, în conformitate cu pct. 2 de mai înainte, a efortului interior limită se mai admit următoarele ipoteze:

a) diagrama eforturilor unitare în beton în stadiul III este curbilinie, ca urmare a fenomenelor de plasticizare a betonului. Fără erori esențiale, în practică se poate admite o diagramă dreptunghiulară (v. fig. 11.2);

b) eforturile unitare de întindere ale betonului se neglijează.

Prin admiterea pct. a se observă că metoda de calcul la rupere abandonează vechea imagine a comportării elastice a betonului.

Principiile de mai înainte, aplicate la diferite tipuri de solicitări, conduc la următoarele expresii de calcul:

— compresiune și întindere centrică:

$$N \leq \frac{N_r}{c};$$

— încovoiere:

$$M \leq \frac{M_r}{c};$$



— compresiune și întindere excentrică:

$$N = \frac{M}{e} \leq \frac{N_r}{c}$$

în care:

$N, M$  sînt forța normală, momentul încovoietor produs de sarcinile de exploatare;

$N_r, M_r$  — forța normală, momentul încovoietor ce produc starea limită de rupere;

$e = \frac{M}{N}$  este excentricitatea forței normale în stadiul de exploatare;

$c$  — coeficientul de siguranță.

Solicitările admisibile obținute din formulele de mai înainte ( $N, M$ ) trebuie comparate cu cele produse de încărcările de exploatare. Acestea se obțin aplicînd sistemului static legile Mecanicii construcțiilor, deci implicînd ipoteza comportării în domeniul elastic. Determinarea încărcării exterioare care conduce în diferite secțiuni a solicitărilor limită  $N_r$  sau  $M_r$  este o problemă mult mai complicată.

Pentru aplicarea principiilor prinse în formulele de mai înainte este nevoie încă de a preciza modul în care se determină efectiv valorile solicitărilor limită  $N_r$  și  $M_r$  și cum se alege coeficientul de siguranță  $c$ .

În acest sens, standardele românești (STAS 1546—50) stabilesc formule simple de calcul, folosind rezistențele de rupere ale betoanelor clasificate în zece mărci și limitele de curgere ale oțelurilor prevăzute în aceleași standarde.

În ceea ce privește coeficientul de siguranță el este unic pentru un anumit element de construcție, fiind însă diferit de la element la element, potrivit raportului dintre efortul produs de sarcina utilă  $Q_u$  și cel produs de sarcina permanentă  $Q_g$ . La un raport  $\frac{Q_u}{Q_g} < 2$  coeficienții de siguranță sînt mai mari datorită probabilității mai mari de a avea o supraîncărcare importantă a elementului printr-o depășire a sarcinii utile admise inițial în calcul. Se ține seama de asemenea de probabilitatea de producere a combinațiilor de sarcini, cît și de natura cauzei ruperii (eforturi de compresiune în beton, eforturi unitare principale de întindere).

În concluzie, avantajele metodei de calcul expuse, față de metoda clasică a rezistențelor admisibile, constau în;

— fundamentarea metodei pe elemente care ilustrează comportarea reală a materialelor;

— evidențierea netă a coeficientului de siguranță real în elementul de construcție;

Metoda se pretează în plus la a fi îmbrăcată în formule simple de calcul, păstrînd totodată permanent imaginea fenomenului fizic. Ca un avantaj menționăm că economiile realizate față de vechea metodă se apreciază la:

— compresiune centrică	10—15%;
— încovoiere simplă	5—10%;
— compresiune excentrică	20—40%.

#### 11.4. METODA DE CALCUL LA STĂRILE LIMITĂ

Metoda de calcul la rupere reprezintă o îmbunătățire a metodei clasice a rezistențelor admisibile numai în măsura în care ține seama de comportarea reală, plastică a materialelor, pe baza materialului experimental furnizat de laboratoarele de cercetare. În ceea ce privește concepția asupra coeficientului de siguranță, metoda de calcul la rupere era susceptibilă de critică deoarece ca și metoda clasică menținea coeficientul unic, nediferențiat.

În ultimul deceniu acest coeficient a fost obiectul unui sever studiu, structura sa fiind minuțios analizată. Drept rezultat, pe baza unor numeroase date statistice, s-a elaborat *metoda de calcul a construcțiilor la stările limită*. Principiile metodei au fost elaborate și aplicate mai întîi în U.R.S.S. în anul 1955, pentru toate tipurile de construcții: civile, industriale, poduri, executate din lemn, metal, zidărie, beton, beton armat și precomprimat, iar în anul 1963 și în țara noastră au fost publicate normativele pentru calculul construcțiilor de beton, beton armat, beton precomprimat și metalice la stările limită.

S-a definit anterior ca stare limită a unei construcții, acea stare în care exploatarea ei normală nu mai este posibilă. Majoritatea stărilor limită care pot interveni în construcții pot fi clasificate după diferite criterii: după cauzele care produc starea limită, după amploarea stricăciunilor produse sau a perturbațiilor, amploare mergînd de la mici inconveniente (de exemplu elasticitatea prea mare a unei dale la o clădire de locuit) pînă la catastrofe cu pierderi de vieți omenești etc. Clasificarea nu este esențială și nu afectează principiul metodei. Normativele românești stabilesc două grupe de stări limită:

I. Stări limită ale capacității portante a construcției.

II. Stări limită ale deformațiilor maxime.

În cazul atingerii sau depășirii stării limită din prima grupă, construcția nu mai poate fi exploatată dintr-una din următoarele cauze:

- pierderea rezistenței propriu-zise (rupere, distrugere);
- pierderea stabilității.

Aceste situații pot fi produse atât de sarcini statice, cât și dinamice, de sarcini aplicate de un număr redus sau de un mare număr de ori, care să conducă la obosirea materialului.

În cazul atingerii sau depășirii unei stări limită din cea de a doua grupă, construcția își încetează exploatarea normală, dintr-una din următoarele cauze:

- atingerea de deformații inadmisibile;
- deschiderea de fisuri care conduc la:  
mărirea pericolului coroziunii armăturilor,  
pierderea impermeabilității;
- producerea de vibrații.

Factorii de care depinde probabilitatea atingerii uneia din stările limită enunțate mai înainte se pot grupa în trei categorii cuprinzând:

- solicitările exterioare;
- proprietățile fizico-mecanice ale materialelor;
- condițiile de lucru ale construcției, și anume:
  - din modul de aplicare a sarcinilor,
  - din modul de execuție a elementelor ei.

De acești parametri trebuie să țină seama în calcul coeficientul de siguranță al construcției. Întrucât aprecierea fiecăruia din factorii care intră într-una din categoriile de mai înainte se poate face cu o precizie mai mare sau mai mică, cu alte cuvinte deoarece probabilitatea de a se realiza ipoteza de calcul admisă este diferită pentru cele trei categorii enunțate, rezultă că un coeficient de siguranță unic nu poate satisface problema pusă.

Metoda de calcul la stările limită introduce, spre deosebire de metodele analizate anterior, coeficienți de siguranță diferențiați, și anume:

1) Coeficientul de supraîncărcare  $n$  (de obicei supraunitar) care tinde să acopere eventualele abateri ale intensității sarcinilor (încărcărilor) față de valorile admise în calcul. Dacă încărcarea prescrisă de norme, *încărcarea normată* este  $Q^n$  sau solicitarea interioară produsă de această încărcare într-un element este  $S^n$ , atunci încărcarea maximă care se poate produce se consideră a fi  $n \cdot Q^n = Q$  denumită *încărcare de calcul*.

Deoarece probabilitatea de depășire a încărcărilor depinde de natura lor (la sarcini permanente probabilitate mică, la cele utile mai mare, la cele accidentale și mai mare) și coeficientul de supraîncărcare va fi diferit. În cazurile când admiterea unei depășiri a încărcării ar conduce la ipoteze de încărcare mai favorabile acest coeficient se poate lua subunitar.

Solicitarea maximă a unui element de construcție este obținută prin suprapunerea efectelor produse de diferitele încărcări de calcul și se numește solicitare de calcul  $S = \sum nS^n$ .

La stabilirea solicitării de calcul intervine însă și aprecierea posibilității de a combina diferite încărcări potrivit probabilității lor de a se produce simultan. În această privință, normele împart grupările de încărcări a căror acțiune simultană este posibilă, în: grupări fundamentale, suplimentare și extraordinare. Deoarece clasificarea încărcărilor, prin prisma coeficientului de supraîncărcare, se face după durata lor de acțiune asupra elementului de construcție (temporare de scurtă durată, temporare cu acțiune îndelungată, accidentale, permanente) și gruparea de încărcări se face după cum acționează simultan o încărcare permanentă cu una temporară de lungă durată și cu una, două sau mai multe temporare de scurtă durată sau accidentale. O asigurare prea mare, adică admiterea unei combinații de încărcări maxime, deci cu o probabilitate mică de a se produce, conduce la solicitări de calcul mari și de aici la dimensiuni neeconomice ale elementului.

Valorile încărcărilor normate, a coeficienților de supraîncărcare cât și ipotezele de combinare admisibile a încărcărilor sînt prescrise în normative.

2) Coeficientul de omogenitate  $K$  care tinde să acopere eventualele abateri de la valorile caracteristicilor fizico-mecanice normate  $R^n$  ale materialului; se obține astfel rezistența de calcul  $R = KR^n$ . Rezistențele normate se determină prin încercări în laborator. La beton și zidărie se consideră rezistența medie de rupere, la lemn rezistența de rupere de durată, la oțeluri și metale în general limita de curgere. Determinarea coeficientului de omogenitate se face prin metode statistice, pe baza unui mare număr de încercări pornind de la analiza curbelor de împrăștiere. Dacă așa cum s-a arătat în cap. 10, curbele de distribuție a rezistențelor la rupere a unui material sînt curbe normale de împrăștiere avînd expresia:

$$\varphi(x) = \frac{1}{\sigma\sqrt{2\pi}} e^{-\frac{(x-R)^2}{2\sigma^2}}$$

atunci coeficientul de omogenitate  $K$  este dat cu aproximație de relația:

$$K = 1 - \frac{\alpha\sigma}{R}$$

în care:

$R$  este valoarea medie a rezistenței de rupere;  
 $x$  — valoarea rezistenței de rupere a unei probe;

- $\sigma$  — abaterea standard a curbei de împrăștiere;  
 $n$  — numărul de probe efectuate;  
 $\alpha = 3$ .

Această relație reprezintă o probabilitate de circa 1,5‰ de atingere a rezistenței minime pentru beton și oțel.

3) Coeficientul condițiilor de lucru  $m$  care tinde să țină seama de diversitatea unor situații în care se va găsi construcția sub sarcini, situații produse fie de modul în care a fost executată (de exemplu, cu anumite erori de execuție), fie de modul cum se exploatează. Este greu de a elabora o metodă precisă pentru determinarea acestui coeficient. Acest coeficient trebuie să țină seama de toți factorii care nu intră în primii doi coeficienți, dar care s-au impus observației ca factori aleatorii cu oarecare frecvență. Cu cât condițiile de lucru ale elementului sînt mai precis prinse în coeficienții de supraîncărcare și de omogenitate, cu atît sîntem mai îndreptățiți a lua pentru coeficientul  $m$  valori tinzînd spre unitate. Coeficienți mai mici decît unitatea se prevăd la elemente de construcție supuse agresivității mediului sau la elemente de dimensiuni mici a căror capacitate portantă este influențată puternic de erorile de execuție (de exemplu stîlpi de beton armat sub  $30 \times 30$  cm). Același coeficient trebuie să țină seama de concentrări de eforturi, de posibilitatea unei rupeți casante etc. Din contră, în condiții de execuție sub un control riguros și permanent cum este cazul elementelor executate în ateliere de prefabricare, se poate admite un coeficient supraunitar. De asemenea, cînd modul real de lucru al unui element într-un sistem complex antrenează conlucrarea altor elemente, se poate admite un coeficient supraunitar. Cu privire la erorile de execuție, care pot fi acoperite de coeficientul condițiilor de lucru, trebuie făcută precizarea că este vorba de erori sistematice, observate cu o anumită frecvență, deci care se pot înscrie într-o curbă Gauss, ilustrînd astfel precizia de execuție într-un domeniu, la un moment dat. Este ușor de înțeles că nu poate fi imaginat un procedeu de calcul care să țină seama de orice eroare posibilă de calcul sau de execuție. Este normal ca o eroare deosebită să aibă o probabilitate mică de a se întîlni și deci de a i se accepta riscul. Coeficientul condițiilor de lucru afectează fie capacitatea portantă a elementului ( $m_e$ ), fie rezistența de calcul a elementului ( $m_m$ ).

Ținînd seama de cele expuse mai înainte, potrivit metodei de calcul la stările limită, verificarea unui element de construcție se face comparînd solicitarea maximă posibilă cu capacitatea portantă minimă probabilă.

Solicitarea maximă posibilă a fost stabilită anterior și este egală cu:

$$\sum n S^n.$$

Capacitatea minimă probabilă a aceluiași element depinde de caracteristicile sale geometrice desemnate prin  $F$ , de rezistența de calcul  $KR^n$  și de coeficientul condițiilor de lucru  $m$ , adică este egală cu:

$$m KR^n F.$$

Rezultă condiția pentru prima stare limită a elementului

$$\sum n S^n \leq m KR^n F$$

sau în general

$$\sum n S^n \leq \Phi(m, K_1 R_1^n, K_2 R_2^n, \dots F),$$

în care  $\Phi$  este o funcție corespunzătoare naturii efortului din elementul care se verifică (compresiune, întindere, încovoiere etc.).

În cazul elementelor din materiale diferite, cum este betonul armat, condiția de mai înainte ia forma:

$$\sum n S^n \leq m_e \sum m_m K_i R_i^n F_i.$$

De acțiunea dinamică a încărcărilor se ține seama aplicîndu-se coeficienții dinamici prescriși în normative, iar de eventuala obosire a materialului, reducîndu-se valorile rezistențelor de calcul cu un coeficient  $\gamma$  subunitar. În mod analog pierderea stabilității este luată în considerare printr-un coeficient  $\phi < 1$  aplicat rezistenței de calcul.

Verificarea stării limită de deformăție se face punînd condiția ca deformăția (săgeata, alungirea, deschiderea fisurii) determinată pe baza încărcărilor normate să nu depășească mărimea deformăției admisibile adică:

$$\Delta \leq f$$

în care:

$\Delta$  este deformăția produsă de încărcările normate;

$f$  — deformăția admisibilă.

Prin aplicarea noilor normative de calcul după stările limită, este de așteptat să se realizeze economii de circa 5—7% la construcțiile de beton armat și de circa 10% la cele de beton precomprimat.

\*

\* \*



Din cele expuse pînă acum rezultă că metoda stărilor limită, ca ultimă treaptă a unei lungi evoluții în concepția de calcul a construcțiilor, se prezintă ca un stadiu cu un nivel științific ridicat. Această metodă reflectă pe de o parte comportarea reală a materialelor, iar pe de altă parte înlocuiește arbitrarul coeficientului de siguranță unic cu un sistem de coeficienți determinați pe criterii statistice. Metoda ține seama în acest mod la zi și de nivelul tehnic și de posibilitățile de realizare. Din acest punct de vedere ea trebuie să fie foarte suplă, coeficienții stabiliți pe baza unor date statistice trebuie să ilustreze continuu, în ceea ce privește omogenitatea materialelor puse în operă, posibilitatea de a aplica tehnici noi care reclamă materiale noi, cu proprietăți și caracteristici care pot fi realizate și stăpînite la un moment dat numai într-o anumită măsură.

În încheierea acestui capitol este interesant a menționa o propunere care constituie un exemplu de interpretare judicioasă a elementelor unei teorii de calcul. Se știe că încărcările de calcul ale podurilor trebuie să cuprindă în ele numai acoperiri pentru ivirea probabilă a unui vehicul mai greu decît cele normate în prezent, ci și acoperiri pentru viitoare sporuri de greutate și de trafic pe care le înregistrează în mod normal evoluția tehnicii. În același timp se cunoaște fenomenul de sporire continuă în timp a rezistenței betoanelor (a căror rezistență normată este stabilită pe baza rezistenței de rupere a cuburilor de probă la vîrsta de 28 zile). Este clar că solicitările sporite care se vor aplica în viitor vor găsi o construcție al cărei beton va fi îmbătrînit și va fi dobîndit o rezistență sporită. Este clar, de asemenea, că nu pare justificat de a introduce în calcul de la început un spor de sarcini care nu se aplică încă și o rezistență  $R_{28}$ , căci aceste două condiții au o mică probabilitate de a se produce simultan. Iată dar, că printr-o analiză profundă și combinată a parametrilor care intervin în calculul construcțiilor, se pot descoperi unele aspecte care pot conduce la o rațională alegere a ipotezelor de calcul. De aici evident economie și siguranță în exploatare.

#### BIBLIOGRAFIE

1. Baldin, V. A. *Calculul elementelor de construcții pe baza stărilor limită* (trad. din l. rusă). București, Editura Ministerului Construcțiilor, 1953.
2. Bolotin, V. V., Goldenblat, I. I. și Smirnov, A. F. *Sovremennoe problema stroitelnoi mehaniki*. Moskva, Izdatelstvo literatury po stroitelstvu, 1964.
3. \*\*\* *Normativ condiționat pentru calculul construcțiilor la stări limită*. București, Editura tehnică, 1963.

#### ÎNCHEIERE

Materialul prezentat în capitolele anterioare ale lucrării de față a constituit desigur în primul rînd o încercare de selecționare. Într-adevăr, din imensul volum de informație pe care îl poate avea la dispoziție în zilele noastre un specialist obligat a se documenta într-o anumită direcție, dificultatea principală este aceea de a asambla un minim de elemente care să poată fi considerate ca esențiale și din care să se degaje o imagine cît mai conturată a stadiului actual al problemei studiate.

Lucrarea este departe de a fi selectat altceva decît o parte din problemele noi atacate și deci nu poate da un răspuns categoric asupra măsurii în care actualul stadiu al Rezistenței materialelor, noile teorii și metode așa cum au fost descrise sub diferite aspecte, pot conduce la atingerea scopului permanent, acela de a realiza construcții mai adecvate scopului, incluzînd și criteriul estetic, mai sigure și mai economice, adică mai eficiente.

S-au arătat, în primul capitol, etapele străbătute de disciplina Rezistenței materialelor, etape care au situat-o în secolul trecut sub forma Teoriei elasticității, ca o știință cu un accentuat caracter teoretic, ba chiar ca o știință matematică. Scopul acestei științe era de a preciza prin calcul eforturile interne și deformațiile în orice punct al unui corp sau al unui ansamblu, pornind de la parametrii sistemului de solicitări exterioare și de la caracteristicile fizico-mecanice ale materialelor prinse în scheme matematice simplificatoare.

Pentru ca Rezistența materialelor să poată fi aplicată practic totuși, ea a recurs la elemente de calcul relativ simple care nu trebuiau să conducă la un volum de muncă prea ridicat și la un timp necesar prea lung, deci în definitiv prea costisitor în comparație cu costul construcției.

De aici necesitatea ipotezelor de bază simplificatoare enunțate și a exprimării proprietăților fizico-mecanice ale unui număr de materiale prin expresii identice, cu un număr restrîns de constante, ușor



de determinat experimental. Prin metodele utilizate, această știință era eminent analitică ea având menirea de a diseca materia și „a căuta ce se petrece înăuntru” (R. L'Hermite). Dar constructorul o poate privi și ca o știință de sinteză al cărui scop este ... „de a proporționa rațional construcția în toate părțile ei potrivit forțelor care o solicită, luând în considerație criteriul de siguranță, de economie și de aspect” (Baes).

Rezistența materialelor, ca știință a constructorilor, legată de practică, avea un domeniu destul de restrâns dacă se urmărea o riguroasă exactitate: bare supuse la eforturi de întindere sau compresiune, la care tensiunile să fie uniform repartizate în secțiunea transversală, bare supuse la încovoiere și a căror înălțime să fie mică în raport cu deschiderea, iar săgeata cu toate acestea să fie suficient de mică, bare supuse la torsiune având numai secțiuni circulare etc. Nu se puteau determina eforturile locale în jurul punctelor de aplicație ale forțelor, nu se puteau rezolva grinzi înalte, grinzi scurte, dale, masive etc.

Paralel cu preocupările practice ale inginerilor, s-a creat Teoria matematică a elasticității în care se leagă eforturile unitare și deformările unui corp indiferent de forma sa menținând aceleași constante fizico-mecanice ale rezistenței materialelor. Teoria este generală dar se ajunge la complicații matematice care nu pot fi totdeauna rezolvate așa după cum s-a arătat în cap. 2 și 3. Multe rezolvări recurg la simplificări care trebuie admise cu multă prudență pentru a rămâne în domeniul proporționalității și al deformărilor foarte mici.

Necesități provenite din noi forme structurale, din ivirea unor noi materiale de construcție, au împins inginerul mai întâi la observații, iar apoi la experimentări din ce în ce mai aprofundate asupra proprietăților și a comportării materialelor. Rezultatele obținute au schimbat radical concepția asupra comportării reale a materialelor sub acțiunea forțelor de durată scurtă sau aplicate în timp; noile fenomene au îmbrăcat altă haină matematică. Rezistența materialelor și Teoria elasticității și-au schimbat caracterul: din teoretic a devenit din ce în ce mai mult experimental. *Din știință matematică cu unele implicații în laborator, astăzi Rezistența materialelor a devenit un capitol al fizicii.* Aparatul matematic utilizat pentru îmbrăcarea fenomenelor fizice este destul de complicat, adesea prohibitiv pentru inginerul practician. Importanța practică a considerării rezultatelor experimentale obținute, a comportării elasto-plastice sau visco-elastice a materialelor, s-a dovedit excepțională. Plasticitatea a devenit regulatorul eforturilor interne a structurilor static nedeterminate permițând redistribuirea acestor eforturi; aprofundarea fenomenelor plastice și a legilor lor au condus la crearea tehnicii betonului precomprimat etc.

De menționat că unele fenomene plastice sau viscoase observate și explicate ulterior au stat la baza comportării multor elemente de construcție, cu toate că procedeele de calcul elastic le ignorau complet (de exemplu îmbinările nituite).

Din examinarea evoluției concepțiilor, așa cum au fost expuse, se degajează o concluzie deosebit de importantă, care permite a întrezări și o anumită orientare în viitor: cunoașterea aprofundată a caracteristicilor mecanice a materialelor, a comportării lor sub acțiunea forțelor în timp și ameliorarea acestor caracteristici pot conduce la o sporire a eficienței construcțiilor mult mai substanțială decât perfecționarea unei metode de calcul. Mai mult încă: materialul — caracteristicile sale — de cele mai multe ori imprimă forma elementului și ulterior forțează chiar găsirea procedurii de calcul adecvat. În acest sens, un material cu calități superioare va conduce la economii mult mai importante, la construcții la care greutatea proprie este preponderentă, decât un calcul foarte riguros. Pe bună dreptate A. Caquot făcea remarca asupra marilor etape de realizări tehnice ale omenirii: „ele sînt etape ale victoriilor omului asupra materiei ca material de utilizat: epoca de piatră, epoca de bronz, epoca fierului. Vom avea poate — afirmă Caquot — epoca aluminiului dar nu și cea a avionului”. *Calitățile materiei sînt esențiale, forma rezultă.* Putem adăuga că procedeele de calcul de asemenea.

Dificultățile provocate de rezolvarea ecuațiilor care ilustrează stări de tensiune sau deformări ale unor forme constructive complicate au condus inginerul la a căuta soluțiile recurgînd tot la laborator, o dovadă în plus privind caracterul profund experimental al științei Rezistenței materialelor de azi: „o explorare îngrijită și aprofundată a elementelor sub sarcină este fără îndoială procedeul prezent care prezintă maximum de garanții, el este superior oricărui calcul” (R. L'Hermite).

Rezistența materialelor, ca știință experimentală, a fost condusă la a stabili în laborator o serie întreagă de parametri ilustrînd caracteristicile fizico-mecanice ale materialelor, iar pe de altă parte la a fixa încărcările utile, climatice etc. de asemenea prin observații sau prin experiențe de laborator. Toate aceste determinări asupra unor mărimi cu caracter aleatoriu au deschis drumul statisticii în aplicațiile rezistenței materialelor. Coeficientul de siguranță și în general siguranța unei construcții, așa după cum s-a arătat în cap. 10 și 11, au suferit ca urmare schimbări în structura lor. Siguranța unei construcții în concepția clasică era o noțiune vagă, ilustrată de coeficientii de siguranță ai elementelor componente. În concepția modernă s-au realizat două salturi calitative: definirea unui coeficient de siguranță unic față de o anumită stare admisă ca limită a exploatării

normale a ansamblului și adoptarea unor criterii mai științifice în ceea ce privește mărimea acestui coeficient față de procedeele clasice de calcul care fixau valoarea sa pe criterii cu totul arbitrare.

În lumina acestor concepții, siguranța unei construcții nu mai poate fi privită altfel decât probabilistic, legată de riscul pe care îl poate accepta constructorul sau cu alte cuvinte de probabilitatea de distrugere pe care o poate accepta constructorul în timpul exploatarea construcției sale. Mai înainte afirmam: „criterii mai științifice” și nu „criterii absolut științifice” pentru că problema siguranței este în momentul de față privită sub o lumină mai reală dar nu complet rezolvată, căci arbitrarul alegerii unor coeficienți de siguranță a fost înlăturat, dar rămâne încă problema alegerii unor criterii pentru fixarea probabilității admise de distrugere în timp, din exploatare, a construcției.

Este ușor de înțeles că siguranța absolută nu se poate încadra în activitățile omenești și deci se va impune luarea unei decizii cu privire la probabilitatea de distrugere admisă sau încă a „asigurării” construcției. Și în acest domeniu va mai rămâne în decizie o componentă de apreciere deci subiectivă.

În această direcție, Robert Lévi\* într-un articol, imaginează o împrejurare care are meritul de a fi foarte sugestivă: „Să considerăm un om mergând pe un platou stîncos, neted și găsindu-se în fața unei fisuri largi și adînci care îi taie drumul. Omul ezită să sară căci își dă seama că nu are o siguranță absolută de a reuși și că în caz de eșec își frînge gîtul. În raționamentul său inconștient intervine aprecierea lungimii efective a saltului adică măsura posibilităților lui și aceea a distanței de străbătut, adică a măsurii realității la care trebuie să facă față; fiecare din aceste două aprecieri este aproximativă, după cum și pentru constructori sînt mărimile ilustrînd posibilitățile materialului și ale solicitărilor posibile”.

Dacă omul din această poveste are intuiția că are numai o șansă din două, de a putea sări, va renunța, afară de cazul poate că este urmărit de un pericol mare. În cazul în care probabilitatea riscului este de unu la o mie, nu se va avînta decât dacă are un avantaj net, de exemplu de a evita un ocol de cîteva mile. În cazul unei probabilități de 1:1 000 000, nu va ezita chiar pentru un avantaj minor. În această din urmă situație, va fi în condiții comparabile cu cele ale constructorului căruia i se cere o siguranță „în limite omenești absolute”.

\* Robert Lévi: „Considérations générales et applications aux constructions de la théorie probabiliste de la sécurité”.

În legătură cu „asigurarea construcției” cu admiterea unei anumite probabilități de distrugere intervin diverse elemente în ultimă instanță economice care caută comparativ să conducă la o decizie.

Astfel sînt: timpul de folosire în exploatare normală după care, construcția nemaisatisfăcînd cerințele estimate la acea vreme, poate fi părăsită, înlocuită etc. (poduri, construcții industriale); valoarea importantă de înlocuire sau pagubele însemnate în caz de distrugere sau avarie etc. În aceste calcule, un aspect cu totul special și greu de considerat este cel legat de pierderile de vieți omenești care s-ar produce în caz de accident, căci nu se poate admite nici o probabilitate care ar admite deliberat asemenea eventualitate.

Cum conceptul de „probabilitate nulă” de accident sau cel de „siguranță totală” este idealist și deci de neatîns, rămîne ca preocupările de „îmbunătățire” a siguranței să se dirijeze spre ridicarea conștiinței profesionale care antrenează eliminarea defectelor materialelor într-o măsură din ce în ce mai mare.

\*

Și în final, în legătură cu raportul dintre inginerul constructor și știința sa, reproducem cîteva pasaje dintr-un articol intitulat „La philosophie de l'acte de construire” scris de A. Balénay-Béarn:

... „Necesitatea unui strîns contact cu materia și cu uneltele sale; constructorul trebuie să aibă vocația artizanului care a cunoscut fierul fasonîndu-l cu sculele lui și care a cunoscut căldura prizei cimentului în contact cu mîinile sale. Actul de a construi rupt de această realitate, lipsit de intuiția pe care realitatea o insuflă și în plus ghidat numai de sentiment sau numai de calcul, devine un act desrădăcinat, care nu poate conduce decât la rămînere pe loc și nu poate reuși să organizeze valabil materia grea.

Necesitatea unei convingeri puternice și gustul riscului; nimic nu este posibil fără convingerea arzătoare, fără mîndria meseriei sale, fără acest gust al responsabilității și al riscului care conduc la a refuza copierea unor reușite anterioare — care n-ar da de altfel decât garanții aleatoare — în scopul de a se conduce ca un adevărat inovator, dovedind ce este posibil în ordinul imposibilului”.